INFORME FINAL

Autorización de intervención arqueológica No. 7231

"Implementación del plan de manejo arqueológico para las intervenciones de las unidades funcionales 1, 2, 3 y 4 correspondientes al contrato de concesión no. 018 de 2015 Vía al Mar 2 que comprende la construcción, mejoramiento, rehabilitación, operación, mantenimiento y reversión de la concesión "Autopista al Mar 2" del proyecto "Autopistas para la Prosperidad. En los municipios de Cañasgordas, Uramita, Mutatá y Dabeiba"

SP INGENIEROS
AUTOPISTAS DE URABÁ
UNICA INFRAESTRUCTURA

Presentado por
Carlos Orozco
Antropólogo RNA 218

Digitalización, Biblioteca Especializada Alicia Dussán de Reichel. ICANH

Equipo de trabajo
Julián Castañeda, antropólogo
Franquil Montalvo, estudiante de Antropología Universidad de Antioquia
Equipo de trabajo en campo
Felipe Arias, antropólogo
Sara Buitrago, antropóloga

Análisis Bioantropológico
Bibiana Andrea Cadena Duarte, M Sc, PhD. en Antropología Física

Análisis Petrográficos
Rock & Rocks- RockThinS, Laboratorio Petrográfico

Medellín, 2025

CONTENIDO

1. PRESENTACIÓN GENERAL DEL ESTUDIO 5

1.1. Descripción del Proyecto 6

1.1 Ubicación y características del área de estudio 8

1.1.1 Uso del suelo 10

1.1.2 Geología regional 13

1.1.3 Hidrología 16

2. MARCO CONCEPTUAL Y ANTECEDENTES 19

2.1 Antecedentes etnohistóricos e históricos de Uramita y Cañasgordas 31

2.2 Antecedentes Etnohistóricos Urabá 35

3. METODOLOGÍA 38

4. RESULTADOS DE TRABAJO DE CAMPO 46

4.1 Actividades de prospección y salvamento en pozos de sondeo positivo 46

4.1.1 K1+000 al K1+250. 47

4.1.2 Pozo de sondeo positivo 140 UF1 50

4.1.3 Pozo de sondeo positivo 576 UF1 53

4.1.4 Pozo de sondeo positivo 612 UF1 55

4.1.5 Pozo de sondeo positivo 622 UF1 57

4.1.6 Pozo de sondeo positivo 830 UF1 60

4.1.7 Pozo de sondeo positivo 847 UF1 64

4.1.8 Pozo de sondeo positivo 882 UF1 68

4.1.9 Pozo de sondeo positivo A622 UF2-3 72

4.1.10 Pozo de sondeo positivo N1074 UF2-3 75

4.1.11 Pozo de sondeo positivo RS1NC UF 2-3 79

4.1.12 Pozo de sondeo positivo A618 UF2-3 82

4.2 Actividades de prospección y salvamento en ZAP Zonas de Alto Potencial 93

4.2.1 ZAP1 UF1 95

4.2.2 ZAP2 UF1 100

4.2.3 ZAP3 UF1 102

4.2.4 ZAP 4 UF1 106

4.2.5 ZAP 5 UF1 108

4.2.5.1 ZAP5-663 UF1 Corte 1 111

4.2.5.2 ZAP5-666 UF1 Corte 2 112

4.2.5.3 ZAP5-672 UF1 Corte 3 114

4.2.6 ZAP6 UF1 116

4.2.7 ZAP7-UF1 120

4.2.7.1 ZAP7 UF1 Corte 1 122

4.2.7.2 ZAP7 UF1 Corte 2 124

4.2.8 ZAP1 UF2-3 125

Digitalización, Biblioteca Especializada Alicia Dussán de Reichel ICANH

4.2.8.1 ZAP1-N523 UF2-3 Corte 1 127
4.2.8.2 ZAP1-A409 UF2-3 Corte 2 128
4.2.9 ZAP2- N562 – N571 UF2-3 131
4.2.9.1 ZAP2- N562 UF2-3 133
4.2.9.2 ZAP2-N571 UF2-3 135
4.2.10 ZAP3 UF2-3 136
4.2.11 ZAP4 UF2-3 139
4.2.11.1 ZAP4 UF2-3 A715 – RS1NR- RS1OM 140
4.2.11.2 ZAP4 N1188 UF2-3 144
4.2.11.3 ZAP4 A717 UF2-3 147
4.2.11.4 ZAP4 A718 UF2-3 150
4.2.11.5 ZAP4 N1198 UF2-3 154
4.2.12 ZAP1-UF4 157
4.2.13 ZAP2 D2 UF4 161

4.3 Actividades de verificación y monitoreo 165
4.3.1 Capacitaciones 166
4.3.2 Hallazgos monitoreo arqueológico 166

5. RESULTADOS DE LABORATORIO Y DE ANÁLISIS ESPECIALIZADOS 199

5.1 Clasificación y registro de alfarería 199

5.2 Tipología y periodización Cerámica 202
5.2.1 Tipo cerámico Félsicos finos F3 203
5.2.2 Tipo cerámico Félsicos medio F5 210
5.2.3 Tipo cerámico Naranja friable F8 213
5.2.4 Tipo cerámico Naranja fino F9 217
5.2.5 Tipo cerámico Mica fino F1 221
5.2.6 Tipo cerámico Arena fino F2 229
5.2.7 Tipo cerámico Félsicos y mica F6 236
5.2.8 Tipo cerámico Cuarzo y mica F12 238
5.2.9 Tipo cerámico Rocas finas y medias F13 240
5.2.10 Tipo cerámico Arena muy fino F16 241
5.2.11 Tipo cerámico Mica y rocas rojas F20 247
5.2.12 Tipo cerámico Cuarzo abundante F22 248
5.2.13 Tipo cerámico Rocas gruesas F4 249
5.2.14 Tipo cerámico Rocas rojas F7 252
5.2.15 Tipo cerámico Félsicos y óxidos F14 256
5.2.16 Tipo cerámico Crema fino F11 258
5.2.17 Tipo cerámico Mica abundante F24 261

5.3 Análisis Bioarqueológico sitio A618 Dabeiba – Antioquia 263
5.3.1 Formación del depósito funerario 263
5.3.2 Reconstrucción de prácticas funerarias 269
5.3.3 Análisis osteológico 276

5.4 Análisis lítico 286

Digitalización, Biblioteca Especializada Alicia Dussán de Reichel, ICANH

5.4.1 Pozo de sondeo positivo A618 291
5.4.2 Pozo de sondeo positivo N1074 296
5.4.3 ZAP3 UF2-3 301
5.4.4 Hallazgo No. 13 Monitoreo Arqueológico 303
5.4.4.1 Líticos RS KM 22+440 303
5.4.4.2 Líticos RS 22+500 304

6. ARQUEOLOGÍA PÚBLICA 306

6.1 Hacia la Gestión Comunitaria del Patrimonio Arqueológico 313

6.2 Tenencia de Patrimonio Arqueológico 316

7. CONCLUSIONES 320

7.1 Patrón de asentamiento 323

7.2 Conclusiones Análisis Cerámico, Cambios y continuidades en la Producción Alfarera. 330
7.2.1 Decoraciones, diseños y estilo alfarero 333

7.3 Conclusiones análisis Petrográfico de 15 secciones delgadas 335

7.4 Conclusiones análisis lítico 341

7.5 Conclusiones Análisis Bioarqueológico Contexto Funerario A618 342

Bibliografía 345

Digitalización, Biblioteca Especializada Alicia Dussán de Reichel. ICANH

1. PRESENTACIÓN GENERAL DEL ESTUDIO

La construcción vial de la UF 1, del proyecto vial MAR 2 de la sociedad Autopistas Urabá S.A.S., en cabeza de las empresas SP INGENIEROS Y UNICA INFRAESRUCTURA, desde el año 2018 ejecutó un Programa de Arqueología Preventiva, en consonancia con la ley vigente para el patrimonio arqueológico de la nación, y cumpliendo los lineamientos dados por el Instituto Colombiano de Antropología e Historia, ICANH, en el Plan de Manejo Arqueológico (PMA) para la Unidad Funcional (UF) 1, entre los municipios de Cañasgordas y Uramita, y las UF 2 y 3 del tramo entre los municipios de Uramita y Dabeiba y la UF 4 del trayecto entre los municipios de Dabeiba-Mutatá. La implementación del plan de manejo arqueológico de la Vía al Mar 2 se realizó entre julio de 2018 y abril de 2023, bajo la autorización de intervención arqueológica (AIA) # 7231, expedida por el ICANH en 2018.

En principio se ejecutó la fase de salvamento arqueológico para las UF 1, 2, 3 y 4, luego en la Adenda No.3, de la AIA 7231, las UF 2, 3 y 4 fueron excluidas. Quedando bajo la AIA 7231, la fase de salvamento arqueológico de las UF 1, 2, 3 y 4 y el monitoreo de la UF1, de las cuales se presenta el informe final a continuación. Específicamente con la solicitud de adenda No 3 a la AIA 7231, aprobada el 9 de abril de 2018 en el radicado 2324, el ICANH autorizó excluir las prospecciones intensivas y los salvamentos en las UF 2, 3 y 4, alrededor de los pozos de sondeo positivos presentados en las siguientes tablas:

Tabla 1

Pozos de sondeo excluidos Adendo No. 3

Digitalización, Biblioteca Especializada Alicia Dussán de Reichel. ICANH

MEDIDA DE MANEJO	UF	No POZO POSITIVO	ABSCISADO	COORDENADAS ORIGEN BOGOTÁ	
				ESTE	NORTE
Prospección intensiva	2-3	A360	K11+040	759633,37	1264923,89
Prospección intensiva	2-3	A505	K13+620	758458,42	1266861,88
Prospección intensiva	2-3	A510	K13+620	758410,76	1266926,17

Al igual que las prospecciones intensivas y salvamentos arqueológicos de los pozos positivos de la ZAP 4 de la UF 2- 3.

Tabla 2

Pozos de sondeo excluidos de la ZAP4 de la UF 2-3 Adendo No. 3

UF	CÓDIGO	No POZO POSITIVO	ABSCISADO	COORDENADAS ORIGEN BOGOTÁ	
				ESTE	NORTE
2-3	ZAP4-UF2-3	N1201	K16+611	755780,41	1267664,7
2-3		A722	K16+620	755773,21	1267666,5
2-3		A726	K16+650	755741,78	1267662,9
2-3		A728	K16+660	755739,5	1267688,1

Así mismo, se excluyó de la AIA 7231, el Monitoreo arqueológico de las UF 2, 3 y 4, además del Monitoreo de 700 metros de la UF1 desde el K29+917.14 al K30+704.89.

En resumen, bajo la AIA 7231 quedaron las actividades que corresponden con la UF 1, ubicadas entre las abscisas K0+000 al K29+917. Adicionalmente, para las ZODMES de la UF 1, se obtuvo la licencia 8320 de 2019.

El primer capítulo de este informe proporciona una introducción general del proyecto, de la obra, y las características del área de estudio. El segundo capítulo presenta un marco conceptual, antecedentes históricos, etnohistóricos y arqueológicos. El tercer capítulo describe la metodología implementada, en el capítulo cuatro, se refieren las intervenciones realizadas. En el capítulo 5 se enseñan los resultados de laboratorio, la clasificación del material cerámico, el análisis bio-arqueológico al sitio A618, así como el análisis petrográfico y del material lítico. En el capítulo 6 se relacionan los resultados de la arqueología pública, así como las actividades de divulgación desarrolladas con apoyo de la Casa de la Cultura y la comunidad y el capítulo 7 cuenta las conclusiones generales de los hallazgos realizados durante la implementación del programa de arqueología preventiva y de los análisis especializados.

El objetivo final del programa de arqueología preventiva, es garantizar la protección del patrimonio arqueológico presente en el área del proyecto. Para cumplir con las medidas de manejo arqueológico contempladas en el plan de manejo arqueológico de la AIA 7231, se realizó la prospección arqueológica entre el K1+000 al KM 1+250, resultando 6 pozos de sondeo positivo y también se realizaron las reprospecciones intensivas en un área de 40 por 40 metros en 11 pozos de sondeo positivos reportados en la prospección, para un total de 17.600 mts^2 de reprospecciones, aplicando un muestreo sistemático, en cuadricula, con pozos de sondeo cada 5 metros, esta prospección registró 103 pozos de sondeo positivos. En la medida de salvamento arqueológico se realizaron reprospecciones intensivas que permitieron ubicar 28 cortes estratigráficos de mínimo 4m^2, en total se efectuaron 164m^2 de cortes estratigráficos, excavados con niveles arbitrarios de 5 cm. Durante el monitoreo arqueológico a la construcción de la vía, se realizaron 44 sitios de hallazgos arqueológicos y fueron capacitadas 6.546 personas.

Digitalización, Biblioteca Especializada Alicia Dussán de Reichel. ICANH

En estas actividades del plan de manejo arqueológico se recuperaron 11319 fragmentos de cerámica y 239 líticos y un ajuar funerario compuesto 11 vasijas, cinco hachas, un cincel y una mano de moler, asociados a restos óseos humanos de 11 individuos.

1.1. Descripción del Proyecto

La concesión vial 4G “Autopistas para la Prosperidad” busca la interconexión vial entre Medellín y la costa caribe, la costa pacífica y el río Magdalena, una de estas concesiones es la **“Autopista al Mar 2”** adjudicada a la sociedad Autopistas Urabá S.A.S., suscrita en el contrato N°018 de 2015 entre la Asociación Nacional de Infraestructura (ANI) y Autopistas Urabá S.A.S. para el mejoramiento de la calzada existente entre Cañasgordas y Uramita, la construcción de una nueva vía y túnel en calzada sencilla (variante y túnel de Fuemia) entre Uramita y Dabeiba, la operación y mantenimiento de la vía actual entre los municipios de Dabeiba y Mutatá, la rehabilitación del tramo Mutatá-El Tigre y el mantenimiento y

operación de la vía El Tigre-Necoclí. El proyecto de infraestructura vial "Autopista al Mar 2", tiene una longitud estimada de 254 km y su objeto es la construcción, operación y mantenimiento de seis Unidades Funcionales, que acortaran el tiempo de viaje entre Medellín y Coveñas a la mitad.

Las obras que corresponden a cada unidad funcional se describen a continuación:

UF1: Está ubicada en los municipios de Cañasgordas y Uramita, se trata del mejoramiento de la vía actual entre el PK 0+000 y el PK 30+709, se prevé la construcción de 7 túneles nuevos con sus accesos, los túneles se prevén de dos (2) carriles, con un ancho por carril de cuatro (4) metros, para un total de calzada de ocho (8) metros y un sobre ancho (berma) adicional mínimo de 0,5 metros y ancho de andenes laterales de un (1) metro, otras intervenciones se observan en la **Figura 1**. También se proyectó un tramo de vía nueva que incluye la construcción de puentes y corresponde a una mejora al paso urbano del municipio de Uramita, también es llamada variante Uramita.

Figura 1
Intervenciones proyectadas para la UF1

Túneles		Vía Nueva	Puentes		Longitud total de intervenciones (km)
Cantidad	*Longitud total con portales (km)	Longitud vía a cielo abierto, incluye accesos a los túneles (km)	Cantidad	Longitud (Km)	
7	4,616	2,6	7	0,806	8,021

Digitalización, Biblioteca Especializada Alicia Dussán de Reichel. ICANH

Por su parte, el mejoramiento de la vía existente implica otras intervenciones como realineamientos, rectificación de curvas, ampliación de la calzada y construcción de vía nueva. Es una vía primaria bidireccional de única calzada, con una velocidad de diseño de 80 km/h; con un ancho total de calzada de 7,30 metros, conformada además por una berma externa de 1,8 m con cuneta incluida (la sección típica de proyecto cumple con la Ley 105/93). En la **Figura 2** se presenta la sección típica de la calzada.

Figura 2
Sección típica de vía a cielo abierto



UF2: Tiene dos sectores 2.1 y 2.2 con 15,4 km de longitud se encuentran ubicadas entre los municipios de Uramita y Dabeiba, en la parte noroccidental del Departamento de Antioquia. La UF2 en los sectores 2.1 y 2.2, corresponde a la construcción de una vía nueva y que junto con

la UF3 (Túnel de Fuemia) componen la denominada Variante Fuemia. Esta variante tiene una longitud aproximada 17,6 km de los cuales 15,4 km corresponden a la UF 2 y los 2,2 km restantes a la UF3 (Túnel de Fuemia).

UF3: Corresponde a la construcción del túnel de Fuemia, con una longitud aproximada de 2,18 km que cumple con la función de empalmar el punto final del sector 2.1 (PK 2+543) con el punto inicial del sector 2.2 (PK 4+723), asegurando la continuidad del trazado bajo las mismas condiciones y especificaciones operacionales del proyecto.

De acuerdo con lo anterior, el túnel está previsto de dos (2) carriles de cuatro (4) metros cada uno, para un total de calzada de ocho (8) metros (única calzada), sobre ancho (berma) de 0,5 m y andenes laterales de mínimo de un (1) metro, garantizando la velocidad de diseño de 80 km/h, según lo establecido en el Manual de Diseño Geométrico (MDG).

UF4: Mejoramiento del trazado en sectores puntuales de la vía actual y rehabilitación del resto del tramo entre Dabeiba y Mutatá.

El proyecto diseñado para los sectores objeto de mejoramiento corresponde a una vía primaria bidireccional de única calzada, con una velocidad de diseño de 80 km/h y de 60 km/h en el resto; con un ancho total de calzada de 7,30 m y berma externa de 1,8 m con cuneta incluida. En cuanto a los sectores de rehabilitación, el diseño se basa en una vía primaria de dos carriles y sentido bidireccional, contando con un ancho de carril de 3,65 m cada uno y una velocidad de diseño variable que depende del sector a rehabilitar.

Digitalización, Biblioteca Especializada Alicia Dussán de Reichel. ICANH

1.1 Ubicación y características del área de estudio

Uramita y Cañasgordas se encuentran ubicados en la subregión occidente del departamento de Antioquia -en donde se ubican el 39% de los resguardos del departamento (Gómez, 2018, 6), con una superficie de 236 y 391 km2 respectivamente, los dos municipios son vecinos, compartiendo frontera al este y al sur de Uramita. En cuanto a las actividades económicas, se puede decir que ambas zonas basan su subsistencia en la producción agrícola, la ganadería y el comercio, principalmente, aunque en Cañasgordas también se realizan labores madereras y de minería en menor escala. Los datos etnográficos del censo del DANE en el año 2005 registran que el municipio de Uramita está conformado en un 98,3% por población mestiza y blancos, 1,3% por indígenas y 0,4% por afrocolombianos; por su parte, Cañasgordas para la misma época registró un 98,1% de población mestiza y blanca y 1,9% de afrocolombianos (DANE, 2005). Estos datos llaman la atención ya que abren la puerta para preguntarse a cerca de la existencia de población indígena actualmente en los dos municipios, en especial en Cañasgordas, donde no aparecen en ninguna de las cifras, y en Uramita, donde la cifra no es muy significativa.

Desde una mirada departamental, en la actualidad habitan en Antioquia tres grupos indígenas grandes: Senú, Embera y Kuna Tule; estos grupos tienen presencia territorial reconocida por el Estado colombiano en 53 resguardos y 174 comunidades registradas (Gómez, 2018,12), que ocupan 350.000 hectáreas en el departamento.

Los primeros intentos para poblar a Antioquia fueron tempranos, se remontan a 1.510, con el fallido intento de la fundación de Santa María la Antigua del Darién, que despareció en 1524, seguida por San Sebastián (Necoclí actualmente) en 1535, para finalmente reconocerse este territorio como Antioquia en 1541, con el poblamiento minero en Remedios, Cáceres y Zaragoza (Zambrano y Bernard, 1993,138). La fundación de Uramita se da en 1978, en una época de intenso poblamiento del departamento, que cerraba el ciclo que inicio en el Siglo XVI en el Bajo Cauca, en un contexto de cambios en los modelos de desarrollo y en los procesos de integración vial del país (Zambrano y Bernard, 1993, 140), por su parte, Cañasgordas fue fundado en 1776 y se consideró municipio en 1823.

La región occidental del departamento de Antioquia, comprende 42 municipios, de los cuales 24 están al sur y 18 al norte. El área de estudio se ubica en el denominado norte lejano, conformado por los municipios de Abriaquí, Dabeiba, Uramita, Giraldo, Peque, Cañasgordas y Frontino, ubicados entre la vertiente oriental de la Cordillera Occidental y la vertiente occidental de la Cordillera Central, las cuales conforman el cañón del río Cauca y la cuenca del río San Juan, este último al suroccidente del departamento. En términos de la geomorfología, el área de estudio, está asociada al núcleo y la vertiente oeste de la Cordillera Occidental, se caracteriza por una topografía montañosa, quebrada, de ríos encañonados con pequeños valles intracordilleranos, aislados y alargados en el sentido de las fallas geológicas (Martínez, 2017).

La Cordillera Occidental es la más nueva de las tres cordilleras de los Andes colombianos. Sus rocas y formaciones geológicas son de naturaleza volcánica submarina, con emisiones de flujos de basaltos, inyecciones de diabasa y sobreposición de sedimentos (López Cardona, 2006), los cuales, dentro del proceso de tectónica de placas, se desplazaron hacia el Oriente chocando contra el terreno continental en formación, parte naciente de la Cordillera de los Andes, conocido en geología como “acrecimiento continental”. En su proceso evolutivo, la cordillera ha sufrido cambios notables derivados del mecanismo de desplazamiento y levantamiento de sus rocas desde el fondo del océano Pacífico hasta obtener su configuración actual como una cordillera continental (Álvarez & González, 1978). Con respecto a las unidades litológicas, de la cabecera del rio Sucio, rio Cañasgordas, en el área de estudio, afloran algunas como los depósitos no consolidados; es decir, depósitos aluviales que ocupan las llanuras de inundación de los cauces actuales, los cuales están conformados por material suelto como bloques y gravas de rocas volcánicas básicas, plutónicas y sedimentarias en diferentes proporciones, en una matriz de material de arena y grava no consolidada. De los depósitos aluviales se destacan los que se encuentran a lo largo de los ríos Chaquenodá, Pegadó, Uramita, Musinga y las quebradas Cañaverales y Nutibara.

Digitalización y Biblioteca Especializada Alicia Dussán de Reichel ICANH

El Complejo Cañasgordas, por su parte, agrupa un conjunto de bloques tectónicos que afloran, en los cuales no es posible determinar secuencias completas o parciales dentro de cada bloque, sino segmentos de secuencias sin base, ni techo definido, limitadas por fallas (Rodríguez & Zapata, 2012). En el complejo Cañasgordas pueden agruparse las unidades pizarra de Dabeiba y diabasa de San José de Urama. Estos últimos se agrupan en una serie de bloques tectónicos desde la entrada a Frontino hasta antes de la vereda El Botón, sobre la vía Medellín-Turbo, los cuales corresponden a franjas de dirección Norte-Sur y amplitud menor de 2 km. Los mejores afloramientos de esta unidad se encuentran sobre la vía Cañasgordas-Dabeiba, en cuyo trayecto

se cruzan al menos cinco franjas de diabasas y basaltos, y sobre la vía que va bordeando los ríos, Urama hacia la vereda Urama grande y Cañasgordas hacia Uramita.

Con respecto a la litología, los cuerpos que afloran están constituidos por diabasas y, en menor proporción, por basaltos; la roca es de color gris y gris verdoso, fanerítica fina a muy fina; se le puede o no reconocer la mineralogía y la textura típica de diabasas, de acuerdo al tamaño de grano de la roca en el afloramiento (Martínez, 2017). Se evidencian los cuerpos de diabasa y basalto intensamente fracturados y deformados, asimismo son frecuentes las zonas de fallas en los bordes de cada cuerpo, las cuales pueden alcanzar espesores de más de cien metros. En las zonas deformadas se presentan venas de cuarzo y vetillas en *stockwork* de cuarzo y calcita.

1.1.1 Uso del suelo

En la subzona del río Sucio se identifican procesos erosionales, particularmente del tipo paralelo y subparalelo. En el patrón paralelo, los tributarios son casi paralelos entre sí; este se presenta por influencia del control topográfico o estructural, siendo más común el primero, por lo que es frecuente en zonas con fuertes pendientes; mientras que el sub-paralelo se desarrolla en zonas de alto relieve con pendientes escapadas.

Tomado del acápite de descripción del medio abiótico del Estudio de Impacto Ambiental del proyecto elaborado por (INERCO, 2017).

Digitalización Biblioteca Especializada Alicia Dussán de Reichel ICANH

> El área de influencia de la UF 1 de la Autopista al Mar 2 se ubica sobre el núcleo de la parte norte de la Cordillera Occidental, sobre las vertientes del río Sucio. El SGC en el Mapa Geomorfológico aplicado a movimientos en masa de la plancha 114-Dabeiba a escala 1:100.000, muestra las geoformas de esta área separadas en tres ambientes morfogenéticos: denudacional, fluvial y estructural.
>
> Específicamente para el área de la UF 1, que corresponde al valle del río Sucio, ubicado en la región central de la Cordillera Occidental, el SGC cartografía principalmente unidades geomorfológicas de origen estructural, como sierras estructurales (lomos, sierras, sierras sinclinales, sierras homoclinales) espolones, espinazos y laderas estructurales, generados por los eventos orogénicos que levantaron esta cadena montañosa.
>
> También se observan unidades geomorfológicas de origen denudacional, ligadas a las montañas en las cuales los procesos erosivos han generado grandes cambios morfográficos; en este grupo tenemos laderas erosivas, escarpes de erosión y conos coluviales, y, por último, las unidades geomorfológicas de origen aluvial, ligadas a la actividad de los cauces encañonados en valles profundos en forma de V, entre las cuales se observan planos o llanuras de inundación, terrazas de acumulación y cauces aluviales.
>
> Específicamente para el área de la UF 2-3, que corresponde al valle encañonado del río Sucio ubicado en la región central de la Cordillera Occidental, el SGC cartografía principalmente unidades geomorfológicas de origen estructural como sierras estructurales, espolones, facetas triangulares, laderas estructurales, lomos de presión y

escarpes de falla generados por los eventos orogénicos que levantaron esta cadena montañosa.

También se observan unidades geomorfológicas de origen denudacional, ligadas a las montañas en las cuales los procesos erosivos han generado grandes cambios morfográficos, en este grupo se encuentran conos coluviales, sierras denudacionales y laderas erosivas; y por ultimo las unidades geomorfológicas de origen aluvial, ligadas a la actividad de los cauces encañonados en valles profundos en forma de V, entre las cuales se presentan terrazas de acumulación y cauces aluviales.

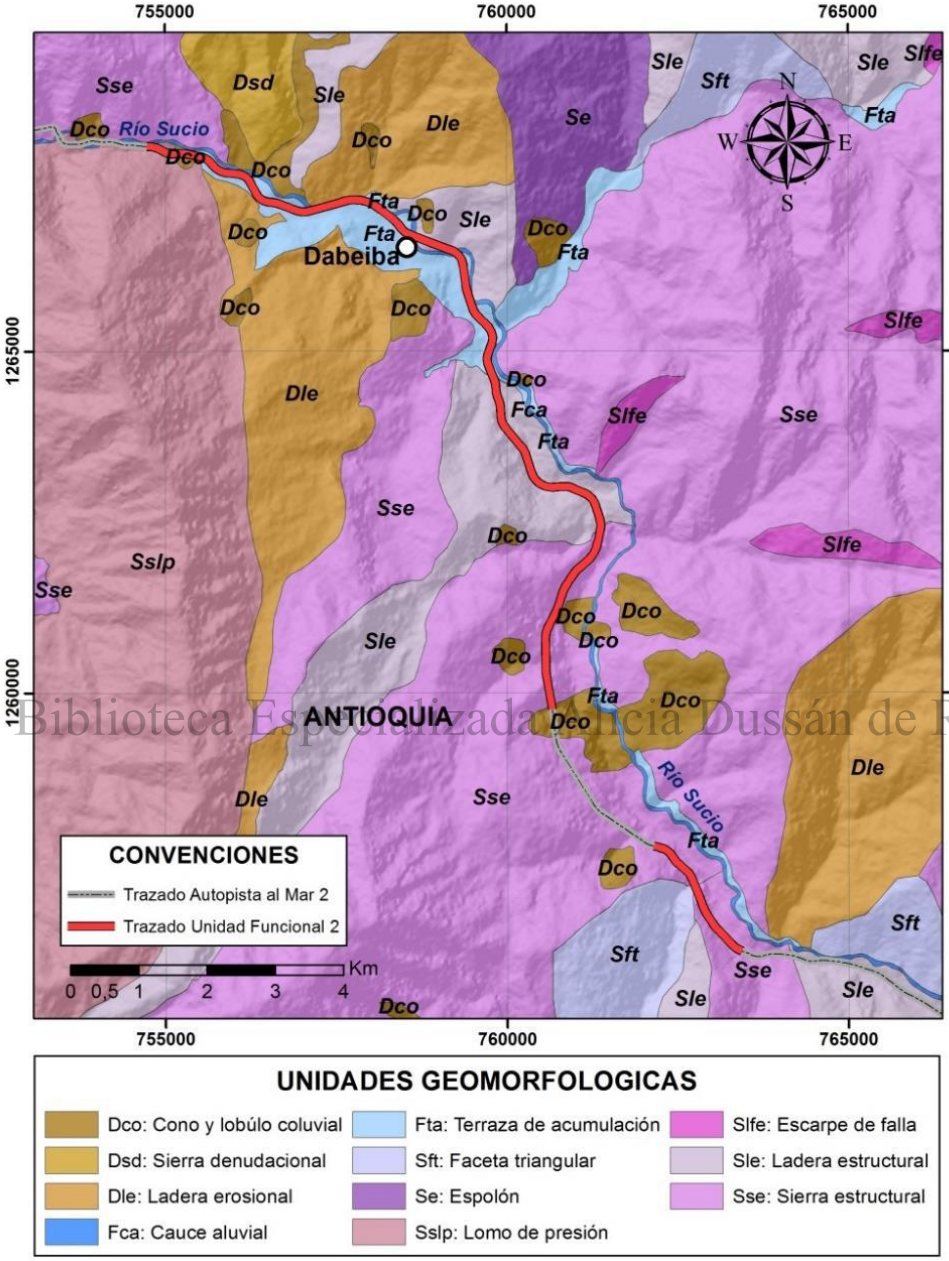
En el Área de Influencia Indirecta de la UF4 se encontraron las categorías o unidades cartográficas Consociación, que se caracteriza por la presencia de un suelo dominante con una ocupación superior al 60% de la unidad, y Asociación y Complejo, que agrupan dos o más clases de suelos disimiles. Además de las unidades de suelos, en el área de estudio se identifican zonas urbanas y cuerpos de agua.

De acuerdo con la información consultada, se identificaron ocho (8) unidades cartográficas de suelos asociadas a los paisajes de montaña, piedemonte y valle, y a diversos relieves, en alturas inferiores a los 1000 msnm, en un clima ambiental cálido, con un régimen variable entre seco, húmedo y muy húmedo en el caso del paisaje de montaña y muy húmedo en el paisaje de piedemonte. (INERCO, 2017)

Digitalización, Biblioteca Especializada Alicia Dussán de Reichel. ICANH

Figura 3

Unidades geomorfológicas a nivel regional de la zona de estudio

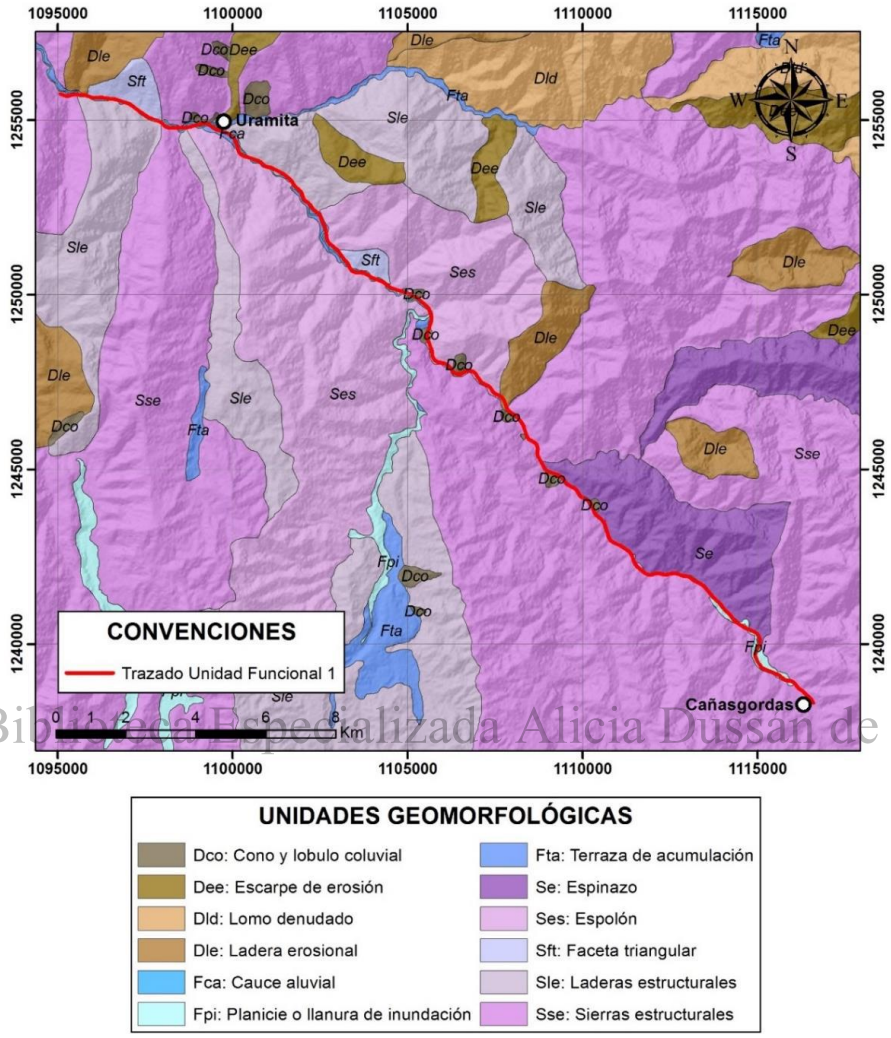


Nota: Geomorfología de la Plancha 114 – Dabeiba. SGC, 2015. Adaptado por UT Estudios Ambientales Mar, 2017.

Digitalización, Biblioteca Especializada Alicia Dussán de Reichel. ICANH

Figura 4

Unidades geomorfológicas para el área



Nota: SGC, 2015. Citado por (CONSORCIO AECOM-CONCOL, 2016).
COLOMBIA SERVICIO GEOLÓGICO COLOMBIANO, 2015. Citado por CONSORCIO AECOM-CONCOL. Volumen III: Geología para ingeniería. [Informe técnico]. Bogotá D.C.: s.n. 2016. 35 pp.

Digitalización, Biblioteca Especializada Alicia Dussán de Reichel. ICANH

1.1.2 Geología regional

La caracterización de la Geología regional se realiza con base en la información del Servicio Geológico Colombiano (SGC), contenida en las memorias explicativas de las Planchas 129 – Cañasgordas y 114 – Dabeiba, donde se enseñan las unidades litológicas y los rasgos estructurales que configuran el cuadro estratigráfico regional. Esta información es tomada del acápite de descripción del medio abiótico del Estudio de Impacto Ambiental del proyecto elaborado por (INERCO, 2017).

Según el SGC1 surge un agregado de bloques tectónicos formados por fracciones de secuencias estratigráficas sin techo ni base definidos y limitadas por fallas, identificado como Complejo Cañasgordas. Estos bloques están conformados por rocas volcánicas de edad jurásica, denominadas Diabasas y Basaltos de San José de Urama (JK1du), y rocas sedimentarias de edad cretácica separadas por litologías diferentes en dos unidades: Chert y calizas de Nutibara (K2cn) y Litoarenitas, limolitas y lodolitas de Urrao (K2alu). (INERCO, 2017).

La secuencia estratigráfica concluye en los depósitos recientes que se encuentran repartidos a lo largo del área de estudio, principalmente representados por depósitos aluviales (Qal) y de terraza aluvial (Qt), acomodados en las riberas de los principales cuerpos de agua que drenan el área, como el río Sucio, y algunos depósitos coluviales (Qco) colgados en las laderas del área (INERCO, 2017). A continuación, se describen las unidades geológicas mencionadas.

I Complejo Cañasgordas (K2cn – K2alu)

Según el Servicio Geológico colombiano con esta etiqueta se aglomeran un conjunto de bloques tectónicos que afloran en la mitad oriental de la Plancha 114 Dabeiba y en los cuales solo es posible establecer segmentos de secuencias sin base ni techo definido y limitadas por fallas, se correlacionan por similitud litológica, sin poder asegurar, que por esta similitud, sean de igual edad. (Ibíd., 27 pp.)

a. Diabasas y Basaltos de San José de Urama (JK1du)

Digitalización, Biblioteca Especializada Alicia Dussán de Reichel. ICANH

Esta unidad surge en el segmento norte de la Cordillera Occidental, entre la falla Cauca – Almaguer y la falla Dabeiba – Pueblo Rico. Estas rocas volcánicas estan constituidas por bloques tectónicos lenticulares con anchura menor a 3 kilómetros, orientados N-S, intercalados con bloques de las unidades chert-calizas de Nutibara y litoarenitas, limolitas y lodolitas de Urrao. La secuencia la conforman diabasas y en menor proporción basaltos. Las rocas son de color verde oscuro y gris verdoso, masivas, afaníticas a faneríticas muy finas, compuestas por plagioclasa en cristales menores a 1 mm, de color verde claro y piroxeno, localmente presentan sulfuros como pirita y pirrotina, diseminados en contenidos menores al 1%. Los cuerpos de diabasa y basalto se encuentran fuertemente fracturados y deformados, las cuales pueden alcanzar espesores de más de cien metros. El saprolito de estas rocas varía desde el color ocre, anaranjado, rojizo oscuro hasta el rojo con tinte verde pardusco; éste es arcilloso, con espesores variables. Las dataciones radiométricas realizadas a las rocas de esta unidad ubican a las Diabasas de San José de Urama en el límite Jurásico tardío – Cretácico temprano.

b. Chert y calizas de Nutibara (K2cn)

Chert y calizas de Nutibara son serie de bloques tectónicos conformados por capas de chert, calizas y capas subordinadas de lodolitas y limolitas, que afloran desde la entrada al municipio de Frontino, hasta el occidente del municipio de Dabeiba, sobre la vía Medellín – Turbo, estas corresponden a franjas irregulares con dirección N-S y amplitudes que oscilan entre decenas de metros y un par de kilómetros, limitados por fallas normales e inversas, generalmente, plegados y que se intercalan con bloques de

las Diabasas y Basaltos de San José de Urama, y con bloques de las litoarenitas y lodolitas de Urrao.

En términos de composición, cada bloque tectónico de chert puede o no presentar intercalaciones de calizas, lodolitas y limolitas, en general, cada bloque es diferente de los demás, en cuanto a composición y el espesor de las secuencias.

El chert es de color negro a gris oscuro, debido a la presencia de materia orgánica, a manera de polvo, pero pueden aparecer capas y láminas grises a blancas y algunas con tonalidades verdes menos frecuentes, masivas, duras, con fracturamiento concoideo, localmente puede presentar laminación fina a media, plano paralela a no paralela, con láminas negras, grises y blancas, forma secuencias o paquetes gruesos de espesores que pueden alcanzar 30 o más metros, que pueden o no, tener intercalaciones de capas muy finas a finas de lodolitas y limolitas grises, con partición pizarrosa; generalmente los paquetes de chert están plegados, fallados, con desplazamientos entre las capas.

c. Litoarenitas, limolitas y lodolitas de Urrao (K2alu)

Esta unidad agrupa una serie de bloques tectónicos que afloran desde Cañasgordas hasta el occidente del municipio de Dabeiba, con una composición predominantemente areno-arcillosa, representada por capas de arenitas líticas, grawacas, limolitas, lodolitas silíceas y, ocasionalmente, conglomerados, con bancos delgados de chert y calizas hacia el tope, localmente es intruida por silos y derrames diabásicos y basálticos.

Digitalización, Biblioteca Especializada Alicia Dussán de Reichel. ICANH

Las limolitas se encuentran en bancos de espesor variable entre 0,05 y 1 m, intercalados en la secuencia de grawacas. Son rocas macizas a finamente estratificadas, de color gris oscuro a negro, con alto contenido de materia orgánica. Texturalmente son rocas clásticas, con 25-70% de clastos tamaño limo fino a grueso y el resto conforma la matriz tamaño arcilla; los clastos son principalmente de cuarzo, plagioclasa y micas.

Por su parte, las arenitas y grawacas son de color gris verdoso a gris oscuro; estas se presentan en capas de variado espesor, de delgadas a muy gruesas, con estratificación plana, paralela continúa; a veces, presentan estratificación cruzada a pequeña escala; el tamaño varía de arena gruesa a muy fina, predominando arena media.

Esta secuencia de origen terrígeno corresponde a turbiditas de grano fino y grueso; el ambiente de sedimentación es marino, probablemente transicional entre el talud continental y llanuras abisales. La edad estaría entre el techo del Cretácico temprano y el Cretácico tardío, según los registros paleontológicos encontrados y la datación de lutitas de esta unidad.

II Depósitos Coluviales (Qco)

En el área de influencia del proyecto la formación de grandes depósitos coluviales de vertiente está íntimamente asociada a trazas de falla y al fracturamiento intenso de algunas de las unidades litológicas, que unido a una topografía montañosa con altas

pendientes, deforestación, erosión y profundización de los ríos y quebradas, además de la acción del hombre en obras de infraestructura, tala de bosque y sobre pastoreo ha dado como resultado la formación de flujos de lodo y/o escombros en la parte inferior de las vertientes de inclinación alta a moderada.

Los depósitos de vertiente se encuentran principalmente en la zona donde se presenta un intenso fallamiento de las rocas, con un fracturamiento importante asociado. Los depósitos están conformados por bloques y cantos angulosos de diferente tamaño y litología, en una matriz lodosa, con un grado de meteorización alto; predomina la fracción gruesa sobre la fracción fina.

III Depósitos aluviales y de terraza (Qal)

Los depósitos aluviales en esta zona de la Cordillera Occidental ocupan las llanuras de inundación de los cauces actuales; están conformados por material no consolidado como bloques y gravas de rocas volcánicas básicas, plutónicas y sedimentarias en diferentes proporciones, en una matriz de tamaño arena. Se destacan los aluviones que se encuentran a lo largo de los ríos Sucio y Uramita. Éstos forman planicies estrechas a lo largo de los ríos, que ocupan la zona de inundación y sectores aledaños a ésta, rellenando valles estrechos.

También, se presentan depósitos de origen fluvio-torrencial, originados por avenidas torrenciales, los cuales presentan características como: la estructura interna es matriz soportada, contienen clastos tanto angulares como redondeados, arrastrados de los lechos de las corrientes, tienen una mala selección que revela la sedimentación caótica y simultánea de bloques y finos, diferenciándose como flujos de escombros o flujos de lodo por el porcentaje de bloques. Adicionalmente, pueden tener acumulación superficial de bloques dispuestos paralelamente a la dirección de la corriente o mostrar pendientes mayores a 3 o 4%, que no son normales en los depósitos aluviales propiamente dichos” (INERCO, 2017)

Digitalización, Biblioteca Especializada Alicia Dussán de Reichel ICANH

1.1.3 Hidrología

Con respecto a la hidrología el área de estudio pertenece al área hidrográfica del Caribe, la zona Atrato-Darién y la subzona hidrográfica del río Sucio, formada por la confluencia de los ríos Cañasgordas y La Herradura, a unos 800 m.s.n.m en la Cordillera Occidental, y que recorre los municipios de Cañasgordas, Uramita, Dabeiba y Mutatá, para desembocar en el río Atrato. El río Cañasgordas, por su parte, nace 11 km al sur en las inmediaciones del cerro de Las Nutrias, en jurisdicción de los municipios de Abriaquí y Giraldo, a unos 3.300 m.s.n.m, y recorre cerca de unos 24 km en dirección Sur- Norte. El río La Herradura nace en el alto El Junco en el páramo de Frontino, en el municipio de Abriaquí, a unos 3.400 m.s.n.m; en total, recorre 50 km en dirección predominante Sur-Norte.

La red de drenaje, en general, está conformada en su mayoría por quebradas que presentan sedimentos rocosos. Los ríos principales tienen un patrón sinusoidal, con predominación de bancos e islas, rodeados de abundante vegetación. Este tipo de corrientes presenta un potencial

moderado-alto en la erosionabilidad de márgenes. Los patrones de drenaje producidos por los procesos erosivos que se generan en un determinado lugar, como efecto de la concentración de escorrentía (Londoño Arango, 2001). Las formas de estos canales están determinadas por el clima, el relieve, la estructura geológica, el caudal, la permeabilidad del terreno, la topografía de las laderas y el área de drenaje.

El río Sucio recorre los municipios de Cañasgordas, Uramita, Dabeiba y Mutatá y cumple la función de ser fuente receptora de aguas residuales de los centros urbanos de Cañasgordas, Uramita y Dabeiba, teniendo su desembocadura en el río Atrato. Su nombre lo recibe desde la confluencia de los ríos Cañasgordas y La Herradura, a 800 msnm en la cordillera occidental.

El río Cañasgordas nace en las inmediaciones del cerro de las Nutrias, 11 km al sur de la población de la que toma su nombre, en jurisdicción de los municipios de Abriaquí y Giraldo, a unos 3.300 msnm. La cuenca del río Cañasgordas limita con la divisoria de los ríos La Herradura y Tonusco, presentando como cima destacada el cerro de Las Nutrias (aprox. 3.300 msnm); por el Suroriente, con la divisoria del río Tonusco, destacándose el Boquerón de Toyo (Depresión natural 2.200 msnm), los altos Loma Grande (2.700 msnm) y Romero (2.930 msnm); y por el Nororiente con las divisorias de los ríos Cauca y El Chuzá. (Ministerio de Ambiente et al., 2007, p. 9).

El río Sucio tiene tres cuerpos de agua asociados: el río Mutatá, el Río el Cerro y el río La Herradura. El río Mutatá nace en la serranía de Abibe y desemboca en el río Sucio a 200 metros del casco urbano del municipio, además, recibe las aguas residuales del mismo; sus caudales son aproximadamente de 500 l/s cuando hay menores precipitaciones. El Río el Cerro, hace parte del sistema hídrico del río Sucio, junto con los ríos Verde, la Herradura, Nore, Chaquenodá, Carauta, Murrí, Quiparadó y Musinga; los anteriores a su vez alimentan los ríos El Murrí y el río Sucio, que desembocan en el río Atrato. Por su parte, el río La Herradura, nace en el páramo de Frontino, municipio de Abriaquí, a 3400 msnm; recorre 50 kilómetros aproximadamente en dirección sur-norte, desemboca en el río Cañasgordas y drena una cuenca de 431.8 kilómetros cuadrados. (Ministerio de Ambiente et al., 2007, p. 13).

Digitalización: Biblioteca Especializada Alicia Dussán de Reichel. ICANH

Según el Establecimiento de los objetivos de calidad de las cuencas de los ríos Sucio y Mutatá de los municipios de Cañasgordas, Uramita, Dabeiba y Mutatá (Ministerio de ambiente et al., 2007), se puede hablar de tres tramos de análisis, teniendo en consideración la ubicación de los principales asentamientos humanos. El tramo 1 es el de Cañasgordas, que inicia en el casco urbano del municipio y se extiende hasta el casco urbano de Uramita, con una extensión de 30 kilómetros, en sus alrededores hay áreas de rastrojo bajo y pastos; cabe mencionar que el río Sucio es la fuente que recibe el total de la carga contaminante que se genera en el municipio de Cañasgordas (Universidad de Antioquia et al., 2012, 57). El tramo 2 es el de Uramita, va desde el casco urbano de Uramita, hasta el casco urbano de Dabeiba, el tramo mide aproximadamente 10 kilómetros y a sus alrededores hay pastos primordialmente. El tramo 3, el de Dabeiba, inicia en el casco urbano del municipio y va hasta un punto previo de la confluencia del río Mutatá sobre el río Sucio, la longitud es aproximadamente de 40 kilómetros y a sus alrededores hay pasto y porciones de bosque o rastrojo. En los tres tramos, los usos de los recursos hídricos son para los usos de los recursos hídricos en esta zona son para para preservación y reproducción

de la flora y la fauna, recreación, paisajístico y transporte de aguas residuales, principalmente (Ministerio de ambiente et al., 2007, p. 19-21).

El cañón del río Sucio se clasifica como bosque húmedo tropical. Los principales cultivos de la zona son pastos, caña de azúcar y maíz. “Después del bosque seco de Uramita y Dabeiba ya descrito, se inicia un bh-T que ocupa gran parte del cañón del río, cañón este profundo y de fuertes pendientes cubierto de bosque y que aumenta en humedad a medida que avanza hacia la hoya del Atrato” (Espinal, s.f.,50).

Digitalización, Biblioteca Especializada Alicia Dussán de Reichel. ICANH

2. MARCO CONCEPTUAL Y ANTECEDENTES

La perspectiva de este informe parte de considerar que los procesos de cambio e interacción social ocurridos en los territorios de Cañasgordas, Uramita y Dabeiba están vinculados con aquellos documentados en Frontino y Urrao, por el Instituto de Estudios Regionales (INER) de la Universidad de Antioquia, que ha investigado sistemáticamente esta región desde 2004, a través de su programa de investigaciones sobre procesos geohistóricos, cambio social, interacción y producción de espacios en el occidente antioqueño, estas investigaciones han establecido una secuencia cronológica regional que comprende cinco períodos para los municipios de Urrao y Frontino, abarcando desde hace 9,000 años hasta el siglo XX.

Los resultados del programa de arqueología preventiva del proyecto de construcción vial MAR 2, en parte del territorio de los hoy municipios de Cañasgordas, Uramita y Dabeiba, en ejecución de la AIA 7231, evidencian procesos sociales de cambio e interacción social relacionados con los acaecidos en Frontino, Urrao, y que han sido documentados continuamente para la arqueología durante los últimos 20 años, por el antropólogo Emilio Piazzini del Instituto de Estudios Regionales, INER, de la Universidad de Antioquia, quienes desde el año 2004, han logrado establecer una secuencia cronológica de alcance regional, con 5 periodos históricos, que abarcan desde los 9.000 años de antigüedad hasta el siglo XX, para los municipios de Urrao y Frontino, esta periodización arqueológica es construida a partir de la identificación procesos de cambio social, fechas de radiocarbono, patrones de asentamiento y funerarios, análisis estratigráficos y cambios en la tecnología de fabricación y el estilo de la cerámica (Piazzini 2004; Arango y Escobar 2010, Piazzini 2009, Piazzini et al 2009; Piazzini y Arango 2013; Piazzini y Posada 2009; Piazzini y Escobar 2009; Piazzini y Escobar, 2017). El sitio más antiguo de esta secuencia cronológica es el sitio arqueológico Tabladito:

Digitalización y Biblioteca Especializada de Alicia Dussán de Reichel ICANH

“el (…) más temprano hasta ahora identificado en el noroccidente colombiano, planteando la importancia que pudo tener el Chocó biogeográfico norte en el proceso de poblamiento temprano de los Andes colombianos. Su conexión geográfica con el Río Atrato sugiere que esta arteria fluvial pudo ser un corredor que conectaba el mar Caribe y la costa pacífica con la Cordillera Occidental de los Andes. Tabladito es el primer contexto datado que demuestra el papel de esta ruta en las dinámicas de asentamiento temprano” (Aceituno, Piazzini y Posada, 2021, 17 p.).

La secuencia cronológica y las tipologías cerámicas propuestas en estas investigaciones han sido básicas, como hipótesis de trabajo y para asignarle una cronología relativa a los materiales cerámicos recuperados en este programa de arqueología preventiva. Comparadas tipológicamente las cerámicas, son evidentes las similitudes tecnológicas, iconográficas y formales, entre las cerámicas recuperadas en Cañasgordas, Uramita y Dabeiba con las reportadas en la periodización de Frontino y Urrao (Piazzini, 2018), además, al contrastar la ubicación estratigráfica de los tipos cerámicos, estos aparecen en concordancia con el orden cronológico establecido.

Figura 5

Correlación de las periodizaciones arqueológicas de Frontino y Urrao

FRONTINO		URRAO		
Periodo	Tipos cerámicos	Periodo	Subperiodo	Tipos cerámicos
1. 7500-800 a.C.				
2: 800 a.C. – 1 a.C.	F3. Felsicos finos*	1: 700 a.C. – 600 d.C	1A y 1B	U4 Félsicos grueso*
	F5. Felsicos medio*		1A y 1B	U5 Óxidos y rocas rojas*
	F8. Naranja friable*		1A y 1B	U11 Cuarzo y félsicos*
	F9. Naranja fino*		1A y 1B	U13 Crema y félsicos*
3: 1- 800 d.C.	F1. Mica fino*		2a y 1B	F9 Naranja fino
	F2. Arena fino*		1B	U9 Cuarzo y rocas*
	F6. Felsicos y mica*		1B	U6 Máficos y cuarzo*
	F10. Rocas finas y cuarzo		1B	U7 Felsicos fino*
	F12. Cuarzo y mica		1B	U8 Cuarzo abundante*
	F13. Rocas finas y medias*		1B	U12 Óxidos abundantes*
	F16. Arena muy fino*		1B	U17 Rocas gruesas
	F18. Gris fino*		1B	U10 Rocas grises*
	F19. Mica y rocas gruesas*		2A	U27 Rocas muy gruesas
	F20. Mica y rocas rojas*	1 y 2	1 y 2	U1 Felsicos medio*
	F22. Cuarzo abundante	2: 600-1550 d.C.	2B y 2C	U3 Máficos muy fino
4: 800-1550 d.C.	F4. Rocas gruesas*		2B y 2C	U24 Felsicos muy gruesos*
	F7. Rocas rojas*		2B y 2C	F7. Rocas rojas*
	F14. Félsicos y óxidos*		2B y 2C	F14 Félsicos y oxidos*
	F21. Felsicos y cuarzo*		2B y 2C	F21 Félsicos y cuarzo
			2C	U21 Máficos y félsicos
			2C	U28. Óxidos muy finos y mica
			2A, 2B y 2C	U2 Cuarzo fino
			2A, 2B y 2C	U14 Rocas negras*
			2A, 2B y 2C	U22. Naranja y félsico grueso*
			2A, 2B y 2C	U23. Félsicos y rocas grises*
			2A, 2B y 2C	U25 Felsicos redondeados*
			2A, 2B y 2C	U26 Félsicos gruesos y mica*
5: 1550 – 1900 d.C.	F11. Crema fino	3: 1550 – 1900 d.C.	3	U19 Loza
	F23. Cuarzo grueso		3	U18 Loza moderna
	F24. Mica abundante			
	F25. Felsicos y máficos			
	F27. Loza colonial			
	F28. Loza moderna			
Indeterminado	F15. Rocas grises, negras, rojas	Indeterminado		U20 Máficos medios
	F17. Gris laminar			U16 Felsicos y mica
	F26. Félsicos y rocas gruesas			U15 Mica abundante
	F29. Cuarzo			F1. Mica fina
				F3 Félsico fino
				F13. Rocas finas y medias

Digitalización, Biblioteca Especializada Alicia Dussán de Reichel. ICANH

Nota: Tomado de Piazzini (2018)

El modelo que propone Piazzini busca a partir de una lectura critica de la idea de tiempo social de Fernand Braudel establecer indicadores de cambio, continuidad o interacción en los procesos sociales, estos eventos marcarían la diferencia y el ritmo de los distintos momentos y espacios del devenir social, tendrían una duración aleatoria y un efecto diferencial y único, serian eventos de corta, mediana y larga duración, esta perspectiva abre mayores posibilidades para la comprensión de los cambios socioculturales producidos de manera amplia y con formas espaciales y cronológicas diversas. La aplicación crítica de la perspectiva de larga duración implica, para el ejercicio de la arqueología, la revisión de sus vínculos con la antropología cultural y la apertura de una interlocución con la historia social; además, abona el terreno para la disolución de los límites entre historia y prehistoria, lo que puede tener claras repercusiones políticas para la arqueología de los países latinoamericanos (Piazzini, 2001a).

Otro aspecto clave para entender esta perspectiva, es la preocupación por describir los diferentes paisajes que configuran los procesos sociales. En este sentido destacan las conclusiones sobre la relación entre sitios de enterramiento y sitios de vivienda, sus estructuras y posiciones en el paisaje, ya que permiten, comprender las transformaciones en los usos sociales del espacio

como parte de procesos de cambio en la organización política, económica y social, así como dinámicas de demarcación territorial que se asocian a tensiones por el control de los recursos (Piazzini, 2004).

Piazzini observa tres tendencias de uso del espacio en épocas precolombinas (Piazzini, 2004), primero, los sitios funerarios se ubican en las cimas de las cuchillas y con menor frecuencia en planos sobre ladera y planos coluviales. Según el autor, esto se debe a una preferencia cultural por la construcción de túmulos en lugares elevados y con buena visibilidad. En segundo lugar, los sitios con contextos domésticos se encuentran mayormente en planos sobre ladera, poco extensos, en cercanías a pequeñas fuentes de agua o sobre terrazas coluvioaluviales poco extensas, La ocurrencia de estos sitios es escasa en los planos coluviales de gran extensión, mientras que en las cimas de las cuchillas no se encontraron sitios de habitación de espacio doméstico, posiblemente por las lejanías a las fuentes de agua. En último lugar, Piazzini observa una tendencia de los sitios que combinan contextos domésticos y funerarios a situarse en terrazas coluvioaluviales, y en menor medida en planos coluviales. Dado esto, estas tendencias del uso del espacio están ligadas, por una parte, a factores de jerarquización del uso del espacio y, por otra, a cambios históricos que afectaron los cambios de esta jerarquización (Piazzini, 2004).

El autor se interesa en evaluar la tesis de Trimborn en cuanto a la existencia de un foco de inquietud política en el área hacia el siglo XVI, que se vincula con la observación de dinámicas de intercambio económico a larga distancia, guerra, canibalismo, jerarquización del poder político y militar de tipo hereditario, así como la existencia de prácticas rituales con connotaciones políticas (Piazzini, 2004).

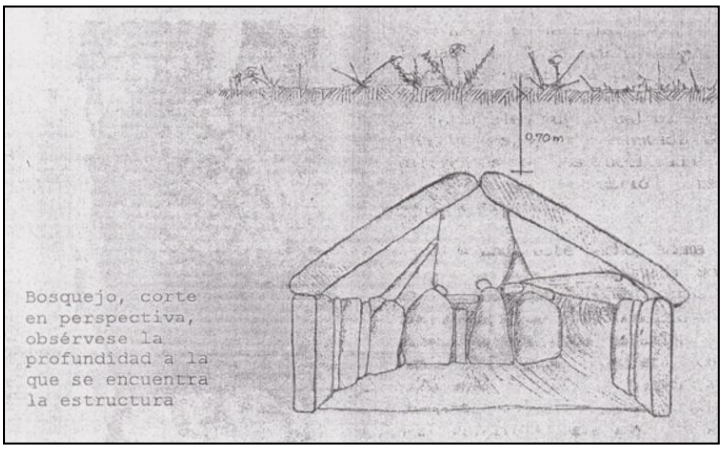
Digitalización y Biblioteca Especializada Alicia Dussán de Reichel ICANH

Otro trabajo a reseñar aquí por su cercanía con el área de estudio es el hallazgo arqueológico reportado en el año 2000 en el municipio de Cañasgordas, en un lote denominado La esperanza aledaño al río Cañasgordas, hoy barrio la esperanza, donde la comunidad que construía sus casas encontró una tumba “hecha con piedra en forma de casa con techo a dos aguas”, el hallazgo fue atendido por el Departamento de Antropología de la Universidad de Antioquia en cabeza de la profesora Sofía Botero quien dice al respecto que:

> Se trata de un hipogeo revestido en lajas de piedra, de planta circular y techo cónico. Su altura máxima en el ápice que forma el techo en el interior, es de 1,70 metros y en el exterior 2,20 metros aproximadamente… El techo está constituido por 10 grandes rocas… y las lajas que forman las paredes de la estructura tiene 80 centímetros de alto… En el lleno del corredor fueron recuperados, además, tres fragmentos de cantos pulidos muy seguramente utilizados como manos de moler, y 30 fragmentos cerámicos. La cerámica corresponde al estilo denominado por Castillo (1988 y 1992) como “inciso con borde doblado”, y datado por ella hacia el año 1.000 después de cristo, en el municipio de Sopetrán (Castillo 1988:19-28; 1992:17-25). (Botero, 2000).

Figura 6

Dibujo estructura funeraria de Cañasgordas



Luego en el año 2013 en el marco de los estudios ambientales para la construcción de una urbanización en el mismo lote La Esperanza, la empresa de vivienda de Antioquia VIVA encargo el estudio arqueológico al profesor Carlo Emilio Piazzini del Instituto de Estudios Regionales de la Universidad de Antioquia y Clara Eugenia Arango Campuzano Antropóloga de la misma universidad, con respecto al hallazgo de la estructura funeraria en el año 2.000 el profesor Piazzini anota:

Digitalización, Biblioteca Especializada Alicia Dussán de Reichel. ICANH

> Existen noticias de hallazgos semejantes en el área. A mediados del siglo XX, el antropólogo Graciliano Arcila excavó en Mutatá una tumba del tipo conocido localmente como “guaca de casa”, conformada por un nicho rectangular recubierto de lajas de piedra con un techo de dos aguas. El ajuar estaba compuesto por vasijas cerámicas, herramientas líticas y narigueras de forma circular. De acuerdo con información suministrada por un guaquero local, este tipo de enterramientos era frecuente en el área, oscilando entre 1,5 y 2,5 m de profundidad (Arcila, 1953). De forma paralela un aficionado, Gustavo White (1953), describía que en Dabeiba se hallaban tumbas recubiertas de “baldosas de cemento” en forma de casa. Aparte de estas referencias, estructuras semejantes no han sido identificadas en el noroccidente de Antioquia.

Refiriéndose a la cercanía de otro patrón de enterramiento, en el informe de la prospección arqueológica en el área del rio la herradura del municipio de Frontino, Piazzini reseña la presencia:

> A tan sólo unos 4 km lineales de allí (lote la Esperanza), sobre el filo de cuchilla de la Herradura, se detectaron decenas de túmulos funerarios que conforman el extremo oriental del área de distribución de esta particular forma de enterramiento, que según varias investigaciones se extiende hacia el oeste hasta la cuenca del río Carauta, hacia el norte hasta Dabeiba y hacia el sur hasta el municipio de Urrao (Arango y Escobar, 2010), (Piazzini C. E., 2004) y (Piazzini, 2009), (Piazzini, Arango, & Escobar, 2009).

Y apunta, que los reconocimientos sistemáticos en las investigaciones referidas, es posible que no hayan permitido detectar, esta forma particular de enterramiento, donde las lajas de piedra forman una casa al interior del suelo, pero también es posible que el área de Cañasgordas constituya una frontera o un centro de complejidad social, como ya se ha explicado.

En este punto hay que anotar que “la profusión de túmulos funerarios en el área se pone de manifiesto al tener en cuenta que en La Herradura se registraron con precisión 174 túmulos, en Nore y El Cerro 46 y en Río Verde y Musinga 529 túmulos” (Arango y Escobar, 2010) (Piazzini, 2004) (Piazzini, Arango, & Escobar, 2009). En investigaciones en marcha en el corregimiento de Carauta, también en Frontino, se han identificado varios cementerios nucleados de hasta 54 túmulos, mientras que en el municipio de Urrao también se ha constatado la presencia de este tipo de enterramientos (Piazzini, 2013). De este modo, la distribución espacial hasta ahora confirmada para estos monumentos funerarios abarca un área mayor a 2000 km^2, pero es muy posible que el área sea mayor, al tener en cuenta referencias puntuales sobre túmulos observados en los municipios de Dabeiba (C.C.A 1898, G. White 1953, 1956) y Buriticá (Girón, 1985).

Figura 7

Distribución del patrón de enterramiento en túmulos funerarios del occidente de Antioquia

Digitalización, Biblioteca Especializada Alicia Dussán de Reichel. ICANH



Nota: (Piazzini & Arango Campuzano, 2013)

Este enfoque, realiza sus planteamientos desde la teoría socioespacial contemporánea donde “las espacialidades (ambientes construidos, caminos, cultivos, viviendas, espacios ceremoniales, pero también sentidos de lugar, territorios y fronteras) y temporalidades (monumentos y lugares de la memoria, pero también particulares sentidos del devenir y de permanencia), se configuran mediante prácticas materiales y atendiendo a relaciones sociales que buscan asegurar la reproducción social de las comunidades (Harvey 1998: 228).” (Piazzini, 2001)

Esta perspectiva investigativa que busca entender los patrones funerarios y su papel en la configuración de los paisajes sociales, parte de la categoría conceptual de paisaje:

En cuanto permite vincular de una manera eficaz los planteamientos sobre espacio y tiempo como producciones sociales, con particulares configuraciones del registro arqueológico. Ahora bien, pese a que una parte importante de estas aproximaciones se asocia a los enfoques posprocesuales o interpretativos de origen anglosajón, desde una perspectiva integradora puede considerarse que los nuevos enfoques que tratan el paisaje como artefacto y como parte de procesos de producción del espacio no son necesariamente incompatibles con la arqueología de patrones de asentamiento (cf. Anschueltz et al 2001, Ashmore 2004, Paterson y Drennan 2005). En este sentido, tanto paisaje como sistema de asentamiento constituyen dos conceptos de utilidad analítica para aproximarse a particulares formas de producción social del espacio y el tiempo a partir del registro arqueológico. (Piazzini & Arango Campuzano, 2013).

Esta reconceptualización de la categoría de paisaje permite vincular de una manera eficaz los planteamientos sobre espacio y tiempo como producciones, con la resolución de problemas concretos de investigación en arqueología. Por contraste con enfoques que habían adoptado previamente la idea del paisaje como una imagen síntesis de los ecosistemas naturales, planteamientos críticos han desarrollado una perspectiva de paisaje como poder y como experiencia (Preucel y Hodder 1996, 32).” (Piazzini E., 2001), estas indagaciones buscan “comprender la forma en que espacios y tiempos como producciones sociales inciden y se ven afectados por procesos de cambio e interacción social” (Piazzini 2006, 2009).

Digitalización y Biblioteca Especializada Alicia Dussán de Reichel ICANH

El INER ha realizado investigaciones en noroccidente de Antioquia (Arango y Escobar 2010; Piazzini 2004 y 2009; Piazzini et al. 2009; Ramírez 2009) identificando específicamente patrones de asentamiento caracterizados por terraplenes y aterrazamientos a media ladera ubicados en lugares con visibilidad a los montículos funerarios, y de enterramiento, en tumbas en montículos de tierra, dispuestos en el paisaje en los lugares altos de buena visibilidad, y que han sido interpretados como un proceso de producción de paisajes ceremoniales relacionados con el uso político de los territorios a nivel regional y como lugares de memoria en tanto debieron ser parte fundamental del sentido de pertenencia y permanencia de las comunidades a nivel local. (Piazzini, 2001).

No obstante, esta discusión también aparece en otras disciplinas, como las ciencias sociales, por ejemplo, en los debates entre el geógrafo Ratzel y el sociólogo Durkheim. Ratzel se centró en el estudio de la forma en que los grupos humanos se extendieron en el espacio, diferenciándose unos de otros a partir de la relación que establecían con la propiedad impuesta por sus respectivos entornos (Buttimer, 1971, p. 28; Gregory, 1994, p. 18). Mientras tanto, Durkheim, veía la sociedad como un producto de una forma de conciencia colectiva formada por marcos institucionales, las relaciones humanas con su hábitat natural serían un asunto indirecto (Buttimer, 1971, p. 28). Como observa Cosgrove, “paisaje significa mundo exterior mediatizado por la experiencia subjetiva del hombre” (1985, p. 13). Es decir, los paisajes son sintéticos (Jackson, 1984, p. 156): los sistemas culturales estructuran y organizan las interacciones entre las gentes y su medio ambiente (Deetz, 1990; ver también Ingold, 1993, p. 152; Tuan, 1977, pásim; Thompson, 1995b p. XI; Zube, 1994, p. 1). En consecuencia, un “paisaje no es meramente el mundo que vemos, es una construcción, una composición de ese mundo” (Cosgrove, 1985, p.

13). Así, un paisaje no es lo mismo que un "entorno edificado", que nos remite a una construcción física diseñada (tomado de Domosh, 1995 pp. 48-49; Foote, 1995, pp. 294-295. En Piazzini, 2001).

Los paisajes son construcciones dinámicas en los que cada comunidad y cada generación impone su propio mapa cognitivo de un mundo, antropogénico e interconectado, de morfología, planificación y significado coherente (Anschuetz y Scheick, 1998, p. 6; Jackson, 1984, p. 156; véase también Hoskin, 1955; Parcero Oubiña et al., 1998, p.174. En Piazzini, 2001). A causa de que los paisajes abarcan principios organizados fundamentales para la forma y estructura de la actividad de los pueblos, son útiles como constructos materiales que transmiten información y como documentos históricos (Hugill and Foote, 1995, p. 20. En Piazzini, 2001). Sin embargo, los procesos de cambio conductual a través del tiempo y el espacio tienen forzosamente como resultado un paisaje en cambio constante. Así que el paisaje es un proceso cultural (Hirsch, 1995; contra Cosgrove, 1984, p. 32. En Piazzini, 2001). Finalmente habría que decir que estos autores proponen que, para la arqueología, un enfoque de paisaje, aportaría unos marcos histórico-culturales para evaluar e interpretar observaciones diversas, sobre la variabilidad espacio-temporal de la organización social y estructura del registro material. (p. 5), es decir el paisaje es el escenario para todas las actividades de una comunidad. De esta forma, los paisajes no son solo constructos de las poblaciones humanas, sino que son también el medio en el que estas mismas poblaciones sobreviven y se sustentan.

Digitalización y Biblioteca Especializada Alicia Dussán de Reichel ICANH

El dominio paisajístico implica la existencia de un patrón, tanto en un contexto interior al lugar, como entre lugares (Binford, 1982, p. 5; Deetz, 1990, p.2; ver también Hubert, 1994. En Piazzini, 2001). Las pautas que pueden observarse, tanto de restos materiales como de espacios vacíos, vienen de las interacciones entre el dominio de lo culturalmente organizado y las distribuciones de recursos y espacio vital no culturalmente organizadas (Binford, 1983, p. 380. En Piazzini, 2001). Las configuraciones espaciales fundamentales que son visibles en la arqueología, podrían estar relacionadas con algunos rasgos sociales y mapas cognitivos que son específicos culturalmente, así mismo las alteraciones físicas de los espacios que corresponden a fenómenos astronómicos o cosmológicos son algunos de los aspectos que se pueden comprobar con más facilidad en cuanto al uso ritual del paisaje. (Anschuetz, Kurt et al, 2001. En Piazzini, 2001).

Así, la cultura material que da carácter al paisaje podría indicar procesos de cambio e interacción social, cambio social como "la alteración significativa de las estructuras sociales (de los patrones de acción e interacción social), incluyendo las consecuencias y manifestaciones de estas estructuras incorporadas en normas (reglas de conducta), valores, productos y símbolos culturales" (Moore 1968:366 en Piazzini, 2001, p.56).

Este concepto de paisaje, estaría articulado al de cambio histórico planteado por Braudel y adaptado a la arqueología contemporánea por Duke: "los fenómenos históricos operan escalas temporales diferentes y, dependiendo de la escala, su impacto en las sociedades y los individuos difiere" (Duke, 1996:254 en Piazzini, 2001, p.55), así el proceso de cambio estructural de la sociedad estaría determinado por el ciclo estructura-evento-estructura, donde: "el cambio estructural puede ser inducido por una serie de diferentes eventos que van desde el choque de estructuras hasta el impacto de acciones humanas internas en esas estructuras(…) Dado que

estas estructuras son transformadas por eventos, nuevas condiciones sociales son creadas con lo cual la acción humana opera en un eterno circulo estructura-evento-estructura (Duke 1996:254)" (Piazzini, 2001, p.56).

A continuación, reseñamos otra investigación arqueológica pionera realizada en el occidente de Antioquia por la arqueóloga Neyla Castillo (1988), en su trabajo titulado *Complejos arqueológicos y grupos étnicos del siglo XVI en el Occidente de Antioquia*, hace una presentación general de la distribución espacial de complejos culturales en la cuenca del río Cauca y del Occidente antioqueño. Expone, entonces, que la distribución de los complejos habitacionales coincide con la distribución de grandes grupos similares cultural y lingüísticamente en el siglo XVI (Castillo E, 1988). En este trabajo, Castillo utiliza como criterio de análisis la distribución espacial de la cerámica con similitudes técnicas y estilísticas para la construcción de los complejos culturales. Los datos, por su parte, fueron tomados a partir de excavaciones controladas; algunas de estas han permitido obtener fechas para algunos asentamientos, mientras que otros datos se obtuvieron del análisis de piezas descontextualizadas en el Museo Universitario de la Universidad de Antioquia (MUUA).

Un primer complejo cultural, al que denomina Del Golfo de Urabá, asociado a la cerámica modelada incisa. Según ella, este complejo podría extenderse hasta la costa Pacífica panameña, en el golfo de San Miguel y el río Buyano. Asimismo, se presentan dos conjuntos cerámicos; uno está representado por vasijas con pintura policroma roja y negra sobre blanco, y el otro decorado con incisiones finas con líneas anchas y puntos, impresión, grabado, cepillado, impreso, dentado, cuneado, etc. Este complejo muestra cerámica modelada-incisa con formas estandarizadas y decoraciones elaboradas: cuencos de base coronaria, algunas con sonajeros o de bases altas recortadas, vasijas globulares y subglobulares de borde ancho evertido, mocasines y urnas con bases altas recortadas; vasijas semiesféricas y subglobulares sencillas, y pequeñas figuras antropomorfas con decoración incisa (Castillo E, 1988).

Digitalización y Biblioteca Especializada Alicia Dussán de Reichel ICANH

En un segundo complejo denominado Noroccidental —que va desde la ciénaga de Tumaradó en el Bajo Atrato, siguiendo la cuenca del río Sucio en los municipios de Chigorodó, Mutatá, Dabeiba, Urama, Cañasgordas, Giraldo, y la vertiente oriental de la Cordillera Occidental sobre el río Cauca en Buriticá, Peque, Santa Fe de Antioquia y Sopetrán— la cerámica es incisa con borde doblado, con incisiones en líneas, motivos geométricos, puntos y triángulos impresos, pero su característica más importante es el borde formado por un rollo de arcilla sin alisar en la unión exterior, casi siempre decorado con impresiones digitales (Castillo E, 1988). Según Castillo, los sitios de habitación están ubicados a lo largo de la ribera del río Cauca, sobre colinas de baja altura, mientras las tumbas se ubican generalmente en concentraciones en la cima de las colinas cercanas a los sitios de habitación.

Con una profundidad final de 1.20 m y 1.80 m se excavó un sitio de ocupación con una cerámica roja incisa, con un baño rojizo e incisiones finas. Ollas globulares y subglobulares, cuencos sencillos, cuencos con incisiones profundas, platos ligeramente cóncavos y curvos, con decoración repujada sobre el ángulo periférico que une el cuerpo y el borde. Esta tradición parece reemplazada por el complejo cerámico de la tradición incisa con borde doblado que presenta ollas globulares y subgloburaes, cuencos y platos planos asociados a pesas para red, y

artefactos para triturar elementos blandos como tallos o raíces. Estos últimos fueron hechos sobre cantos rodados alargados, de sección transversal aplanada, las cuales presentan superficies desgastadas a lo largo de los bordes laterales. Por otro lado, las superficies de uso parecen haber sido preparadas mediante la realización de un lascado fino superficial. Por último, en una última fase de esta tradición cultural, aparecen artefactos pulidos, hachas y cinceles, además del equipo tecnológico asociado al procesamiento de maíz, mates y manos de moler, mientras que desaparecen los artefactos para triturar (Castillo E, 1988). Las tumbas halladas se ubican sobre estratos arcillosos terciarios, con pozo de acceso circular o rectangular y dos cámaras laterales de forma oval o trapezoidal. Las ofrendas halladas consisten en vasijas completas y fragmentos, volantes de huso discoidales, pintaderas cilíndricas con perforación central, hachas y cinceles pulidos, pesas de red, narigueras circulares de oro, fragmentos de alambre de oro y tumbaga, y fragmentos de lámina martillados, además de cráneos completos y restos óseos de niños y adultos.

Por último, Castillo habla del complejo cultural Suroccidente como grupos afines socialmente, lo que para la autora se evidencia en las abundantes piezas y fragmentos cerámicos, procedentes de la región, en municipios como Liborina, Olaya, Sopetrán, Santa Fe de Antioquia, Girardot, Caicedo, Urrao, Bolívar, Andes, Jericó, Venecia, Titiribí, Heliconia, Valle de Aburrá y el altiplano al Oriente de Medellín. La cerámica presenta como técnica decorativa predominante engobe rojo oscuro con incisiones finas con formas estándar que incluyen cuencos sencillos, cuencos con incisiones en el fondo, cuencos fitomorfos, platos con asas, vasijas globulares y subglobulares con cuello alto recto y borde evertido; recipientes de cuerpo semiesférico y cuello amplio, de paredes diferentes y borde evertido; vasijas aquilladas con cuello y hombro corrugado, vasijas fitomorfas, vasijas cilíndricas de base aplanada, cuencos con protuberancias periféricas repujadas sobre el ángulo que une cuerpo y borde.

Digitalización Biblioteca Especializada Alicia Dussán de Reichel, ICANH

En otro estudio de la misma autora, en un complejo funerario del municipio de Sopetrán al occidente de Antioquia Castillo (1984) excava estructuras funerarias independientes de las áreas de vivienda, son tumbas con pozo de acceso central, dos cámaras laterales y una profundidad constante de cuatro metros. Estos espacios funerarios se localizan siempre sobre la cima de cerros y colinas de altura variable.

Después de los análisis, Castillo deduce que las estructuras funerarias encontradas constituyen contextos que representan las concepciones mágico-religiosas y las formas de organización social, política y económica. A partir de los elementos depositados en las tumbas infiere que los allí enterrados eran básicamente artesanos, agricultores, pescadores, tejedores, mineros y orfebres. Estos datos, entonces, le permiten suponer que se trata de una sociedad compleja con división del trabajo y en la cual existen jerarquías, producto de un desarrollo socioeconómico como el que revelan las evidencias materiales y las complejas estructuras construidas para enterrar a sus muertos. Castillo reivindica la importancia de estos contextos arqueológicos como los únicos en donde es posible aproximarse a la definición de los distintos roles y status que los individuos tenían al interior de la sociedad. Además, logra comparar estructuras similares construidas en momentos distintos, en las cuales se presenta una recurrencia en lo arquitectónico y en el contenido.

El tipo de estructuras excavadas confirma la existencia de un horizonte de tumbas de pozo con cámara lateral en la región de la cuenca del río Cauca al Occidente Colombiano. Particularmente en Sopetrán una tumba presenta pintura como los hipogeos decorados con pintura de Tierradentro, haciendo la salvedad de que las características arquitectónicas de estas en nada se parecen a las de Sopetrán.

Por último, en este trabajo la autora evidencia que hay una tendencia de sitios arqueológicos que combinaban contextos domésticos y funerarios, este uso del espacio —más allá de significar una adaptación genérica de la población a las condiciones del relieve— se encuentren ligadas, por una parte, a factores de jerarquización del uso social del espacio y, por otra, a cambios históricos que afectan los esquemas de dicha jerarquización (Castillo, 1984). Es posible que estos dos esquemas de uso del espacio se encuentren ligados a un proceso histórico de transformación social y cultural respecto a la realización de rituales funerarios en lugares alejados de las viviendas, y a la incorporación de estos rituales —con variaciones en la forma de las tumbas— dentro de espacios domésticos, especialmente en el contexto de aldeas o centros de población. Según la autora, procesos espaciales similares han sido interpretados para otras sociedades indígenas de América en estrecha relación con el surgimiento de sistemas de jerarquización política e institucionalización de la inequidad social.

Además, se encontraron líticos como hachas, buriles, *choppers* y pesas para red, también se reportan volantes de huso en cerámica, volantes planos no decorados, volantes planos decorados y volantes hemisféricos, y estampaderas cilíndricas con motivos en líneas rectas con espirales, motivos romboidales, motivo sigmoidal, motivo espiral, motivo en espina de pescado, motivo en triángulo espiral lineal. Sumado a lo anterior se encontraron seis piezas elaboradas sólo con oro aluvial, y otros fabricados con una aleación de oro-plata-cobre en diferentes proporciones, pero con predominio del cobre. Las técnicas de fabricación orfebre utilizadas son el martillado, la cera perdida y el repujado para la decoración. Morfológica y técnicamente, las piezas son homogéneas, la mayoría corresponde a narigueras, mientras que los demás fragmentos son alambres gruesos con un extremo martillado. Con respecto a la cerámica anota que un rasgo unificador es la utilización del borde aplicado y la decoración incisa con motivos geométricos como impresiones en puntos, triángulos o rectángulos inciso con borde doblado.

Digitalización y Biblioteca Especializada Alicia Dussán de Reichel, ICANH

Otra investigación arqueológica que nos interesa reseñar fue la realizada en el programa de arqueología preventiva implementado por AUTOPISTAS de URABA – CHEC, en el el proyecto de construcción vial MAR 2, en el informe final titulado “proyecto programa de arqueología para el proyecto implementación fase de laboratorio de las AIA n°8720 y n°8707 provenientes del plan de manejo arqueológico n°8278. concesión Autopista al MAR 2 de la unidad funcional 1, 2 y 4. municipios de Uramita, Dabeiba y Mutatá”, se informa sobre el sitio arqueológico denominado polígono 002, Palmira Alta, en vereda Botón, a 5 km de Dabeiba, donde se ubicaron gran cantidad de estructuras en tierra, denominadas por la arqueología como túmulos funerarios, el sitio arqueológico es una meseta de 116 hectáreas, ubicada en la cordillera de Urama, al lado izquierdo del rio Sucio y a 1.241 m.s.n.m (Murcia, PMA 0424, 2023).

Para el estudio de los túmulos se conformaron tres grupos, la mayor concentración de estos esta principalmente el sector occidental de la meseta, que en general presenta afectaciones por su

uso para ganadería, por la guaquería que han sufrido los visibles túmulos, por su uso como sitio estratégico en el conflicto armado y ahora por su uso para la obra de construcción vial como depósito de residuos de construcción y demolición, RDS.

Figura 8

Agrupación de túmulos de Palmira Alta

Grupo	Túmulos	ubicación	m.s.n.m (aprox)	Largo (promedio m)	Ancho (promedio m)	Alto (promedio cm)	Evidencias arqueológicas
1	1 al 7	Este	1225	6,50	6,50	81	3 túmulos con lajas, 1 túmulo con un rasgo y 2 túmulo con restos óseos
2	8 al 10 y 13	Norte	1246	13	8	108	1 túmulo con lajas y restos óseos
3	11, 12, 14 al 28	Oeste	1236	9	8	129	8 túmulos con restos óseos y 5 túmulos con lajas

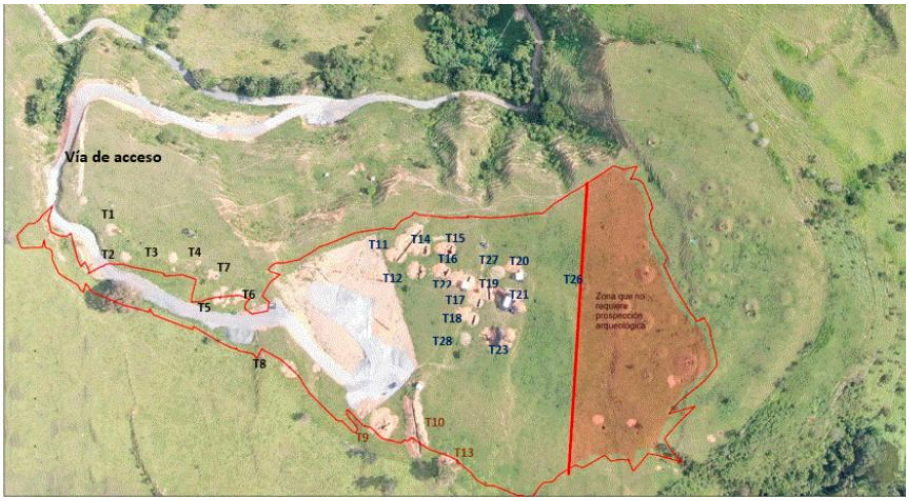
Nota: Murcia, PMA 0424, pág. 54, 2023

Los túmulos excavados fueron agruparon según su ubicación geográfica, lo que resultó en la identificación de tres conjuntos de túmulos dentro del polígono de intervención. El primer grupo estaba conformado por siete montículos que tienen una longitud promedio de 6.5 metros y una altura inferior a un metro. El segundo grupo estaba compuesto por cuatro montículos con una longitud promedio de 13.8 metros y una altura promedio de 108 cm. El tercer grupo era el más grande, con 16 montículos que medían 9.8 metros de longitud y tenían una altura promedio de 129 cm. Estos fueron construidos en la parte baja de la meseta y contenían la mayor cantidad de material arqueológico. (Ver **Figura** 9). En total fueron excavados 28 túmulos, durante el proceso dejando aproximadamente 10 estructuras sin excavar. Esta decisión la tomó la empresa, debido a una modificación en los requisitos de espacio. (Murcia, PMA 0424, pág. 53, 2023).

Digitalización, Biblioteca Especializada Alicia Dussán de Reichel ICANH

Figura 9

Agrupación de túmulos de Palmira Alta



Nota: Murcia, PMA 0424, pág. 53, 2023.

Sin duda, se suma a la importancia monumental del sitio arqueológico Palmira Alta, el descubrimiento en el Túmulo 9, de una tumba de cancel, donde a una profundidad de 60 cm, hallaron un infante menor de 6 meses de edad, con un tigrillo (Leopardus wiedii) a su lado como ofrenda. El túmulo 9 tenía forma de campana y un área de 114 m² y 187 cm de altura, para excavarlo se realizó una trinchera de 7 metros en sentido este a oeste. Lo primero que se encontró fue una laja de piedra que hacía de techo del cancel, los restos óseos, en buen estado, estaban sobre una laja de piedra que formaba el piso del cancel rectangular. Esta estructura funeraria se fecho en aproximadamente 2630 +/- 30 BP (Beta 645056), a partir de una muestra de carbón vegetal de la cuadrícula B1, obtenida entre 220 y 230 cm de profundidad. (Murcia, PMA 0424, 2023).

En palabras de la arqueóloga Angela Murcia:

“El descubrimiento de restos de fauna en contextos funerarios es un indicio de una práctica simbólica profunda. Estos hallazgos arqueológicos revelan varios aspectos significativos de las dinámicas socioculturales de las civilizaciones que llevaron a cabo estas prácticas. En el caso de Palmira Alta, estos descubrimientos ofrecen una valiosa oportunidad para adentrarse en estas prácticas culturales y comprender cómo los animales eran considerados más que simples recursos para la supervivencia; eran seres con un significado profundo en la cosmovisión de estas comunidades. Esta práctica simbólica, podría revelar creencias religiosas o espirituales que involucraban a los animales como intermediarios entre el mundo terrenal y el espiritual. Otra practica funeraria que se registró el Palmira Alta, fue enterramientos colectivos primarios y secundarios donde en algunos casos los restos óseos sufrieron alteraciones por exposición al fuego. También a partir del análisis de las líneas de hipoplasia del esmalte se logró establecer la malnutrición. (Murcia, PMA 0424, 2023).

Digitalización, Biblioteca Especializada Alicia Dussán de Reichel ICANH

Luego de los antecedentes del noroccidente antioqueño, que estaría en el límite sur del proyecto vial en el municipio de Cañasgordas y Uramita, miremos los antecedentes de la región Urabá, en el límite norte del área de estudio.

Entre 1981 y 1985 el profesor Gustavo Santos excava en las costas del golfo de Urabá el sitio arqueológico El Estorbo, donde encuentra varios asentamientos prehispánicos, la distribución espacial de las evidencias muestra que no existieron poblados nucleados sino poblados formados por viviendas dispersas en las terrazas y cimas de las colinas, en las terrazas de piedemonte y planicies no inundables (Santos, 1987).

> El sitio arqueológico de El Estorbo se encuentra sobre el margen oriental del golfo de Urabá, en frente de la desembocadura del río Atrato y aproximadamente a 2 km. del mar. El área arqueológica comprende el curso de la quebrada El Estorbo. El Estorbo I es una terraza dividida en dos niveles por un cambio brusco de pendiente. En la parte baja afectada por las inundaciones y cambios de curso de la quebrada se encuentra un basurero formado por varios estratos de arcilla negra y conchas (…) La disposición de las basuras, sobre la pendiente que da a la parte baja, indica que estas fueron arrojadas desde la parte alta donde debieron ubicarse las viviendas.

El sitio Estorbo II presenta las mismas características de la parte alta de El Estorbo I, y se trata de una misma terraza cortada por la quebrada. Se encuentra también un piso de conchas debajo del estrato superficial de arcilla negra. No se hallaron basureros, y es posible que hayan sido arrastrados por la quebrada, ya que ésta erosionó parcialmente la terraza (…)

Durante la segunda campaña se hallaron también varios entierros en el Estorbo I y II. En el corte IV realizado en la parte alta de El Estorbo I se encontró, entre los 27 y 40 cms. un entierro secundario, ya que los huesos no presentaban ninguna relación anatómica. Además del entierro ya mencionado en el corte II del Estorbo I, asociado al estrato superior de conchas, se halló en este mismo estrato, pero en el corte V o perfil de la quebrada, un entierro con el esqueleto en posición decúbito dorsal y los miembros flexionados, y con una orientación sur norte y el extremo craneal hacia el sur.

La cerámica representa la mayor parte de las evidencias obtenidas en las excavaciones del sitio de El Estorbo y en las recolecciones superficiales y de perfiles del mismo sitio y de otros sitios explorados en la región del golfo de Urabá, en su mayoría fragmentos de vasijas que fueron arrojadas en los basureros y alrededores de las viviendas

Al ordenarse la cerámica fina y burda (tiesto molido) de acuerdo a la cronología relativa, se observó que sus comportamientos coinciden en buena parte con los comportamientos del desgrasante de arena y tiesto molido respectivamente, aunque se presentan desviaciones, como la cerámica blanca, clasificada como cerámica fina, que no debería presentar presenta desgrasante de tiesto, y lo ´presenta, y porque ocasionalmente se observan fragmentos de cerámica burda sin desgrasante de tiesto molido (Santos, 1987, p.39-42).

Digitalización, Biblioteca Especializada Alicia Dussán de Reichel. ICANH

Hasta aquí, se presentan antecedentes y conceptos específicos, que permiten contextualizar y plantear algunas hipótesis de carácter local, con implicaciones regionales que intentan dar cuenta de los datos presentados en este estudio y sus conclusiones.

2.1 Antecedentes etnohistóricos e históricos de Uramita y Cañasgordas

A continuación, se presenta una aproximación a algunas fuentes primarias y secundarias, interesantes para encaminar la reflexión histórica y etnohistórica que pretendemos en este apartado, a cerca de como los procesos históricos configuran los territorios, sus fronteras y límites jurisdiccionales (Pérez, 2012).

Para el geógrafo James Parsons (1967) y para el historiador Roger Brew (2000), el resguardo de San Carlos de Cañasgordas fue un impedimento para la colonización tal y como la tenían pensada los ejecutores de la misma, debido a que la presencia indígena fue relacionada con la inseguridad y el efecto de esta en la desvalorización de la tierra, la configuración de esta idea de lo indígena, de los representantes de lo público, de las autoridades municipales, y de quienes habitaban en la zona durante el Siglo XX, se puede analizar a partir de lo planteado por María Teresa Uribe (1990), respecto a la forma en la que se instituye la idea de lo indígena como

otredad, desde la mirada del poder público y la iglesia, ante esto, los indígenas resistieron buscando sobrevivir a un contexto hostil, que negaba la existencia de un mundo simbólico y material diferente al que llego a imponer la empresa conquistadora y colonizadora. Debido a esto, Pérez (2012, 16) plantea entender el resguardo como un "territorio de frontera", que permite entender las decisiones que se tomaron sobre la configuración social del espacio.

En el período denominado la Colonia, el resguardo significó una forma de sustentar a la mano de obra indígena, eran territorios que se "cedían" a los nativos y suponían cierta propiedad, pero que seguían perteneciendo en últimas a la Corona: "fueron las tierras concedidas a los vencidos para preservarlos como fuerza de trabajo, lo cual, aun en las duras condiciones a las que fueron sometidos, sirvió como base de autonomía y supervivencia para muchas de las sociedades indígenas que llegaron hasta el presente" (Pérez, 2012, 17). La historia de los resguardos no ha sido uniforme, en el Siglo XVIII, con la proclamación de las leyes borbónicas, se propuso disolver los cabildos en todo el Nuevo Reino de Granada, pero el oidor Juan Antonio Mon y Velarde, abogó para que no fuera así, al menos para mantenerlos funcionalmente, además, en 1776 se fundó por parte del Gobernador don Francisco Silvestre el sitio de indios de Cañasgordas que sirviera como sitio de conexión de comercio entre Chocó y Cartagena. "Esta decisión administrativa era importante, puesto que la ausencia de la Corona al occidente del río Cauca en Antioquia era tal, que la fundación de Cañasgordas se constituyó, al margen de algunas rancherías en el valle de Urrao, en la primera colonización al oeste de la cordillera" (Pérez, 2012, 17). También se debe considerar que según Restrepo (1978), el fiscal del Reino don Francisco Antonio Moreno y Escandón en la conformación jurídica de Cañasgordas a finales del Siglo XVIII, hace evidente el deseo real de reducir los indígenas dispersos entre Chocó y Antioquia, puesto que desde los tiempos de la fundación había indígenas dispersos en el monte cercano al municipio, así lo manifiesta el presbítero Javier Piedrahíta en la Historia Eclesiástica de Antioquia (Salazar, 1994). El resguardo se estableció alrededor de un sitio de indios, contando con 47 indígenas que huían del maltrato en el Chocó (Restrepo, 1978).

Digitalización: Biblioteca Especializada Alicia Dussán de Reichel, ICANH

Rastreando la historia del resguardo también se pueden hallar datos que dan cuenta de patrones culturales de los grupos indígenas que han habitado Cañasgordas en el momento de la repartición de las tierras para conformar los resguardos que legalmente se dio en este municipio entre 1833 y 1840. En las Memorias del secretario de gobierno en 1915, Juan Henrique White, dice que entonces habitaban dos grupos humanos grandes: los descendientes de quienes vivían allí en la llegada de los españoles; y los segundos, fueron los Emberá. (White, 1915)

Los indígenas de Occidente forman dos tribus muy distintas: Los que en 1.800 ocuparon los Resguardos de Buriticá y Arro (hoy Giraldo), y los que habitaban la entonces Parroquia de Cañasgordas. Los primeros son representados por familias civilizadas, como los David, Usuga, Durango, Arias, Higuita, Manco, Góez, Guisao, Graciano, Tuberquia, Borjas, etc., y los de Frontino y Cañasgordas, descendientes de Domicó, Bailarín, Jarupia, Casamá, Jumí, Majoré, Guacirucama, Cuñapa, Naudá, Sapia, Sinigüí. Los primeros eran representantes de los indígenas del tiempo de la Conquista; los segundos de la nación Cuna y que formaron parte de la Misión de los RR. Padres Jesuitas de Curagamba, en el río Bebará, afluente al Atrato (AHA, Impresos, 1915, tomo i1416: 115).

Para Pérez esto significa que "(…) tenemos que mientras los apellidos de los primeros siguen siendo comunes en el occidente de Antioquia, mostrando un mestizaje que ha implicado una hibridación cultural y biológica entre estos indígenas y la sociedad mayor (…) los Emberá, han mantenido un aislamiento y una estricta endogamia étnica que les ha permitido subsistir como pueblo hasta el presente" (2012, 20). Dicho esto, se tiene que los Emberá han sido uno de los grupos humanos influyentes en la historia de Cañasgordas, y el más importante en el resguardo del que venimos hablando.

Los Emberá pertenecen a la familia lingüística Chochó, distribuidos por el Pacífico suramericano desde Panamá hasta el norte de Ecuador; a lo largo del tiempo se han asentado sobre la margen de los ríos, buscando un aislamiento que "ha significado la ubicación de muchos hacia las partes altas de los ríos e incluso la ocupación de zonas montañosas (eyábida —de montaña— y oíbida —de bosques andinos—)" (Pérez, 2012, 20), la principal actividad económica ha sido la caza y la pesca, lo que refiere que son un grupo tendiente al nomadismo, que sólo se asientan para cultivar maíz. No se sabe con exactitud desde qué fecha ocupan este espacio geográfico, pero según un rastreo de los nombres de los ríos a finales del Siglo XIX, la mayor parte de estos se denominan en lengua chocó (White, 1892).

Para Roger Brew (1977), los colonos que poblaron Cañasgordas provenían del Bajo Cauca y Cauca Medio y por la falta de claridad respecto a la propiedad de las tierras, como en Frontino, Dabeiba y Uramita, decidieron constituirse como un circuito cerrado para la tenencia de la tierra. Por su parte, los indígenas de Cañasgordas en 1852 se encontraban azotados por la presión de los colonos que sistemáticamente se iban apropiando de sus tierras, que al encontrarse sobre la cordillera occidental son tierras fértiles para el cultivo del maíz. Este antecedente marcó un quiebre en las relaciones de los indígenas del municipio con el Estado, estos resistieron colonizando selvas, teniendo un patrón de movilidad territorial sobre los ríos, lo que permitió la supervivencia de su identidad cultural, Como es el caso de la movilidad constante documentada en los escritos de "la madre Laura", como un impedimento para la evangelización (Pérez, 2012).

Digitalización, Biblioteca Especializada Alicia Dussán de Reichel ICANH

Por otra parte, desde un plano más general, vale la pena resaltar un proyecto que se pensó a gran escala para unir los departamentos del sur del país con la costa Atlántica, el denominado Ferrocarril Troncal de Occidente, que se pretendía construir con el dinero de la indemnización por la pérdida de Panamá, pero el proyecto nunca alcanzó a realizarse en su totalidad, aunque la idea de una salida al mar por el occidente antioqueño no quedó de lado

<<La ilusión de salida al mar por el occidente se promovió desde los dos extremos: desde Medellín, las voces de Gonzalo Mejía, Jesús Tobón Quintero y otros líderes cívicos explicaban la urgencia de salir al mar por carretera hacia el golfo de Urabá. Mientras tanto, desde esa región, el prefecto apostólico José J. Arteaga hacía lo propio y predicaba las bondades que para la sociedad antioqueña tendría la conquista del Darién. Fue un movimiento ciudadano sin precedentes: en todas partes se discutían las bondades o las dificultades de la carretera; en las escuelas, antes de iniciar las clases, se entonaba el himno de la carretera: "Se alegra la montaña con rítmico cantar/ sigamos cual leones con el progreso al mar… al mar">> (Gobernación de Antioquia, 2014, 17).

Es así como en junio de 1926 se inició la construcción de la vía al mar, con un concurrido acto inaugural en el sector de Robledo (Gobernación de Antioquia, 2014, 18). La obra pretendía unir a Medellín con el Golfo de Urabá en el mar Caribe, para tener otra alternativa que no fuera por el río Magdalena. En lo que respecta al boquerón de San Cristóbal y Dabeiba, la firma que estuvo a cargo fue R.W. Hebard, en una extensión de 173 kilómetros, que avanzó rápidamente los primeros años hasta llegar a Cañasgordas, viéndose afectado el proceso de la obra por la crisis económica de los años 30 , y pasaron casi treinta años para que la obra llegara a las aguas del Golfo de Urabá y en enero de 1955, el general Gustavo Rojas Pinilla inauguró oficialmente la Carretera al Mar, declarándose en este caso el triunfo de las carreteras por encima de los ferrocarriles (Gobernación de Antioquia, 2014, 18).

De lo anterior, es evidente el impulso que significó este proyecto en el occidente antioqueño para los habitantes, en él tenían puestas las ilusiones del "porvenir" -llegándose inclusive a denominar como "la salvación de Antioquia"- y se veía como una apuesta directa por el desarrollo económico de la región, esto se puede observar en fragmentos como el siguiente:

> Hay obras para los pueblos conscientes de su destino y de su porvenir, cuyo valor no se mide con millones de pesos; ante ellas se debe perder el sentido de la cantidad monetaria. Y el pueblo de la dura cerviz construirá la carretera al mar, cuéstele lo que le costare y salga de donde saliere el dinero, pero lo hará irrevocablemente. Esa es y será la consigna de todo antioqueño que sienta todavía el impulso racial. Si el ferrocarril de Antioquia, que terminamos, cada traviesa representa una víctima, nada importa que en la carretera al mar cada kilómetro represente decenas de miles de pesos, si, después de construida, el porvenir es nuestro. (Restrepo, 1930, 13).

Digitalización, Biblioteca Especializada Alicia Dussán de Reichel ICANH

Sin embargo, la Carretera al Mar también fue una preocupación para las autoridades locales, según el gobernador Pedro María Botero,

> Además de las vías de comunicación que facilitan la entrada de individuos perjudiciales, hay otras que sirven a los criminales para obtener su impunidad, como son las carreteras troncales del Norte y del Occidente o carretera al Mar, pues por ellas se ponen rápidamente fuera del alcance de las autoridades, internándose en regiones vastísima y casi vírgenes, donde hacen perder su rastro a los perseguidores. (Ramírez, 2014, 143).

Es evidente cómo esta apertura y conexión al mar significó un cambio en ciertos patrones culturales, puesto que la industrialización de la región creció y con ella la migración del campo a la ciudad también cambió los niveles de densidad poblacional, teniendo en cuenta que los lugares de tránsito entre el mar y la ciudad de destino -que por lo general era Medellín- también se vieron impactados por el flujo de pasajeros que se detenían y movieron sectores ligados con el turismo, con la recreación o con los considerados problemas sociales para la administración departamental y local.

Es importante mencionar, que después del proyecto anteriormente mencionado, la situación de las vías de comunicación y la construcción de caminos y carreteras no se ha resuelto. En un

comunicado del secretario de Gobierno Departamental en 1946 se manifiesta la siguiente inquietud:

> A esta Colonia solo llega la única vía de comunicación con el centro del departamento, o sea: la que partiendo de Uramita (Dabeiba), pasa por Peque, saliendo a encontrarse con esta, la que viene de Ituango, más o menos a cinco leguas de distancia de este lugar. Son, pues, éstas Peque e Ituango las dos poblaciones más inmediatas, distando cada una de ellas más o menos unas once leguas de mal camino, de esta Colonia. Son estas vías departamentales que se mantienen en el más completo abandono, y que las Juntas de Caminos de Peque e Ituango, no están en condiciones por sus pequeños presupuestos para este renglón, de mantenerlas siquiera trochadas. Debido a estos malos caminos, es el motivo para que los artículos de primera necesidad salgan tan caros, pues el flete de una carga de 8 arrobas se recarga en su costo original digamos en Ituango, $8.00 que vale su transporte a esta Colonia. (González, 1964, 107).

Dicho esto, Ramírez (2014) acierta al decir que el proyecto de la carretera al mar no sigue abierto, puesto que la conexión de Medellín con el Golfo de Urabá, a la salida del mar Caribe, no es suficiente -ni eficiente- para brindarle al departamento una salida distinta a la del río Magdalena.

2.2 Antecedentes Etnohistóricos Urabá

Digitalización: Biblioteca Especializada Alicia Dussán de Reichel. ICANH

Una primera referencia es la obra de Liborio Zerda, quien expresa en su trabajo El Dorado, que la cordillera de Frontino fue una de las áreas de las que más se extrajeron objetos precolombinos de oro, además de que registra la existencia de diversos túmulos funerarios en el Zenú y Frontino (Zerda, 1883).

Por otra parte, en el golfo de Urabá se inició la conquista española de tierra firme. Allí se estableció el primer asentamiento español en el continente americano, el cual sirvió de base para las exploraciones y el descubrimiento del mar del Sur, así como para la conquista de Panamá, lo cual facilitó la exploración y la conquista de otros territorios, siguiendo las costas del océano Pacífico hacia Costa Rica y Nicaragua y, posteriormente, hacia Perú. El segundo asentamiento español en el golfo fue también un punto estratégico para las entradas y para la conquista del Occidente colombiano, especialmente del valle del río Cauca. Este es el motivo por el que las crónicas conceden especial interés a los acontecimientos de la conquista que ocurrieron en el golfo de Urabá, y en ellas se encuentran algunas referencias importantes sobre la región y sobre los indígenas que la habitaban. Con la expedición de Pedrarias, llegó a América Gonzalo Fernández de Oviedo y Valdés, primer cronista del continente americano, quien vivió varios años en Santa María siendo veedor real de las fundiciones de oro. Oviedo tuvo a su cargo repartimientos de indígenas en Darién, dedicados a la explotación del oro de aluvión.

Según Santos, citando a Francisco Duque, en 1621 el golfo de Urabá estaba sin conquistar similar a los primeros tiempos de la llegada al golfo, aunque los grupos indígenas que habían resistido la dominación española debieron haber sufrido procesos de desintegración, migración, reorganización e, incluso, de asimilación de unos a otros. Simón señala que en 1591, San

Sebastián era un poblado indígena, llamando a los habitantes de la margen oriental del golfo como Urabaes.

Sin embargo, las crónicas de la conquista no precisan las diferencias o las afinidades culturales o lingüísticas de los indígenas que habitaban la región del golfo de Urabá. Sin embargo, algunas referencias desiguales en la descripción de uno u otro grupo indígena —en la mayoría de los casos dispersos y fragmentarios—, permiten distinguir al menos dos grandes grupos: los Cueva, en la margen occidental, y los Urabaes en la margen oriental.

Según esto, la distinción que se establece entre Cueva y Caribes no es muy clara para rastrear cuáles eran los grupos étnicos que habitaban el golfo de Urabá, ya que mientras los indígenas Cueva son distinguidos lingüísticamente, la particularidad cultural de los indígenas de la margen de Urabá se diluye en su asociación a los grupos Caribes que poblaban las costas e islas conocidas al oriente del golfo. El término Caribe es utilizado por Oviedo inicialmente para referirse a los indígenas que habitaban las islas de Puerto Rico y las Antillas Menores, inicialmente, y luego para referirse a todos los grupos indígenas que utilizaron flechas envenenadas, practicaban el canibalismo y, en general, ofrecían una gran resistencia a la dominación española (Santos, 1987).

Con respecto a los Cueva, el territorio de la provincia y la lengua de Cueva se extendía, según Oviedo, por la vertiente Atlántica de la serranía del Darién, desde la desembocadura del río Atrato (en el golfo de Urabá) hasta la salida al mar del río Chagres (en el lago Gatún, en la actual zona del canal de Panamá), donde comenzaba la provincia de Veragua. Los límites de la provincia de Cueva por la vertiente Pacífica de la serranía del Darién no son claros, y no existen en Oviedo referencias explícitas al respecto. De todas maneras, los territorios mejor conocidos por los españoles durante la gobernación de Castilla de Oro corresponden fundamentalmente a las dos rutas que de Santa María conducían al océano Pacífico y a Panamá (Santos, 1987).

Digitalización, Biblioteca Especializada Alicia Dussán de Reichel. ICANH

Al parecer, los Cueva vivían básicamente de la agricultura. Cultivaban maíz y yuca, principalmente, además de otras plantas. También, según Oviedo, en la provincia de Cueva se hacía chicha de maíz y vinagre. Asimismo, para los cultivos indígenas talaban y quemaban un área determinada y abonaban los suelos con ceniza. El maíz se sembraba abriendo agujeros en el suelo con un palo, introducían los granos previamente puestos en remojo y luego tapaban con el pie. No obstante, según Santos, citando a Oviedo, los Cueva practicaban la pesca y la caza para completar su dieta.

Por otro lado, en Oviedo se menciona que los Cueva elaboraron cestas de tallos de la hoja de bijao. De los caracoles hacían cuentas rojas y coloradas a las que llamaban “chaquira”, con las cuales elaboraban collares y brazaletes que usaban en las muñecas, tobillos y debajo de las rodillas.

De igual forma, Santos expone lo que se refiere a los Urabaes partiendo de las referencias de Cieza de León sobre los indígenas de Urabá, muchos de los cuales decían provenir de la margen del Darién, pero no difieren de las descripciones hechas por Oviedo sobre los Cueva. Los indígenas de Urabá cultivaban el maíz y la yuca, practicaban la caza y la pesca, y estaban organizados en torno a señores y caciques. Sin embargo, en otras crónicas, llaman Acla a la

margen del Darién y Urabá a la margen oriental, esto debido a un gran cacique de este nombre que dominaba toda la costa desde un extremo llamado La Aguada a la entrada del golfo (muy posiblemente Punta Arenas) hasta otra punta bien prolongada llamada Urabaibe (muy posiblemente el actual municipio de Turbo).

Así las cosas, la realización del plan de manejo arqueológico de MAR2 en el corredor vial Cañasgordas-Uramita-Dabeiba-Mutata brinda la posibilidad de preguntarse por la ocurrencia en esta área sin mayor investigación arqueológica y contigua a la amplia dispersión de los túmulos de patrones de enterramiento distintos que podrían ser de manera general indicadores de una mayor complejidad social y/o estarían indicando una clara frontera.

En este punto hay que retomar lo planteado por Piazzini en el estudio del lote La esperanza al analizar las implicaciones del registro arqueológico de dos patrones funerarios discontinuos, que estarían mostrando la transformación y diversidad de los patrones de enterramiento y/o su papel en la configuración de distintos momentos históricos, así mismo precisa en ese sentido que:

> De forma alternativa, podría proponerse una tesis encaminada a identificar en el registro arqueológico dinámicas territoriales precolombinas no necesariamente correspondientes con las grandes unidades culturales y lingüísticas que se han inferido para el mundo indígena del siglo XVI. En esta perspectiva adquieren relevancia las formas de enterramiento, entendidas no sólo como espacios de culto a los difuntos y/o de prácticas ceremoniales, sino también como dispositivos de producción o reproducción de sentidos de lugar, memorias y territorialidades. Ello adquiere mayor relieve en el caso de los túmulos funerarios, dada su visibilidad en el paisaje, lo cual en el caso de Frontino se enfatiza en un patrón de distribución espacial según el cual los cementerios más numerosos, con túmulos más altos y más complejos desde el punto de vista constructivo, se relacionan con una localización prominente sobre las cimas de las cuchillas, siendo visibles de cerca y de lejos, tanto desde los centros locales de mayor concentración de población, como desde puntos distantes de observación ubicados en los numerosos altos y cordilleras que caracterizan el relieve montañoso de la región. A ello se suma la relación que en términos de la memoria colectiva podrían activar estos monumentos funerarios, pues además de hacer parte ellos mismos, como cualquier sepulcro monumental, de un esfuerzo por trascender la finitud de la propia vida de los sujetos, se convertían en referentes de ancestralidad en el dominio de un territorio, hecho de gran valor político que las elites locales han podido capitalizar. (Piazzini, 2009).

Digitalización, Biblioteca Especializada Alicia Dussán de Reichel. ICANH

3. METODOLOGÍA

La metodología implementada busco cumplir el Plan de Manejo Arqueológico aprobado por el ICANH en la AIA # 7231, ordenar los datos de manera que pudieran conversar con los antecedentes pertinentes para el occidente de Antioquia, y adoptar medidas para controlar las afectaciones que las actividades constructivas podrían causar al patrimonio arqueológico.

La primera medida de manejo de la autorización arqueológica No. 7231, es la prospección entre el K1+000 y K1+250. La segunda medida consistía en la prospección intensiva de 25 pozos de sondeo positivos, pero fueron excluidos 14 de estos sitios: los pozos A360, A510 y A505 fueron excluidos por el Adendo 3 del 27 de mayo de 2019, el pozo RS1NR está incluido en la reprospección de la ZAP4-UF2-3. Los pozos 29, 511, 512, 610, 678, 732, 788, N1098, no serán intervenidos por la vía debido a cambios en el diseño, los pozos positivos A471 y A473 son rellenos de escombros, el pozo N1098 está ubicado en una vía con un talud de pendiente muy alta, por ello se determinó no realizar sondeos. Finalmente se realizó la prospección en un área de 40 por 40 metros, en 11 pozos positivos, en cada uno, para un total de 17.600 mts^2.

Para la prospección arqueológica primero se ubicaron los sondeos, esta primera actividad permitió hacer un reconocimiento e inspección visual del sitio para delimitar el área del buffer establecido en la licencia de 40 por 40 metros, una vez identificada el área, se trazaba con una lienza líneas que la cubrían para conformar la malla de sondeos, señalando con estacas cada 5m el punto de ubicación de cada sondeo, además, se georreferenciaba el sondeo.

Digitalización, Biblioteca Especializada Alicia Dussán de Reichel. ICANH

Figura 10

Ubicación de pozos de sondeos



Figura 11

Excavación de pozos de sondeos



Se aplicó un método de muestreo intensivo y sistemático con sondeos de prueba, cuadrados de 40cm, por cada lado, distribuidos en malla o grilla cada 5m entre sondeos. En la prospección arqueológica participaron cuatro arqueólogos, equipados con cámara y GPS para el registro de la información de campo, los sondeos se excavaron con pala plana, con el apoyo de 10 trabajadores, los materiales arqueológicos recuperados se embalaron en bolsas plásticas rotuladas por separado cada 10 cm de profundidad, en los rótulos se consignó el nombre del sitio, el número del pozo, el nivel estratigráfico y el tipo de material cultural.

La tercera medida de manejo fue el salvamento de 13 ZAP (Zonas de Alto Potencial, INERCO), se exceptuaron cuatro pozos de sondeo positivo de la ZAP 4 UF 2-3 de acuerdo con el Adendo 3 de la Autorización 7231, en el cual el ICANH excluyó de esta licencia, las prospecciones intensivas y los cortes en la ZAP 4 de la UF2-3 en los pozos denominados: A722, A726, A728 y N1201. Para implementar el salvamento arqueológico, se realizó como primera medida la prospección intensiva con sondeos cada 5 metros dentro de un buffer de 40 x 40 metros alrededor de 11 pozos de sondeo que fueron positivos en la prospección inicial.

En el Adendo 5, el ICANH aprobó el informe ejecutivo de la prospección y las medidas de manejo arqueológico en los pozos positivos 830, 882 de la UF1 y A622, A618, N1074, RS1NC de la UF 2-3. Y en el Adendo 8 se aprobaron las medidas de manejo del pozo 847. Se realizaron 28 cortes estratigráficos que suman 164 mts^2 excavados y estos 28 sitios arqueológicos suman un área de 73.424 mts^2.

Los cortes estratigráficos se ubican al lado del pozo con mayor número de materiales arqueológicos en la prospección y mayor complejidad estratigráfica. Una vez escogido el sitio, se toma el punto cero, punto más alto de la superficie donde se hará el corte estratigráfico, a partir del cual se nivelan las cuerdas de las cuadriculas, y se dibuja la micro-topografía del área del corte, los cortes se hacen con palustres y niveles arbitrarios de 5cm, hasta llegar al suelo culturalmente estéril y son divididos en cuadrículas de un metro. La excavación se realiza siguiendo la inclinación del terreno, buscando detallar la forma en que se encuentran los materiales sin causar el menor daño posible a los mismos. Luego se realiza el trazado, dibujo y lectura estratigráfica de los perfiles de suelo del corte de excavación, para finalmente cerrarlo.

Digitalización y Biblioteca Especializada Alicia Dussán de Reichel. ICANH

Figura 12

Montaje corte de excavación



Figura 13

Planta nivel 1(0-5cm)



La cuarta medida de manejo consiste en el monitoreo arqueológico, que según la Autorización de Intervención Arqueológica 7231, debe llevarse a cabo en la totalidad del trazado de las cuatro Unidades Funcionales, sin embargo, en el Adendo 3 de esta licencia, se excluyó el monitoreo arqueológico de las Unidades Funcionales 2, 3 y 4 de forma permanente en la totalidad de obras que impliquen remoción de suelos y el monitoreo de 700 metros de la UF1 desde el K29+917.14 al K30+704.89.

Figura 14

Monitoreo K15+460-UF2-3



Figura 15

Cerámica monitoreo



Después de la exclusión, el monitoreo arqueológico fue realizado en la UF1 de la vía MAR2 en un tramo de 30 km, en todas las obras de construcción y adecuación que implicaron remoción de suelo, también se realizaron charlas de capacitación sobre patrimonio arqueológico a todo el personal del proyecto.

Durante el trabajo también se realizó el programa de arqueología pública y divulgación. En asocio con las comunidades, el sector educativo y las autoridades municipales se desarrolló el proyecto “Cañas Discover” y “Radio Unión”, con un conjunto de 23 estudiantes que forman el grupo base de divulgación, con quienes desarrollamos labores de reportería en el casco urbano creando contenidos radiales, realizando entrevistas a vecinos, historiadores locales y personajes que son reconocidos en la zona.

Digitalización. Biblioteca Especializada Alicia Dussán de Reichel. ICANH

Figura 16

Entrevistas en torno al hallazgo fortuito del hipogeo de la Esperanza



En el municipio de Uramita se instaló un laboratorio de arqueología donde se desarrollaron labores de conteo, lavado y embalaje preliminar de todos los materiales arqueológicos (cerámica, líticos, macrorestos y suelos) recuperados en las excavaciones y prospecciones arqueológicas realizadas. El procesamiento del material cerámico también incluyó la marcación, sistematización y dibujo de las materialidades con el fin de tener un inventario total de las evidencias cerámicas.

Figura 17

Dibujo de fragmentos cerámicos



Seguido de esto, se diseñaron y alimentaron bases de datos cuantitativas con el fin de observar, analizar y atribuir una cronología relativa a las materialidades recolectadas durante las labores de campo. Para ello, se seleccionaron atributos tecnológicos tales como, tipo desgrasante, grado y atmosfera de cocción, acabados de superficie, tipo de estructura, color y grosor de pasta. Así mismo se registraron formas de utensilios, técnicas decorativas y motivos iconográficos registrados sobre el material alfarero. Todo ello con el fin de registrar e identificar discontinuidades en la producción alfarera de esta zona puntual. Se realizó un análisis petrográfico de la cerámica en 15 muestras con el fin de conocer aspectos del proceso productivo de la cerámica.

Digitalización Biblioteca Especializada Alicia Dussán de Reichel. ICANH

Los sitios arqueológicos y número de muestreo, suministran información del contexto en que se hallaron las muestras; el nivel estratigráfico determina la secuencia de los artefactos; mientras que las variables como color de pasta, composición, acabado de superficie interno y externo, técnica de elaboración y cocción, nos aproximan a las técnicas de manufactura; diferenciando así cada tipo cerámico de acuerdo a estas variables, permite el establecimiento de diferencias en la producción alfarera que remitan a discontinuidades cronológicas.

Se emplearon para la clasificación de los materiales cerámicos recuperados, cinco categorías de análisis: información contextual, rasgos tecnológicos, rasgos funcionales, rasgos morfológicos y rasgos estilísticos, estos permiten identificar posibles tipologías cerámicas y comprender la producción alfarera, recuperada en los sitios arqueológicos reseñados durante el proyecto Mar 2, además de la posibilidad de contrastar los hallazgos con los registros anteriores en la región. Igualmente, mediante el desarrollo de esta matriz se espera cuantificar y cualificar el registro material con el fin de administrar los datos y las piezas para tener acceso inmediato a sus características y ubicación espacial en terreno y en el inventario de cultura material hallado durante todo el desarrollo del proyecto.

Información contextual: En este apartado se consignan los datos de recuperación del material cerámico; de allí que mediante estos se pueda asociar cada uno de los registros a una unidad geomorfológica, una intervención arqueológica y su posición estratigráfica en el momento de la deposición de los contextos de excavación o recuperación de cultura material.

Figura 18
Información contextual

INFORMACION CONTEXTUAL	**Consecutivo**
	Yacimiento Arqueológico
	Unidad Funcional
	Fase
	Unidad de recuperación
	Número de muestreo
	Cuadrícula
	Nivel

Rasgos tecnológicos: El interés de este apartado recae en la observación de las características que han impreso el fuego y las manos en la arcilla, así como definir un utillaje asociado a la producción alfarera; la información cromática de los cortes transversales de las piezas ofrecen información acerca del ambiente en el cual fueron cocidas bien sea oxidante o reductor; atmósferas reductoras tenderían a generar pastas de tipo oscuro (gris-negro), vasijas cocidas en atmósferas oxidantes tenderían a generar tonalidades anaranjado-rojizas o claras, mientras que atmósferas mixtas generarían contrastes cromáticos en las piezas (Sheppard, 1964; García y Calvo, 2006).

Digitalización Biblioteca Especializada Alicia Dussán de Reichel. ICANH

Figura 19
Rasgos tecnológicos

RASGOS TECNOLÓGICOS	**Pasta**	**Color pasta**
		Desgrasante
		Atmosfera de cocción
		Grado de cocción
		Espesor pasta
		Estructura
	Técnica de Manufactura	
	Tratamiento de Superficie	**Acabado superficie interna**
		Acabado superficie externa
		Engobe Interno
		Engobe externo

La coloración de superficie permite inferir las estructuras asociadas a su producción, los colores se presentan en la pasta como huellas iniciales de la inversión laboral a la hora de la quema de la arcilla; las inclusiones o desgrasante, han sido una variable tomada como característica para

definir tipos cerámicos, para los alfareros se convierten en una elección premeditada o bien como consecuencia de una selección arbitraria por el bajo tratamiento de la greda antes de producir los objetos, pues coloraciones oscuras dan a entender aparición de elementos orgánicos que no fueron retirados de la fuente de aprovisionamiento y la porosidad evidencia el amasado o tratamiento previo de la arcilla (Sheppard, 1964); en Vasco, 1987 y Osborn, 1979 resalta la importancia entre los Embera Chamí y los Tunebo, en este estado de la producción alfarera pues las fuentes de aprovisionamiento de común acuerdo entre la comunidad pertenecen a determinadas familias y no toda arcilla es susceptible de ser usada para crear sus vasijas, sin embargo es también este tipo de inclusiones y tratamiento de la arcilla una decisión objetiva por parte de los alfareros, el uso del tamaño, y su cantidad con respecto a la arcilla supone así características de refracción, resistencia y flexibilidad o resistencia mecánica de las piezas ya terminadas, además que supone reducción en los tiempos de cocción, pues aceleran la pérdida de humedad de la arcilla al contar con niveles inferiores de transformación bajo el fuego. Las inclusiones permiten así mismo corroborar las materias primas asociadas a cercanías del yacimiento o bien el uso de materiales foráneos indicativos de intercambios o relaciones regionales de amplio espectro.

La manufactura de las piezas habla de la pericia o la estandarización del trabajo de los alfareros; la tarea de realizar las vasijas indica una forma de hacer-ser, característica del estilo alfarero y que se comparte en el saber tecnológico con sus pares; así mismo definir la elección del alisado o el baño para una pieza, así como el pulido o el bruñido determina elecciones de los alfareros que se podrán asociar no a sus gustos, sino a las necesidades de funcionamiento de las piezas; pues aquellas pulidas en términos generales presentan un menor grado de permeabilidad y de allí el posible uso doméstico para el almacenamiento de alimentos o la fermentación de bebidas.

Digitalización Biblioteca Especializada Alicia Dussán de Reichel, ICANH

Estas variables como mencionamos hacen parte de elecciones objetivas o premeditadas de los alfareros, es fundamental comprender que los ellos sabían qué era lo que estaban produciendo, y tenían una finalidad para cada una de sus producciones, a pesar de que sea la literatura arqueológica la que defina la alfarería que se produce a partir del siglo XIII como burda, simple, tosca o pobre.

Rasgos funcionales: La búsqueda por la función va destinada a inferir la posible presencia de material agregado en superficie, como hollín o ahumados, así como la pérdida de material, asociada a la abrasión por el constante trajinar de las piezas o la mecánica a la que se veían obligadas las cuando fueron objetos que hacían parte del utillaje cotidiano. Estas huellas de uso que restan material a las piezas son de compleja observación o inferencia, debido a que se cruzan con los efectos posdeposicionales del yacimiento, el cual asentado en una región en la que los suelos son arenosos y permeables por el agua, procuran la erosión de las superficies complicando el registro.

Figura 20
Rasgos funcionales

RASGOS FUNCIONALES	HUELLAS DE USO	Tipo
		Ubicación

Rasgos morfológicos: En este apartado se decide especificar la forma de cada una de las piezas registradas, siguiendo las definiciones del "Glosario terminológico para el estudio de las cerámicas arqueológicas" de César M. Heras y Martínez (1992) y el Glosario para la documentación cerámica creado por el Fondo de Promoción de la Cultura y el Banco Popular (1993).

Figura 21
Rasgos morfológicos

<table>
<tr><td rowspan="7">RASGOS MORFOLÓGICOS</td><td colspan="2">Parte de fragmento</td></tr>
<tr><td colspan="2">Tamaño</td></tr>
<tr><td rowspan="3">Bordes</td><td>Forma de borde</td></tr>
<tr><td>Diámetro</td></tr>
<tr><td>Forma labio</td></tr>
<tr><td colspan="2">Dirección</td></tr>
<tr><td colspan="2">Forma de utensilio</td></tr>
<tr><td colspan="2">Forma base</td></tr>
<tr><td colspan="2"></td></tr>
</table>

Digitalización, Biblioteca Especializada Alicia Dussán de Reichel. ICANH

La forma, unida a la función permite crear una imagen de las piezas asociadas a un uso determinado (Chang, 1983), bien fuese para el servicio de alimentos con bocas de diámetros amplios, su conservación o almacenaje a partir de cuellos restringidos; sumado a las medidas permite imaginar el fácil transporte de las piezas, así como la pertinencia en contextos domésticos o cotidianos cuando las piezas no obedecen a una fabricación exclusiva para un contexto fúnebre.

Rasgos estilísticos: El rastreo de las decoraciones y sus técnicas no se reduce a comprender los conjuntos estilísticos en su imagen estética y no procura tampoco un análisis iconográfico o iconológico, sino que ayuda a profundizar en el encuentro con las herramientas y las intenciones de los alfareros a la hora de producir sus objetos; así definir la cualidad de las decoraciones (Ottalagano, 2010), supone a su vez ir definiendo el trabajo invertido en la creación de piezas que eventualmente terminaron en los asentamientos registrados en el proyecto, para definir dispersión de tipos cerámicos (Meggers y Clifford, 1969) o la recurrencia del gesto técnico para la impronta de los diseños registrados.

Figura 22
Rasgos estilísticos

<table>
<tr><td rowspan="4">RASGOS ESTILISTICOS</td><td>Técnica de fabricación</td></tr>
<tr><td>técnica decorativa</td></tr>
<tr><td>Motivo decoración</td></tr>
<tr><td>Ubicación decoración</td></tr>
</table>

Para los artefactos líticos, la base de datos contiene las siguientes variables en la descripción general: Código (corresponde a la identificación de cada individuo), Unidad de Muestreo, Nivel estratigráfico, Materia prima, Detrito, Categorías de Tamaño (corresponde a la longitud máxima, Ancho máximo, Grosor máximo y Peso máximo del artefacto) y Estado del soporte (Completo o incompleto).

La Morfología de desgaste contiene las variables: Forma del desgaste, ubicación del desgaste (ambas caras, lateral o lateral ventral), superficie de desgaste (lisa, rugosa o picada) y por último Brillo (presencia o ausencia).

Se realizó un análisis bioarqueológico al sitio Pozo de sondeo positivo A618 UF2-3 por la doctora Bibiana Cadena Duarte, a partir del análisis de 48 bloques de pedestal, 26 bolsas con restos óseos y dentales, y 11 vasijas que hacían parte del ajuar asociado a los restos óseos procedentes de la tumba encontrada en el sitio arqueológico A618 de Dabeiba, Antioquia. Se enviaron muestras para datación radiocarbónica del nicho funerario, reportándose una antigüedad de 400 ± 30 años BP (Beta - 528426) y 390 ± 30 años BP (Beta- 528425).

Digitalización, Biblioteca Especializada Alicia Dussán de Reichel. ICANH

4. RESULTADOS DE TRABAJO DE CAMPO

La prospección arqueológica se realizó en 11 pozos positivos que definió el plan de manejo aprobado con sus adendos, también se realizó en las 13 ZAP por la reprospección previa a la excavación de los cortes estratigráficos y en el KM1+000 al KM1+250 que también fue definido en el plan de manejo aprobado por la Autorización 7231, en estas prospecciones, 540 sondeos de prueba resultaron positivos, en los cuales se recuperaron 2.381 fragmentos de cerámica y 17 líticos. También fueron recuperados 7 fragmentos de cerámica.

En la medida de salvamento se realizaron 28 cortes estratigráficos para un total de 164 m^2 excavados, en los cuales se recuperaron 6094 fragmentos de cerámica y 79 líticos, adicionalmente, en el salvamento en los pozos positivos 986 fragmentos de cerámica y 56 líticos, más 36 líticos que fueron recuperados de un rasgo. Durante el monitoreo arqueológico se recuperaron 1851 fragmentos de cerámica y 51 líticos y un crisol, en 44 puntos de la vía.

4.1 Actividades de prospección y salvamento en pozos de sondeo positivo

Realizamos la prospección solicitada en la primera medida de manejo de la autorización arqueológica No. 7231, entre el K1+000 al K1+250.

La segunda medida de manejo consistía en la prospección intensiva de 25 pozos de sondeo positivos, sin embargo, en este informe se da cuenta de la prospección de 11 de estos pozos, como se indica en la Tabla 3. Los demás pozos de sondeos positivos no fueron prospectados como se explicó en la metodología.

Digitalización: Biblioteca Especializada Alicia Dussán de Reichel. ICANH

Tabla 3
Resultados de la prospección de los sondeos positivos

Pozos positivos	UF	Medida arqueológica	SP positivo	Cerámica prospección	Líticos prospección
830	UF1	Prospección - Corte	47	127	0
882	UF1	Prospección - Corte	2	2	0
847	UF1	Prospección - Corte	2	5	0
A622	UF 2-3	Prospección - Corte	4	6	0
A618	UF 2-3	Prospección - Corte	14	36	1
N1074	UF 2-3	Prospección - Corte	1	1	0
RS1NC	UF 2-3	Prospección - Corte	2	2	0
576	UF1	Prospección No será intervenido	54	260	5
612	UF1	Prospección No será intervenido	10	26	0
622	UF1	Prospección No será intervenido	5	6	0

Pozos positivos	UF	Medida arqueológica	SP positivo	Cerámica prospección	Líticos prospección
140	UF1	Prospección No será intervenido	11	33	0
		Totales	152	504	6

En la Tabla 4 indica los 7 cortes estratigráficos realizados en pozos de sondeo positivos, que suman 73 mts^2 excavados y fueron recuperados 986 fragmentos de cerámica y 92 objetos líticos como se observa en la Tabla 4.

Tabla 4

Resultados del salvamento en los pozos positivos

Pozos positivos	UF	Tamaño Corte	Cerámica Corte	Líticos
830	UF1	1m x 4m	42	0
882	UF1	2m x 2m	35	2
847	UF1	1m x 4m	**51**	**3**
A622	UF 2-3	1m x 4m	16	0
A618	UF 2-3	10m x 5m	247	53
N1074	UF 2-3	1m x 3m	592	34
RS1NC	UF 2-3	1m x 4m	3	0
		73m^2	986	92

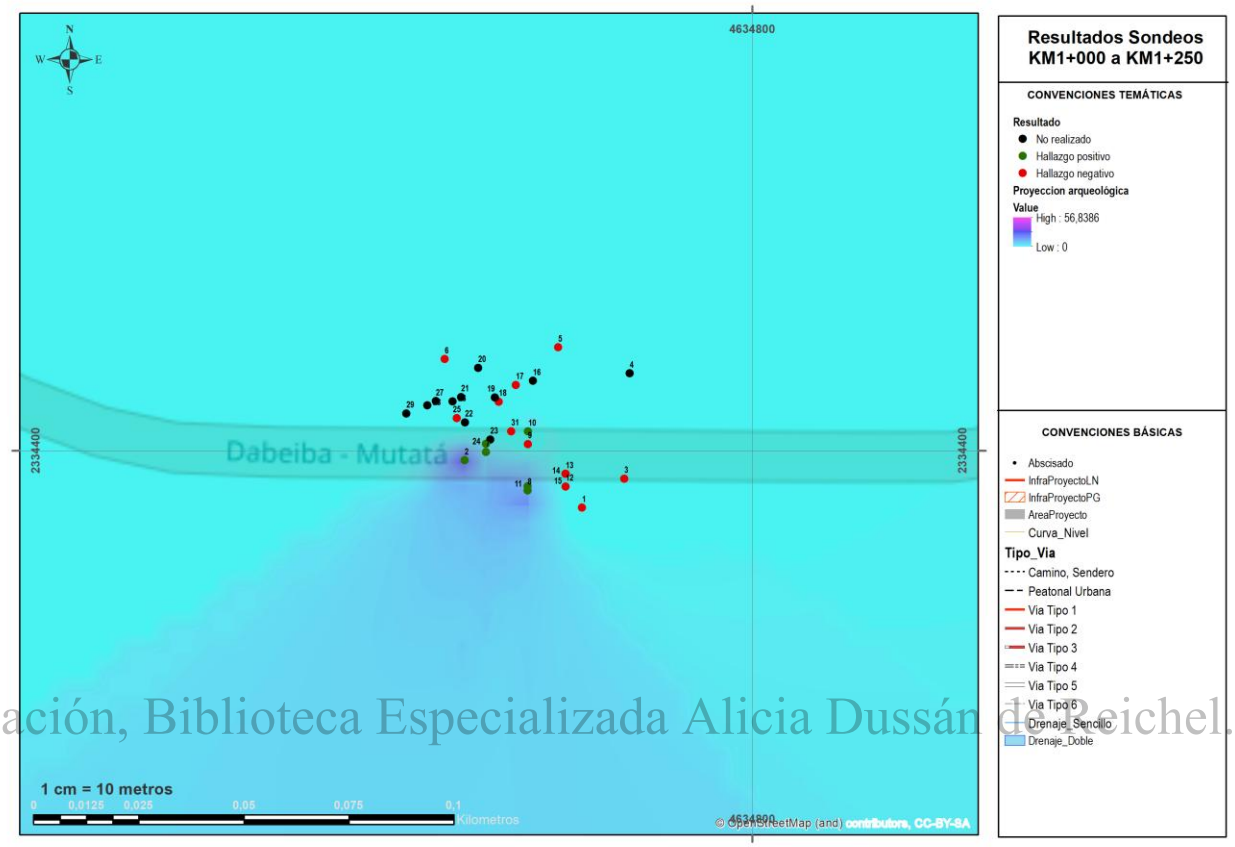
Digitalización, Biblioteca Especializada Alicia Dussán de Reichel. ICANH

4.1.1 K1+000 al K1+250.

Esta prospección se realiza debido a que en principio no se tenía diseños definidos del trazado de la vía por este lugar. La ubicación del tramo se da sobre una curva pronunciada cerca al cañón de la Llorona, en medio de una topografía bastante escarpada. Sin embargo, en un descanso de pendiente donde actualmente se ubica una vivienda, fueron ubicados 6 sondeos de prueba, un sondeo realizado evidenció presencia de material prehispánico, el número 2 con cinco fragmentos cerámicos.

Figura 23

Ubicación de sondeos y resultados en K1+000 a K1+250-UF4

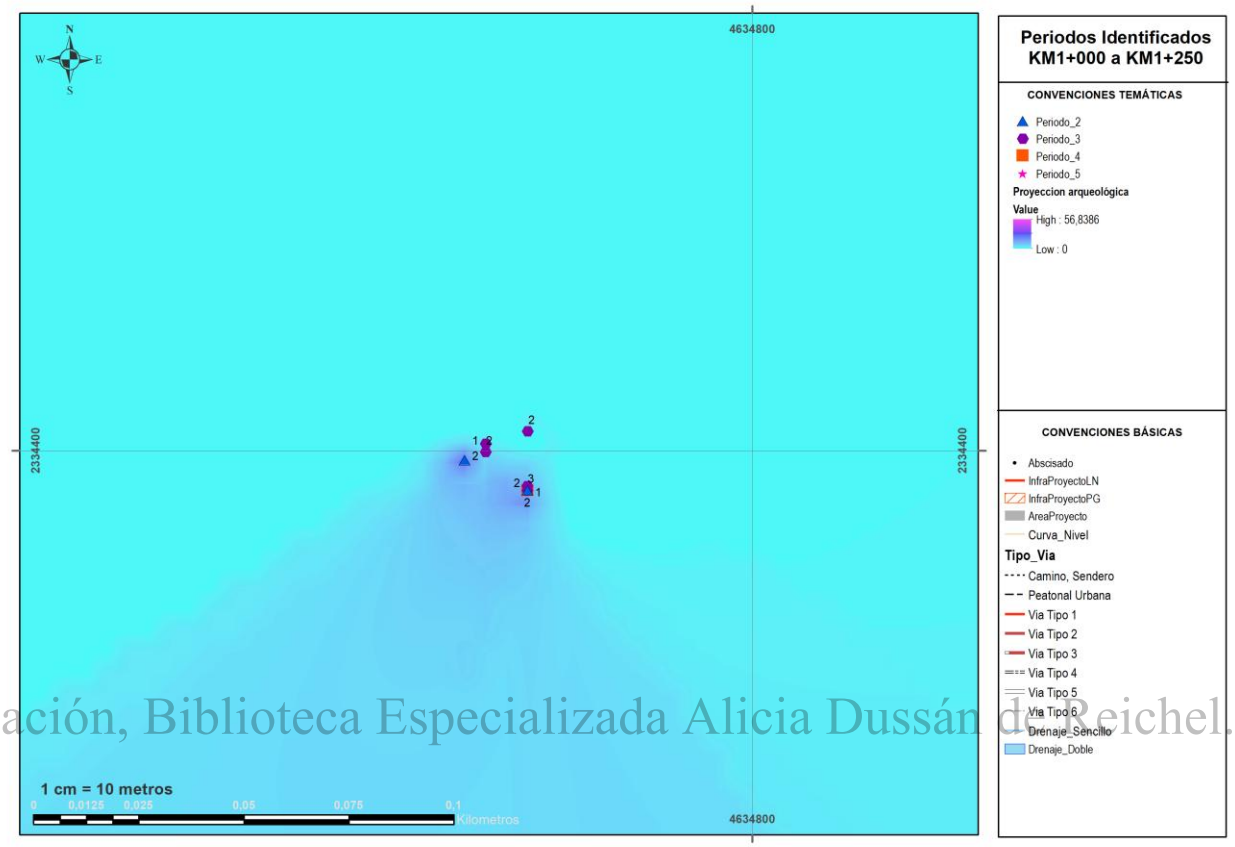


Digitalización, Biblioteca Especializada Alicia Dussán de Reichel. ICANH

Sobre este sondeo positivo se ubicaron 25 sondeos de re-prospección, cada 5 metros en un polígono de 40m². Del total de sondeos realizados, incluyendo la re-prospección, 6 fueron positivos en el K1+150, en los cuales, entre 5 cm y 10 cm de profundidad, hallamos 18 fragmentos de cerámica, que una vez clasificados nos informan que el sitio pudo ser habitado en los períodos 2, 3 y 4.

Figura 24

Mapa de hallazgos de tipos cerámicos por periodo cronológico en K1+000 a K1+250-UF4



Digitalización, Biblioteca Especializada Alicia Dussán de Reichel. ICANH

Estos sondeos en su mayoría quedaron sobre el antejardín y zona de encierro del ganado, área ligeramente plana pero altamente alterada como se evidencia en la excavación y resultados de los sondeos de prueba.

Figura 25
Paisaje del cañón de la Llorona



Figura 26
Sondeo positivo K1+250-UF4



En la re-prospección cinco pozos fueron positivos con material arqueológico, aunque mezclados con material moderno que es evidencia de una alta intervención antrópica reciente en toda la estratratigrafia del yacimiento, el material moderno: plástico, vidrio, adobe, clavos, por tanto, no se realizó corte estratigráfico.

Digitalización, Biblioteca Especializada Alicia Dussán de Reichel. ICANH

Figura 27
Zona de prospección K1+250-UF4



Figura 28
Curva pronunciada, ubicación de sondeo



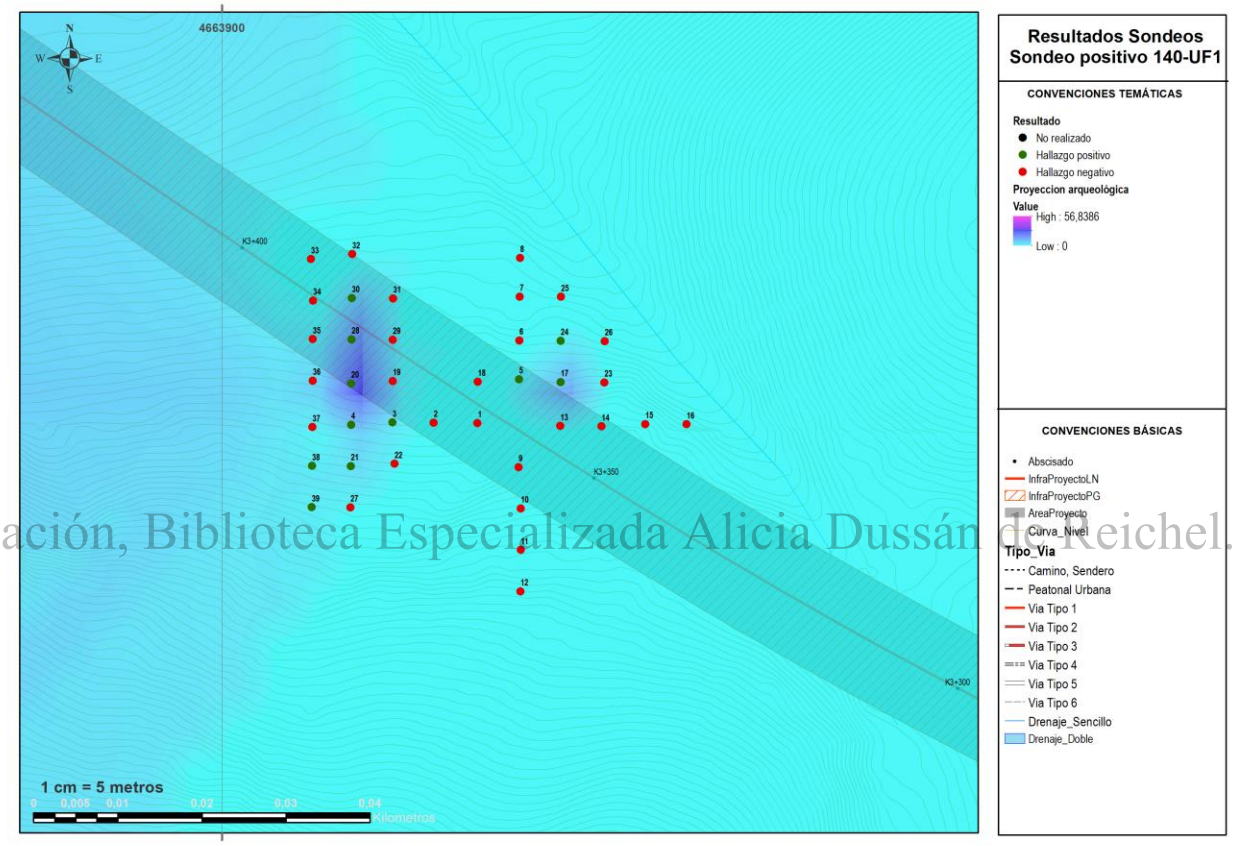
4.1.2 Pozo de sondeo positivo 140 UF1

El yacimiento arqueológico 140 está ubicado en la UF1, vereda Imántago del municipio de Cañasgordas, en la margen izquierda de la actual vía Medellín - Urabá, en el área donde se construirá el túnel 2, en las coordenadas planas X: 1114589,263 – Y: 1240500,739. El área es una ladera de pendiente suave, cubierta de rastrojo bajo y arbustos que no será afectada por las obras civiles para construir la vía Mar 2 de la UF1, dado que el túnel es subterráneo. Por tanto,

en ejecución del plan de manejo arqueológico únicamente se realizó la re-prospección intensiva con sondeos cada 5 metros de la parte superior del túnel a fin de verificar la presencia o no de suelos enterrados, rasgos, estructuras antrópicas o materiales arqueológicos. En total se realizaron 39 sondeos, 11 positivos donde se recuperaron 33 fragmentos cerámicos y 28 sondeos fueron negativos.

Figura 29

Ubicación de sondeos y resultado SP140-UF1



Digitalización, Biblioteca Especializada Alicia Dussán de Reichel. ICANH

Figura 30

Pozo de sondeo positivo 140 UF1



Figura 31

Sondeo 30



Descripción estratigráfica y material cultural

La lectura estratigráfica para este yacimiento arqueológico fue realizada en el sondeo positivo 17 excavado cada 10 cm, donde se recuperaron 6 fragmentos cerámicos, al parecer los materiales recuperados provienen de las zonas planas o asientos que tiene esta ladera más arriba. Al parecer esta área fue ocupada en los periodos 2 y 3 (Piazzini, 2018).

Estrato I*:* corresponde con el estrato inicial de suelo de color 2.5YR 6/8 (rojo claro), textura limo-arcillosa, estructura en bloques sub-angulares finos, suelo plástico, humedad media, limite claro, espesor aproximado de 15cm. Sin presencia de material cultural.

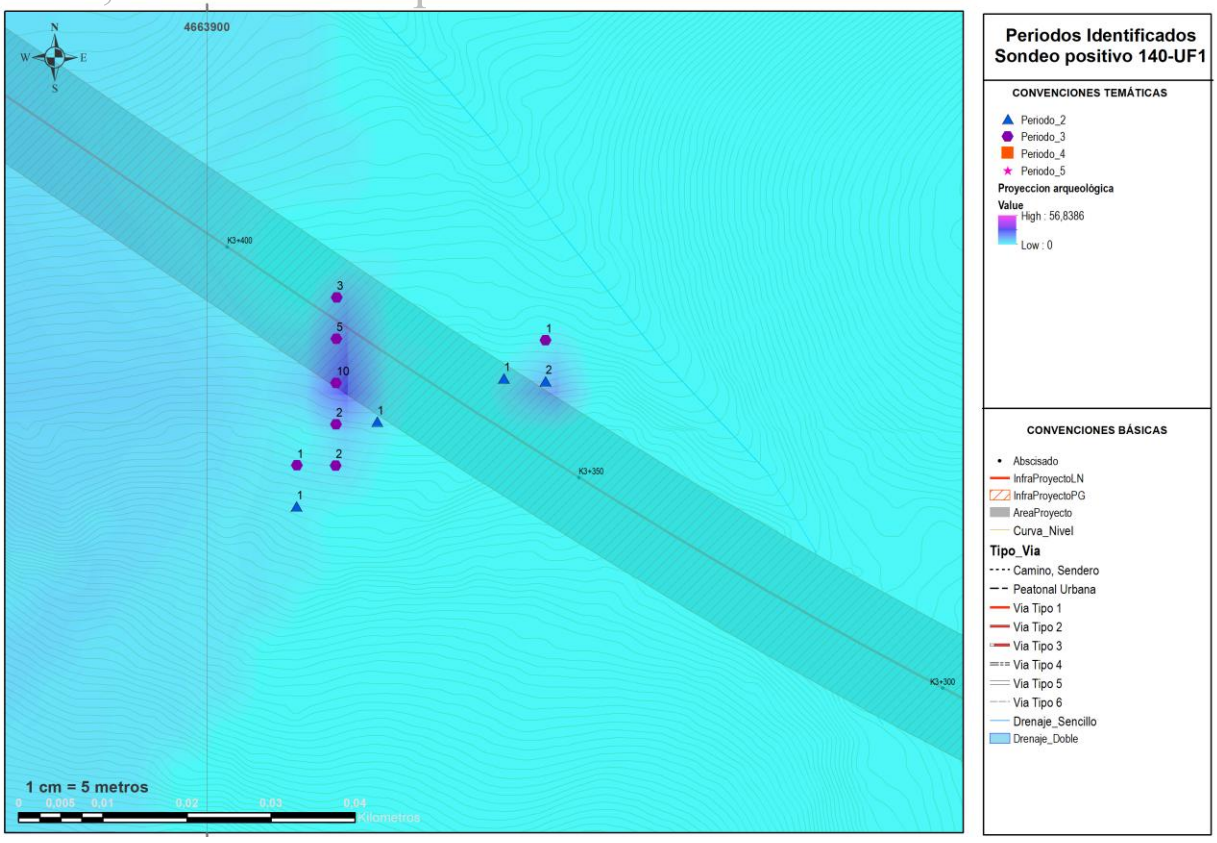
Estrato II**:** corresponde a una matriz de suelo transicional con un espesor promedio de 15cm, con limite definido inferior y superior, de color 2.5YR 6/8 y 2.5YR 4/3 y presencia de materia orgánica, textura franco-arcillosa y estructura en bloques subangulares finos y compactos, humedad media, hay presencia aislada y escasa de raíces finas. En este estrato de suelo no se recuperaron fragmentos cerámicos.

Estrato III: corresponde con la parte superficial de la estratigrafía, tiene color 2.5YR 3/4 (marrón rojizo oscuro), espesor aproximado de 25cm, con textura franca y estructura en bloques subangulares finos friables, abundante actividad biológica y radicular, se hallaron 6 fragmentos cerámicos en este estrato.

Figura 32

Mapa de hallazgos de tipos cerámicos por periodo cronológico en SP140-UF1

Digitalización, Biblioteca Especializada Alicia Dussán de Reichel. ICANH

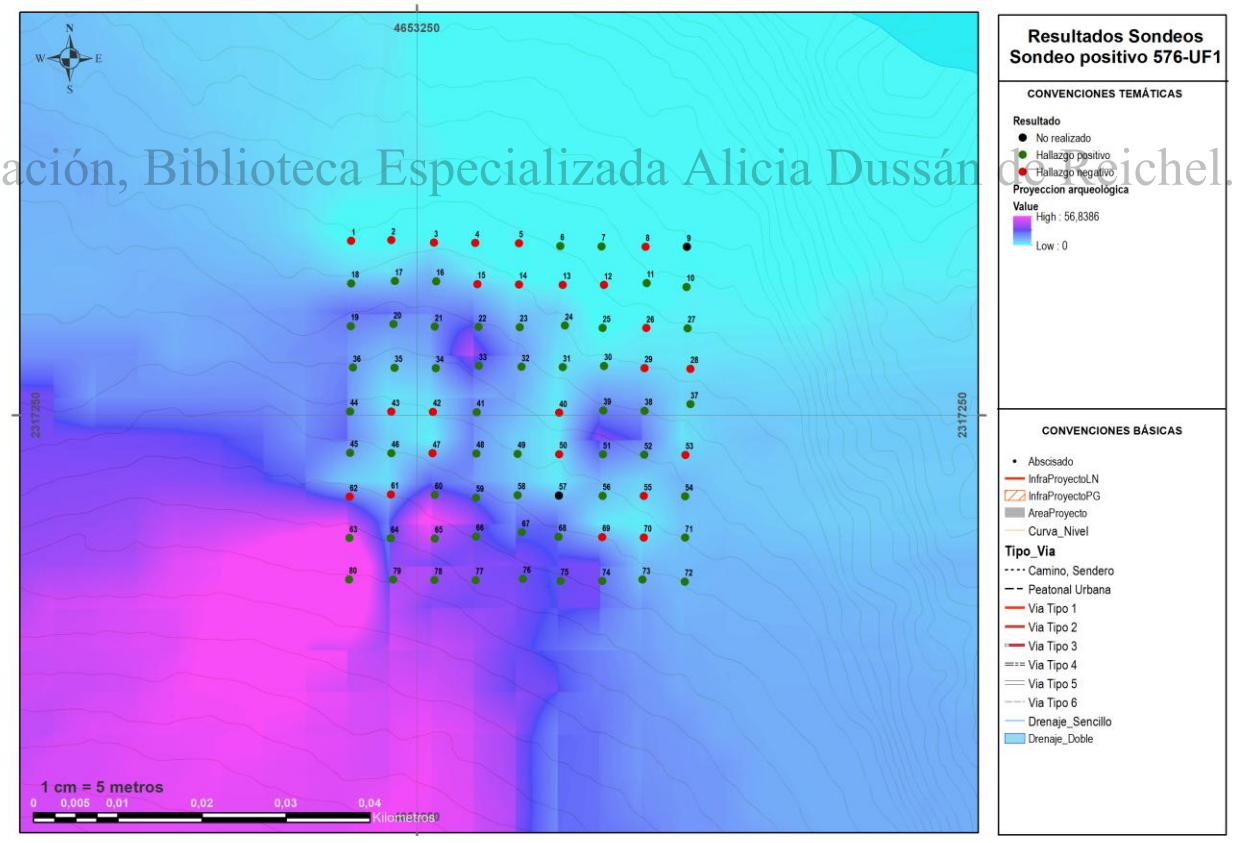


4.1.3 Pozo de sondeo positivo 576 UF1

El sitio está ubicado en la margen izquierda del río Sucio, en jurisdicción del municipio de Uramita, vereda Orobajo, en las coordenadas planas X: 1103835 – Y: 1250541, este polígono de re-prospección corresponde a una terraza coluvio-aluvial baja, cubierta por pasto bajo y árboles grandes frutales y maderables dispersos. En este sitio se proyectaron 80 sondeos de prueba a 5m de distancia cada uno y se realizaron un total de 77 de ellos, los tres restantes no se realizaron debido a que su ubicación se da sobre una zona cenagosa.

La metodología empleada de excavación fue por niveles arbitraros de 10cm, hasta agotar la capa de suelo orgánico con presencia de materiales arqueológicos. El resultado de la intervención arrojó un total de 53 sondeos positivos con presencia de materiales líticos y cerámicos, de ellos tenemos que: 260 corresponden a material cerámico, 129 micro-fragmentos, menores de 2cm, y 9 elementos líticos, de los cuales 5 corresponden a artefactos con huellas de uso en basalto y diorita, y 4 fueron descartados.

Figura 33
Ubicación de sondeos y resultado en SP576-UF1



Digitalización, Biblioteca Especializada Alicia Dussán de Reichel. ICANH

Figura 34
Ubicación sondeos



Figura 35
Pozo de sondeo positivo 576 UF-1



Figura 36
Sondeo 21 positivo



Figura 37
Sondeo 78 positivo



Digitalización ... Reichel. ICANH

Descripción estratigráfica y material cultural

Según los resultados de la clasificación del material cerámico de la reprospección, el área fua ocupada en los periodos 2,3,4 y 5 (Piazzini, 2018). La lectura estratigráfica descrita a continuación fue realizada en una de las caras de un sondeo positivo:

Estrato I*:* corresponde con el estrato inicial del sitio, color 10YR 6/6 (amarillo parduzco), textura limo-arcillosa, estructura en bloques sub-angulares finos, suelo plástico, humedad media, limite claro, espesor aproximado de 5cm. Sin presencia de material cultural. Presencia de cantos angulares y sub-angulares de tamaños medios a grandes.

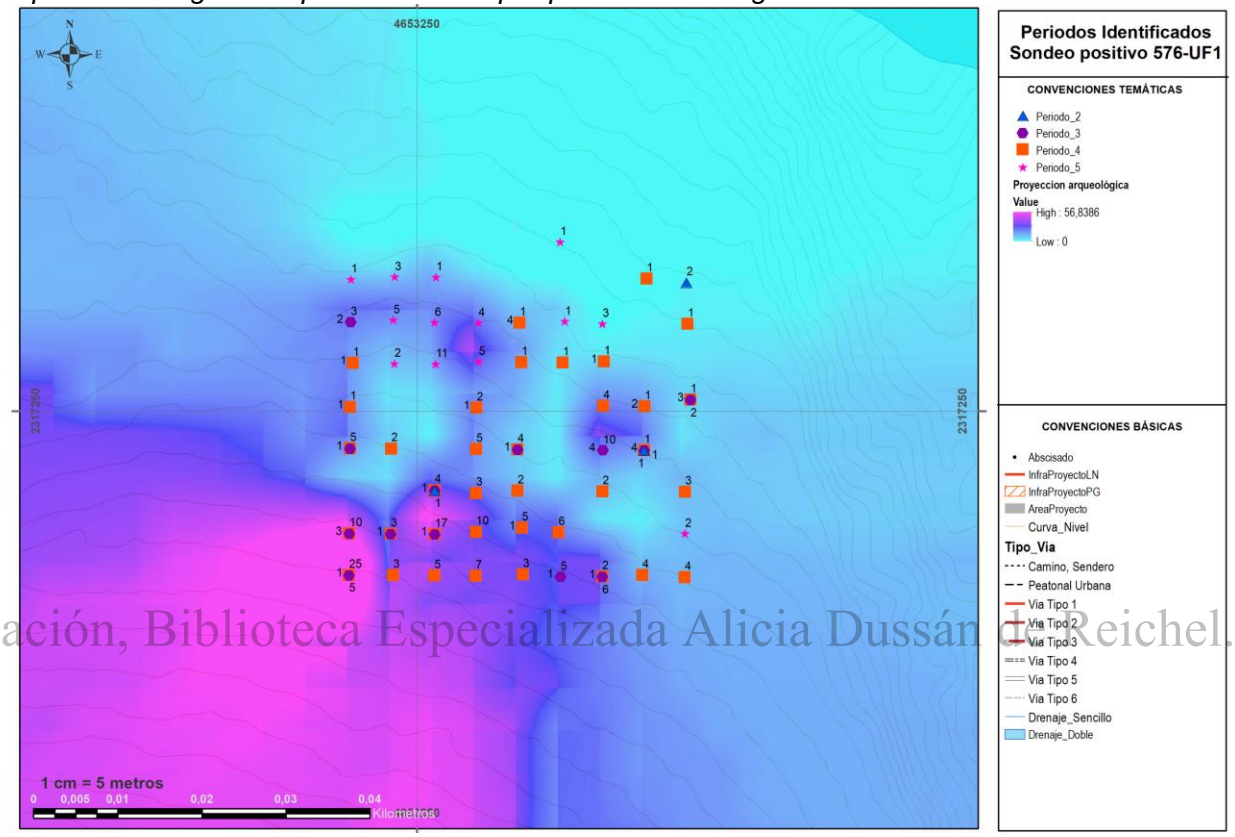
Estrato II**:** corresponde con una matriz de suelo transicional producto de la ganancia o pérdida de materia orgánica, espesor promedio de 20cm, limite lineal claro, color 10YR 5/3, textura franco-arcillosa, estructura en bloques sub-angulares finos fuertes, humedad media. Presencia de raíces finas aisladas y escasas. En este trato de suelo se recuperaron 12 fragmentos cerámicos. Presencia de gravas pequeñas a medias.

Estrato III: corresponde con la parte final y superficial del sitio, color 10YR 3/1 (gris muy oscuro), espesor aproximado de 20cm, textura franca, estructura en bloques sub-angulares finos débiles,

abundante actividad biológica y radicular. Presencia de 248 fragmentos cerámicos en este estrato, 5 artefactos líticos, tres en basalto y uno en diorita, perteneciente a mano de moler y raedera, más un golpeador en basalto incompleto.

Figura 38

Mapa de hallazgos de tipos cerámicos por periodo cronológico en SP576-UF1



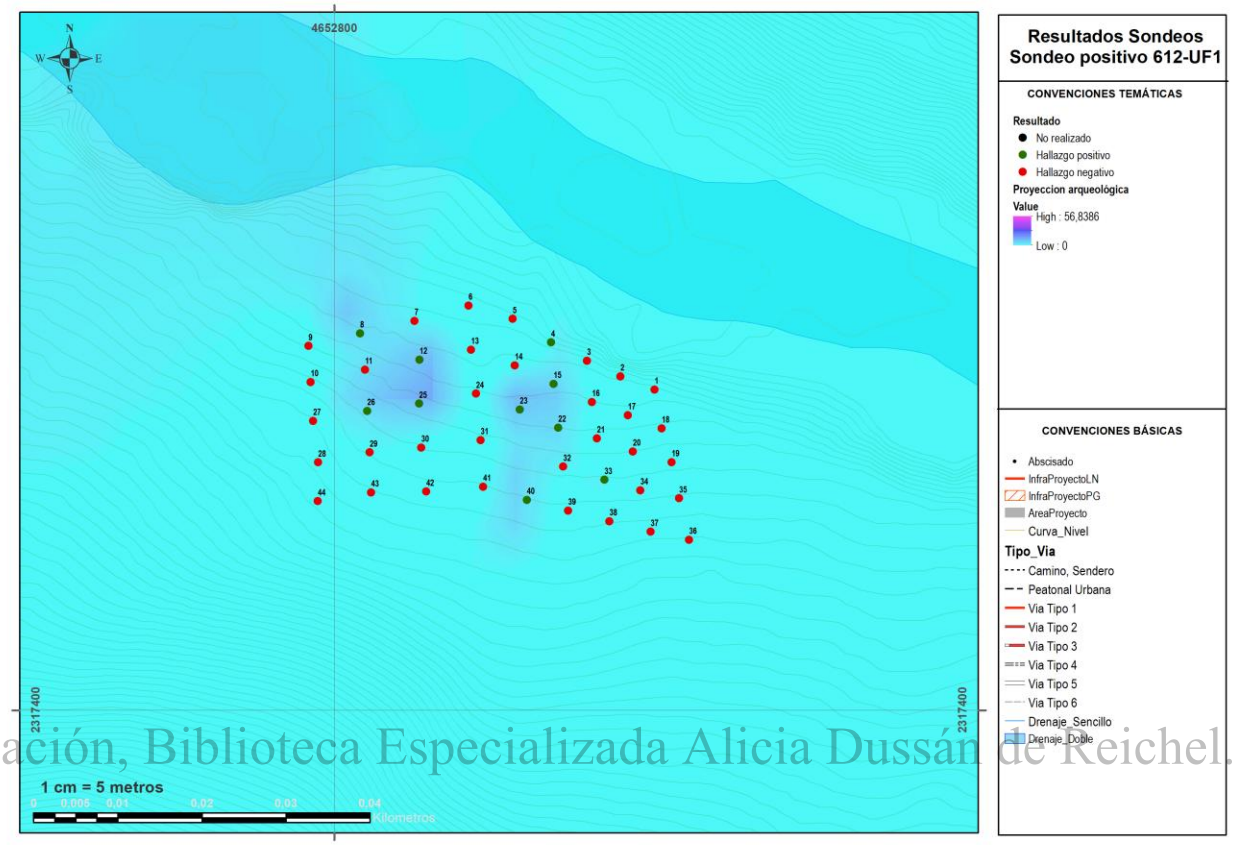
Digitalización, Biblioteca Especializada Alicia Dussán de Reichel. ICANH

4.1.4 Pozo de sondeo positivo 612 UF1

Este sitio se ubica en la margen izquierda del río Sucio e igualmente sobre la margen izquierda de la actual vía, vereda Orobajo, jurisdicción del municipio de Uramita, en las coordenadas planas X: 1103387 – Y: 1250706. El área de re-prospección corresponde a una terraza aluvial baja del río Sucio y a una ladera de pendiente fuerte, cubierta de pasto bajo.

Los sondeos de prueba, se realizaron a una distancia de 5m entre ellos y fueron excavados por niveles arbitrarios de 10cm, en total se marcaron 44 sondeos de los cuales 10 resultaron positivos con presencia de material cerámico y lítico. La cantidad de material arqueológico está repartido de la siguiente manera: 32 fragmentos cerámicos, de estos, 26 con un diámetro superior a los 2cm se clasificaron por su tamaño y 6 con diámetro inferior a 2cm denominados micro-fragmentos fueron descartados, por su parte los elementos líticos recuperados en los sondeos corresponden a 2 cantos rodados con huellas de fractura intencional. Durante la clasificación lítica, estos elementos se descartaron debido a que las fracturas presentes no corresponden a intención antrópica, sino más bien a fractura natural.

Figura 39
Ubicación de sondeos y resultados en SP 612-UF1



Digitalización, Biblioteca Especializada Alicia Dussán de Reichel. ICANH

Figura 40
Panorámica Pozo de sondeo positivo 612



Figura 41
Sondeo 12 positivo



Descripción estratigráfica y material cultural

Según los resultados de la clasificación del material cerámico de la reprospección, el área fua ocupada en los periodos 3 y 5 (Piazzini, 2018). La lectura estratigráfica para este sitio fue realizada en una de las caras de los sondeos positivos, que es descrita a continuación:

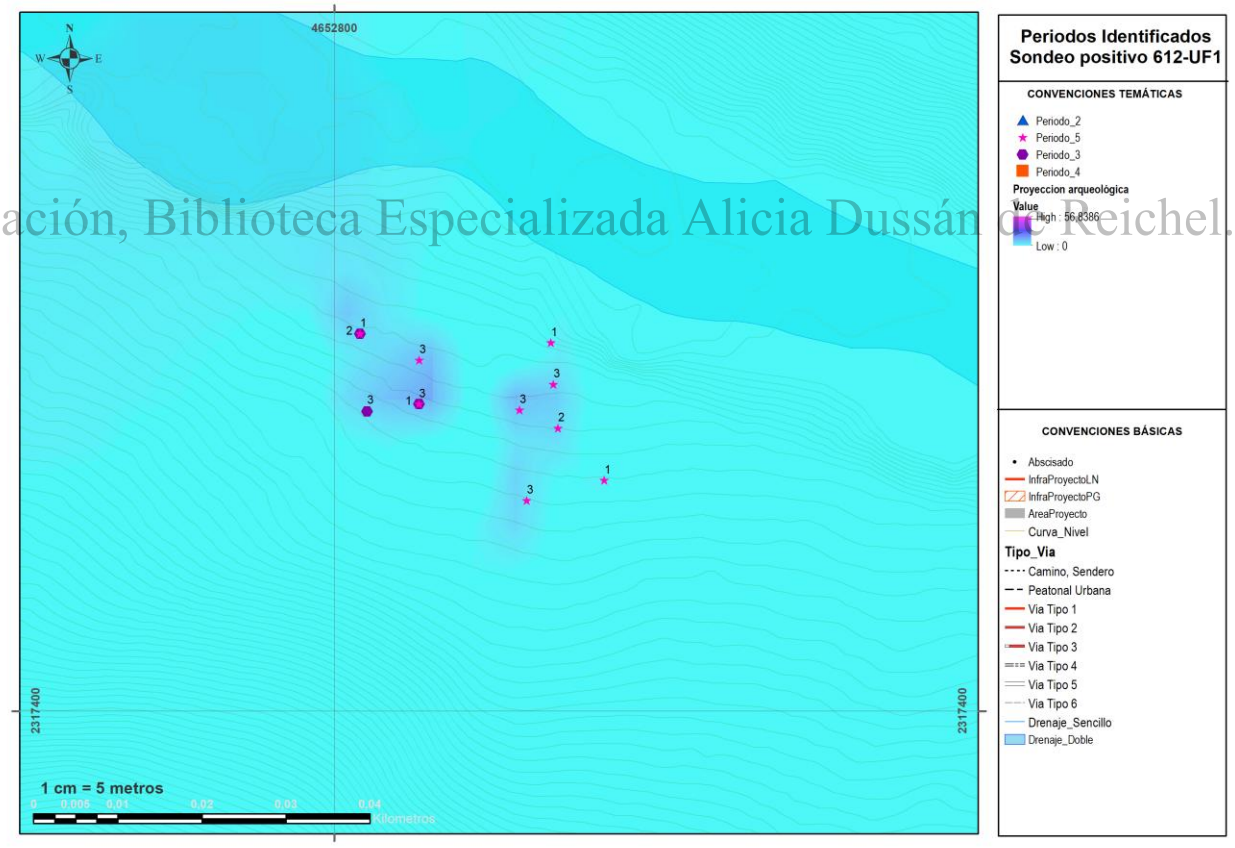
***Estrato I**:* corresponde con el estrato inicial del sitio, color 10YR 6/3 (marrón pálido), textura franco-arenosa, estructura en bloques sub-angulares medios, suelo suelto, humedad media, limite claro, espesor aproximado de 10cm. Sin presencia de material cultural. Presencia de abundantes gravas angulares.

***Estrato II*:** corresponde con una matriz de suelo transicional producto de la ganancia o pérdida de materia orgánica, espesor promedio de 15cm, limite lineal claro, color 10YR 4/3, textura franco-arcillosa, estructura en bloques sub-angulares finos fuertes, humedad media. Presencia de raíces finas aisladas y escasas. En este estrato de suelo se recuperaron 4 fragmentos cerámicos. Presencia de gravas pequeñas a medias.

Estrato III: corresponde con la parte final y superficial del sitio, color 10YR 3/1 (gris muy oscuro), espesor aproximado de 30cm, textura franca, estructura en bloques sub-angulares finos débiles, abundante actividad biológica y radicular. Presencia de 22 fragmentos cerámicos en este estrato.

Figura 42

Mapa de hallazgos de tipos cerámicos por periodo cronológico en SP612-UF1



Digitalización, Biblioteca Especializada Alicia Dussán de Reichel. ICANH

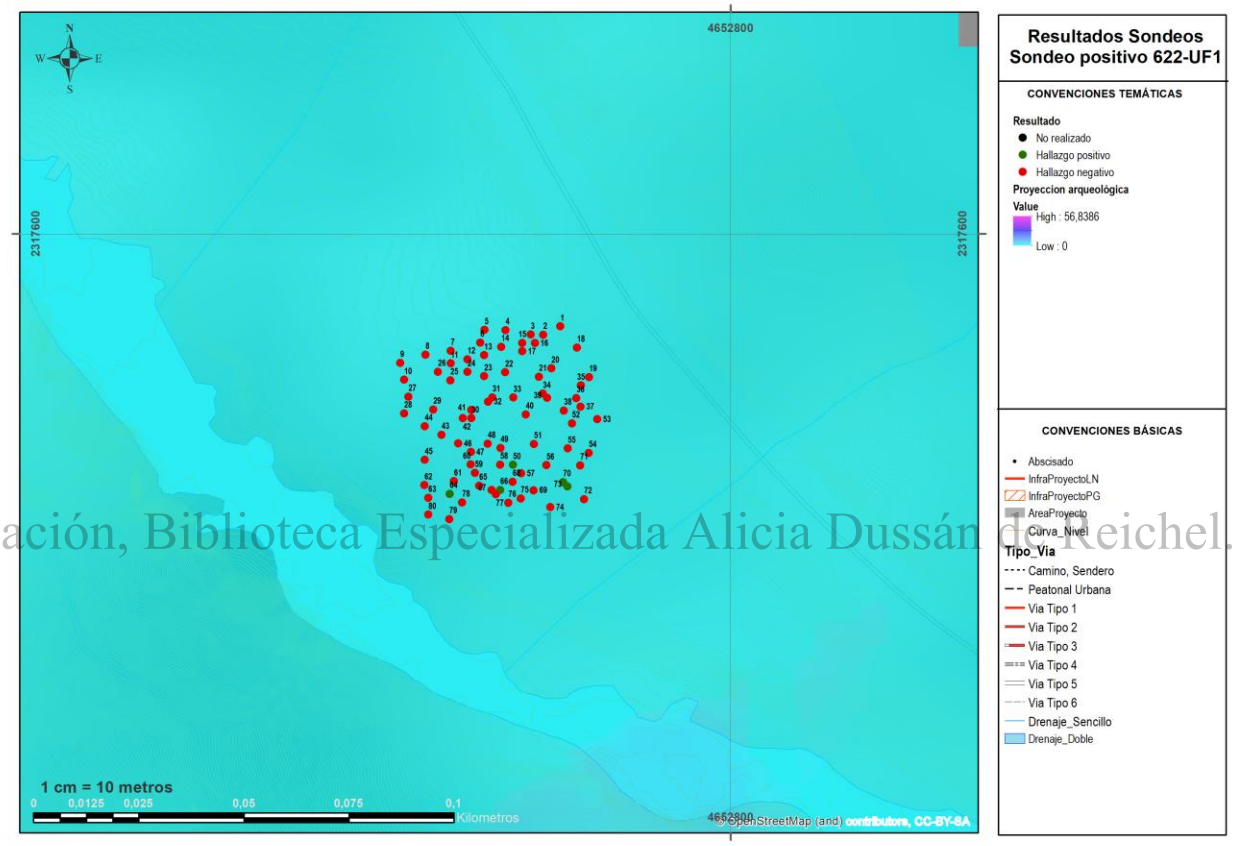
4.1.5 Pozo de sondeo positivo 622 UF1

Sitio ubicado en la margen derecha del río Sucio e izquierda de la actual vía, en la vereda Orobajo, municipio de Uramita, coordenadas planas X:1103316 – Y: 1250837. El área

corresponde a una terraza aluvial baja, cubierta de pasto y palmas de coco, uso actual del suelo, pastoreo de ganado. En este sitio de ubicaron los 80 sondeos que corresponde a cada unidad a re-prospectar, a una distancia de 5m c/u, de estos sondeos, dos no se realizaron y cinco arrojaron evidencias de material arqueológico. El total de material recuperado consta de 6 fragmentos cerámicos, 5 con diámetro superior a los 2cm, y 1 con un diámetro inferior a los 2cm.

Figura 43

Ubicación de sondeos y resultado en SP622-UF1



Digitalización, Biblioteca Especializada Alicia Dussán de Reichel. ICANH

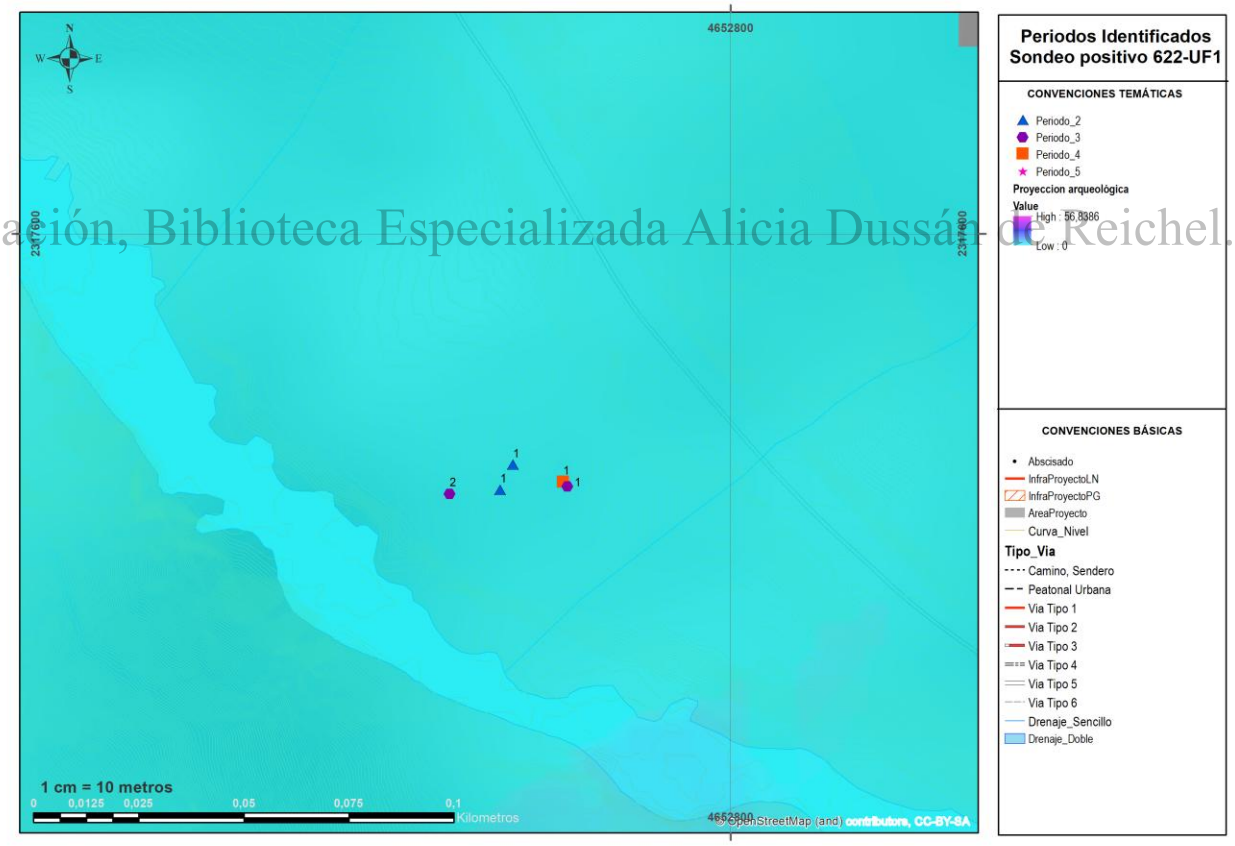
Figura 44
Panorámica Pozo de sondeo positivo 622



Figura 45
Sondeo 70 positivo



Figura 46
Mapa de hallazgos de tipos cerámicos por periodo cronológico en SP622-UF1



Digitalización, Biblioteca Especializada Alicia Dussán de Reichel. ICANH

Descripción estratigráfica y material cultural

Según los resultados de la clasificación del material cerámico de la reprospección, el área fue ocupada en los periodos 2, 3 y 4 (Piazzini, 2018). La lectura estratigráfica para este sitio fue realizada en una de las caras de los sondeos positivos, que es descrita a continuación:

***Estrato I**:* corresponde con el estrato inicial del sitio, color 10YR 6/6 (amarillo parduzco), textura limo-arcillosa, estructura en bloques sub-angulares finos, suelo plástico, humedad media, limite claro, espesor aproximado de 15cm. Sin presencia de material cultural. Presencia de gravas de tamaños pequeños a medios.

***Estrato II*:** corresponde con una matriz de suelo transicional producto de la ganancia o pérdida de materia orgánica, espesor promedio de 25cm, limite lineal claro, color 10YR 5/3, textura franco-arcillosa, estructura en bloques sub-angulares finos fuertes, humedad media. Presencia de raíces finas aisladas y escasas. En este estrato de suelo se recuperaron 2 fragmentos cerámicos. Presencia de gravas pequeñas a medias.

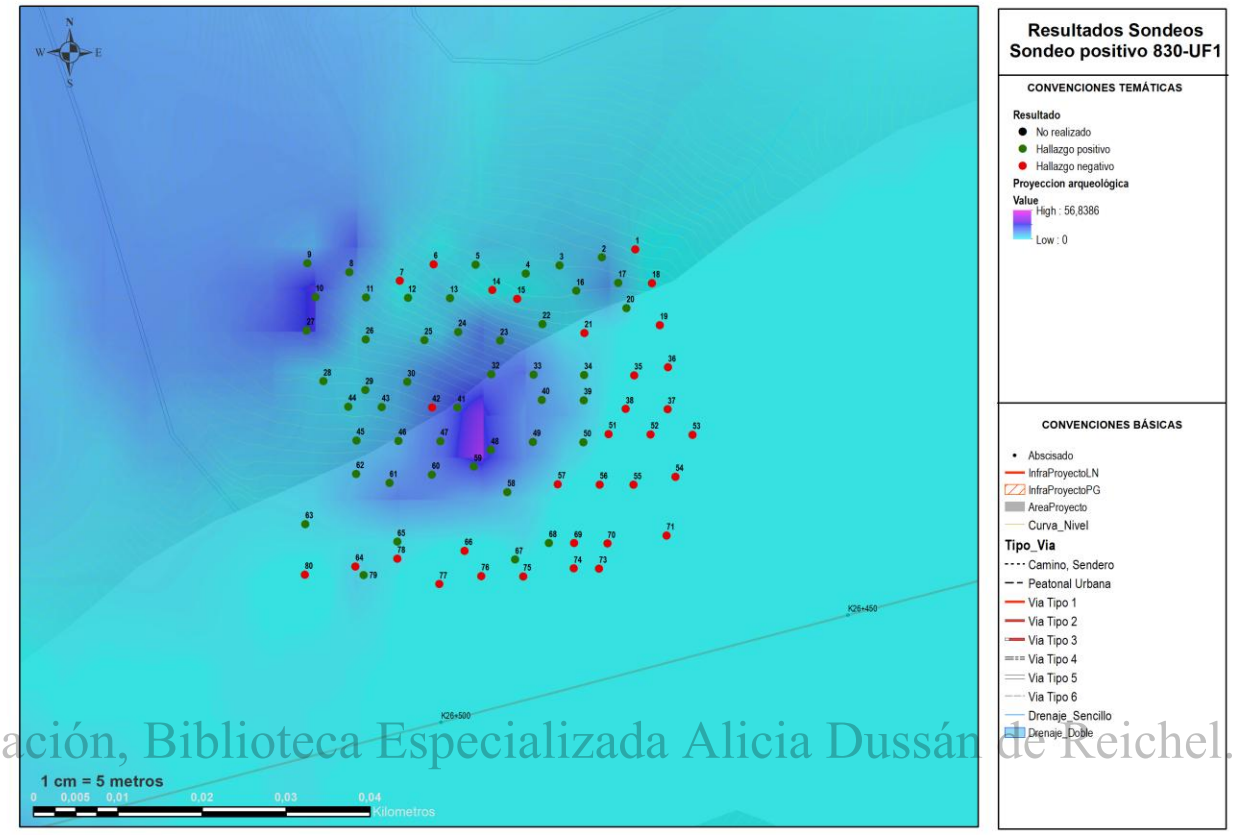
Estrato III: corresponde con la parte final y superficial del sitio, color 10YR 3/1 (gris muy oscuro), espesor aproximado de 25cm, textura franca, estructura en bloques sub-angulares finos débiles, abundante actividad biológica y radicular. Presencia de 4 fragmentos cerámicos en este estrato.

4.1.6 Pozo de sondeo positivo 830 UF1

El yacimiento arqueológico 830 UF1, está ubicado en jurisdicción del municipio de Uramita, en la finca El castillo, sector El pozo, en la margen derecha de la vía que conduce a Urabá, en las coordenadas planas X: 1099020 – Y: 1254923 y Z: 651msnm. El área corresponde a una ladera de pendiente media cubierta de pastos para ganadería, en el costado norte del sitio, se encuentra un pequeño descanso de ladera de aproximadamente 7 metros de ancho x 12 metros de largo. El trazado de la vía de la vía MAR 2 pasa por su parte baja.

Digitalización, Biblioteca Especializada Alicia Dussán de Reichel. ICANH

Figura 47
Ubicación sondeos y resultados en SP830-UF1



Digitalización, Biblioteca Especializada Alicia Dussán de Reichel. ICANH

Figura 48
Pozo de sondeo positivo 830 UF1



Figura 49
Borde sondeo #8



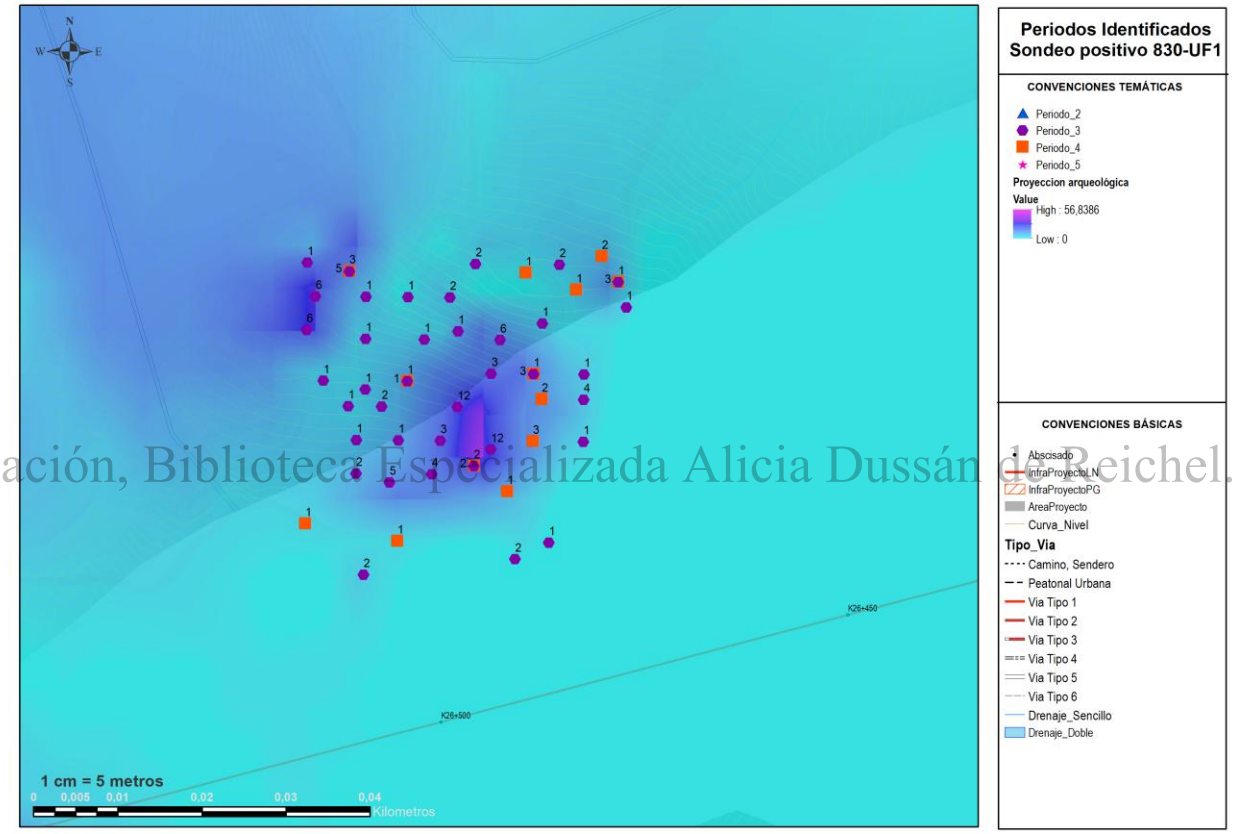
En la zona cercana al sitio, podemos observar un paisaje ondulado irregular utilizado en el pastoreo de ganado, y elevaciones cercanas a los 1000 msnm, pertenecientes a la cordillera occidental, se realizaron 80 sondeos de prueba, 47 con presencia de materiales arqueológicos y 33 negativos, además de un corte estratigráfico en forma de trinchera de 1 metro de ancho x 4 de largo, en sentido norte-sur, ubicado entre los sondeos 4 y 5. El material cerámico resultante

de la prospección intensiva fue de 127 fragmentos. 30 en nivel uno de excavación 0-10cm; 81 en el nivel dos 10-20cm; 6 en el nivel tres 20-30cm; 7 en el nivel cuatro 30-40cm y 3 en el nivel 40-50cm de profundidad.

Según los resultados de la clasificación del material cerámico de la reprospección y el corte estratigráfico el área fue ocupada en los periodos 3 y 4 (Piazzini, 2018).Presentando mayor frecuencia cerámica en el periodo 3, con 33 fragmentos (Piazzini, 2018).

Figura 50

Mapa de hallazgos de tipos cerámicos por periodo cronológico en SP830-UF1



Digitalización, Biblioteca Especializada Alicia Dussán de Reichel. ICANH

Figura 51
Dibujo de perfil



Figura 52
Cerrado del corte



Descripción estratigráfica y material cultural

En la estratigrafía del corte 1 del sitio sp830-UF1 se identificaron tres estratos que se describen a continuación.

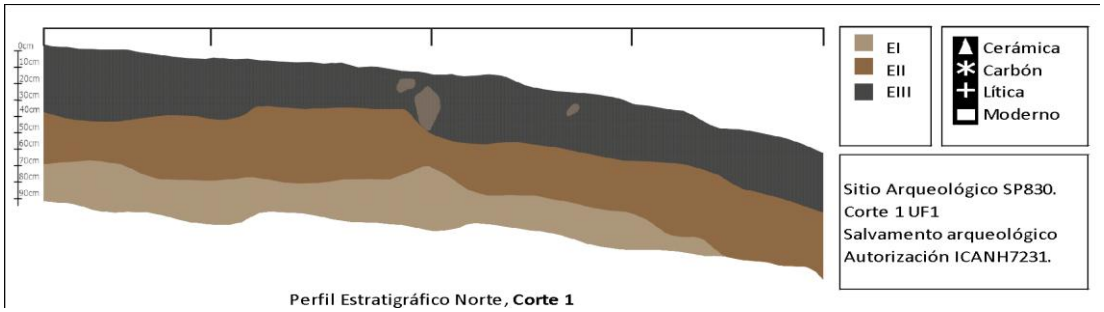
Estrato I: corresponde a la matriz de suelo inicial del sitio, espesor aproximado de 15cm, color 10YR 6/4 (marrón amarillento claro), textura areno-arcillosa, estructura en bloques sub-angulares finos fuertes, contiene rocas grandes en planta. Asociado a este estrato se reporta el hallazgo de 3 fragmentos cerámicos.

Digitalización, Biblioteca Especializada Alicia Dussán de Reichel. ICANH

Estrato II: corresponde con una matriz de suelo intermedia con presencia de abundantes rocas de fractura laminar, espesor aproximado de 20cm, color 10YR 5/6 (marrón amarillento), textura franco-arenoso, estructura en bloques sub-angulares medio fuertes, contiene raicillas finas aisladas y escasas. Asociado al estrato se recuperaron 6 fragmentos cerámicos.

Estrato III: estrato superficial de un espesor aproximado de 25 cm, abundante materia orgánica, actividad biológica y radicular, color 10YR 3/1 (gris muy oscuro), textura franca, estructura en bloques sub-angulares finos débiles. Asociado al estrato se recuperaron 33 fragmentos cerámicos.

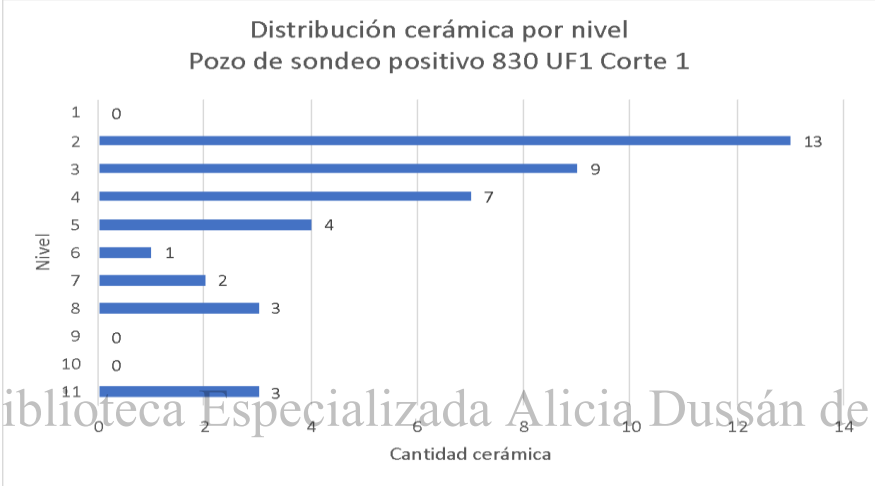
Figura 53
Perfil estratigráfico Pozo de sondeo positivo 830 UF1 Corte 1



En la Figura 54 de distribución de materiales por nivel del corte 1 en el Pozo de sondeo positivo 830 UF1, nos muestra dos momentos en la formación de la matriz de suelo del lugar, un inicio de ocupación a 55cm de profundidad nivel 11, con baja frecuencia de cerámica, luego hay un abandono o cambio de utilidad del lugar que se expresa en la ausencia de materiales arqueológicos en una franja de 10cm, entre 50cm y 40 donde empieza un segundo momento de ocupación más intenso que el primero y que se mantiene hasta la superficie, mostrando una mayor frecuencia de fragmentos cerámicos a 10 cm de profundidad.

Figura 54

Distribución vertical de la cerámica Pozo de sondeo positivo 830 UF1 Corte 1

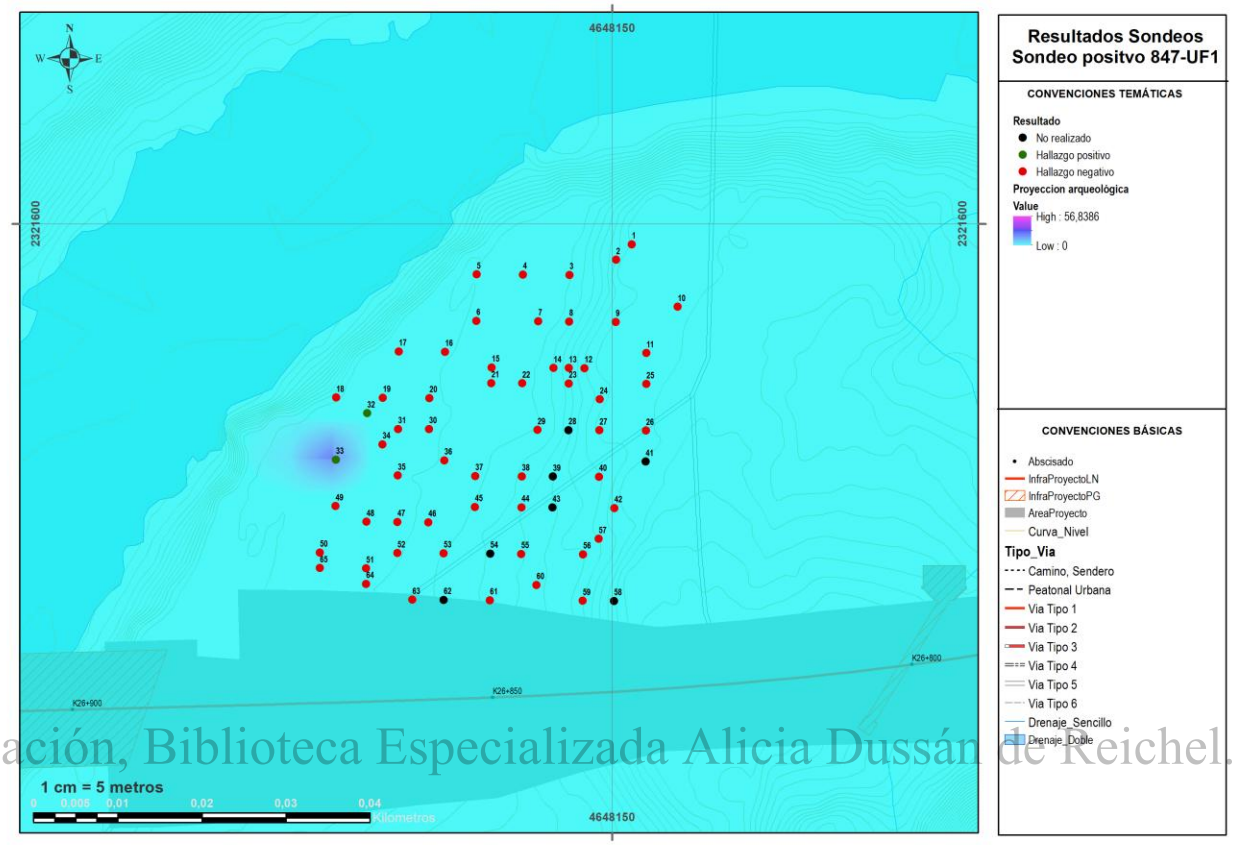


Digitalización, Biblioteca Especializada Alicia Dussán de Reichel. ICANH

4.1.7 Pozo de sondeo positivo 847 UF1

El pozo de sondeo positivo 847-UF1, está ubicado en jurisdicción del municipio de Uramita, Antioquia, sector conocido como Puente Militar, en las coordenadas planas X: 1098672,518 - Y: 1254824,492. Este se localiza en la margen izquierda del río Sucio aguas abajo, en una terraza aluvial cubierta de rastrojo medio y arbustos espinosos. La terraza presenta alteración en el costado sur, producto de un carreteable existente que conduce hacia la vereda El Corozo. Este lugar será impactado por el nuevo corredor vial MAR 2.

Figura 55
Ubicación sondeos y resultados en SP847-UF1



Digitalización, Biblioteca Especializada Alicia Dussán de Reichel. ICANH

Figura 56
Pozo de sondeo positivo 847 UF1



Se realizaron 57 de los 65 sondeos de pruebas proyectados, debido a que el área del polígono de 40 metros cuadrados de prospección cubre un sector que queda dentro del cauce del río y otro sector se localiza sobre una placa huella veredal que pasa por un lado, de estos 57 sondeos excavados solo dos resultaron positivos y los restantes sin presencia de materiales arqueológicos, se excavó una trinchera de 1 metro de ancho x 4m de largo en sentido occidente – oriente, excavando por niveles arbitrarios de 5cm de espesor hasta el saprolito. El resultado de

la prospección de los dos sondeos positivos fue de 5 fragmentos cerámicos recuperados en el nivel dos 10-20cm de profundidad.

La terraza aluvial donde se encuentra el yacimiento es contigua al rio Sucio y presenta aportes coluviales en su matriz de suelo debido al sistema de montañas escarpadas, de laderas largas y de fuerte pendiente, propias del caño en V del Riosucio donde se encuentra.

Figura 57
Corte de excavación, Pozo de sondeo positivo 847 UF1



Figura 58
Planta nivel 4, Pozo de sondeo positivo 847 UF1



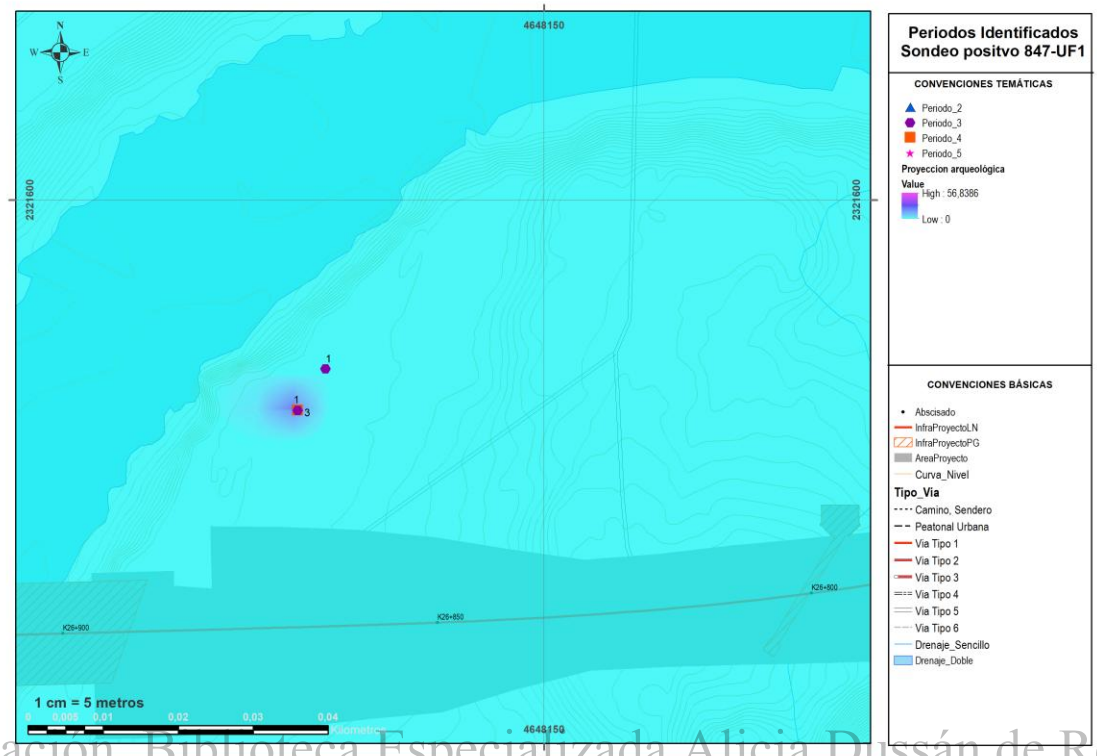
Durante la excavación de las cuadrículas, la presencia de materiales arqueológicos se dio entre 15cm y 40 cm de profundidad, siendo entre10-15cm de profundidad que se presenta la mayor frecuencia de cerámica. El suelo es color pardo oscuro con presencia de raíces finas y medianas abundantes, actividad biológica de lombrices y hormigas. La disposición del material cerámico en su mayoría se encuentra de forma horizontal disperso hacia el costado norte de las cuadrículas, igualmente para este nivel se hallaron dos elementos líticos.

Digitalización: Biblioteca Especializada Alicia Dussán de Reichel. ICANH

Según los resultados de la clasificación del material cerámico de la reprospección, el área fue ocupada en los periodos 3 y 4 (Piazzini, 2018). Según los resultados del corte estratigráfico , los tipos presentes representan los periodos cronológicos 2, 3, 4 y 5 (Piazzini, 2018), siendo los periodos 4 y 5 los de mayor frecuencia cerámica, con 27 y 20 fragmentos respectivamente.

Figura 59

Mapa de hallazgos de tipos cerámicos por periodo cronológico en SP847-UF1



Digitalización, Biblioteca Especializada Alicia Dussán de Reichel. ICANH

Descripción estratigráfica y material cultural

La estratigrafía del perfil de suelo norte del Corte 1, del yacimiento arqueológico Pozo de sondeo positivo 847 UF1, presenta cuatro estratos con las siguientes características:

Estrato I: suelo inicial de la terraza con un espesor 31cm, color 10YR 4/2 marrón grisáceo oscuro, textura limo-arcillosa, estructura en bloques sub-angulares finos débiles, sin presencia de actividad biológica y radicular. Sin materiales culturales.

Estrato II: corresponde a una matriz de suelo de unos 25cm aproximadamente de espesor, color 10YR 6/6 (amarillo pardusco), textura arcillosa, estructura en bloques sub-angulares finos débiles, presencia de raíces finas aisladas y escasas. Sin materiales culturales.

Estrato III: matriz de suelo de 37cm de espesor, color 10YR 4/3 (marrón), textura franco-arcillosa, estructura en bloques sub-angulares finas débiles, contiene raicillas finas, actividad biológica. Asociado al estrato se recuperaron tres fragmentos cerámicos y un elemento lítico en basalto.

Estrato IV: corresponde con el estrato superficial del sitio, formado en condiciones ambientales actuales, espesor de 35cm, color 10YR 3/1 (gris muy oscuro), textura franca, estructura en bloques sub-angulares finos fuertes, presenta abundante materia orgánica, actividad biológica y radicular. Asociado al estrato se recuperaron 48 fragmentos cerámicos y dos elementos líticos.

La lectura estratigráfica del perfil de suelo inicia en el estrato I, siendo este el más profundo, por tanto, los estratos III y IV corresponden a los superficiales donde se encontraron los fragmentos cerámicos y que abarcan los niveles de excavación de 5 cm, del 1 hasta el 8 (40cm). Lo que parece indicar que los materiales recuperados proceden de una sola ocupación.

Figura 60

Perfil estratigráfico Norte, Corte 1

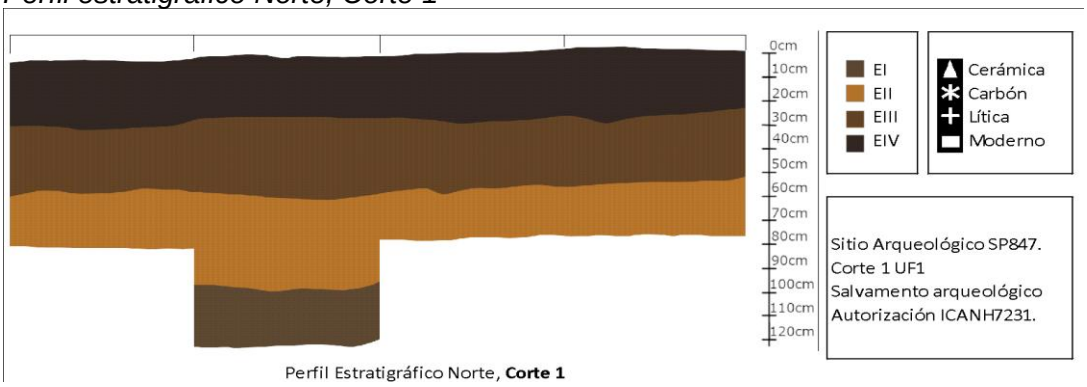
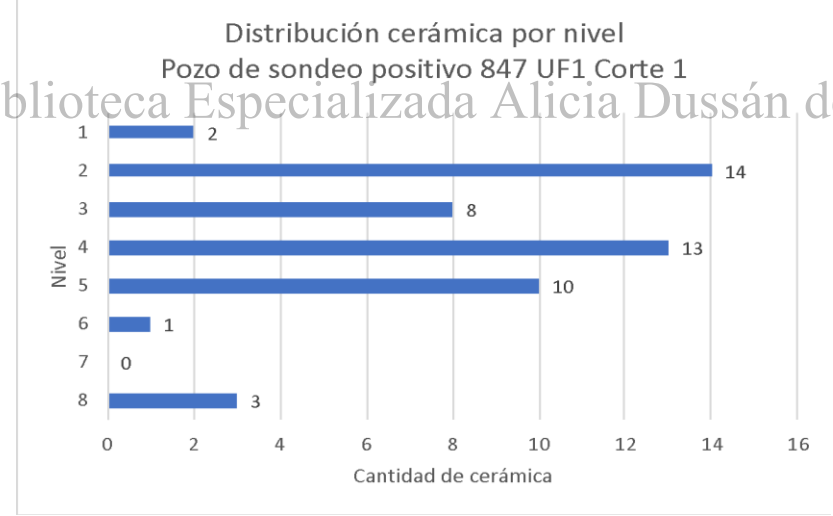


Figura 61

Distribución vertical de la cerámica, Pozo de sondeo positivo 847-UF1, Corte 1

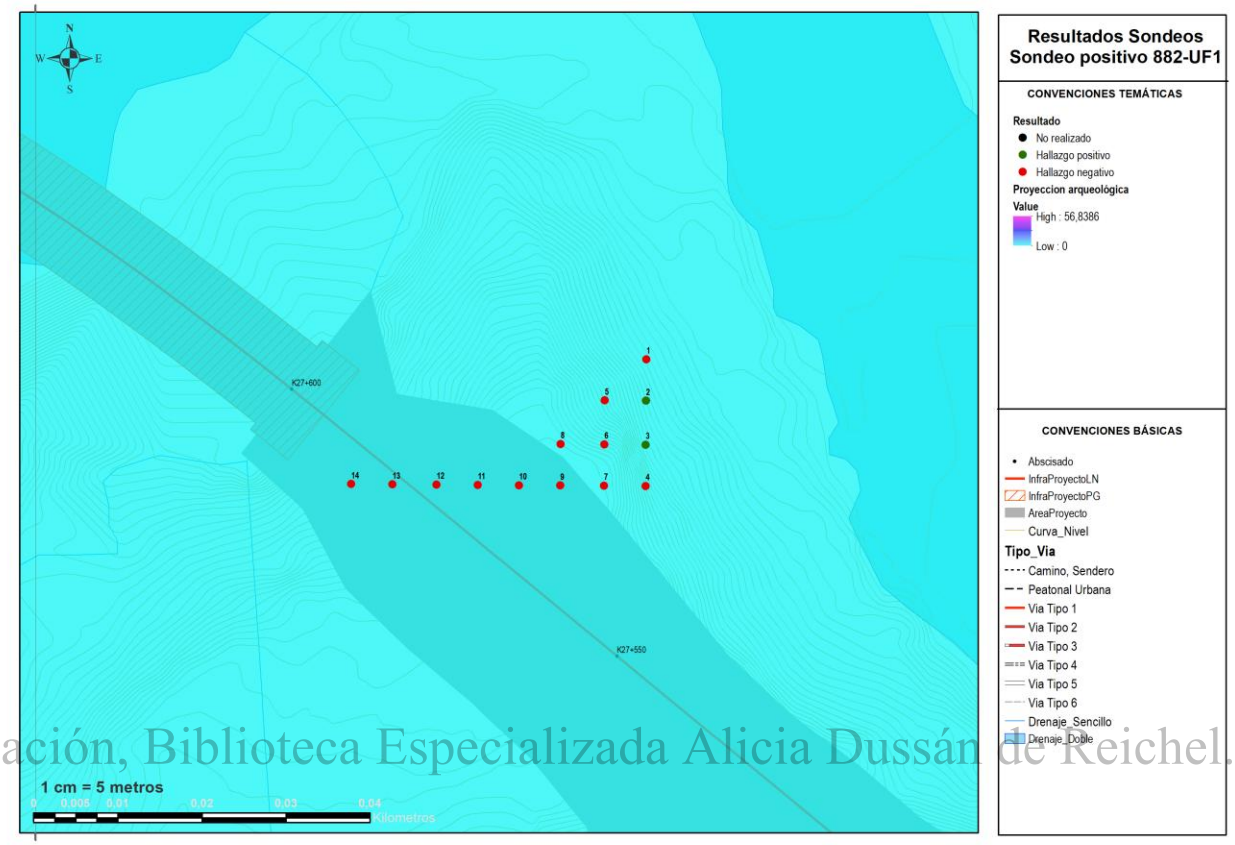


Digitalización, Biblioteca Especializada Alicia Dussán de Reichel. ICANH

4.1.8 Pozo de sondeo positivo 882 UF1

El Pozo de sondeo positivo 882 en la UF1, se ubica en jurisdicción del municipio de Uramita en la vereda El Corozo, finca El Corozo, en las coordenadas planas X: 1097992,487 – Y: 1254904,074. Con respecto a la geomorfología, corresponde a una terraza aluvial en la margen izquierda del río Sucio, en la confluencia de este con una pequeña quebrada. En el área hay una vivienda y corralejas para ganadería, además de placas de cemento y escombros de antiguas edificaciones, la cobertura vegetal es de pasto bajo, árboles frutales y cercas vivas.

Figura 62
Ubicación sondeos y resultados en SP882-UF1



Digitalización, Biblioteca Especializada Alicia Dussán de Reichel. ICANH

Figura 63
Pozo de sondeo positivo 882 UF1



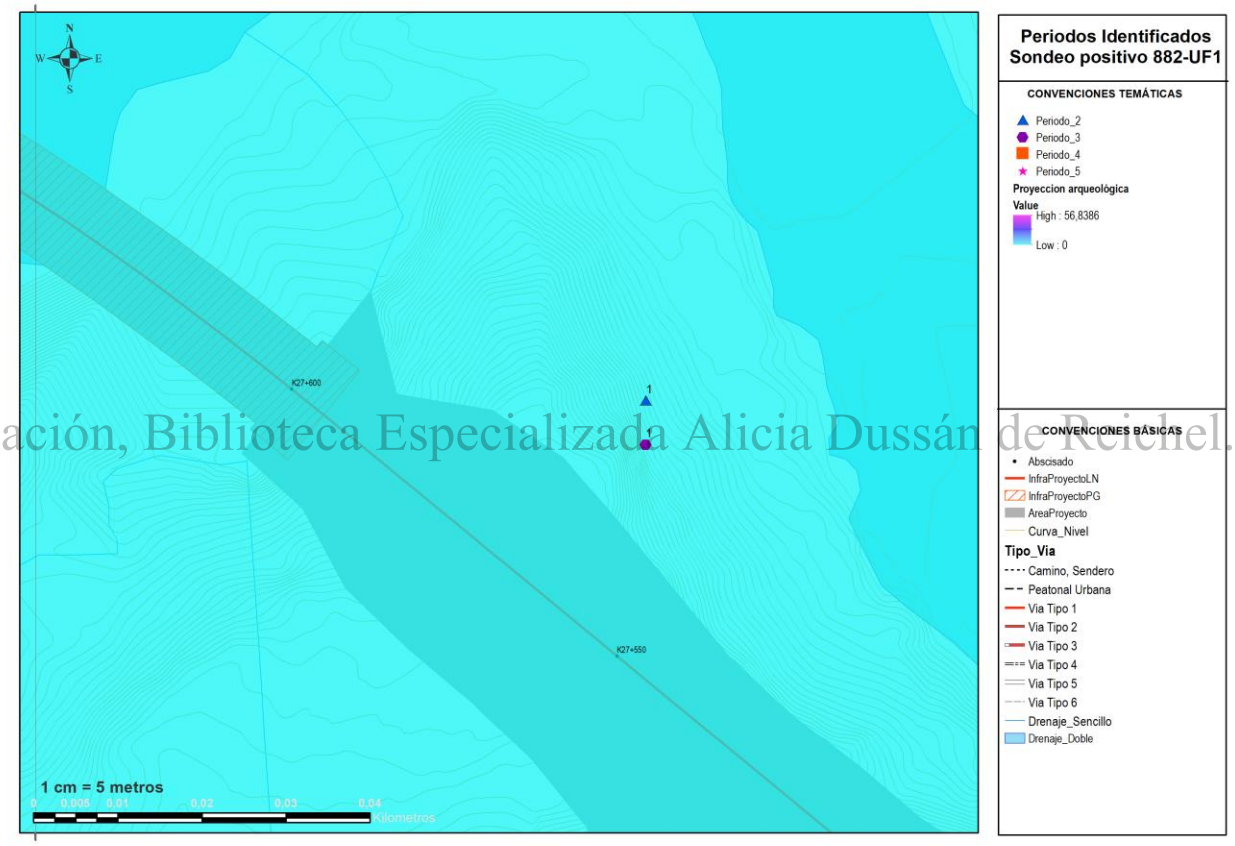
El paisaje circundante, corresponde a montañas con pendientes fuertes, utilizadas para el pastoreo de ganado, las intervenciones realizadas fueron sondeos de prueba en sectores donde no se presentaban muchas alteraciones, de 14 sondeos, dos arrojaron evidencias de materiales arqueológicos, un fragmento por sondeo en los niveles 1 y 4, aparte de un fragmento obtenido

mediante recolección superficial, además se realizó un corte de excavación de 2m x 2m, intervenido mediante niveles arbitrarios de 10cm, y se obtuvieron 35 fragmentos cerámicos entre los 0 y 60cm de profundidad.

Según los resultados de la clasificación del material cerámico de la reprospección, el área fue ocupada en los periodos 2 y 3 (Piazzini, 2018). Según los resultados de la clasificación del material cerámico del corte, el área fue ocupada en los periodos 2, 4 y 5 (Piazzini, 2018), siendo el periodo 4 el de mayor frecuencia cerámica, con 31 fragmentos.

Figura 64

Mapa de hallazgos de tipos cerámicos por periodo cronológico en SP882-UF1



Digitalización, Biblioteca Especializada Alicia Dussán de Reichel. ICANH

Descripción estratigráfica y material cultural

En la estratigrafía del perfil sur del corte 1 del sitio Sp882-UF1, se identifican cuatro estratos con las siguientes características:

Estrato I: El estrato corresponde con la matriz de suelo inicial de la terraza, espesor 20cm en la parte más ancha y 7cm en la parte más angosta, color 7.5YR 6/4, marrón pálido, textura limo-arenosa, estructura en bloques sub-angulares finos débiles, sin presencia de actividad biológica y radicular, contiene abundante pedregosidad en planta y no hay presencia de material cultural.

Estrato II: corresponde a una matriz de suelo de unos 20cm aproximadamente de espesor, color 7.5YR 5/3, marrón, textura franco-arenosa, estructura en bloques sub-angulares finos débiles, presencia de raíces finas escasas, contiene rocas medianas angulares y se recuperaron14 fragmentos cerámicos. Y dos artefactos líticos en basalto

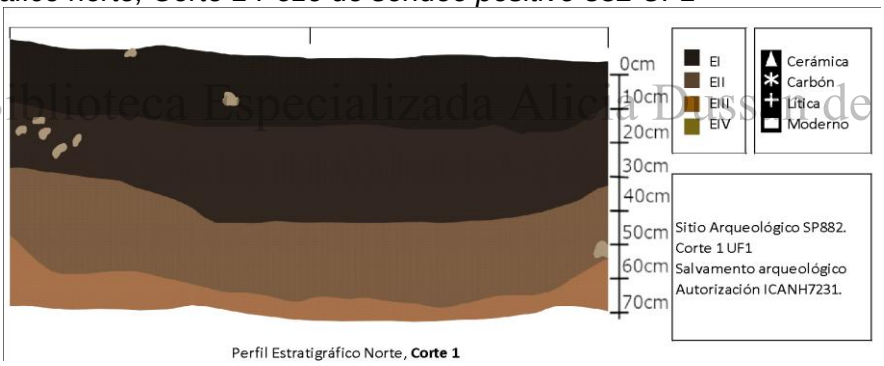
Estrato III: matriz de suelo de 20cm de espesor, color 10YR 3/1, gris muy oscuro, textura franco-arcillosa, estructura en bloques sub-angulares finas débiles, contiene raicillas finas, actividad biológica, se recuperaron 18 fragmentos cerámicos.

Estrato IV: corresponde con el estrato superficial del sitio, con un espesor de 20cm, de color 10YR 2/1, negro, presenta textura franca y estructura en bloques subangulares finos fuertes, presenta abundante materia orgánica, actividad biológica y radicular, asociado al estrato se recuperaron 3 fragmentos cerámicos y materiales modernos como vidrio, plástico, teja, hierro y cemento.

La lectura estratigráfica del perfil de suelo inicia en el estrato I, siendo este el más profundo, por tanto, los estratos donde se encontraron los fragmentos cerámicos abarcan los niveles 1 hasta el 6 (60cm).

Figura 65

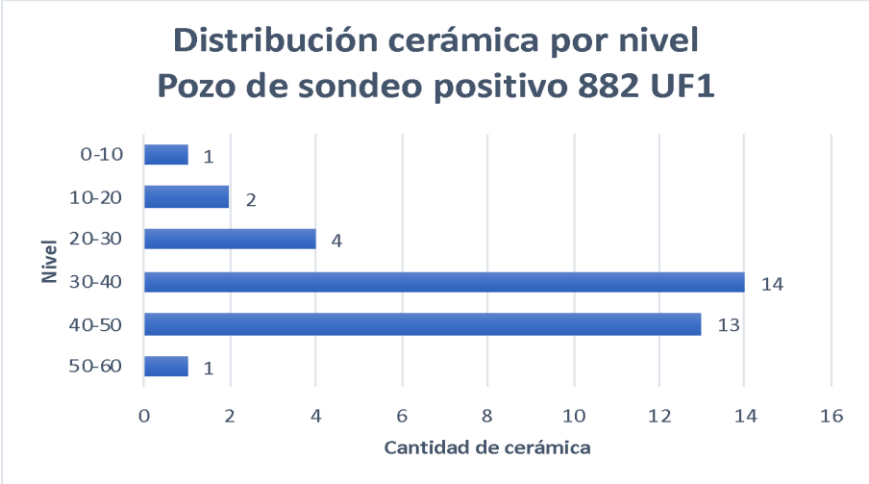
Perfil estratigráfico norte, Corte 1 Pozo de sondeo positivo 882 UF1



Perfil Estratigráfico Norte, **Corte 1**

Digitalización, Biblioteca Especializada Alicia Dussán de Reichel. ICANH

Figura 66
Distribución de cerámica por nivel Pozo de sondeo positivo 882 UF1



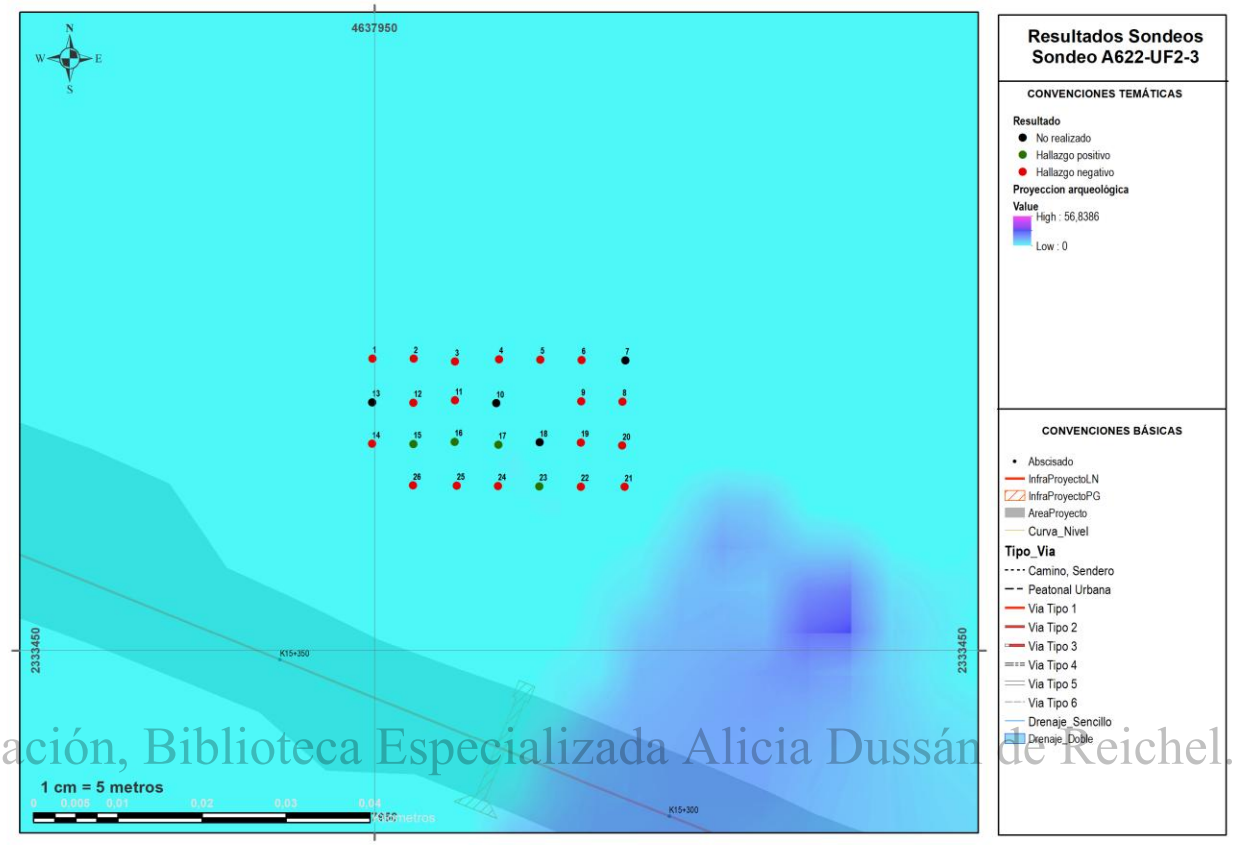
4.1.9 Pozo de sondeo positivo A622 UF2-3

El Pozo de sondeo positivo A622 de la UF2-3, se ubica en los predios de la finca Los Tanques, vereda Carrá, municipio de Dabeiba, en las coordenadas planas X: 1088414,535 – Y: 1266628,704, margen derecha del río Sucio. El área del yacimiento arqueológico es un descanso de ladera, con afloramiento rocoso en superficie, cubierta de pastos bajos para ganado y cerca viva utilizada. La zona presenta alteración por carreteable existente que conduce hacia el casco urbano del municipio.

Digitalización, Biblioteca Especializada Alicia Dussán de Reichel, ICANH

En la re-prospección intensiva en el polígono de 40 metros cuadrados con sondeos de prueba cada 5 metros en malla se realizaron 24 sondeos, 4 resultaron positivos, 16 negativos y 4 no se realizaron debido a su ubicación sobre afloramientos de roca. El material recuperado durante la prospección fue 6 fragmentos cerámicos ubicados todos en el nivel dos de excavación (10-20cm).

Figura 67
Ubicación sondeos y resultados en SP A622-UF1



Digitalización, Biblioteca Especializada Alicia Dussán de Reichel. ICANH

Figura 68
Panorámica Pozo de sondeo positivo A622 UF2-3



Figura 69
Sondeo de prueba Pozo de sondeo positivo A622 UF2-3

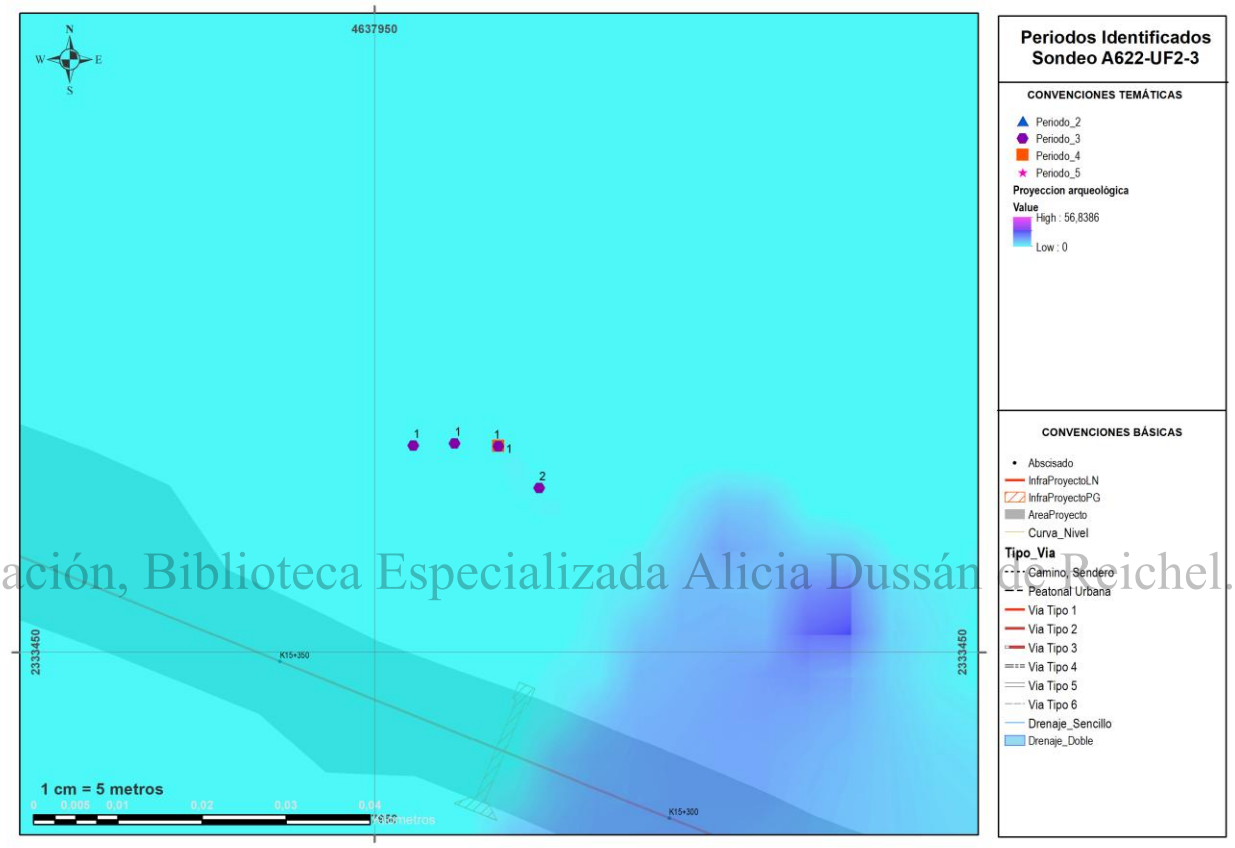


Con los resultados de la prospección intensiva se determinó el lugar donde realizar un corte de excavación de 1m x 4m orientado en sentido oriente-occidente. La profundidad final de la excavación fue de 35cm.

Según los resultados de la clasificación del material cerámico de la reprospección, el área fue ocupada en los periodos 3 y 4 (Piazzini, 2018). Según los resultados de la clasificación del material cerámico del corte, el área fue ocupada en los periodos 2, 3 y 4 (Piazzini, 2018), siendo el periodo 3 el de mayor frecuencia cerámica, con 9 fragmentos.

Figura 70

Mapa de hallazgos de tipos cerámicos por periodo cronológico SP A622-UF2-3



Digitalización, Biblioteca Especializada Alicia Dussán G. Reichel. ICANH

Figura 71

Excavación Corte



Figura 72

Dibujo perfil Corte



Descripción estratigráfica y material cultural

En la estratigrafía del corte 1 del sitio SPA622-UF2-3, se identificaron tres estratos de suelo:

Estrato I: Suelo inicial compacto con abundante pedregosidad con espesor de 10cm, color 7.5YR 4/2, marrón, textura areno-arcillosa y estructura en bloques sub-angulares finos fuertes, presencia de rocas grandes sub-redondeadas y sub-angulares en planta, sin materiales arqueológicos.

Estrato II: corresponde con una matriz de suelo intermedia con presencia de abundantes rocas de fractura laminar, espesor aproximado de 9cm, color 7.5YR 5/2 marrón, textura franco-arcillosa y estructura en bloques sub-angulares medio fuertes, contiene raicillas finas aisladas y escasas, se recuperaron 7 fragmentos cerámicos.

Estrato III: Estrato superficial con un espesor aproximado de 12cm, abundante materia orgánica, actividad biológica y radicular, color 7.5YR 4/1 gris oscuro, textura franca, estructura en bloques sub-angulares finos débiles, se recuperaron 9 fragmentos cerámicos.

La lectura estratigráfica del perfil de suelo inicia en el estrato I, siendo este el más profundo e inicial de ocupación del sitio arqueológico.

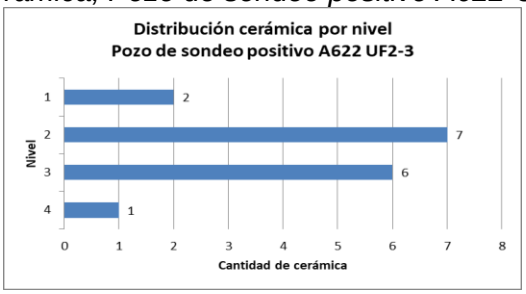
Figura 73
Perfil estratigráfico norte, Corte 1 Pozo de sondeo positivo A622 UF 2-3

Digitalización, Biblioteca Especializada Alicia Dussán de Reichel. ICANH



Perfil Estratigráfico Norte, **Corte 1**

Figura 74
Distribución vertical de la cerámica, Pozo de sondeo positivo A622-UF2-3, Corte 1

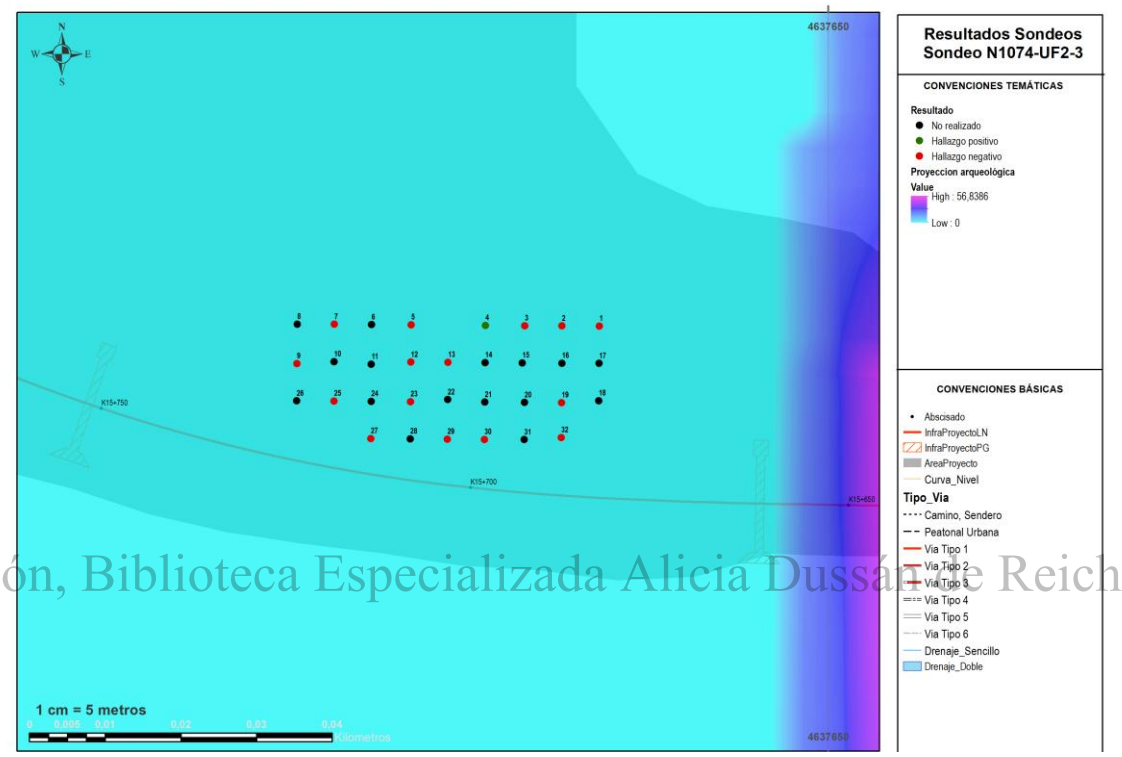


4.1.10 Pozo de sondeo positivo N1074 UF2-3

Ubicada en predios de la finca Los Tanques, vereda Carrá, municipio de Dabeiba, en las coordenadas planas X: 1088044,225- Y: 1266699,732. El área corresponde a una ladera de

pendiente muy suave con afloramiento de rocas, vegetación de rastrojo bajo y pastos para ganado. Dentro del polígono de re-prospección se ubicaron 32 sondeos de prueba de los cuales uno resultó positivo, con un fragmento cerámico recuperado en el nivel (0-10cm),15 negativos y 16 no se realizaron debido a su ubicación sobre afloramientos de roca.

Figura 75
Ubicación sondeos y resultados en SP N1074-UF2-3



Digitalización, Biblioteca Especializada Alicia Dussán de Reichel. ICANH

Figura 76
Pozo de sondeo positivo N1074 UF2-3



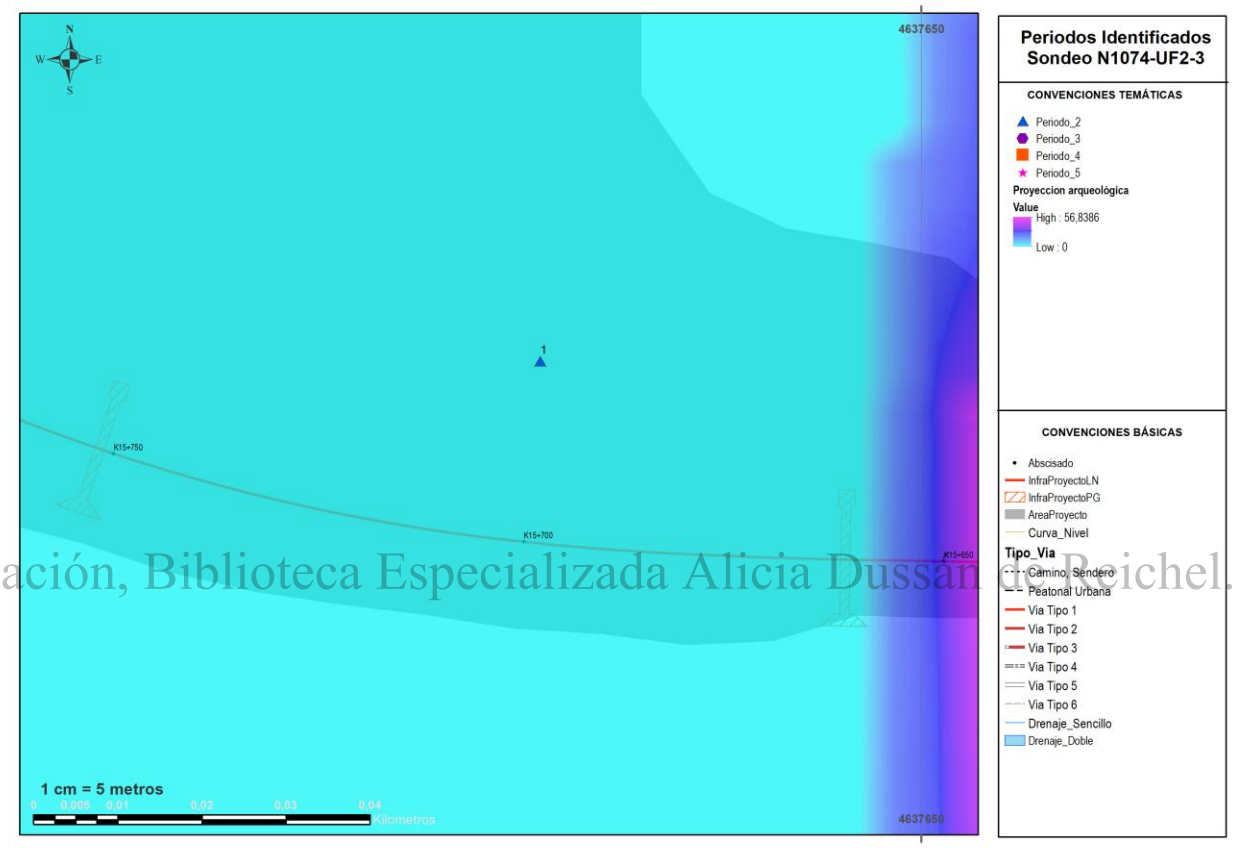
Figura 77
Sondeo positivo #4



Teniendo presente los resultados de la prospección, se realizó un corte de 1m x 3m, cuya profundidad final fue 95cm entre 50cm y 70cm se presentó la mayor frecuencia de materiales cerámicos.

Según los resultados de la clasificación del material cerámico de la reprospección, el área fue ocupada en el periodo 2 (Piazzini, 2018). Según los resultados de la clasificación del material cerámico del corte, el área fue ocupada en los periodos 2, 3 y 4 (Piazzini, 2018), siendo el periodo 3 el de mayor frecuencia cerámica, con 423 fragmentos.

Figura 78
Mapa de hallazgos de tipos cerámicos por periodo cronológico en SP N1074-UF2-3



Digitalización, Biblioteca Especializada Alicia Dussán de Reichel. ICANH

Figura 79
Corte 1, N1074 UF2-3



Figura 80
Detalle Corte 1, N1074 UF2-3



Descripción estratigráfica y material cultural

La columna estratigráfica del perfil occidental del corte 1 en el sitio N1074-UF2-3 muestra dos estratos de suelo que se describen a continuación.

Estrato I: Corresponde con la matriz inicial de suelo con un espesor de 25 cm, de color 10YR 4/2 marrón grisáceo oscuro, textura limo-arcillosa y estructura en bloques sub-angulares débiles, además contiene abundantes rocas sub-redondeadas y sub-angulares de gran tamaño y raíces finas aisladas, sin presencia de materiales arqueológicos.

Estrato II: Suelo superficial con abundante materia orgánica, actividad biológica y radicular, con un espesor aproximado de 75cm, de color 10YR 2/1, negro y textura franca, con estructura en bloques sub-angulares finos fuertes, límite con el otro estrato difuso, abundante pedregosidad, se recuperaron 580 fragmentos cerámicos. En el perfil expuesto de la excavación se recuperaron 12 fragmentos, obteniendo un total de 592 fragmentos cerámicos del corte. Y 34 elementos líticos en materias primas como: andesita, anfibolita, basalto, diorita, esquisto y granodiorita; estos utensilios corresponden principalmente a manos, cuchillos, placas, percutor, entre otros.

El estrato II superficial abarca los niveles de excavación 1(0-5cm) hasta el nivel 16(75-80cm), donde se reportan los hallazgos.

Figura 81
Perfil estratigráfico norte, Corte 1 Pozo de sondeo positivo N1074 UF 2-3

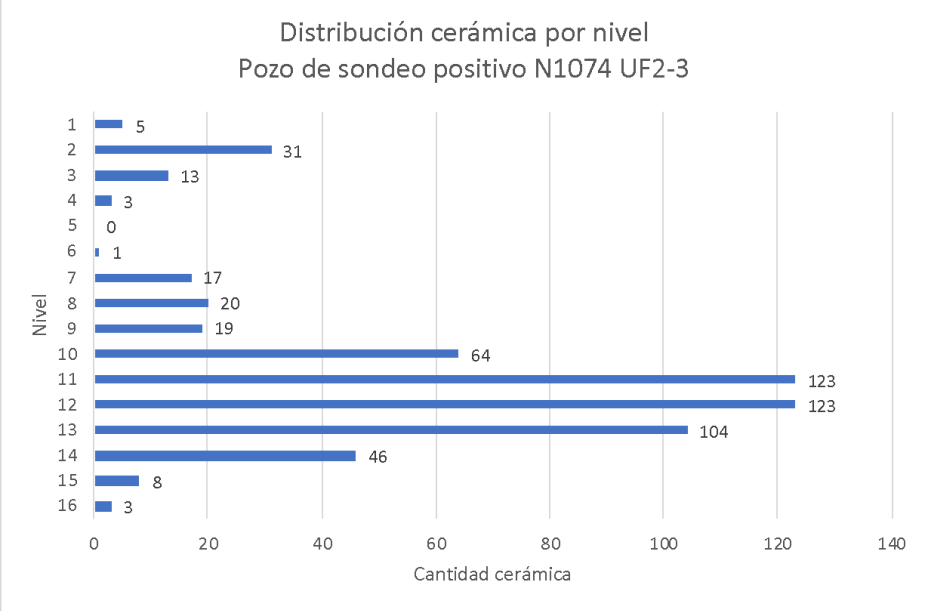
Digitalización, Biblioteca Especializada Alicia Dussán de Reichel. ICANH



Perfil Estratigráfico Norte, **Corte 1**

Figura 82

Distribución vertical de la cerámica, Pozo de sondeo positivo N1074-UF2-3, corte 1

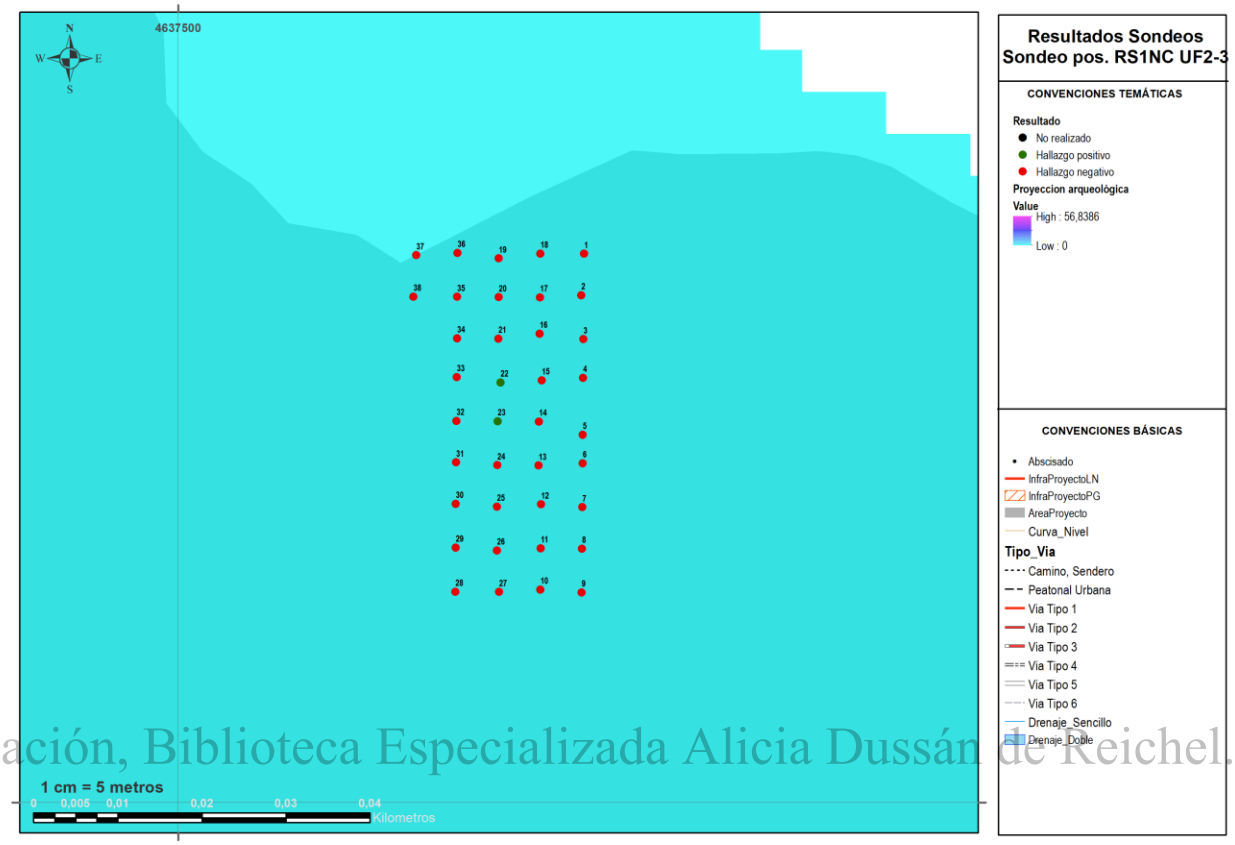


4.1.11 Pozo de sondeo positivo RS1NC UF 2-3

Digitalización, Biblioteca Especializada Alicia Dussán de Reichel ICANH

El yacimiento arqueológico RS1NC está localizado en predios de la finca Los Tanques, municipio de Dabeiba, Antioquia, en las coordenadas planas X:1087941,851 – Y: 1266801,739. El área de este muestreo se encuentra en un descanso de ladera, cubierto de pastos bajos para ganadería, se realizaron 39 sondeos de prueba de los cuales 2 arrojaron evidencias de materiales arqueológicos, cada uno con un fragmento cerámico recuperados en el nivel 2(10-20cm).

Figura 83
Ubicación sondeos y resultado en SP RS1NR-UF2-3



Digitalización, Biblioteca Especializada Alicia Dussán de Reichel. ICANH

Figura 84
Panorámica Pozo de sondeo positivo RS1NC UF2-3



Figura 85
Sondeo positivo #22, RS1NC UF2-3

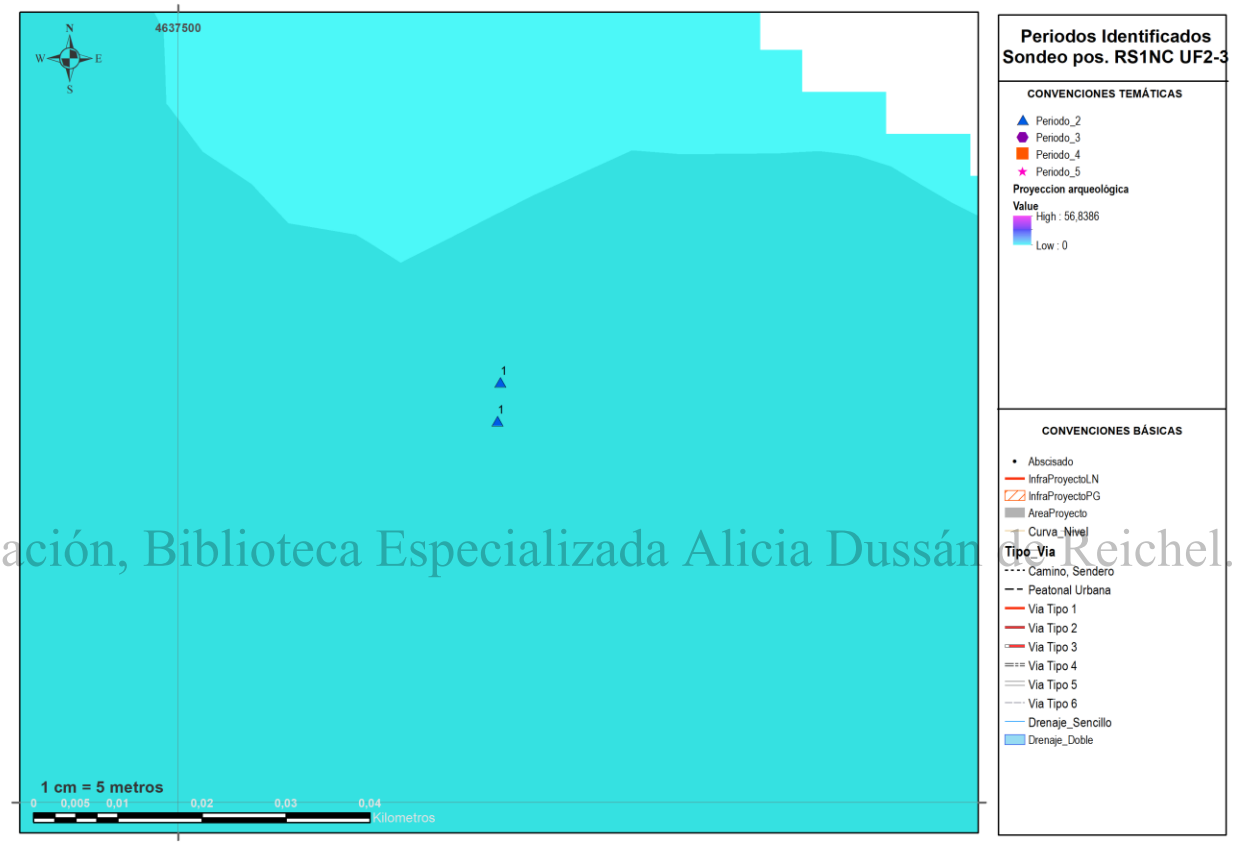


La medida del Plan de Manejo Arqueológico aprobado para este sitio contemplaba la realización de un corte de excavación de 4m², de este modo, entre los sondeos positivos 22 y 23 se realizó la ubicación del corte de 1m x 4m en sentido oriente-occidente, intervenido por intervalos de

excavación de 5cm. La profundidad final de excavación fue 80cm, únicamente se hallaron materiales arqueológicos en las cuadrículas 2 y 4.

Según los resultados de la clasificación del material cerámico de la reprospección y el corte, el área fue ocupada en el periodo 2 (Piazzini, 2018).

Figura 86
Mapa de hallazgos de tipos cerámicos por periodo cronológico en SP RS1NC-UF2-3



Digitalización, Biblioteca Especializada Alicia Dussán de Reichel. ICANH

Descripción estratigráfica y material cultural

Con la lectura estratigráfica del perfil sur del corte 1 en el sitio RS1NC-UF2-3, se evidenciaron 4 estratos de suelo con estas características:

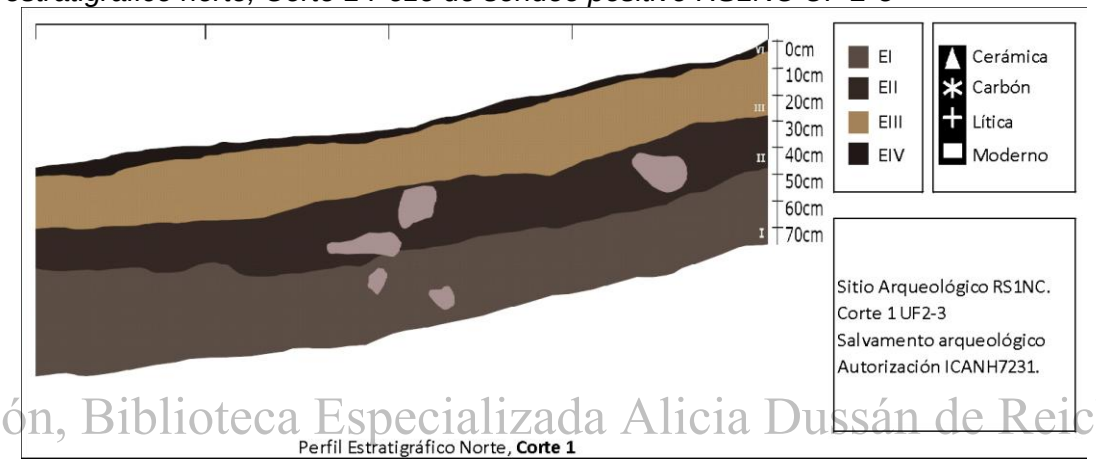
Estrato I: Corresponde con la matriz de suelo inicial de la terraza, tiene un espesor 29cm, color 10YR 4/1 gris oscuro y una textura areno-arcillosa, estructura en bloques sub-angulares finos débiles, sin presencia de actividad biológica y radicular. Contiene abundante pedregosidad en planta, rocas angulares de fractura laminar, se recuperaron dos fragmentos cerámicos.

Estrato II: corresponde a una matriz de suelo de unos 20cm aproximadamente de espesor, de color 10YR 3/1 marrón muy oscuro y textura arcillo-arenosa, con estructura en bloques sub-angulares finos débiles, presencia de rocas en proceso de meteorización y fractura laminar. Asociado al estrato se recupera un fragmento cerámico.

Estrato III: matriz de suelo de 25cm de espesor, color 10YR 6/3, marrón pálido, textura arcillo-arenosa, estructura en bloques sub-angulares finas débiles, contiene raicillas finas, actividad biológica, abundante pedregosidad (cascajo). Asociado al estrato no se recuperaron fragmentos cerámicos.

Estrato IV: corresponde con el estrato superficial del sitio, formado en condiciones ambientales actuales, espesor de 5cm, color 10YR 2/1, negro, textura franca, estructura en bloques sub-angulares finos fuertes, presenta abundante materia orgánica, actividad biológica y radicular. Asociado al estrato no se recuperaron elementos arqueológicos.

Figura 87
Perfil estratigráfico norte, Corte 1 Pozo de sondeo positivo RS1NC UF 2-3



Perfil Estratigráfico Norte, **Corte 1**

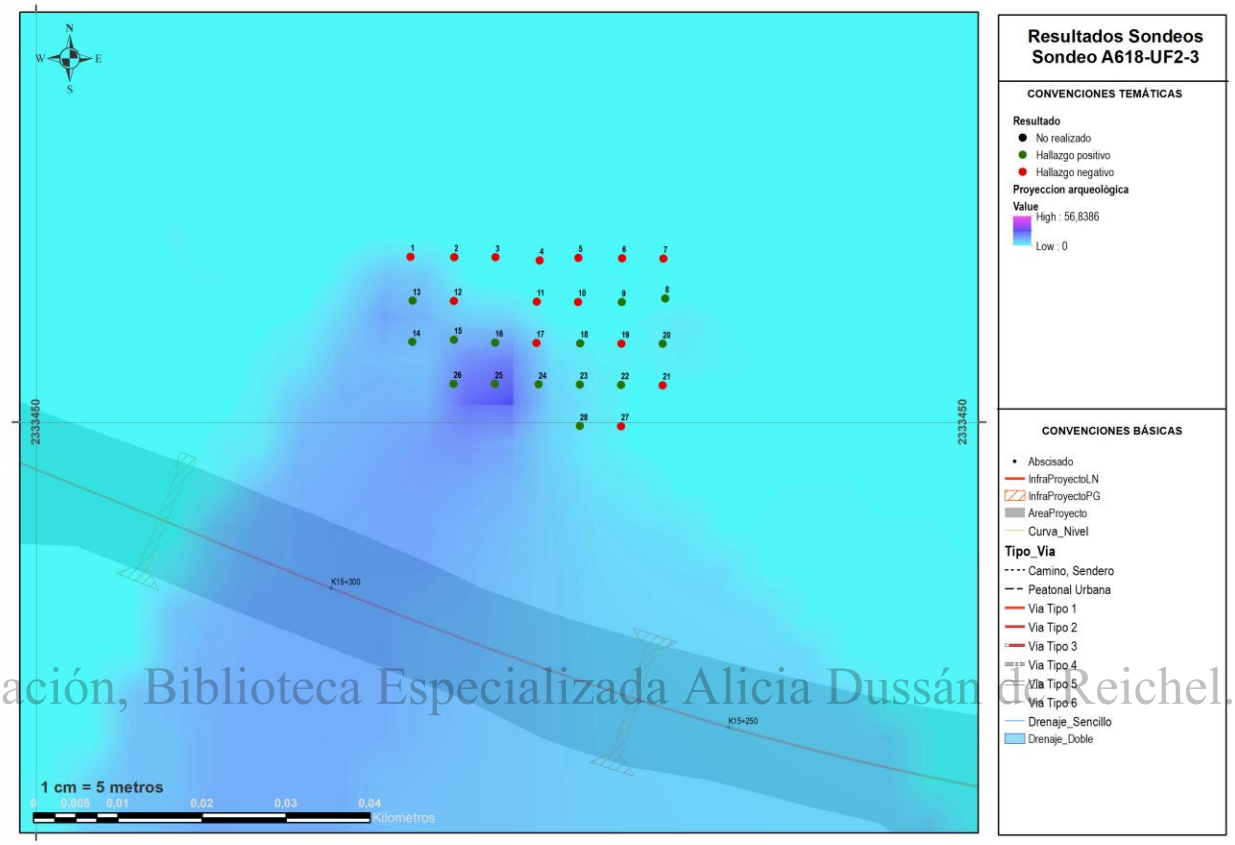
Digitalización, Biblioteca Especializada Alicia Dussán de Reichel. ICANH

4.1.12 Pozo de sondeo positivo A618 UF2-3

El yacimiento arqueológico A 618 es el único contexto funerario encontrado en la ejecución de la fase de salvamento de la licencia 7231, con la particularidad de haber sido sitio domestico en el periodo 2 y lugar de enterramiento en el periodo 5, según se podría inferir de su estratigrafía y tipología cerámica, ubicado sobre un plano coluvial en la finca Los Tanques, vereda Carrá municipio de Dabeiba, Antioquia, en las coordenadas X:1088451,79 Y:1266614,16. En un primer momento se realizó una reprospección en la que se marcaron y excavaron 28 pozos de sondeos distantes a 5m entre sí, de estos 13 arrojaron evidencias de materiales arqueológicos y 15 con resultado negativo.

El resultado de la prospección fue el hallazgo de 36 fragmentos cerámicos entre los niveles 1(0-10cm) y el nivel 4(30-40cm) de profundidad, más la recolección superficial de un fragmento cerámico adicional.

Figura 88
Ubicación sondeos y resultado en SP A618-UF2-3

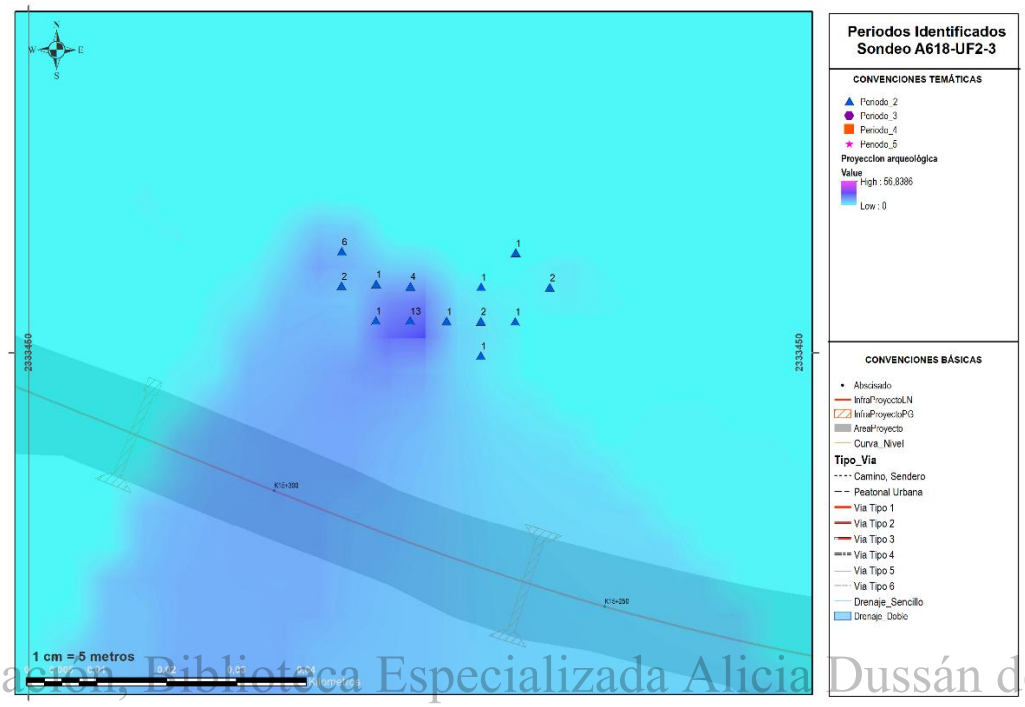


Digitalización, Biblioteca Especializada Alicia Dussán de Reichel. ICANH

En general, los resultados de la reprospección indicaron una baja concentración de evidencias cerámicas y líticas situadas en una secuencia estratigráfica de un espesor de por lo menos 30cm de profundidad. Dicha densidad se concentraba en el sector sur, hacia el hombro del plano. En este último sector se efectuó un corte de 1x4 (Trinchera) orientado en sentido occidente – oriente con el fin de observar la secuencia estratigráfica y deposicional de los materiales arqueológicos.

Según los resultados de la clasificación del material cerámico de la reprospección y el corte estratigráfico, el área fue ocupada en el periodo 2 (Piazzini, 2018). Lo que deja claro que el lugar se uso como sitio de vivienda en el periodo 2 y como sitio de enterramiento en el periodo 5.

Figura 89
Mapa de hallazgos de tipos cerámicos por periodo cronológico en SP A618 UF 2-3



Digitalización, Biblioteca Especializada Alicia Dussán de Reichel. ICANH

Figura 90
Ubicación general del Pozo de sondeo positivo A618



Figura 91
Ubicación del corte

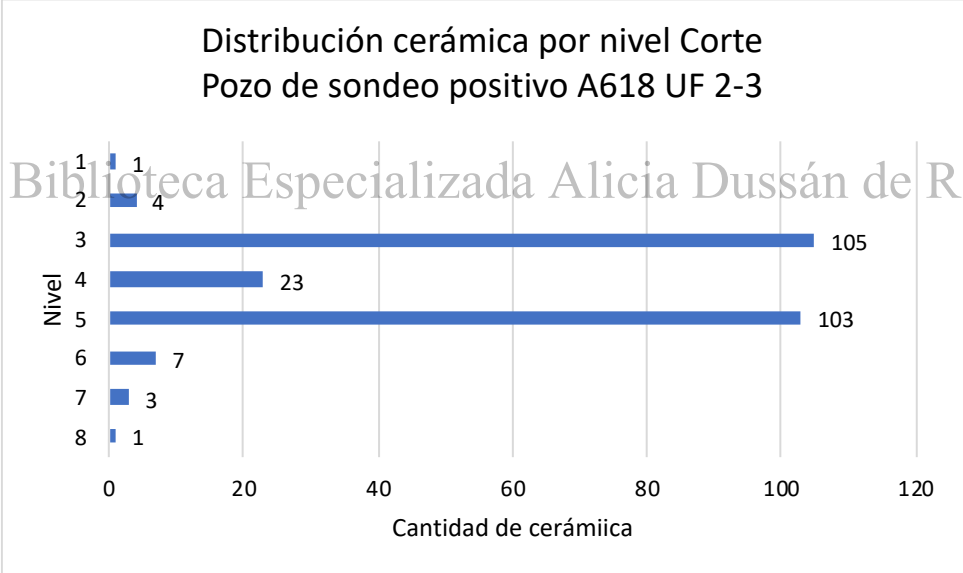


El área de excavación total se dividió en cuatro cuadrículas, las cuales se distribuyen desde la cuadrícula 1 (occidente) a la cuadrícula 4 (oriente), cada una de ellas de 1 m2. Se emplearon niveles métricos de 5 cm, bajando con palustre, registrando cada evidencia recuperada siguiendo este parámetro hasta los 40 cm de profundidad.

Figura 92
Corte en trinchera de 1x4 m



Figura 93
Distribución cerámica por nivel en el Corte A618



Digitalización, Biblioteca Especializada Alicia Dussán de Reichel. ICANH

Figura 94
Estrato I



Figura 95
Estrato II (Tumba)



Rasgo

Durante la excavación inicial de la trinchera se observó un patrón particular en comportamiento del suelo en las cuadriculas 3 y 4. En el perfil norte de la excavación se observó una estructura vertical la cual se denominó como rasgo 1(R1). Para su intervención fue necesario realizar una ampliación de dos cuadriculas adicionales para determinar el tamaño real de la estructura y proceder a excavarla como una sola unidad de suelo, como un solo evento y buscando dejar la pared para no perder la forma de la estructura R1, registrando detalladamente las evidencias que se encontrara dentro ella.

Digitalización y Biblioteca Especializada Alicia Dussán de Reichel. ICANH

Figura 96
Ampliación del corte hacia el R1



Figura 97
Delimitación preliminar del R1



El rasgo 1 a partir de los primeros 50 de profundidad presenta materiales líticos como manos de moler y metates, de manera constante hasta los dos metros, profundidad a la que se llega al piso de la tumba, donde se hallaron depositados en una matriz de suelo que evidenciaba una alteración considerable, restos óseos humanos, como huesos largos, costillas, dientes y falanges, en este punto de la excavación se hizo necesario observar y registrar la distribución

espacial de estos restos óseos para poder comprender las dimensiones totales del contexto funerario encontrado, y proceder a replantear la estrategia de recuperación de este contexto funerario.

Al observar que los restos óseos se encontraban sepultados y no se observó algún tipo de cambio en la estructura y composición del suelo que indicara la presencia de una cámara lateral tomó la decisión de excavar y retirar la totalidad de suelo para cumplir con el objetivo de observar la distribución horizontal de las evidencias. Por su parte fue necesario ampliar otras dos cuadriculas al costado oriental para tener una mayor visión de las evidencias encontradas.

Figura 98
Excavación del relleno del R1



Figura 99
Presencia de Metate y manos de Moler en el relleno del R1



Digitalización, Biblioteca Especializada Alicia Dussán de Reichel. ICANH

Figura 100
R1 a 1.60 m de profundidad



Figura 101
Vista de la trinchera inicial y ampliación para excavar R1



Figura 102
Aparición en el R1 de huesos largos humanos a 2.10 m de profundidad



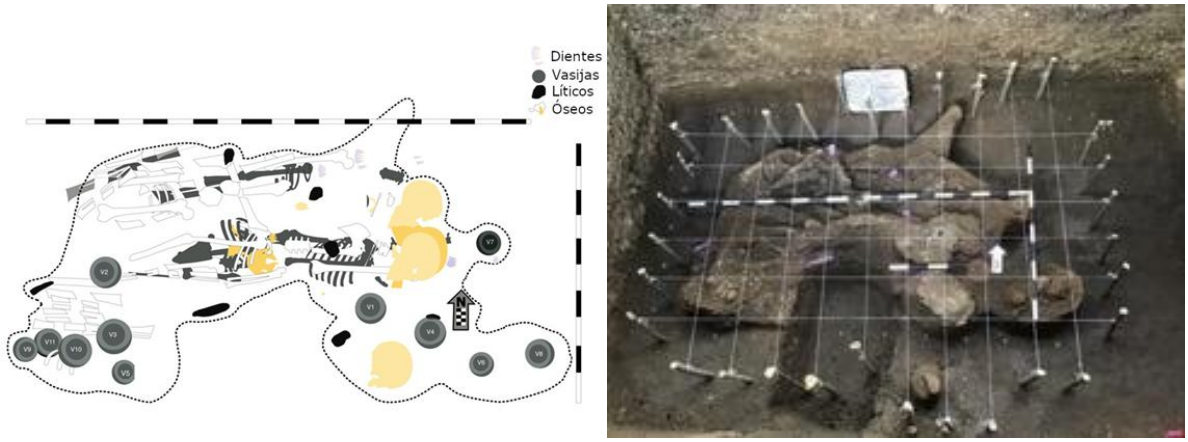
Figura 103
Aparición en el R1 de huesos largos humanos a 2.10 m de profundidad



Digitalización: Biblioteca Especializada Alicia Dussan de Reichel. ICANH

Panorama final del contexto funerario antes de levantar los bloques de suelo con restos óseos para llevarlos al laboratorio para su microexcavacion.

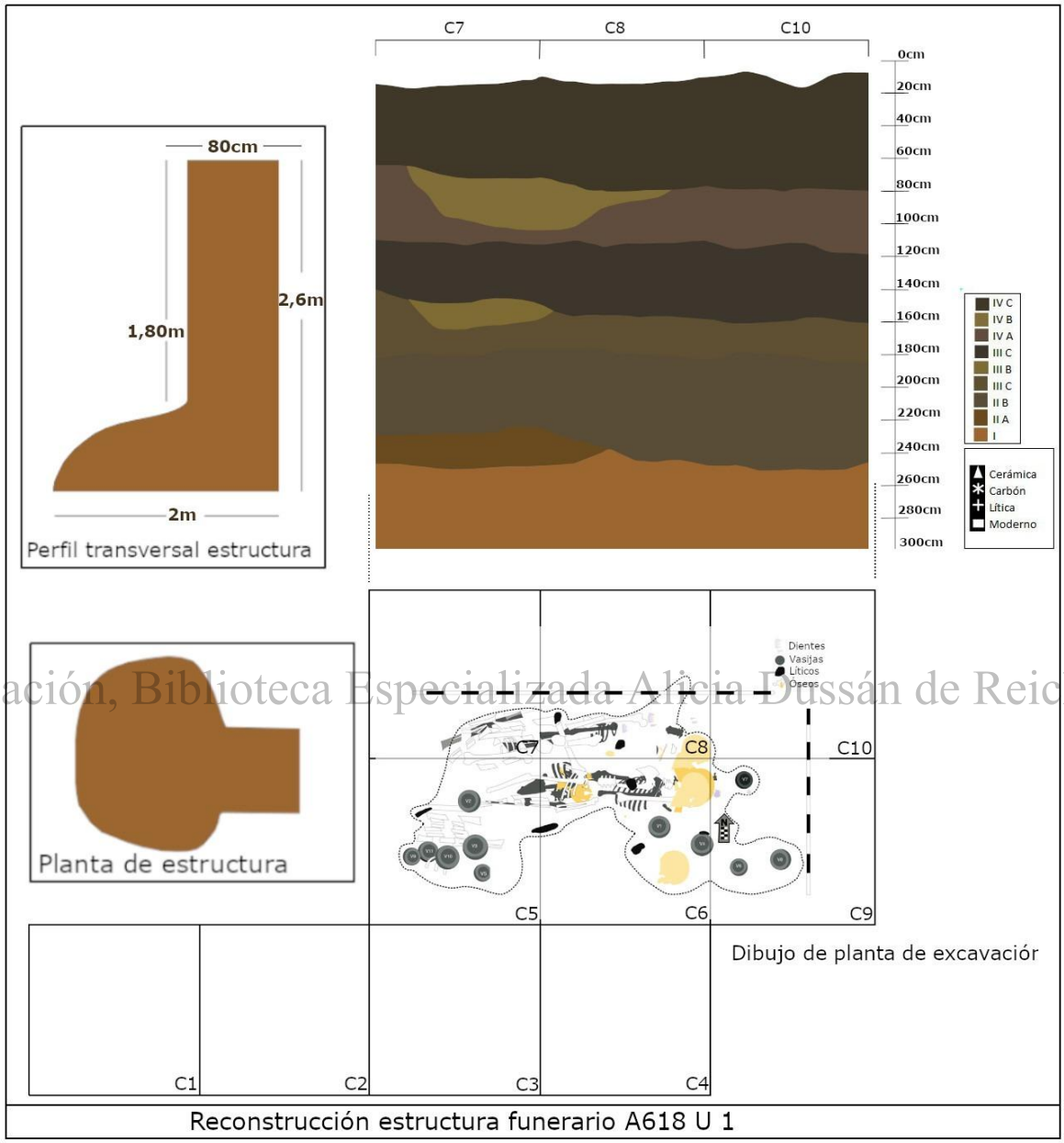
Figura 104
Planta general enterramiento A618



A los 2,50 m de profundidad queda expuesto en su extensión total el contexto funerario que presenta un estado de conservación precario, por el cual se decide su levantamiento en bloques para ser excavado en el laboratorio por una especialista. Para la labor de registro, excavación y levantamiento del contexto funerario a fin de transportarlo para su microexcavacion en laboratorio fue necesario generar una malla de cuadriculas (20x20cm) que abarcara toda la extensión de las evidencias, para luego realizar el levantamiento de bloques de suelo con restos óseos humanos.

Digitalización Biblioteca Especializada Alicia Dussán de Reichel ICANH

Figura 105
Estructura funeraria A618



Reconstrucción estructura funerario A618 U 1

Digitalización, Biblioteca Especializada Alicia Dussán de Reichel. ICANH

Tabla 5

Horizonte	Color Munsell	Tipo de suelo
IVC	10YR3/2	Suelo no estructural
IVB	10YR5/4	Suelo con máximo desarrollo de pets
IVA	7.5YR4/3 10YR5/4	Suelo orgánico humificado
IIIB	10YR4/3	Suelo con máximo desarrollo de pets
IIIA	10YR5/4	Suelo orgánico humificado
IIB	10YR4/2	Suelo con máximo desarrollo de pets

Horizonte	Color Munsell	Tipo de suelo
IIA	10YR4/4	Suelo orgánico humificado
I	7.5YR5/6	Saprolito

Se observa una particular dispersión espacial, todos los huesos largos fueron depositados en el costado oriental de la cámara y los cráneos y algunos huesos cortos al oriente. Esta distribución parece obedecer a la acción del agua y procesos erosivos propios de la ladera, el techo de la cámara también está colapsado y está llena de una matriz de suelo.

Algunos restos óseos evidencian tratamiento secundario con fuego, en su mayoría el deterioro de los huesos es alto, por lo que, a primera vista, en la planta de la excavación, parecía que solo eran dos individuos, cuando en realidad son 11 individuos comprimidos por los procesos erosivos del suelo.

Figura 106
Contexto funerario



Digitalización autorizada especialmente para Duque Reichel. ICANH

El Ajuar funerario compuesto 11 vasijas, cinco hachas, un cincel y una mano de moler, asociados a restos óseos humanos de 11 individuos.

Figura 107

Líticos ajuar A618 Vasijas ajuar a 618





Vasijas cerámicas, ofrendas en contexto funerario A618

Digitaliza , Biblioteca Especializada Alicia Dussán de Reichel. ICANH

Las vasijas corresponden al tipo Crema Fino-F11- del periodo 5 que va del 1.550 al 1.900 d.C. (Piazzini, 2018), también identificado en otros contextos funerarios como inciso con borde doblado (Castillo,1988), identificado como característico del complejo cultural del noroccidente antioqueño, cuyo horizonte temporal se encuentra entre los siglos X a XVI d.C, y que geográficamente abarca desde la ciénaga de Tumarandó en el bajo Atrato, la cuenca del río Sucio y el margen occidental de la cuenca del río Cauca. Acorde con esto, las muestras usadas para la datación radiocarbónica del contexto funerario del sitio arqueológico A618, sitúan el nicho funerario en el siglo XVI, reportándose una antigüedad de 400 ± 30 años BP (Beta - 528426) y 390 ± 30 años BP (Beta- 528425).

Figura 108
Retícula de levantamiento de bloques de suelo con restos óseos humanos para la microexcavación el laboratorio.



La microexcavacion de los bloques de suelo con restos humanos y el análisis bioarqueológico se realizó en el laboratorio de arqueología de la Universidad de Antioquia a partir del análisis de 48 bloques del pedestal, 26 bolsas con restos óseos y dentales, y 11 vasijas que hacían parte del ajuar. El análisis bioarqueológico plantea la descripción de los procedimientos metodológicos, conclusiones y recomendaciones en tres aspectos: 1) la descripción de la formación del depósito funerario, 2) la reconstrucción de las prácticas funerarias representadas en el enterramiento y 3) describe el perfil biológico estimado a partir de los restos óseos de los individuos hallados en el nicho. El documento concluye con la integración de los tres tópicos en el contexto temporal y espacial prehispánico existente para esta región hasta la fecha. (ver en resultados de laboratorio/análisis especializados).

Digitalización, Biblioteca Especializada de Alicia Dussán de Reichel, ICANH

4.2 Actividades de prospección y salvamento en ZAP Zonas de Alto Potencial

Se realizaron 28 cortes estratigráficos, 7 de ellos en los pozos de sondeo positivo que debían ser prospectados y teniendo en cuenta el potencial arqueológico identificado en la prospección les fue implementada la medida de salvamento arqueológico previa aprobación del ICANH.

En la medida de salvamento del plan de manejo arqueológico se define hacer prospección intensiva cada 5 metros y posteriormente cortes estratigráficos de mínimo 4m^2 en cada una las 13 ZAP o Zonas de Alto Potencial (INERCO), la **Tabla 6** se indican la cantidad de cortes realizados y los materiales recuperados.

Tabla 6

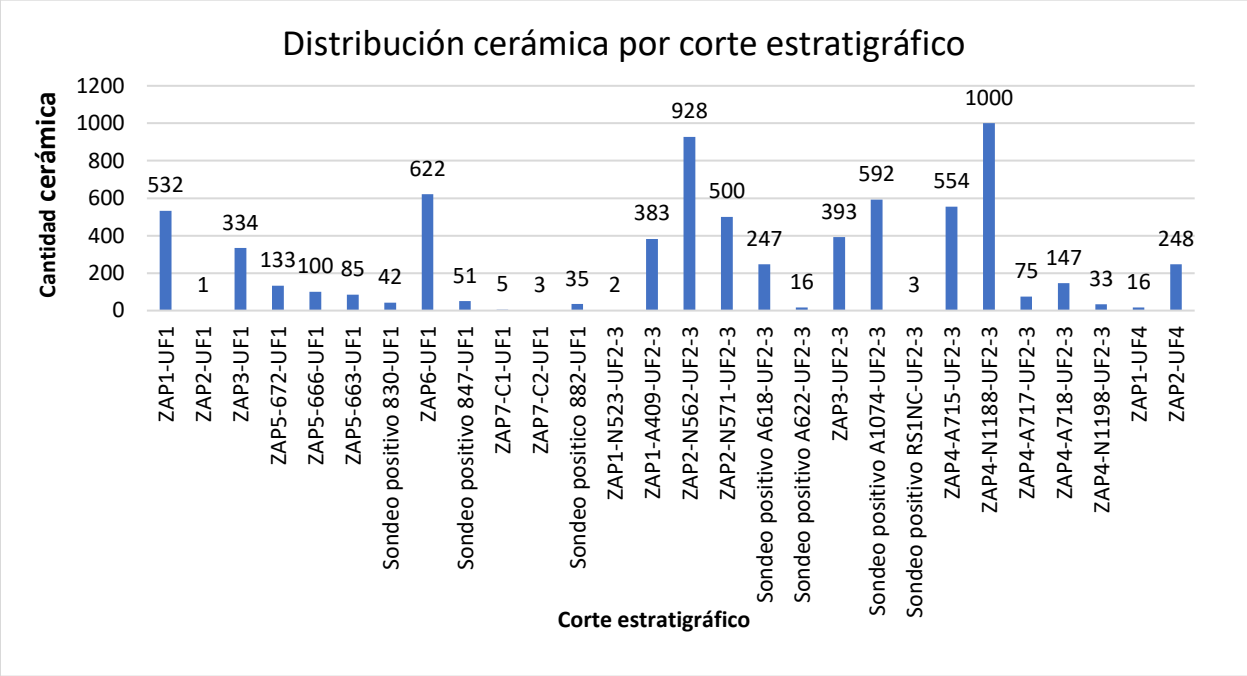
Resultados del salvamento de las ZAP

ZAP	Unidad funcional	Sondeos positivos	Cerámica prospección	Líticos prospección	Tamaño Corte	Cerámica Corte	Líticos Corte
ZAP1	UF 1	41	395	1	1m x 4m	532	20
ZAP2	UF 1	0	0	-	2m x 2m	1	-
ZAP3	UF 1	39	156	-	2m x 2m	334	7
ZAP4	UF 1	34	0	-	-	-	-
ZAP5	UF 1	119	293	9	3 cortes (3x3, 2x4, 2x3)	318	7
ZAP6	UF 1	41	157	-	1m x 4m	622	7
ZAP7	UF 1	5	8	-	2 cortes (1x2, 1x2)	8	-
ZAP1	UF 2-3	8	33	-	2 cortes (1x4, 2x2)	385	3
ZAP2	UF 2-3	18	97	-	2 cortes (1x4, 1X4)	1428	9
ZAP3	UF 2-3	16	117	1	1m x 4m	393	22
ZAP4	UF 2-3	98	487	-	5 cortes (1x4, 2x2, 2x2, 1x4, 3x2)	1809	4
ZAP1	UF 4	7	45	-	2m x 2m	16	-
ZAP2	UF 4	9	71	-	2m x 2m	248	-
Totales		**435**	**1859**	**11**	**21 cortes 91 m²**	**6094**	**79**

Digitalización, Biblioteca Especializada Alicia Dussán de Reichel. ICANH

Los artefactos cerámicos clasificados de los cortes estratigráficos, se distribuyen cuantitativamente así, el sitio con mayor frecuencia cerámica es la ZAP4-N1188-UF2-3, con un total de 1.000 fragmentos, equivalentes al 16,4% del total de la muestra. Posteriormente, se encuentra el sitio ZAP2-N562-UF2-3, con un total de 928 fragmentos para un 15,2% de los fragmentos clasificados; en la misma secuencia, tenemos el sitio ZAP6-UF1, con un total de 622 fragmentos cerámicos, correspondientes al 10,2% de las muestras recuperadas y clasificadas en el marco de este proyecto arqueológico y el yacimiento ZAP4-A715-RS1NR-UF2-3 con un total de 554 fragmentos cerámicos, correspondientes al 9,1%. El resto de los sitios arqueológicos presentan menores frecuencias de materiales arqueológicos, sin embargo, son importantes en términos de establecer patrones y uso del espacio por parte de grupos humanos. De 28 cortes estratigráficos, la mitad tienen menos de 100 fragmentos de cerámica.

Figura 109
Distribución de cerámica por corte estratigráfico



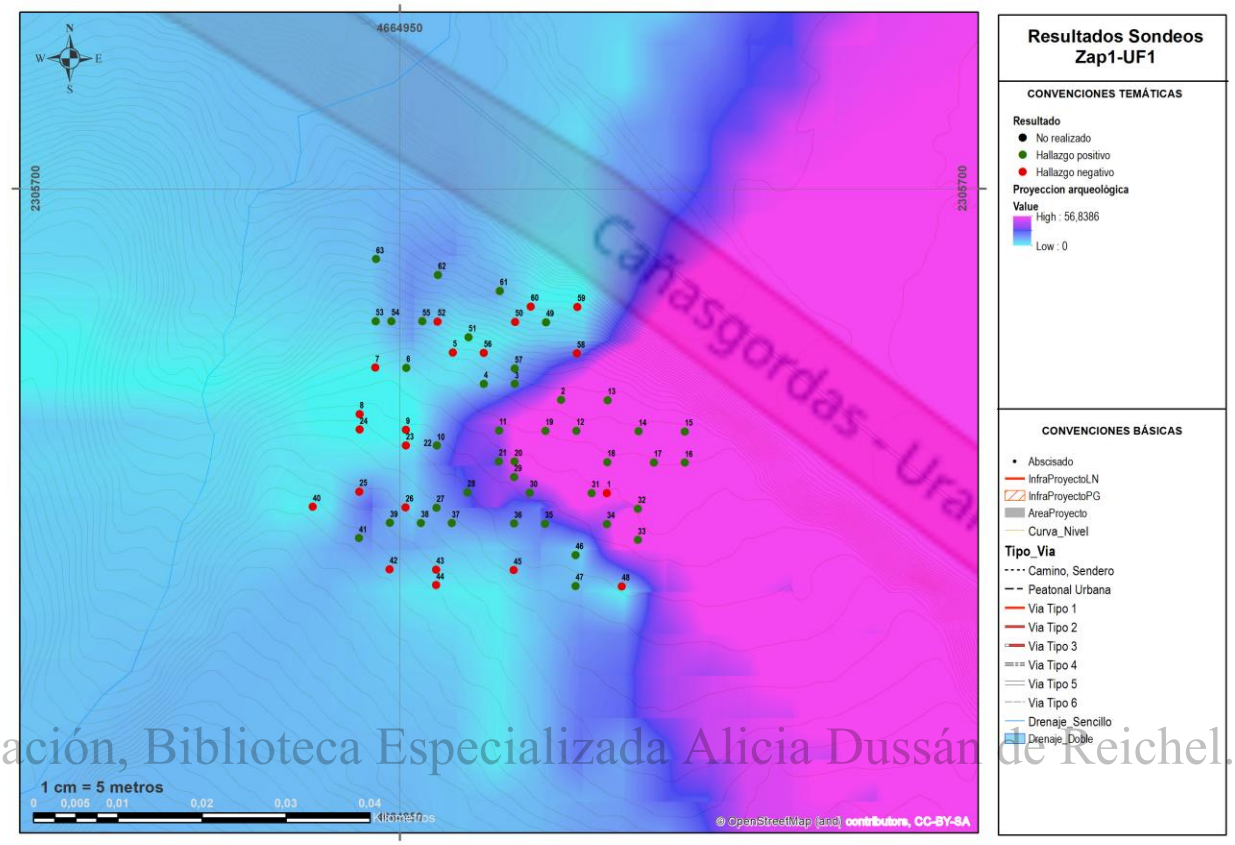
Digitalización, Biblioteca Especializada Alicia Dussán de Reichel. ICANH

4.2.1 ZAP1 UF1

La ZAP1-UF1 está ubicada en el barrio Cristo Rey del municipio de Cañasgordas, en la margen izquierda de la vía que conduce al municipio de Uramita (vía nacional Medellín y Urabá), en las coordenadas planas X: 1115629,899 – Y: 1239069,817 y geomorfológicamente se encuentra sobre un depósito coluvio-aluvial en el cual se ha realizado actividades de cultivo y ganadería en las últimas décadas. La ladera donde se ubica este yacimiento arqueológico es impactada con las obras civiles de la vía MAR2 y la antigua carretera en la parte baja cercana al rio Cañasgordas, que más adelante forma el Riosucio. La zona corresponde con una ladera de pendientes suaves intercaladas con laderas de pendientes abruptas y cuchillas, cubierta de pastos bajos para ganadería y árboles frutales de guayabo que actúan como cerca viva. Dentro del polígono de re-prospección se realizaron 63 sondeos de prueba a cinco metros de distancia entre ellos, resultando 41 positivos para el hallazgo de materiales arqueológicos prehispánicos y 22 negativos.

El resultado de la re-prospección arrojo el hallazgo de 395 fragmentos cerámicos en los 41 sondeos de pruebas positivos, material que se halló entre el nivel 1(0-10cm) y el nivel 5(40-50cm) de profundidad y una lasca secundaria recuperada en el sondeo 4 nivel 3(20-30cm).

Figura 110
Ubicación sondeos y resultado en ZAP1-UF1



Digitalización, Biblioteca Especializada Alicia Dussán de Reichel. ICANH

Figura 111
Panorámica sitio ZAP1 UF1

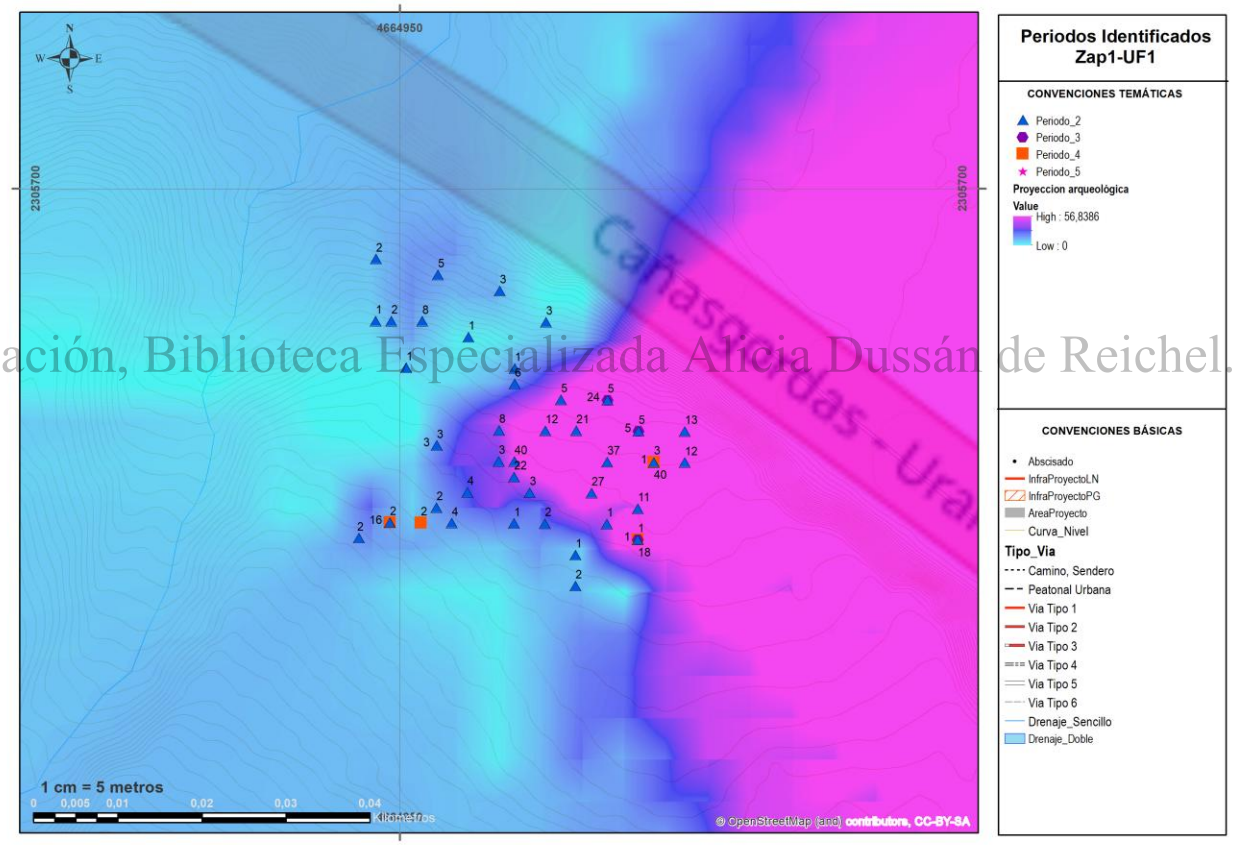


Luego de la prospección arqueológica y teniendo como referencia los sondeos en los cuales se halló una mayor cantidad de materiales arqueológicos (cerámica), se ubicó el área donde se debía excavar, se dispuso la excavación de una trinchera de 1m de ancho por 4m de largo orientada en sentido norte-sur.

En general, los resultados de la reprospección indican una concentración de evidencias cerámicas y líticas situadas en una secuencia estratigráfica de un espesor de por lo menos 30 cm de profundidad. Dicha densidad se concentraba en el sector norte del coluvio, hacia el hombro del plano. En dicho sector se efectuó un corte de 1x4 (Trinchera) orientado en sentido Sur – Norte con el fin de observar la secuencia estratigráfica y deposicional de los materiales arqueológicos.

Según los resultados de la clasificación del material cerámico de la reprospección, el área fue ocupada en el periodo 2 y 4 (Piazzini, 2018). Según los resultados de la clasificación del material cerámico del corte, el área fue ocupada en los periodos 2, 3 y 4 (Piazzini, 2018), siendo el periodo 2 el de mayor frecuencia cerámica, con 475 fragmentos.

Figura 112
Mapa de hallazgos de tipos cerámicos por periodo cronológico en ZAP1-UF1



Digitalización, Biblioteca Especializada Alicia Dussán de Reichel, ICANH

La excavación del corte estratigráfico fue mediante niveles arbitrarios de 5cm hasta agotar los estratos arqueológicos y llegar al horizonte parental en el nivel 14 a 70cm de profundidad. La mayor frecuencia de cerámica se presenta entre los 5cm y 25cm de profundidad, al final de la excavación se identifican tres estratos culturales que conformarían el yacimiento arqueológico.

Figura 113
Excavación corte 1, ZAP1 UF1



A partir del registro, dibujo y observación de las evidencias recuperadas durante esta actividad, se lo logro identificar una distribución de artefactos, ecofactos y sedimentos naturales, con la cual se planteó una unidad de depositación sobre la formación coluvioaluvial. La estratigrafía del corte arrojó la siguiente secuencia:

Digitalización Biblioteca Especializada Alicia Dussan de Reichel ICANH

Figura 114
Foto de la estratigrafía corte 1- ZAP1



Descripción estratigráfica y material cultural

Las características de estos tres estratos culturales es la siguiente:

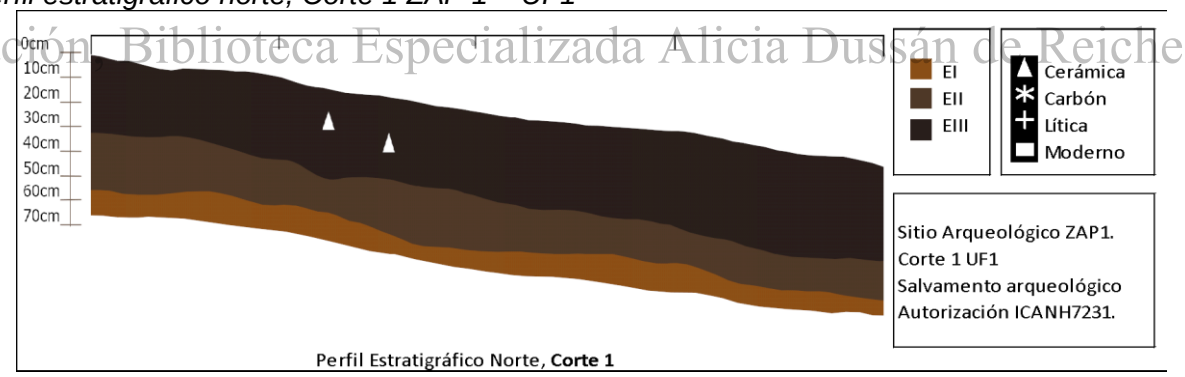
Estrato I: Corresponde a la matriz de suelo inicial del sitio, espesor aproximado de 11cm, color 7.5YR 5/6 marrón fuerte, textura limo-arcillosa, estructura en bloques subangulares finos y fuertes, suelo plástico y muy húmedo sin presencia de raíces. Asociado a este estrato se reporta el hallazgo de tres fragmentos cerámicos.

Estrato II: Corresponde a la matriz de suelo intermedia, espesor aproximado de 23cm, color 7.5YR 4/2 marrón, textura franco-arcillosa, estructura en bloques subangulares medio fuertes, contiene raicillas finas aisladas y escasas. Asociado al estrato se recuperaron 28 fragmentos cerámicos y un raspador en basalto.

Estrato III: Es el estrato superficial formado por las condiciones ambientales actuales, tiene un espesor aproximado de 32cm, con abundante materia orgánica y actividad biológica y radicular, de color 7.5YR 3/1 gris muy oscuro, con textura franca y estructura en bloques subangulares finos débiles. Asociado a este estrato se recuperaron 501 fragmentos cerámicos. Y 19 artefactos líticos tallados en andesita, anfibolita y basalto, principalmente lascas de primero, segundo y tercer orden.

Figura 115
Perfil estratigráfico norte, Corte 1 ZAP 1 – UF1

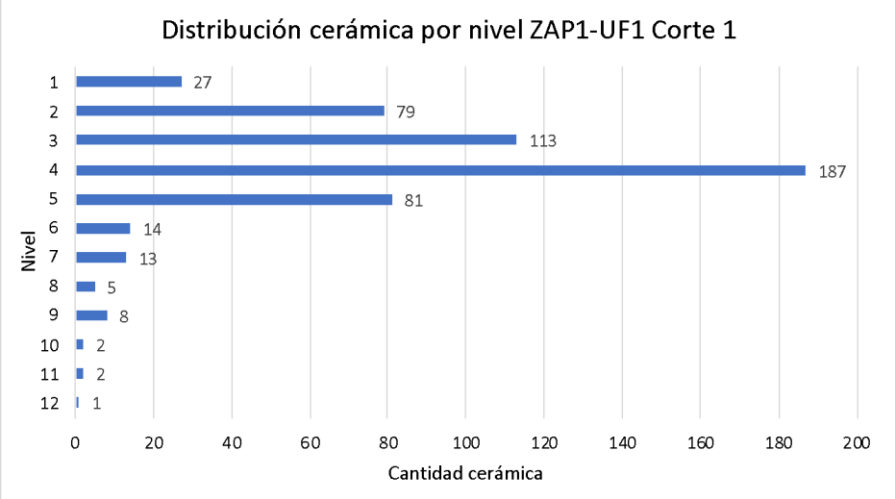
Digitalización: Biblioteca Especializada Alicia Dussán de Reichel. ICANH



La **Figura 116** nos permite inferir la ocurrencia en este yacimiento arqueológico llamado ZAP 1, tiene una ocupación que empieza a una profundidad de 60cm, y que presenta su mayor frecuencia de materiales a los 20 cm, donde empieza a evidenciarse el abandono paulatino o menor uso de este sitio.

Figura 116

Distribución vertical y frecuencia de la cerámica, ZAP1-UF1, Corte 1

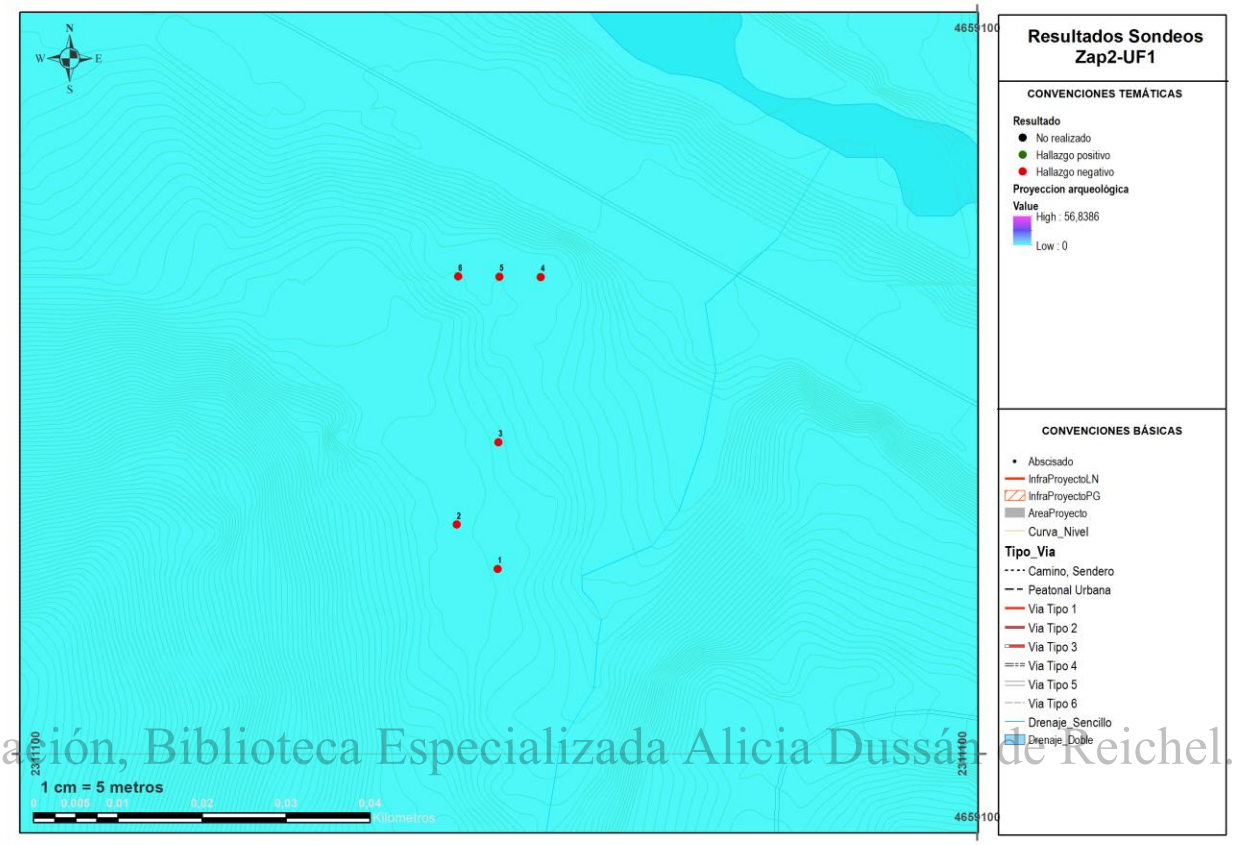


4.2.2 ZAP2 UF1

La ZAP 2 de la UF 1 está ubicada en la vereda Chontaduro del municipio de Cañasgordas, en las coordenadas planas X: 1109675,528 – Y: 1244480,944, en la margen derecha de la vía al mar. El área del yacimiento arqueológico está alterado de manera drástica por las ruinas de una finca de ganadería con una mayoría que tenía vivienda e instalaciones como corrales y bebederos, además dentro de este polígono de re-prospección también está la vía al mar, el área está cubierta de vegetación arbustiva espesa que sumada a las áreas duras de la mayoría hacen difícil realizar una malla consistente de sondeos de prueba, entonces se optó por realizarlos en las pocas áreas blandas existentes, es así, que se excavaron 6 sondeos de prueba, resultando negativo para todas las intervenciones realizadas, esta área será afectada por la construcción del nuevo corredor de vía MAR 2.

Digitalización Biblioteca Especializada Alicia Dussán de Reichel ICANH

Figura 117
Ubicación sondeos y resultados en ZAP2-UF1



Digitalización, Biblioteca Especializada Alicia Dussán de Reichel. ICANH

Figura 118
Alteraciones modernas ruinas finca ganadera, ZAP2 UF1



Figura 119
Sondeo en ZAP2 UF1



Ante la ausencia de materiales arqueológicos en los sondeos realizados, se realizó un corte de 2mx2m, 4m² en sentido norte-sur al lado del sondeo positivo según la prospección ejecutada anteriormente para formular el plan de manejo arqueológico, se excava mediante niveles arbitrarios de 5cm hasta el saprolito, la profundidad final fue 50cm (nivel 10). Solo en la cuadrícula

3 nivel 3 entre10-15cm se halló un fragmento cerámico, el resto de materiales recuperados en la excavación fueron modernos, como vidrio, plástico, hierro, cemento y adobe, hallados desde la superficie del corte hasta los 40cm de profundidad. No se halló presencia de materiales líticos.

Figura 120
Corte de excavación, ZAP2 UF1



Figura 121
Planta final corte 1, ZAP2 UF1



Los dos fragmentos recuperados en la prospección son tipos cerámicos asociados al periodo, el fragmento cerámico recuperado en el corte es del periodo 4.

Descripción estratigráfica y material cultural

A continuación, se presenta la descripción estratigráfica del perfil de suelo de la ZAP2-UF1.

Digitalización, Biblioteca Especializada Alicia Dussán de Reichel. ICANH

Estrato I: corresponde con el horizonte inicial de suelo, de color 10YR 4/1 (gris oscuro), textura areno-arcillosa y estructura en bloques sub-redondeados medios y friables, escasa actividad biológica y radicular, presencia de rocas grandes en planta, el límite superior con el siguiente estrato es difuso, con un espesor de 10cm y sin presencia de materiales arqueológicos.

Estrato II: corresponde con la matriz de suelo superficial del sitio formado en condiciones ambientales actuales, de color 10YR 2/1 (negro), textura franca y estructura en bloques sub-redondeados finos, abundante materia orgánica, límite inferior difuso, con espesor aproximado de 30cm, asociado a este estrato se halló un fragmento cerámico e igualmente gran cantidad de materiales modernos como vidrio, hierro, plástico, cemento, adobe y tejas.

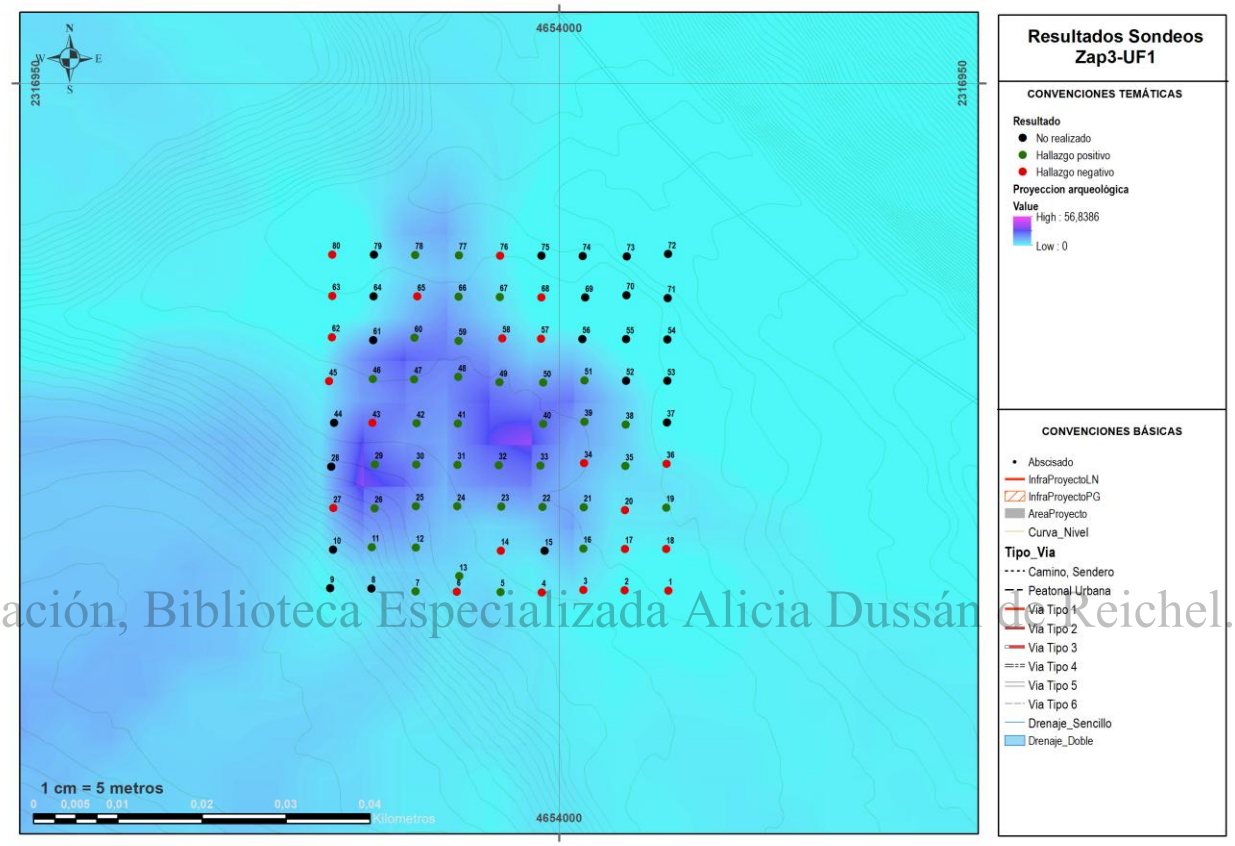
4.2.3 ZAP3 UF1

Este yacimiento arqueológico está ubicado en jurisdicción del municipio de Uramita, Antioquia, en el corregimiento El Pital, margen izquierda de la vía al Mar, coordenadas planas X: 1104569,373 – Y: 1250207,578. El polígono de prospección de la ZAP3 de la UF1 será cortado por el nuevo trazado de la vía Mar 2, la zona presenta una vegetación de árboles frutales y pasto usado para el pastoreo de ganado vacuno y equino. Respecto a la geomorfología, corresponde con una terraza aluvial ubicada en la margen derecha, aguas abajo del río Sucio.

La proyección de los sondeos cada 5 metros nos permitió la ubicación de 80 pozos de sondeo en el área, en 39 se recuperaron materiales arqueológicos, 20 fueron negativos y 21 no realizados debido a ubicarse donde existe un muro de una antigua construcción en adobe y

cemento en ruinas. El resultado de la re-prospección arrojo el hallazgo de 156 fragmentos cerámicos en los 39 sondeos de pruebas positivos, material que se halló entre el nivel 1(0-10cm) y el nivel 6(50-60cm) de profundidad.

Figura 122
Ubicación de sondeos y resultados en ZAP3-UF1



Digitalización, Biblioteca Especializada Alicia Dussán de Reichel. ICANH

Figura 123
Panorámica, ZAP3 UF1

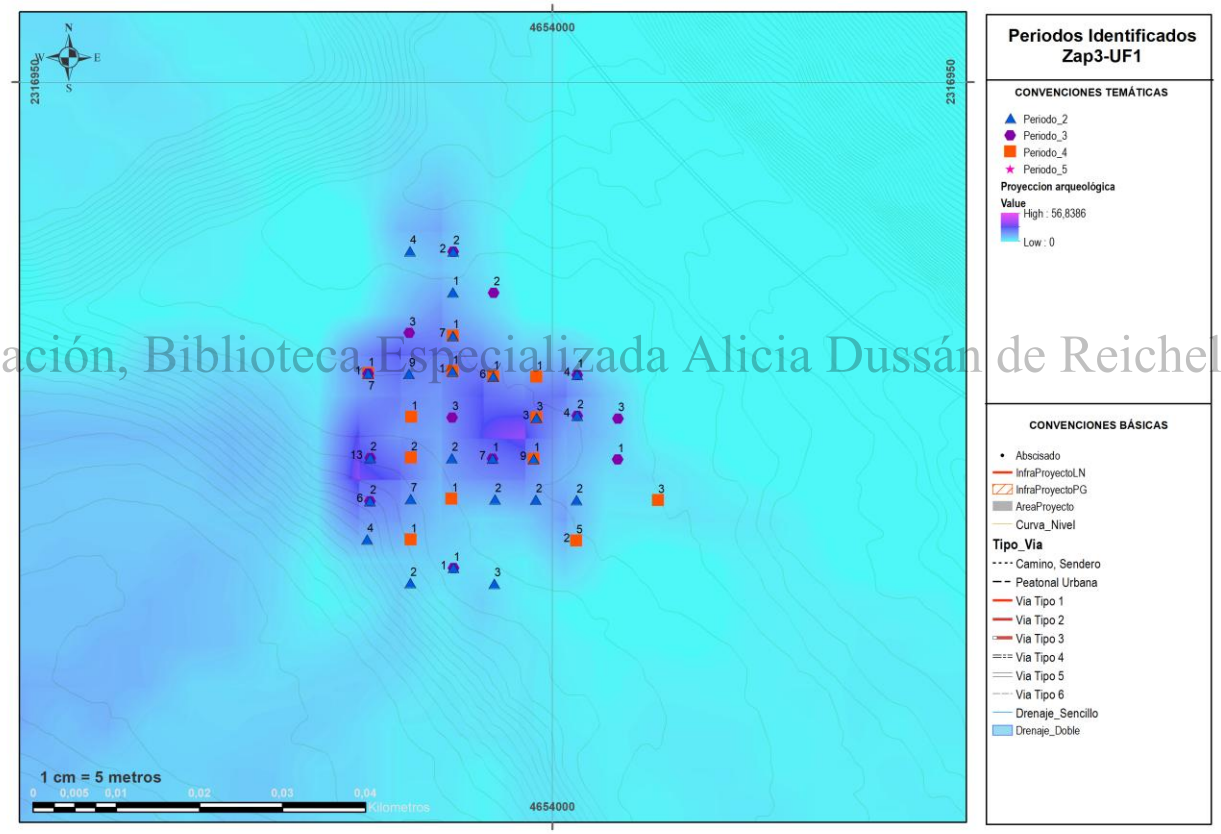


Concluido el proceso de excavación de los sondeos de prueba y teniendo como referencia los de mayor frecuencia de materiales arqueológicos, se situó la excavación de un corte estratigráfico de 2m x 2m: 4m², orientado en sentido norte-sur. La excavación se realiza en niveles arbitrarios de 5cm hasta llegar al saprolito, el nivel final de excavación fue 60cm de profundidad. La mayor cantidad de materiales se recuperaron entre 10cm y 30cm.

Según los resultados de la clasificación del material cerámico de la reprospección y el corte estratigráfico, el área fue ocupada en el periodo 2, 3 y 4 (Piazzini, 2018). Según los resultados de la clasificación del material cerámico del corte, el periodo 2 es el de mayor frecuencia cerámica, con 225 fragmentos.

Figura 124

Mapa de hallazgos de tipos cerámicos por periodo cronológico en ZAP3-UF1



Digitalización, Biblioteca Especializada Alicia Dussán de Reichel. ICANH

Figura 125
Corte de excavación, ZAP3 UF1



Figura 126
Proceso de excavación, ZAP3 UF1



Descripción estratigráfica y material cultural

La descripción estratigráfica del perfil de suelo de la ZAP3-UF1, evidenció las siguientes características:

Estrato I: corresponde con la matriz de suelo inicial de la terraza con espesor 20cm, la forma de bloques es sub-redondeados finos de estructura friable, con textura areno-arcillosa y de color 10YR 5/3 (marrón), hay presencia de rocas grandes y raíces finas aisladas. Sin presencia de material cultural.

Digitalización, Biblioteca Especializada Alicia Dussán de Reichel. ICANH

Estrato II: presenta una matriz de suelo de 15cm aproximadamente, color 10YR 4/2 (marrón grisáceo oscuro), textura franco-arcillosa, estructura friable en bloques sub-angulares medios, humedad media, con actividad biológica y radicular, presencia de rocas medianas y grandes. Los materiales recuperados en este estrato corresponden a 62 fragmentos cerámicos.

Estrato III: este estrato de suelo corresponde con la parte superficial del sitio, formado en condiciones ambientales actuales, contiene abundante actividad biológica y radicular, espesor de 25cm, color 10YR 3/1 (gris muy oscuro), textura franca, de forma sub-angulares, con estructura en bloques finos fuertes. En este estrato fueron recuperados 265 fragmentos cerámicos. Y 7 fragmentos más en el perfil de este estrato. Igualmente, asociado a este estrato entre 15 y 20cm se reporta el hallazgo de 7 artefactos líticos; 6 lascas y un núcleo, elaboradas en andesita, basalto y lodolita.

La **Figura 127** muestra distribución de materiales por nivel del corte 1 en la ZAP3 UF1, nos muestra un inicio de ocupación a una profundidad de 40cm, la cual se mantiene de forma progresiva hasta la superficie, teniendo el mayor auge de ocupación representada en aumento de los fragmentos cerámicos entre los 15cm y 30cm, interpretándose que el sitio se dio una sola ocupación.

Figura 127

Distribución vertical de la cerámica, ZAP3-UF1, corte 1

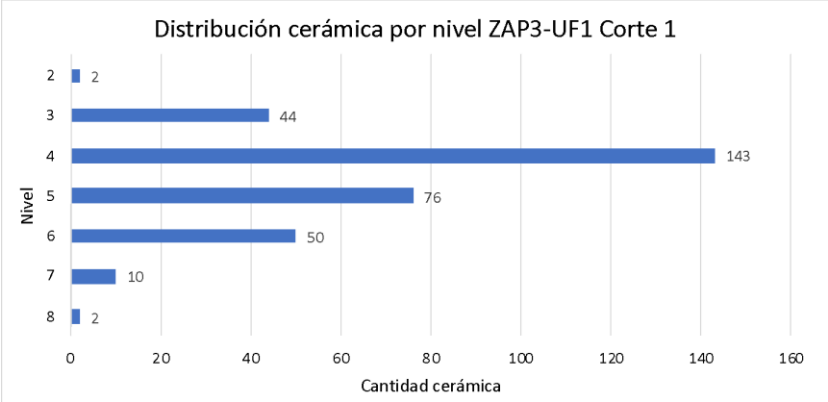
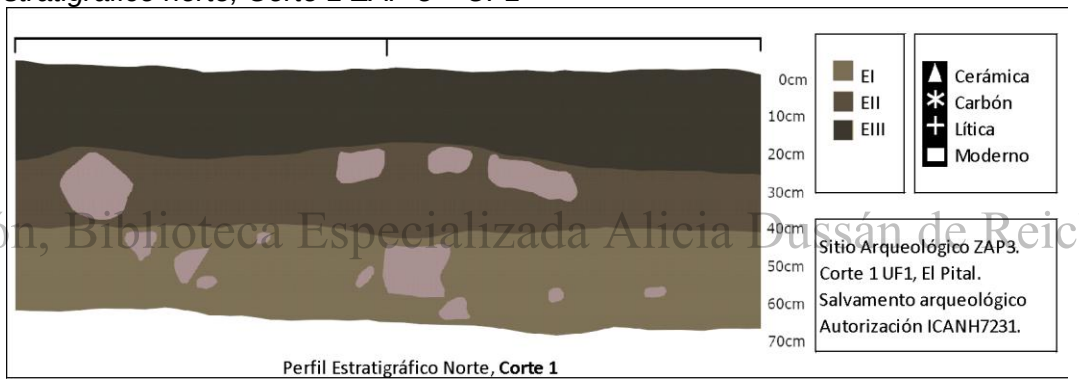


Figura 128

Perfil estratigráfico norte, Corte 1 ZAP 3 – UF1

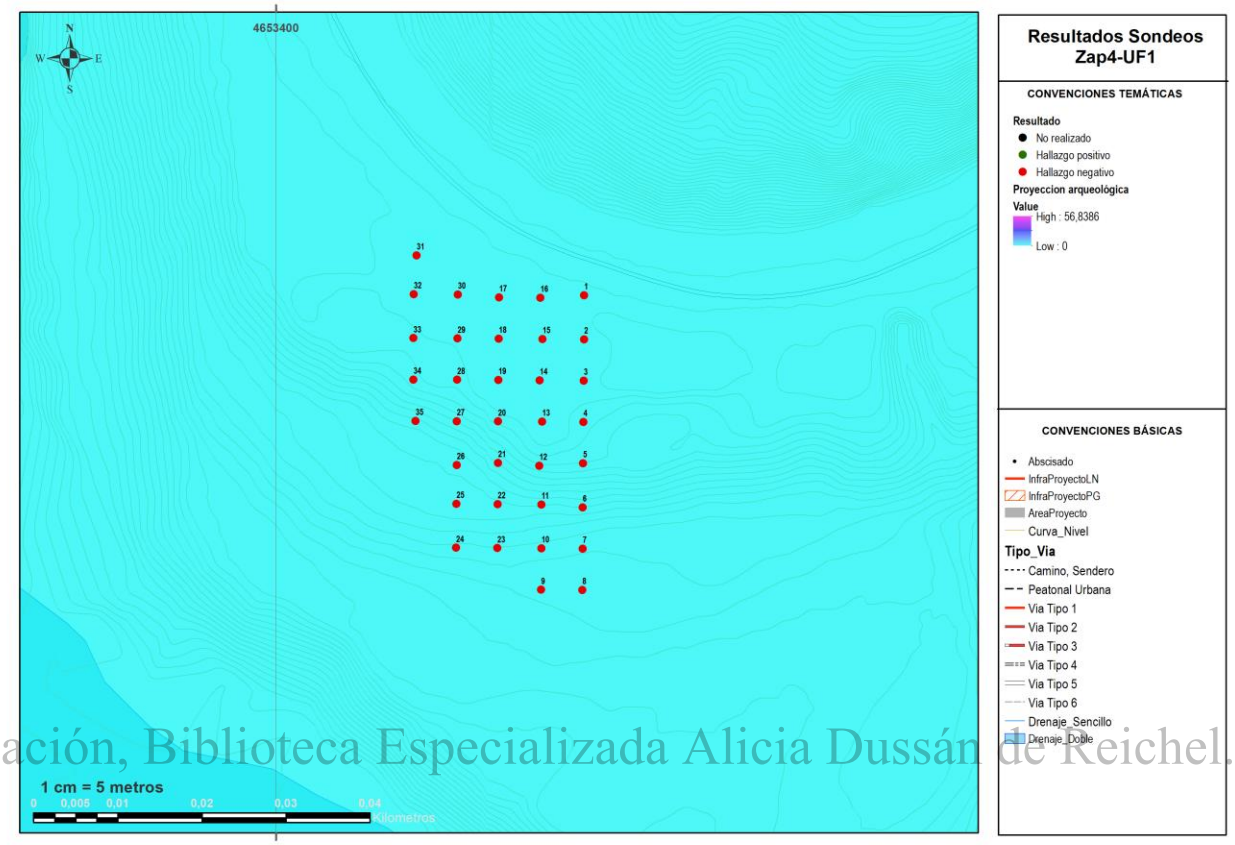


Digitalización, Biblioteca Especializada Alicia Dussán de Reichel. ICANH

4.2.4 ZAP 4 UF1

La ZAP4-UF1, está ubicada en vereda Orobajo, municipio de Uramita, en la margen izquierda de la vía, derecha del río Sucio, en la finca La Coquera, en las coordenadas planas X:1103991,121 – Y: 1250451,431. Con respecto a las obras civiles el polígono de re-prospección será impactada en el costado oriental suavizando una curva existente de la vía. La zona corresponde a un depósito de materiales residuales de la apertura y adecuación de la carretera Medellín-Urabá. Actualmente cubierta de pasto bajo utilizado en el pastoreo de ganado y zona de cultivo, es así, que dentro del polígono de re-prospección se ubicaron 34 sondeos de prueba a cinco metros de distancia cada uno, dando como resultado la no presencia de materiales arqueológicos en ninguna de estas intervenciones. Debido a este factor se optó por no realizar ningún otro tipo de intervención estratigráfica, sin embargo, al momento de realizar la remoción de suelo con maquinaría, la labor de monitoreo se realizó e igualmente no se hallaron evidencias arqueológicas.

Figura 129
Ubicación sondeos y resultados en ZAP4-UF1



Digitalización, Biblioteca Especializada Alicia Dussán de Reichel. ICANH

Figura 130
Panorámica ZAP 4-UF1



Figura 131
Sondeo 34 ZAP 4-UF1



Descripción estratigráfica y material cultural

La lectura estratigráfica para este sitio fue realizada en una de las caras de los sondeos excavados, que es descrita a continuación:

Estrato I: corresponde con el estrato inicial del sitio, color 7.5YR 6/4 (marrón claro), textura limo-arcillosa, estructura en bloques sub-angulares finos, suelo plástico, humedad media, limite claro, espesor aproximado de 35cm. Sin presencia de material cultural. Al ser una zona de depósitos, este estrato presenta abundante presencia de rocas de diferentes tamaños.

Estrato II: corresponde con el estrato superficial color 10YR 3/1 (gris muy oscuro), textura franca, estructura en bloques sub-angulares finos, suelo plástico, abundante presencia de actividad biológica y radicular, limite claro, espesor aproximado 5cm. Sin presencia de materiales arqueológicos.

4.2.5 ZAP 5 UF1

La ZAP5 UF1, se localiza en la vereda Orobajo, finca Guadalajara, municipio de Uramita, Antioquia, en la margen derecha del río Sucio, en las coordenadas planas X: 1102765 – Y: 1251462. La geomorfología del sitio corresponde a una terraza aluvial cubierta de pasto bajo, árboles frutales de mandarinos, zona utilizada en el pastoreo de ganado. Respecto a las obras civiles, esta unidad será impactada por el nuevo trazado de la vía, cortada en su parte media.

Figura 132
Panorámica ZAP5-UF1



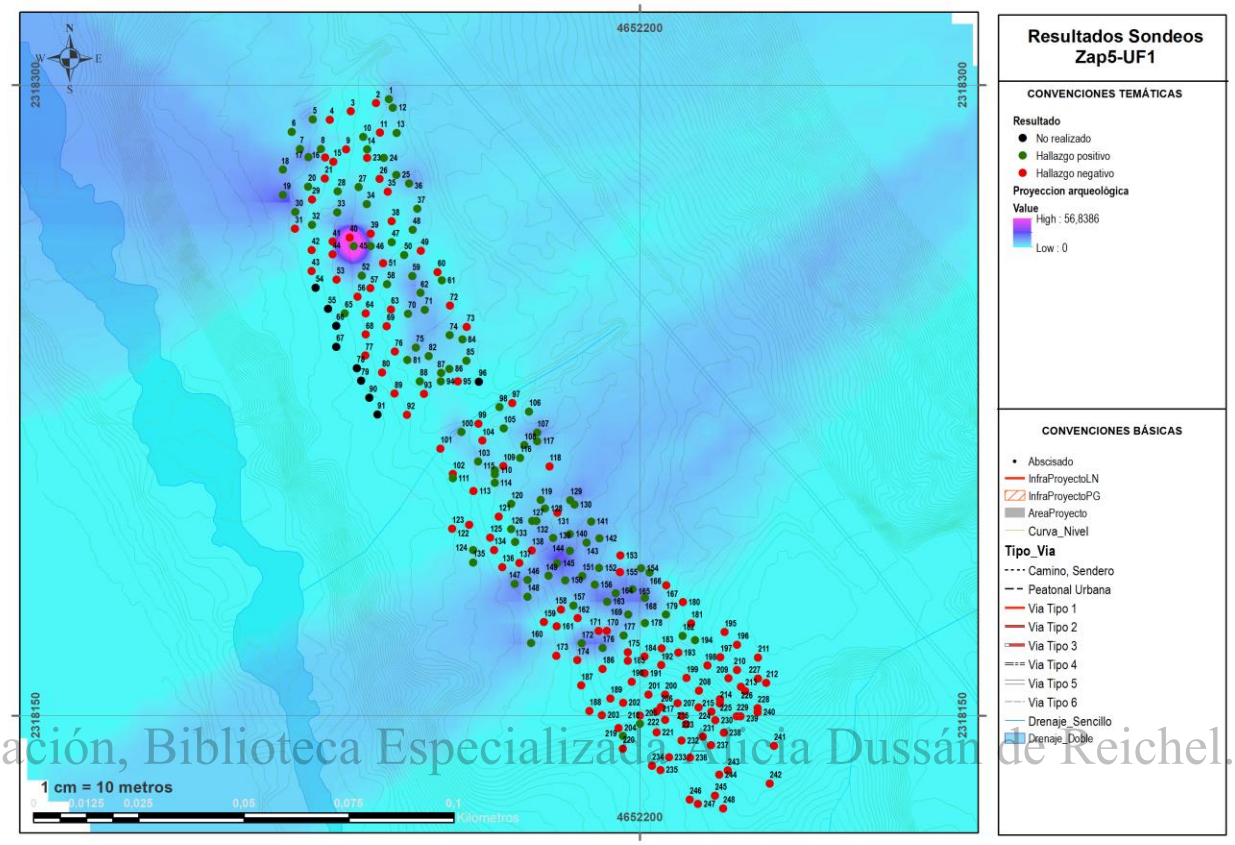
Figura 133
Excavación sondeos, ZAP5-UF1



Digitalización, Biblioteca Especializada Alicia Dussán de Reichel. ICANH

Este sitio que en primera instancia debía ser intervenido dentro las áreas prioritarias de todo el corredor de la vía, mediante licencia arqueológica **7231,** fue postergada debido a que, él propietario del predio no permitía la realización de las intervenciones arqueológicas aprobadas para esta zona. Conciliado con el dueño, luego del acuerdo, y siguiendo los lineamientos aprobados para esta área, se procedió a la realización de una prospección intensiva con sondeos cada 5 metros. En total fueron dispuestos 248 sondeos de pruebas, 119 arrojaron evidencias de materiales arqueológicos, 120 resultaron negativos y nueve no se realizaron. Está distribución de materiales por niveles a través de los sondeos de pruebas, puede apreciarse en la Tabla 7 y **Figura 134**. El total de cerámica recuperada mediante la excavación de sondeos fue de 293 fragmentos entre los niveles 1(0-10cm) y el nivel 8(70-80cm) de profundidad. Además, de 9 artefactos líticos, lascas, núcleos y detritos elaborados en materia prima andesita, anfibolita y basalto.

Figura 134
Ubicación sondeos y resultados en ZAP5-UF1



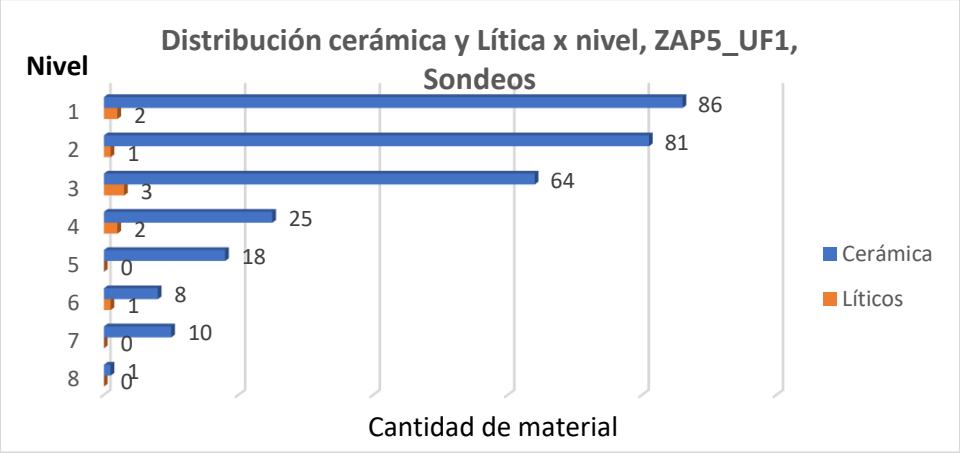
Digitalización, Biblioteca Especializada Alicia Dussán de Reichel. ICANH

Tabla 7
Distribución de materiales por niveles en ZAP5-UF1. Sondeos

Nivel	Cerámica	Lítica
1	86	2
2	81	1
3	64	3
4	25	2
5	18	0
6	8	1
7	10	0
8	1	0
Total	**293**	**9**

Figura 135

Distribución vertical de la lítica y cerámica, ZAP5-UF1, sondeos



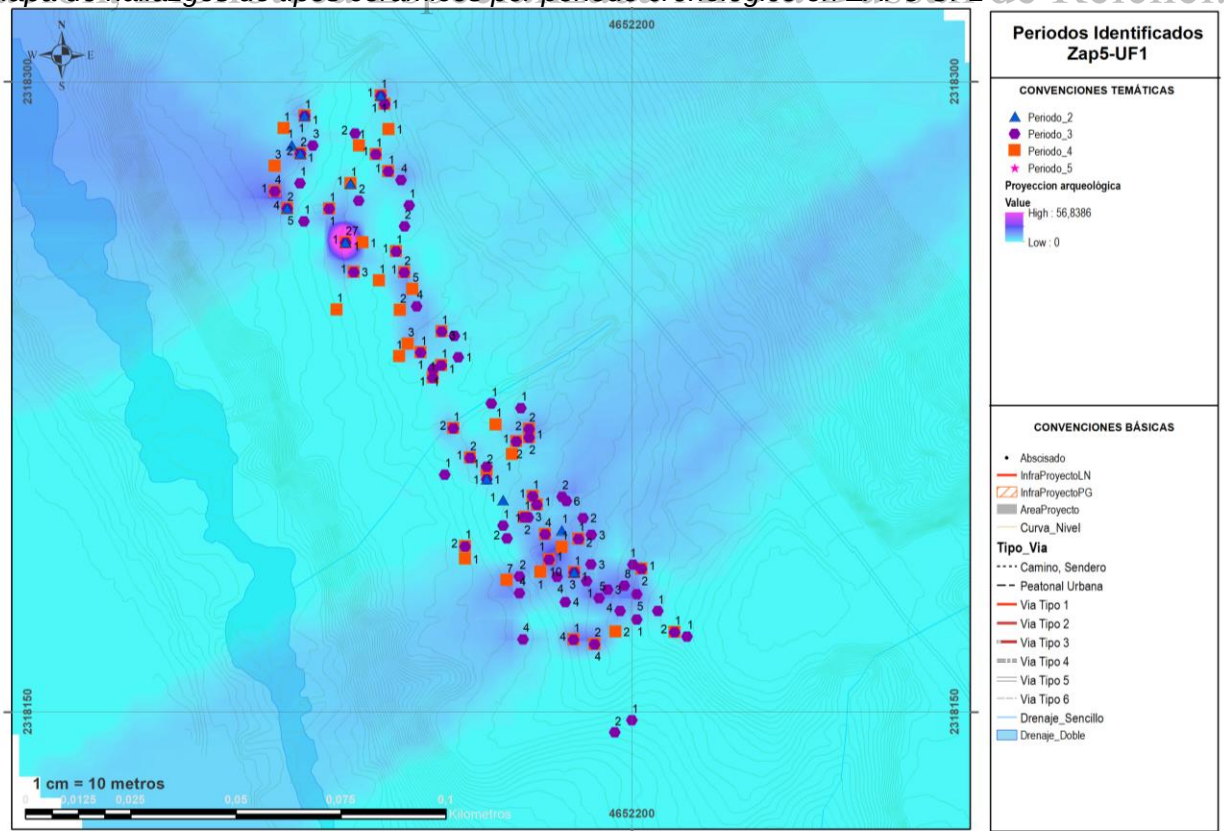
Con los resultados de estas intervenciones, en el sitio se excavaron tres cortes estratigráficos, uno de 3x3m², 4x2m² y 3x2m², excavados mediante niveles arbitrarios de 5cm hasta agotar el suelo con aparición de material.

Según los resultados de la clasificación del material cerámico de la reprospección, el área fue ocupada en el periodo 2, 3 y 4 (Piazzini, 2018).

Figura 136

Mapa de hallazgos de tipos cerámicos por periodo cronológico en ZAP5-UF1

Digitalización y Biblioteca Especializada Alicia Dussán de Reichel. ICANH



4.2.5.1 ZAP5-663 UF1 Corte 1

Este primer corte cuyas dimensiones fueron de 3x3m², fue intervenido mediante niveles de excavación de 5cm, hasta el nivel 12(55-60cm). Observándose una frecuencia de materiales que va desde el nivel 1 hasta el nivel 9(40-45cm), donde las mayores densidades están entre los 10 y los 20cm, en total fueron recuperados 85 fragmentos cerámicos en este corte. Finalizado este proceso de excavación se realizó la lectura del perfil de suelo y cierre del corte.

Figura 137
Montaje corte 1, ZAP5-663-UF1

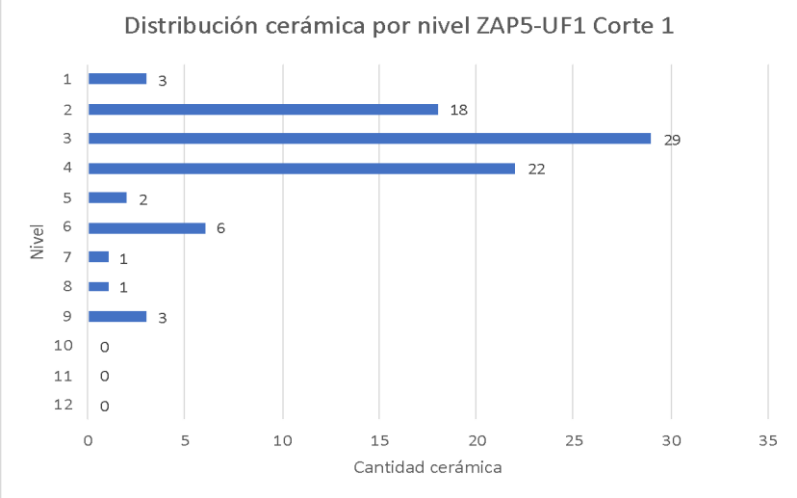


Figura 138
Dibujo de perfil corte 1, ZAP5-663-UF1



Digitalización Biblioteca Especializada Alicia Dussán de Reichel. ICANH

Figura 139
Distribución vertical del material cerámico, ZAP5-663-UF1, Corte 1



Según los resultados de la clasificación del material cerámico del corte, el área fue ocupada en los periodos 2, 3 y 4 (Piazzini, 2018), siendo el periodo 3 el de mayor frecuencia cerámica, con 47 fragmentos.

Descripción estratigráfica y material cultural

En la estratigrafía del perfil norte del corte 1 del sitio ZAP5-UF1, se identificaron tres estratos de suelo que se relacionan con la formación del lugar en tiempos prehispánicos. Las características de esta columna estratigráfica es la siguiente:

Estrato I: corresponde a la matriz de suelo inicial del sitio, espesor aproximado de 18cm, color 7.5YR 4/3 (marrón), textura areno-arcillosa, estructura en bloques sub-angulares medios a finos débiles. Estrato con abundante pedregosidad, sin actividad biológica, limite difuso. Asociado a este estrato no se reporta presencia de materiales arqueológicos.

Estrato II: corresponde con una matriz de suelo intermedia, espesor aproximado de 28cm, color 10YR 2/1 (negro), textura franco-arcillosa, estructura en bloques sub-angulares finos fuertes, contiene raicillas finas aisladas y escasas. Con presencia de abundante pedregosidad, rocas sub-angulares y sub-redondeadas. Asociado al estrato se recuperaron 64 fragmentos cerámicos.

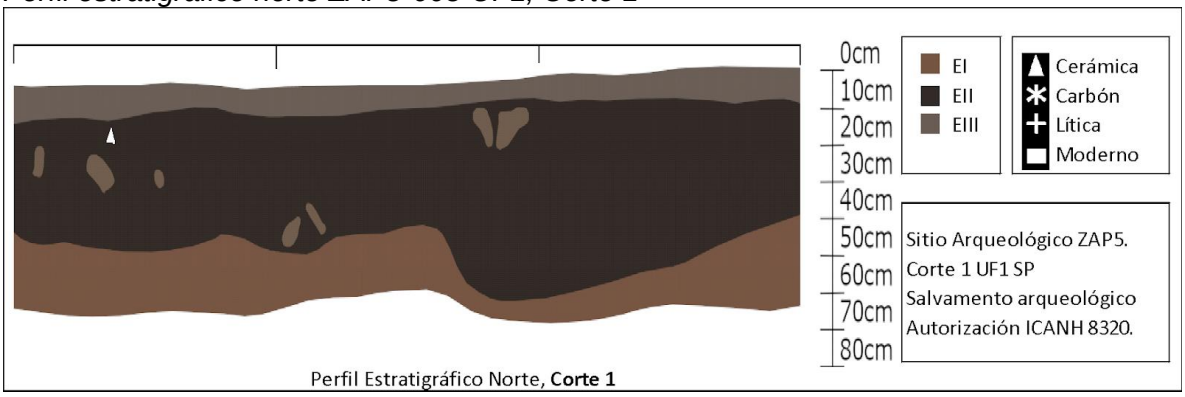
Estrato III: estrato superficial formado en condiciones ambientales actuales, espesor aproximado de 10cm, abundante materia orgánica, actividad biológica y radicular, color 10YR 4/1 (gris oscuro), textura franca y estructura en bloques sub-angulares finos a medios débiles. Asociado al estrato se recuperaron 21 fragmentos cerámicos.

En la **Figura 140,** se muestran los estratos de suelo y su respectivo color según tabla Munsell Soil Color Book, 2009.

Digitalización: Biblioteca Especializada Alicia Dussán de Reichel. ICANH

Figura 140

Perfil estratigráfico norte ZAP5-663-UF1, Corte 1



4.2.5.2 ZAP5-666 UF1 Corte 2

El segundo corte cuya dimensión final fue de 4x2m², fue intervenido mediante niveles de excavación de 5cm, hasta el nivel 10 (45-50cm). Observándose una frecuencia de materiales que va desde el nivel 1 hasta el nivel 8 (35-40cm), donde las mayores densidades están entre los 10 y los 20cm, en total se recuperaron 100 fragmentos cerámicos en la excavación del corte. En principio la dimensión del corte fue de 2x2m², sin embargo, teniendo presente la aparición del material, se realizó una ampliación del corte hacia el costado oriental, la cual dio como resultado un corte de 4x2m². Finalizado este proceso de excavación se realizó la lectura del perfil de suelo y cierre del corte.

Según los resultados de la clasificación del material cerámico del corte, el área fue ocupada en los periodos 2, 3 y 4 (Piazzini, 2018), siendo el periodo 3 el de mayor frecuencia cerámica, con 85 fragmentos.

Figura 141
Corte 2, ZAP5-666-UF1



Figura 142
Ampliación Corte 2, ZAP5-666-UF1



Descripción estratigráfica y material cultural

En la estratigrafía del perfil norte del corte 2 del sitio ZAP5-UF1, se identificaron tres estratos de suelo que se relacionan con la formación del lugar en tiempos prehispánicos. Las características de esta columna estratigráfica es la siguiente:

Digitalización, Biblioteca Especializada Alicia Dussan de Reichel, ICANH

Estrato I: corresponde a la matriz de suelo inicial del sitio, espesor aproximado de 13cm, color 10YR 4/4 (marrón amarillento oscuro), textura limo-arcillosa, estructura en bloques sub-angulares medios a finos débiles. Estrato con abundante pedregosidad, sin actividad biológica, limite marcado. Asociado a este estrato no se reporta presencia de materiales arqueológicos.

Estrato II: corresponde con una matriz de suelo intermedia, espesor aproximado de 16cm, color 10YR 2/1 (negro) y 10YR 3/2 (marrón grisáceo muy oscuro), textura franco-arcillosa, estructura en bloques sub-angulares finos débiles, contiene raicillas finas aisladas y escasas, gravillas, carbón. Asociado al estrato se recuperaron 23 fragmentos cerámicos.

Estrato III: estrato superficial formado en condiciones ambientales actuales, espesor aproximado de 18cm, abundante materia orgánica, actividad biológica y radicular, color 10YR 3/1 (gris muy oscuro), textura franca y estructura en bloques sub-redondeados medios a finos débiles. Asociado al estrato se recuperaron 77 fragmentos cerámicos.

En la **Figura 143**, se muestran los estratos de suelo y su respectivo color según tabla Munsell Soil Color Book, 2009.

Figura 143
Perfil estratigráfico norte ZAP5-666-UF1, Corte 2

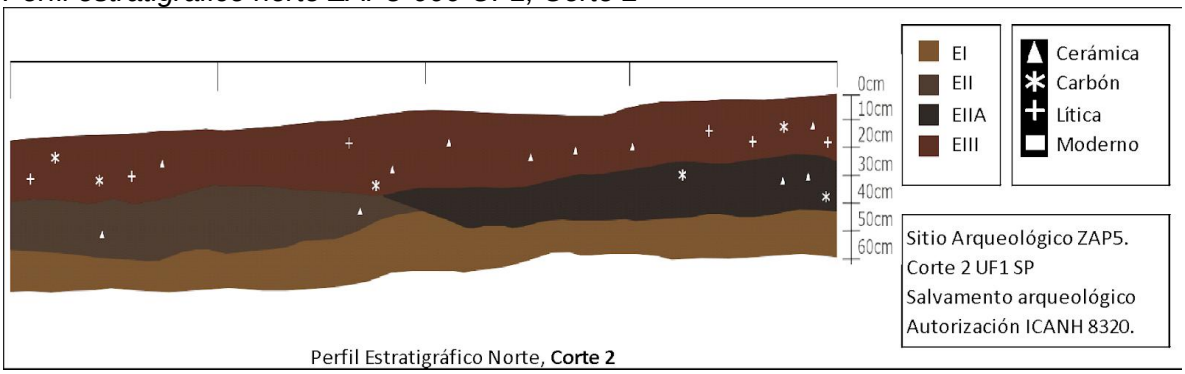
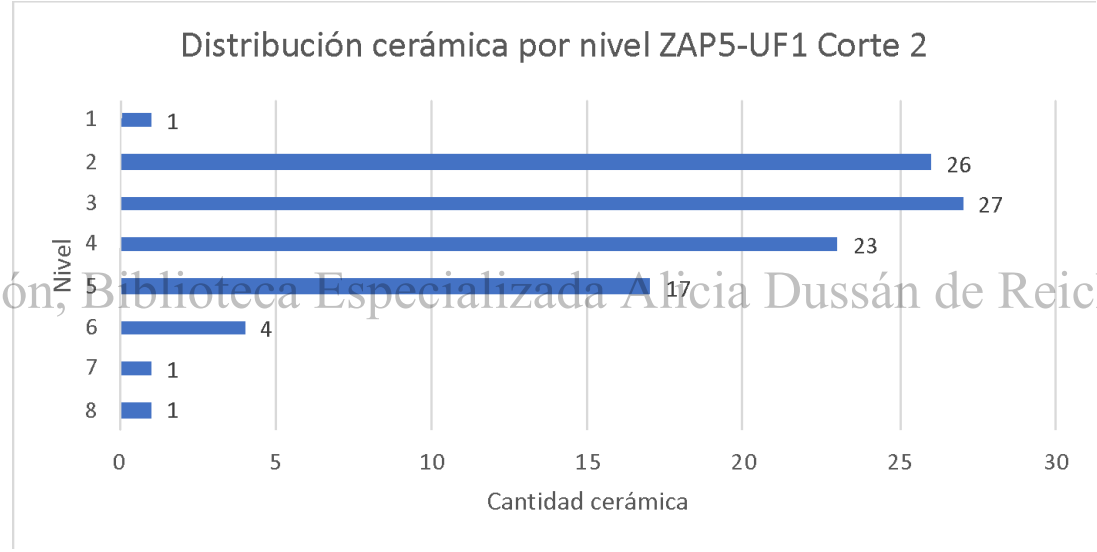


Figura 144
Distribución vertical de la cerámica, ZAP5-666-UF1, Corte 2



Digitalización, Biblioteca Especializada Alicia Dussán de Reichel. ICANH

4.2.5.3 ZAP5-672 UF1 Corte 3

El tercer corte con dimensión final fue de 3x2m², fue intervenido mediante niveles de excavación de 5cm, hasta el nivel 12 (55-60cm). Observándose una frecuencia de materiales que va desde el nivel 1 hasta el nivel 7 (35cm), donde las mayores densidades están entre los 15 y los 25cm, la aparición total de cerámica fue 133 fragmentos y 7 artefactos líticos. Al igual que el corte 2, fue ampliado. En principio la dimensión del corte fue de 2x2m², sin embargo, teniendo presente la aparición del material, se realizó una ampliación del corte hacia el costado oriental, la cual dio como resultado un corte de 3x2m². Finalizado este proceso de excavación se realizó la lectura del perfil de suelo y cierre del corte.

Según los resultados de la clasificación del material cerámico del corte, el área fue ocupada en los periodos 2, 3 y 4 (Piazzini, 2018), siendo el periodo 3 el de mayor frecuencia cerámica, con 116 fragmentos.

Figura 145
Montaje Corte 3, ZAP5-672-UF1



Figura 146
Lectura de perfil Corte 3, ZAP5-672-UF1



Descripción estratigráfica y material cultural

En la estratigrafía del perfil norte del Corte 3 del sitio ZAP5-672-UF1, se identificaron tres estratos de suelo que se relacionan con la formación del lugar en tiempos prehispánicos. Las características de esta columna estratigráfica es la siguiente:

Digitalización Biblioteca Especializada Alicia Dussán de Reichel ICANH

Estrato I: corresponde a la matriz de suelo inicial del sitio, espesor aproximado de 24cm, color 10YR 5/4 (marrón amarillento), textura arcillosa, estructura en bloques sub-angulares gruesos, suelo pegajoso. Estrato con rocas en proceso de meteorización, contiene nódulos de óxidos de hierro, sin actividad biológica, limite marcado. Asociado a este estrato no se reporta presencia de material cerámico.

Estrato II: corresponde con una matriz de suelo intermedia, espesor aproximado de 24cm, color 10YR 3/2 (marrón grisáceo muy oscuro), textura franco-arenosa, estructura en bloques sub-redondeados finos débiles, contiene raicillas finas aisladas y escasas, gravillas, actividad biológica. Asociado al estrato se recuperaron 126 fragmentos cerámicos. Y cuatro artefactos líticos elaborados en andesita, basalto, diabasa y granodiorita.

Estrato III: estrato superficial formado en condiciones ambientales actuales, espesor aproximado de 12cm, abundante materia orgánica, actividad biológica y radicular, presencia de material moderno, color 7.5YR 3/1 (gris muy oscuro), textura franca y estructura en bloques sub-redondeados medios a finos débiles. Asociado al estrato se recuperaron 7 fragmentos cerámicos. Y tres lascas elaboradas en andesita y basalto.

En la **Figura 147**, se muestran los estratos de suelo y su respectivo color según tabla Munsell Soil Color Book, 2009.

Figura 147
Perfil estratigráfico norte ZAP5-672-UF1, Corte 3

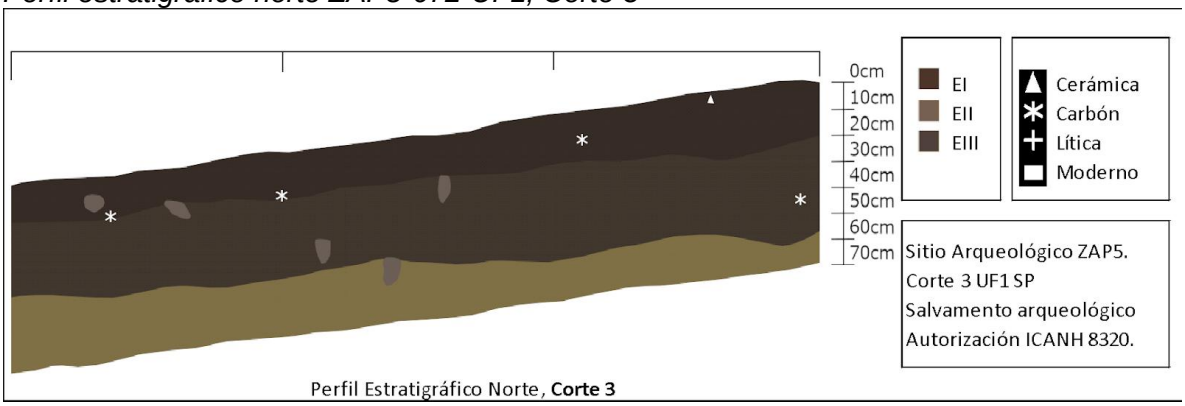
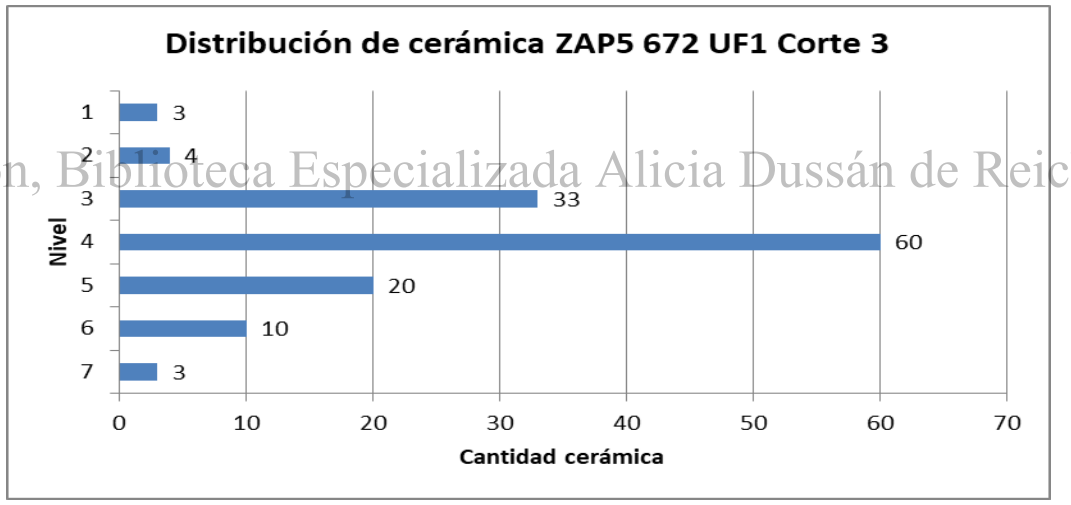


Figura 148
Distribución vertical de la cerámica, ZAP5-672-UF1, Corte 3



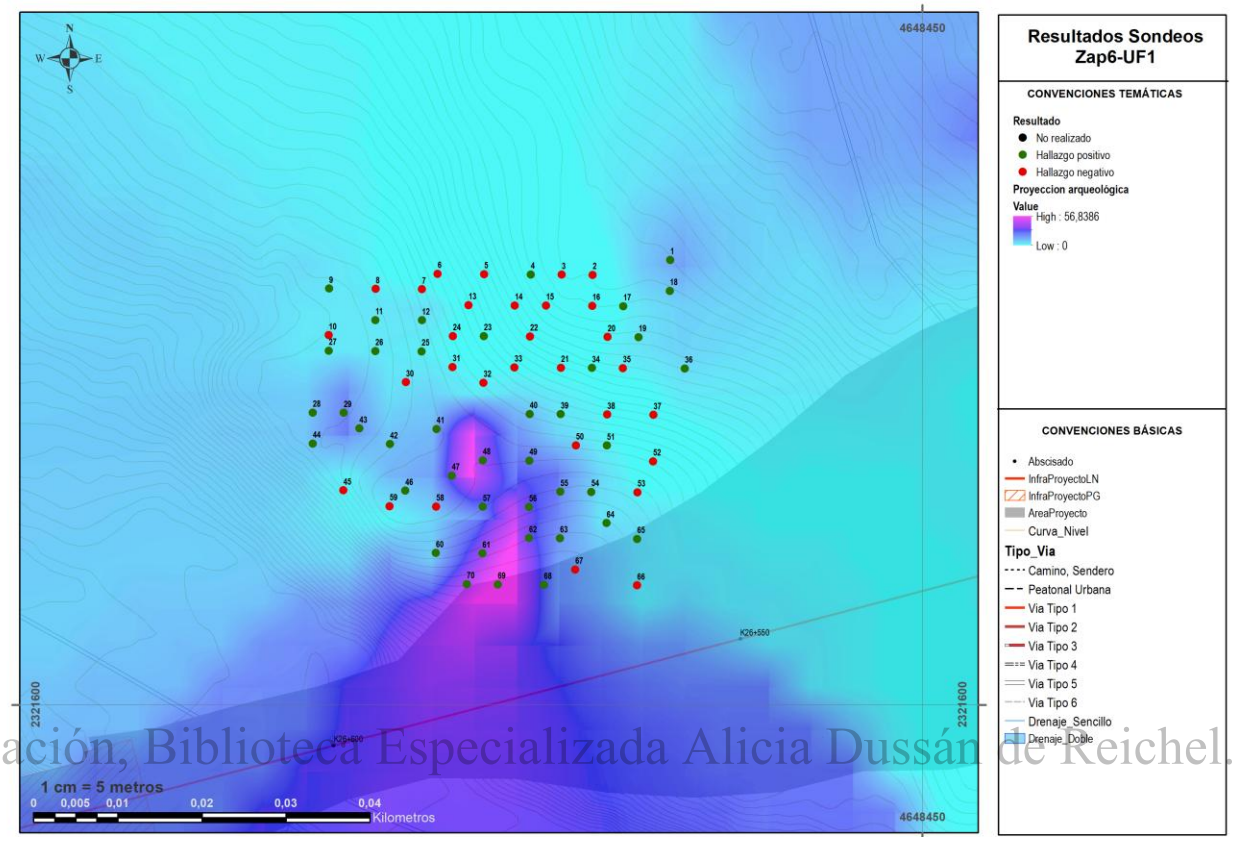
Digitalización, Biblioteca Especializada Alicia Dussán de Reichel. ICANH

4.2.6 ZAP6 UF1

El yacimiento arqueológico, ZAP6-UF1, está ubicado en jurisdicción del municipio de Uramita, en la finca El Castillo, sector El Pozo, coordenadas planas X: 1098936,585–: 1254880,289. La zona será impactada por el nuevo corredor de la vía Mar 2, el área corresponde a una ladera de pendiente media con varias ondulaciones, la vegetación predominante son los pastos para ganado. Dentro del polígono de re-prospección se ubicaron 70 sondeos de prueba de los cuales 41 arrojaron evidencias de materiales arqueológicos y 30 resultaron negativos y se recolectaron 3 fragmentos por recolección superficial.

El total de cerámica recuperada mediante la excavación de sondeos fue de 157 fragmentos entre los niveles 1(0-10cm) y el nivel 5(40-50cm) de profundidad.

Figura 149
Ubicación sondeos y resultado en ZAP6-UF1



Digitalización, Biblioteca Especializada Alicia Dussán de Reichel. ICANH

Figura 150
Panorámica ZAP6 UF1



Figura 151
Sondeo positivo 1, ZAP6 UF1

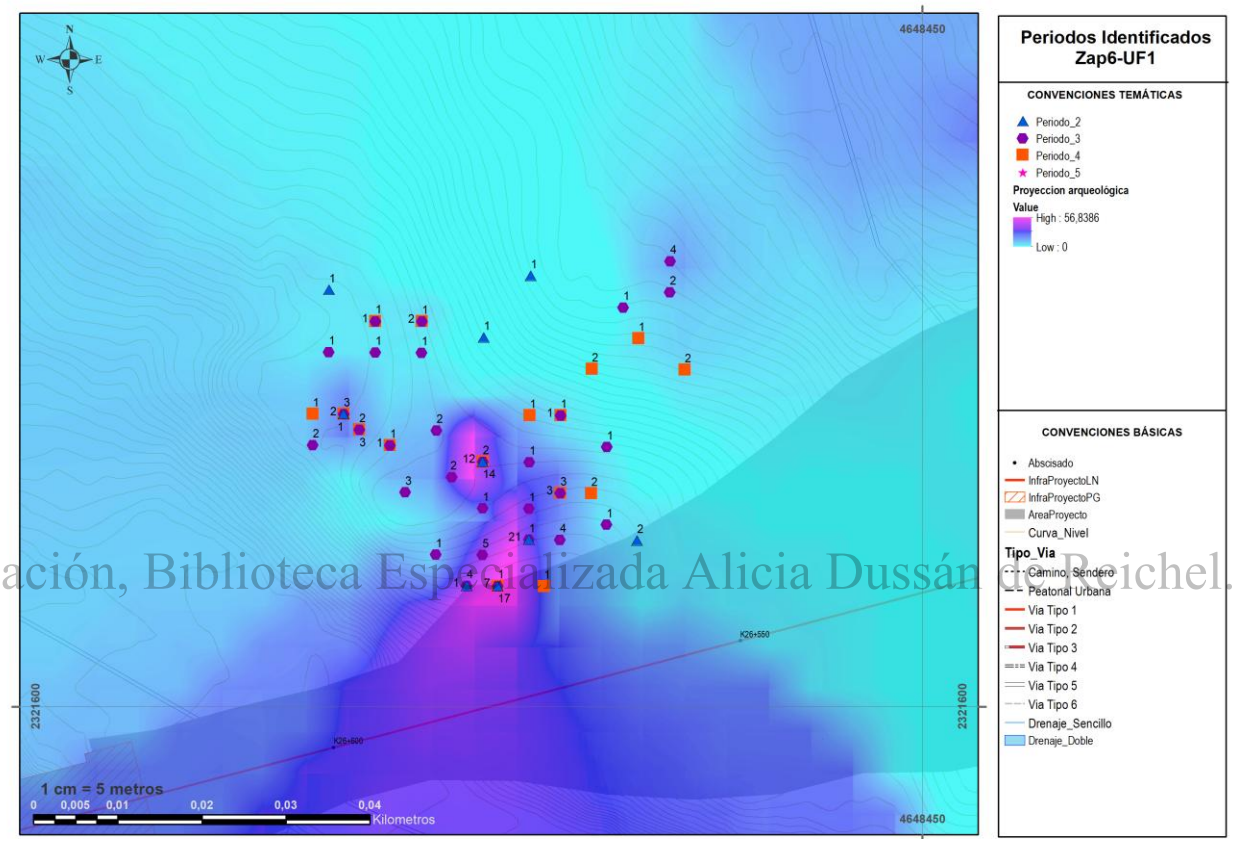


Según los resultados de la prospección se ubicó el lugar de la excavación un corte estratigráfico de 1mx4m, orientado en sentido norte-sur. La excavación se realizó mediante niveles arbitrarios de 5cm hasta llegar al saprolito a 1,15m de profundidad. La cantidad de material cerámico excavado fue de 622 fragmentos, encontrándose la mayor cantidad entre 35-45cm. De éstos, 16 fragmentos fueron recuperados en un perfil expuesto del corte.

Según los resultados de la clasificación del material cerámico de la reprospección, el área fue ocupada en el periodo 2, 3 y 4 (Piazzini, 2018). Según los resultados de la clasificación del material cerámico del corte, el área fue ocupada en los periodos 2, 3, 4 y 5 (Piazzini, 2018), siendo el periodo 3 el de mayor frecuencia cerámica, con 481 fragmentos.

Figura 152

Mapa de hallazgos de tipos cerámicos por periodo cronológico en ZAP6-UF1



Digitalización, Biblioteca Especializada Alicia Dussán de Reichel. ICANH

Figura 153

Montaje Corte 1, ZAP6 UF1



Figura 154

Dibujo perfil, ZAP6 UF1



Descripción estratigráfica y material cultural

En la estratigrafía del corte 1 del sitio ZAP6-UF1 se identificó una columna estratigráfica con tres estratos:

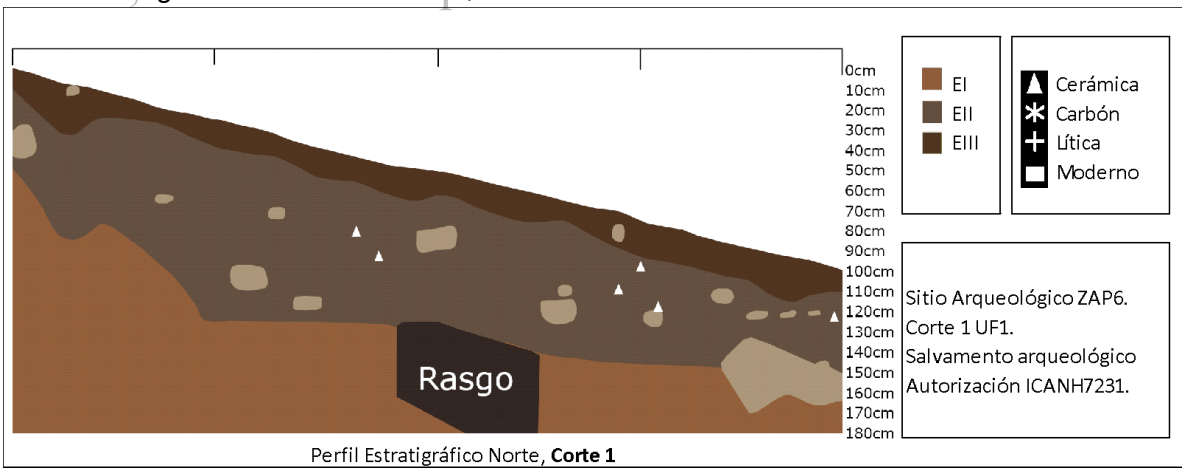
Estrato I: corresponde a la matriz de suelo inicial del sitio, con un espesor aproximado de 70cm, color 7.5YR 5/6 (marrón fuerte), textura areno-arcillosa y estructura en bloques sub-angulares finos fuertes, se presentan rocas grandes y rocas de fractura laminar en planta y se recuperan 77 fragmentos cerámicos y 3 utensilios líticos lascas y detritos en andesita y basalto.

Estrato II: corresponde con una matriz de suelo de 40cm aproximadamente de color 7.5YR 4/3 (marrón) con presencia de abundantes rocas de fractura laminar, textura franco-arenoso, estructura en bloques sub-angulares medio fuertes, contiene raicillas finas aisladas y escasas. Asociado al estrato se recuperaron 524 fragmentos cerámicos y 4 utensilios líticos elaborados en andesita, basalto y lidita.

Estrato III: estrato superficial tiene un espesor aproximado de 10cm de color 7.5YR 3/1 (gris muy oscuro) con abundante materia orgánica, actividad biológica y radicular, textura franca, estructura en bloques sub-angulares finos débiles. Asociados a este estrato se recuperaron 5 fragmentos cerámicos.

Figura 155
Perfil estratigráfico norte ZAP6-UF1, Corte 1

Digitalización y Biblioteca Especializada Alicia Dussán de Reichel. ICANH

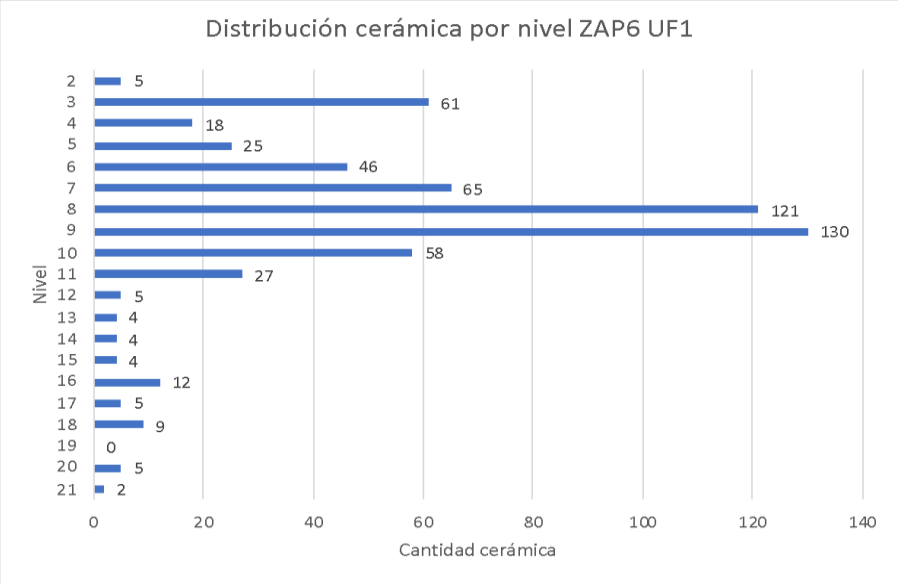


Perfil Estratigráfico Norte, **Corte 1**

En la **Figura 156** de distribución de materiales por nivel del corte 1 en el ZAP6 UF1, nos muestra un inicio de ocupación a una profundidad de 105cm, luego hay una discontinuidad de 5cm, a 95cm de profundidad donde no aparecen materiales arqueológicos, a continuación a partir de los 90cm de profundidad, la aparición de materiales es continua hasta la superficie, presentando la frecuencia más alta de cerámica entre los 40cm y 45cm de profundidad.

Figura 156

Distribución vertical de la cerámica, ZAP6-UF1, corte 1

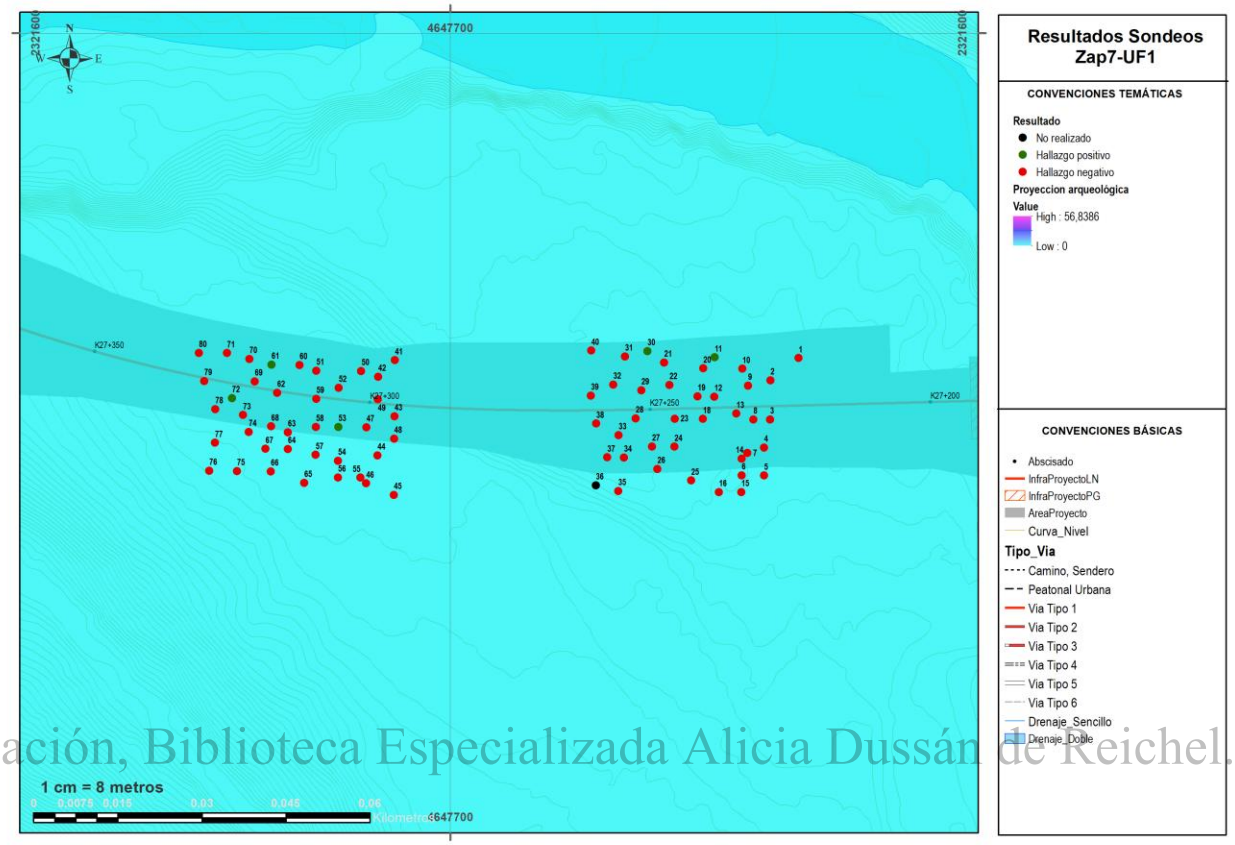


4.2.7 ZAP7-UF1

Digitalización, Biblioteca Especializada Alicia Dussán de Reichel. ICANH

El yacimiento arqueológico ZAP7-UF1, El Papayal, se localiza en jurisdicción del municipio de Uramita, en la vereda El Corozo, coordenadas planas X: 1098257,728 – Y: 1254745,298. El área del yacimiento arqueológico corresponde a una terraza coluvio-aluvial ubicada en la margen izquierda del río Sucio, con afloramientos de grandes rocas. En el lugar hay actualmente un cultivo de papayas, esta área será afectada en su totalidad por la construcción de la obra vial Mar 2.

Figura 157
Ubicación sondeos y resultados en ZAP7-UF1



Digitalización, Biblioteca Especializada Alicia Dussán de Reichel. ICANH

Figura 158
ZAP7 UF1



Figura 159
Ubicación sondeos, ZAP7 UF1



A la ZAP7 se llega siguiendo la vía principal que va hacia el Urabá, después de salir del casco urbano de Uramita, se toma desvió a mano izquierda en el sector conocido como puente militar, siguiendo el carreteable que conduce a la vereda El Corozo.

Esta ZAP presenta dos niveles de terrazas cultivados de papaya y rocas en superficie, aspectos que determinan la ubicación de los muestreos al interior de dos polígonos de 20 metros

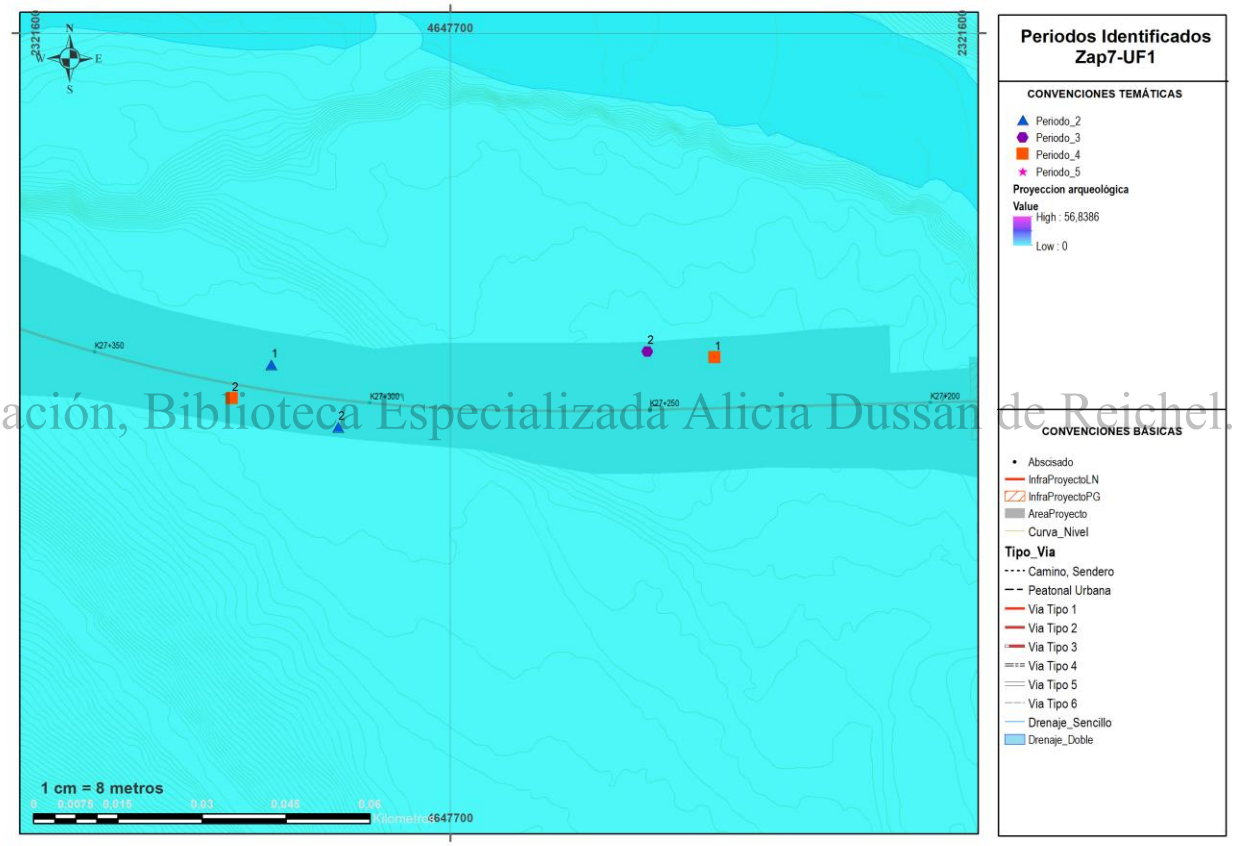
cuadrados con sondeos de prueba dispuestos cada 5m en malla y un corte de excavación de 1mx2m.

En el paisaje aledaño hay montañas escarpadas en su mayoría destinadas al pastoreo de ganado. En cuanto a las intervenciones se pudo observar las siguientes características estratigráficas y de material cultural.

Según los resultados de la clasificación del material cerámico de la reprospección, el área fue ocupada en el periodo 2, 3 y 4 (Piazzini, 2018).

Figura 160

Mapa de hallazgos de tipos cerámicos por periodo cronológico en ZAP7-UF1



Digitalización, Biblioteca Especializada Alicia Dussán de Reichel. ICANH

4.2.7.1 ZAP7 UF1 Corte 1

Los dos polígonos de re-prospección dispuestos en esta unidad de paisaje; en la parte superior un poco más alejada del río, se realizaron 40 sondeos de prospección, de los cuales tres arrojaron evidencias de materiales arqueológicos (sp53, sp61 y sp72), la cantidad de material cerámicos recuperado en estos sondeos fue de 5 fragmentos, resultado bastante bajo, aun así, se dispuso la realización de una intervención estratigráfica más amplia, para contextualizar esta zona en el sector donde los sondeos arrojaron evidencias culturales. Realizados estos sondeos, en esta área se realizó un corte de excavación de 1m x 2m en sentido norte-sur intervenido

mediante niveles arbitrarios de 5cm hasta el saprolito, llegando para este corte 1 hasta los 60cm de profundidad representados en 12 de niveles de excavación.

Figura 161
Corte 1, ZAP7 UF1



Figura 162
Excavación Corte 1, ZAP7 UF1



El Corte 1 de la ZAP7 se ubicó aledaño al sondeo # 53 donde se recuperaron dos fragmentos cerámicos en la prospección, en el corte solo se recuperaron 3 fragmentos cerámicos en los primeros 10 cm de profundidad.

Según los resultados de la clasificación del material cerámico del corte, el área fue ocupada en los periodos 2, 4 y 5 (Piazzini, 2018), siendo el periodo 4 el de mayor frecuencia cerámica, con 31 fragmentos. Según los resultados de la clasificación del material cerámico del corte, el área fue ocupada en los periodos 4 y 5 (Piazzini, 2018), siendo el periodo 5 el de mayor frecuencia cerámica, con 2 fragmentos.

Digitalización, Biblioteca Especializada Alicia Dussán de Reichel ICANH

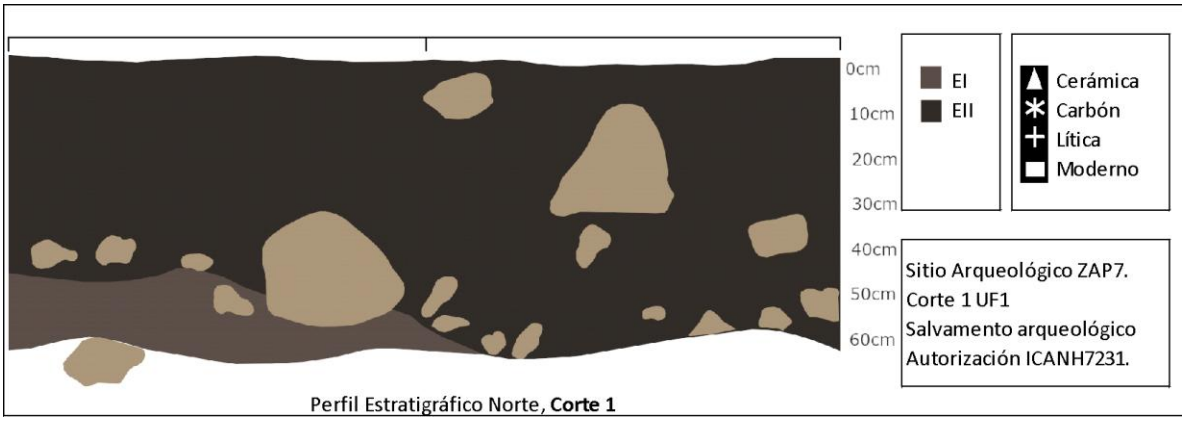
Descripción estratigráfica y material cultural

La columna estratigráfica del perfil este del corte 1 en la ZAP7-UF1, muestra dos estratos de suelo formando el suelo de la terraza. Las características estratigráficas de este perfil se describen a continuación.

Estrato I: corresponde con la parte inicial en la cual observamos abundante pedregosidad, rocas sub-redondeadas y sub-angulares de gran tamaño, contine raíces finas aisladas y escasas. Espesor del estrato 18cm, color 7.5YR 4/2 (marrón), textura areno-arcillosa, estructura en bloques sub-redondeados débiles. Sin materiales culturales.

Estrato II: parte superficial de suelo con abundante materia orgánica, actividad biológica y radicular, con un espesor 50cm, color 7.5YR 2.5/1, negro, textura franca y estructura en bloques sub-angulares finos fuertes, límite entre estratos difuso, se recuperaron 3 fragmentos de cerámica.

Figura 163
Perfil estratigráfico norte, Corte 1, ZAP7-53-UF1



4.2.7.2 ZAP7 UF1 Corte 2

El Corte 2 se ubica sobre la terraza más próxima al río Sucio con presencia de afloramientos rocosos, se realizaron 39 sondeos de los 40 proyectados, solo dos presentaron materiales arqueológicos, los sondeos 11 y 30, donde se hallaron tres fragmentos cerámicos en el nivel 1(0-10cm) de profundidad, según los resultados de la prospección el corte se ubicó aledaño al sondeo # 30, con una dimensión 1m x 2m orientado en sentido oriente-occidente.

Digitalización, Biblioteca Especializada Alicia Dussán de Reichel. ICANH

Figura 164
Corte 2, ZAP7-30-UF1



Figura 165
Planta final nivel 10 Corte 2 ZAP7-30- UF1



La excavación se realiza en niveles arbitrarios de 5cm hasta el saprolito a 60cm de profundidad, el material arqueológico se recuperó entre 5cm y 10cm de profundidad. No se reporta hallazgo de materiales líticos.

Según los resultados de la clasificación del material cerámico del corte, el área fue ocupada en los periodos 3 y 4 (Piazzini, 2018), siendo el periodo 4 el de mayor frecuencia cerámica, con 3 fragmentos.

Descripción estratigráfica y material cultural

El perfil norte del Corte 2 de la ZAP7 UF1 muestra cuatro estratos.

Estrato I: el estrato corresponde con la matriz de suelo inicial de la terraza, espesor 18cm, color 10YR 5/4 (marrón amarillento), textura limo-arenosa, estructura en bloques sub-angulares finos débiles, sin presencia de actividad biológica y radicular. Contiene abundante pedregosidad en planta. Asociado al estrato no se recuperaron evidencias de materiales culturales.

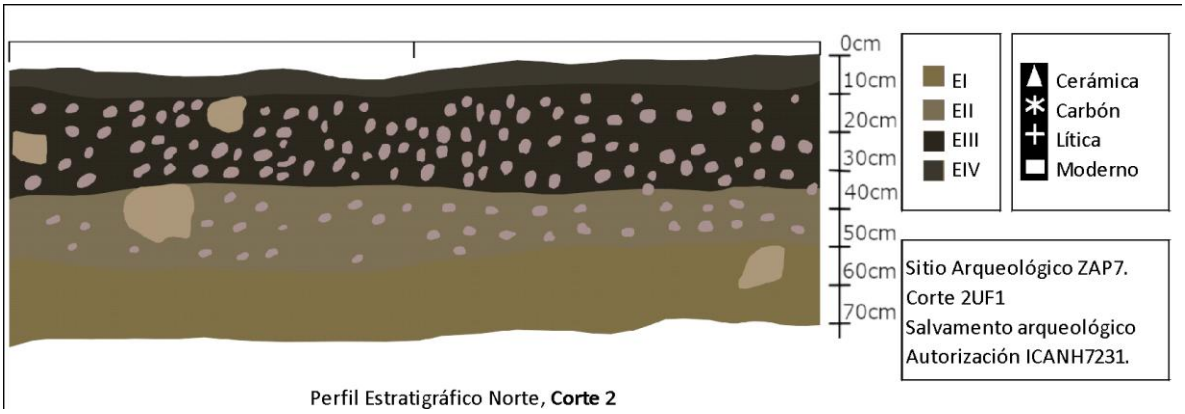
Estrato II: corresponde a una matriz de suelo de unos 10cm de espesor con rocas en proceso de meteorización de fractura laminar, color 10YR 5/3 (marrón), textura franco-arenosa, estructura en bloques sub-angulares finos débiles, escasa presencia de raíces finas, sin materiales culturales.

Estrato III: matriz de suelo de 23cm de espesor, color 10YR 2/1, negro, textura franco-arcillosa, estructura en bloques sub-angulares finos y débiles, contiene raicillas finas, actividad biológica, se recuperaron tres fragmentos cerámicos.

Estrato IV: corresponde con el estrato superficial del sitio, formado en condiciones ambientales actuales, espesor de 5cm, color 10YR 3/1, gris muy oscuro, textura franca, estructura en bloques sub-angulares finos fuertes, presenta abundante materia orgánica, actividad biológica y radicular, se recuperaron dos fragmentos cerámicos.

Digitalización: Biblioteca Especializada Alicia Dussán de Reichel. ICANH

Figura 166
Perfil estratigráfico norte, Corte 2 ZAP7-30-UF1



Perfil Estratigráfico Norte, **Corte 2**

4.2.8 ZAP1 UF2-3

La ZAP1-UF2-3, consta de dos polígonos de intervención, N523 y A409. Este sitio se ubica en el municipio de Dabeiba, finca El Remolino, en las coordenadas planas X: 1091034 – Y: 1265142. La geomorfología del lugar corresponde a una terraza coluvio-aluvial, ubicada en la margen derecha del río Sucio aguas abajo. En el sitio se observan afloramientos rocosos en superficie, la cobertura vegetal existente es de pasto bajo y árboles medianos, actualmente el sitio es utilizado para el pastoreo de ganado.

Figura 167
ZAP1 UF2-3 A409



Figura 168
ZAP1 UF2-3 N523



En la ZAP1-UF-2-3 N523, se ubicaron 71 sondeos de prueba, de los cuales se excavaron 69, dos no se realizaron debido a que se ubicaban sobre un afloramiento de roca, solo en un sondeo de prueba se recuperó un fragmento de material cerámico, sondeo 10 nivel 1(0-10cm) de profundidad. Con estos datos de la prospección, ubicamos un corte de excavación de 2m x 2, 4m², teniendo como referencia el sondeo positivo.

Figura 169
Ubicación sondeos y resultados en ZAP1-UF2-3 N523

Digitalización, Biblioteca Especializada Alicia Dussán de Reichel, ICANH

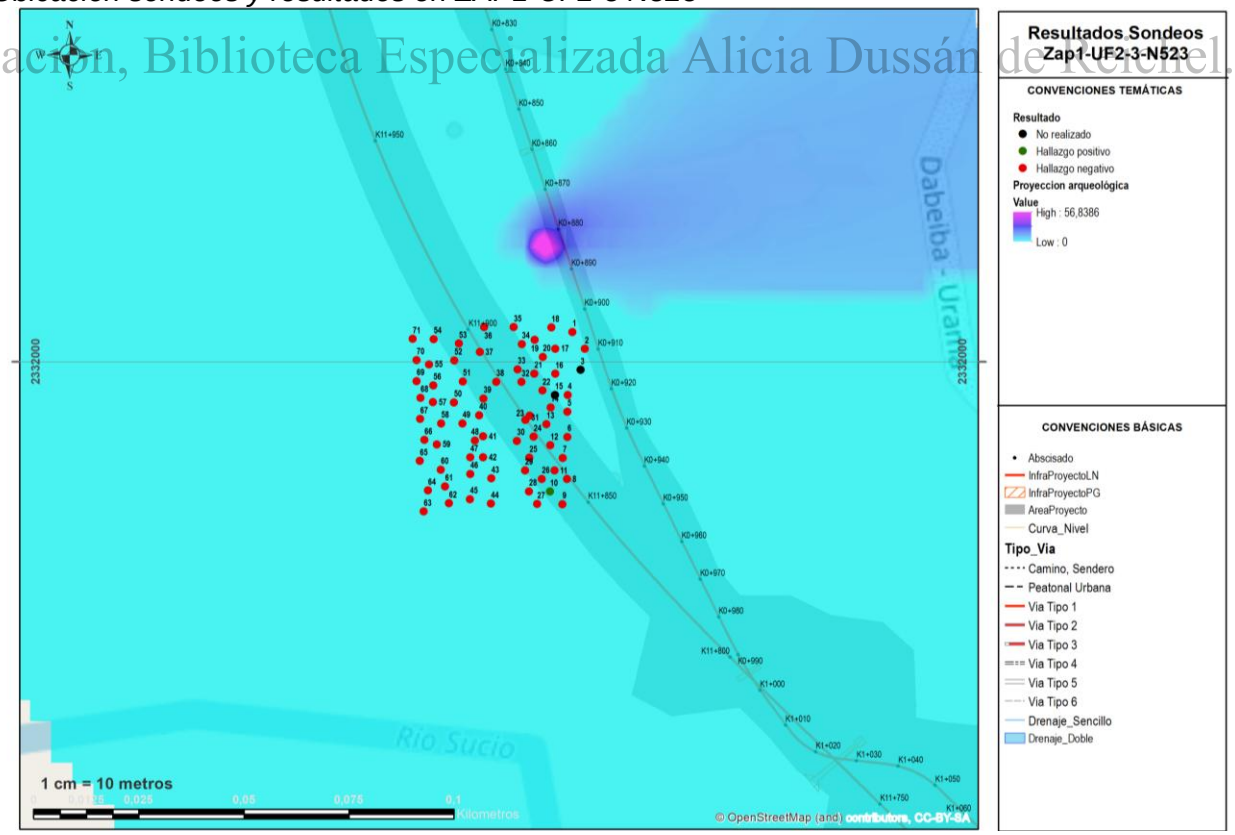


Figura 170
Ubicación sondeo, ZAP1 UF2-3 N523



Figura 171
Corte1, ZAP1 UF2-3 N523

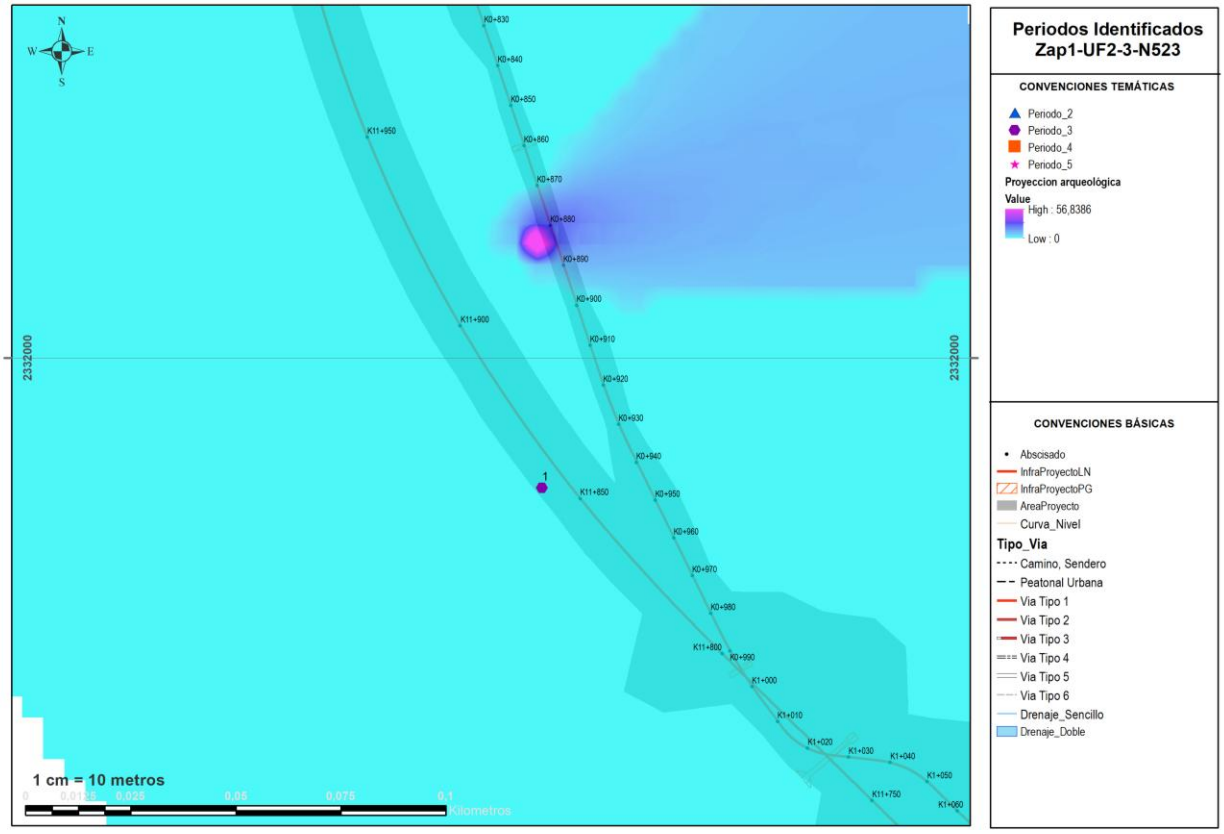


4.2.8.1 ZAP1-N523 UF2-3 Corte 1

El Corte 1 presentó durante toda la excavación un suelo con abundante pedregosidad desde el inicio hasta los 50 cm de profundidad final, con muy baja presencia de materiales arqueológicos, solo en la cuadricula 1 entre 5cm y 10cm se hallaron dos fragmentos de cerámica. Según los resultados de la clasificación del material cerámico de la reprospección, el área fue ocupada en el periodo 3 (Piazzini, 2018). Según los resultados de la clasificación del material cerámico del corte, el área fue ocupada en los periodos 2 (Piazzini, 2018), siendo el periodo 2 el de mayor frecuencia cerámica, con 2 fragmentos.

Digitalización Biblioteca Especializada Alicia Dussán de Reichel. ICANH

Figura 172
Mapa de hallazgos de tipos cerámicos por periodo cronológico en ZAP1-UF2-3 N523



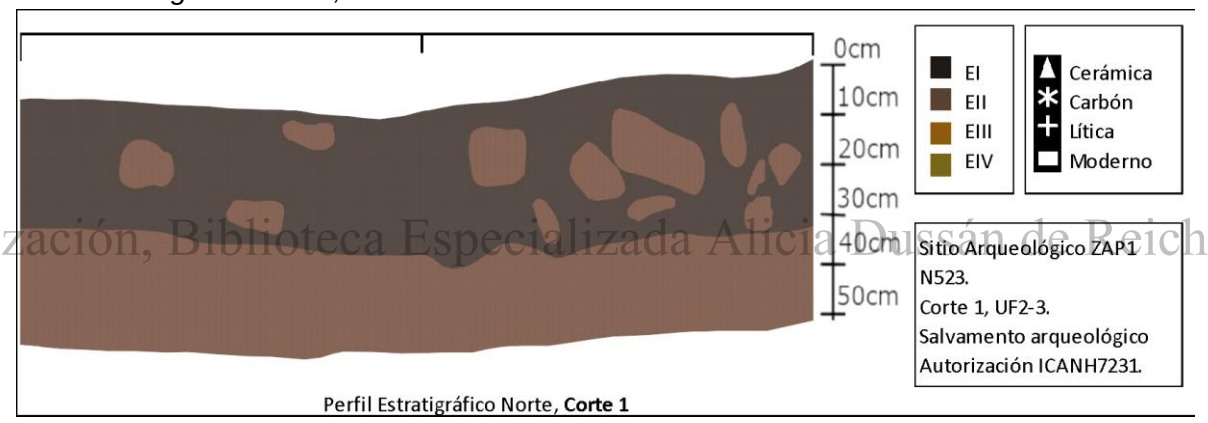
Descripción estratigráfica y material cultural

La columna estratigráfica del perfil Oriente del corte 1 en la ZAP1-UF2-3, N523 muestra dos estratos de suelo relacionados con la formación de la terraza.

Estrato I: corresponde con la parte inicial de formación del sitio en la cual observamos abundante pedregosidad, rocas sub-redondeadas y sub-angulares de gran tamaño, con un espesor de 23cm, color 5YR 5/4, marrón rojizo, textura areno-arcillosa y estructura en bloques sub-redondeados débiles, con presencia de raíces finas aisladas y escasas. Sin material cultural.

Estrato II: Contiene abundante materia orgánica, actividad biológica y radicular, espesor aproximado de 25 cm, color 7.5YR 3/2, marrón oscuro, textura franca, estructura en bloques subangulares finos fuertes, límite marcado con el otro estrato, se recuperó dos fragmentos cerámicos.

Figura 173
Perfil estratigráfico norte, corte 1 ZAP1-N523-UF2-3

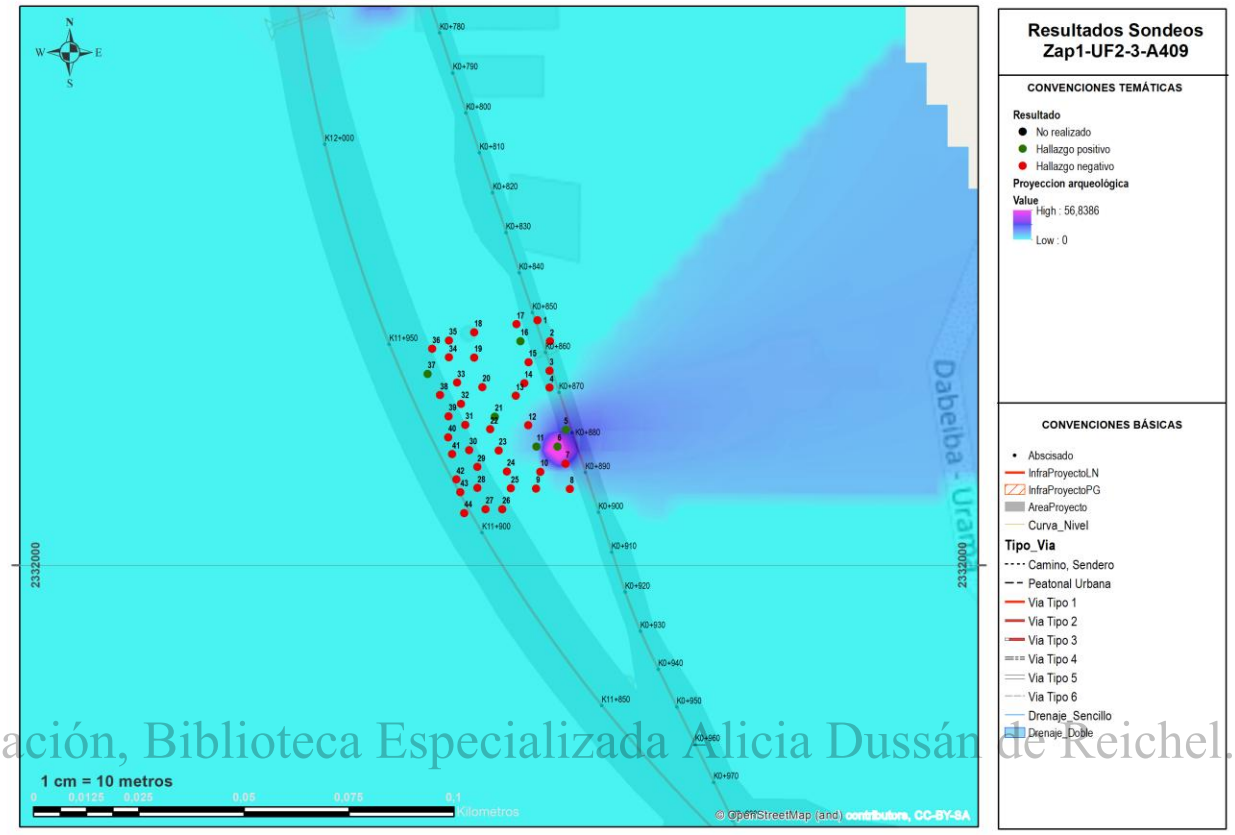


Digitalización, Biblioteca Especializada Alicia Dussán de Reichel. ICANH

4.2.8.2 ZAP1-A409 UF2-3 Corte 2

El segundo punto SP A409 de re-prospección y salvamento de la ZAP1-UF2-3, está ubicado sobre la misma terraza coluvio-aluvial, se realizaron 44 sondeos de prueba, seis arrojaron evidencias de materiales arqueológicos, el total de cerámica recuperada mediante la excavación de sondeos fue de 32 fragmentos entre los niveles 1(0-10cm) y el nivel 3(20-30cm) de profundidad, igualmente mediante recolección superficial se recolectaron dos fragmentos cerámicos, según los resultados de la prospección se realizó un corte de 1m x 4m, excavado por niveles arbitrarios de 5 cm, los materiales arqueológicos en su mayoría se recuperaron entre 10 cm y 15 cm.

Figura 174
Ubicación sondeos y resultados en ZAP1-UF2-3 A409



Digitalización, Biblioteca Especializada Alicia Dussán de Reichel. ICANH

Figura 175
ZAP1-A409-UF2-3



Figura 176
Ubicación sondeos ZAP1-A409-UF2-3



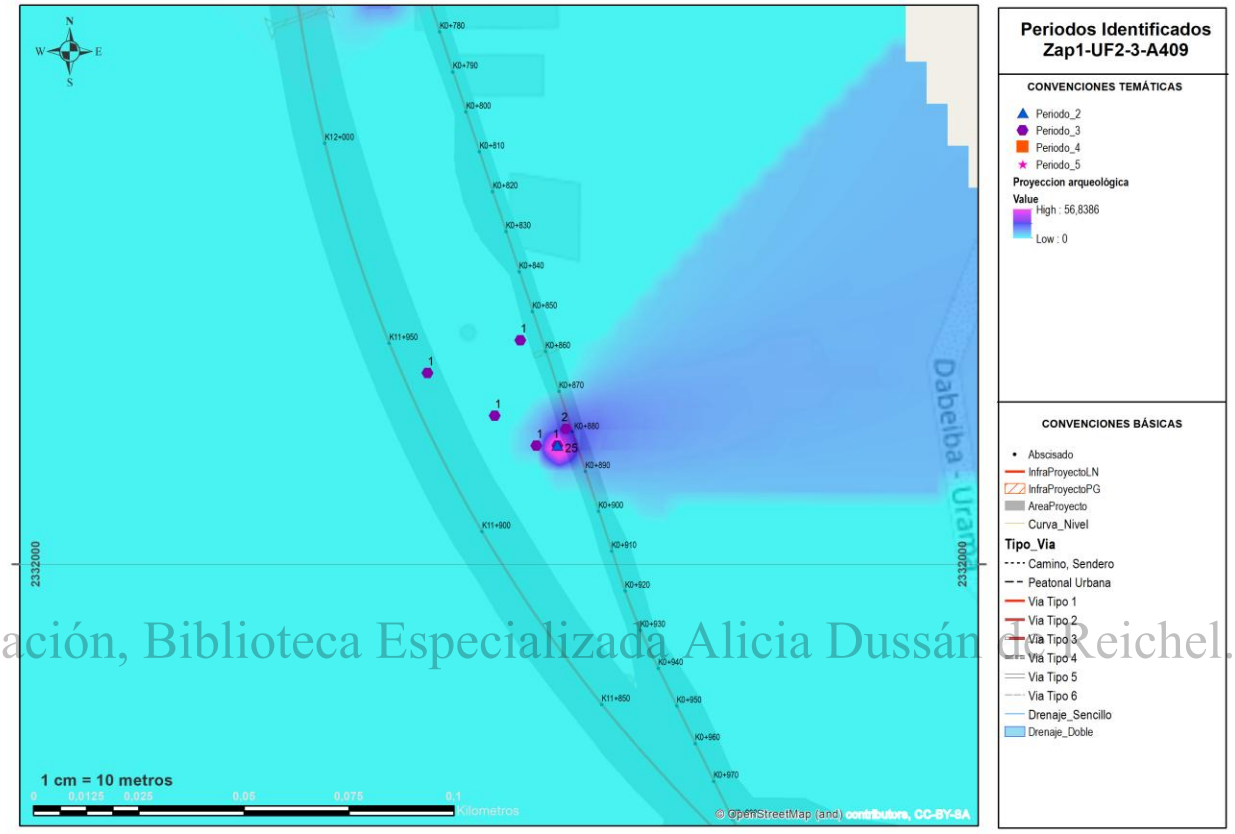
La excavación del corte llegó hasta 55cm de profundidad, donde el suelo presentaba abundante pedregosidad, sin actividad biológica o presencia de materiales arqueológicos.

Según los resultados de la clasificación del material cerámico de la reprospección, el área fue ocupada en el periodo 2 y 3 (Piazzini, 2018). Según los resultados de la clasificación del material

cerámico del corte, el área fue ocupada en los periodos 2 y 3 (Piazzini, 2018), siendo el periodo 3 el de mayor frecuencia cerámica, con 348 fragmentos.

Figura 177

Mapa de hallazgos de tipos cerámicos por periodo cronológico en ZAP1-UF2-3 A409



Digitalización, Biblioteca Especializada Alicia Dussán de Reichel. ICANH

Descripción estratigráfica y material cultural

La columna estratigráfica del perfil Oriente del corte 2 en la ZAP1-UF2-3, A409 presenta las siguientes características:

Estrato I: corresponde con la parte inicial en la cual observamos abundante pedregosidad, rocas sub-redondeadas y sub-angulares de gran tamaño. Espesor del estrato 11cm, color 10YR 3/3, marrón oscuro, textura areno-arcillosa, estructura en bloques sub-redondeados débiles, presencia de raíces finas aisladas y escasas, sin materiales culturales.

Estrato II: matriz de suelo superficial con abundante materia orgánica, actividad biológica y radicular, con un espesor aproximado de 39 cm, color 10YR 3/1, gris muy oscuro, textura franca, estructura en bloques sub-angulares finos fuertes, límite marcado con el otro estrato, se recuperaron 349 fragmentos cerámicos y 3 elementos líticos, núcleo y detritos en materia prima andesita. Dos fragmentos fueron recuperados en la superficie y 34 fragmentos en el perfil del corte.

Figura 178
Perfil estratigráfico norte, ZAP1-A409-UF2-3

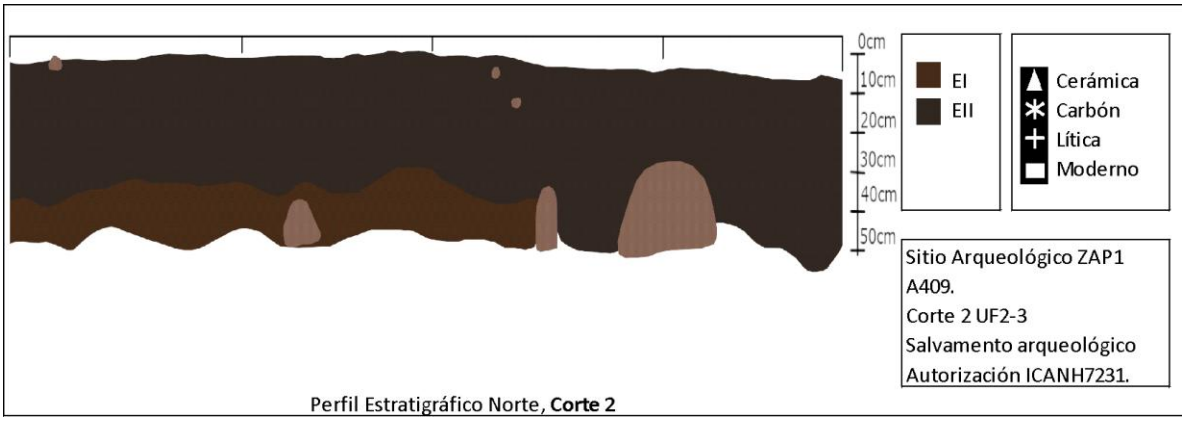
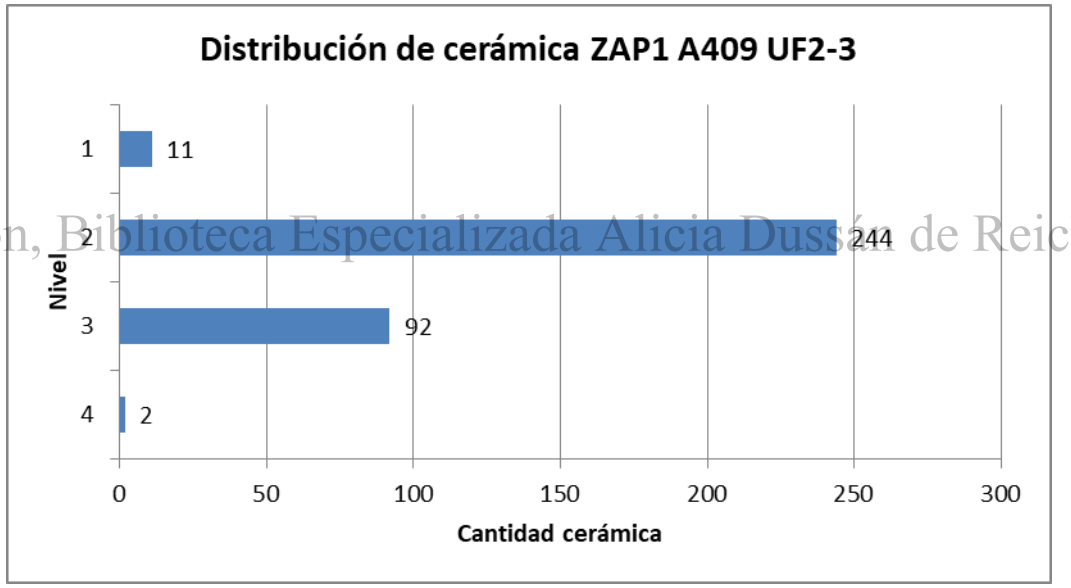


Figura 179
Distribución vertical de la cerámica, ZAP1 A409 UF2-3, Corte 2

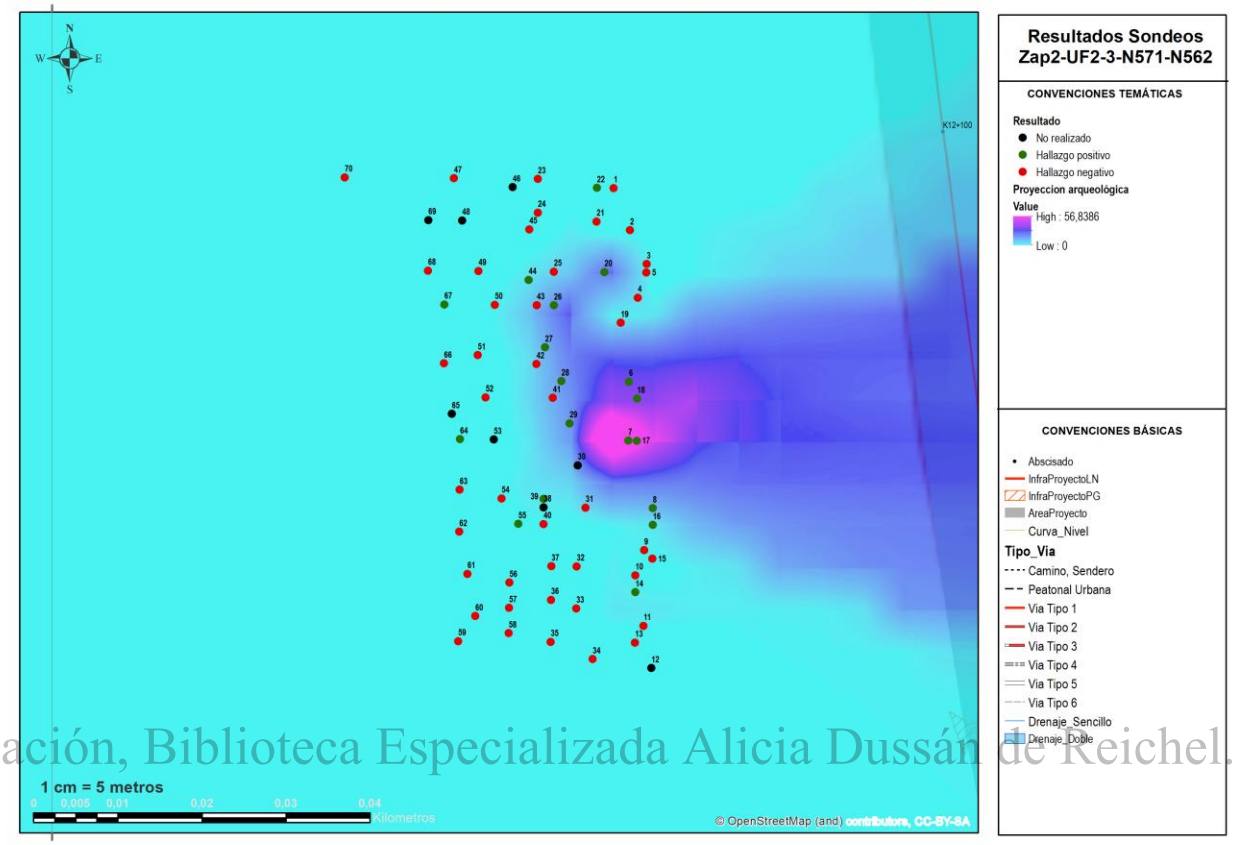


Digitalización, Biblioteca Especializada Alicia Dussán de Reichel. ICANH

4.2.9 ZAP2- N562 – N571 UF2-3

En la ZAP2 de la UF2-3 se ubica la finca El Remolino en las coordenadas planas N562 X: 1090924 – Y: 1265327, N571 X:1090922 – Y:1265344, es una terraza coluvio-aluvial del río Sucio con presencia de rocas en la superficie y cubierta de pastos bajos para ganado, arbustos y árboles grandes dispersos, en el polígono de 40 metros cuadrados para la re-prospección se ubican los dos puntos N562 y N571.

Figura 180
Ubicación sondeos y resultado en ZAP2-UF2-3 N562-N571



Digitalización, Biblioteca Especializada Alicia Dussán de Reichel. ICANH

Figura 181
Ubicación Sondeos, ZAP2 UF2-3



Figura 182
Sitio ZAP2 UF2-3



Dentro del área de prospección se proyectaron 70 sondeos de re-prospección de los cuales se realizaron 63, 18 sondeos de prueba resultaron positivos. La excavación de los sondeos positivos arrojo la presencia de 97 fragmentos cerámicos, los cuales se hallaron entre los niveles 1(0-10cm) y 3(20-30cm) de profundidad.

4.2.9.1 ZAP2- N562 UF2-3

Se realizó un corte 1m x 4m en sentido norte-sur, se excavó mediante niveles arbitrarios de 5cm, hasta 40cm de profundidad, entre 10cm y 20cm de profundidad aparecen los materiales arqueológicos.

Figura 183
Excavación corte 1, ZAP2-N562-UF2-3



Figura 184
Fragmentos cerámicos en corte 1



Descripción estratigráfica y material cultural

Digitalización Biblioteca Especializada Alicia Dussán de Reichel ICANH

En la estratigrafía del corte 1 del sitio ZAP2-N562-UF2-3, se identificaron tres estratos de suelo que se describen así:

Estrato I: Corresponde a la matriz de suelo inicial, espesor de 14cm, color 7.5YR 5/6, marrón fuerte, textura areno-arcillosa, estructura en bloques sub-angulares finos débiles, contiene abundante pedregosidad, rocas grandes sub-redondeadas y sub-angulares, se recuperaron siete fragmentos cerámicos.

Estrato II: Corresponde con una matriz de suelo intermedia con presencia de abundantes rocas de fractura laminar, espesor aproximado de 14cm, color 10YR 2/1, negro, textura franco-arenosa y estructura en bloques sub-angulares medio fuertes, contiene raicillas finas aisladas y escasas, se recuperaron 435 fragmentos cerámicos.

Estrato III: Estrato superficial, espesor de 14 cm, abundante materia orgánica, actividad biológica y radicular, color 7.5YR 3/2 marrón oscuro, textura franca, estructura en bloques sub-angulares finos débiles, se recuperaron 486 fragmentos cerámicos.

Figura 185

Perfil estratigráfico norte, Corte 1 ZAP2-N562-UF2-3

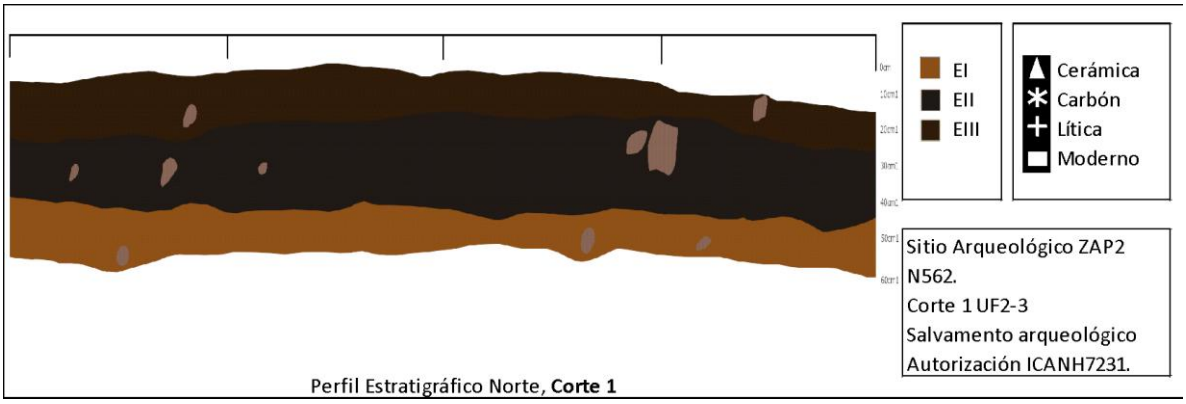
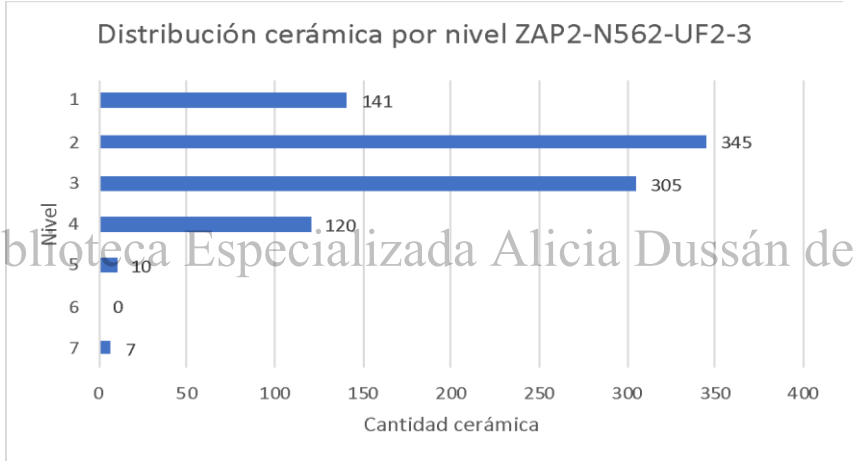


Figura 186

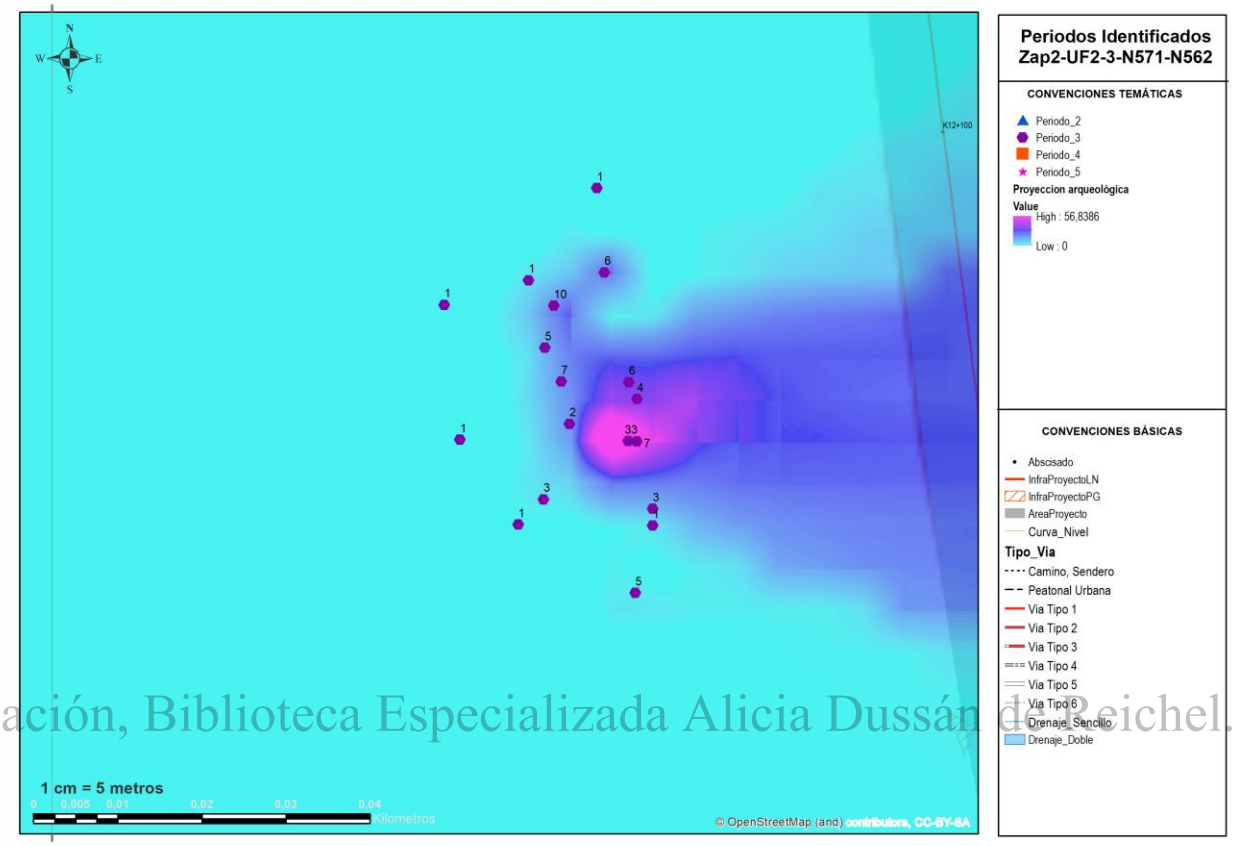
Distribución vertical de la cerámica, ZAP2- N562-UF2-3, corte 1



Digitalización, Biblioteca Especializada Alicia Dussán de Reichel. ICANH

Según los resultados de la clasificación del material cerámico de la reprospección, el área fue ocupada en el periodo 3 (Piazzini, 2018). Según los resultados de la clasificación del material cerámico del corte, el área fue ocupada en los periodos 2 y 3 (Piazzini, 2018), siendo el periodo 3 el de mayor frecuencia cerámica, con 855 fragmentos.

Figura 187
Mapa de hallazgos de tipos cerámicos por periodo cronológico en ZAP2-UF2-3 N562 – N571



Digitalización, Biblioteca Especializada Alicia Dussán de Reichel. ICANH

4.2.9.2 ZAP2-N571 UF2-3

El corte se realizó de 1m x 4m orientado en sentido norte-sur, se excava hasta el saprofito a 50cm de profundidad. La mayor frecuencia de cerámica se presenta entre 10 cm y 20 cm.

Figura 188
Excavación corte 1, ZAP2-N571 UF2-3



Figura 189
Planta final corte 1, ZAP2-N571 UF2-3



Según los resultados de la clasificación del material cerámico del corte, el área fue ocupada en el periodo 2 (Piazzini, 2018), siendo el periodo 42 el de mayor frecuencia cerámica, con 500 fragmentos.

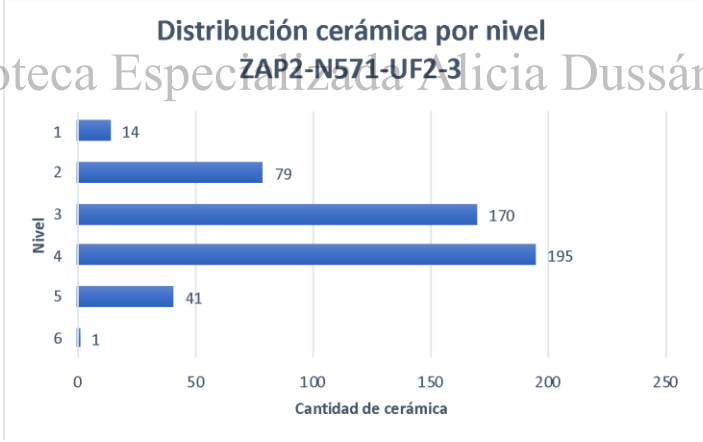
Descripción estratigráfica y material cultural

La lectura estratigráfica de perfil oriente del corte 1 en la ZAP2-N571-UF2-3 muestra dos estratos:

Estrato I: Corresponde con la matriz inicial de suelo, presenta abundante pedregosidad, rocas sub-redondeadas y sub-angulares de gran tamaño, contine raíces finas aisladas y escasas. Espesor del estrato es de 20cm, color 7.5YR 5/6, marrón fuerte, textura areno-arcillosa y estructura en bloques sub-redondeados débiles, sin materiales culturales.

Estrato II: contine abundante materia orgánica, actividad biológica y radicular, con un espesor aproximado de 30cm, color 10YR 3/1 gris muy oscuro, textura franca, estructura en bloques sub-angulares finos fuertes y límite marcado con el otro estrato. Asociado a este estrato se recuperaron 500 fragmentos cerámicos, correspondientes al total de los materiales recuperados en la excavación.

Figura 190
Distribución vertical de la cerámica, ZAP2-UF2-3 N571, corte 2



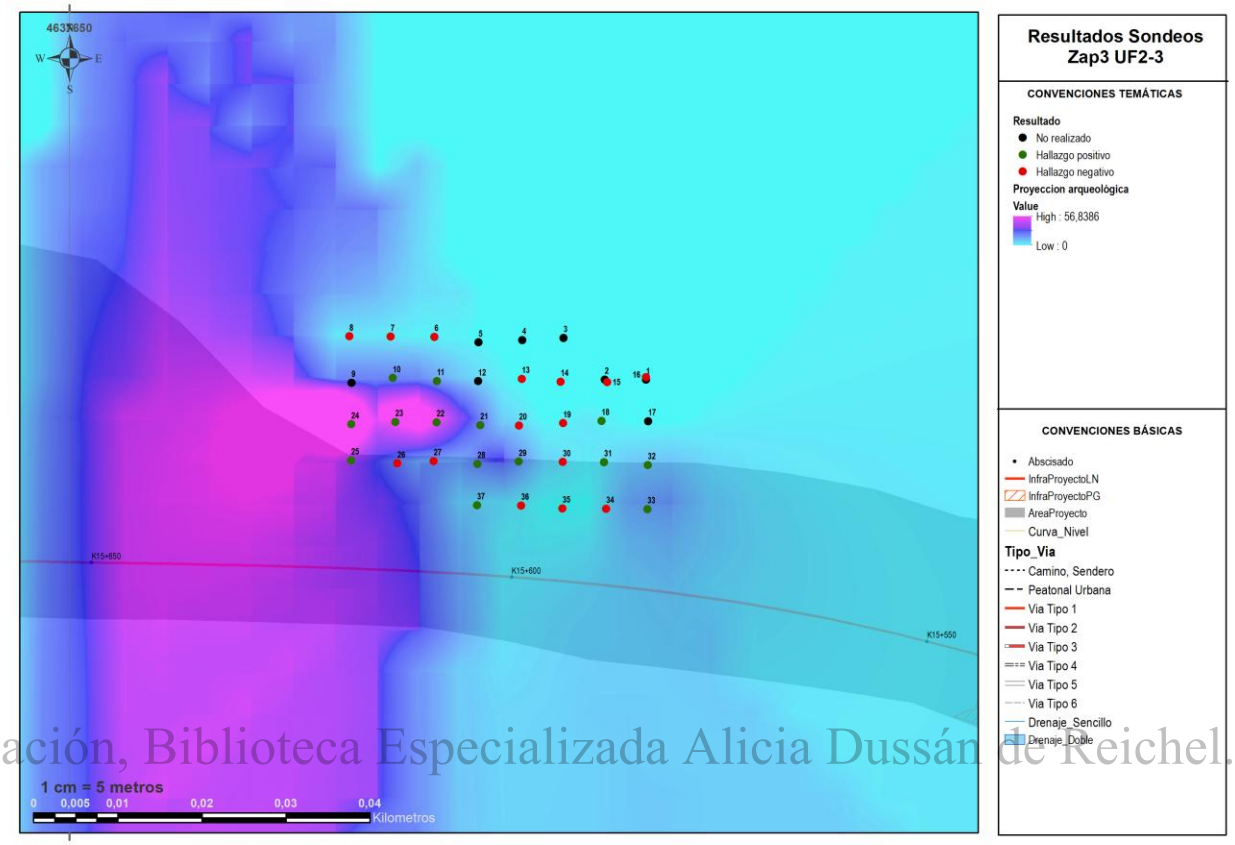
Digitalización, Biblioteca Especializada Alicia Dussán de Reichel. ICANH

4.2.10 ZAP3 UF2-3

En la ZAP3-UF2-3, ubicada en la finca Los Tanques, vereda Carrá de municipio de Dabeiba, Antioquia, coordenadas planas X: 1088143 – Y: 1266698; realizamos una re-prospección intensiva en un polígono de cuarenta metros cuadrados teniendo como referencia el pozo N1062, en total fueron realizados 37 sondeos, 16 resultaron negativos, en 14 se recuperaron materiales arqueológicos y 7 no se realizaron por localizarse sobre afloramientos de roca; el área corresponde a un descanso de ladera baja con afloramientos rocosos en superficie y cortada por carreteable, la vegetación existente es de pastos bajos para ganadería y cerca viva.

La cantidad de material cerámico recuperado durante la re-prospección fue de 117 fragmentos cerámicos y un elemento lítico, clasificado como detrito en anfibolita.

Figura 191
Ubicación sondeos y resultados en ZAP3-UF2-3



Digitalización, Biblioteca Especializada Alicia Dussán de Reichel. ICANH

Figura 192
Panorámica sitio ZAP3 UF2-3



Figura 193
Ubicación corte 1, ZAP3 UF2-3



Se realizó un corte de 1m x 4m orientado en sentido oriente- occidente. Se excavó en niveles arbitrarios de 5cm, la profundidad final fue de 60 cm, la mayor frecuencia de aparición de materiales cerámicos se da entre 15cm y 20cm.

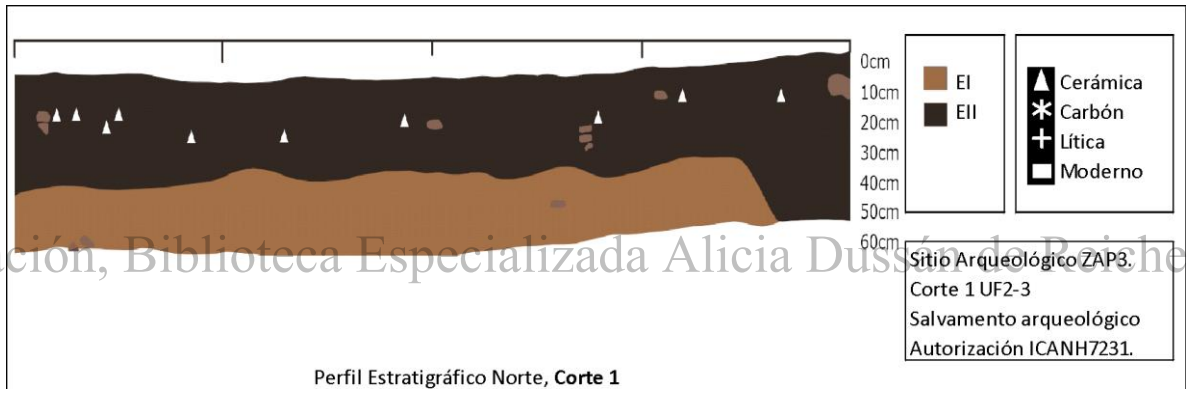
Descripción estratigráfica y material cultural

La lectura estratigráfica del perfil Norte del corte 1 muestra dos estratos de suelo:

Estrato I: suelo inicial con un espesor del estrato 19 cm, con abundantes rocas sub-redondeadas y sub-angulares de gran tamaño, raíces finas aisladas, color 7.5YR 6/4 marrón claro, textura limo-arcillosa y estructura en bloques sub-angulares débiles, se recuperaron 10 fragmentos cerámicos y un tajador en basalto.

Estrato II: matriz de suelo superficial, contine abundante materia orgánica, actividad biológica y radicular, con un espesor aproximado de 40cm, color 10YR 3/1 gris oscuro, textura franca, estructura en bloques sub-angulares finos fuertes, límite marcado con el otro estrato, se recuperaron 365 fragmentos cerámicos. Igualmente 18 fragmentos fueron recuperados en el perfil expuesto de la excavación del corte y correspondiente a este estrato. Además 21 elementos líticos se asocian al estrato; 10 de estos corresponden a lascas de primero, segundo y tercer orden; la materia prima utilizada para estos elementos fue: andesita, anfibolita, basalto, diabasa, diorita, esquisto, granodiorita y lodolita.

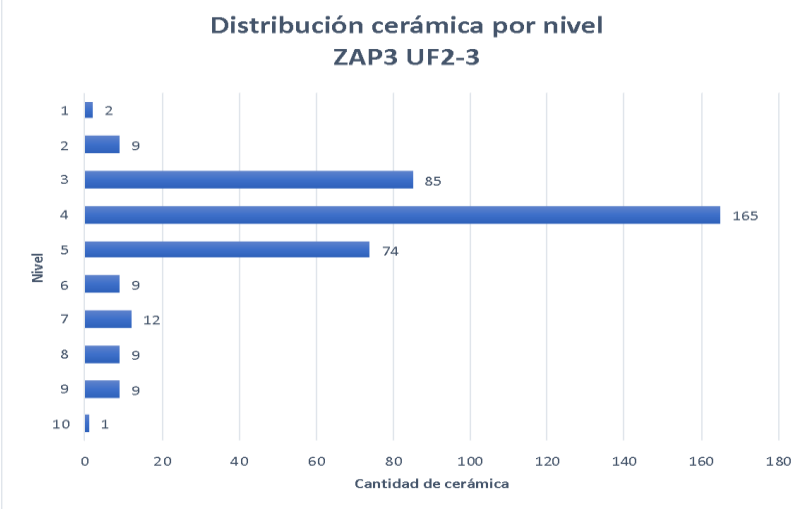
Figura 194
Perfil estratigráfico norte, ZAP3 UF 2-3 Corte 1



Perfil Estratigráfico Norte, **Corte 1**

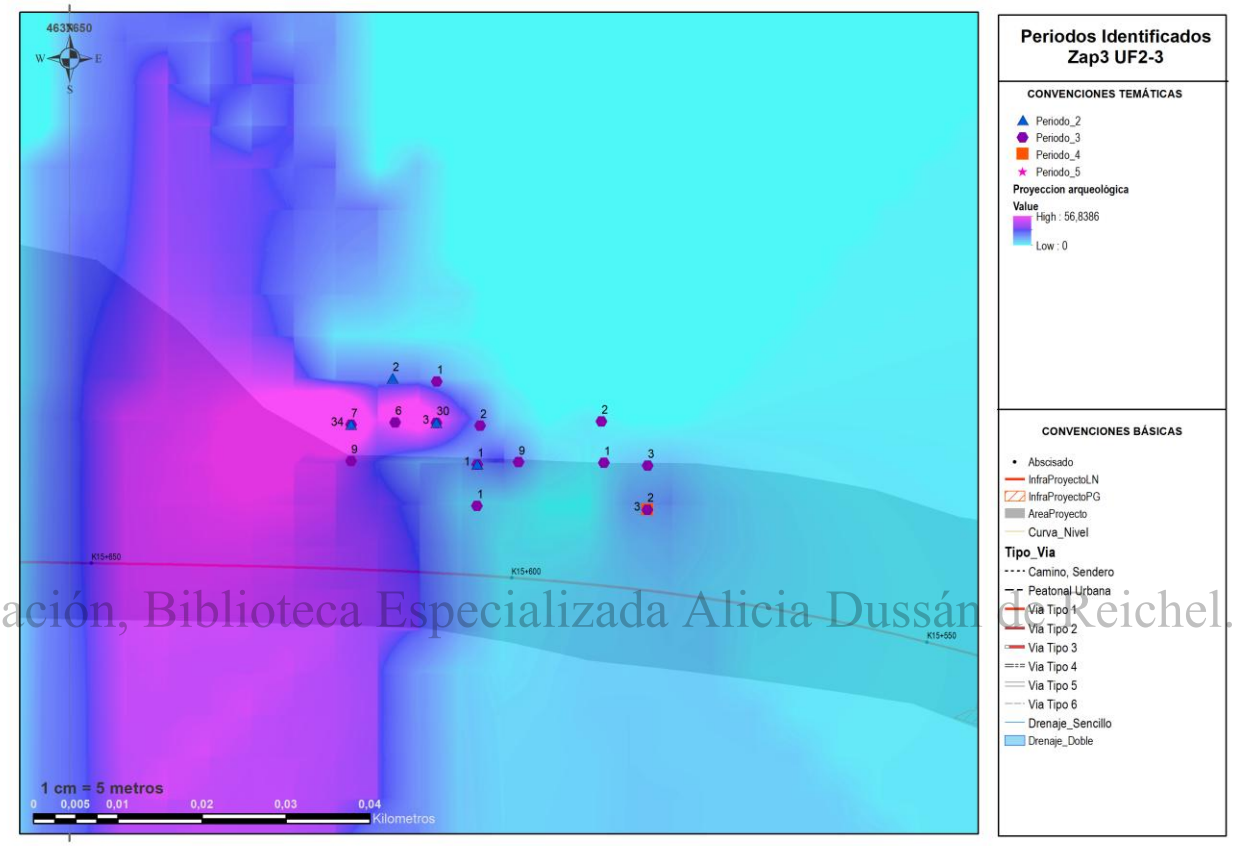
Digitalización, Biblioteca Especializada Alicia Dussán de Reichel. ICANH

Figura 195
Distribución vertical de la cerámica, ZAP3 UF2-3, corte 1



Según los resultados de la clasificación del material cerámico de la reprospección y corte estratigráfico, el área fue ocupada en el periodo 2, 3 y 4 (Piazzini, 2018). siendo el periodo 3 el de mayor frecuencia cerámica, con 369 fragmentos.

Figura 196
Mapa de hallazgos de tipos cerámicos por periodo cronológico en ZAP3-UF2-3



Digitalización, Biblioteca Especializada Alicia Dussán de Reichel. ICANH

4.2.11 ZAP4 UF2-3

En la ZAP4-UF2-3, hay 11 sondeos para reprospección con un polígono de 40 por 40, estos sondeos positivos son: 1) A715, 2) RS1NR, 3) N1088, 4) A717, 5) A718, 6) RS1OM, 7) N1198, 8) A722, 9) A726 10) A728 y 11) N1202. Los cuatro últimos no fueron intervenidos: A722, A726, A728 y N1202, debido a que fueron excluidos de esta autorización de intervención arqueológica por el Adendo 3.

Este sitio se ubica en el municipio de Dabeiba, finca Piedras Blancas, en las coordenadas planas X: 1087425,817 – Y: 1267174,383. La geomorfología del lugar corresponde a una terraza coluvio-aluvial alta, ubicada en la margen derecha del río Sucio, con dos niveles, en el sitio se observan afloramientos rocosos en superficie, la cobertura vegetal existente es de pasto bajo, actualmente el sitio es utilizado para cultivos de pancoger, al momento de la realización de los trabajos el sitio presentaba cultivo de maíz.

Figura 197
Panorámica ZAP 4 UF2-3



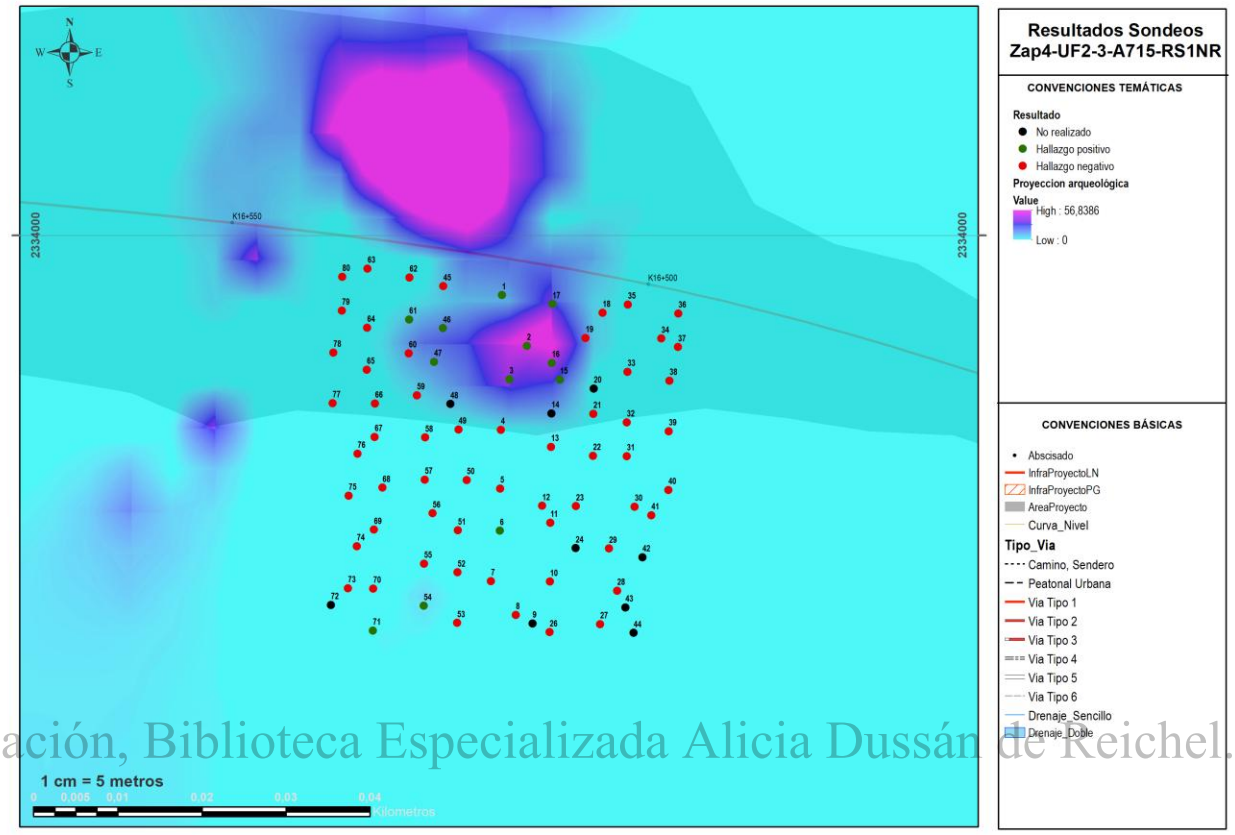
4.2.11.1 ZAP4 UF2-3 A715 – RS1NR- RS1OM

Digitalización: Biblioteca Especializada Alicia Dussán de Reichel. ICANH

Alrededor de los sondeos A715, RS1NR y RS1OM realizamos la re-prospección intensiva, en malla con sondeos cada 5 metros, de 80 sondeos realizados en 12 se recuperaron materiales arqueológicos, 59 fueron negativos y nueve no se realizaron debido a su ubicación sobre afloramientos de roca, ubicado en las coordenadas planas X: 1087415,704 – Y: 1267142,623, la vegetación del área es de rastrojo bajo, los sondeos fueron georreferenciados y excavados por niveles de 10cm, con los resultados de esta reprospección se ubica el lugar para realizar un corte de excavación de 3m x 2m, excavado por niveles arbitrarios de 5cm hasta el saprolito.

El resultado de la re-prospección arrojó una muestra cerámica de 82 fragmentos recuperados en los 12 sondeos positivos, la profundidad de los hallazgos oscilo entre el nivel 1(01-10cm) y el nivel 8(70-80cm).

Figura 198
Ubicación sondeos y resultados en ZAP4-UF2-3 - A715-RS1NR



Digitalización, Biblioteca Especializada Alicia Dussán de Reichel. ICANH

Figura 199
Excavación corte 1, ZAP4 UF2-3 A715 – RS1NR – RS1OM



La profundidad final de la excavación fue 150cm, hasta los 100cm apareció cerámica, entre 55-75cm de profundidad se presentaron las mayores frecuencias de fragmentos cerámicos.

Descripción estratigráfica y material cultural

En la estratigrafía del perfil de suelo Oriental del corte 1, del sitio ZAP4-UF2-3 A715-RS1NR, se identifican cuatro estratos de suelos con las siguientes características:

Estrato I: el estrato corresponde con la matriz de suelo inicial de la terraza, espesor 13cm, color 10YR 3/2, marrón grisáceo muy oscuro, textura limo-arcillosa, estructura en bloques sub-angulares finos fuertes, sin presencia de actividad biológica y radicular. Contiene abundante pedregosidad en planta, rocas sub-angulares grandes. Asociado al estrato no se recuperaron materiales culturales.

Estrato II: corresponde a una matriz de suelo de unos 38cm aproximadamente de espesor, color 10YR 2/1, negro, con textura arcillo-arenosa, estructura en bloques sub-angulares finos débiles y presencia de rocas en proceso de meteorización y fractura laminar, asociado al estrato se reportan un fragmento cerámico en el perfil.

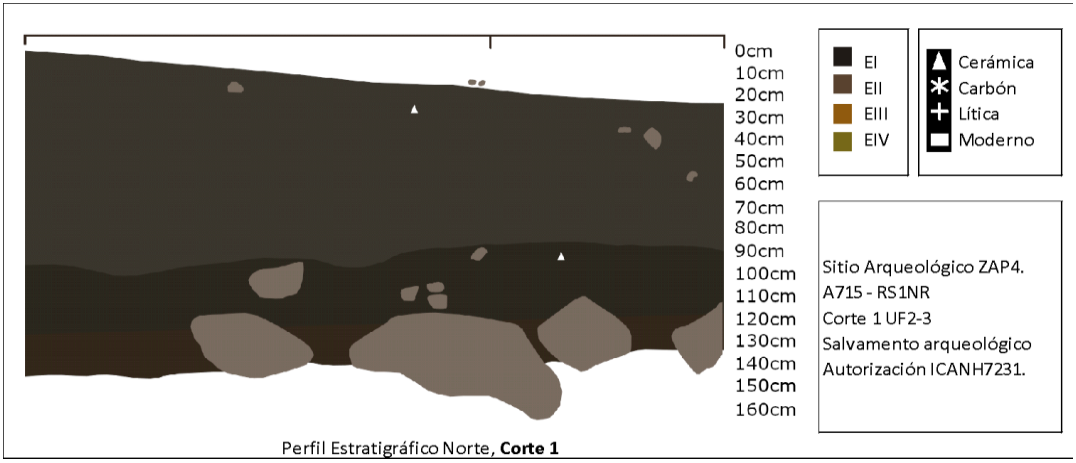
Estrato III: matriz de suelo de 90cm de espesor en la parte más amplia y 60cm en la más angosta, color 10YR 3/1, gris muy oscuro, textura franca-arcillosa, estructura en bloques sub-angulares finas débiles, contiene raicillas finas, actividad biológica, abundante pedregosidad. Asociado al estrato se recuperaron 535 fragmentos cerámicos, y tres fragmentos recogidos de las paredes del perfil de este estrato. Igualmente, se reporta el hallazgo de dos artefactos líticos en diabasa, percutor y raspador.

Digitalización: Biblioteca Especializada Alicia Dussán de Reichel. ICANH

Estrato IV: corresponde con el estrato superficial del sitio, espesor de 7cm, color 10YR 3/1, gris muy oscuro, textura franca, estructura en bloques sub-angulares finos fuertes, presenta abundante materia orgánica, actividad biológica y radicular, asociado al estrato se recuperaron 15 elementos arqueológicos.

Figura 200

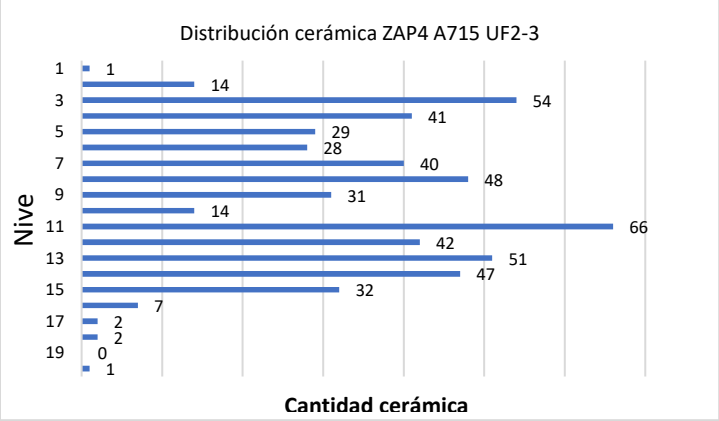
Perfil estratigráfico norte, Corte 1 ZAP4 A715 – RS1NR – RS1OM UF 2-3



Perfil Estratigráfico Norte, **Corte 1**

Figura 201

Distribución vertical de la cerámica, ZAP4-UF2-3 A715 - RS1NR – RS1OM, corte 1

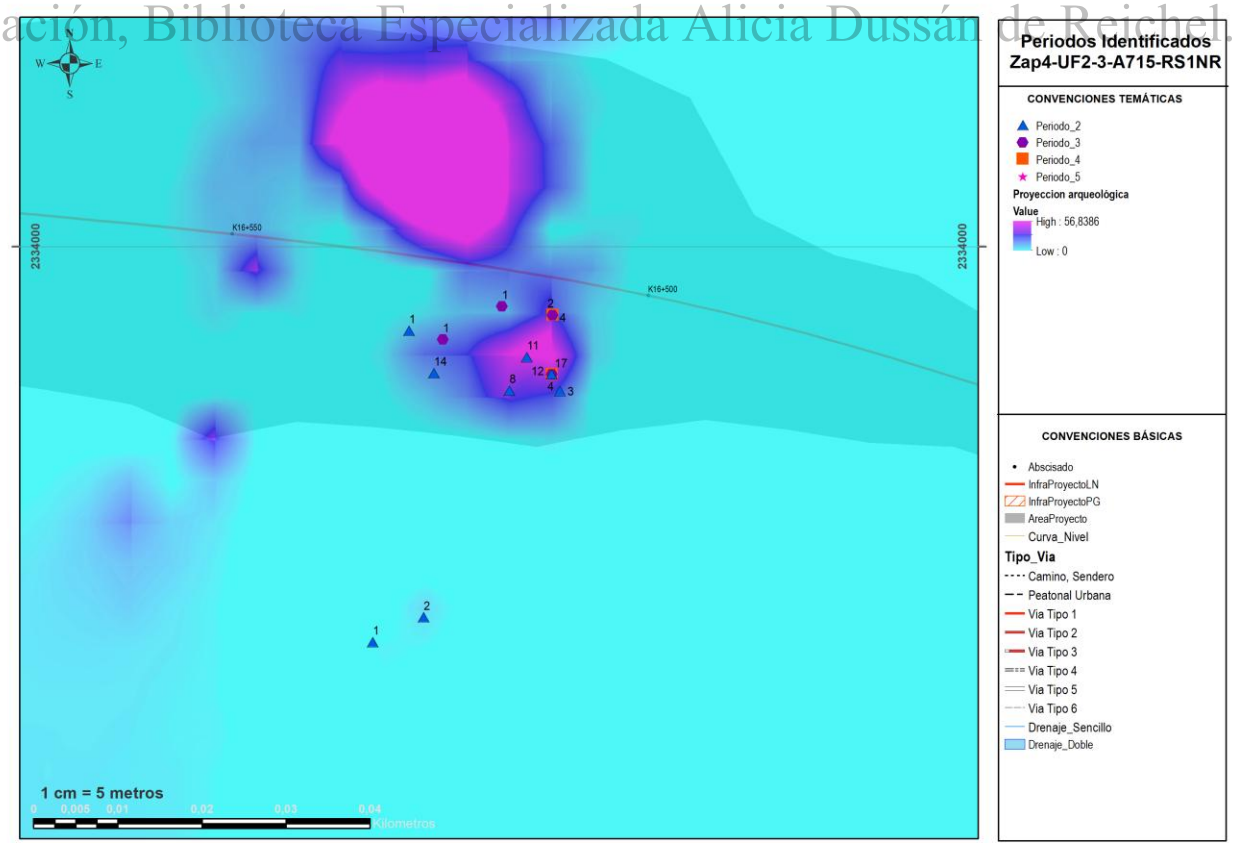


Según los resultados de la clasificación del material cerámico de la reprospección, el área fue ocupada en el periodo 2, 3 y 4 (Piazzini, 2018). Según los resultados de la clasificación del material cerámico del corte, el área fue ocupada en los periodos 2, 3, 4 y 5 (Piazzini, 2018), siendo el periodo 2 el de mayor frecuencia cerámica, con 446 fragmentos.

Figura 202

Mapa de hallazgos de tipos cerámicos por periodo cronológico en ZAP4-UF2-3 – A715-RS1NR

Digitalización, Biblioteca Especializada Alicia Dussán de Reichel. ICANH

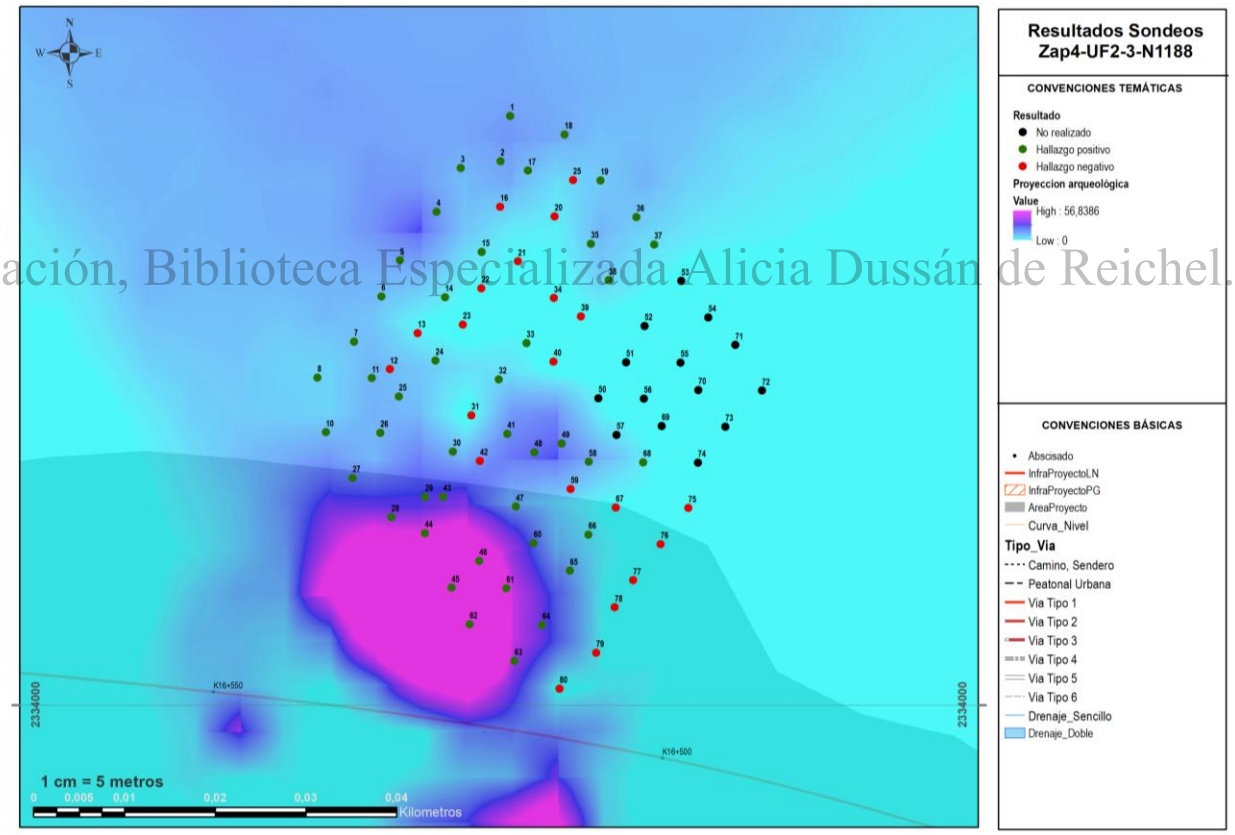


4.2.11.2 ZAP4 N1188 UF2-3

El yacimiento arqueológico está ubicado sobre la parte más alta de la ladera margen derecha del río, corresponde con una terraza coluvio-aluvial con afloramiento rocoso en superficie, vegetación de pasto bajo y cultivo de maíz. Las coordenadas del sitio son X: 1087425,817 – Y: 1267174,383. En total fueron ubicados y georreferenciados 80 sondeos de prueba, dispuestos en malla cada 5 metros, se realizaron 66, en 46 se recuperaron evidencias arqueológicas, 20 son negativos y 14 no se realizaron por ubicarse sobre rocas.

El resultado de la re-prospección arrojo la presencia de 306 fragmentos cerámicos en los 46 sondeos de prueba positivos, las profundidades de los hallazgos van entre los niveles 1(0-10cm) y 4(30-40cm).

Figura 203
Ubicación sondeos y resultados en ZAP4-UF2-3 – N1188



Digitalización, Biblioteca Especializada Alicia Dussán de Reichel. ICANH

Figura 204
Panorámica ZAP4 UF2-3 N1188



Figura 205
Sondeo positivo #2 ZAP4 UF2-3 N1188



Con los resultados de la excavación de los sondeos, se ubicó el lugar para realizar un corte de excavación estratigráfico de 1x4m², se excavo hasta 60cm de profundidad, las mayores frecuencias de aparición de cerámica se dan entre 5- 25cm.

Descripción estratigráfica y material cultural

En la estratigrafía del corte 1 del yacimiento arqueológico ZAP4 N1188 UF2-3, perfil oriental, se identificaron tres estratos de suelo con las siguientes características:

Digitalización, Biblioteca Especializada Alicia Dussán de Reichel. ICANH

Estrato I: corresponde a la matriz de suelo inicial, con un espesor aproximado de 17cm, color 10YR 5/2, marrón grisáceo, textura limo-arcillosa, estructura en bloques sub-angulares finos fuertes, contiene abundante pedregosidad, rocas grandes sub-redondeadas y sub-angulares en planta, se recuperaron dos fragmentos cerámicos.

Estrato II: corresponde con una matriz de suelo intermedia con presencia de abundantes rocas sub-redondeadas y sub-angulares, espesor aproximado de 30cm, color 10YR 3/1, gris muy oscuro, textura franco-arenoso, estructura en bloques sub-angulares medio fuertes, contiene raicillas finas aisladas y escasas. Asociado al estrato se recuperaron 870 fragmentos cerámicos. Igualmente, en la pared del estrato se recogieron 18 fragmentos más de cerámica. Y en el nivel 5(20-25cm) relacionado a este estrato de suelo se recuperaron dos lascas en lodolita y basalto.

Estrato III: estrato superficial con espesor aproximado de 7cm, abundante materia orgánica, actividad biológica y radicular, color 10YR 2/1, negro, textura franca, estructura en bloques sub-angulares finos débiles, se recuperaron 108 fragmentos cerámicos, también asociado estrato expuesto de la excavación se recogieron dos fragmentos cerámicos.

Figura 206
Perfil estratigráfico norte ZAP4 N1188 UF2-3

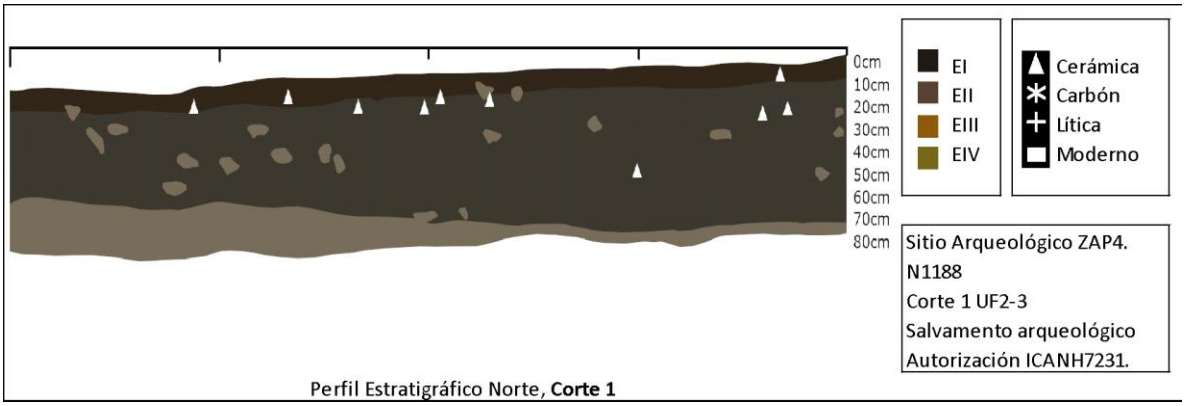
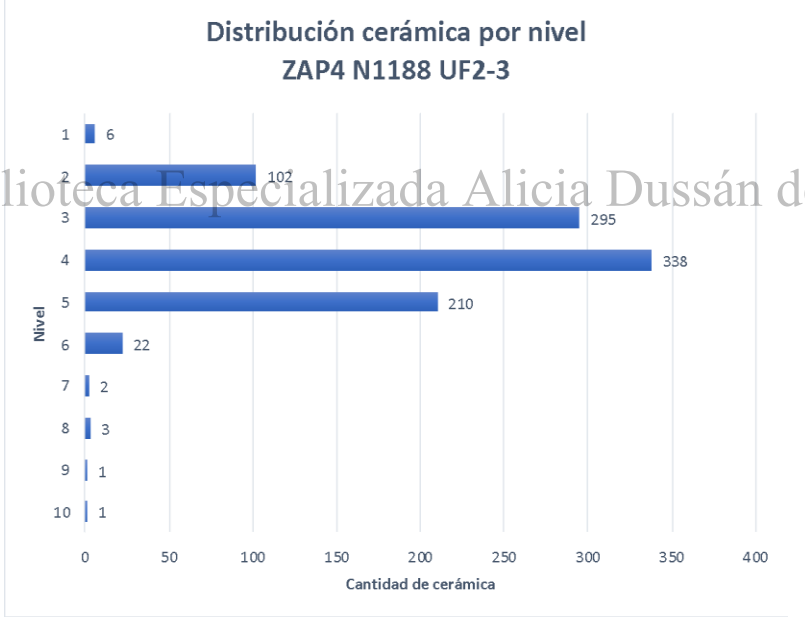


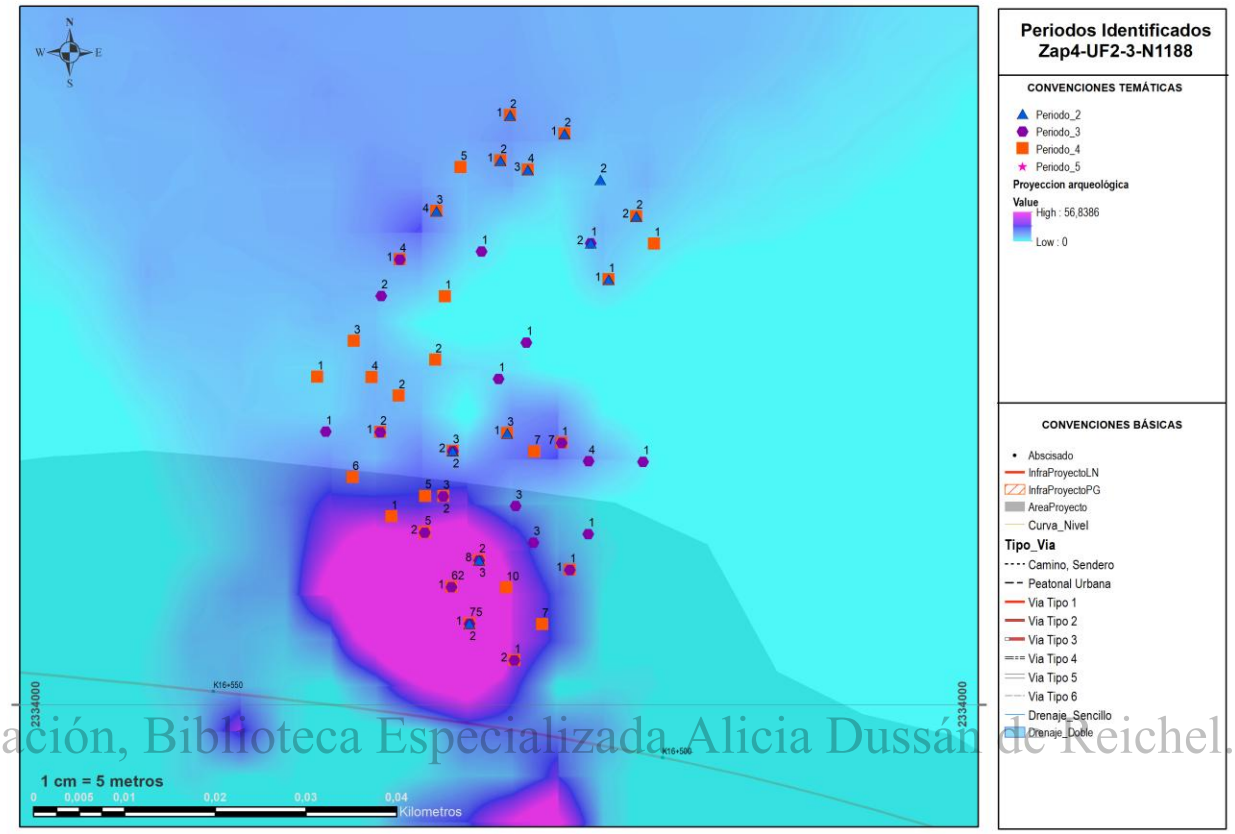
Figura 207
Distribución vertical de la cerámica, ZAP4 N1188 UF2-3



Digitalización, Biblioteca Especializada Alicia Dussán de Reichel. ICANH

Según los resultados de la clasificación del material cerámico de la reprospección, el área fue ocupada en el periodo 2, 3 y 4 (Piazzini, 2018). Según los resultados de la clasificación del material cerámico del corte, el área fue ocupada en los periodos 2, 3, 4 y 5 (Piazzini, 2018), siendo el periodo 3 el de mayor frecuencia cerámica, con 599 fragmentos.

Figura 208
Mapa de hallazgos de tipos cerámicos por periodo cronológico en ZAP4-UF2-3 – N1188



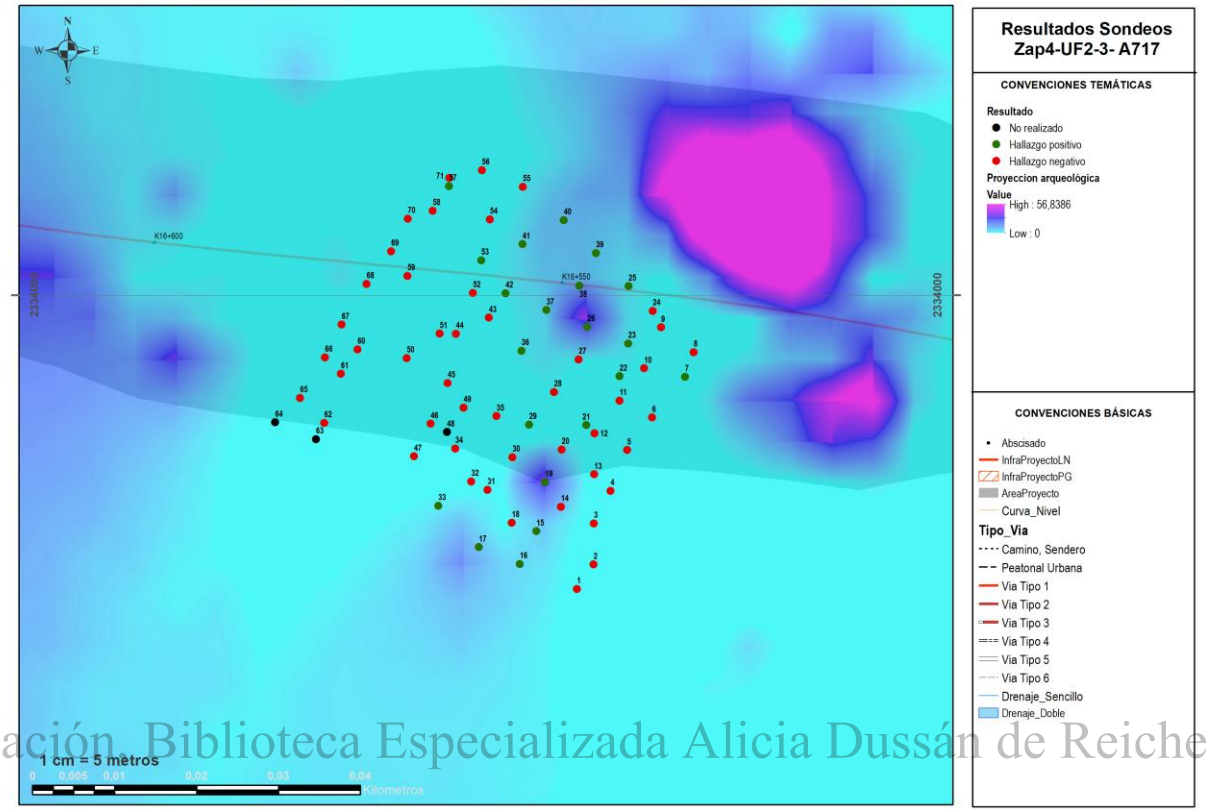
Digitalización, Biblioteca Especializada Alicia Dussán de Reichel. ICANH

4.2.11.3 ZAP4 A717 UF2-3

Está ubicado sobre el segundo nivel de terraza de la margen derecha del rio Sucio, el área es plana y está cubierta de pasto bajo y un cultivo de maíz ya cosechado, hay presencia de afloramientos de roca, se ubica en las coordenadas planas X: 1087382,462 – Y: 1267126,006. En el polígono de intervención fueron ubicados 71 sondeos de prueba, 21 con materiales arqueológicos, 47 fueron negativos y tres no se realizaron.

Como resultado de la re-prospección se obtuvieron 52 fragmentos cerámicos distribuidos en los 21 sondeos de pruebas positivos, los niveles de aparición cerámica esta entre 1(0-10cm) y 8(70-80cm) de profundidad.

Figura 209
Ubicación sondeos y resultados en ZAP4-UF2-3 – A717



Digitalización. Biblioteca Especializada Alicia Dussán de Reichel. ICANH

Figura 210
ZAP4 A717 UF2-3



Figura 211
Sondeo #30, ZAP4 A717 UF2-3



Según los resultados de la prospección se ubicó el corte estratigráfico de 1m x 4m, en sentido nororiente-occidente, fue intervenido por niveles de 5cm hasta el saprolito. Entre 55cm y 75cm y entre 5 cm – 25 cm de profundidad se presentó la mayor frecuencia de aparición de cerámica.

Descripción estratigráfica y material cultural

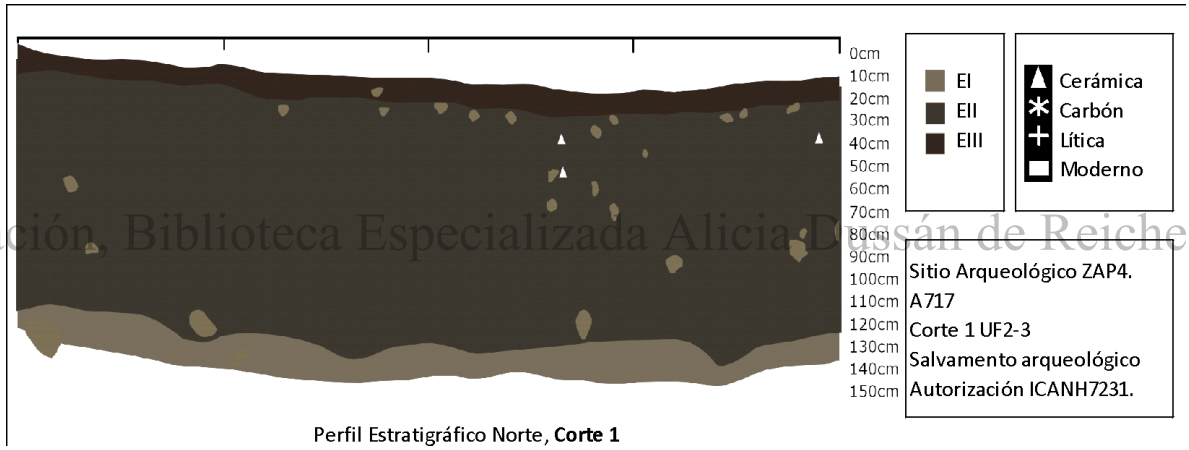
La columna estratigráfica del perfil Oriental del corte 2 en la ZAP4-UF2-3 A717 tiene tres estratos de suelo, las características estratigráficas de este perfil se describen a continuación.

Estrato I: corresponde con la matriz inicial de suelo, con abundantes rocas sub-redondeadas y sub-angulares de gran tamaño en planta, espesor del estrato 10cm, color 10YR 5/2, marrón grisáceo, textura limo-arcillosa, estructura en bloques sub-angulares débiles, sin materiales arqueológicos.

Estrato II: contiene abundante materia orgánica, actividad biológica y radicular, espesor aproximado de 103cm, color 10YR 3/1 gris muy oscuro, textura franca-arenosa, estructura en bloques sub-angulares finos fuertes, límite con los demás estratos marcado, presencia de rocas de fractura laminar, se recuperaron 74 fragmentos cerámicos que son el total de los materiales recuperados en la excavación.

Estrato III: estrato superficial con un espesor aproximado de 10cm, abundante materia orgánica y actividad biológica y radicular, color 10YR 2/1 negro, textura franca, estructura en bloques sub-angulares finos débiles. Asociado al estrato se recuperaron 1 fragmentos cerámicos.

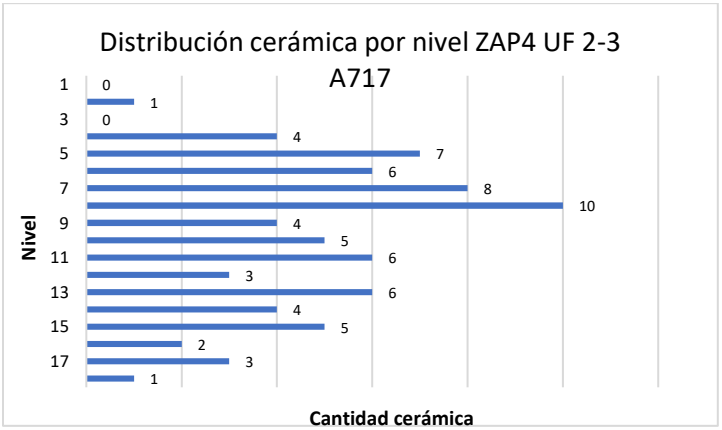
Figura 212
Perfil Estratigráfico norte, Corte 2 ZAP4 A717 UF2-3



Perfil Estratigráfico Norte, **Corte 1**

Digitalización, Biblioteca Especializada Alicia Dussán de Reichel. ICANH

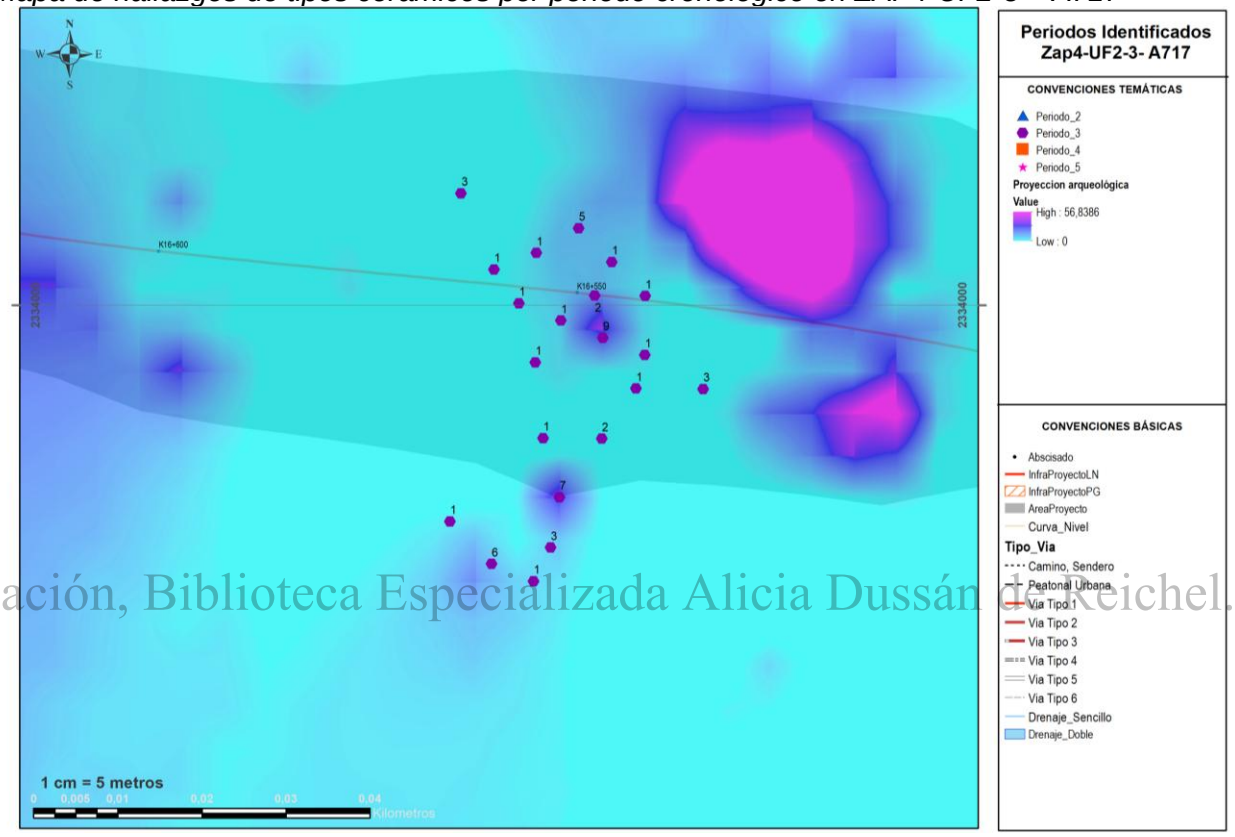
Figura 213
Distribución vertical de la cerámica, ZAP4 A717 UF2-3, corte 2



Según los resultados de la clasificación del material cerámico de la reprospección, el área fue ocupada en el periodo 3 (Piazzini, 2018). Según los resultados de la clasificación del material cerámico del corte, el área fue ocupada en los periodos 2, 3 y 4 (Piazzini, 2018), siendo el periodo 2 el de mayor frecuencia cerámica, con 72 fragmentos.

Figura 214

Mapa de hallazgos de tipos cerámicos por periodo cronológico en ZAP4-UF2-3 – A717



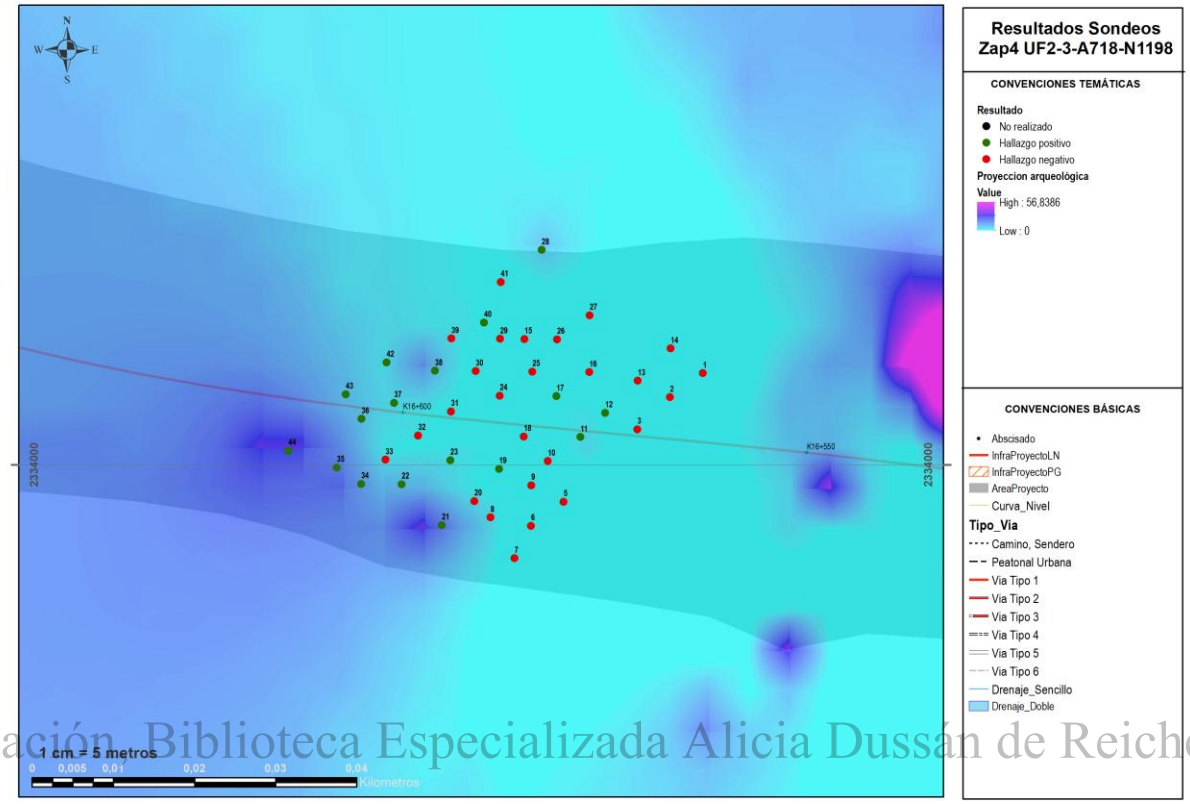
Digitalización, Biblioteca Especializada Alicia Dussán de Reichel. ICANH

4.2.11.4 ZAP4 A718 UF2-3

La re-prospección del yacimiento arqueológico A718 se realizó en conjunto con la del yacimiento arqueológico N1198, esto debido a la cercanía entre uno y otro sondeo. Esta zona de re-prospección se ubica el segundo nivel de terraza de la margen derecha del río Sucio, en las coordenadas planas del sitio son X: 1087346,754 – Y: 1267143,976, presenta vegetación de pasto bajo, en el polígono de re-prospección ubicamos 44 sondeos de prueba, 17 arrojaron evidencias de materiales arqueológicos y 27 fueron negativos. Se realizaron dos cortes de excavación para A718 y N1198.

La excavación de los sondeos de prueba arrojo como resultado el hallazgo de 47 fragmentos cerámicos distribuidos en los 17 sondeos positivos, entre los niveles 1(0-10cm) y 3(20-30cm) de profundidad.

Figura 215
Ubicación sondeos y resultados en ZAP4-UF2-3 – A718



Digitalización Biblioteca Especializada Alicia Dussán de Reichel. ICANH

Figura 216
Excavación sondeos, ZAP4 A718 UF2-3



En el yacimiento arqueológico A718, el corte estratigráfico de excavación fue de 2x2m² en sentido norte-sur realizado mediante niveles de excavación de 5cm, este corte presentó las mayores frecuencias de aparición de materiales arqueológicos entre los 10cm y 20cm de profundidad.

Figura 217
Montaje corte 4, ZAP4 A718 UF2-3



Figura 218
Planta final, ZAP4 A718 UF2-3



Descripción estratigráfica y material cultural

La columna estratigráfica del perfil Oriental del corte 4 en la ZAP4 A718 UF2-3 mostró que, al sitio lo componen tres estratos de suelo cuyas características se describen a continuación.

Estrato I: corresponde con la matriz inicial de suelo, en la cual observamos abundantes rocas sub-redondeadas y sub-angulares de gran tamaño, el espesor del estrato es 16cm, color 10YR 4/2, marrón grisáceo oscuro, textura limo-arenosa, estructura en bloques sub-angulares débiles. Asociado al estrato no se recuperaron materiales arqueológicos.

Digitalización, Biblioteca Especializada Alicia Dussán de Reichel ICANH

Estrato II: matriz de suelo superficial formado en condiciones ambientales actuales, contine abundante materia orgánica, actividad biológica y radicular. Espesor aproximado de 103cm, color 2.5YR 2.5/1 (negro rojizo), textura franca-arenosa, estructura en bloques sub-angulares finos fuertes, límite marcado, presencia de rocas de fractura laminar. Asociado al estrato se recuperaron 144 fragmentos cerámicos.

Estrato III: estrato superficial con un espesor aproximado de 7cm, abundante materia orgánica y actividad biológica y radicular, color 10YR 2/1, negro, textura franca, estructura en bloques sub-angulares finos débiles. En el estrato se recuperaron 3 fragmentos de cerámica prehispánica.

Figura 219

Perfil estratigráfico norte ZAP4 A718 UF 2-3

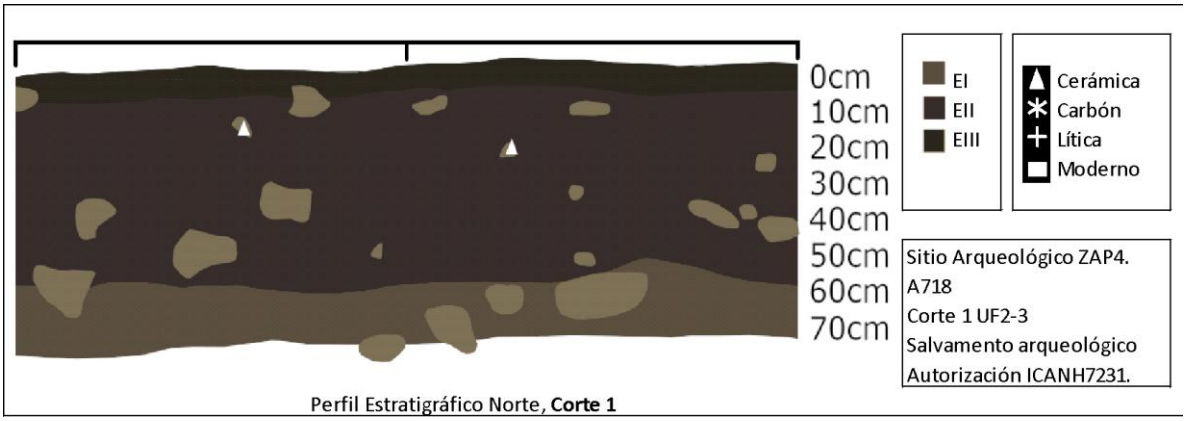
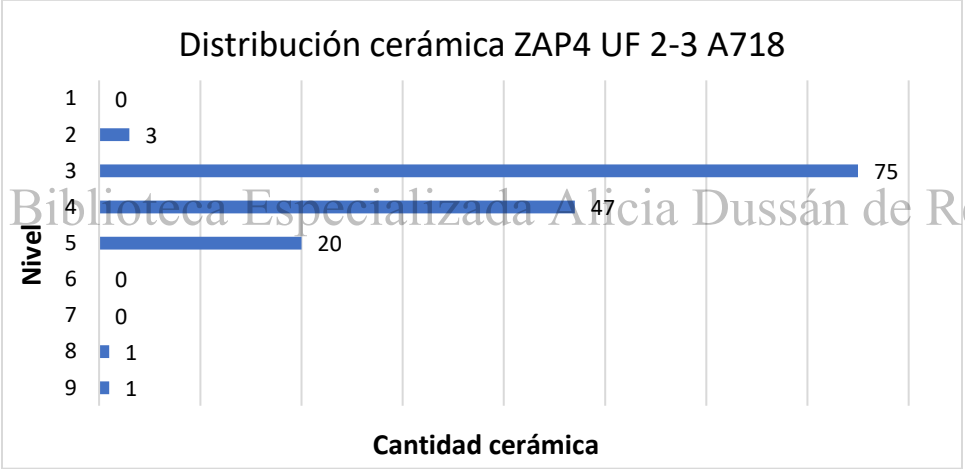


Figura 220

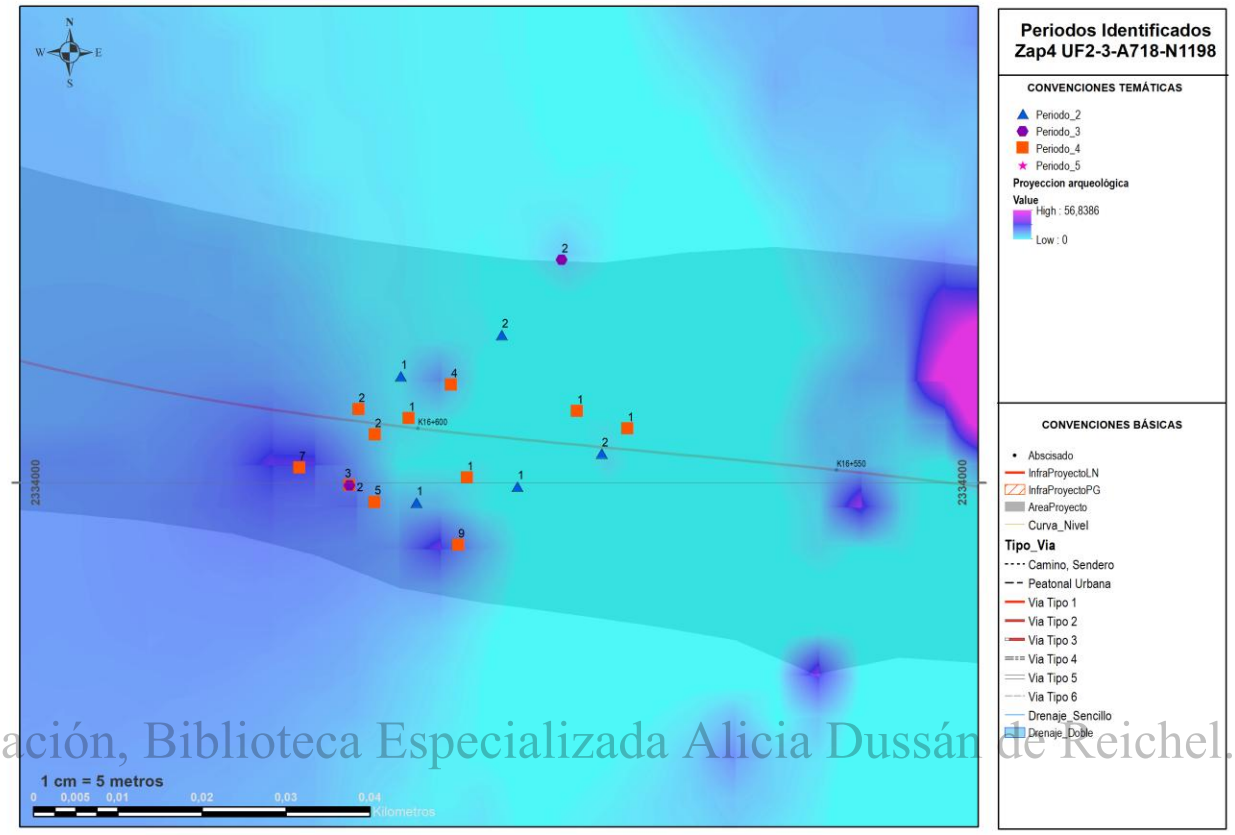
Distribución vertical de la cerámica, ZAP4 A718 UF2-3



Digitalización, Biblioteca Especializada Alicia Dussán de Reichel. ICANH

Según los resultados de la clasificación del material cerámico de la reprospección y corte esratigrafico, el área fue ocupada en el periodo 2, 3 y 4 (Piazzini, 2018). Siendo, para el corte el periodo 4 el de mayor frecuencia cerámica, con 100 fragmentos.

Figura 221
Mapa de hallazgos de tipos cerámicos por periodo cronológico en ZAP4-UF2-3 – A718



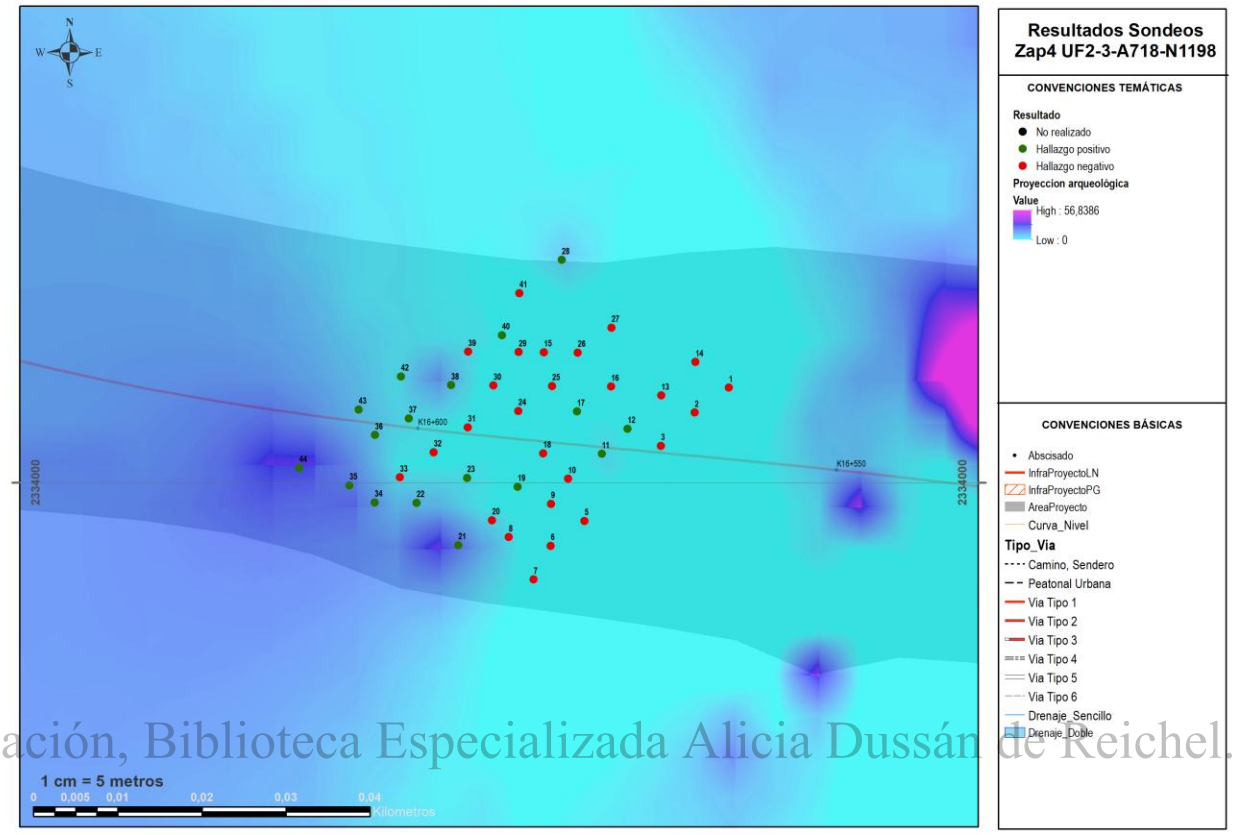
Digitalización, Biblioteca Especializada Alicia Dussán de Reichel. ICANH

4.2.11.5 ZAP4 N1198 UF2-3

Ubicado en la finca Peñas Blancas, en las coordenadas planas: 1087331,050 – Y: 1267147,458, el yacimiento arqueológico se ubica en una terraza nivel dos, en la margen derecha del rio Sucio, el área presenta vegetación de pasto bajo y es empleada para cultivar.

Una vez culminado el proceso de excavación de los sondeos de prueba en el yacimiento arqueológico N1198, y teniendo como referencia aquellos con mayores cantidades materiales arqueológicos se escogió el lugar para la excavación del corte estratigráfico.

Figura 222
Ubicación sondeos y resultados en ZAP4-UF2-3 – N1198



Digitalización, Biblioteca Especializada Alicia Dussán de Reichel. ICANH

Figura 223
Montaje corte 5, ZAP4 N1198 UF2-3



Figura 224
Planta final corte 5, ZAP4 N1198 UF2-3



El corte se realizó de 2x2m², con profundidad final de 50cm, la densidad de materiales arqueológicos fue relativamente baja, únicamente se hallaron en los niveles 4 y 5.

Descripción estratigráfica y material cultural

La columna estratigráfica del perfil Oriental del corte 5 en la ZAP4-UF2-3 N1198 mostró tres estratos de suelo que se describen a continuación.

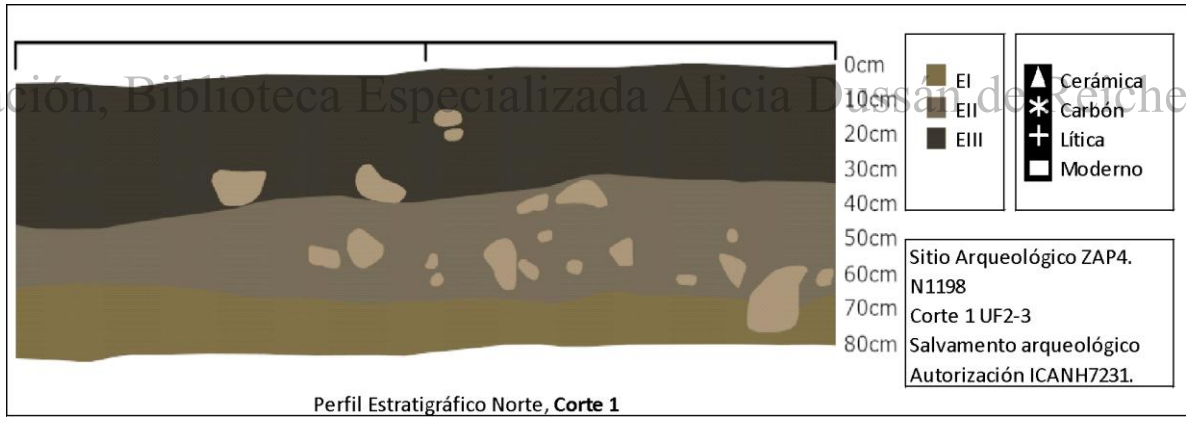
Estrato I: corresponde con la matriz inicial de suelo de formación del sitio, en la cual observamos abundante, rocas sub-redondeadas y sub-angulares de gran tamaño en planta, el espesor del estrato es 15cm, de color 10YR 5/4, marrón amarillento, textura limo-arcillosa, estructura en bloques sub-angulares fuertes, sin materiales arqueológicos.

Estrato II: matriz de suelo con abundante materia orgánica y actividad biológica y radicular, espesor de 14cm y color 10YR 5/2, marrón grisáceo, textura franca-arenosa, estructura en bloques sub-angulares finos fuertes, límite marcado, presencia de rocas de fractura laminar, sin materiales arqueológicos.

Estrato III: estrato superficial de 30cm de espesor con abundante materia orgánica, actividad biológica y radicular, de color 10YR 3/1, gris muy oscuro, textura franca y estructura en bloques sub-angulares finos débiles. Asociado al estrato se recuperaron 33 fragmentos cerámicos, correspondientes al total de los materiales arqueológicos recuperados en el corte de excavación.

Figura 225

Perfil estratigráfico norte ZAP 4 N1198 UF2-3

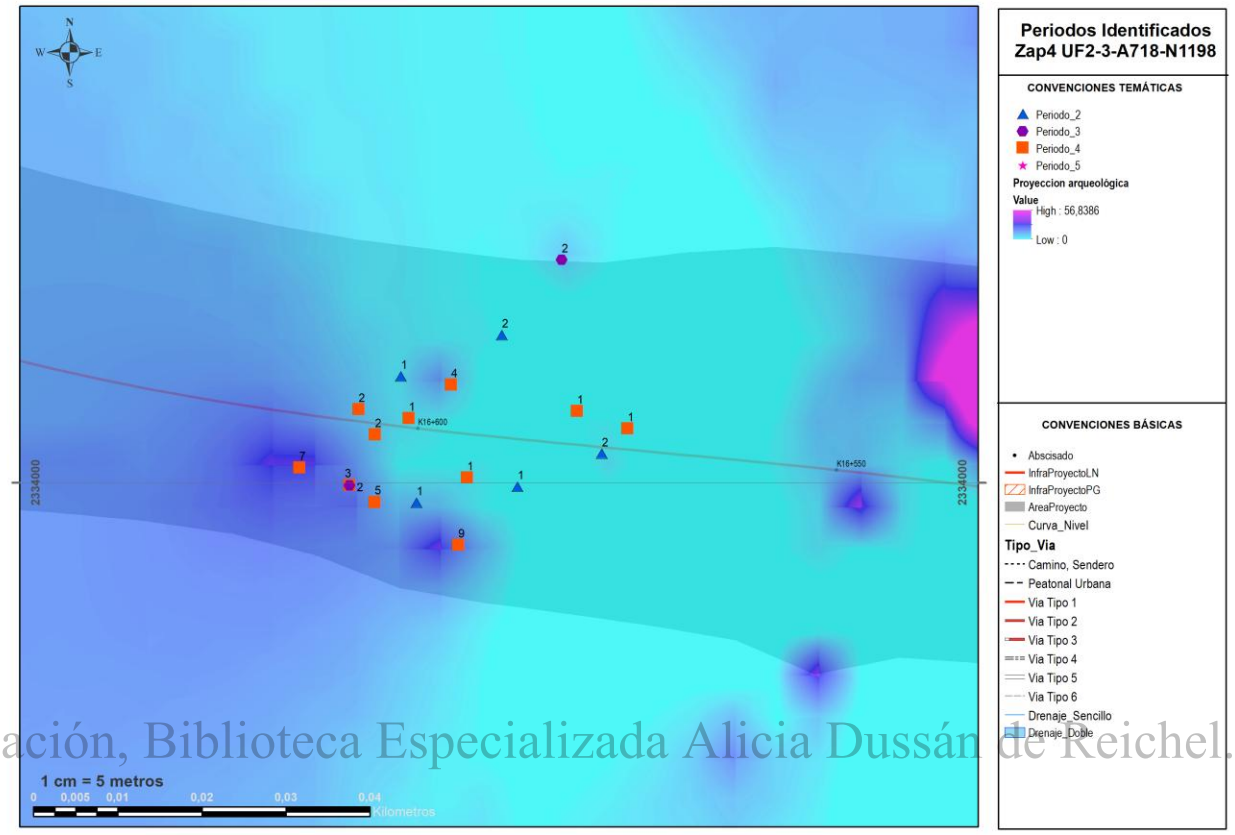


Digitalización, Biblioteca Especializada Alicia Dussán de Reichel. ICANH

Según los resultados de la clasificación del material cerámico de la reprospección, el área fue ocupada en el periodo 2, 3 y 4 (Piazzini, 2018). Según los resultados de la clasificación del material cerámico del corte, el área fue ocupada en los periodos 2 y 3 (Piazzini, 2018), siendo el periodo 2 el de mayor frecuencia cerámica, con 32 fragmentos.

Figura 226

Mapa de hallazgos de tipos cerámicos por periodo cronológico en ZAP4-UF2-3 – N1198

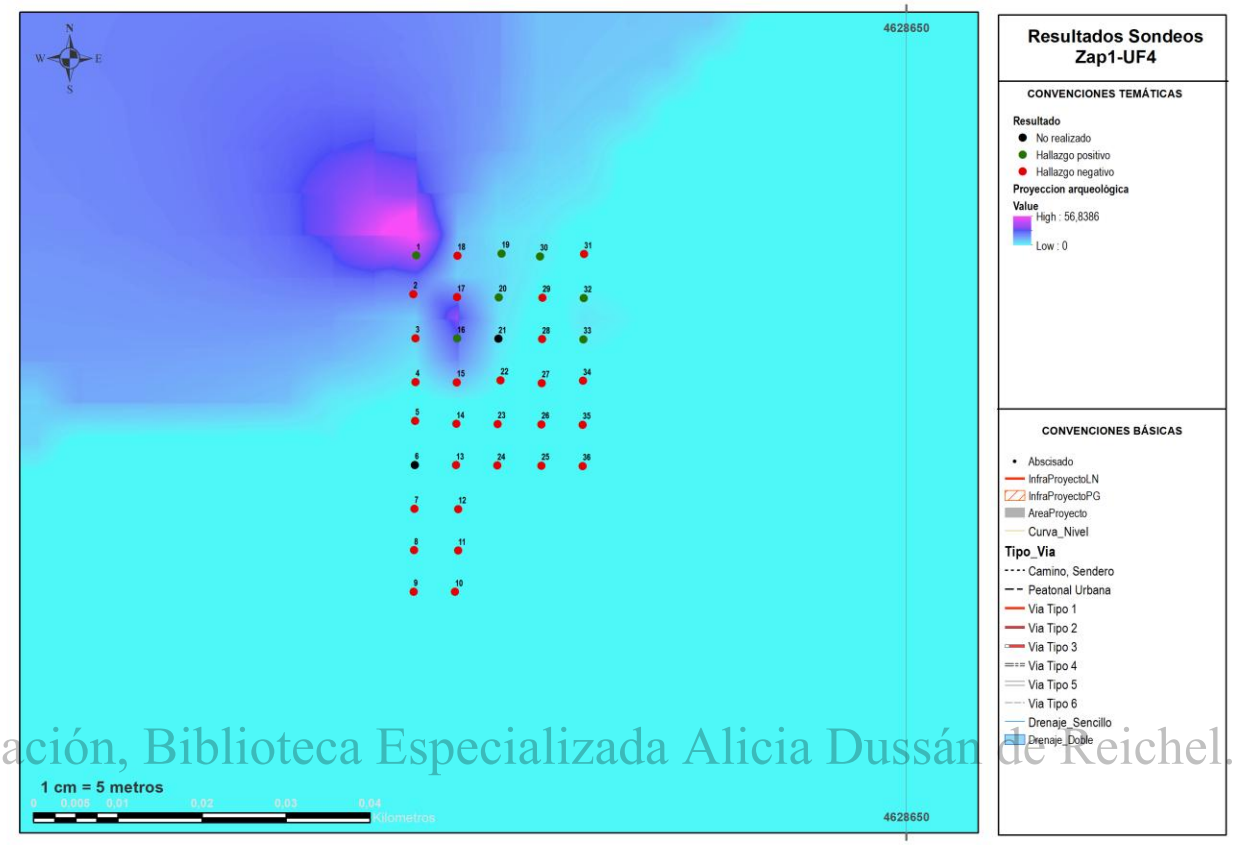


Digitalización, Biblioteca Especializada Alicia Dussán de Reichel. ICANH

4.2.12 ZAP1-UF4

La ZAP 1 de la UF4 está ubicada en la vereda La Laguna, municipio de Dabeiba, en las coordenadas planas X: 1079043,868 – Y: 1268860,513. Con respecto a la geomorfología, la zona hace parte de una ladera de pendiente suave de montaña, cubierta de pasto bajo, rastrojo bajo y árboles frutales de guayaba, presenta igualmente afloramiento rocoso en la superficie y con relación a la obra, esta será impactada en su parte baja por el nuevo trazado de la vía.

Figura 227
Ubicación sondeos y resultados en ZAP1-UF4



Digitalización, Biblioteca Especializada Alicia Dussán de Reichel. ICANH

Figura 228
ZAP1 UF4



Figura 229
Sondeo positivo, ZAP1 UF4



Se proyectaron 36 pozos distanciados cada 5 metros en malla para excavar en niveles 10cm. siete arrojaron materiales arqueológicos, 27 fueron negativos y dos no se realizaron debido a su ubicación sobre rocas grandes, concluida la fase re-prospección se realizó un corte estratigráfico de 2 m x 2 m para excavar por niveles de 5 cm hasta el saprolito.

Como resultado de la re-prospección los 7 sondeos de prueba positivos arrojaron evidencias de 45 fragmentos cerámicos, recuperados entre los niveles 1(0-10cm) y 5(40-50cm) de profundidad.

Este corte en los primeros niveles presenta alteración producto de actividades modernas, en los cuatro primeros niveles se encontró revuelto con cerámica prehispánica, plástico, vidrio, tela, clavos y restos de cabuya, la profundidad final del corte fue de 50cm, los materiales arqueológicos se presentan en 25cm con 16 fragmentos cerámicos.

Figura 230
Excavación corte 1, ZAP1 UF4



Figura 231
Planta final corte 1, ZAP1 UF4



Descripción estratigráfica y material cultural

Digitalización, Biblioteca Especializada Alicia Dussán de Reichel. ICANH

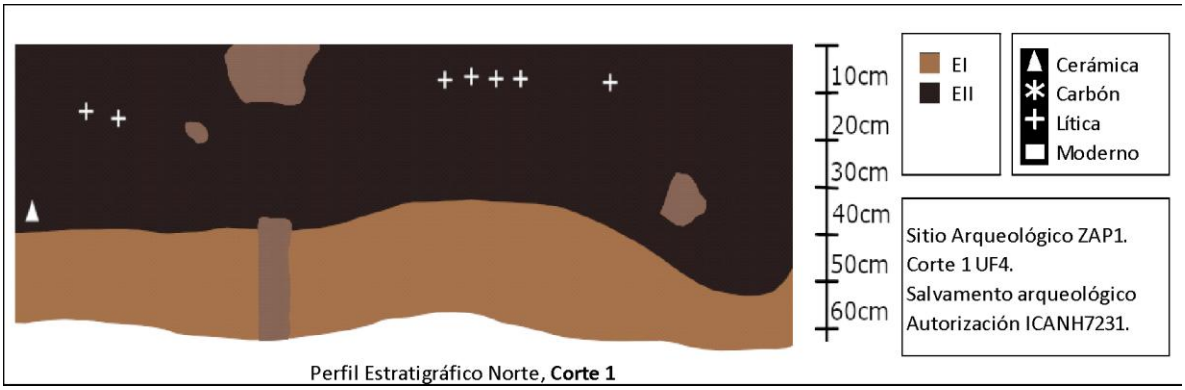
La columna estratigráfica del perfil Norte del corte 1 en la ZAP1-UF4, muestra dos estratos de suelo que se describen a continuación.

Estrato I: corresponde con la matriz inicial de suelo, con presencia de rocas en proceso de meteorización, además, contine escasas raíces finas y aisladas, estrato con un espesor del 18cm, de color 7.5YR 6/4, marrón claro, textura limo-arcillosa y estructura en bloques sub-redondeados débiles, sin materiales arqueológicos.

Estrato II: matriz de suelo superficial, contine abundante materia orgánica, actividad biológica y radicular, estrato con un espesor de 40cm, de color 7.5YR 3/1, gris muy oscuro, de textura franca con estructura en bloques sub-angulares finos fuertes, límite marcado con los demás estratos, se recuperaron 16 fragmentos cerámicos correspondientes al total de los materiales recuperados en la excavación, revueltos con abundante material moderno.

Figura 232

Perfil estratigráfico norte Corte 1 ZAP1 UF4

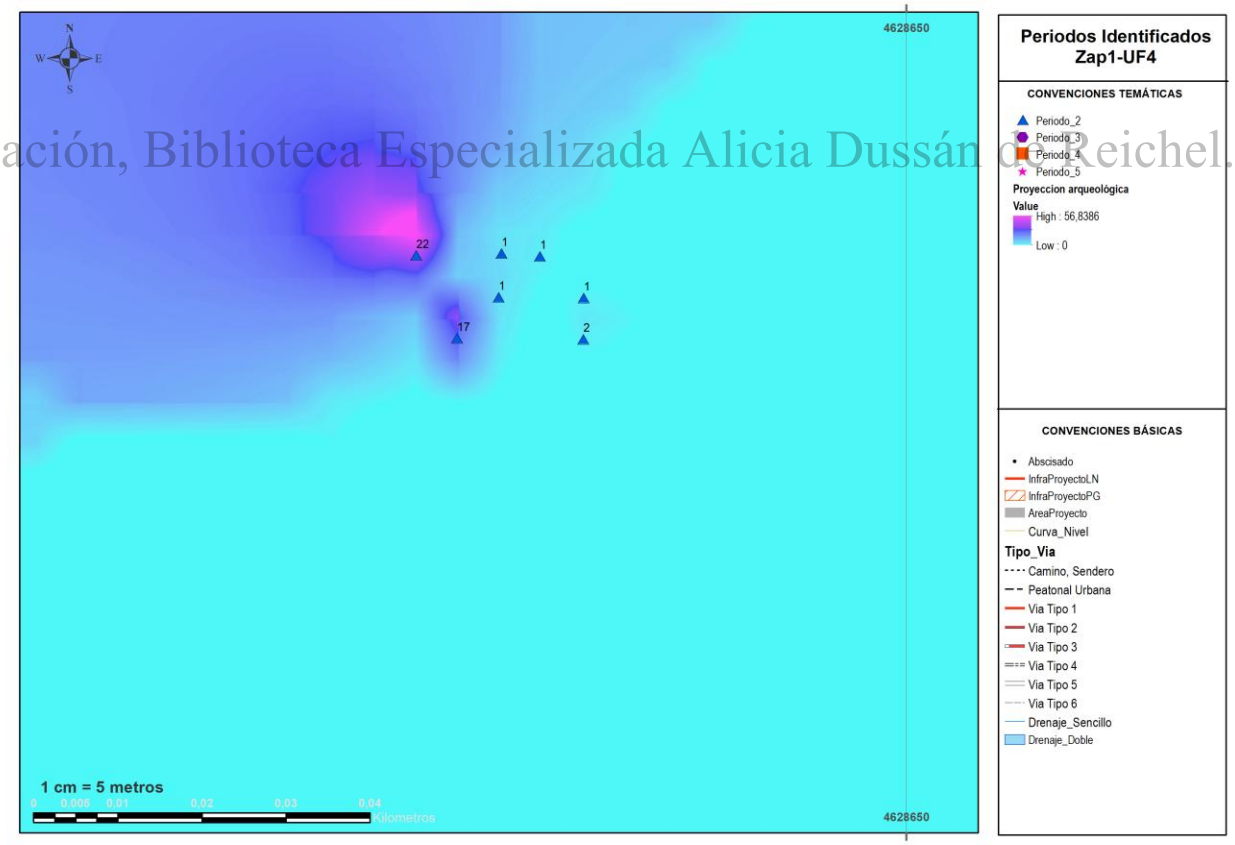


Perfil Estratigráfico Norte, **Corte 1**

Según los resultados de la clasificación del material cerámico de la reprospección y el 0corte, el área fue ocupada en el periodo 2 (Piazzini, 2018).

Figura 233

Mapa de hallazgos de tipos cerámicos por periodo cronológico en ZAP1-UF4



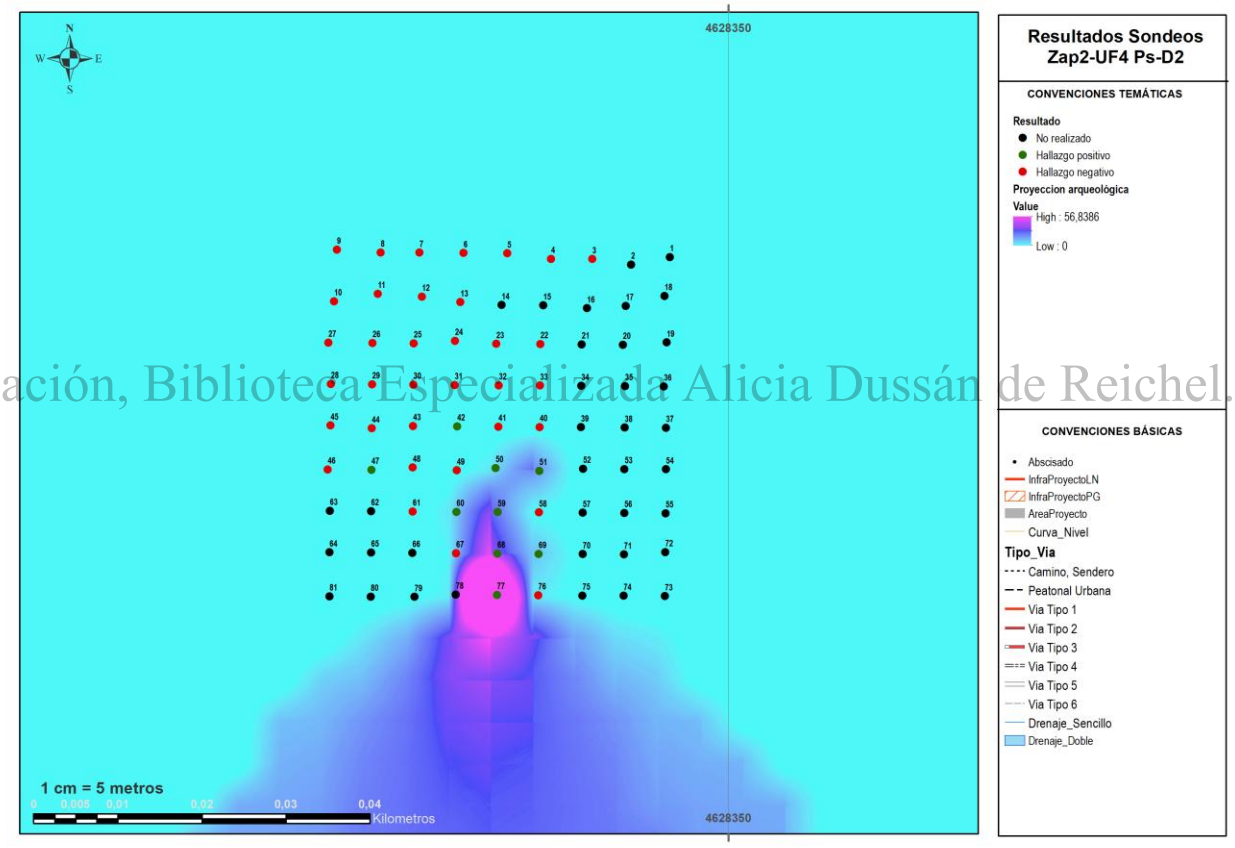
Digitalización, Biblioteca Especializada Alicia Dussán de Reichel. ICANH

4.2.13 ZAP2 D2 UF4

Esta Zona de Alto Potencial arqueológico está ubicada en la vereda La Laguna, municipio de Dabeiba, en las coordenadas planas X: 1078751,581 – Y: 1268656,343, la zona hace parte de una antigua laguna que, al momento del trabajo de campo permanecía con agua en superficie en gran parte del terreno, dada su condición medioambiental, la zona está cubierta de pasto bajo, rastrojo bajo y árboles frutales de guayaba, utilizada en el pastoreo de ganado, esta zona será utilizada como ZODME. El polígono de re-prospección incluía el sondeo de prospección positivo D2 según el Plan de Manejo Arqueológico.

Figura 234

Ubicación sondeos y resultados en ZAP2-UF4- Ps-D2



Digitalización, Biblioteca Especializada Alicia Dussán de Reichel. ICANH

Figura 235
Panorámica ZAP2 D2 UF4



Figura 236
Excavación sondeos, ZAP2 D2UF4



Se proyectaron 81 pozos distanciados cada 5 metros en forma de malla, de estos, en 10 se hallaron materiales arqueológicos, 34 fueron negativos y 37 no se realizaron debido a su ubicación sobre la zona inundada, con los datos de la fase de re-prospección se ubicó el lugar del corte estratigráfico de 2 m x 2 m en sentido norte-sur, se excavó por niveles de 10cm hasta el saprolito, la profundidad final de la excavación fue 70 cm, la mayor frecuencia de materiales arqueológicos se presentó entre 10cm y 30 cm de profundidad.

La excavación de los sondeos de prueba sobre la zona no inundable del polígono de re-prospección, arrojó como resultado 71 fragmentos cerámicos en 9 sondeos positivos, la distribución vertical de los materiales oscilo entre el nivel 1(0-10cm) y 6(50-60cm) de profundidad. Hay que resaltar que al ser la zona un antiguo humedal, el nivel freático en gran parte del polígono de re-prospección se observa en superficie, al igual que al momento de realizar las excavaciones, por tal motivo varios de los sondeos no se realizaron.

Digitalización, Biblioteca Especializada Alicia Dussán de Reichel ICANH

Figura 237
Sondeo ZAP2 D2-UF4 Nivel freático superficial



Figura 238
Excavación corte 1, ZAP2 D2 UF4



Descripción estratigráfica y material cultural

La columna estratigráfica del perfil Sur del corte 1 en la ZAP2 D2 UF4, evidencia dos estratos de suelo de las características estratigráficas que se describen a continuación.

Estrato I: corresponde con la matriz inicial de suelo con abundante pedregosidad, escasas raíces finas y cantos rodados sub-redondeados y sub-angulares, estrato con un espesor de 11cm, en su parte más angosta y 32cm en la parte más amplia, de color 7.5YR 6/4, marrón claro, textura areno-limosa, estructura en bloques sub-redondeados débiles, no se recuperaron fragmentos de cerámica.

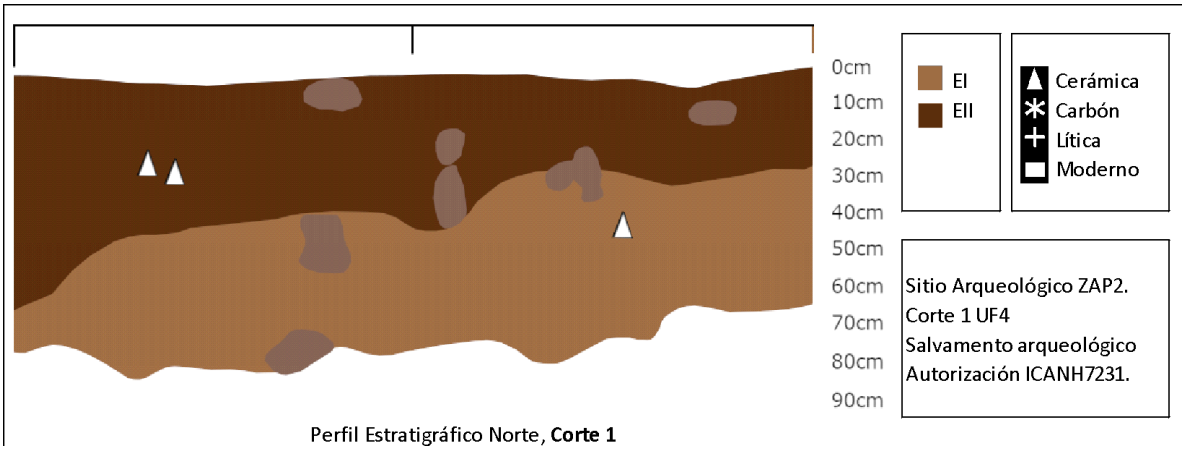
Digitalización, Biblioteca Especializada Alicia Dussán de Reichel. ICANH

Estrato II: matriz de suelo superficial con abundante materia orgánica, actividad biológica y radicular, con un espesor aproximado de 50 cm, en la parte más amplia y 20 cm en la parte más angosta, de color 7.5YR 4/4, marrón, textura franca, estructura en bloques sub-angulares finos débiles, limite difuso entre estratos, se recuperaron 240 fragmentos cerámicos. Igualmente, asociado a este perfil se recuperaron 8 fragmentos cerámicos.

La
Figura **240**, distribución vertical de la cerámica ZAP2 D2 UF4 Corte1, muestra la recuperación de los materiales a través de los niveles de excavación de 10cm durante el proceso de intervención del corte. Adicional a esto, en las paredes expuestas del corte, y trazados los estratos que hacen parte de la formación del sitio, en una de las paredes se recogieron 8 fragmentos cerámicos que no hacen parte de la distribución vertical, horizontal y estratigráfica de los materiales, pero si del corte.

Figura 239

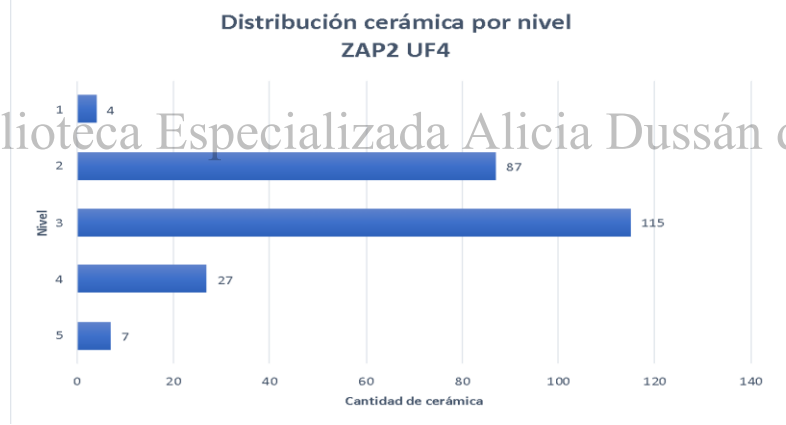
Perfil estratigráfico norte Corte 1 ZAP2 UF4



Perfil Estratigráfico Norte, **Corte 1**

Figura 240

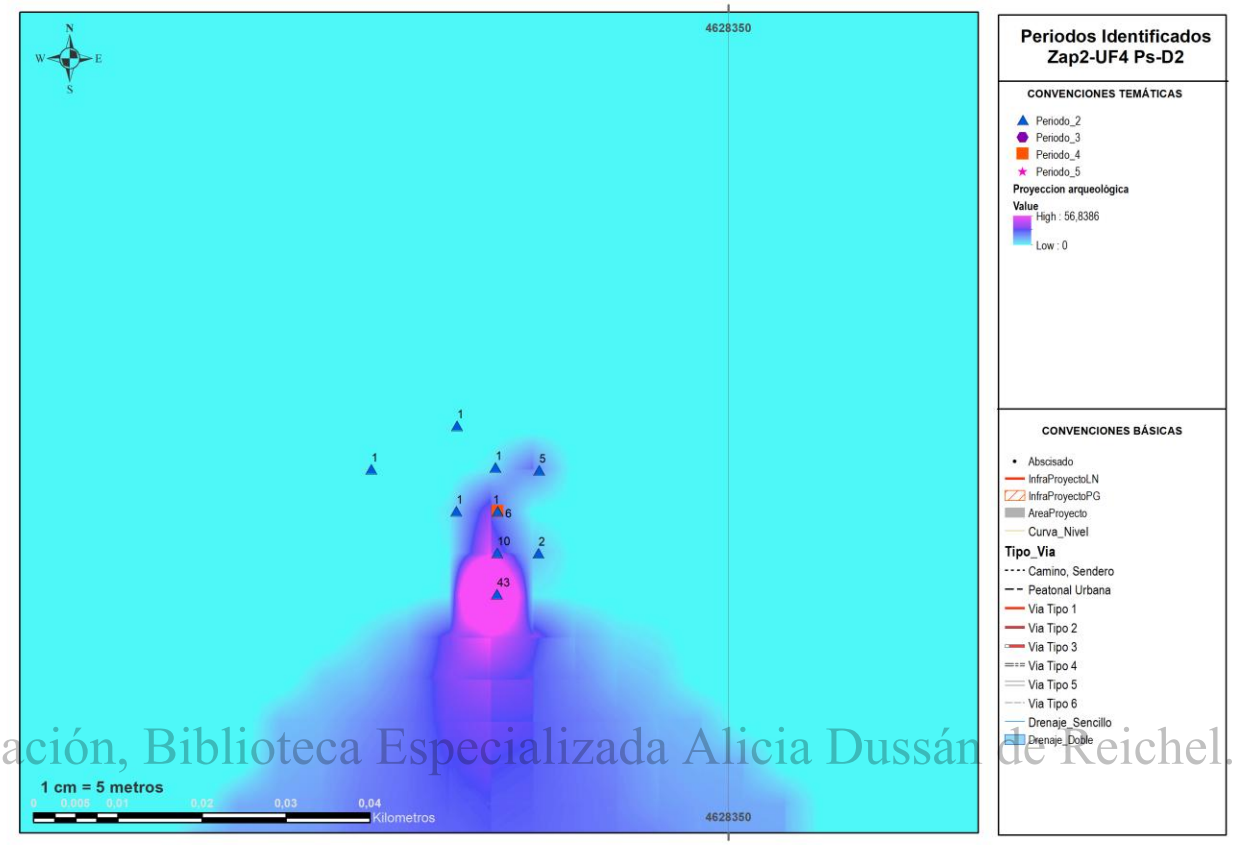
Distribución vertical de la cerámica, ZAP2 D2 UF4 Corte 1



Digitalización, Biblioteca Especializada Alicia Dussán de Reichel. ICANH

Según los resultados de la clasificación del material cerámico de la reprospección, el área fue ocupada en el periodo 2 y 4 (Piazzini, 2018). Según los resultados de la clasificación del material cerámico del corte(D2), el área fue ocupada en los periodos 2, 3 y 4 (Piazzini, 2018), siendo el periodo 3 el de mayor frecuencia cerámica, con 176 fragmentos.

Figura 241
Mapa de hallazgos de tipos cerámicos por periodo cronológico en ZAP2-UF4 – Ps-D2



Digitalización, Biblioteca Especializada Alicia Dussán de Reichel. ICANH

4.3 Actividades de verificación y monitoreo

Durante el monitoreo arqueológico se realizó la supervisión por parte de un arqueólogo de todas las obras de construcción y adecuación que implicaron la remoción de suelos como el descapote, el perfilado de talud, la excavación de pilotes, entre otras, realizadas en el área de monitoreo que correspondió a un búfer de 80 metros alrededor de la vía, en esta actividad se recuperaron 1851 fragmentos de cerámica y 51 líticos, en 44 sitios de hallazgos arqueológicos, establecidos en 22 tramos de monitoreo en las Unidades Funcionales 1 y 2-3.

También se realizaron charlas de capacitación sobre patrimonio arqueológico a todo el personal del proyecto, en total fueron 6.546 personas capacitadas y evaluadas, además realizaron 140 evaluaciones escritas de las capacitaciones.

En todos los casos, las superficies duras, mencionadas en esta medida de manejo, se realizaron en tramos cortos de la vía pavimentada existente, que fueron atravesados por el diseño de la vía nueva y fueron utilizadas como zonas de depósito de materiales estériles. Durante el monitoreo de estas áreas, se constató la existencia de los alistamientos necesarios en la construcción de la antigua vía, de no menos de un metro de profundidad.

4.3.1 Capacitaciones

Con el objetivo de capacitar al personal vinculado a la obra sobre las labores a realizar en el momento de un hallazgo arqueológico en el marco de la obra brindando un contexto legislativo de la arqueología colombiana. En estas capacitaciones se realiza una presentación dando a conocer la definición de la arqueología como disciplina y explicando las distintas fases de la arqueología preventiva durante el desarrollo de las obras de infraestructura.

Figura 242
Afiche utilizado como medio de divulgación del patrimonio arqueológico. Arqueología Preventiva.



Digitalización, Biblioteca Especializada Alicia Dussán de Reichel. ICANH

Para efectos ilustrativos se muestran varios de los hallazgos recuperados en este trabajo, así como varios de los objetos elaborados en arcilla y líticos que hacen parte del inventario de la UF1. Igualmente se continúa exponiendo una síntesis de la legislación nacional que enfatiza la Constitución Política de 1991, en sus artículos 63 y 72 y que avanza hacia la Ley General de Cultura 397 de 1997 y el decreto 833 de 2002 en el que se define la necesidad de trabajos de arqueología en proyectos de infraestructura, justificando la presencia del equipo de arqueología en el proyecto MAR 2.

El énfasis específico se da en los casos de hallazgos fortuitos el cual se presenta a raíz de la remoción de suelos por maquinaria o personal de la obra comprendiendo la necesidad de conservarlos y no intervenirlos hasta contar con la presencia del equipo de arqueología.

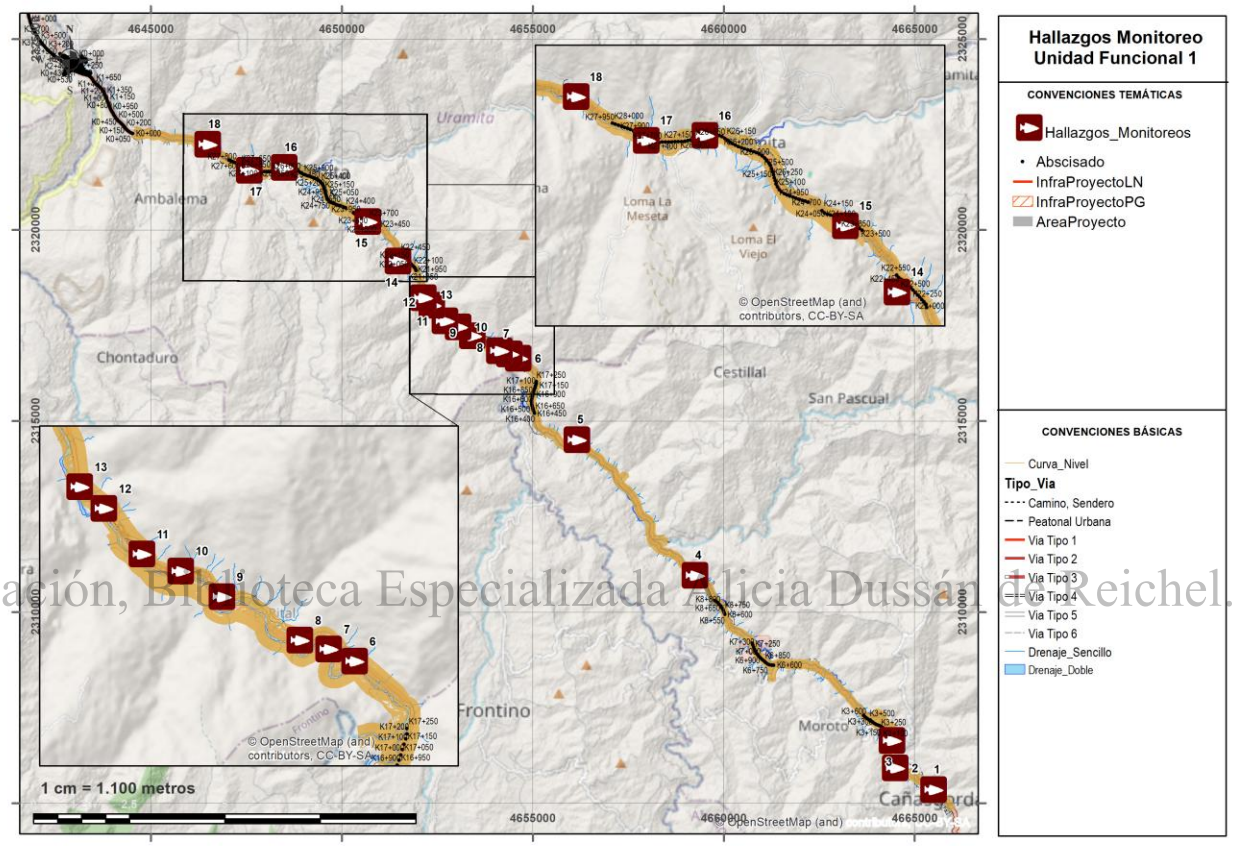
4.3.2 Hallazgos monitoreo arqueológico

El desarrollo del monitoreo presenta los hallazgos asociados a las actividades de remoción de maquinaria en el eje de vía y los metros adyacentes, exclusivamente de aquellos polígonos que no se encuentran asociados a ZODMES, pues estos hallazgos serán asociados a la licencia 8320 y tales elementos serán integrados a los yacimientos identificados en los polígonos ZODMES. Cabe resaltar que la actividad de monitoreo arqueológico se realizó por tramos como se indica en las fichas que describen el desarrollo de esta labor con Pk inicial y final, donde el material arqueológico hallado abarca este abscisado, en total fueron 22 tramos donde se halló presencia

de material cultural, que incluyen 44 sitios específicos dentro de los tramos, en las Unidades Funcionales 1 y 2-3. Ver

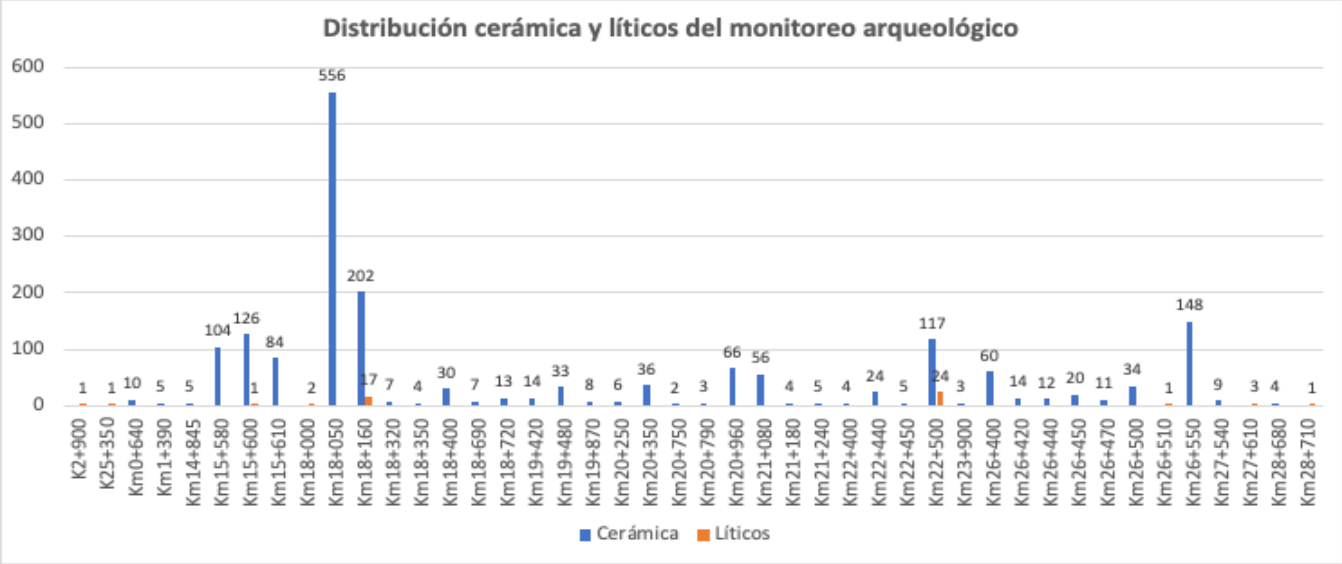
Figura 243 y **Figura 263.**

Figura 243
Mapa de hallazgos del monitoreo arqueológico en la Unidad Funcional 1



Digitalización, Biblioteca Especializada Alicia Dussán de Reichel. ICANH

Figura 244
Material cerámico y lítico del monitoreo arqueológico



Debido a la geomorfología inicial de la parte alta de la cuenca del rio Sucio o rio Cañasgordas, los hallazgos se han realizado en zonas alta pendiente en la jurisdicción de Cañasgordas a diferencia de las zonas más planas que se encuentran hacia el municipio de Uramita; en tal sentido el tipo de contextos al cual hacer referencia a partir del registro arqueológico ha sido complicado en la medida que se conciben estos hallazgos como resultado de la dispersión de los elementos arqueológicos debido a las pendientes, en tal sentido en muchos casos se podría asumir que estos llegaron como elementos rodados.

Digitalización Biblioteca Especializada Alicia Dussán de Reichel ICANH

A continuación, se describen los 22 tramos con presencia de material arqueológico y moderno.

Figura 245
Ficha 1 Hallazgo de Monitoreo Arqueológico

No. 1	Hallazgo Monitoreo Arqueológico
Pk Inicial	0+610
Pk Final	0+670
Margen	Derecha
Fecha	02/03/2020
Municipio	Cañasgordas
Coordenadas:	
X: 1116161,379	
Y: 1238750,614	
Msnm: 1291	
Geología: Pendientes fuertemente escarpadas	






Descripción:
10 fragmentos cerámicos hallados por Fabiana Rodríguez oriunda de Cañasgordas, concentrados en un aparente nicho o área de suelos blandos que aparece en el corte de talud; se encuentra asociado a un aterrazamiento en el que se encontraba una vivienda moderna, el área aplanada consistía en el patio de esta vivienda que fue posteriormente demolida, área en la que no se advirtieron posibles huellas que hicieran referencia al cúmulo de fragmentos cerámicos.
Las dimensiones del lugar en el que se entabla la vivienda se acercan a los 40mt cuadrados; de forma alargada (7x5m) presenta inmediatamente anexo una pendiente fuerte con un sembradío de plátano y a partir de referencias de vecinos antiguo cafetal.
Los fragmentos parecieran dar cuenta de formas no simétricas como los mocasines, aunque será en laboratorio registrado.

Digitalización: Biblioteca Especializada Alicia Dussán de Reichel. ICANH

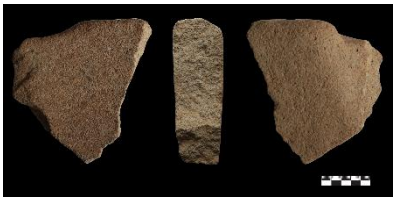
Figura 246
Ficha 2 Hallazgo de Monitoreo Arqueológico

No. 2	Hallazgo Monitoreo Arqueológico
Pk Inicial	1+800
Pk Final	1+820
Margen	Derecha
Fecha	25/08/2021
Municipio:	Cañasgordas
Coordenadas	
X: 1115155,525	
Y: 1239309,328	
Msnm: 1254	
Geología: Rellenos antrópicos, depósitos aluviales y coluviones.	

Descripción:
Navaja o puñaleta de metal hallada por el obrero Rafael Ordoñez, hallada en las inmediaciones del barrio Los Balsos, zona urbana de Cañasgordas; en los cimientos de dos viviendas demolidas, en las que se identifica la canalización de un curso de agua, donde hay objetos como botellas que se encuentran aglutinadas.
La navaja fue hallada por uno de los trabajadores, se estableció que es una navaja contemporánea, tipo puñaleta, por su narración el objeto claramente oxidado fue sometido a un objeto de fricción con lo cual se buscó sacar filo; bien pueda ser para confirmar que bajo la costra del tiempo se escondiese un objeto de metal valioso o porque se haya pensado en darle vida útil al objeto, se puede identificar que se limpió el mango del objeto que está conformado por elemento metal y plástico. Este objeto fue descartado.

Digitalización: Biblioteca Especializada Alicia Dussán de Reichel. ICANH

Figura 247
Ficha 3 de Hallazgos del Monitoreo Arqueológico

No. 3	Hallazgo Monitoreo Arqueológico UF1	
Pk Inicial	2+900	   
Pk Final	3+000	
Margen	Derecha	
Fecha	21/01/2022	
Municipio	Cañasgordas	
Coordenadas:		
X:1115070		
Y: 1240020		
Msnm: 1180		
Geología: Rellenos antrópicos, depósitos aluviales y coluviones		
Descripción: En el ejercicio de observación de superficies en los recorridos dispuestos para los puntos de ejecución de maquinaría se identificó un (1) elemento lítico de posible asociación morfológica, reconocida como placa, elemento pasivo con huellas de modificación por uso, el Km2+900. El área en el que se halla este elemento se caracteriza por estar en el área de influencia en la que se encuentran viviendas, y áreas planas creadas por rellenos antrópicos, se ubica hacia la margen derecha del río Cañasgordas en inmediaciones de la zona de influencia del hipogeo del barrio La Esperanza.		

Digitalización, Biblioteca Especializada Alicia Dussán de Reichel. ICANH

Figura 248

Ficha 4 Hallazgo de Monitoreo Arqueológico

No. 4	Hallazgo Monitoreo Arqueológico
Pk Inicial	9+850
Pk Final	9+870
Margen	Izquierda
Fecha	09/04/2021
Municipio:	Cañasgordas
Coordenadas:	
X: 1109885,319	
Y: 1244308,052	
Msnm: 963	
Geología: Laderas de pendiente medias a altas (15° a 45°)	






Digitalización. Biblioteca Especializada Alicia Dussán de Reichel. ICANH

Descripción:

Cuatro fragmentos cerámicos hallados por Henry Rodríguez, obrero oriundo de Buriticá, mientras se realizaba la zanja de coronación; estructura que se realiza para canalizar el agua en la cima de los cortes de talud, con lo cual reducir la erosión; estas zanjas se profundizan hasta 1,20m. El trabajador, guardó los cuatro fragmentos. Luego lo reportó al equipo de arqueología.

La zanja se ha realizado sobre un alta pendiente. A unos cincuenta metros, hacia predios que no serán intervenidos por el proyecto se identifican descansos y laderas suaves sembradío de cítricos. Se realiza una entrevista en la que se habla de los hallazgos en obras de infraestructura.

Los cuatros fragmentos muy pequeños, no dan cuenta de posibilidades morfológicas asociadas a objeto alguno, de pastas medianamente gruesas. Estos materiales por su tamaño pequeño (micro fragmentos) se descartaron dentro de la clasificación cerámica.

Figura 249
Ficha 5 Hallazgo de Monitoreo Arqueológico

No. 5	Hallazgo Monitoreo Arqueológico
Pk Inicial	14+800
Pk Final	14+845
Margen	Derecha
Fecha	01/09/2020
Municipio	Cañasgordas
Dimensiones	7x5m
Coordenadas:	
X: 1106765,126	
Y: 1247830,75	
Msnm: 877	
Geología: Pendientes moderadas a altas (30° -- 45° >45°)	



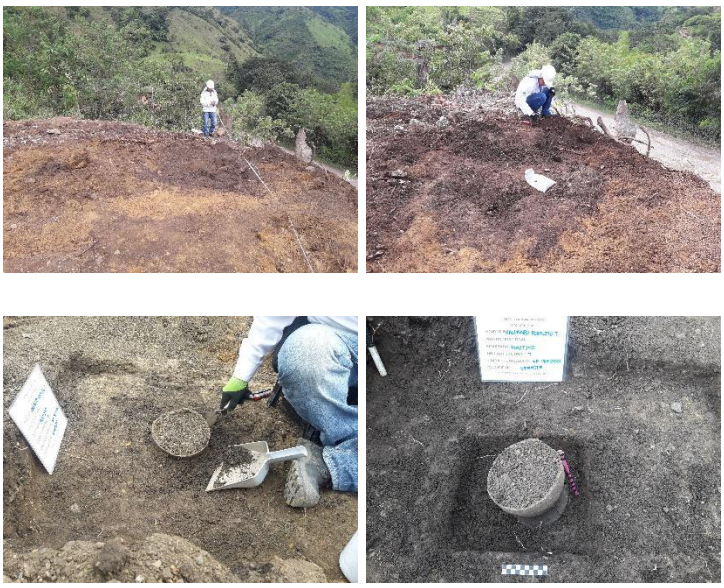



Descripción:
Zona de alta pendiente, formando un área encañonada asociada al Río Sucio; debido a las altas pendientes con anterioridad las exploraciones en prospección arqueológica habían establecido como zona de bajo potencial todo el corredor que presentara inclinaciones superiores a 45°; sin embargo asociado a la construcción de zanjas de coronación, una adecuación para la conducción de aguas lluvia que profundizan hasta 1-20mt, permitió la identificación de elementos materiales asociados a la vida campesina, pues se halló una máquina de moler metálica y de forma dispersa en los primeros 20cm de profundidad se hallaron 5 fragmentos cerámicos de bordes y cuerpos. El registro inmediato en los 50mt hacia la pendiente arriba no permitió identificar un área de relativa planicie o aterrazamiento, solo lo que parece un pequeño corral o galpón de gallinas que se encontraba derruido, pero no asociado a un lugar modificado.

Digitalización, Biblioteca Especializada Alicia Dussán de Reichel. ICANH

Figura 250
Ficha 6 Hallazgo de Monitoreo Arqueológico

No. 6	Hallazgo Monitoreo Arqueológico
Pk Inicial	18+000
Pk Final	18+160
Margen	Derecha
Fecha	30/10/2018
Municipio:	Uramita
Coordenadas:	
X: 1105205,778	
Y: 1249949,86	
Msnm: 820	
Geología: Ladera denudacional de depósitos asociados a meteorización y erosivos	



Descripción:
El sitio corresponde a un descanso de ladera cortada por la vía existente en su momento, en la margen derecha. En el sitio se hallaba ubicada una vivienda y en la zona del patio o antejardín, durante el proceso de remoción de suelo se registró hallazgo de material cerámico (758) fragmentos incluyendo una vasija la cual le falta la parte media hacia abajo, además de 19 elementos líticos. Los materiales fueron hallados de forma dispersa, aunque la vasija se encontró dentro de un rasgo a unos 30cm de profundidad. Forma de la vasija subglobular. Este hallazgo fue reportado al ICANH mediante adenda No 1 de septiembre 17 de 2018, que además solicita la implementación de manejo arqueológico para este hallazgo. La intervención implicó la excavación del rasgo donde se halló la vasija, asociada al tipo cerámico cuarzo abundante perteneciente al periodo 3 (1 AC a 800 DC).

Digitalización. Biblioteca Especializada Alicia Dussán de Reichel. ICANH



Digitalización, Biblioteca Especializada Alicia Dussán de Reichel. ICANH



Fragmentos de bordes hallados hacia el Km18+050 en monitoreo arqueológico

Digitalización, Biblioteca Especializada Alicia Dussán de Reichel. ICANH

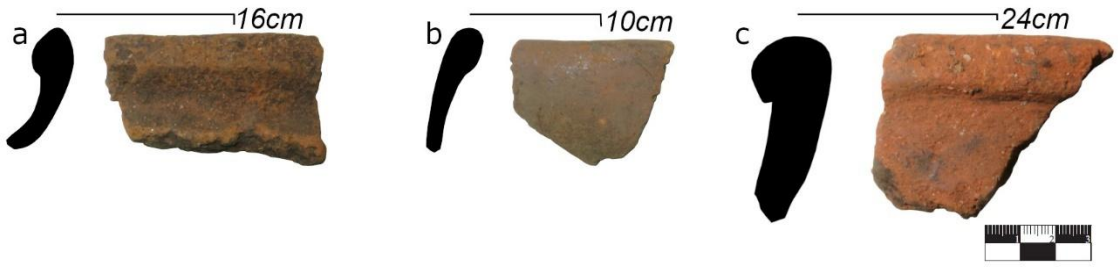
Figura 251
Ficha 7 Hallazgo de Monitoreo Arqueológico

No. 7	Hallazgo Monitoreo Arqueológico
Pk Inicial	18+310
Pk Final	18+420
Margen	Izquierda
Fecha	29/04/2021
Municipio:	Uramita
Coordenadas:	
X: 1104970,563	
Y: 1250056,775	
Msnm: 802	
Geología: Terrazas aluviales sinuosas del rio Sucio en su margen derecha, las cuales contienen bloques, cantos, gravas y arenas sobre una matriz limo-arcillosa	



Digitalización. Biblioteca Especializada Alicia Dussán de Reichel. ICANH

Descripción:
Ubicado en la vereda Botija, entre los puentes 9 y 10, margen izquierda del río Sucio. El trabajo realizado consiste en labores de descapote y excavación en una zona cubierta por rastrojo y pasto bajo utilizado en el pastoreo de ganado. La geomorfología de la zona corresponde con una terraza coluvio-aluvial, con afloramiento rocoso en superficie. Las excavaciones dejan expuestos suelos con una delgada capa orgánica, presencia de actividad biológica y radicular, seguido de un suelo amarilloso oscuro con presencia de cantos rodados. En estas excavaciones se reportan hallazgos arqueológicos, consistentes en fragmentos cerámicos más un rodillo o pintadera, el cual es un objeto cilíndrico con motivos geométricos, utilizados en decoración corporal e impresión textil. En total fueron recuperados 40 fragmentos cerámicos más la pintadera.



Fragmentos cerámicos hallados hacia el Km18+400

Figura 252
Ficha 8 Hallazgo de Monitoreo Arqueológico

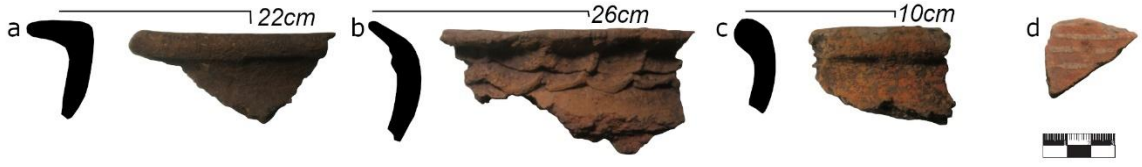
No. 8	Hallazgo Monitoreo Arqueológico
Pk Inicial	18+550
Pk Final	18+720
Margen	Izquierda
Fecha	08/04/2021
Municipio:	Uramita
Coordenadas:	
X: 1104712,152	
Y: 1250135,495	
Msnm: 803	
Geología: Terrazas aluviales sinuosas del rio Sucio en su margen derecha, las cuales contienen bloques, cantos, gravas y arenas sobre una matriz limo-arcillosa	



Descripción:

Digitalización. Biblioteca Especializada Alicia Dussán de Reichel. ICANH

Esta intervención es sobre margen izquierda de la vía, vereda El Pital, municipio de Uramita, entre puente 10 y 11. Estos trabajos se iniciaron el transcurso de la semana, y corresponden con el área de la denominada ZAP3. La geomorfología de la zona corresponde con una terraza aluvial del río Sucio en su margen derecha, cubierta por rastrojo medio, pasto bajo y arboles medianos y grandes, utilizado en el pastoreo de ganado. La excavación deja expuestos suelos con una capa orgánica de 20cm de espesor en algunos sectores, seguido de un suelo amarilloso oscuro con presencia de cantos rodados. Durante estas labores de descapote, se han hallaron 21 fragmentos cerámicos y un elemento lítico.



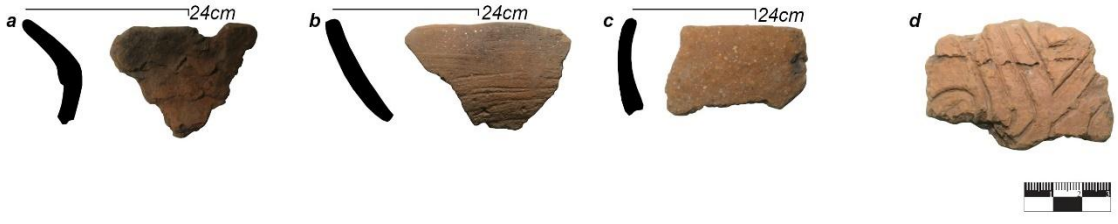
Fragmentos cerámicos hallados hacia el Km18+720

Figura 253
Ficha 9 Hallazgo de Monitoreo Arqueológico

No. 9	Hallazgo Monitoreo Arqueológico
Pk Inicial	19+420
Pk Final	19+870
Margen	Derecha
Fecha	02/09/2019
Municipio:	Uramita
Coordenadas:	
X: 1104003,401	
Y: 1250522,967	
Msnm: 797	
Geología: Terrazas aluviales sinuosas del rio Sucio de primer y segundo orden, las cuales contienen bloques, cantos, gravas y arenas sobre una matriz limo-arcillosa. Hacia la margen derecha se observan laderas de pendientes moderadas a fuertes.	

Digitalización, Biblioteca Especializada Alicia Dussán de Reichel. ICANH

Descripción:
El trabajo realizado consiste en descapote y excavación, vía a cielo abierto, en una zona con una pendiente suave en la parte alta y cubierta de pasto bajo, utilizado en el pastoreo de ganado. Dentro de esta intervención, se hallaron varios fragmentos de cerámica no diagnosticas (8) dispersos en el corte que realiza la retroexcavadora y un elemento lítico. La estratigrafía del terreno, muestra una capa orgánica de aproximadamente 20cm de espesor, con abundante actividad biológica y radicular, seguido se observa un suelo amarillo con presencia de raicillas aisladas y rocas en proceso de meteorización, características que se profundizan hasta el final de la excavación.



Fragmentos cerámicos hallados en el KM 19+420

Figura 254

Ficha 10 Hallazgo de Monitoreo Arqueológico

<table>
<tr><td>No. 10</td><td colspan="2">Hallazgo Monitoreo Arqueológico</td></tr>
<tr><td>Pk Inicial</td><td>20+250</td><td rowspan="11"> 
</td></tr>
<tr><td>Pk Final</td><td>20+400</td></tr>
<tr><td>Margen</td><td>Izquierda</td></tr>
<tr><td>Fecha</td><td>05/02/2022</td></tr>
<tr><td colspan="2">Municipio: Uramita</td></tr>
<tr><td colspan="2">Coordenadas:</td></tr>
<tr><td colspan="2">X: 1103279,482</td></tr>
<tr><td colspan="2">Y: 1250904,44</td></tr>
<tr><td colspan="2">Msnm: 763</td></tr>
<tr><td colspan="2">Geología: Terrazas aluviales sinuosas del rio Sucio de primer y segundo orden, las cuales contienen bloques, cantos, gravas y arenas sobre una matriz limo-arcillosa. Hacia la margen derecha se observan laderas de pendientes moderadas a fuertes.</td></tr>
<tr><td colspan="3">Descripción:
Esta intervención es sobre la margen izquierda de la actual vía, verada Orobajo, finca La Coquera, Uramita. La zona corresponde con una terraza coluvio-aluvial del rio Sucio ubicada en su margen derecha, cubierta por pasto bajo utilizado en el pastoreo de ganado. Los trabajos realizados para este tramo implicaron descapote, retiro de capa orgánica y excavación aproximada de 1 metros de profundidad. Sobre el retiro del estrato orgánico, este tenía un espesor aproximado entre 20 y 40cm, color pardo oscuro, abundante actividad biológica y radicular. Durante este trabajo se reportó el hallazgo de materiales arqueológicos concernientes en fragmentos cerámicos diagnósticos y no diagnósticos (30).</td></tr>
</table>

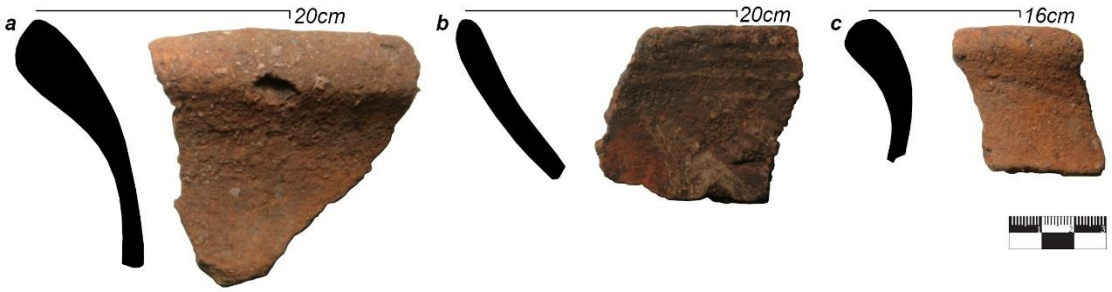
Digitalización, Biblioteca Especializada Alicia Dussán de Reichel. ICANH

Figura 255
Ficha 11 Hallazgo de Monitoreo Arqueológico

No. 11	Hallazgo Monitoreo Arqueológico
Pk Inicial	20+750
Pk Final	20+980
Margen	Izquierda
Fecha	11/01/2021
Municipio:	Uramita
Coordenadas:	
X: 1102933,447	
Y: 1251313,253	
Msnm: 758	
Geología: El suelo en esta área corresponde a un suelo residual de pocos metros de espesor, el cual hace parte de las rocas del miembro Urrao, comprende arcillolitas y lutitas y limolitas rojizas a marrones	

Digitalización, Biblioteca Especializada Alicia Dussán de Reichel. ICANH

Descripción:
Esta intervención es sobre la margen izquierda de la vía, vereda Oro Bajo, municipio de Uramita. La labor desarrollada consistió en descapote y excavación, en una zona con vegetación de pasto bajo y arboles medianos (cerca viva), con una pendiente suave. El área de excavación hace parte una terraza coluvio-aluvial, proyecta en un principio como zona de Zodme la cual fue prospectada y posteriormente se realizaron dos cortes estratigráficos bajo licencia de intervención arqueológica 8320. La intervención realizada permitió el hallazgo de materiales cerámicos esparcidos en la zona de corte, observándose un suelo pardo oscuro orgánico de aproximadamente 30cm de espesor, seguido de un suelo color pardo amarilloso oscuro con presencia rocas. En total fueron recuperados 71 fragmentos cerámicos diagnóstico y no diagnósticos.



Fragmentos hallados en el Km20+960.

Figura 256
Ficha 12 Hallazgo de Monitoreo Arqueológico

No. 12	Hallazgo Monitoreo Arqueológico	
Pk Inicial	21+080	   
Pk Final	21+240	
Margen	Izquierda	
Fecha	12/09/2020	
Municipio:	Uramita	
Coordenadas:		
X: 1102713,416		
Y: 1251507,986		
Msnm: 750		
Geología: Discurre sobre terraza aluvial de la margen derecha, aguas abajo del rio Sucio; ésta es una terraza baja de primer nivel, compuesta por bloques, cantos, gravas y arenas embebidas en matriz limo arcillosa. Es una terraza amplia que en la actualidad se usa para cultivo de frutales y pastoreo.		
Descripción: Esta intervención se realizó sobre la margen izquierda de la actual vía. En este descapote y excavación se han hallado fragmentos cerámicos, correspondiéndose con la intervención de salvamento llevada a cabo en esta zona, el área de monitoreo corresponde con la Zap5-UF1 reportada durante la prospección de corredor de la vía por la empresa INERCO. Y re-prospectada con sondeos de prueba cada 5m, además de realizarse tres cortes estratigráficos. En total fueron hallados 65 fragmentos cerámicos.		

Digitalización, Biblioteca Especializada Alicia Dussán de Reichel. ICANH

Figura 257

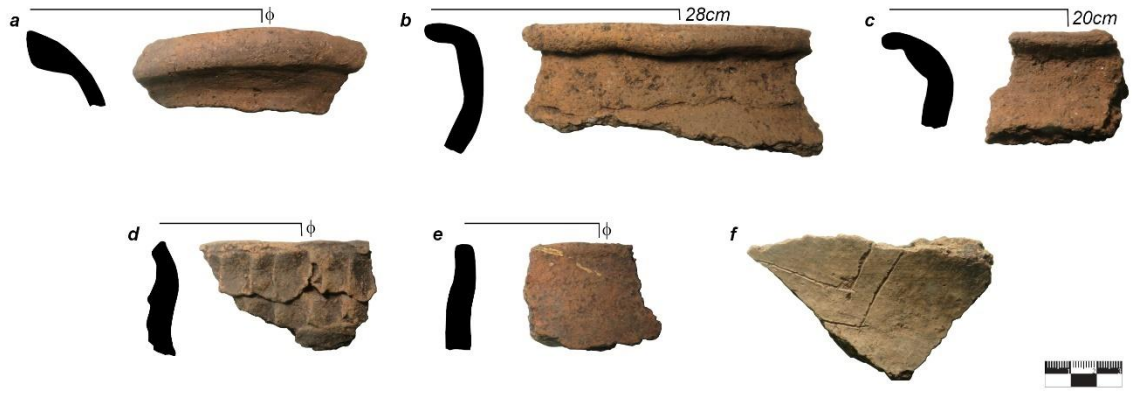
Ficha 13 Hallazgo de Monitoreo Arqueológico

No. 13	Hallazgo Monitoreo Arqueológico
Pk Inicial	22+360
Pk Final	22+550
Margen	Izquierda
Fecha	23/02/2020
Municipio:	Uramita
Coordenadas:	
X: 1102045,154	
Y: 1252460,623	
Msnm: 753	
Geología: A lo largo de este tramo se evidencian algunos procesos erosivos como erosión laminar de suelo y caídas de rocas, debido al corte del talud de la vía actual y a la poca cobertura; estos se activan en los periodos de lluvias, en la margen izquierda del rio Sucio.	   

Descripción:

Este tramo discurre sobre una zona de pendientes suaves cubierta de pasto bajo, arbustos espinosos y arboles medianos y grandes. El acompañamiento durante esta labor permitió los hallazgos de varios elementos arqueológicos; principalmente fragmentos cerámicos diagnósticos y no diagnósticos, al igual que elementos líticos, entre estos elementos líticos se halló en las coordenadas planas E: 1102047 – N:1252471, un crisol de cuarcita, referenciado en la literatura arqueológica como herramienta empleada en la fundición del oro, . Los materiales recuperados durante este monitoreo fueron 183 fragmentos cerámicos diagnósticos y no diagnósticos y 25 elementos líticos. Esta zona al igual que el reportado como hallazgo 10, en principio fue proyectada como área de Zodme, sin embargo, cambios en el diseño del trazado de la nueva vía la descartaron para tal fin, aun así, fue utilizada como un tramo nuevo de vía entre los puentes 13 y 14. Al ser proyectada en principio como Zodme la zona fue prospectada y se realizó un corte estratigráfico bajo licencia de intervención arqueológica 8320.

Digitalización, Biblioteca Especializada Alicia Dussán de Reichel. ICANH



Fragmentos hallados en el Km22+440



Crisol. vista transversal, anverso, reverso y corte en sección, monitoreo

Digitalización, Biblioteca Especializada "Alicia Dussán de Reichel. ICANH

Figura 258

Ficha 14 Hallazgo de Monitoreo Arqueológico

No. 14	Hallazgo Monitoreo Arqueológico
Pk Inicial	23+860
Pk Final	23+960
Margen	Izquierda
Fecha	13/04/2021
Municipio:	Uramita
Coordenadas:	
X: 1101236,77	
Y: 1253487,371	
Msnm: 714	
Geología: Esta zona del trazado proyectado, que presenta chert negros, plegados, de capas muy delgadas a medias, pertenecientes al miembro Nutibara (K2cn). Lo que permite que se presenten caídas de rocas en forma de bloques en este sitio.	   

Descripción:

Ubicado en la vereda Oro Bajo, margen izquierda de la vía, municipio de Uramita, finca Anamú. Estos trabajos iniciaron esta semana, con el descapote y excavación en una zona cubierta por rastrojo y pasto bajo utilizado en el pastoreo de ganado. La geomorfología hace parte de una ladera de montaña con pendiente media. Las excavaciones dejan expuestos suelos con una delgada capa orgánica, presencia de actividad biológica y radicular, seguido de un suelo amarilloso oscuro con presencia de cantos rodados. Se reportan hallazgos arqueológicos, tres fragmentos cerámicos.

Digitalización, Biblioteca Especializada Alicia Dussán de Reichel. ICANH

Figura 259

Ficha 15 Hallazgo de Monitoreo Arqueológico

No. 15	Hallazgo Monitoreo Arqueológico
Pk Inicial	25+350
Pk Final	25+400
Margen	Izquierda
Fecha	22/11/2019
Municipio:	Uramita
Coordenadas:	
X: 1100086,68	
Y: 1254439,37	
Msnm: 665	
Geología: El sector, discurre por terraza aluvial baja de primer orden que se encuentra sobre la margen izquierda aguas abajo del rio Sucio; es una terraza amplia, donde se han depositado algunos conos de flujos de detritos provenientes de la ladera, los cuales arrastran materiales de diferentes tamaños embebidos en matriz limo arcillosa; actualmente está terraza es usada para el pastoreo de ganado.	

Descripción:
Ubicado en la vereda Cabuyal, margen izquierda del río Sucio, municipio de Urumita, finca Cabuyal. El lugar corresponde a una terraza coluvio-aluvial cubierta de pasto y arboles dispersos utilizada en el pastoreo de ganado. En la estratigrafía observamos, un suelo orgánico de aproximadamente 20cm de espesor, con presencia de abundantes raicillas; seguido se tiene un suelo pardo amarillosos con abundante pedregosidad, cantos rodados redondeados y sub-redondeados, característicos de este tipo de unidad geomorfológica. En la remoción de la capa orgánica, se hallaron presencia de materiales arqueológicos concernientes en un elemento lítico.

Digitalización y Biblioteca Especializada Alicia Dussán de Reichel. ICANH

Figura 260

Ficha 16 Hallazgo de Monitoreo Arqueológico

No. 16	Hallazgo Monitoreo Arqueológico
Pk Inicial	26+400
Pk Final	26+550
Margen	Derecha
Fecha	25/11/2020
Municipio:	Uramita
Coordenadas:	
X: 1099042,323	
Y: 1254878,702	
Msnm: 676	
Geología: La zona corresponde sobre una terraza aluvial baja y hacia la parte superior depósitos coluviales sobre la margen derecha de la vía actual.	   

Descripción:

El monitoreo corresponde al trabajo de descapote, excavación y perfilado de talud que se viene ejecutando entre los puentes 18 y 17, finca El Castillo. Durante estas labores, que incluyen el área de retorno al municipio de Uramita K26+470, se hallaron vestigios cerámicos prehispánicos diagnósticos y no diagnósticos, entre ellos tenemos; objeto cerámico fragmentado tipo plato con decoración interna de pintura negra sobre roja y objeto cerámico fragmentado tipo vasija fitomorfa, decoración modelada en parte externa e impresión de puntos en parte superior del borde. El total del material cerámico hallado durante la fase de monitoreo en este tramo fue de 299 fragmentos y un elemento lítico en andesita correspondiente a un macerador, cabe aclarar que, la zona pertenecía a la denominada Zap6 y punto de prospección intensiva sp-830. Ambas re-prospectadas y con corte estratigráfico bajo esta licencia 7231, mencionado en párrafo anterior y descritas en este informe.

Digitalización, Biblioteca Especializada Aneia Dussan de Reichel. ICANH

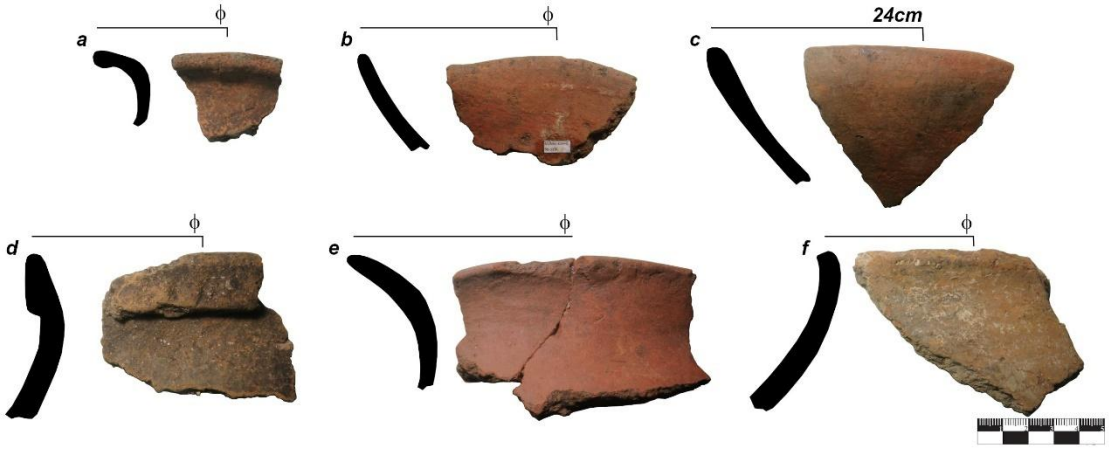


Digitalización, Biblioteca Especializada Alicia Dussán de Reichel. ICANH



Digitalización, Biblioteca Especializada Alicia Dussán de Reichel. ICANH

Fragmentos cerámicos hallados en Km26+400 al Km26+440



Fragmentos hallados en Km26+500

Digitalización, Biblioteca Especializada Alicia Dussán de Reichel. ICANH

Figura 261
Ficha 17 Hallazgo de Monitoreo Arqueológico

No. 17	Hallazgo Monitoreo Arqueológico	
Pk Inicial	27+200	   
Pk Final	27+610	
Margen	Izquierda	
Fecha	31/10/2018	
Municipio:	Uramita	
Coordenadas:		
X: 1098130,953		
Y: 1254798,046		
Msnm: 652		
Geología: La zona corresponde a un depósito de terraza aluvial que en su momento era utilizado como terreno de siembra. Compuesto por clastos redondeados a sub-redondeados de rocas volcánicas y sedimentarias, bien consolidado, sin presencia de procesos erosivos		
Descripción: Durante las labores de monitoreo arqueológico se halló una vasija en el corte de talud PK 27+540, en la margen izquierda del nuevo trazado de la vía, esta se encontraba a una profundidad aproximada de 40cm en un suelo orgánico. La zona corresponde con la Zap7 y el punto de re-prospección interna sp-882. En superficie se observan afloramientos rocosos en dos niveles de terrazas sobre la margen izquierda del rio Sucio. Al momento de los trabajos arqueológicos la zona presentaba cultivo de papaya. El total de material recuperado durante la fase de monitoreo fue de 15 fragmentos cerámicos más una vasija completa y tres elementos líticos.		

Digitalización, Biblioteca Especializada Alicia Dussán de Reichel. ICANH



Vasija subglobular hallada en Km27+540

Digitalización, Biblioteca Especializada Alicia Dussán de Reichel. ICANH

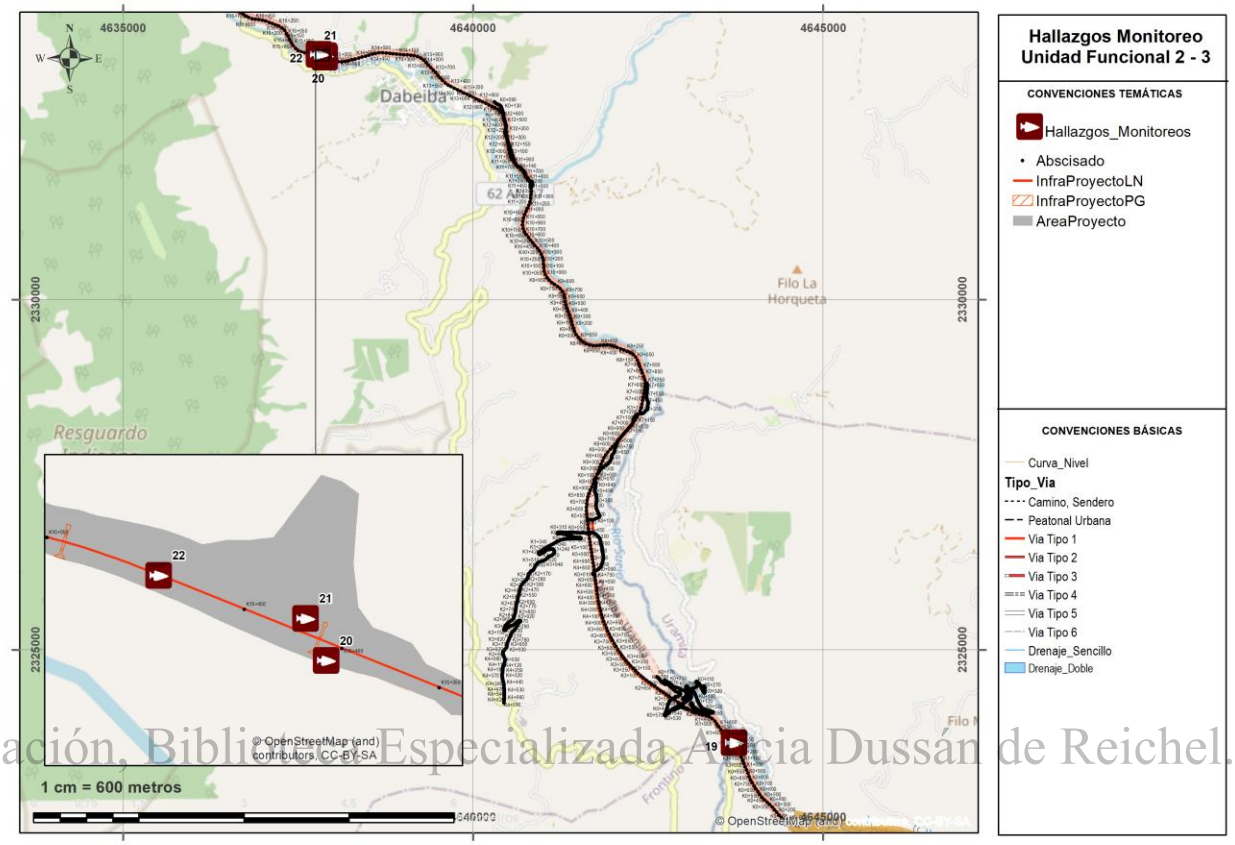
Figura 262
Ficha 18 Hallazgo de Monitoreo Arqueológico

No. 18	Hallazgo Monitoreo Arqueológico	
Pk Inicial	28+670	   
Pk Final	28+730	
Margen	Derecha	
Fecha	04/07/2020	
Municipio:	Uramita	
Coordenadas:		
X: 1097031,622		
Y: 1255468,021		
Msnm: 633		
Geología: Ladera donde se aprecian depósitos recientes como coluviones, los cuales en la actualidad presentan procesos erosivos como terracetas, surcos, reptaciones y en algunos casos deslizamientos de grandes masas de roca activos.		
Descripción: Este frente de monitoreo hace parte de una zona con una pendiente alta, con un pequeño descaso de ladera en la parte superior que va desde el Km 28+620 hasta el Km 28+740. En esta parte superior del corte del talud, en la abscisa Km 28+710, coordenadas E: 1097018 – N: 1255479, se halló un fragmento de metate y cuatro fragmentos cerámicos. Las características estratigráficas del suelo, muestran una capa orgánica de aproximadamente 40cm de espesor, color pardo oscuro con abundante actividad biológica y radicular, seguido se observa una capa de suelo grisáceo, textura arcillo-arenosa friable de un espesor aproximado de 70cm. La parte final de este primer corte (terraza), se observa un suelo pedregoso color amarilloso claro.		

Digitalización, Biblioteca Especializada Alicia Dussán de Reichel. ICANH

Figura 263

Mapa de hallazgos del monitoreo arqueológico en la Unidad Funcional 2-3



Digitalización, Biblioteca Especializada Alicia Dussán de Reichel. ICANH

Figura 264

Ficha 19 Hallazgo de Monitoreo Arqueológico

No. 19	Hallazgo Monitoreo Arqueológico UF2-3	
Pk Inicial	0+290	 
Pk Final	1+400	
Margen	Izquierda	
Fecha	22/03/2019	
Municipio:	Uramita	
Coordenadas:		
X: 1094260		
Y: 1256880		
Msnm: 614		
Geología: Laderas de fuerte pendiente donde se aprecian depósitos recientes como coluviones, los cuales en la actualidad presentan procesos erosivos intensos, sector revenidero.		

Digitalización Biblioteca Especializada Alicia Dussán de Reichel. ICANH

Descripción:

Este frente de monitoreo hace parte de una zona con una fuerte pendiente, en el sector conocido como Revenidero el cual tiene antecedentes de procesos erosivos fuertes en masa. Los hallazgos en este sitio se presentaron en descapote vía industrial de acceso al puente 1 de UF 2-3, materiales que, muy seguramente vienen de la parte alta de la montaña ya que la zona de trabajo no presenta descansos de ladera o adecuación antrópica. El tramo de monitoreo va desde el Km0+290 al Km1+400-UF2-3. Específicamente los materiales cerámicos fueron encontrados en la abscisa Km1+390 y en total se hallaron 5 fragmentos cerámicos. Las características estratigráficas del suelo, muestran una capa orgánica de aproximadamente 10cm de espesor, color pardo oscuro con abundante actividad biológica y radicular, seguido se observa una capa de suelo pardo amarilloso, textura arcillo-arenosa friable con abundante pedregosidad y que se profundiza hasta el final de la excavación.

Figura 265

Ficha 20 Hallazgo de Monitoreo Arqueológico

No. 20	Hallazgo Monitoreo Arqueológico UF2-3	
Pk Inicial	15+550	 
Pk Final	15+580	
Margen	Derecha	
Fecha	06/04/2019	
Municipio:	Dabeiba	
Coordenadas:		
X: 1088330		
Y: 1266610		
Msnm: 405		
Geología: Descanso de ladera baja con presencia de afloramiento rocoso en superficie, proceso erosivo con desprendimiento de rocas.		
Descripción: Este frente de monitoreo hace parte de una zona que en primera instancia fue prospectada, re-prospectada y se llevó a cabo proceso de rescate mediante corte de excavación estratigráfico, correspondiente a la Zap3-UF2-3. Y que abarcó el descapote, excavación y perfilado de talud en una zona lineal de 30m. Tramo entre las abscisas Km15+550 al Km15+580, dando como resultado el hallazgo de 104 fragmentos cerámicos. Las características estratigráficas del suelo, muestran una capa orgánica de aproximadamente 40cm de espesor, color pardo oscuro con abundante actividad biológica y radicular, en este estrato de suelo se hallaron los fragmentos cerámicos, seguido se observa una capa de suelo grisáceo, textura arcillo-arenosa friable de un espesor aproximado de 70cm, con abundante pedregosidad.		

Digitalización, Biblioteca Especializada Alicia Dussán de Reichel. ICANH

Figura 266

Ficha 21 Hallazgo de Monitoreo Arqueológico

No. 21	Hallazgo Monitoreo Arqueológico UF2-3
Pk Inicial	15+580
Pk Final	15+600
Margen	Derecha
Fecha	03/05/2019
Municipio:	Dabeiba
Coordenadas:	
X: 1088320	
Y: 1266630	
Msnm: 405	
Geología: Descanso de ladera baja con presencia de afloramiento rocoso en superficie, proceso erosivo con desprendimiento de rocas.	
Descripción: Este frente de monitoreo hace parte de una zona que en primera instancia fue prospectada, re-prospectada y se llevó a cabo proceso de rescate mediante corte de excavación estratigráfico, correspondiente a la Zap3-UF2-3. Y que abarcó el descapote, excavación y perfilado de talud en una zona lineal de 20m. Tramo entre las abscisas Km15+580 al Km15+600, dando como resultado el hallazgo de 126 fragmentos cerámicos y un utensilio lítico percutor elaborado en basalto. Las características estratigráficas del suelo, muestran una capa orgánica de aproximadamente 40cm de espesor, color pardo oscuro con abundante actividad biológica y radicular, en este estrato de suelo se hallaron los fragmentos cerámicos, seguido se observa una capa de suelo grisáceo, textura arcillo-arenosa friable de un espesor aproximado de 70cm, con abundante pedregosidad.	

Digitalización, Biblioteca Especializada Alicia Dussán de Reichel. ICANH

Figura 267

Ficha 22 Hallazgo de Monitoreo Arqueológico

No. 22	Hallazgo Monitoreo Arqueológico UF2-3
Pk Inicial	15+600
Pk Final	15+620
Margen	Derecha
Fecha	03/06/2019
Municipio:	Dabeiba
Coordenadas:	
X: 1088250	
Y: 1266650	
Msnm: 410	
Geología: Descanso de ladera baja con presencia de afloramiento rocoso en superficie, proceso erosivo con desprendimiento de rocas.	
Descripción: Este frente de monitoreo hace parte de una zona que en primera instancia fue prospectada, re-prospectada y se llevó a cabo proceso de rescate mediante corte de excavación estratigráfico, correspondiente a la Zap3-UF2-3 y el sondeo de prospección interna N1074. Y que abarcó el descapote, excavación y perfilado de talud en una zona lineal de 20m. Tramo entre las abscisas Km15+600 al Km15+620, dando como resultado el hallazgo de 84 fragmentos cerámicos específicamente el Km15+610. Las características estratigráficas del suelo, muestran una capa orgánica de aproximadamente 40cm de espesor, color pardo oscuro con abundante actividad biológica y radicular, en este estrato de suelo se hallaron los fragmentos cerámicos, seguido se observa una capa de suelo grisáceo, textura arcillo-arenosa friable de un espesor aproximado de 70cm, con abundante pedregosidad.	

Digitalización, Biblioteca Especializada Alicia Dussán de Reichel. ICANH

5. RESULTADOS DE LABORATORIO Y DE ANÁLISIS ESPECIALIZADOS

En las actividades de laboratorio se analizaron y clasificaron estos materiales arqueológicos recuperados en la diferentes actividades del trabajo de campo. Se evidenciaron 17 tipos de desgrasantes cerámicos (Piazzini & Posada, 2015), con especificidades tecnológicas y estilísticas. Igualmente, se realizó un análisis tecnológico y morfo-funcional de 239 elementos líticos, en su mayoría tallados; sin embargo, se tienen también artefactos en las categorías de pulidos y modificados por uso, identificados en 24 sitios arqueológicos.

Según el análisis bioarqueológico del contexto funerario hallado en el sitio arqueológico A618 se presentan dos patrones de enterramiento asociados con la cronología propuesta para el tipo cerámico crema fino tipo 11, del periodo 5, también conocido como inciso con borde doblado, la cual concuerda con la datación radiocarbónica reportada en la sección de reconstrucción de prácticas funerarias del presente informe. Por su parte los resultados de los análisis petrográficos, muestran que todos los desgrasantes tienen relación con el basalto y parecen proceder de la misma área de estudio.

5.1 Clasificación y registro de alfarería

Se realizó la clasificación y registro de fragmentos cerámicos a un total de 11.319 elementos y 12 vasijas completas y fragmentadas asociadas a monitoreo arqueológico y un contexto funerario, las cuales se reunieron a partir de la característica de su desgrasante, logrando homologar los resultados a la de periodización realizada por el investigador Carlo Emilio Piazzini para el municipio de Frontino y Urrao en el Occidente antioqueño.

Digitalización, Biblioteca Especializada Alicia Dussán de Reichel ICANH

Tabla 8
Cantidad de cerámica

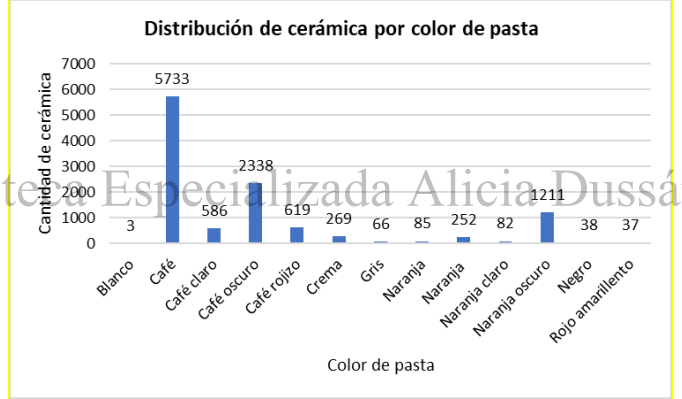
Fase	Cantidad de cerámica
Prospección	2388
Salvamento	7080
Monitoreo	1851
Total general	**11319**

Se identificó cerámica característica de cuatro periodos cronológicos de las ocupaciones humanas en el nor-ocidente de Antioquia; en primer lugar, la mayor cantidad de evidencias cerámicas representan al periodo P3: 1AC - 800DC con 5.648 fragmentos cerámicos correspondientes al 50%; posteriormente, está el periodo P2: 800AC - 1AC, siendo el más antiguo y representado en 3.549 fragmentos cerámicos que equivalen al 31%; el tercer lugar que representan las frecuencias cerámicas, corresponde al P4: 800DC - 1600DC, para este periodo se identificaron 1.713 fragmentos cerámicos, equivalentes al 15% de las evidencias clasificadas; finalmente, tenemos al periodo P5:1600 -1800DC 409 fragmentos cerámicos, equivalentes al 4%. Estos datos muestran de manera general para el área de estudio, las cabeceras del rio sucio, cerca de su cauce, se dio una ocupación que comienza en el periodo 2 (31%), rápidamente tiene su mayor frecuencia cerámica en el periodo 3 (50%), para, a partir de ahí, comenzar a disminuir gradualmente en los periodos 4 (15%) y 5 (4%).

Los diversos periodos cronológicos identificados, son sin lugar a duda muy significativos a la luz de la comprensión de las diversas ocupaciones que se establecieron por parte de grupos humanos a lo largo del tiempo en este territorio; nuestros datos desde el análisis e identificación de tipos reconocidos en la región sugieren que se dieron unas ocupaciones a lo largo de lo que hoy es el proyecto vial, desde el 1 AC hasta el 800 DC para un primer periodo. Siguiendo esa línea cronológica, se suceden otros tres periodos cronológicos que alcanzan hasta el 1800 DC, más la presencia de un fragmento que representa al periodo reciente, confirmando una ocupación continua desde el 1 AC hasta periodos relativamente recientes.

Siguiendo la misma línea descriptiva de los materiales cerámicos hallados en el marco de este proyecto vial, se describen características importantes como el color de las pastas, encontrando una tendencia de las pastas cuya tonalidad se inclina hacia el café como se observa en la **Figura 268.**

Figura 268
Color de pasta

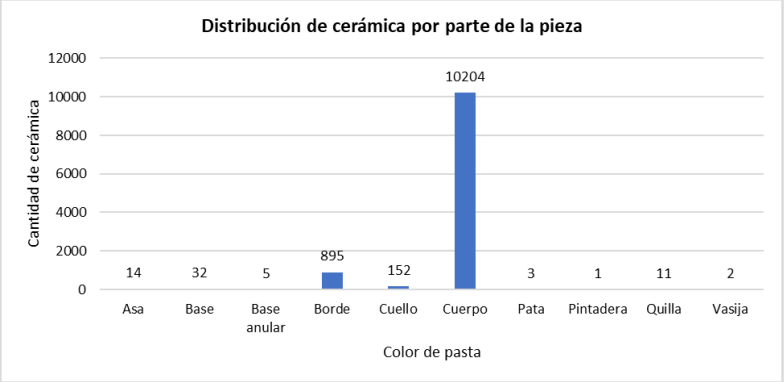


Digitalización, Biblioteca Especializada Alicia Dussán de Reichel. ICANH

De acuerdo con lo anterior, es claro que el tratamiento de cocción dado a las arcillas al momento de la quema, priorizó en el control de las temperaturas, sobre el manejo de las corrientes de aire, dado que, predominan los fragmentos oxidados sobre los fragmentos con reducción, con un porcentaje del 0,8% del total de las evidencias cerámicas.

La clasificación de los fragmentos cerámicos permitió la identificación de la parte del recipiente a la que pertenecieron los fragmentos; de acuerdo a las características morfológicas un porcentaje altísimo corresponde a fragmentos de cuerpo el 90,1% del total de los fragmentos clasificados; en segundo lugar se encuentran del tipo borde, con 7,9% de los clasificados una frecuencia de 895 fragmentos, también se reconocieron con frecuencias muy bajas cuellos de recipientes, bases, quillas, patas, asas y bases anulares como se observa en la **Figura 269.**

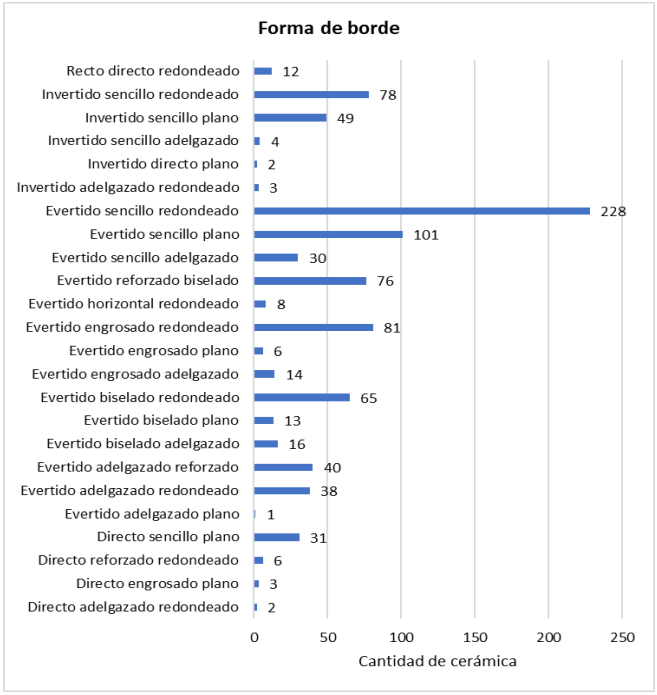
Figura 269
Parte de la pieza



Con respecto al análisis cualitativo hecho a los fragmentos cerámicos, se describieron las formas de los bordes identificados y se definieron 17 categorías que reforzaran las interpretaciones, especialmente, aquellas enfocadas en términos estilísticos en relación con las tipologías definidas para la región del occidente antioqueño, predominan los bordes evertidos sencillos redondeados en una cantidad de 165 fragmentos, en segundo lugar, están los bordes evertidos reforzados biselados, posteriormente están los bordes evertidos engrosados redondeados; siguiendo el orden están los evertidos adelgazados reforzados. En las formas se observa un predominio de los bordes evertidos con todas sus variantes y las frecuencias más bajas corresponden a los bordes ya sean directos o evertidos, pero, en este caso, con labio plano.

Digitalización, Biblioteca Especializada Alicia Dussán de Reichel. ICANH

Figura 270
Forma de borde



Otra de las características físicas que se observa en la cerámica, es la huella por la exposición al fuego, en superficies internas como externas de algunos fragmentos, que presentan rastros de costras o ahumado, adicionalmente se identifican fragmentos con erosión interna y externa. En general los datos indican que los recipientes fueron empleados en actividades de cocción de alimentos y/o procesado de productos diversos. Se identificaron 348 fragmentos con presencia de ahumado en su superficie, correspondiente al 3%; de la misma manera, se identificaron 87 fragmentos con costras y 62 fragmentos con hollín.

Figura 271
Fragmentos con presencia de hollín y ahumado



Digitalización, Biblioteca Especializada Alicia Dussán de Reichel. ICANH

5.2 Tipología y periodización Cerámica

Con el análisis del material cerámico se identificaron características y rasgos tecnológicos y estilísticos, que permitieron asociar los fragmentos cerámicos recuperados a los periodos arqueológicos 2, 3, 4 y 5 de la secuencia cronológica propuesta por Piazzini & Posada (2015) para los municipios de Frontino y Urrao.

En total se evidenciaron 17 tipos de desgrasantes cerámicos (Piazzini & Posada, 2015), con especificidades tecnológicas y estilísticas que podrían estar indicando la ocurrencia de varios eventos de cambio social a nivel local, muy seguramente movidos por interacciones de estas comunidades locales a nivel regional. En la Tabla 9 se muestra la frecuencia de materiales cerámicos por los 17 tipos cerámicos identificados en la clasificación. Y agrupados en los periodos cronológicos de Frontino (Piazzini & Posada, 2015).

La tipología se define a partir de las características tecnológicas de los fragmentos cerámicos, teniendo como guía la composición de los desgrasantes, los cuales se describen teniendo en cuanta la cantidad, variedad, disposición y coloración de los minerales componentes de la pasta

cerámica, en tal sentido cuando un tipo contiene más de un mineral que es evidente en su predominancia se nombra como segundo nombre el mineral que en segundo lugar tiene más participación dentro de la mezcla de desgrasantes.

Tabla 9
Frecuencia de materiales por periodo y tipo cerámico

Periodo / Tipo cerámico	Cantidad de cerámica	Porcentaje
P2: 800 AC - 1 AC	**3549**	**31,35%**
F3. FELSICO FINO	1065	9,41%
F5. FELSICO MEDIO	289	2,55%
F8. NARANJA FINO	227	2,01%
F9. NARANJA FRIABLE	1964	17,35%
F2. ARENA FINO	4	0,04%
P3: 1 AC - 800 DC	**5648**	**49,90%**
F1. MICA FINA	1005	8,88%
F16. ARENA MUY FINO	1109	9,80%
F22. CUARZO ABUNDANTE	45	0,40%
F12. CUARZO Y MICA	28	0,25%
F6. FELSICOS Y MICA	136	1,20%
F20. MICA Y ROCAS ROJAS	6	0,05%
F13. ROCAS FINAS Y MEDIAS	49	0,43%
F2. ARENA FINO	3270	28,89%
P4: 800 DC - 1550 DC	**1713**	**15,13%**
F22. CUARZO ABUNDANTE	1	0,01%
F14. FELSICOS Y OXIDOS	14	0,12%
F4 ROCAS GRUESAS	1152	10,18%
F7. ROCAS ROJAS	546	4,82%
P5: 1550 DC - 1900 DC	**409**	**3,61%**
F11. CREMA FINO	283	2,50%
F24. MUCHA MICA	126	1,11%
Total general	**11319**	**100,00%**

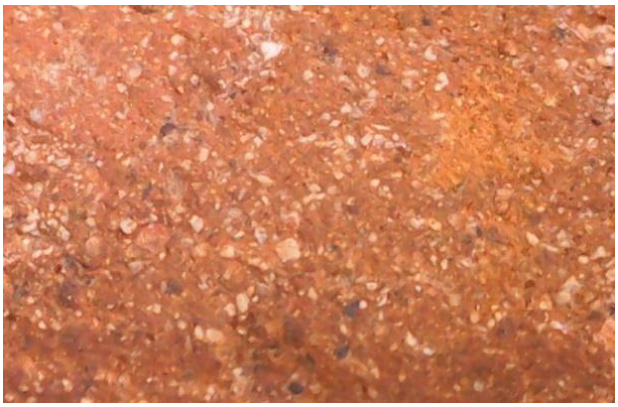
Digitalización y Biblioteca Especializada Alicia Dussán de Reichel ICANH

5.2.1 Tipo cerámico Félsicos finos F3

El **Tipo cerámico Félsicos Finos F3** identificado por Piazzini (2018), se caracteriza por la presencia minerales félsicos de grano fino a muy fino, posee algunos minerales máficos, concreciones de hierro, muy poco cuarzo y algo de mica, como se observa en la

Figura 272.

Figura 272
Detalle de los desgrasantes Grupo 13 - zoom 20X



La muestra corresponde a 1065 fragmentos, los colores de pasta son Café y Naranja, atmosfera oxidante, estructura compacta y acabados de superficie alisados y en menor proporción acabados no observables.

Digitalización, Biblioteca Especializada Alicia Dussán de Reichel. ICANH

Tabla 10

Descripción del tipo cerámico Félsico fino F3

Atributo	Variable	Porcentaje
Estructura	Compacta	89,5%
	Friable	10,5%
Color de pasta	Café	64,9%
	Café claro	5,7%
	Café oscuro	11,5%
	Café rojizo	0,2%
	Gris	0,3%
	Naranja	4,9%
	Naranja	0,3%
	Naranja oscuro	11,8%
	Negro	0,5%
Atmósfera de cocción	Oxidada	99,8%
	Reducida	0,2%
Grado de cocción	Completa	91,6%
	Incompleta	8,4%
Acabado interno	Alisado	81,1%
	No observable	0,6%
	Pulido	18,3%
Acabado externo	Alisado	80,6%
	No observable	0,2%
	Pulido	18,8%
	Vidriado	0,5%
Huellas de uso	Ahumado	2,0%
	Ausente	0,3%
	Costra	0,8%
	Erosión Externa	0,2%
	Erosión interna	1,1%
	Erosión Interna y externa	8,6%
	Hollín	0,1%
	No observable	86,9%

Digitalización, Biblioteca Especializada Alicia Dussán de Reichel. ICANH

Con diámetros que oscilan entre 8 a 30cm, este tipo cerámico caracterizado a partir de 1065 fragmentos permite identificar vasijas subglobulares grandes y medias, de pastas con grosores 4 a 18mm, su estructura compacta ha permitido que la superficie se conserve en mejor estado; incisiones oblicuas o achuradas se conjugan con la impresión de elementos angulosos que dejaron una secuencia de triángulos ubicados probablemente hacia el cuello-hombre de las vasijas; se identifican rollos sin alisar en la superficie externa asociados exclusivamente hacia el borde de las piezas. Con bordes evertidos en gran medida se proyectan vasijas con bocas amplias.

Figura 273
Proyección de bordes tipo Félsico fino



Digitalización, Biblioteca [illegible] Ana Díssimile Reichel. ICANH

Las decoraciones asociadas son incisión de líneas horizontales, incisión y puntos que muestra la **Figura 274**, hachurados en la **Figura 275**, impresión digital, aplicados, puntos, acanalados **Figura 277,** impresión triangular **Figura 278**, aplicado zoomorfo **Figura 279**, pintura, impresión lineal y muescado.

Figura 274
Fragmento con decoración Incisa



Figura 275
Fragmento con decoración Hachurada



Figura 276
Fragmento con decoración acanalada



Figura 277
Fragmento con decoración acanalada



Digitalización, Biblioteca Especializada Alicia Dussán de Reichel. ICANH

Figura 278
Fragmento con decoración Impresión Triangular



Figura 279
Fragmento con decoración Aplicado Zoomorfo



Las formas de bordes son: evertido adelgazado de labio redondeado, evertido sencillo de labio plano, evertido sencillo de labio redondeado que se observa en la **Figura 282**, evertido engrosado de labio redondeado, evertido engrosado de labio biselado, evertido reforzado de labio biselado que se muestra en la **Figura 281**, invertido adelgazado de labio redondeado, invertido sencillo de labio plano y, además, invertido sencillo de labio redondeado.

Digitalización y Edición Especializada Alicia Durán Reichel. ICANH

Figura 280
Bordes





Figura 281
Borde Evertido reforzado de labio biselado

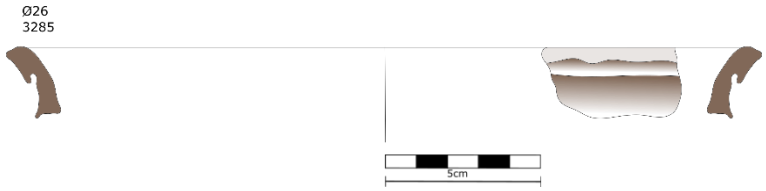
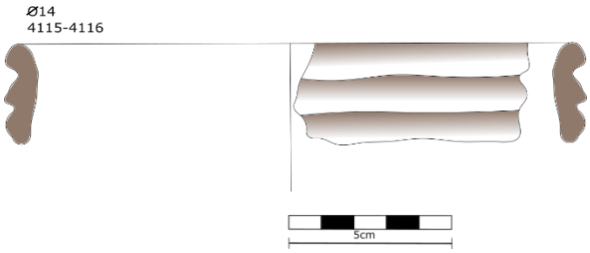


Figura 282
Borde Evertido sencillo de labio redondeado



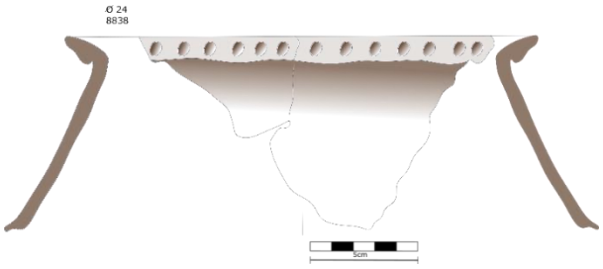


Digitalización, Biblioteca Especializada Alicia Dussán de Reichel. ICANH

Las formas de utensilios más recurrentes en el tipo cerámico Félsicos finos F3 corresponden a recipientes cuya morfología da cuenta de cuencos, platos, ollas globulares y subglobulares como la que se muestra en la **Figura 283**.

Figura 283
Olla subglobular





5.2.2 Tipo cerámico Félsicos medio F5

Se caracteriza por abundantes minerales félsicos de grano medio a grueso, posee algunos minerales máficos, concreciones de hierro y muy poco cuarzo y la mica de tamaño medio, en la **Figura 284** se observa el detalle del desgrasante.

Figura 284
Detalle de los desgrasantes Grupo 3 - zoom 20X



Digitalización, Biblioteca Especializada Alicia Dussán de Reichel. ICANH

La muestra de este tipo cerámico corresponde a 289 fragmentos. Predominan los tonos de pasta café y naranja, atmosfera oxidante, estructura compacta y acabados de superficie alisados.

Tabla 11

Descripción del tipo cerámico Félsicos medio F5

Atributo	Variable	Porcentaje
Estructura	Compacta	69,20%
	Friable	30,80%
Color de pasta	Café	40,14%
	Café claro	16,61%
	Café oscuro	6,23%
	Café rojizo	0,35%
	Crema	0,69%
	Gris	0,35%
	Naranja	10,38%
	Naranja	4,15%
	Naranja claro	0,35%
	Naranja oscuro	20,42%
	Negro	0,35%
Atmósfera de cocción	Oxidada	100%
Grado de cocción	Completa	68,17%
	Incompleta	31,83%
Acabado interno	Alisado	97,23%
	No observable	2,42%
	Pulido	0,35%
Acabado externo	Alisado	93,77%
	No observable	5,88%
	Pulido	0,35%
Huellas de uso	Ahumado	7,61%
	Ausente	4,15%
	Costra	2,77%
	Erosión Interna y externa	38,75%
	Hollín	0,69%
	No observable	46,02%

Digitalización, Biblioteca Especializada Alicia Dussán de Reichel. ICANH

Con un diámetro promedio de 20cm, este tipo cerámico caracterizado a partir de 289 fragmentos se identifica a partir de fragmentos relativamente erosionados de forma indistinta, permitiendo identificar el material desgrasante en superficie; se identifica una erosión intensa puntual en superficie interna que podría dar eventuales relaciones de uso en su contexto deposicional.

Figura 285
Proyección de bordes tipo félsico medio

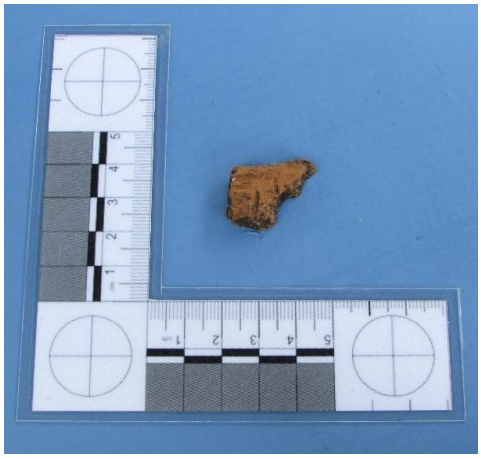


Tipo cerámico Felsico Medio (F5)

En cuanto a su decoración solo se hallaron cuatro fragmentos, uno de ellos con impresión digital, dos con incisión de líneas horizontales que se observa en la **Figura 286** y uno presentó incisión curvilíneal.

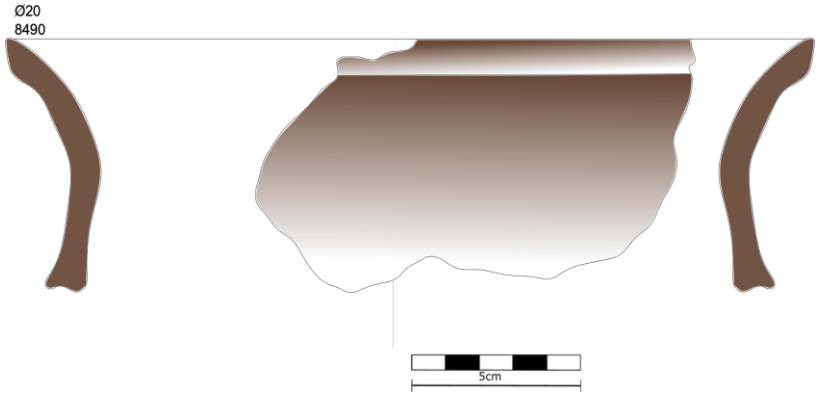
Digitalización, Biblioteca Especializada Alicia Dussán de Reichel. ICANH

Figura 286
Fragmento con decoración Incisa de líneas horizontales



Para este grupo cerámico, otra forma de borde presente es el evertido sencillo de labio redondeado que se observa en la **Figura 287**Figura 287.

Figura 287
Evertido sencillo de labio redondeado



5.2.3 Tipo cerámico Naranja friable F8

Este tipo cerámico se caracteriza por la presencia de minerales félsicos de abundantes y diferentes tamaños, además minerales máficos, cuarzo y algunas concreciones de hierro, el detalle se muestra en la **Figura 288**Figura 288.

Figura 288
Detalle de los desgrasantes Grupo 2 - zoom 20X

Digitalización, Biblioteca Especializada Alicia Dussán de Reichel. ICANH



La muestra corresponde a 1958 fragmentos, las tonalidades de las pastas se encuentran principalmente del color café oscuro, café, naranja oscuro; atmosfera oxidante, estructura friable y acabados de superficie interna alisada y pulida principalmente; el acabado externo predomina alisadas, pulidas y erosionadas.

Con diámetros que oscilan entre 8 a 34cm, este tipo cerámico caracterizado a partir de 1958 fragmentos permite identificar vasijas subglobulares grandes y medias, de pastas con grosores 4 a 25mm, su estructura friable ha permitido que la superficie se erosione de forma generalizada;

con incisiones oblicuas o achuradas se restringe a movimientos lineales en el cuerpo y superficie externa.

Tabla 12
Descripción del tipo cerámico Naranja friable F8

Atributo	Variable	Porcentaje
Estructura	Compacta	9,86%
	Friable	90,14%
Color de pasta	Café	34,73%
	Café claro	1,84%
	Café oscuro	40,55%
	Café rojizo	0,87%
	Crema	0,10%
	Gris	0,05%
	Naranja	2,91%
	Naranja	0,05%
	Naranja claro	0,10%
	Naranja oscuro	18,59%
	Negro	0,20%
Atmósfera	Oxidada	99,69%
	Reducida	0,31%
Grado de cocción	Completa	99,49%
	Incompleta	0,51%
Acabado interno	Alisado	81,72%
	No observable	3,58%
	Pulido	14,71%
Acabado externo	Alisado	79,67%
	No observable	4,85%
	Pulido	14,86%
	Vidriado	0,61%
Huellas de uso	Ahumado	1,63%
	Costra	0,87%
	Erosión Externa	0,05%
	Erosión interna	0,56%
	Erosión Interna y externa	14,96%
	Hollín	0,26%
	No observable	81,66%
	Ahumado	1,63%

Digitalización, Biblioteca Especializada Alicia Dussán de Reichel. ICANH

Las decoraciones asociadas son escisiones, acanalados como se muestra en la **Figura 289**, impresión digital, aplicados, incisión lineal, incisión hachuradas, incisión de líneas horizontales, incisión romboide, incisión curvilíneal como la **Figura 290**, incisión y puntos, lobulado, impresión lineal y muescado.

Figura 289
Fragmentos con decoración acanalada y escisión

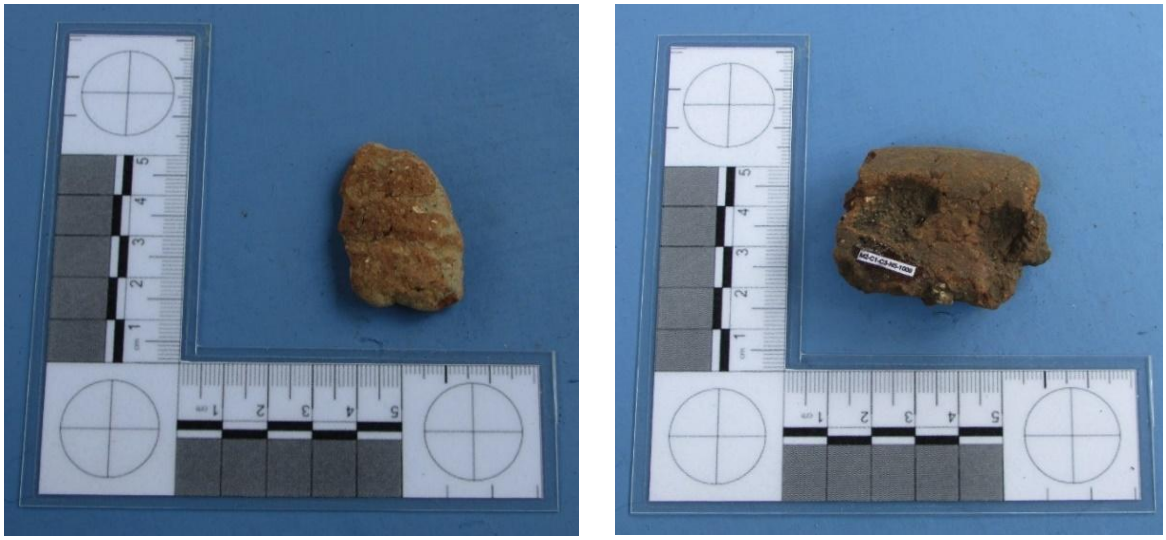


Figura 290
Fragmento con decoración Incisión Curvilíneal

Digitalización, Biblioteca Especializada Alicia Dussán de Reichel. ICANH



Las formas de bordes son: evertido adelgazado de labio plano, evertido adelgazado de labio redondeado, evertido sencillo de labio plano, evertido sencillo de labio redondeado, evertido engrosado de labio plano, evertido engrosado de labio redondeado, evertido engrosado de labio biselado Figura 291, evertido reforzado de labio biselado, directo sencillo de labio redondeado, invertido sencillo de labio redondeado, invertido sencillo de labio plano y evertido adelgazado de labio reforzado.

Figura 291
Borde Evertido engrosado de labio biselado



De acuerdo con las frecuencias de los fragmentos analizados, se identifica que, las formas de utensilios más recurrentes corresponden a utensilios cerámicos del tipo cuencos, platos, ollas globulares como se observa en la **Figura 292**.

Figura 292
Olla globular

Digitalización, Biblioteca Especializada Alicia Dussán de Reichel. ICANH

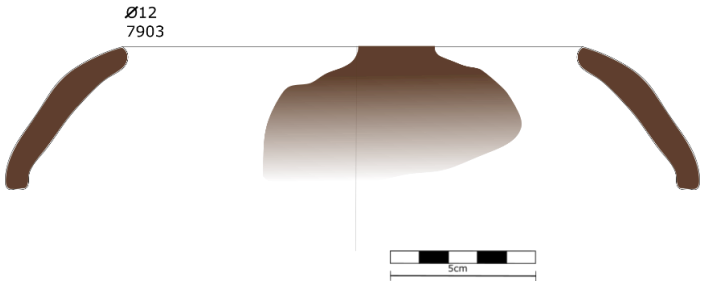
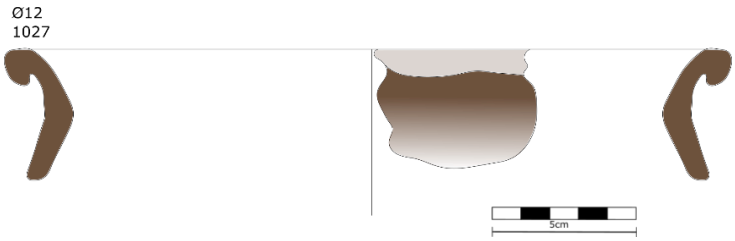


Figura 293
Olla subglobular



5.2.4 Tipo cerámico Naranja fino F9

Se caracteriza por un porcentaje mayor de pasta que de desgrasante. Se compone de pocas partículas de hierro, algunas rocas grises y minerales máficos, todos ellos de tamaño fino a muy fino como se observa en la **Figura 294**.

Figura 294
Detalle de los desgrasantes Grupo 1 - zoom 20X



Digitalización: Biblioteca Especializada Alicia Dussán de Reichel ICANH

La muestra del tipo cerámico Naranja fino F9 la componen 222 fragmentos; los colores de pastas en su mayoría son naranja oscuro 118 fragmentos que representan el 54,3%, seguido del color café 47 fragmentos que representan el 21,1% y café oscuro con 29 fragmentos 13.0%, en menores proporciones aparecen las tonalidades naranja y café claro, atmósfera oxidante, estructura friable 56,5% y compacta con el 43,4%, acabados de superficie alisados 93,3%, pulidas el 5,4% y las restantes presentan baño y superficies erosionadas.

Tabla 13
Descripción del tipo cerámico Naranja fino F9

Atributo	Variable	Porcentaje
Estructura	Compacta	43,69%
	Friable	56,31%
Color de pasta	Café	21,17%
	Café claro	4,95%
	Café oscuro	13,06%
	Café rojizo	0,45%
	Naranja	7,21%
	Naranja oscuro	53,15%
Atmósfera	Oxidada	100%
Grado de cocción	Completa	99,10%
	Incompleta	0,90%
Acabado interno	Alisado	93,24%

Atributo	Variable	Porcentaje
	Baño	0,45%
	No observable	0,90%
	Pulido	5,41%
Acabado externo	Alisado	92,79%
	Pulido	5,86%
	Vidriado	1,35%
Huellas de uso	Ahumado	0,45%
	Costra	0,90%
	Erosión Interna y externa	1,35%
	Hollín	0,45%
	No observable	96,85%

Con diámetros que oscilan entre 6 a 30cm, este tipo cerámico caracterizado a partir de 222 fragmentos permite identificar vasijas subglobulares grandes y medias, de pastas con grosores 4 a 18mm, su estructura compacta/ ha permitido que la superficie se conserve en mejor estado; incisiones oblicuas o achuradas se conjugan con rollos sin alisar hacia el borde de algunos elementos. Con bordes evertidos en gran medida se proyectan vasijas con bocas amplias.

Digitalización, Biblioteca Especializada Alicia Dussán de Reichel. ICANH

Figura 295
Proyección de bordes tipo Naranja fino



Tipo cerámico Naranja fino (F9)

Digitalización, Biblioteca Especializada Alicia Dussán de Reichel. ICANH

Las decoraciones asociadas son incisiones con motivos de líneas horizontales, acanalados, pintura y Muescado.

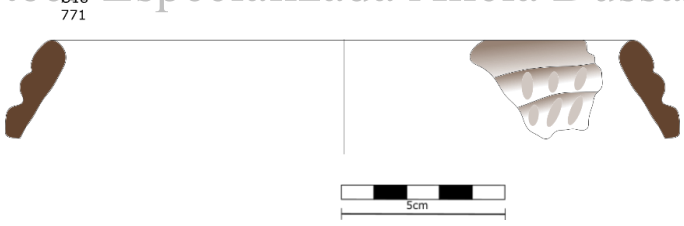
Figura 296
Fragmento con decoración incisa



Las formas de bordes son: evertido sencillo de labio redondeado, evertido adelgazado de labio reforzado, evertido reforzado de labio biselado, directo engrosado de labio plano, evertido adelgazado de labio redondeado, evertido biselado de labio redondeado, invertido sencillo de labio plano.

Figura 297
Borde invertido sencillo de labio redondeado

Digitalización, Biblioteca Especializada Alicia Dussán de Reichel. ICANH



Las formas de utensilios que encontramos al analizar este grupo corresponden a utensilios cerámicos del tipo ollas globulares como se observa en la Figura 298, ollas subglobulares Figura 299 y cuencos.

Figura 298
Olla globular

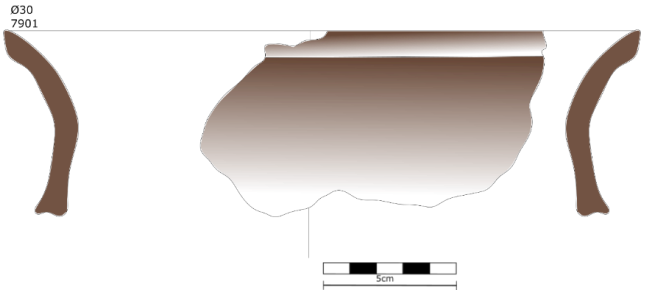
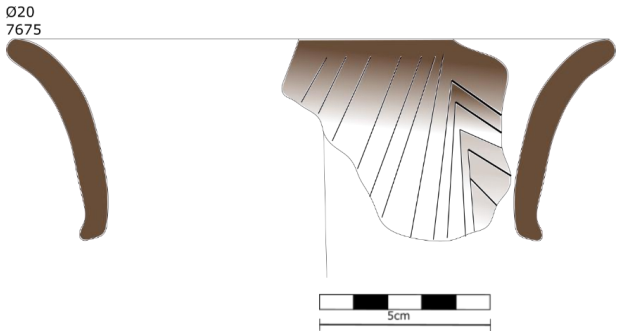


Figura 299
Olla subglobular



5.2.5 Tipo cerámico Mica fino F1

Se caracteriza por la presencia de abundante de mica asociada a cuarzo y algunos minerales máficos el detalle se muestra en la **Figura 300**.

Figura 300
Detalle de los desgrasantes Grupo 4- zoom 20X



Digitalización, Biblioteca Especializada Alicia Dussán de Reichel. ICANH

La muestra del tipo cerámico Mica fino F1 está comprendida por 1005 fragmentos. Los colores de pasta son café y café oscuro en mayor proporción, atmósfera oxidante, estructura compacta y acabados de superficie alisados.

Tabla 14
Descripción del tipo cerámico Mica fino F1

Atributo	Variable	Porcentaje
Estructura	Compacta	99,9%
	Friable	0,1%
Color de pasta	Café	31,6%
	Café claro	4,1%
	Café oscuro	19,0%
	Café rojizo	25,5%

Atributo	Variable	Porcentaje
	Crema	1,1%
	Gris	1,4%
	Naranja	2,3%
	Naranja claro	1,2%
	Naranja oscuro	9,6%
	Negro	1,6%
Atmósfera	Oxidada	97,0%
	Reducida	3,0%
Grado de cocción	Completa	92,0%
	Incompleta	8,0%
Acabado interno	Alisado	83,3%
	No observable	0,1%
	Pulido	16,6%
Acabado externo	Alisado	83,7%
	Burdo	0,1%
	No observable	0,1%
	Pulido	16,1%
Huellas de uso	Ahumado	7,4%
	Costra	1,2%
	Erosión Externa	0,2%
	Erosión interna	0,4%
	Erosión Interna y externa	0,4%
	Hollín	0,9%
	No observable	89,6%

Digitalización, Biblioteca Especializada Alicia Dussán de Reichel. ICANH

Con diámetros que oscilan entre 8 a 28cm, este tipo cerámico caracterizado a partir de 1005 fragmentos permite identificar vasijas globulares y subglobulares grandes y medias, de pastas con grosores de 5 a 20mm, su estructura compacta ha permitido que la superficie se conserve en mejor estado; este tipo cerámico permitió reconocer nuevas formas que se caracterizan por tener apliques, asas de agarre, bordes invertidos en vasijas que permiten reconstruir cuencos, pequeñas ollas; incisiones oblicuas se conjugan con la impresión de elementos angulosos que dejaron una secuencia de líneas ubicados probablemente hacia el cuello-hombre de las vasijas; se identifican pequeñas vasijas, así como elementos de base plana.

Identificado como uno de los tipos de mayor frecuencia para su periodización, ha sido posible identificar una serie de fragmentos asociados a posibles bases de vasijas grandes, las cuales dejan reconocer erosión puntual, tanto en la superficie externa relacionada con posible movimiento y fricción con el suelo o bien erosiones intensas en superficie interna que podría relacionarse con el movimiento cinético propio de la ejecución de actividades domésticas, como el revolver o raspar.

Figura 301

Proyección de bordes tipo Mica fino



Tipo cerámico Mica fino (F1)

Digitalización: Biblioteca Especializada Alicia Dussán de Reichel. ICANH

Figura 302
Decoraciones y asas tipo Mica fino



Asas, fragmentos decorados Tipo cerámico Mica fino (F1)

Digitalización, Biblioteca Especializada Alicia Dussán de Reichel. ICANH

Figura 303
Base plana tipo Mica fino

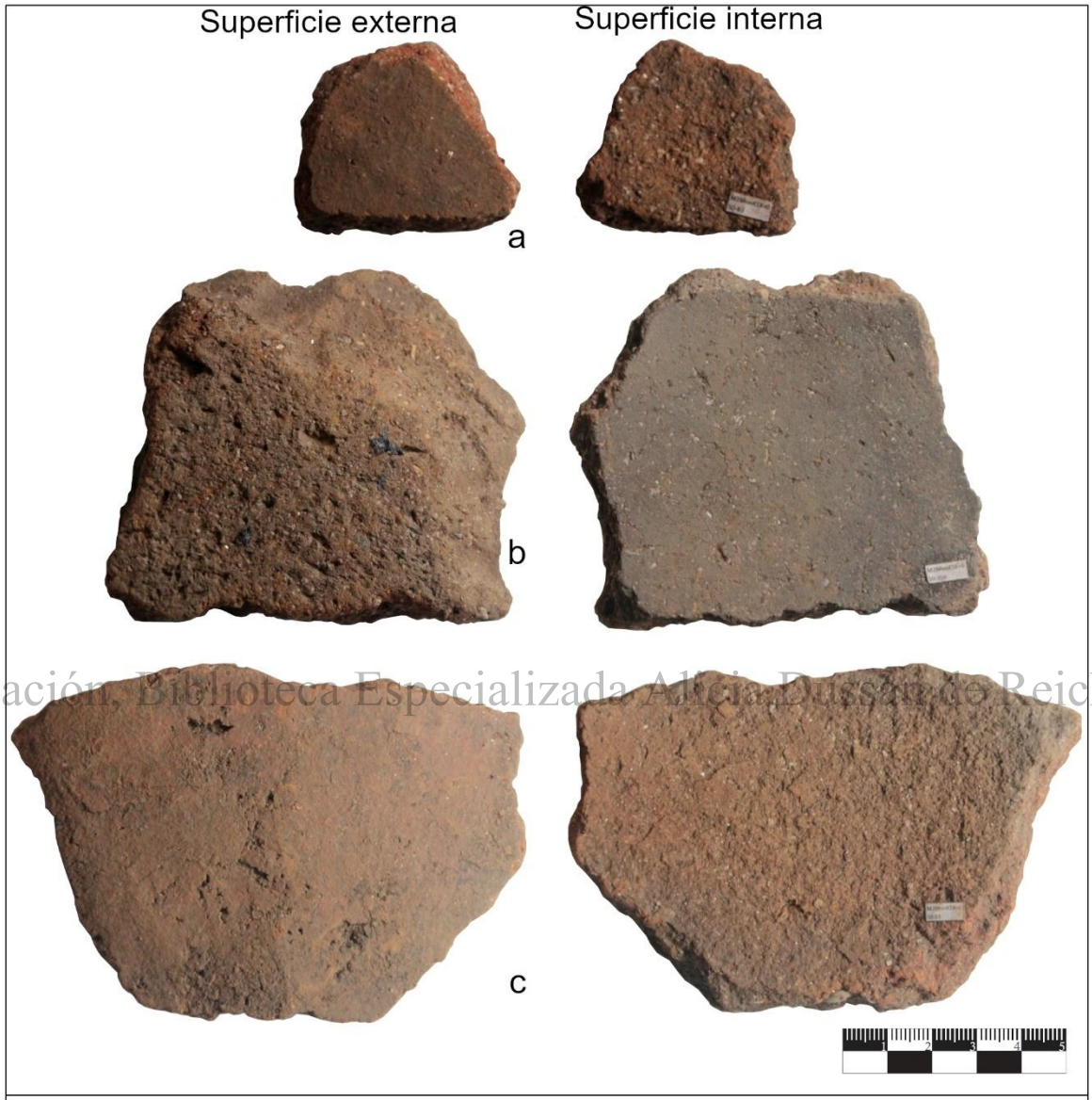


Base plana Tipo cerámico Mica fino (F1)

Digitalización, Biblioteca Especializada Alicia Dussán de Reichel. ICANH

Figura 304

Erosión puntual en fragmentos tipo Mica fino



Erosión puntual en fragmentos Tipo Mica fino (F1)

Digitalización: Biblioteca Especializada Alicia Dussán de Reichel. ICANH

Figura 305
Proyección de bordes Tipo Mica fino (F1)



Tipo cerámico Mica fino (F1)

Digitalización: Biblioteca Especializada Alicia Dussán de Reichel. ICANH

Las decoraciones asociadas son excisiones, acanalados, lobulado, incisión de líneas horizontales, punteados, impresión triangular y muescado.

Las formas de bordes son: evertido adelgazado de labio redondeado que se observa en la **Figura 306**, evertido sencillo de labio plano, evertido sencillo de labio redondeado, evertido engrosado de labio redondeado como en la **Figura 307**, evertido engrosado de labio biselado y evertido reforzado de labio biselado.

Figura 306
Borde Evertido adelgazado de labio redondeado

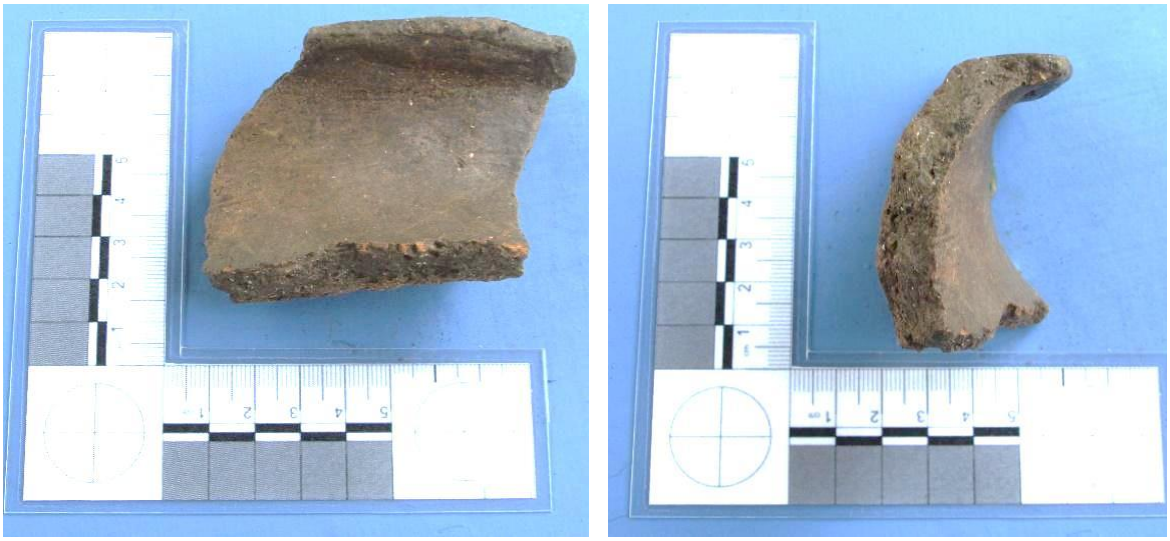


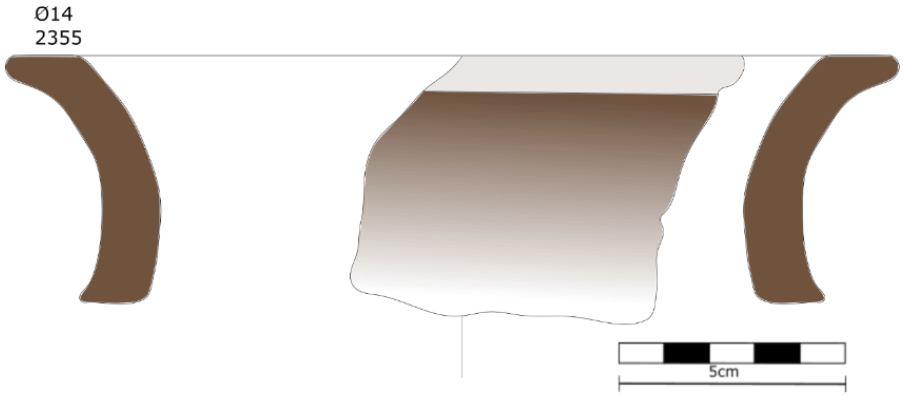
Figura 307
Borde Evertido engrosado de labio redondeado

Digitalización, Biblioteca Especializada Alicia Dussán de Reichel. ICANH



Las formas de utensilios que comparten este tipo cerámico corresponden también a ollas globulares y subglobulares como se muestra en la **Figura 308**.

Figura 308
Olla subglobular



5.2.6 Tipo cerámico Arena fino F2

Se caracteriza por la presencia de cuarzo, hornablenda, óxidos de hierro y algo de mica de tamaño medio a fino; igualmente, se observan rocas gruesas muy esporádicas, el detalle de este tipo se observa en la **Figura 309**.

Figura 309
Detalle de los desgrasantes Grupo 5 – zoom 20X

Digitalización, Biblioteca Especializada Alicia Dussán de Reichel. ICANH



La muestra del tipo cerámico Arena fino F2 corresponde a 3271 fragmentos. Los colores de pasta son café y café oscuro, atmósfera oxidante, estructura compacta y acabados de superficie alisados.

Tabla 15
Descripción del tipo cerámico Arena fino F2

Atributo	Variable	Porcentaje
Estructura	Compacta	99,9%
	Friable	0,1%

Atributo	Variable	Porcentaje
Color de pasta	Café	31,6%
	Café claro	4,1%
	Café oscuro	19,0%
	Café rojizo	25,5%
	Crema	1,1%
	Gris	1,4%
	Naranja	2,3%
	Naranja claro	1,2%
	Naranja oscuro	9,6%
	Negro	1,6%
Atmósfera	Oxidada	97,0%
	Reducida	3,0%
Grado de cocción	Completa	92,0%
	Incompleta	8,0%
Acabado interno	Alisado	83,3%
	No observable	0,1%
	Pulido	16,6%
Acabado externo	Alisado	83,7%
	Burdo	0,1%
	No observable	0,1%
	Pulido	16,1%
Huellas de uso	Ahumado	7,4%
	Costra	1,2%
	Erosión Externa	0,2%
	Erosión interna	0,4%
	Erosión Interna y externa	0,4%
	Hollín	0,9%
	No observable	89,6%

Digitalización, Biblioteca Especializada Alicia Dussán de Reichel. ICANH

Con diámetros que oscilan entre 8 a 37cm, este tipo cerámico caracterizado a partir de 3271 fragmentos permite identificar vasijas subglobulares grandes y medias, de pastas con grosores 4 a 23mm, su estructura compacta ha permitido que la superficie se conserve en mejor estado; presenta la mayor variabilidad formal entre el conjunto global de cerámica, contando con elementos como pintaderas, cuencos, ollas, cántaros o vasijas de boca restringida, presenta elementos en los que los rollos no se alisan en la superficie exterior conjugado en ocasiones con la impresión de elementos agudos que dejan formas triangulares o bien se identifican elementos con puntuados azarosos. Con bordes reforzados o engrosados las vasijas se identifican de grandes y medianos tamaño.

Figura 310
Decoraciones tipo Arena fina



Digitalización, Biblioteca Especializada Alicia Dussán de Reichel. ICANH

Figura 311
Proyección de bordes arena fino



Digitalización, Biblioteca Especializada Alicia Dussán de Reichel. ICANH

Figura 312
Proyección de bordes arena fino

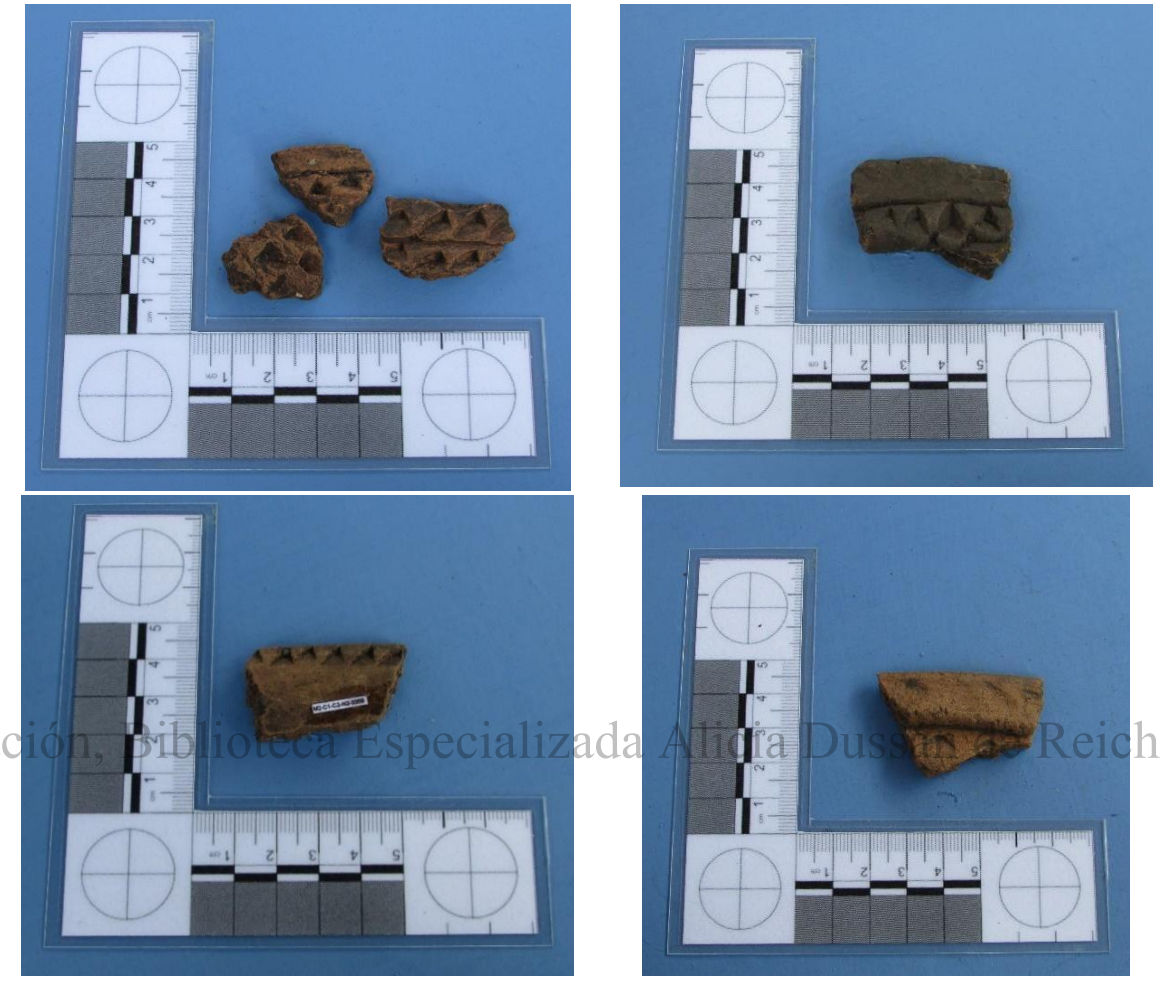


Tipo cerámico Arena fino (F2)

Digitalización, Biblioteca Especializada Alicia Dussán de Reichel. ICANH

Las decoraciones asociadas son excisiones, aplicados, incisión lineal, incisión hachuradas, incisión de líneas horizontales, incisión romboide, incisión curvilineal, punteados, pintura crema sobre rojo, pintura de líneas horizontales, dentado estampado, impresión triangular que se observa en la Figura 313, impresión a trechos y muescado.

Figura 313
Fragmentos con Impresión triangular



Digitalización, Biblioteca Especializada Alicia Dussán de Reichel. ICANH

Las formas de bordes son: evertido sencillo de labio plano, evertido sencillo de labio redondeado como en la **Figura 314**, evertido engrosado de labio plano, evertido engrosado de labio redondeado **Figura 317**, evertido engrosado de labio biselado **Figura 315**, evertido reforzado de labio biselado **Figura 316**, directo sencillo de labio plano, directo sencillo de labio redondeado, directo engrosado de labio plano **Figura 318**, directo reforzado de labio redondeado, invertido sencillo de labio plano, invertido sencillo de labio redondeado y evertido adelgazado de labio reforzado.

Figura 314
Borde Evertido sencillo de labio redondeado





Figura 315
Borde Evertido engrosado de labio biselado





Digitalización, Biblioteca Especializada Alicia Dussán de Reichel. ICANH

Figura 316
Borde Evertido reforzado de labio biselado



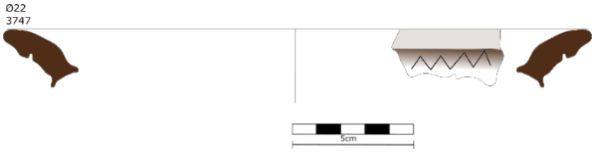


Figura 317
Borde evertido engrosado de labio redondeado

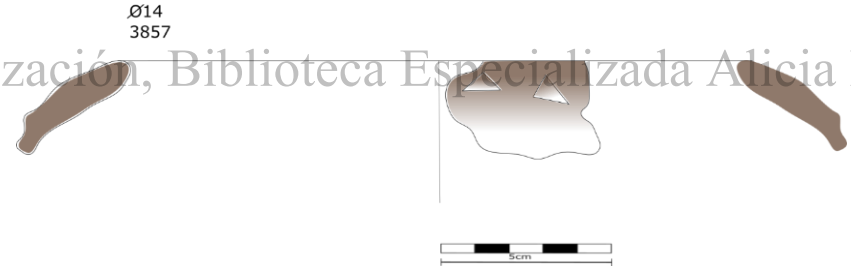


Figura 318
Borde Directo engrosado de labio plano



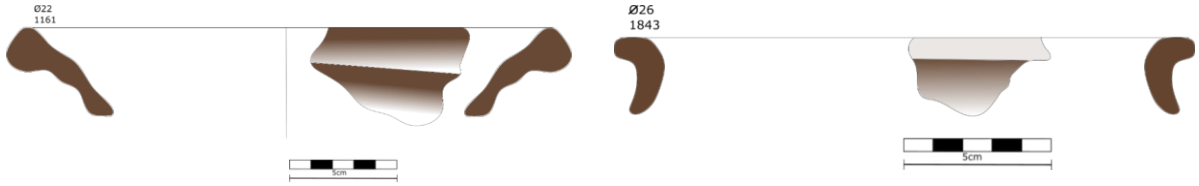
Las formas de utensilios más recurrentes corresponden a cuencos, platos, ollas globulares que se muestra en la Figura 319 y subglobulares en la **Figura 320**.

Figura 319
Olla Globular



Digitalización, Biblioteca Especializada Alicia Dussán de Reichel. ICANH

Figura 320
Olla Subglobular



5.2.7 Tipo cerámico Félsicos y mica F6

El tipo cerámico Félsicos y mica F6. Contiene abundantes minerales félsicos de tamaños finos a gruesos, acompañado de algunos minerales máficos y mica.

Figura 321

Desgrasantes Félsicos y mica

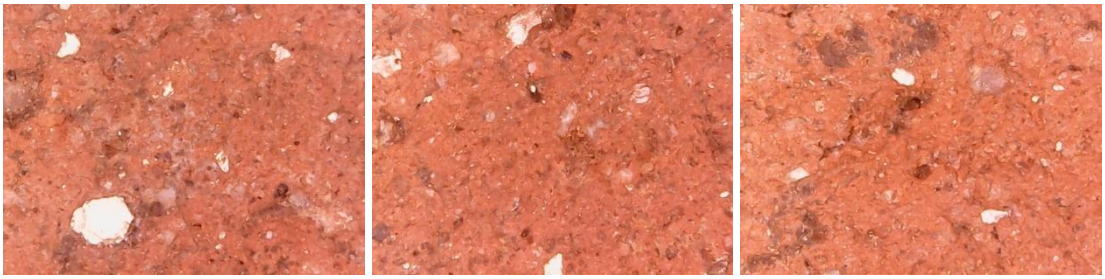


Tabla 16

Descripción del tipo cerámico Félsicos y mica F6

Atributo	Variable	Porcentaje
Estructura	Compacta	100,0%
Color de pasta	Blanco	0,7%
	Café	20,9%
	Café claro	5,2%
	Café oscuro	6,0%
	Café rojizo	20,1%
	Gris	0,7%
	Naranja	26,1%
	Naranja claro	2,2%
	Naranja oscuro	17,2%
	Negro	0,7%
Atmósfera	Oxidada	97,0%
	Reducida	3,0%
Grado de cocción	Completa	83,6%
	Incompleta	16,4%
Acabado interno	Alisado	99,3%
	Pulido	0,7%
Acabado externo	Alisado	98,5%
	Pulido	1,5%
Huellas de uso	Ahumado	4,5%
	Costra	1,5%
	Hollín	0,7%
	No observable	93,3%

Digitalización, Biblioteca Especializada Alicia Dussán de Reichel. ICANH

Con diámetros que oscilan entre 14 a 24cm, este tipo cerámico caracterizado a partir de 134 fragmentos permite identificar vasijas subglobulares grandes y medias, de pastas con grosores que oscilan entre 4 a 19mm, su estructura compacta ha permitido que la superficie se conserve en mejor estado; presenta superficies sinuosas que permiten identificar la huella de los dedos

del alfarero, sin presentar una sistematicidad que de luces de intereses decorativos; con bordes levemente invertidos, se pueden reconstruir cuencos, vasijas globulares.

Figura 322
Proyección de bordes tipo Félsicos y mica



Tipo cerámico Félsicos y mica (F6)

Digitalización, Biblioteca Especializada Antonio García-Bellido Reichel. ICANH

5.2.8 Tipo cerámico Cuarzo y mica F12

Este grupo está asociado tecnológicamente con el Tipo 12. Cuarzo y Mica, caracterizado por Piazzini (2018), por la presencia de abundantes partículas de cuarzo lechoso y mica; en menor proporción minerales máficos, félsicos y algo de concreciones de hierro.

Figura 323
Desgrasante Cuarzo y mica zoom 40X



Tabla 17
Descripción del tipo cerámico Cuarzo y mica F12

Atributo	Variable	Porcentaje
Estructura	Compacta	100,0%
Color de pasta	Café	33,3%
	Café claro	8,3%
	Café oscuro	16,7%
	Café rojizo	37,5%
	Gris	4,2%
Atmósfera	Oxidada	91,7%
	Reducida	8,3%
Grado de cocción	Completa	92,0%
	Incompleta	8,0%
Acabado interno	Alisado	95,8%
	Pulido	4,2%
Acabado externo	Alisado	95,8%
	Pulido	4,2%
Huellas de uso	Hollín	4,2%
	No observable	95,8%

Digitalización, Biblioteca Especializada Alicia Dussán de Reichel. ICANH

Caracterizado por 24 fragmentos cerámicos sin posibilidad de identificar bordes, este conjunto cerámico su estructura compacta permite identificar vasijas pequeñas con grosores que pasta que oscilan entre 5 y 17mm.

Figura 324
Fragmentos tipo Cuarzo y mica



Tipo cerámico Cuarzo y mica (F12)

En cuanto a sus decoraciones solo se recuperó un fragmento de cuerpo cuya decoración es Acanalado rectilineal. Las formas de bordes son: Evertido sencillo de labio redondeado y Evertido reforzado de labio biselado.

5.2.9 Tipo cerámico Rocas finas y medias F13

Este grupo está asociado tecnológicamente con el tipo 13 rocas finas y medias, caracterizado por Piazzini (2018). La muestra corresponde a 46 fragmentos, los cuales fueron recuperados durante el monitoreo en recolección superficial (93%), en los sitios KM18+050, KM18+160, KM19+870, KM20+750, KM21+240, KM26+450 y KM26+550; el 7% restante se hallaron en pozos de sondeo, durante la prospección en el sitio ZAP5-UF1.

Este tipo cerámico se compone por rocas grises, óxidos de hierro, en menor cantidad feldespato y por último mica. Los tamaños de los minerales oscilan entre finos a medios.

Figura 325
Desgrasante Rocas finas y medias zoom 40X



Digitalización, Biblioteca Especializada Alicia Dussán de Reichel. ICANH

Posee estructura compacta, los tonos de pasta son Café (76%), Naranja oscuro (10%) y Gris (10%), el 4% restante son tonos Crema. El 100% de los fragmentos presentan atmósfera oxidante y acabados de superficie alisados.

Tabla 18
Descripción del tipo cerámico Rocas finas y medias F13

Atributo	Variable	Porcentaje
Estructura	Compacta	100,0%
Color de pasta	Café	34,8%
	Café claro	2,2%
	Café oscuro	30,4%
	Café rojizo	8,7%
	Crema	2,2%
	Gris	10,9%
	Naranja oscuro	10,9%
Atmósfera	Oxidada	100,0%
Grado de cocción	Completa	69,6%
	Incompleta	30,4%
Acabado interno	Alisado	97,8%
	Pulido	2,2%

Atributo	Variable	Porcentaje
Acabado externo	Alisado	97,8%
	Pulido	2,2%
Huellas de uso	Ahumado	4,3%
	No observable	95,7%

Con la posibilidad de identificar el diámetro de una vasija de 17cm este tipo cerámico caracterizado a partir de 46 fragmentos permite identificar una vasija subglobular, de pastas con grosores 7 a 17mm, su estructura compacta ha permitido que la superficie se conserve en mejor estado; Sin elementos decorativos en los fragmentos hallados este tipo permitió identificar posibles superficies ahumadas, registradas como huellas de uso.

Figura 326
Fragmentos tipo Rocas finas y medias



Digitalización: Biblioteca Especializada Alicia Dussán de Reichel. ICANH

En cuanto a sus decoraciones, no se recuperaron fragmentos con algún tipo de decoración. Las formas de bordes son: Evertido engrosado de labio redondeado y Evertido sencillo de labio redondeado. Las formas de utensilios que comparten este tipo cerámico corresponden a ollas subglobulares.

5.2.10 Tipo cerámico Arena muy fino F16

La muestra relacionada con el tipo cerámico **Arena muy fino F16** identificado por Piazzini (2018), corresponde a 1108 fragmentos, se caracteriza por la presencia de minerales félsicos muy finos, en segundo lugar, minerales máficos y cuarzo lechoso como se observa en la
Figura 327.

Figura 327
Detalle de los desgrasantes Grupo 6 - zoom 20X



En la muestra de fragmentos diagnósticos analizados en esta clasificación cerámica, se asocia a los colores de pasta café y café oscuro en mayor proporción, atmósfera oxidante, estructura compacta y acabados de superficie alisados.

Tabla 19
Descripción del tipo cerámico Arena muy fino F16

Atributo	Variable	Porcentaje
Estructura	Compacta	100%
Color de pasta	Café	38,1%
	Café claro	7,3%
	Café oscuro	20,3%
	Café rojizo	4,0%
	Crema	19,9%
	Gris	0,4%
	Naranja	2,7%
	Naranja claro	1,4%
	Naranja oscuro	5,8%
	Negro	0,1%
Atmósfera	Oxidada	99,6%
	Reducida	0,4%
Grado de cocción	Completa	79,1%
	Incompleta	20,9%
Acabado interno	Alisado	87,5%
	Pulido	12,5%
Acabado externo	Alisado	87,3%
	No observable	0,3%
	Pulido	12,4%
Huellas de uso	Ahumado	5,2%

Digitalización, Biblioteca Especializada Alicia Dussán de Reichel. ICANH

Atributo	Variable	Porcentaje
	Costra	2,1%
	Erosión interna	0,3%
	Erosión Interna y externa	0,5%
	Hollín	0,9%
	No observable	91,0%

Con diámetros que oscilan entre 6 a 28cm, este tipo cerámico caracterizado a partir de 1109 fragmentos permite identificar vasijas subglobulares grandes , globulares, cuencos y platos, de pastas con grosores 3 a 18mm, su estructura compacta ha permitido que la superficie se conserve en mejor estado; apliques en superficie externa, secuencias de puntos en labios, impresión de elementos angulares en forma triangular, incisiones lineales con diseños achurados e impresión de puntos contrastan con la presencia de pintura hallados exclusivamente en elementos que reconstruyen platos amplios de engobe rojo y pintura blanca, con diseños envolventes de volutas que se repiten en secuencias posiblemente en diseños simétricos.

La variedad de bordes permite identificar vasijas con bocas cerradas o restringidas, vasijas de bordes invertidos permiten identificar igualmente otras formas que asemejan los tecomates de tamaños medianos y pequeños cuencos.

Figura 328

Proyección de borde y decoración Arena muy fino

Digitalización, Biblioteca Especializada Alicia Dussán de Reichel. ICANH

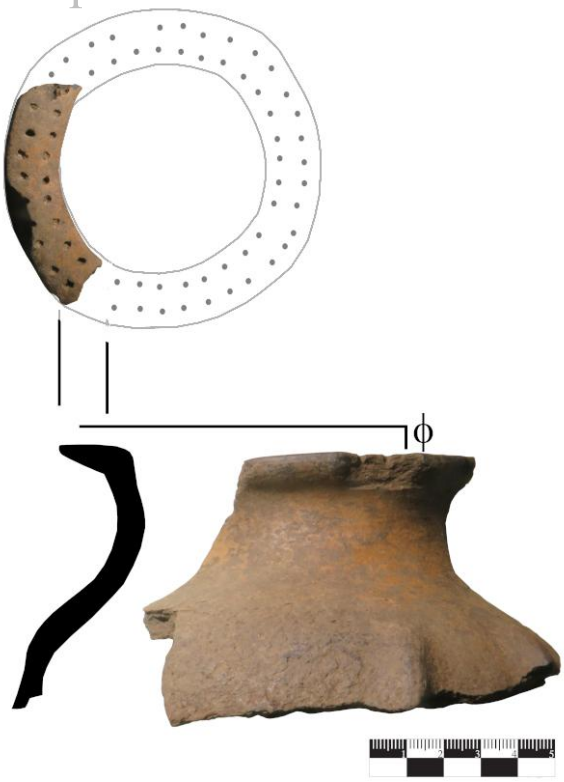


Figura 329
Decoración tipo Arena muy fina



Decoración Tipo cerámico Arena muy fina, (F16)

Digitalización, Biblioteca Especializada Alicia Dussán de Reichel. ICANH

Figura 330
Fragmentos con pintura blanca tipo Arena muy fino



Digitalización, Biblioteca Especializada Alicia Dussán de Reichel. ICANH

Figura 331
Proyección de plato con pintura blanco sobre rojo en tipo Arena muy fino



Plato, Tipo cerámico Arena muy fino (F16)

Figura 332
Proyección de bordes Tipo Arena muy fino

Digitalización, Biblioteca Especializada Alicia Dussán de Reichel. ICANH



Tipo cerámico Arena muy fino, (F16)

5.2.11 Tipo cerámico Mica y rocas rojas F20

Este grupo está asociado tecnológicamente con el Tipo 20. Mica y Rocas Rojas, caracterizado por Piazzini (2018). La muestra corresponde a 6 fragmentos, los cuales fueron recuperados en pozos de sondeo, en el sitio ZAP5-UF1.

Figura 333
Desgrasante Mica y rocas rojas Zoom 10x



Se caracteriza por la presencia de abundante mica y rocas rojas, también posee cuarzo de tamaño fino a medio; minerales máficos y en menor cantidad minerales félsicos. Posee estructura compacta, los tonos de pasta son Café rojizo (83%). El 100% de los fragmentos presentan atmósfera oxidante y acabados de superficie alisados.

Digitalización: Biblioteca Especializada Alicia Dussán de Reichel. ICANH

Tabla 20
Descripción del tipo cerámico Arena muy fino F16

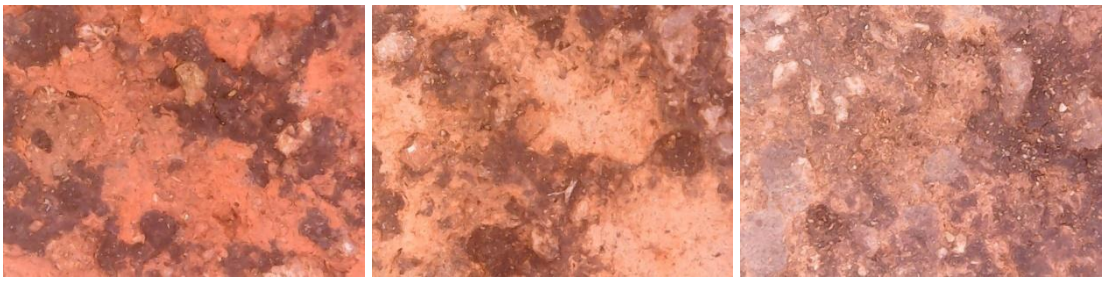
Atributo	Variable	Porcentaje
Estructura	Compacta	100%
Color de pasta	Café	16,7%
	Café claro	16,7%
	Café rojizo	66,7%
Atmósfera	Oxidada	100,0%
Grado de cocción	Completa	100,0%
Acabado interno	Alisado	100,0%
Acabado externo	Alisado	100,0%
Huellas de uso	No observable	100,0%

No se encontraron fragmentos con decoraciones asociadas y solo se recuperó un fragmento de borde evertido engrosado de labio redondeado, este conjunto presenta pastas con grosores que oscilan entre los 7 y 13mm, no se tienen relaciones morfológicas a partir de estos fragmentos de tamaños menores.

5.2.12 Tipo cerámico Cuarzo abundante F22

Este grupo está asociado tecnológicamente con el Tipo 22. Cuarzo Abundante, caracterizado por Piazzini (2018). La muestra corresponde a 44 fragmentos, los cuales fueron recuperados en recolección superficial (79%) y el 21% en pozos de sondeo, en el sitio ZAP5-UF1. Su característica principal es el predominio de cuarzo lechoso subangular de tamaño fino. Así mismo, se observan fragmentos de rocas máficas y concreciones de óxidos de hierro.

Figura 334
Desgrasante rocas rojas zoom 40X



Posee estructura compacta, los tonos de pasta son en su mayoría Café (86%) y en menor proporción los tonos naranja (9%). El 93% de los fragmentos presentan atmósfera oxidante y acabados de superficie alisados.

Digitalización, Biblioteca Especializada Alicia Dussán de Reichel. ICANH

Tabla 21
Descripción del Tipo Cerámico Cuarzo Abundante F22

Atributo	Variable	Porcentaje
Estructura	Compacta	100%
Color de pasta	Café	25,0%
	Café claro	18,2%
	Café oscuro	13,6%
	Café rojizo	29,5%
	Gris	2,3%
	Naranja	4,5%
	Naranja claro	2,3%
	Negro	2,3%
	Rojo amarillento	2,3%
Atmósfera	Oxidada	93,2%
	Reducida	6,8%
Grado de cocción	Completa	95,5%
	Incompleta	4,5%
Acabado interno	Alisado	95,5%
	No observable	2,3%
	Pulido	2,3%
Acabado externo	Alisado	97,7%
	Pulido	2,3%

Atributo	Variable	Porcentaje
Huellas de uso	Ahumado	4,5%
	No observable	95,5%

Identificado a partir del registro de 44 fragmentos cerámicos con bordes que no permiten inferencias de tamaño, presenta pastas con grosores que oscilan entre 6 a 17mm, con posibilidad de reconstruir vasijas subglobulares. Se identifica un fragmento con líneas incisas que se conjugan con rollos sin alisar en superficie externa.

Figura 335
Proyección de bordes Cuarzo abundante



Tipo cerámica Cuarzo abundante (F22)

Digitalización, Biblioteca Especializada Alicia Dussán de Reichel. ICANH

Las decoraciones asociadas son Incisión de Líneas horizontales y verticales cortas e Impresión digital. Las formas de bordes son: Invertido sencillo de labio redondeado y Evertido biselado de labio adelgazado.

5.2.13 Tipo cerámico Rocas gruesas F4

Luego del análisis de las pastas bajo el microscopio, identificamos que este grupo de 1152 fragmentos se asemeja al tipo cerámico Rocas Gruesas F4 identificado por Piazzini (2018), el cual se compone por la presencia de rocas grises y negras, cuarzo, minerales máficos y félsicos, todos ellos de tamaños grueso, el detalle se puede observar en la **Figura 336**.

Figura 336
Detalle de los desgrasantes Grupo 9 - zoom 20X



Los colores de pasta son Café y café oscuro, atmosfera oxidante, estructura compacta y acabados de superficie alisados.

Tabla 22
Descripción del tipo cerámico Rocas gruesas F4

Atributo	Variable	Porcentaje
Estructura	Compacta	96,3%
	Friable	3,7%
Color de pasta	Blanco	0,1%
	Café	58,2%
	Café claro	4,0%
	Café oscuro	21,5%
	Café rojizo	4,5%
	Crema	0,2%
	Gris	0,4%
	Naranja	1,7%
	Naranja claro	1,2%
	Naranja oscuro	7,6%
	Negro	0,2%
	Rojo amarillento	0,3%
Atmósfera	Oxidada	99,4%
	Reducida	0,6%
Grado de cocción	Completa	97,3%
	Incompleta	2,7%
Acabado interno	Alisado	96,1%
	Burdo	0,1%
	No observable	0,6%
	Pulido	3,2%
Acabado externo	Alisado	96,2%
	No observable	0,5%
	Pulido	3,3%
Huellas de uso	Ahumado	2,0%
	Costra	0,3%
	Erosión Externa	0,2%
	Erosión interna	1,9%
	Erosión Interna y externa	1,7%
	No observable	93,9%

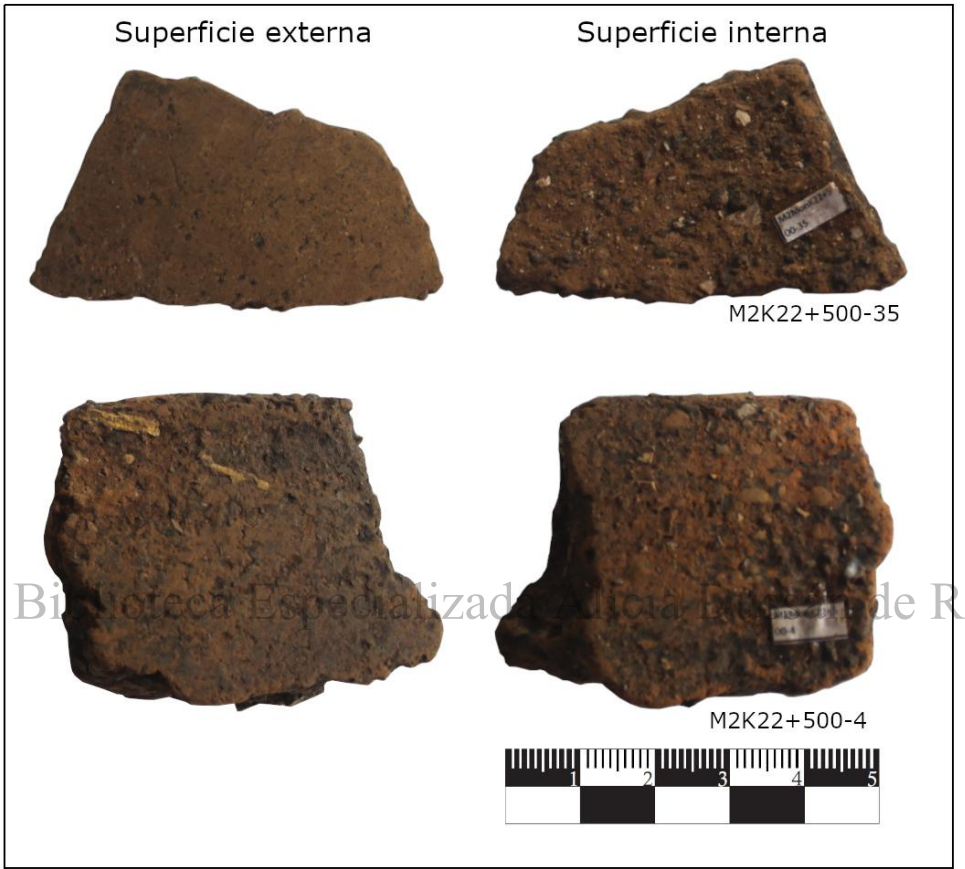
Digitalización, Biblioteca Especializada Alicia Dussán de Reichel. ICANH

Con diámetros que oscilan entre 8 a 35cm, este tipo cerámico caracterizado a partir de 1152 fragmentos permite identificar vasijas subglobulares grandes y medias, de pastas con grosores entre 4 a 21mm, su estructura compacta ha permitido que la superficie se conserve en mejor estado, aunque es posible identificar erosión puntual en fragmentos, tanto en superficie interna

como externa; el uso de las manos como herramienta decorativa define el estilo de este tipo que permite identificar el uso de los dedos para estrujar la arcilla creando diseños con muescas o propiamente imprimiendo el dedo gordo con fuerza.

Figura 337

Erosión puntual en superficie interna tipo Rocas gruesas



Erosión puntual en superficie interna Tipo cerámico Rocas gruesas (F4)

Digitalización, Biblioteca Especializada Alicia Dussán de Reichel. ICANH

Figura 338
Proyección de bordes Tipo Rocas gruesas



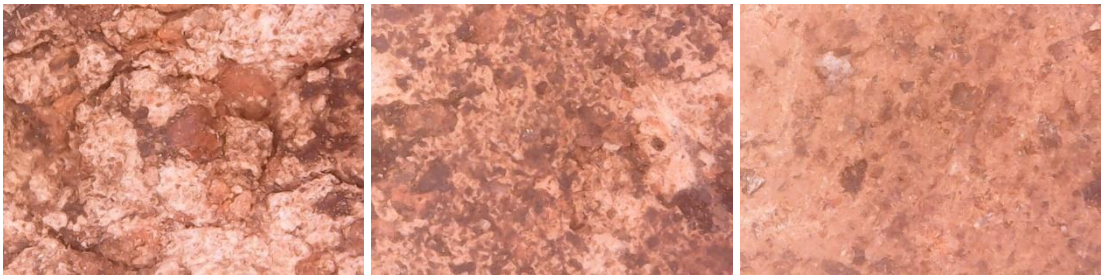
Tipo cerámico Rocas gruesas (F4)

Digitalización, Biblioteca Especializada Gloria Dussán de Reichel. ICANH

5.2.14 Tipo cerámico Rocas rojas F7

Se caracteriza por la presencia de concreciones de óxidos de hierro de tamaño medio a grueso, así como partículas de feldespato de tamaño fino muy esporádicas como se ve en la **Figura 339**.

Figura 339
Detalle de los desgrasante rocas rojas zoom 40X



La muestra corresponde a 546 fragmentos, los colores de pasta son café y café oscuro, atmosfera oxidante, estructura compacta y acabados de superficie alisados.

Tabla 23
Descripción del tipo cerámico Rocas rojas F7

Atributo	Variable	Porcentaje
Estructura	Compacta	100,0%
	Friable	3,7%
Color de pasta	Café	27,7%
	Café claro	29,1%
	Café oscuro	20,1%
	Café rojizo	2,6%
	Crema	5,3%
	Gris	1,3%
	Naranja	1,5%
	Naranja claro	4,8%
	Naranja oscuro	7,3%
	Rojo amarillento	0,4%
Atmósfera	Oxidada	100,0%
Grado de cocción	Completa	86,6%
	Incompleta	13,4%
Acabado interno	Alisado	86,4%
	Burdo	0,5%
	No observable	0,2%
	Pulido	12,8%
Acabado externo	Alisado	86,6%
	Burdo	0,5%
	Pulido	12,8%
Huellas de uso	Ahumado	1,8%
	Costra	0,5%
	Erosión Externa	0,4%

Digitalización, Biblioteca Especializada Alicia Dussán de Reichel. ICANH

Atributo	Variable	Porcentaje
	Erosión interna	0,2%
	Erosión Interna y externa	2,2%
	Hollín	2,7%
	No observable	92,1%

Con diámetros que oscilan entre 6 a 28cm, este tipo cerámico caracterizado a partir de 546 fragmentos, permite identificar vasijas subglobulares grandes y medias, de pastas con grosores entre 5 a 20mm, su estructura compacta ha permitido que la superficie se conserve en mejor estado; se identifica en gran medida la impresión de los dedos o el decorado que se ha llamado digital corrugado, una secuencia de impresión dactilar en la superficie externa, especialmente en el borde y cuello de piezas grandes.

Digitalización, Biblioteca Especializada Alicia Dussán de Reichel. ICANH

Figura 340
Proyección bordes Tipo Rocas rojas



Tipo cerámico Rocas rojas (F7)

Digitalización, Biblioteca Especializada Alicia Dussán de Reichel. ICANH

Figura 341
Decoraciones Tipo rocas rojas



Digitalización, Biblioteca Especializada Alicia Dussán de Reichel. ICANH

5.2.15 Tipo cerámico Félsicos y óxidos F14

Este grupo está asociado tecnológicamente con el TIPO 12 FÉLSICOS Y ÓXIDOS, caracterizado por Piazzini (2018). La muestra corresponde a 12 fragmentos, los cuales fueron recuperados durante el monitoreo en recolección superficial (83%), en los sitios KM15+580 y KM15+610; el 17% restante se hallaron en pozos de sondeo, durante la prospección en el sitio ZAP5-UF1.

Este tipo cerámico se compone por minerales félsicos, acompañado de óxidos de hierro y en menor cantidad los minerales máficos, también se puede observar en algunos fragmentos cuarzo y mica.

Figura 342
Desgrasante Félsicos y óxidos



Posee estructura compacta, los tonos de pasta van entre Café rojizo y Café. El 67% de los fragmentos presentan atmósfera oxidante y el 100% acabados de superficie alisados.

Tabla 24
Descripción del tipo cerámico Félsicos y óxidos F14

Atributo	Variable	Porcentaje
Estructura	Compacta	100,0%
Color de pasta	Café	16,7%
	Café rojizo	83,3%
Atmósfera	Oxidada	66,7%
	Reducida	33,3%
Grado de cocción	Completa	66,7%
	Incompleta	33,3%
Acabado interno	Alisado	91,7%
	No observable	8,3%
	Pulido	12,8%
Acabado externo	Alisado	100,0%
Huellas de uso	Ahumado	8,3%
	No observable	91,7%

Digitalización, Biblioteca Especializada Alicia Dussán de Reichel. ICANH

Caracterizado a partir de 12 fragmentos, este conjunto cerámico permite identificar vasijas de tamaños menores y medios y la reconstrucción de un diámetro de 38cm, con grosores de pasta que oscilan entre los 7 y 12mm se identifica un motivo decorativo consistente en la impresión de un elemento anguloso de forma triangular ligado exclusivamente al borde de la pieza.

Figura 343
Proyección de bordes Tipo Félsicos y óxidos



Tipo cerámico Félsicos y óxidos (F14)

Digitalización y Biblioteca Especializada Alicia Dussán de Reichel. ICANH

5.2.16 Tipo cerámico Crema fino F11

Este grupo está asociado tecnológicamente con el Tipo 11. Crema Fina, caracterizado por Piazzini (2018). La muestra corresponde a 282 fragmentos, los cuales fueron recuperados en recolección superficial, durante el monitoreo de los sitios KM15+580, KM15+600 y KM15+610. Adicionalmente hacen parte de este grupo la cerámica del ajuar funerario recuperado del Pozo de sondeo positivo A618.

Tiene como particularidad la presencia de rocas grises o negras, finas; óxidos de hierro, redondeados, finos a muy finos; cuarzo fino; minerales félsicos angulares y poca mica. los colores de pasta son Café y Café rojizo, el 95% de los fragmentos presentan atmósfera oxidante, estructura compacta y acabados de superficie alisados.

Figura 344
Desgrasante Crema fino zoom 40X



Tabla 25
Descripción del tipo cerámico Crema fino F11

Atributo	Variable	Porcentaje
Estructura	Compacta	100,0%
Color de pasta	Café	78,4%
	Café claro	0,7%
	Café oscuro	0,4%
	Café rojizo	19,5%
	Naranja claro	0,4%
	Naranja oscuro	0,7%
Atmósfera	Oxidada	95,4%
	Reducida	4,6%
Grado de cocción	Completa	93,6%
	Incompleta	6,4%
Acabado interno	Alisado	99,3%
	No observable	0,7%
Acabado externo	Alisado	100,0%
Huellas de uso	Ahumado	18,4%
	Costra	1,8%
	Hollín	0,7%
	No observable	79,1%

Digitalización, Biblioteca Especializada Alicia Dussán de Reichel. ICANH

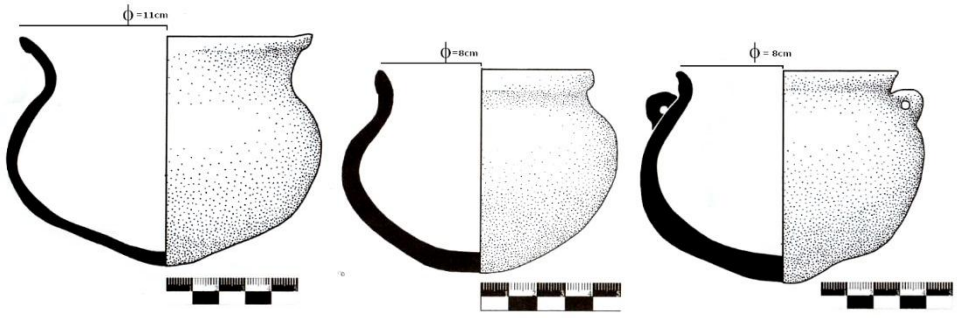
Con diámetros que oscilan entre 6 a 28cm, este tipo cerámico caracterizado a partir de 282 fragmentos permite identificar vasijas subglobulares medianas y pequeñas, de pastas con grosores entre los 5 a 20mm, su estructura compacta ha permitido que la superficie se conserve en mejor estado; decoraciones simplistas se reducen a rollos sin alisar en la superficie externa del borde, así como impresión de diseños triangulares, punzados con elementos angulosos.

Asociado al contexto funerario A618 este tipo cerámico presenta vasijas muy pequeñas que se utilizaron como ofrenda a los seres queridos muertos, se reconocen vasijas de bordes levemente evertidos con cuellos muy cortos, presentando bordes reforzados.

Figura 345
Proyección de bordes tipo Crema fino



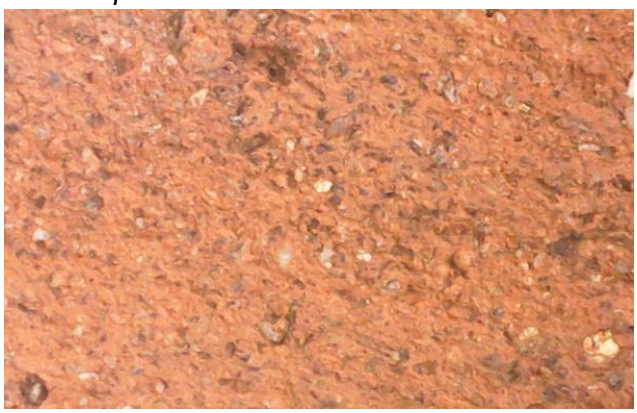
Digitalización, Biblioteca Especializada Alicia Dussán de Reichel. ICANH



5.2.17 Tipo cerámico Mica abundante F24

Finalmente, tenemos el tipo cerámico mica abundante, caracterizada por la presencia de abundante mica y minerales máficos, asimismo se observan rocas y cuarzo ocasionales, el detalle de los desgrasantes de este tipo cerámico se observa en la Figura 346.

Figura 346
Detalle de los desgrasantes Grupo 15 - zoom 20X



La muestra de material cerámico con este corresponde a 126 fragmentos. Los colores de pasta oscilan entre los tonos café y naranja; atmosfera oxidante, estructura compacta y acabados de superficie alisados. No presenta decoraciones asociadas

Digitalización, Biblioteca Especializada Alicia Dussán de Reichel. ICANH

Tabla 26
Descripción del tipo cerámico Mica abundante F24

Atributo	Variable	Porcentaje
Estructura	Compacta	100,0%
Color de pasta	Café	41,3%
	Café claro	8,7%
	Café oscuro	14,3%
	Naranja	11,1%
	Naranja oscuro	24,6%
Atmósfera	Oxidada	100,0%
Grado de cocción	Completa	99,2%
	Incompleta	0,8%
Acabado interno	Alisado	96,0%
	Pulido	4,0%
Acabado externo	Alisado	96,0%
	Pulido	4,0%
Huellas de uso	Ahumado	0,8%
	Costra	0,8%
	Erosión interna	2,4%
	Hollín	0,8%

Atributo	Variable	Porcentaje
	No observable	95,2%

Con bordes que se identificaron con diámetros de 16 y 26cm de diámetro cada uno, este tipo cerámico se caracterizó a partir del registro de 126 fragmentos, que oscilan entre grosores de 5 a 18mm, con fragmentos de menor tamaño, se caracteriza por superficies suaves con una pasta de textura compacta que ha permitido la mejor conservación en superficie, debido a las características de tamaño de la muestra de fragmentos no es posible la reconstrucción de posibles vasijas y formas.

Las formas de bordes son: Evertido adelgazado de labio redondeado, Evertido sencillo de labio redondeado, Evertido engrosado de labio redondeado y Directo sencillo de labio plano.

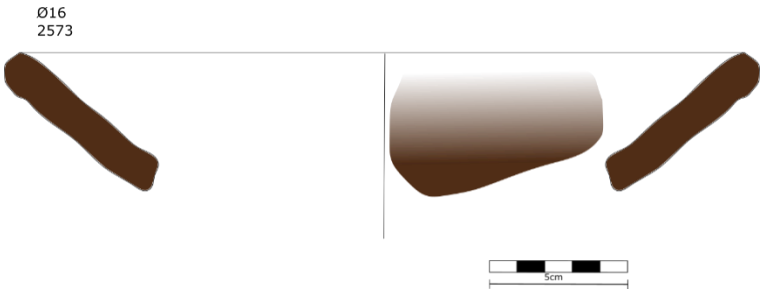
Figura 347
Borde Evertido sencillo de labio redondeado



Digitalización, Biblioteca Especializada Alicia Dussán de Reichel. ICANH

En conclusión, diremos que las formas de utensilios más comunes en este grupo corresponden a cuencos y ollas subglobulares.

Figura 348
Cuenco



5.3 Análisis Bioarqueológico sitio A618 Dabeiba – Antioquia.

El presente informe se realizó a partir del análisis de 48 bloques del pedestal, 26 bolsas con restos óseos y dentales, y 11 vasijas que hacían parte del ajuar asociado a los restos óseos procedentes de la tumba encontrada en el sitio arqueológico A618 de Dabeiba, Antioquia. En ese sentido, el documento se desarrolla en tres secciones, describiéndose en cada una de ellas los procedimientos metodológicos, conclusiones y recomendaciones concernientes a los resultados del análisis bioarqueológico en el siguiente orden: la primera sección contempla la descripción la formación del depósito funerario, la segunda trata la reconstrucción de las prácticas funerarias representadas en el enterramiento y finalmente en la tercera sección se describe el perfil biológico estimado a partir de los restos óseos de los individuos hallados en el nicho. El documento concluye con la integración de los tres tópicos en el contexto temporal y espacial prehispánico existente para esta región hasta la fecha.

5.3.1 Formación del depósito funerario

El análisis de la formación del depósito funerario se basa en el reconocimiento de la disposición intencional de los restos óseos y la conservación de la relación anatómica entre partes óseas, siguiendo la metodología de la arqueología funeraria (Duday, 1997, 2009; Stodder, 2018) y los protocolos de manejo de restos óseos habitualmente empleados para su recuperación en campo (BABAO, 2008; Bass, 1971; Okumura, 2017; White, 2005).

Digitalización y Biblioteca Especializada Alicia Dussán de Reichel ICANH

Inicialmente se organizaron los bloques de pedestal de acuerdo con su ubicación original como se ilustra en la fotografía 1 y posteriormente se procedió a la exposición al ambiente de los bloques de manera escalonada, de tal forma que se evitaran cambios ambientales abruptos que afectaran negativamente la preservación de los restos óseos. El abordaje de cada bloque se realizó siguiendo el orden de ubicación y buscándose la exposición de los vestigios bioarqueológicos desde la superficie hacia la base de los bloques, en los cuales, se diferenciaron hasta 3 niveles de profundidad, con el ánimo de evidenciar el grado de preservación y existencia de la relación anatómica entre partes óseas (Duday, 1997). Una vez identificados los segmentos anatómicos *in situ*, se registró su posición para poder reconocer la disposición de los cuerpos al momento de la inhumación, así como también la posible perturbación del contexto (Roksandic, 2002).

Con base en la información disponible en las fichas de registro arqueológico en campo, se evidenció que existen dos horizontes de depósito de restos óseos, el primero que se encontraba a una profundidad de 1,9 m debajo de un metate que estaba cercano al rasgo que condujo al segundo horizonte, mismo que corresponde a la entrada de una tumba de pozo con cámara cuya base se halló a 2,5m de profundidad y en la que se evidenciaron los conglomerados de restos óseos humanos que se observan en la **Figura 349**.

Figura 349

Organización de bloques de pedestal según disposición original del contexto



Nota: La disposicón de los bloques que se encuentran en la fotografía 1b, mantiene la relación del contexto original (fotografía 1a) y la exploración inició por la zona en donde se veía originalmente mayor concentración de materiales culturales.

Digitalización, Biblioteca Especializada Alicia Dussán de Reichel. ICANH

Los procedimientos de micro excavación anteriormente descritos permitieron corroborar una perturbación del contexto a causa de depósitos coluviales que colapsaron la entrada y la cúpula de la cámara funeraria, mezclándose los individuos más superficiales con los depositados primariamente en este nicho funerario, ocasionándose fracturas y amalgamamiento de partes óseas con rocas y barro que destruyeron buena parte de los restos óseos de los horizontes superficial y profundo, ver **Figura 350**.

Figura 350

Efecto del depósito aluvial en los restos óseos del sitio a618



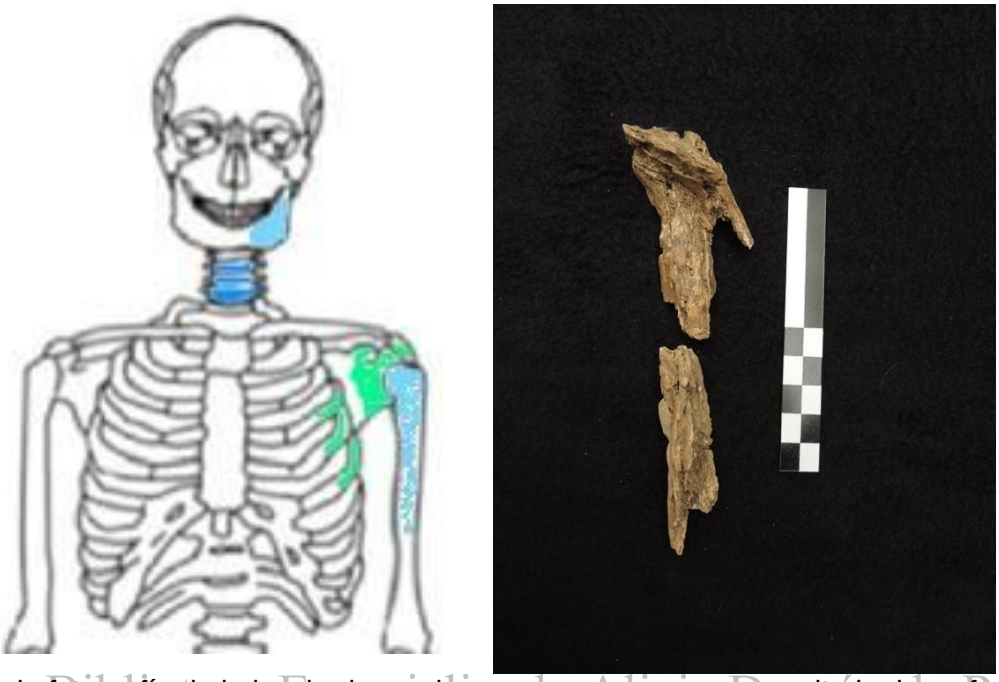
Nota: Con las flechas se señalan los restos óseos fragmentados e inmersos en lodo del depósito coluvial que perturbó la disposición original de los enterramientos.

Digitalización, Biblioteca Especializada Alicia Dussán de Reichel. ICANH

No obstante, a pesar del efecto de estos fenómenos geofísicos sobre el contexto, gracias a la metodología empleada en la micro excavación, fue posible evidenciar en los niveles intermedio y profundo de los bloques de pedestal, la persistencia de relaciones anatómicas de los miembros superiores, el tórax, la columna y el cráneo de los esqueletos de los individuos ubicados en la cámara, tal como se evidencia en la fotografía 3, pudiéndose así corroborar que los individuos hallados a 2,50 m de profundidad fueron depositados intencional y conjuntamente en el nicho funerario.

Figura 351

Restos óseos recuperados con preservación de su disposición



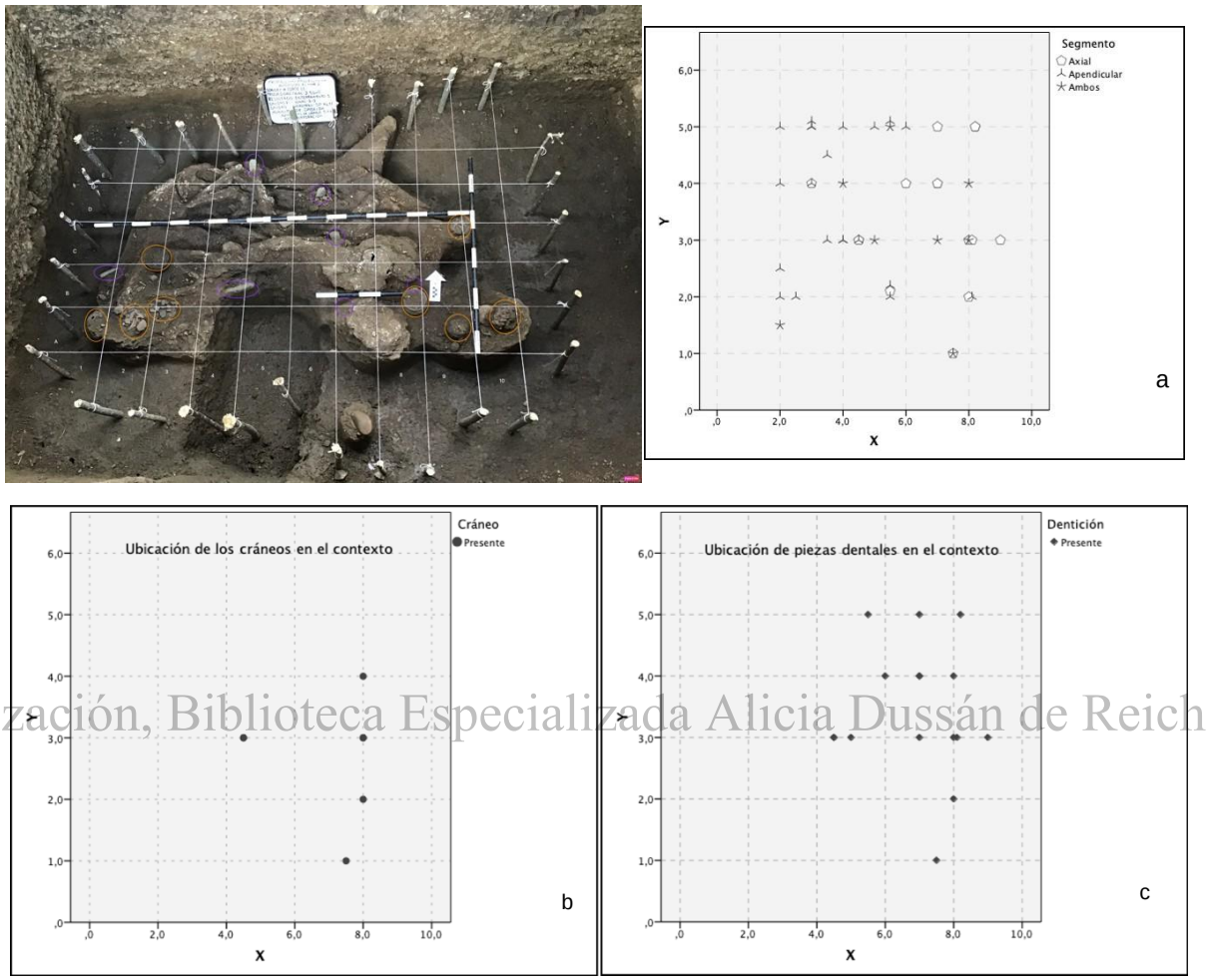
Digitalización, Biblioteca Especializada Alicia Dussán de Reichel. ICANH

Nota. En la fotografía de la izquierda se observa un esquema con resaltado de un fragmento de húmero izquierdo y escápula ipsilateral, ambos con signos de aplastamiento y preservación de la disposición in situ. En la imagen de la derecha se observa el esquema correspondiente a la ficha de registro del hallazgo realizado en la micro excavación, en azul celeste están los segmentos más superficiales, en verde los que se hallan en un nivel intermedio y en azul más oscuro los segmentos más profundos.

Se resalta que los segmentos del esqueleto identificados *in situ*, no pudieron ser recuperados íntegros en su totalidad, debido a la fragilidad que mostraba el tejido óseo al momento de su extracción, pues los restos estuvieron expuestos prolongadamente a la humedad y a suelos ácidos, los cuales ocasionaron la erosión permanente del tejido y su desintegración con el aplastamiento ocasionado por la caída de sedimento coluvial, convirtiendo los restos en astillas con área menor a 1 cm^2, las cuales, son porciones de tejido no viables para el análisis osteológico. Este problema se evidenció en cerca del 50% de los bloques, siendo el nivel superficial el más comprometido (ver Anexo 1).

Así mismo, se realizó el análisis de la dispersión de segmentos óseos y de acuerdo con lo que evidencia la **Figura 352**, se encontraron concentraciones de dientes y fragmentos de cráneos en los cuadrantes orientales del contexto, mientras que los huesos largos estuvieron más dispersos. La relación encontrada entre esas distribuciones es acorde con la disposición primaria de los cuerpos más profundos y la perturbación ocasionada por la caída de partes de al menos un esqueleto que se encontraba cercano a la cúpula y entrada de la cámara.

Figura 352
Distribución de segmentos óseos en área del contexto funerario



Nota: En la fotografía (tomada por el arqueólogo Carlos Orozco y modificada por la autora), se muestra el contexto en cuadrículas como marco de referencia para la interpretación de las gráficas, en las cuales se evidencia la ubicación de partes óseas por segmentos anatómicos, viéndose que los cráneos, junto con las piezas dentales compartieron orientación y ubicación en los cuadrantes del este del contexto funerario (ordenadas 6 a 8 del eje horizontal) a diferencia de los huesos largos de las extremidades.

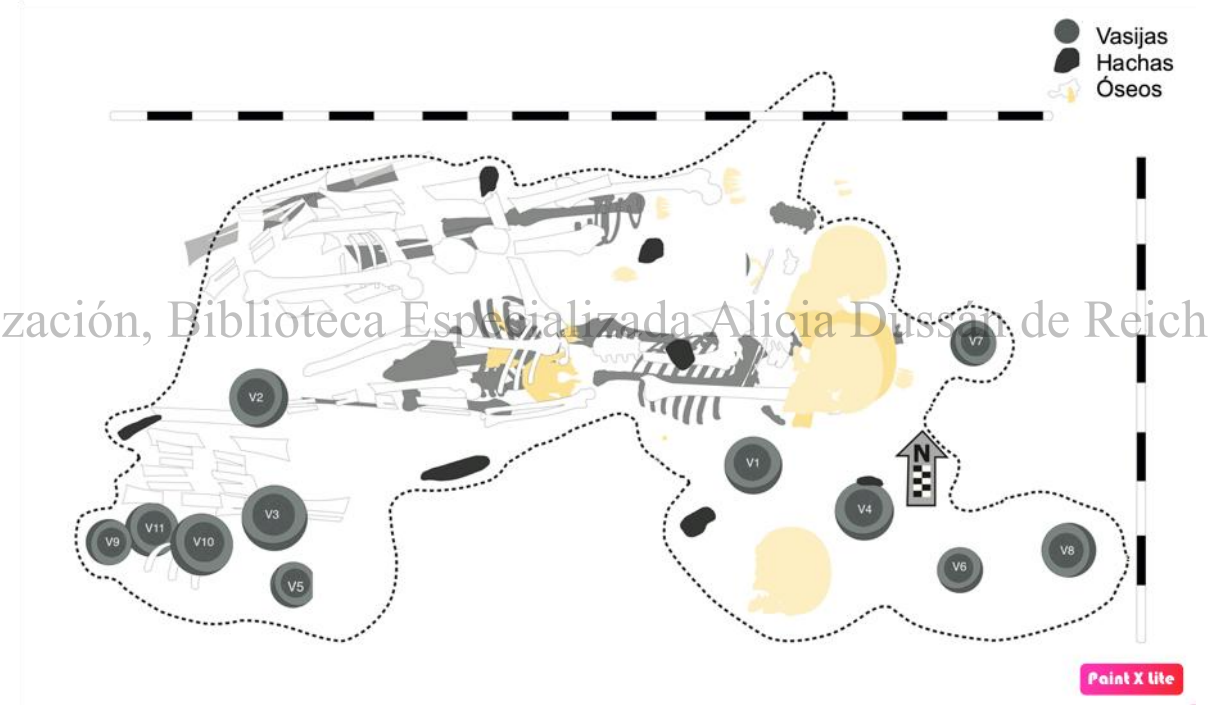
Digitalización, Biblioteca Especializada Alicia Dussán de Reichel. ICANH

En ese sentido, la distribución de partes óseas observada en la **Figura 352** que se reconstruyó en el **Figura 353**, plantea la existencia de un contexto de restos óseos mezclados, como resultado de la perturbación generada no intencionalmente por causa de fenómenos naturales de tipo geofísico. Dado el estado de degradación de los restos óseos, hubo dificultades en el reconocimiento de segmentos óseos identificables en cerca del 60% de los bloques de pedestal en su nivel más superficial y la mayor parte de las estimaciones hechas sobre las relaciones anatómicas entre segmentos óseos identificables, correspondieron a los niveles intermedio y

profundo de los bloques (ver **Figura 353** y **Figura 359**). Estos hallazgos corresponden a que el evento de perturbación tuvo lugar cuando los restos ya estaban esqueletizados y el tejido óseo ya estaba lo suficientemente deshidratado como parte de los procesos diagenéticos que se generaron por su contacto directo con el suelo que les rodeaba desde el momento de su inhumación (Duday, 1997; López-Costas, Lantes-Suárez, & Martínez Cortizas, 2016; Stodder, 2018). Lo que sugiere que los restos hallados más superficialmente en los pedestales hacen parte de al menos un esqueleto que cayó encima del contexto y comprimió las partes más superficiales de los esqueletos que reposaban en la cámara, quedando conservadas algunas de las relaciones anatómicas existentes desde el depósito inicial de los cuerpos en el nicho.

Figura 353

Distribución de fragmentos óseos humanos en el área del pedestal de la cámara funeraria



Digitalización, Biblioteca Especializada Alicia Dussán de Reichel. ICANH

Nota: En este esquema se recrea la superposición de los diferentes segmentos identificados en la micro excavación, resaltándose los cráneos y piezas dentales en color crema, a la vez que en gris se representan los hallazgos más profundos.

Así mismo, la micro excavación de los pedestales corroboró que el depósito de los cuerpos en la cámara fue en nicho vacío, mientras que los restos ubicados en el horizonte más superficial se encontraban en nicho lleno, lo que pudo generar mayor efecto de masa cuando estos restos impactaron los restos depositados a 2,50 m de profundidad.

5.3.2 Reconstrucción de prácticas funerarias

Para la reconstrucción de prácticas funerarias, se mantuvo la perspectiva tafonómica y forense en la estrategia metodológica e igualmente se continuó la sistematización de la información como restos óseos mezclados (Baustian, Osterholtz, & Collins, 2014; Duday, 2009; Roksandic, 2002), esto en aras de reconocer las posibilidades de configuración original del nicho funerario antes de su perturbación.

De acuerdo con las cualidades físicas del tejido óseo, fue posible observar la disposición intencional de los cuerpos de acuerdo con la relación que los restos presentaban con el material cultural hallado en la tumba. El registro en campo mostró un ajuar funerario compuesto por cinco hachas, una mano de moler, un cincel y 11 vasijas, de las cuales, la más superficial se relacionó con el esqueleto recuperado a 1,90 m de profundidad y las 10 vasijas restantes, se encontraban agrupadas en los extremos de los conglomerados de restos óseos como se observa en la fotografía 4 y se detalla en los esquemas 1, 3 y 4.

Figura 354
Contexto funerario con material cultural in situ



Digitalización: Biblioteca Especializada Alicia Dussán de Reichel. ICANH

La relación espacial observada entre las vasijas y los restos óseos muestra que la mayoría estaban ubicadas en los límites del contorno corporal como se vio en la **Figura 353**, siendo las vasijas ubicadas en los cuadrantes suroccidentales del plano superficial, las que mostraron mayor compromiso por aplastamiento. Estas vasijas también contenían fragmentos óseos en su

interior y se considera que éstos hacen parte del evento de perturbación por el depósito coluvial. Además, estos artefactos presentaron sedimento con restos de carbón en las paredes internas y huellas de exposición al fuego en parte externa de la base, lo que sugiere su uso y su destinación como elemento ornamental y ritual.

La alfarería hallada corresponde a pequeños cuencos globulares y subglobulares, de los que se identificaron dos tipos: el tipo 1 que corresponde a cuencos globulares de base aguda y roma, con borde doblado y, el tipo 2 que corresponden a vasijas subglobulares de base aguda y roma con borde doblado y decoración incisa de formas geométricas (ver

Figura 355). En la **Tabla 27** se dan a conocer los hallazgos más relevantes de la micro excavación de las vasijas y de ellos, llama la atención la presencia de fragmentos óseos del pie y el tobillo, a la altura en la que se hallan la mayor concentración de huesos largos de miembros inferiores. Este hallazgo es consistente en la uniformidad en la orientación de los esqueletos al momento de su inhumación, en la que coincide la orientación del cráneo tanto para los esqueletos del plano más superficial, como en los hallados en el plano más profundo; también este hallazgo es consistente con la caída de partes de al menos un esqueleto que se ubicara en la parte superior de la cámara funeraria.

Tabla 27

Hallazgos de microexcavación de vasijas del contexto A618

Digitalización, Biblioteca Especializada Alicia Dussán de Reichel. ICANH

Vasija No.	Conservación	Tipo	Hallazgos	Relación	Huellas de uso
1	Completa	Tipo 1	Restos óseos y carbón	Cráneos	
2	Completa	Tipo 1	Fragmento de pie, hacha	Miembros inferiores, huesos del pie	
3	Fragmentada	Tipo 1	Restos óseos, carbón y pelo	Huesos largos	Exposición al fuego
4	Completa	Tipo 2*	Restos óseos y carbón	Cráneo y dientes	Exposición al fuego
5	Fragmentada	Tipo 2	Ninguno	Huesos largos	
6	Parcialmente fragmentada	Tipo 2	Ninguno	Cráneos	
7	Fragmentada	Tipo 1	Restos óseos	Cráneos	
8	Completa	Tipo 1	Roca	Ninguno	
9	Completa	Tipo 1	Restos óseos	Huesos largos	Exposición al fuego
10	Aplastada	Tipo 1	Restos óseos y carbón	Huesos largos	Exposición al fuego
10a	Completa	Tipo 1	Restos óseos, carbón y semilla	Huesos largos	Exposición al fuego

**Esta es la única vasija que tiene dos filas de incisiones geométricas y es la más grande de todo el conjunto.*

Figura 355
Vasijas del contexto funerario A618 de Dabeiba, Antioquia



Digitalización, Biblioteca Especializada Alicia Dussán de Reichel, ICANH

Las vasijas corresponden al tipo Crema Fino-F11- del periodo 5 que va del 1.550 al 1.900 d.C. (Piazzini, 2018), también identificado en otros contextos arqueológicos funerarios del noroccidente de Antioquia como inciso con borde doblado (Castillo,1988), fechado entre los siglos X a XVI D.C, y que geográficamente abarca desde la ciénaga de Tumaradó en el bajo Atrato, la cuenca del río Sucio y el margen occidental de la cuenca del río Cauca. Acorde con esto, las muestras usadas para datación radiocarbónica también sitúan el nicho funerario en el siglo XVI, reportándose una antigüedad de 400 ± 30 años BP (Beta - 528426) y 390 ± 30 años BP (Beta- 528425).

Las vasijas encontradas en la cámara estaban dispuestas exprofeso, junto con los objetos líticos y el cambio de posición de estos objetos a causa de la perturbación del contexto fue mínima. La presencia de fragmentos óseos en el interior de las vasijas corresponde con el efecto del colapso de la cúpula de la cámara y la caída de partes óseas depositadas arriba de esta estructura, descartándose que los retos hubiesen sido depositados intencionalmente dentro de las mismas. En cuanto a los hallazgos de presencia de carbón, se considera que confirman su exposición al fuego con fines rituales, dada la presencia de hollín en la parte basal externa y sedimento carbonizado adherido a las paredes internas de estos artefactos. Finalmente, en relación con la cantidad de vasijas encontradas y su asociación con el mínimo número de individuos (MNI) estimado en el análisis osteológico, que corresponde a 11 individuos en total (ver Anexo 2), se podría sugerir su vinculación con cada uno de los individuos inhumados en el nicho.

Según el registro realizado, fue posible identificar dos tipos de depósito primario que diferencian los restos más superficiales de los más profundos, resaltándose los siguientes hallazgos:

La diferencia entre los horizontes en los que se hallaron los restos óseos radica en la ubicación de unos y otros dentro de la cámara de la tumba, pues los restos humanos más superficiales corresponden a al menos un individuo dispuesto en decúbito lateral izquierdo con los miembros inferiores flexionados (ver **Figura 356**)[1], con una vasija ubicada debajo del cráneo, fragmentos de carbón y restos animales en proximidad del cuerpo, algunos de estos con huellas de procesamiento como muestra la **Figura 357**. Se considera que este depósito no tuvo mayor afectación por cuenta de los depósitos coluviales, ya que se encontraba dispuesto en nicho lleno y esto, aunado a la superposición del metate sobre el cráneo contrarrestó el efecto de masa de dichos depósitos sobre el cuerpo del individuo. Esto se corrobora a partir de la micro excavación del bloque del cráneo del individuo 1 y de la dispersión de partes encontrada en el análisis espacial de la distribución de segmentos corporales. Se considera que debió existir al menos otro individuo que compartía las mismas condiciones de inhumación y que el que sufrió la mayor afectación del conjunto funerario a causa de los movimientos del suelo y el colapso de la estructura en la parte superior.

Figura 356
Posición de individuos inhumados en el horizonte superficial y profundo



Digitalización, Biblioteca E[illegible] Dussán de Reichel. ICANH

[1] Esto se estableció por las anotaciones de excavación en campo, ya que los huesos largos se encontraron en un eje diferente al del cráneo, lo que es concordante con la posición descrita.

Figura 357
Restos de fauna con huellas de procesamiento



Digitalización, Biblioteca Especializada Alicia Dussán de Reichel. ICANH

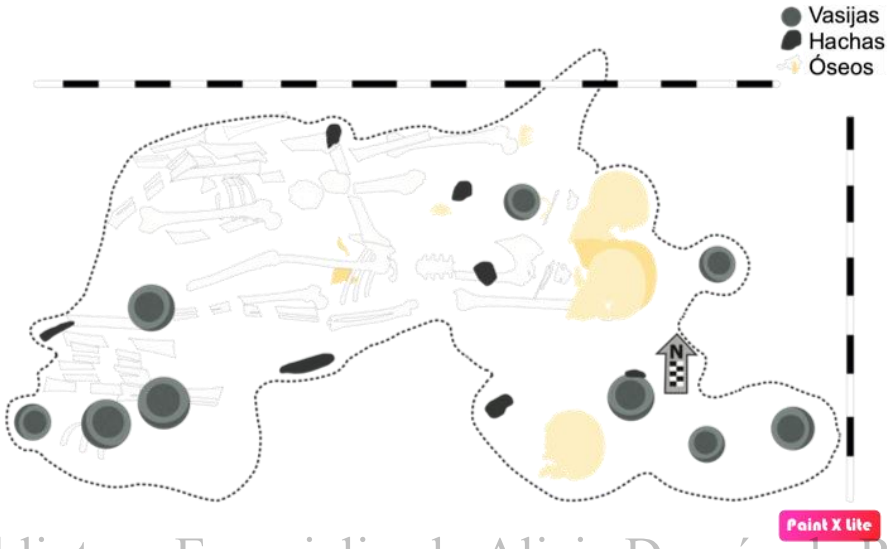
- El segundo patrón de enterramiento evidenciado corresponde a los cuerpos que se hallaban dentro de la cámara y que son al menos 9 individuos de diferentes edades. La distribución espacial de partes óseas concuerda con la colocación en decúbito lateral, ya fuera esta posición sobre el costado izquierdo o derecho, con el cráneo siempre en dirección al este. Esta forma tan consistente de disponer a los muertos puede constituir un rasgo significativo del tratamiento que se les brindaba y alguna connotación cosmogónica (Fahlander & Oestigaard, 2008; Hodder, 1992). Con base en la distribución de segmentos óseos y dentales recreada en las **Figura 358** y **Figura 359**, se consideran las siguientes posibilidades sobre la disposición original de los cuerpos:

    - La primera es que de la parte superior cayeran 2 o 3 esqueletos que quedaron sobre los esqueletos que ya estaban dispuestos en decúbito lateral.
    - La segunda, es que es probable que al menos 7 individuos se hallaran en la cámara, pero dadas las dimensiones del espacio en el que se concentran los restos, todos los individuos no podrían estar en posición de decúbito lateral o dorsal con miembros inferiores flexionados, sino que algunos de ellos podrían haber estado en posición sedente en cercanía de las zonas en las que se evidencia aplastamiento de los vestigios culturales y restos óseos. Esto también concuerda con la presencia de fragmentos de huesos largos apilados en los cuadrantes occidentales de la cámara y con posiciones variadas, las cuales pueden ser por desplazamientos generados por movimientos en masa de

esqueletos sin tejidos blandos, quedando los restos en disposiciones variadas como decúbito dorsal, ventral y lateral, en un mismo espacio.

Figura 358

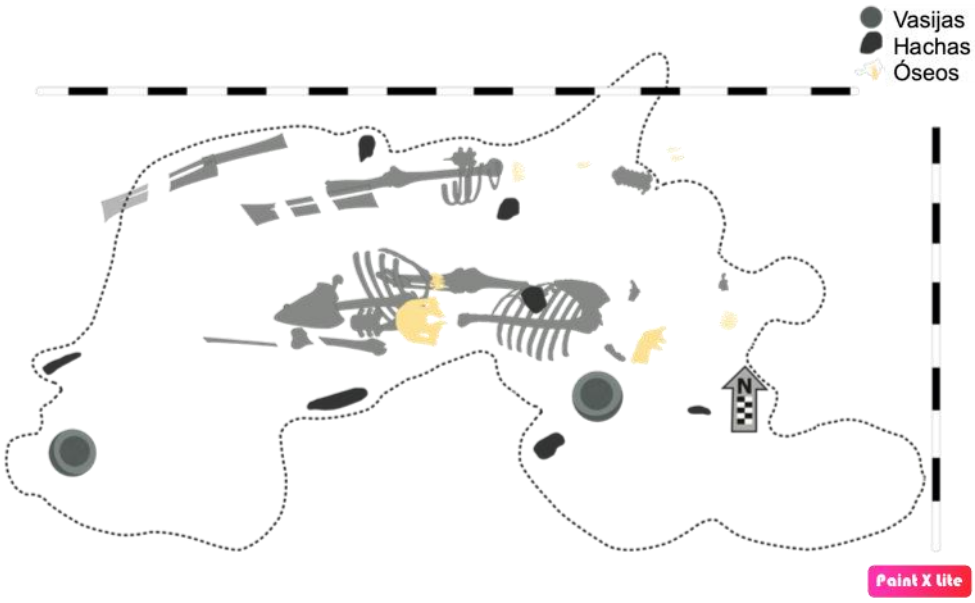
Dispersión de restos óseos en el plano superficial del pedestal



Digitalización, Biblioteca Especializada Alicia Dussán de Reichel. ICANH

Figura 359

Dispersión de restos óseos en el plano profundo del pedestal



ESQUEMA 4.

- De otra parte, la presencia de artefactos líticos como las hachas, la mano de moler y el cincel, mantuvieron su ubicación original sin ser desplazados en el plano horizontal por la caída de los restos óseos, lo que da cuenta del grado de deterioro que tenían los restos al caer y también, marca una diferencia en el tratamiento funerario brindado a los individuos de las tumbas más superficiales y a quienes se hallaron en las más profundas, dado que en las primeras el ajuar no se acompaña de la presencia de este tipo de artefactos líticos.

- Otro aspecto para resaltar es que los restos óseos recuperados y analizados no presentan huellas de manipulación perimortem que sugieran un procedimiento tanotológico o ritual que involucre la intervención directa del cuerpo, debido a no hay presencia de huellas de corte en los segmentos identificables, salvo en uno de los restos de fauna encontrados en el lecho más superficial. De igual manera, se reconocieron alteraciones de color de la superficie del hueso en colores blanco y negro, las cuales no fueron removibles durante el proceso de limpieza y curaduría. Se descartó en primera instancia que estos hallazgos fueran el resultado de termo alteración del tejido (Thompson, 2004; D. H. Ubelaker, 2009). Los cambios de color observados, también se registraron en algunas piezas dentales con un patrón moteado (ver **Figura 360**) y de acuerdo a lo referenciado en la literatura, estas manchas pueden darse por el contacto con el manganeso presente en los suelos con que los restos han tenido contacto a lo largo de su inhumación y las porciones blancas, pueden ser consideradas como producto de la degradación del tejido (Fernández-Jalvo & Andrews, 2016).

Digitalización, Biblioteca Especializada Alicia Dussán de Reichel. ICANH

Figura 360
Cambios de coloración del tejido óseo y dental



Nota: Se observan las manchas oscuras en patrón moteado, se diferencian tafonómicamente de la oxigenación del tejido durante la termoalteración.

Debido a la caracterización de las prácticas reseñada en los apartados anteriores, se corrobora la existencia de dos tipos de enterramientos, diferenciadas por la asociación de artefactos líticos con los cuerpos y el tipo de nicho en el que se disponen los restos humanos. Si bien, a través de este análisis se ha podido establecer la secuencia de perturbación de la tumba de pozo con cámara, se corrobora con la datación radiocarbónica que son prácticas funerarias del periodo tardío, ya que se ubican en el siglo XVI d. C., por lo que se considera que hay un tratamiento diferencial que puede obedecer a la condición social o el estatus de los inhumados, pues tanto los objetos asociados a los esqueletos, como su condición de salud (ver sección de condiciones de vida del apartado 3 del presente informe), podrían explicar esta distinción entre los patrones reconstruidos. Otra posibilidad, es que la disposición fuera de la cámara, pueda ser una expresión del sincretismo que se forjó en las comunidades que habitaban la región para el momento del contacto, siendo un rasgo del cambio estructural que generó la Conquista española en el norte de Suramérica (Pérez & Alderte, 2000), lo cual, también se ha visto en diferentes contextos funerarios de este mismo periodo en diferentes partes del continente (Cadena, 2016; Chacón, 2005; Guillén, Nicolás, & Arroyo, 2009; Klaus, 2014). Para el caso de Dabeiba, es probable que la orientación, posición y asociación con fauna hagan parte de los rasgos de enterramientos prehispánicos, mientras que la disposición fuera de la estructura puede indicar la incorporación de las prácticas funerarias europeas.

5.3.3 Análisis osteológico

Digitalización Biblioteca Especializada Alicia Dussán de Reichel ICANH

Para el análisis osteológico se tuvo en cuenta el conteo de segmentos corporales (Baustian et al., 2014; Marín-Arroyo, Madgwick, Brugal, & Moreno-García, 2012; Stodder, 2018) y se procedió a la estimación del perfil biológico a partir del segmento anatómico con mayor representación en la excavación, que en este caso corresponde a las piezas dentales, las cuales, fueron halladas en 7 de los 60 bloques analizados y los bloques 147 y 148, fueron los que tuvieron más presencia de conjuntos dentales (ver **Figura 361**). En este contexto se documentó la presencia de 237 piezas dentales en total, las cuales fueron agrupadas según su ubicación espacial, la contigüidad de las piezas durante la exploración de los bloques en laboratorio, los cambios tafonómicos (Stodder, 2018), el patrón de desgaste (Lovejoy, 1985) y el grado de desarrollo dental (White, 2000, 2005), además de la posibilidad de asociación por acople de las superficies oclusales de los molares en los casos en que el desgaste y la tafonomía coincidieran (White, 2005).

Figura 361
Exposición de piezas dentales durante la microexcavación de los bloques en laboratorio



Nota: Se observa a la derecha la exposición de coronas dentales sin raíz de un maxilar y a la izquierda se observan superficies oclusales de parte de una arcada dental maxilar parcialmente conservada.

- **Estimación del Mínimo Número de Individuos (MNI)**

De acuerdo con el abordaje y conservación de las relaciones anatómicas de los fragmentos óseos en los bloques, fue posible individualizar esqueleto craneal y post craneal del individuo que se encontraba más superficial y el cráneo con mayor preservación en los bloques, que se encontraba asociado a partes de la columna y miembros superiores. Sin embargo, en ausencia de los segmentos anatómicos que permiten hacer asociación, se trabajó el segundo cráneo con sus respectivas arcadas dentales como un individuo independiente, lográndose asociar una mandíbula hallada en dos cuadrículas de excavación más abajo del cráneo, dicho segmento cumplió con los criterios tafonómicos, de desgaste y de acople para la asociación, por lo que redujo el conteo inicial de individuos que, según la distribución espacial, que inicialmente se elevaba a 12.

Digitalización, Biblioteca Especializada Alicia Dussán de Reichel. ICANH

Pese a que según el conteo de las piezas dentales general en sensu estricto se contabilizaron 10 individuos, 1 de ellos con fase de desarrollo entre los 5 y 6 años por conteo de incisivos y caninos deciduales, 3 con dentición mixta por conteo de segundos molares deciduales y 6 con dentición permanente por conteo de caninos maxilares, premolares maxilares y molares 1 y 2, de la arcada maxilar. La agrupación por distribución espacial, patrón de desgaste y fases de desarrollo dental, permitió ampliar este conteo a 11 individuos (ver Anexo 2).

- **Perfil biológico**

La mayoría de las conclusiones del perfil biológico se basaron en el análisis dental, ya que de allí se provee información relacionada con el sexo, edad, filiación biológica y condiciones de vida y salud de un individuo (Hillson, 2002, 2005). Para la estimación de edad se tomó en cuenta el grado de desarrollo dental (Buikstra & Ubelaker, 1994; D. Ubelaker, 1987) y el patrón de desgaste maxilar y mandibular generándose un rango de edad posible (Lovejoy, 1985), mismo que permite ubicar a los individuos en 4 grupos de edad como se describe en la **Figura 362**. La estimación de sexo se basó en características craneales para los individuos 1 y 2 (White, 2005), mientras que para los individuos restantes esta estimación se basó en la métrica de los caninos maxilares

y mandibulares (Hillson, 2002), partiendo de la premisa de dimorfismo en relación a la diferencia de tamaño de las estructuras según el sexo biológico (Milner & Boldsen, 2012).

Figura 362

Grupos de edad por rangos de edad estimados osteológicamente

Grupo de edad	Rango estimado
Infante	5 a 9 años
Juvenil	10 a 14 años
Adulto joven	15 a 24 años
Adulto medio	25 a 40 años

El conjunto de individuos pertenecientes al contexto funerario del sitio arqueológico A618, se compone de 11 individuos, cuyas edades, sexo se especifican en la tabla 3. Se considera que la clasificación de individuos en la categoría de indeterminados para sexo, obedece a las limitaciones existentes en relación al volumen da datos recuperados para la muestra, pues para establecer el rango de variación de las dimensiones de los caninos, se excluyen a aquellos dientes que tengan algún grado de desgaste y por ende, la muestra de datos para hacer análisis discriminante no es apropiada y además, se desconocen datos de poblaciones biológicamente cercanas con las que se puedan equiparar las dimensiones dentales para tomarlas como referente.

Digitalización, Biblioteca Especializada Alicia Dussán de Reichel. ICANH

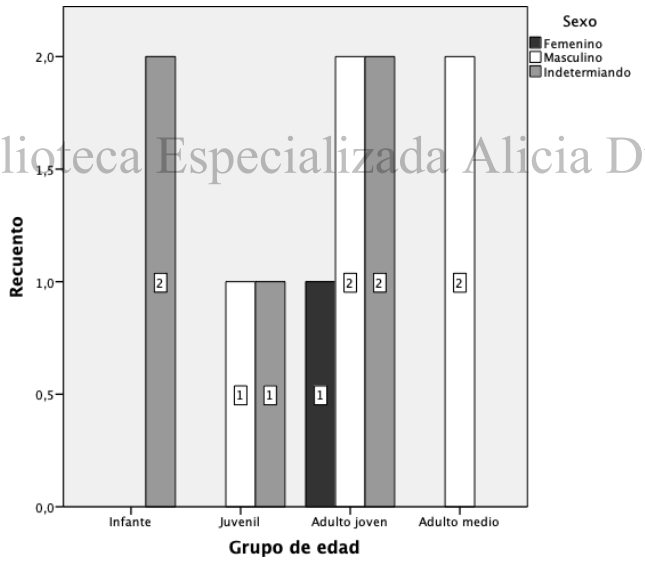
Tabla 28

Caracterización biológica de los individuos hallados en el sitio arqueológico A618 de Dabeiba, Antioquia

Individuo	Edad	Sexo
147c8d8Aj2	18 - 22	Indeterminado
148C7b1Aj	20 - 24	Indeterminado
180d8Aj2	24 - 30	Probablemente Masculino
180d8	20 - 24	Probablemente Masculino
149c4	10,5 - 12	Probablemente Masculino
147c8d8C3	6,5 - 8	Indeterminado
148A1	8,0 - 10	Indeterminado
147c8d8A1	15 - 18	Probablemente Femenino
147c8d8B	11,0 - 13	Indeterminado

DBCM2Ind2	35 - 40	Masculino
DBCM2Ind1	16 - 20	Masculino

Figura 363
Distribución de edades a la muerte de los individuos del sitio A618



Digitalización, Biblioteca Especializada Alicia Dussán de Reichel. ICANH

Por otra parte, llama la atención la alta concentración de individuos juveniles en el mismo contexto y la estructura demográfica del grupo que muestra la **Figura 363**, en la que los individuos jóvenes representan el 46% de la muestra. Las implicaciones que tiene el hallazgo, indican un patrón de mortalidad atípico, ya que los rangos de edad observados, son en los que se espera no haya una representación notable de una población con mortalidad atricional, ya sea en poblaciones arqueológicas o contemporáneas (Chamberlain, 2006).

La filiación biológica de al menos 7 individuos pudo establecerse a partir de rasgos morfológicos dentales que son característicos de las poblaciones nativo americanas como el diente en pala y las perlas de esmalte (Hillson, 2005; Scott, 2008), los cuales se exponen en la fotografía 9.

También se observó la presencia de un tubérculo dental con grado de expresión en rango 7, según la clasificación ASUDAS (Scott, 2008), sin embargo, este rasgo no tiene una asociación específica con algún grupo poblacional y de hallarse, la expresión del mismo en otros enterramientos de la región ayudaría a establecer relaciones biológicas entre las distintas poblaciones que habitaron esta región en tiempos prehispánicos.

Figura 364

Rasgos morfológicos dentales del conjunto funerario del sitio A618 de Dabeiba

Digitaliz[illegible]oteca Especializada [illegible] Reichel. ICANH



Nota: A la derecha se observan los incisivos en pala con grado de expresión 5 en la escala ASUDAS, a la izquierda en la parte superior se observa la perla de esmalte en la raíz del tercer molar y en la parte inferior izquierda se encuentra el tubérculo dental con grado de expresión 7 en la escala ASUDAS.

Figura 365
Lesiones porórticas y osteolíticas en cráneo



Digitalizac… …a A… …el. ICANH



Nota: Arriba a la derecha está el hueso frontal con lesión osteolítica y detalle de la lesión, a la izquierda arriba está la vista interna del hueso occipital con lesión porótica y lesión osteolítica, ambas observadas en detalle de la imagen. Abajo a la derecha se encuentra de cara interna de hueso occipital con detalle de lesiones osteolíticas y abajo a la derecha se observa vista ectocraneal del parietal con lesión porótica inactiva.

Digitalización, Biblioteca Especializada Alicia Dussán de Reichel. ICANH

En cuanto a las condiciones de vida y salud documentadas en los individuos del contexto, llama la atención la presencia de lesiones poróticas con expansión medular en estado inactivo (Walker, Bathurst, Richman, Gjerdrum, & Andrushko, 2009), asociadas a lesiones osteolíticas en la bóveda craneal (Ortner, 2003), las cuales, afectan tanto la tabla externa como la tabla interna del hueso y comprometen los huesos occipital, parietal y frontal, como se observa en la **Figura 365**. Estas lesiones se documentaron con el mismo patrón en los cráneos de los individuos 1 y 2, pero no se encuentran hallazgos similares en otros fragmentos de cráneo de otros individuos, en parte esto se debe a que el estado de conservación de segmentos óseos del cráneo en los bloques de pedestal no permitía el reconocimiento de superficies mayores a $2cm^2$ de la tabla ósea y en muchos casos, el hueso se encontraba adherido a rocas que despegaban el tejido compacto, desintegrando buena parte de los huesos que al momento de la exposición lograron reconocerse y lograron registrarse en el proceso de micro excavación. No obstante, debido al grado de compactación del tejido óseo, se consideró la flotación de estas porciones compactadas y por medio de este método, fue posible recuperar buena parte de las piezas dentales, pese a que la raíz de los dientes en su mayoría no pudo conservarse, tal como lo evidencia la **Figura 366.**

Figura 366
Piezas dentales recuperadas con pérdida de la raíz



Digitalización, Biblioteca Especializada Alicia Dussán de Reichel. ICANH

Figura 367

Fémures restaurados con huellas patológicas



Nota: A la izquierda se observa fémur de individuo 1 en su vista posterior y fragmentos de fémur contralateral del mismo individuo restaurado y con lesiones visibles en la superficie señaladas con flechas

Digitalización: Biblioteca Especializada Alicia Dussán de Reichel ICANH

Otro hallazgo que se relaciona con las lesiones del cráneo corresponde a cambios por pérdida de tejido óseo en vértebras torácicas y fémures (ver **Figura 367**Figura 367), que se consideran lesiones similares a las observadas en el endocráneo de los individuos 1 y 2. En la literatura disponible, estas lesiones son compatibles con procesos infecciosos a nivel sistémico, sin embargo, la lesión osteolítica es más atípica y no se encuentran muchos casos descritos (Aufderheide, Rodríguez, & Langsjoen, 1998; Ortner, 2003; Waldron, 2009), por lo que se sugiere que el comportamiento de la lesión también pueda a obedecer a problemas metabólicos que será necesario explorar con ayudas diagnósticas y análisis a nivel paleohistopatológico (Brickley & Ives, 2008; Schultz, 2001).

Otros marcadores observados en el conjunto, fue la presencia de huellas óseas de estrés fisiológico como hipoplasias de esmalte y patologías dentales. La frecuencia de estos marcadores fue relativamente baja como se observa en la **Figura 368**, viéndose que las caries más frecuentes fueron en los primeros molares permanentes y molares deciduales, mientras que las hipoplasias se observaron en caninos maxilares y mandibulares. Algunos de los hallazgos se presentan en la **Figura 369**.

Figura 368

Marcadores de estrés dental

Indicador	Frecuencia relativa
Hipoplasias de esmalte	2/8
Caries	7/234
Enfermedad periodontal	1/2

Figura 369
Marcadores de estrés fisiológico en dientes



Digitalización, Publicación Especializada Alicia Poveda Pinzón de Reichel. ICANH

En cuanto a los hallazgos generales de esqueletos poscraneales, se resalta la alta frecuencia de fragmentos de huesos largos como fémur, tibia y húmero, encontrándose segmentos de la diáfisis de estos huesos largos de un esqueleto subadulto, cuya edad no es posible estimar dado el grado de fragmentación de los retos, pero que, por sus características de desarrollo de núcleos secundarios de osificación y dimensiones, puede oscilar entre los 4 a 6 años. Así mismo se reconocieron varios fragmentos de costillas y elementos de la cintura escapular, siendo la porción cercana a la cavidad glenoidea, el segmento más representado en diferentes edades. De otra parte, unas de las partes con menor representación dentro del conjunto de restos mezclados, corresponden a huesos de la mano y el pie, de los cuales, solo se encuentran algunos fragmentos de carpos, metacarpos y tarsos. Finalmente, el segmento con menor representación y preservación dentro del conjunto, correspondió a la pelvis, que superó a la columna vertebral, cuyo índice de preservación se esperaba fuese menor, de acuerdo con lo reportado en la literatura (Mays, 2005).

- **Restos de fauna**

Se evidenciaron restos óseos no humanos, cuya morfología, estructura y textura (Chaix, Méniel, & Mangado, 2005), permitieron reconocer y catalogar partes de vértebra, fragmentos de huesos largos, coxal y cráneo con características que corresponden morfológicamente al orden Mamalia,

sin poderse especificar más detalles taxonómicos (ver **Figura 370**Figura 370). En un segmento de la carilla auricular de un coxal, como se mencionó en el apartado 1, fue evidenciada una huella de corte a nivel de la articulación sacro-coxal de un mamífero subadulto, la cual se interpretó como evidencia de procesamiento del animal. En los demás restos óseos no humanos, no se encontraron estas huellas. También, se resalta de este conjunto de ecofactos, su asociación principalmente con los restos más superficiales y la probable relación que estos restos pudieron tener con los enterramientos superficiales como parte de su ajuar. Sin embargo, pese a que estos restos fueron más escasos en los planos profundos de la excavación, no se puede descartar la inexistencia de este tipo de ofrendas dentro de la tumba de pozo con cámara.

Figura 370
Restos de fauna hallados en el sitio A618 de Dabeiba, Antioquia



Digitalización, [illegible] de Reichel. ICANH

5.4 Análisis lítico

A continuación, se presenta el resultado de los análisis tecnológicos y morfo-funcionales de los diversos artefactos líticos recuperados en la fase de rescate y monitoreo del Plan de Manejo Arqueológico aprobado por el ICANH, para la licencia 7231, a partir de una clasificación taxonómica de variables cualitativas y cuantitativas básicas para dar cuenta de su elaboración y uso. Estas fueron sometidas a análisis estadísticos, generando gráficos y tablas de frecuencias, teniendo en cuenta la densidad de los artefactos recuperados y analizados por yacimiento arqueológico. Estas interpretaciones informan del empleo de una diversidad de rocas locales y comunes en esta región de Antioquia; materias primas empleadas para la elaboración de artefactos líticos tallados en su mayoría, pero también se han identificado algunos artefactos líticos modificados por uso y pulimentados, estos últimos especialmente en contextos funerarios.

De igual manera, se realizó un análisis de los artefactos líticos a nivel microscópico, que ha permitido una interpretación más detalla de algunos de estos utensilios, en términos de esclarecer su uso en acciones funcionales para el corte, raspado y raer, entre otros. A partir de observar en los filos y superficies de contacto, pequeños desconchamientos o microdesgastes, característicos, de las huellas de uso y morfologías de implementos líticos involucrados en actividades de molienda y procesamiento de diversos materiales. Los alcances de este proyecto no contemplan metodologías como la traceología. Por lo que determinar los materiales, sobre los que estos artefactos fueron utilizados, no será contemplado.

Este análisis tecnológico y morfo-funcional, se hace a partir de 239 elementos líticos la mayoría tallados como ya se ha mencionado; se reparten en 24 sitios arqueológicos. Inicialmente se hace una descripción general y luego, se analizan las frecuencias y porcentajes de aquellos sitios con mayor cantidad de evidencias, dado que, la estadística es más contundente en universos más densos.

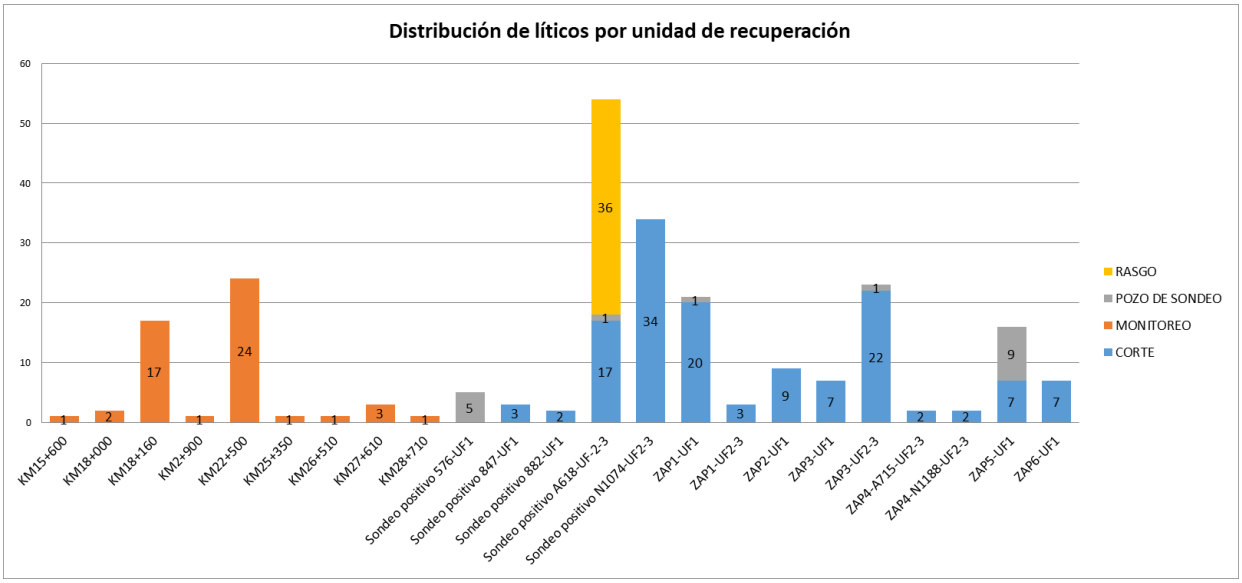
Los sitios con evidencias líticas se analizan de forma separada, ofreciendo resultados significativos a pesar de las bajas frecuencias, sobre los aspectos tecnológicos en asociación con un número importante de artefactos cerámicos que indudablemente dará pistas sobre la categoría de estos contextos arqueológicos y su temporalidad.

Para esta clasificación lítica se tuvieron en cuenta todos aquellos artefactos con evidencias de haber sido tallados, pulimentados o modificados por uso; incluso algunos sin huellas aparente de uso, pero que su contextualización y formación o génesis geológica no corresponden al lugar, como el caso de algunos cantos o guijarros que indudablemente fueron llevados al lugar dado su contexto y posición estratigráfica; este tipo de elementos fueron tenidos en cuenta en esta clasificación lítica.

Digitalización Biblioteca Especializada Alicia Dussán de Reichel - ICANH

Evidentemente la distribución espacial de los sitios arqueológicos en un proyecto vial como este es diverso y restringido al área de obra, también las evidencias arqueológicas son heterogéneas no solo cualitativamente, si no cuantitativamente, lo que se evidencia en unas frecuencias muy variables y que podría estar dando cuenta de, no solo temporalidades diferentes, sino también de categorías de yacimientos, que en todo caso habría que construir.

Figura 371
Distribución de líticos



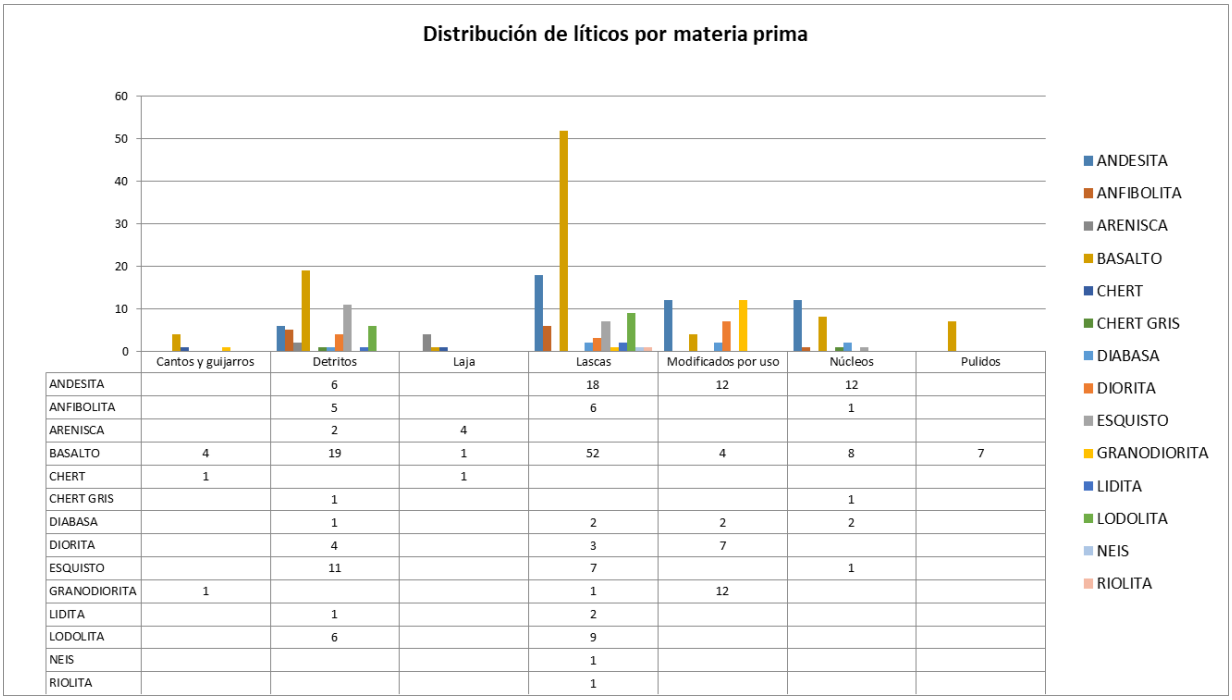
Durante los recorridos constantes y monitoreos arqueológicos llevados a cabo en las actividades de remoción de suelos para las obras civiles del proyecto, se observa en cárcavas y quebradas toda una disponibilidad de recursos geológicos de carácter regional, proporcionando a nivel local los recursos bióticos y abióticos necesarios para la interacción con el medio ambiente. Los materiales observados en estas áreas, corresponden a depósitos compuestos por gravas, cantos rodados, bloques, guijarros, arenas, limos y arcillas, originados por corrientes superficiales de agua desde las zonas montañosas hacia los terrenos bajos de topografía suave, donde se deposita la carga de sedimentos y escombros de rocas locales como andesitas, dioritas, anfibolitas, cuarcitas, diabasas esquistos, entre otros.

Digitalización y Biblioteca Especializada Alicia Dussán de Reichel ICANH

Las frecuencias de materias primas encontradas, muestran mayor abundancia de basaltos y en menor medida, andesitas y esquistos. Adicionalmente, se reportan otras materias primas de menor frecuencia que indudablemente dan cuenta de la diversidad de recursos y las elecciones para la tecnología lítica hechas por los ocupantes prehispánicos de la zona. Se hallaron artefactos líticos en anfibolita, arenisca, chert gris (muy común en las formaciones sedimentarias de la cordillera occidental), diabasa, diorita, granodiorita, lidita, lodolita gneis y riolita; evidentemente la oferta abiótica es generosa en la zona y fueron recursos empleados en la elaboración y uso de artefactos tallados, pulidos y modificados por uso.

Figura 372

Materias primas identificadas en la confección y uso de herramientas líticas



	Cantos y guijarros	Detritos	Laja	Lascas	Modificados por uso	Núcleos	Pulidos
ANDESITA		6		18	12	12	
ANFIBOLITA		5		6		1	
ARENISCA		2	4				
BASALTO	4	19	1	52	4	8	7
CHERT	1		1				
CHERT GRIS		1				1	
DIABASA		1		2	2	2	
DIORITA		4		3	7		
ESQUISTO		11		7		1	
GRANODIORITA	1			1	12		
LIDITA		1		2			
LODOLITA		6		9			
NEIS				1			
RIOLITA				1			

Digitalización, Biblioteca Especializada Alicia Dussán de Reichel ICANH

En términos de la selección de la materia prima para los sitios registrados se evidencia una clara predilección por los basaltos y andesitas, tal vez por su tenacidad y resistencia a la hora de ejercer actividades como cortar y raspar, permitiendo que su filo dure más que otras materias primas. Para el caso del chert y la lidita, se sabe que estas rocas generan unos filos muy cortantes, no obstante, la disponibilidad es escasa y eventualmente se encuentran pequeños guijarros en la zona; llama la atención la presencia de esquistos que, por su génesis metamórfico, no presenta una fractura concoidea y sus filos suelen desgastarse rápidamente, aun así, su frecuencia es significativa, convirtiéndose en un recurso importante y tal vez expedito en su funcionalidad y abundante en el área de estudio.

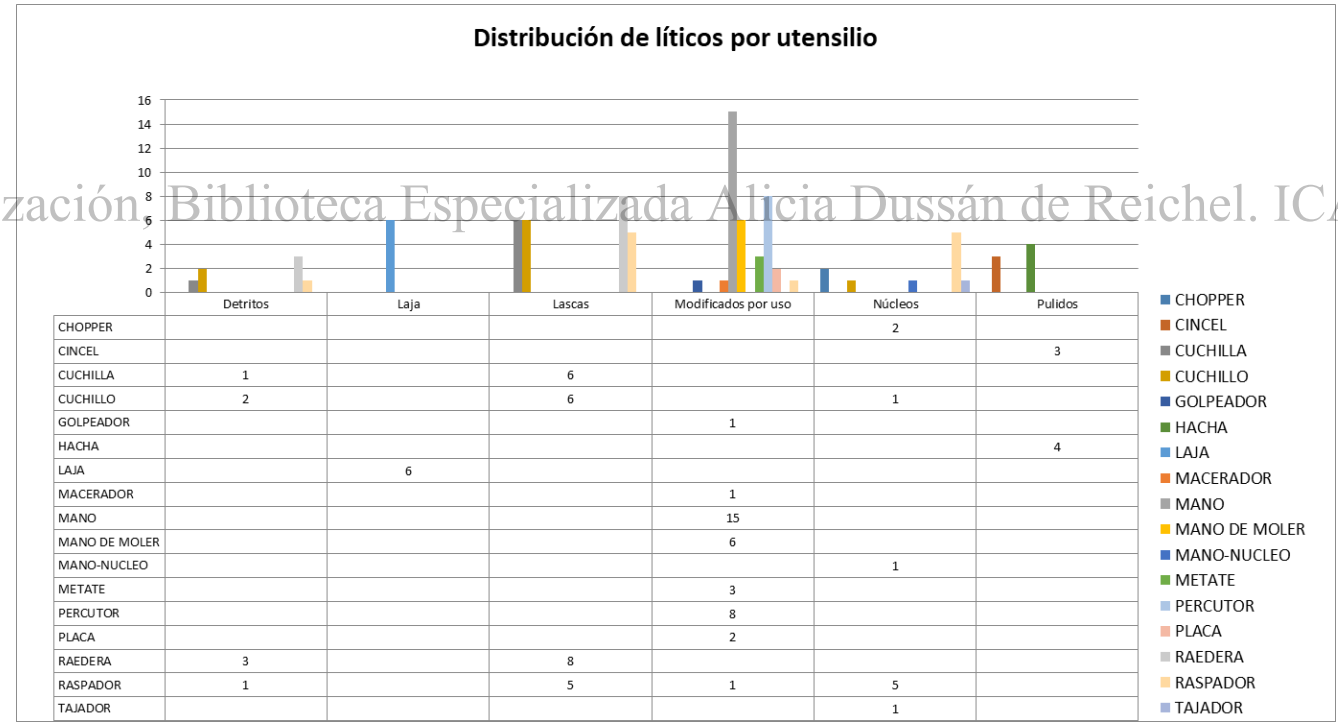
El análisis hecho a los elementos líticos que se excavaron, permitió identificar 218 elementos completos que corresponde al 91%, mientras que los incompletos sumaron un total de 21 elementos que corresponde al 9 % del total de los líticos clasificados.

El registro arqueológico de los artefactos líticos, presenta un porcentaje alto de artefactos lasca, donde se cuenta con una frecuencia de 107 artefactos, estos se dividen en lascas primarias, lascas secundarias y lascas terciarias. Metodológicamente, cuando se da inicio a un proceso de talla, las lascas desprendidas conservan en su totalidad de la parte dorsal restos corticales de los cantos o bloques; inicialmente en la categoría de lasca primaria, se identifican 14 elementos que corresponden al 13%, las lascas secundarias son las que predominan con un total de 68 elementos, lo que corresponde al 64% del total, finalmente, están las de tercer orden de extracción con 25 unidades que equivalen al 23%.

Los anteriores datos sugieren que tecnológicamente las actividades de talla se enfocaron en producción de instrumentos de corte a partir de lascas, lo que evidentemente es favorecido por la calidad de las materias primas utilizadas en su confección, en este sentido, la mayor frecuencia en lascas secundarias seguido de las terciarias, sugiere también un aprovechamiento de los núcleos en la generación de filos cortantes.

Para el caso de los artefactos líticos definidos como utensilio por sus características formales y tipológicas, las cuales en muchos casos determinan la funcionalidad de los utensilios, se tienen las siguientes frecuencias: un total que consideramos alto de 92 unidades, donde lo que predomina en nuestro conjunto artefactual lítico tiene que ver con 21 elementos considerados como manos de molienda (23%), se identificó también 12 raspadores, 11 raederas, 9 cuchillos, 8 percutores, 7 cuchillas, además de hachas, cinceles, 6 lajas, un chopper, un golpeador, un macerador, un metate, dos placas de molienda, un tajador y un artefacto identificado como una mano de moler que posteriormente fue utilizado como núcleo y un crisol de piedra en RS.

Figura 373
Utensilios líticos



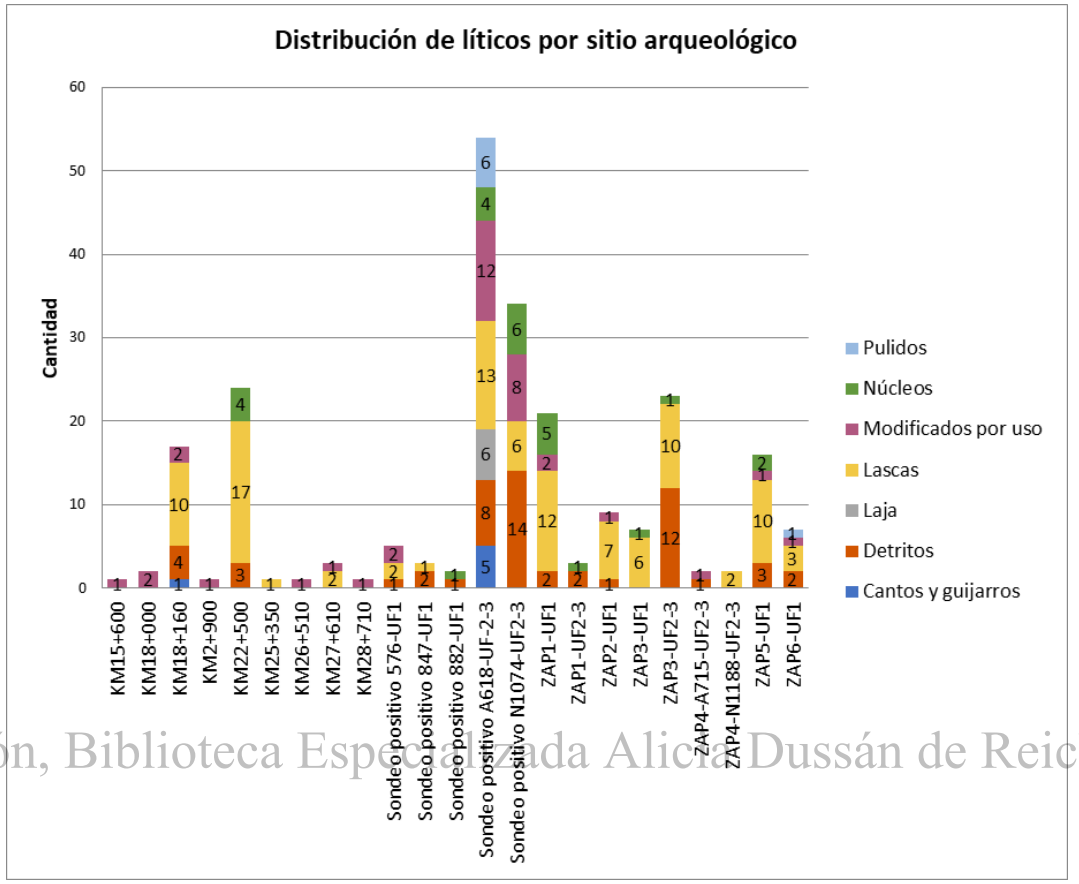
	Detritos	Laja	Lascas	Modificados por uso	Núcleos	Pulidos
CHOPPER					2	
CINCEL						3
CUCHILLA	1		6			
CUCHILLO	2		6		1	
GOLPEADOR				1		
HACHA						4
LAJA		6				
MACERADOR				1		
MANO				15		
MANO DE MOLER				6		
MANO-NUCLEO					1	
METATE				3		
PERCUTOR				8		
PLACA				2		
RAEDERA	3		8			
RASPADOR	1		5	1	5	
TAJADOR					1	

Digitalización, Biblioteca Especializada Alicia Dussán de Reichel. ICANH

Las frecuencias evidencian una muy importante cantidad y diversidad de utensilios, en las categorías de pulidos, tallados y modificados por uso; en este caso, favorecidos también por la diversidad y calidad de las materias primas.

Figura 374

Distribución de líticos en sitios arqueológicos



Digitalización, Biblioteca Especializada Alicia Dussán de Reichel. ICANH

Como se evidencia, este análisis corresponde a la totalidad de los elementos líticos en todos los 23 sitios arqueológicos donde fueron recuperados, la descripción de todo el material lítico se realizó de acuerdo a la unidad de recuperación, la materia prima y el tipo de utensilio.

Teniendo en cuenta que solo hay cuatro sitios con mayor densidad de artefactos líticos y que estadísticamente los sitios restantes no son significativos para hacer conclusiones determinantes sobre la tecnología y funcionalidad de los artefactos, no se desglosan los resultados de la totalidad de la muestra. De acuerdo con lo anterior nos enfocamos en la descripción de los sitios Pozos de sondeo positivo A618 y N1074, la ZAP3 UF2-3, y el hallazgo # 13 del monitoreo arqueológico.

5.4.1 Pozo de sondeo positivo A618

De todos los sitios arqueológicos registrados, el Pozo de sondeo positivo A618 es el que presenta mayores frecuencias de artefactos líticos. No obstante, de las tres unidades de recuperación, se presentan las mayores frecuencias en rasgos con un total de 36 unidades que equivalen al 67%; posteriormente, para el corte de excavación se reportan 17 elementos líticos con un porcentaje del 31%; finalmente, en pozos de sondeo se recuperó un elemento lítico para el 2%.

La estadística muestra que los rasgos se constituyen en la unidad de recuperación más importante, donde no necesariamente se incorporaron intencionalmente elementos líticos de gran tamaño como ajuar y ofrenda en estructuras verticales, sino que muchos de los elementos asociados estarían involucrados en la formación cultural de las mismas posiblemente con fines funerarios.

Dada la importancia de las excavaciones controladas, la distribución espacial de la lítica en el corte de intervención arqueológica muestra que en las cuadrículas 1 y 3 se presentaron las mayores frecuencias de artefactos con un total de 5 cada una, lo que equivale individualmente al 29%. La cuadrícula 9 se reportó con 2 elementos líticos, para un 12%; por otro lado, las cuadriculas 2, 4, 6, 7 y 8 contuvieron un lítico respectivamente (ver **Tabla 29**Tabla 29).

Tabla 29

Frecuencia de líticos por cuadrícula de corte estratigráfico A618

Cuadrícula	Frecuencia	Porcentaje
1	5	29%
2	1	6%
3	5	29%
4	1	6%
6	1	6%
7	1	6%
8	1	6%
9	2	12%
Total	**17**	**100%**

Digitalización, Biblioteca Especializada Alicia Dussán de Reichel. ICANH

La clasificación lítica muestra un aprovechamiento de los recursos abióticos muy diverso en sintonía con la descripción de las materias primas en términos generales en todo el proyecto. De la misma manera, las rocas más utilizadas son los basaltos con 12 unidades que equivalen al 22%; sin embargo, en este sitio los esquistos fueron utilizados con frecuencias levemente superiores a las andesitas, 15% para los esquistos y 13% para las andesitas. En el sitio se identificaron artefactos líticos en anfibolita, chert gris, diabasa, diorita, granodiorita, lidita y lodolita. Esta última consiste en una roca sedimentaria de color crema, si bien es muy liviana, tiene la característica de poseer una fractura concoidea y producir unos filos muy agudos, una de sus características es que se torna muy quebradiza, lo que ha favorecido la identificación de huellas de uso en forma de macro-desconchamientos (Ver Figura 375).

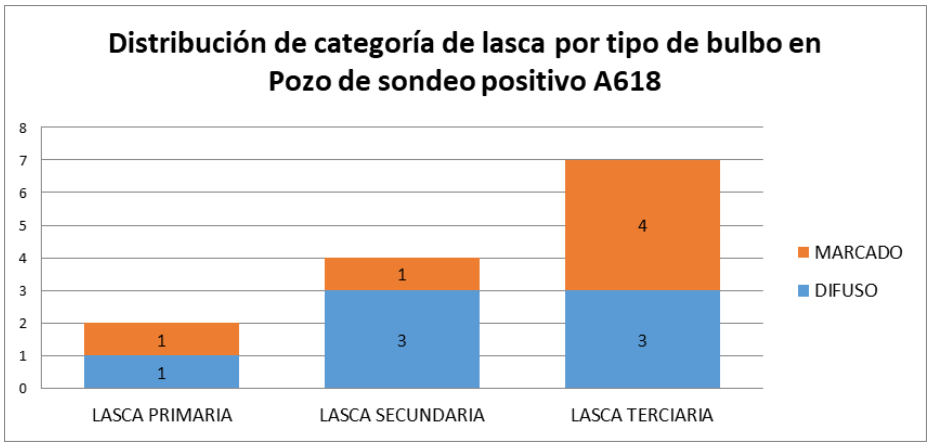
Figura 375
Lodolita con macrodesconchamiento



En tecnología lítica se reconocen algunas categorías que brindan información tecnológica valiosa para la interpretación de las decisiones tomadas a la hora de la confección y funcionalidad de los artefactos, esta información es posible conocerla con un análisis detallado de las características en lascas; en este sitio se cuenta con un total de 13 lascas en sus tres categorías. Aquí, generalmente los bulbos son difusos y marcados sin mostrar grandes diferencias. Para el caso de los bulbos difusos, en algunas ocasiones se trata de una morfología característica de la utilización de percutores posiblemente blandos en un proceso donde lo que se pretende es la obtención de lascas; sin embargo, en este caso podría tratarse de las características mecánicas de las materias primas transformadas, donde la calidad y el grano grueso en las rocas podría estar determinando las características morfológicas de los bulbos. En este caso se observa un bulbo difuso en las 7 lascas identificadas, predominando las de segundo y tercer orden de extracción, por otro lado, se identifican 6 lascas con un bulbo marcado, donde predominan las lascas de tercer orden con 4 unidades. Teniendo en cuenta el tipo de materias primas talladas en el SPA618, las frecuencias similares están muy relacionadas con la dureza y características mecánicas de las rocas trabajadas.

Digitalización, Biblioteca Especializada Alicia Dussán de Reichel, ICANH

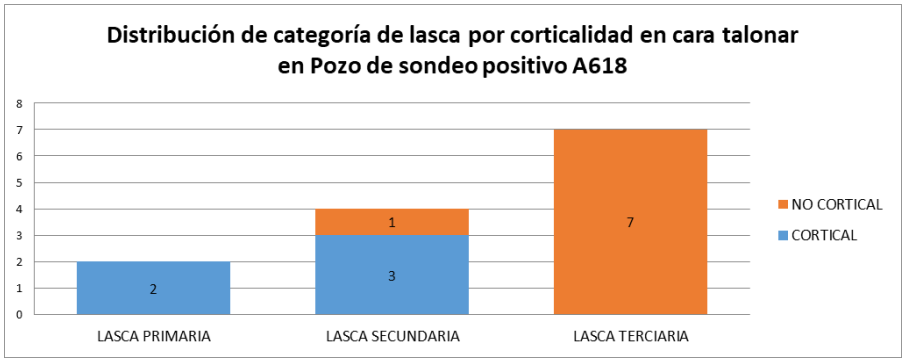
Figura 376
Tipo de bulbo en las lascas de A618



La presencia de mayores frecuencias talones no corticales en lascas, con un total de 8 unidades, sugieren que la estrategia tecnológica consiste en el aprovechamiento de las plataformas creadas a partir de extracciones previas en núcleos, es decir, luego de cada extracción se aprovechan las nuevas plataformas creadas en forma de negativos en los núcleos. Por el contrario, los talones corticales reflejan las superficies naturales de los soportes, posiblemente de cantos y bloques, identificándose 5 lascas con el talón cortical. Esto puede ser visto como una forma más rápida de obtener los productos deseados, mientras que los no corticales son aquí la predilección. El porcentaje de lascas sin un talón cortical, es indicativo de un aprovechamiento exclusivo y efectivo de las plataformas en los núcleos y es coherente con la identificación de estos en lascas terciarias producto de la optimización de materias primas de buena calidad y posiblemente producto de la confección y configuración de artefactos tecnológicamente más elaborados (Ver **Figura 377**).

Digitalización Biblioteca Especializada Alicia Dussán de Reichel ICANH

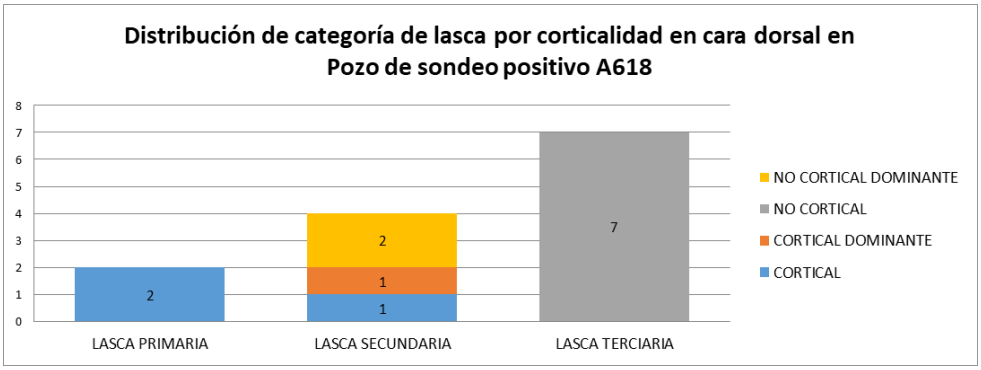
Figura 377
Corticalidad en cara talonar de lascas en A618



Por otro lado, la morfología de las lascas en su cara dorsal muestra diversos grados de corticalidad; en este sentido, predominan en 7 unidades los dorsos no corticales, todos ellos en lascas terciarias. Se identificaron también 3 lascas con dorso cortical, 2 en lasca primaria y 2 en lasca secundaria; por el contrario, se identificaron 2 lascas secundarias con dorso no cortical

dominante (Ver **Figura 378**). Los anteriores datos concuerdan en que se dio un máximo aprovechamiento de las materias primas de mejor calidad, dado que, la presencia mayor de lascas de tercer orden indica un proceso de talla intenso en la obtención de lascas posiblemente para corte y raspado.

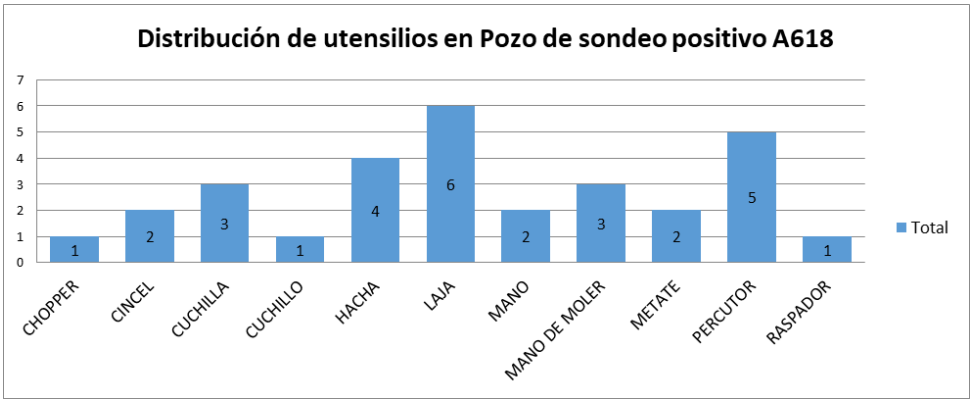
Figura 378
Cara dorsal en lascas de A618



Para este sitio arqueológico se presenta una frecuencia importante y variada de utensilios en las tres categorías tecnológicas de tallado, pulido y modificados por uso. De la misma manera, se relacionan también 6 grandes lajas asociadas a estructuras verticales o rasgos funerarios identificados en el corte 1; estas presentan la mayor frecuencia para un porcentaje de 20%. En la misma línea se identificaron 5 manos de moler asociadas a actividades de molienda y procesamiento de vegetales; de la misma manera, se identificaron 5 percutores con desgaste en sus extremos, estos involucrados en los procesos de talla. También se identificaron 4 hachas pulimentadas. Adicionalmente, se reconocieron en este sitio arqueológico un chopper, 2 cinceles, 3 cuchillas, 1 cuchillo, 2 metates y 1 raspador (ver **Figura 379**).

Digitalización, Biblioteca Especializada Alicia Dussán de Reichel. ICANH

Figura 379
Tipo de utensilios en SPA618



Dicha diversidad de artefactos en asociación con otros elementos culturales recuperados en esta intervención arqueológica, es coherente con lo representativo en un contexto de habitación y funerario, artefactos en las tres categorías tecnológicas que representan la diversidad funcional de dichos elementos.

Con respecto a los artefactos pulidos identificados en el sitio arqueológico, se determinó la sección trasversal de hachas y cinceles, en este sentido, se identificaron 3 artefactos de sección trapezoidal; 2 elementos de sección rectangular y finalmente 1 elemento de sección cilíndrica. En este mismo sentido, la morfología de los lomos en los pulimentados muestra que 5 elementos presentan un lomo convexo, mientras que, un artefacto presenta un lomo plano. La morfología de los filos en los pulidos deja ver 5 artefactos con el filo redondeado y un artefacto con el filo recto.

Figura 380
Cincel y Hacha ofrenda funeraria tumba A618



Digitalización, Biblioteca Especializada Alicia Dussán de Reichel. ICANH

Con respecto a los instrumentos empleados en actividades de corte y raspado, se identificaron 4 elementos que corresponden a una raedera con una delineación del retoque discontinuo, una chopper con una delineación del retoque discontinuo, un cuchillo con delineación del retoque continuo y finalmente un raspador con declinación del retoque continuo. Estos retoques presentan también una morfología, para la raedera es sinuosa, la chopper presenta una morfología sinuosa, el cuchillo presenta una morfología recta y el raspador una morfología sinuosa.

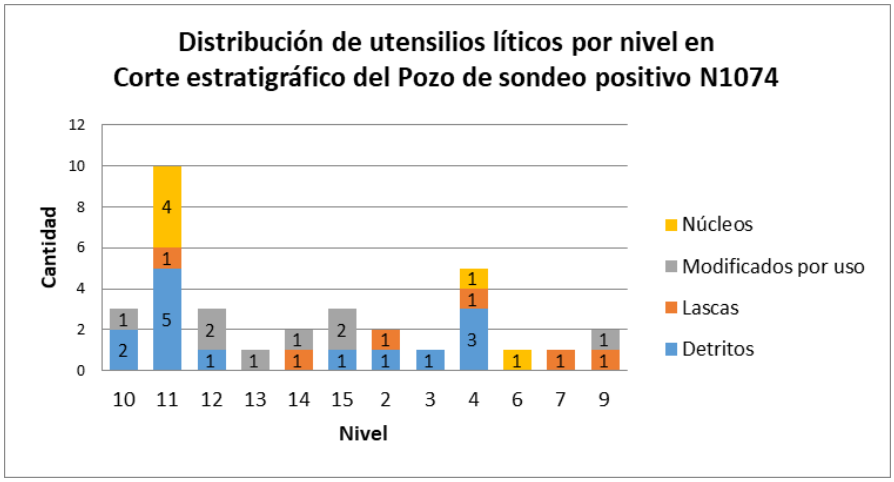
5.4.2 Pozo de sondeo positivo N1074

Este es otro de los sitios con mayor cantidad de líticos, allí se excavaron 3 cuadrículas con dichas evidencias y se reporta para la cuadricula 3 un total de 21 elementos, la cuadrícula 1 tiene una frecuencia de 9 artefactos líticos y la cuadrícula 2 con un total de 4 elementos.

La distribución vertical de las evidencias líticas en este corte de excavación muestra un comportamiento artefactual relativamente profundo con doce niveles de recuperación de dichos artefactos. En este sentido, hacia el nivel 11 se tiene la mayor frecuencia de líticos con un total de 10 elementos, con frecuencias más bajas se encuentra el nivel 4 con un total de 5 elementos. Los líticos restantes se distribuyen en bajas frecuencias en los otros diez niveles.

Las frecuencias aquí mostradas podrían estar sugiriendo dos estratos arqueológicos que representan a dos momentos de ocupación del sitio (ver **Figura 381**), donde las actividades humanas con dichos artefactos (manufactura y uso), fue más intensa y que deben interpretarse a la luz del comportamiento vertical de otros elementos arqueológicos recuperados en este corte de excavación.

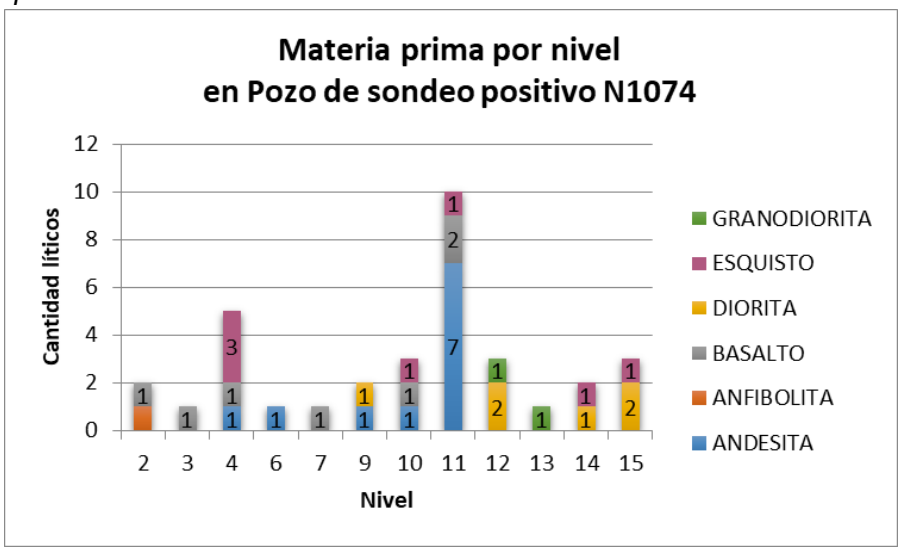
Figura 381
Utensilios líticos por nivel en N1074



Digitalización Biblioteca Especializada Alicia Dussán de Reichel ICANH

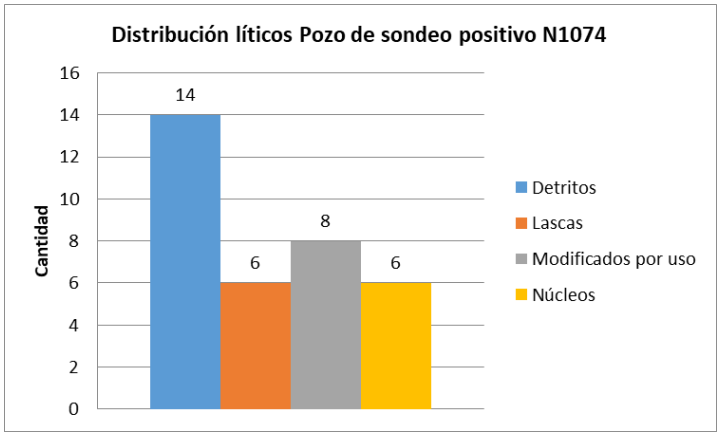
En sintonía con los párrafos anteriores, se relaciona la materia prima por nivel, mostrando en primer lugar que, las rocas más empleadas en la manufactura y uso de artefactos líticos para el sitio, es la andesita, donde 7 de los 10 elementos líticos del nivel 11 son rocas de este tipo, posteriormente el basalto y los esquistos son ampliamente utilizados en manufactura y uso de artefactos; se emplearon también rocas en anfibolita, diorita y granodiorita (Ver **Figura 382**).

Figura 382
Materia prima por nivel en SPN1074



En descripción de tecnología lítica para los artefactos tallados, no es menos importante para los desechos de talla tener en cuenta los elementos considerados como detritos; estos si bien son desechos no deseados por el tallador y generalmente son amorfos, suelen ser empleados aquellos que puedan considerarse útiles para cortar, perforar, raspar o raer. En el Pozo de sondeo positivo N1074 se tiene una frecuencia de 14 elementos que alcanza el porcentaje 41,2%; esta frecuencia es alta en relación al universo lítico del sitio, lo que claramente es un indicador de actividades de talla en el lugar (Ver **Figura 383**).

Figura 383
Frecuencia de detritos en SPN1074



Digitalización, Biblioteca Especializada Alicia Dussán de Reichel, ICANH

Teniendo en cuenta los aspectos fundamentales e importantes en tecnología lítica tallada, es también determinante tener en cuenta los artefactos del tipo núcleo; de los 34 elementos líticos clasificados, 6 corresponden a núcleos para un 17,6%, complementando también la hipótesis de actividades de talla en el sitio.

En el mismo sentido del análisis a los desechos de talla que posiblemente se presentó en el sitio, se cuenta también con lascas como el elemento más importante para complementar tecnológicamente los procesos de talla. En este sentido, se cuenta con 6 lascas secundarias para un 17,6% del total del conjunto lítico clasificado.

En términos generales para este sitio, predominan los bulbos difusos con 5 unidades; por otro lado, un bulbo marcado en lasca secundaria. Estos bulbos difusos son una morfología característica de la utilización de percutores de gestos técnicos específicos, percutores blandos y calidad de las materias primas durante la extracción, la reducción o adelgazamiento de artefactos.

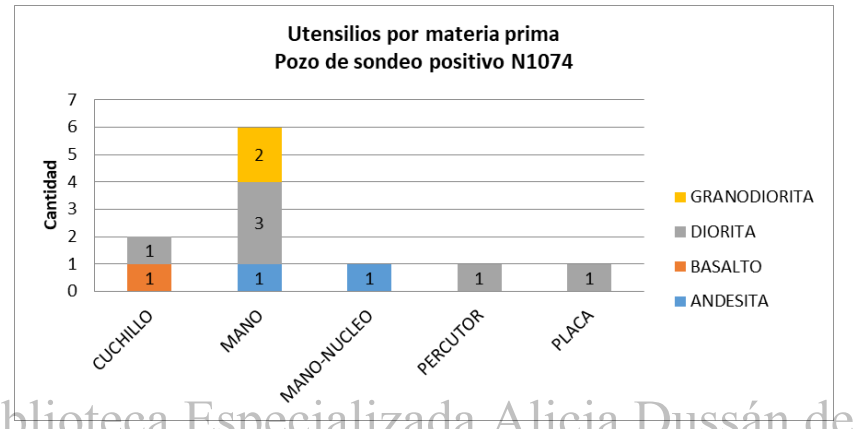
La presencia de unos mayores porcentajes corticales en los talones de las lascas, muestran que la estrategia tecnológica no es la predilección de las plataformas preparadas en los soportes o cantos rodados; al tener una frecuencia de 4 lascas con talón cortical, se evidencia una forma más rápida de obtener los productos deseados, sin tener que acudir o implementar unas estrategias tecnológicas especiales de preparación de plataformas para la extracción de lascas. Por el contrario, en la muestra analizada son más pocos los talones no corticales con 2 unidades. De acuerdo a lo anterior, en las 2 lascas con el talón no cortical, se confirma lo anteriormente dicho sobre una talla muy simple al momento de extraer lascas de un núcleo de forma muy

expedita. La descripción morfológica de las lascas muestra que, 4 lascas secundarias son corticales dominantes en su dorso, mientras que, 2 lascas secundaria presenta un dorso no cortical dominante. De acuerdo a lo anterior, son muy bajas las frecuencias como para realizar interpretaciones sobre el tratamiento y decisiones tecnológicas a la hora de realizar actividades de talla de instrumentos líticos.

El sitio arqueológico también contiene una cantidad importante de utensilios, donde se identifican en primer lugar, 6 manos de moler, 2 cuchillos cuya morfología y desgaste ratifican su funcionalidad; particularmente.

Figura 384

Descripción de utensilios y su materia prima en SPN1074



Digitalización, Biblioteca Especializada Alicia Dussán de Reichel. ICANH

Se tiene un artefacto definido como mano-núcleo, dado que, se trata de un núcleo cuya forma base consistió en una mano de molienda y que tal vez por fracturamiento durante su vida útil, fue reutilizado como núcleo para la extracción de lascas. Adicionalmente, se identificó un percutor con evidente desgaste en sus extremos; finalmente, una placa para molienda posiblemente de granos y vegetales. Es importante resaltar que, en el conjunto de utensilios para este sitio, no se hallaron artefactos pulimentados.

Figura 385
Mano – núcleo en Andesita del sitio N1074



Con respecto al tipo de roca sobre la cual fueron manufacturados y usados los utensilios predomina las dioritas con 6 unidades; en las manos de moler predominan las dioritas, 2 en granodiorita y una en andesita, los cuchillos tienen como base rocas de basalto y diorita, la mano-núcleo es una andesita, de ahí que dado la buena calidad este tipo de roca fue reutilizada la mano de molienda en núcleo para la extracción de lascas.

Digitalización Biblioteca Especializada Alicia Dussán de Reichel ICANH

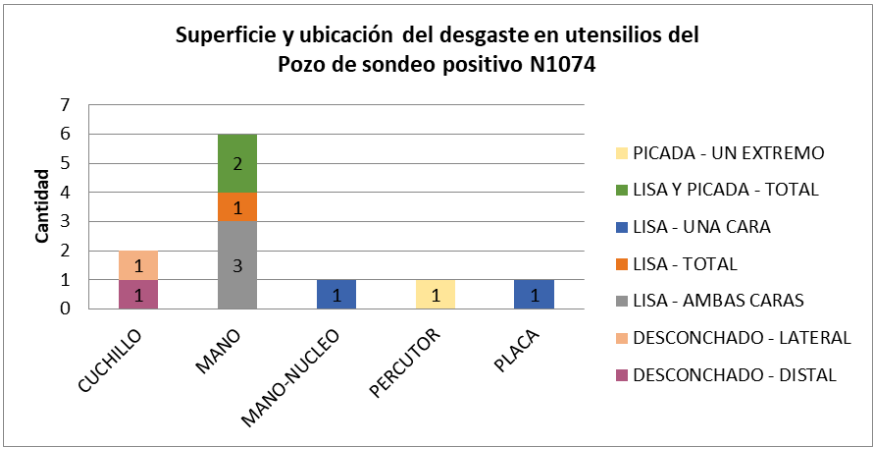
Como una de las características adicionales a la morfología de los utensilios, están los retoques intencionales que fueron aplicados en algunos de ellos, en este caso se observa una delineación del retoque para el cuchillo en forma continua y de morfología convexa.

La mayor cantidad de los utensilios referenciados son modificados por uso, los cuales se definieron a partir de características como desgastes por uso reiterado en diversas actividades humanas para el procesado y manipulación de alimentos. En este sentido, se afirma que 3 de las manos de moler tienen desgaste en ambas caras; otras 3 manos de molienda presentan un desgaste total en su superficie; también, 2 de los artefactos reconocidos como mano-núcleo y placa, presentan desgaste en una de las superficies, se identifica también una ubicación del desgaste distal, una lateral y un percutor con desgaste en un extremo.

La morfología especifica de esos desgastes muestra que, 6 artefactos presentan una superficie de desgaste lisa, entre ellos 4 manos de moler, una placa y una mano-núcleo, adicionalmente, 2 cuchillos presentan una morfología de desgaste de desconchamiento, lo que sugiere un uso intenso en actividades de corte; en 2 artefactos mano de moler se evidencia un desgaste de morfología lisa y picada, no solo por fricción, si no posiblemente también por acción de machacar;

por último, el percutor presenta una superficie picada, dada la acción técnica y mecánica ejercida con el artefacto.

Figura 386
Superficie y ubicación del desgaste en utensilios del N1074



5.4.3 ZAP3 UF2-3

Digitalización, Biblioteca Especializada Alicia Dussán de Reichel ICANH

Por último, presentamos los resultados de los análisis de laboratorio para el sitio ZAP3UF2-3, donde se reportan 23 artefactos líticos, todos ellos en la categoría de tallados. En estos líticos se ha identificado un aprovechamiento de materias primas donde lo que predomina es el basalto como la roca más empleada en los diversos sitios arqueológicos del proyecto; en este caso son 7 elementos que equivalen al 30,4%; luego están las dioritas y las lodolitas con 4 elementos cada uno para el 17,4% respectivamente. La diversidad de recursos abióticos empleados comprende también a las andesitas, anfibolitas, diabasa, esquisto y granodiorita (Ver **Tabla 30**).

Tabla 30
Frecuencias de materias primas empleadas en ZAP3-UF2-3

MATERIA PRIMA		Frecuencia	Porcentaje
Válido	**ANDESITA**	2	8,7%
	ANFIBOLITA	2	8,7%
	BASALTO	7	30,4%
	DIABASA	1	4,3%
	DIORITA	4	17,4%
	ESQUISTO	2	8,7%
	GRANODIORITA	1	4,3%
	LODOLITA	4	17,4%
	Total	**23**	**100%**

El comportamiento vertical de los artefactos líticos aquí expuestos, indica que, son más frecuentes en el nivel 4 con un total de 14 líticos para un 60,9%; posteriormente está el nivel 6 con un total de 4 líticos para un 17,4%; se recuperaron líticos también el nivel 10, nivel 2, nivel 3 y nivel 5 (Ver **Tabla 31**). Evidentemente parece que el momento de mayor ocupación, o al menos de mayor intensidad en uso de herramientas líticas se dio en el nivel 4.

Tabla 31
Distribución vertical de las evidencias líticas en ZAP3-UF2-3

NIVEL

		Frecuencia	Porcentaje
Válido	**10**	1	4,3
	2	1	4,3
	3	1	4,3
	4	14	60,9
	5	2	8,7
	6	4	17,4
	Total	**23**	**100,0**

La clasificación de estos artefactos indica que predominan las lascas, alcanzando la mayor frecuencia las secundarias con un total de 6 elementos que equivalen al 60%; tanto las lascas primarias como las lascas terciarias tienen una frecuencia de 2 cada una (Ver **Tabla 32**). Los artefactos restantes son 2 núcleos y 11 detritos, lo que estaría indicando también en la implementación de procesos de talla en el sitio.

Digitalización, Biblioteca Especializada Alicia Dussán de Reichel. ICANH

Tabla 32
Categoría de lasca en ZAP3-UF2-3

CATEGORIA DE LASCA

		Frecuencia	Porcentaje
Válido	**LASCA PRIMARIA**	2	20%
	LASCA SECUNDARIA	6	60%
	LASCA TERCIARIA	2	20%
	Total	**10**	**100%**

Este yacimiento arqueológico reporta un utensilio consistente en un tajador utilizado a partir de un núcleo con talla unifacial, con una ubicación del desgaste en su extremo distal y una superficie de desgaste que presenta características de desconchamientos por el uso fuerte e intensivo.

5.4.4 Hallazgo No. 13 Monitoreo Arqueológico

El hallazgo No. 13 del monitoreo arqueológico, es un tramo de vía entre las abscisas Km 22+360 y Km 22+550 (ver Figura 257 Ficha 13 Hallazgo de Monitoreo Arqueológico), donde se recuperaron principalmente fragmentos cerámicos diagnósticos y no diagnósticos, al igual que elementos líticos que serán analizados a continuación, y se hallaron puntualmente en los Pk, Km 22+440 y Km 22+500**.**

5.4.4.1 Líticos RS KM 22+440

En el km 22+440 (coordenadas planas E: 1102047 – N:1252471) durante las labores de monitoreo arqueológico a la remoción de suelos, se encontró en recolección superficial un crisol de piedra, es un pequeño recipiente tallado en cuarcita, una roca metamórfica muy dura y resistente al calor. Mide 4 cm de largo × 3 cm de ancho, con una cavidad interna de 1 cm de profundidad × 3.5 cm de largo × 2 cm de ancho, y paredes de 0.5 cm de grosor.

Figura 387
Crisol recuperado en la fase de monitoreo arqueológico en el Km 22+440 vía MAR 2



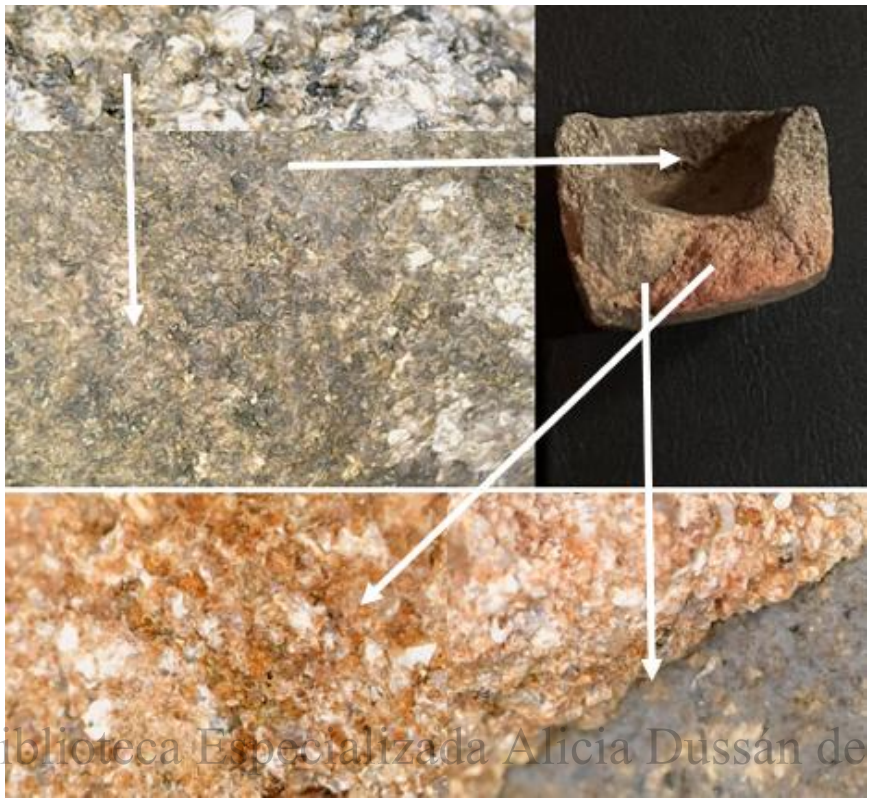
Crisol. vista transversal, anverso, reverso y corte en sección, monitoreo

Digitalización, Biblioteca Especializada Alicia Dussán de Reichel. ICANH

El crisol tiene forma rectangular con bordes redondeados y base plana para estabilidad, su manufactura se logró posiblemente mediante el dominio de la técnica del pulido por abrasión, conocimiento de las propiedades de la cuarcita, herramientas especializadas y paciencia. La cuarcita se produce cuando la arenisca rica en cuarzo, es sometida a altas temperaturas y presiones, debido a la actividad tectónica de la corteza terrestre, es una roca metamórfica, formada principalmente por cuarzo, extremadamente dura, resistente al calor, y de color generalmente gris o blanco.

Figura 388

Superficies crisol



Digitalización, Biblioteca Especializada Alicia Dussán de Reichel. ICANH

El crisol presenta un color amarillo rojizo (ver Figura 388), hipotéticamente planteamos que esta coloración podría ser causada por la exposición prolongada al fuego, que oxida los minerales de hierro en la roca. La elección de la cuarcita no fue casual, resiste temperaturas superiores a 800°C, ideal para fundir oro, que se derrite a 1064°C. Su dureza permitía reutilizar el crisol muchas veces, a diferencia de los de cerámica.

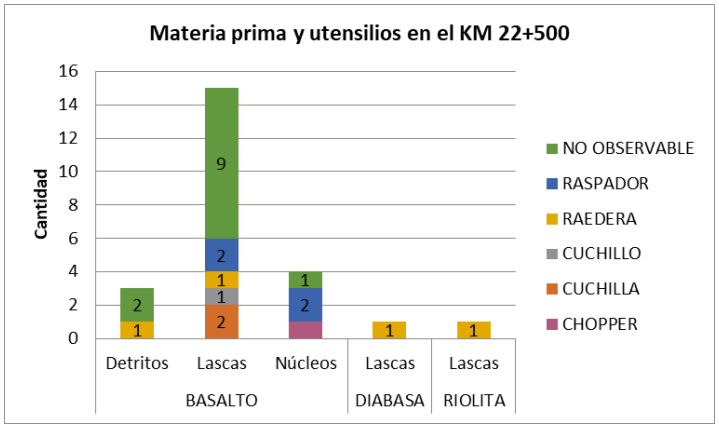
5.4.4.2 Líticos RS 22+500

Seguidamente, en esta descripción de los sitios con mayor densidad de artefactos líticos y teniendo en cuenta que estadísticamente los sitios restantes no son significativos para hacer conclusiones determinantes sobre la tecnología y funcionalidad de los artefactos, se presentan los análisis realizados a las recolecciones superficiales realizadas en el monitoreo arqueológico en el PK22+500. se recuperaron 24 artefactos líticos; en primer lugar, el estado del soporte de los elementos para este sitio es completo. En cuanto a los desechos de talla, se identificaron dos detritos de talla.

Tratándose del aprovechamiento de los recursos abióticos, la materia prima predominante es el basalto con una frecuencia de 22 unidades que equivalen al 92%; se cuenta con un artefacto en diabasa y un artefacto en riolita.

Figura 389

Materia prima y utensilios en el KM 22+500



La alta producción de lascas en K22+500 es coherente con la también alta presencia de utensilios en el sitio, donde se identificaron 12 de estos elementos tecnológica y morfológicamente funcionales. Se identificaron 4 raspadores y 4 raederas, cada una representando el 33%, posteriormente se identificaron 2 cuchillas, un chopper y un cuchillo. Todos estos elementos presentan en sus superficies de ataque desconchados por uso en los extremos distales y laterales; algunos presentan retoques denticulados y continuos, con morfologías sinuosas, convexas y cóncavas. Cuando se necesitan este tipo de utensilios, especialmente de corte y raspado, tecnológicamente es primordial enfocar los esfuerzos en la producción de lascas, de ahí que los datos son coherentes con este tipo de actividad tecnológica.

Digitalización y Biblioteca Especializada Alicia Dussán de Reichel ICANH

La mayor frecuencia de artefactos en el sitio consiste en lascas con un total de 18 unidades; estas representan las tres categorías, donde las más abundantes son las secundarias con 15 elementos que corresponden al 83%; en segundo lugar, están las terciaria con 2 unidades para el 11% y finalmente las lascas primarias con una lasca para el 6%. (Ver **Tabla 33**Tabla 33). Estos datos sugieren que la finalidad fue la producción de lascas dada su alta frecuencia en relación al total de líticos del sitio.

Tabla 33

Categoría de lascas en el sitio K22+500

CATEGORIA DE LASCA

		Frecuencia	Porcentaje
Válido	**LASCA PRIMARIA**	1	6%
	LASCA SECUNDARIA	15	83%
	LASCA TERCIARIA	2	11%
	Total	**18**	**100%**

6. ARQUEOLOGÍA PÚBLICA

El programa de arqueología preventiva de la UF 1 trabajó en la arqueología publica desde el inicio de las obras hasta el final, se desarrolló la idea de una arqueología publica, de carácter comunitario, que socialice los resultados de las investigaciones arqueológicas con participación activa de las comunidades, nos enfocamos en intervenir medios, como la radio, y generar contenidos sonoros para la comunicación comunitaria, incluyendo grupos infantiles y juveniles a través de la investigación participativa y la etnografía, con el fin de reconocer su territorio, la vida cotidiana que los rodea y explorar temas y lugares diversos, como la percepción sobre el pasado prehispánico, la memoria oral, las tradiciones locales y la gestión del patrimonio arqueológico. Involucrando también a instituciones públicas municipales, grupos de entusiastas o asociaciones ciudadanas.

La valoración social del conocimiento histórico y cultural que está vivo en toda la sociedad, es importante, y tener el registro sonoro y aporte de las voces de los habitantes de Cañasgordas, exponiendo sus intereses y percepciones sobre su cultura, y la cultura, en un archivo de audio disponible para las instituciones educativas, casa de la cultura y bibliotecas de la región, permite que las comunidades se escuchen y reconozcan.

De acuerdo con el ICANH y el Decreto 138 de 2019, la fase de arqueología pública se refiere “al conjunto de actividades y de productos que ofrezcan a la comunidad científica y a la población en general los resultados generados por la intervención en el patrimonio arqueológico de la Nación, y garanticen la tenencia legal y el destino de los bienes intervenidos, de acuerdo con lo establecido en el «Protocolo de manejo de bienes arqueológicos»”.

Digitalización Biblioteca Especializada Alicia Dussán de Reichel ICANH

Las actividades de divulgación de los resultados generados en el programa de arqueología preventiva y la gestión de una tenencia institucional y adecuada del patrimonio arqueológico recuperado en las diferentes fases del PAP, se realizaron de principio a fin, de manera satisfactoria. Regularmente se ejecutan luego de terminar las actividades de campo, al final de las exploraciones arqueológicas; entendidas como unas charlas con la comunidad y un acto administrativo de entrega de piezas arqueológicas a las municipalidades, en adelante responsables de su resguardo y protección, en este PMArq se ha buscado en cambio, realizar un trabajo constante con jóvenes, niños y mayores, a partir de la radio comunitaria, como herramienta de articulación social y creación de contenidos históricos y culturales sonoros, para el consumo y participación de la comunidad.

El carácter transitorio de los equipos de arqueología en las obras de infraestructura y la programación tardía de las actividades de divulgación y tenencia hace necesario anticipar estas gestiones a fin de aportar a las comunidades locales, autoridades e instituciones públicas, las herramientas idóneas para la conservación, divulgación y apropiación del patrimonio arqueológico.

En el marco de las exploraciones arqueológicas del proyecto MAR2 en el Occidente antioqueño, los trabajos de campo, el proceso de tenencia y la Arqueología Pública se desarrollaron al unísono y en asocio con las comunidades, el sector educativo y las autoridades municipales,

buscando apoyar iniciativas locales que reúnan intereses diversos en el conocimiento y comprensión de la historia local, así, es posible que las comunidades ilustren, narren y se permitan imaginar como parte de la historia y el patrimonio arqueológico presente en sus territorios; esta conciencia histórica comunitaria que valora el patrimonio arqueológico es un primer paso en la construcción de herramientas de gestión patrimonial locales.

En total se realizaron 51 talleres y encuentros con jóvenes del municipio, instituciones como el colegio municipal, el Consejo de Turismo, el Concejo Municipal, la directiva de la Casa de la Cultura; encuentros que fueron registrados para el desarrollo de contenidos sonoros, logrando realizar la emisión de 20 episodios de 20min de duración en promedio dando cuenta de los intereses de los participantes.

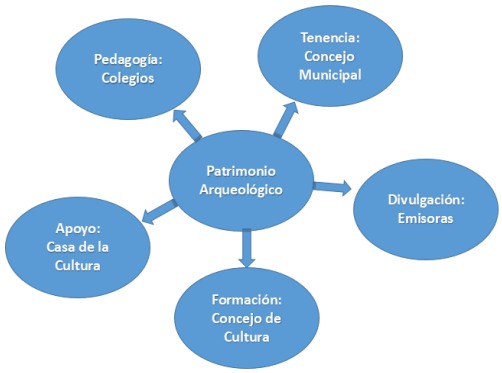
Así, la cartografía precolombina aporta información a los planes de ordenamiento territorial con miras a crear áreas de interés arqueológico, o los materiales arqueológicos entregados en tenencia articulan la creación o fortalecimiento de museos locales y los vigías del patrimonio. Igualmente, el conocimiento sobre la historia y el territorio producido por la arqueología aporta a identificar rasgos de la identidad municipal y el sentido de pertenencia, dándole un contenido distintivo al municipio, aspecto clave para el desarrollo del turismo, que ha sido de los intereses mencionados por la comunidad al momento de imaginar la gestión del patrimonio arqueológico.

En este contexto la radio comunitaria se convierte en un espacio para la articulación de las voluntades y los imaginarios de grupos y procesos locales para la defensa y conservación del patrimonio cultural, a partir de la radio comunitaria se crearon los grupos CañasDiscover, y Radio Unión, colectivos de jóvenes interesados en la comunicación radial como herramienta de divulgación y conocimiento de su historia y territorio; así los avances y resultados del trabajo de arqueología preventiva en el proyecto vial MAR2 y la participación de los jóvenes en el programa de radio han enriquecido las preguntas por el tema patrimonial en el municipio, logrando despertar el interés del Consejo Municipal de Cultura, la Casa de la Cultura, el Concejo Municipal, las emisoras locales comunitarias y la red municipal de turismo de Cañasgordas y el centro de historia y antropología; los impactos proyectados a partir del acompañamiento y apoyo de estas instituciones permitieron definir la tenencia del patrimonio arqueológico, de manera concertada entre las empresas constructoras y la secretaria de educación y cultura, la comunidad representada por el centro de historia y antropología y los Vigías del Patrimonio; se concertaron los contenidos museográficos y las adecuaciones necesarias. Igualmente, la participación en la vida cultural del municipio permitió que integrantes del grupo de arqueología de MAR 2, sean parte de los fundadores del Centro de Historia y Antropología de Cañasgordas, permitiéndonos participar en instancias ciudadanas, reflejo de la confianza de las comunidades locales. Creemos que los esfuerzos de nuestra experiencia comunitaria e institucional podría aportar en un futuro, a mejorar las actividades de administrar, valorar, divulgar y resguardar el patrimonio cultural.

Digitalización Biblioteca Especializada Alicia Dussán de Reichel ICANH

Figura 390

Propuesta de Red Pública Municipal de Gestión del Patrimonio Arqueológico



Los intereses del programa de arqueología preventiva del proyecto de construcción vial MAR2 han girado en torno a contar con apoyo local, tener medios de divulgación de nuestro trabajo, aportar pedagógicamente a la comunidad y gestionar las responsabilidades comunitarias e institucionales necesarias para asegurar el manejo idóneo del patrimonio, entendiendo la difusión y divulgación del patrimonio arqueológico como derecho y como bien de uso público inalienable, imprescriptible e inembargable, tal como está definido por la Constitución Colombiana en los artículos 63 y 72, esperamos haber aportado a identificar los intereses de comunidades campesinas, sus percepciones sobre el pasado, lo arqueológico y la apropiación del patrimonio arqueológico..

Digitalización, Biblioteca Especializada Alicia Dussán de Reichel. ICANH

Los trabajos pedagógicos de divulgación de resultados, en instituciones de educación media y básica, han sido reseñadas por múltiples trabajos de arqueología preventiva, que buscan hallar públicos asegurados en los cuales inculcar valores y reconocimiento de la historia antigua. Nuestra propuesta se realizó al margen del proceso curricular de las instituciones educativas, invitando a estudiantes entusiastas e interesados, con los cuales se desarrolló el proyecto “Cañas Discover” y “Radio Unión”, dos grupos de 23 estudiantes, que forman el grupo base de divulgación, con quienes desarrollamos labores de reportería en el casco urbano creando contenidos radiales, realizando entrevistas a vecinos, historiadores locales y personajes que son reconocidos en la zona.

Para tener permiso de reproducir sus voces en las emisoras y en la página web se solicitó permiso por escrito a los padres de cada uno de los participantes, de esta forma se involucra a una comunidad de adultos de forma indirecta, pues cada uno de los contenidos desarrollados se comparte con estos padres por medio de mensajes de WhatsApp.

Los encuentros formulados con estos grupos giraron en torno a variados temas, un ejemplo, conceptos como la arqueología y la materialidad, sirvieron para crear narraciones a partir de entenderlos desde la vida cotidiana, desde el día a día, permitiendo la creación de vínculos analógicos con las investigaciones y el registro arqueológico; es así que la metodología que involucra la transferencia de medios, entrevistas, recorridos a territorio buscan identificar fenómenos de interés en el presente y lograr un correlato arqueológico a partir de investigaciones

previas y entrevistas a arqueólogos que dan cuenta del qué hacer de la arqueología y la defensa del patrimonio arqueológico. Se anexan a este informe los programas de radio, y serán colocados códigos QR que llevan a las grabaciones en la sala museo de la casa de la cultura donde se exponen los resultados de esta investigación.

También capacito sobre el manejo del patrimonio arqueológico a todo el personal del proyecto, en total fueron 6.546 personas capacitadas y evaluadas, además realizaron 140 evaluaciones escritas de las capacitaciones.

Figura 391
Plegable de divulgación PAP



Digitalización, Biblioteca Abadía Alicia Dussán de Reichel. ICANH

Revisando los textos arqueológicos es posible advertir la reiterada mención en los informes a la legislación nacional sobre patrimonio, como justificación de la práctica arqueológica. La noción de arqueología pública involucra el análisis sobre la interpretación de la legislación por parte de los profesionales en arqueología, y el reconocimiento de las técnicas de intervención social, identificando, qué dialogan los profesionales con las comunidades campesinas. Para efectos ilustrativos presentamos a continuación tres tablas, con la normatividad constitucional, la normatividad legal aplicable a la arqueología pública y decretos sobre arqueología pública, finalmente presentamos un apartado que denominamos hacia la gestión comunitaria del patrimonio, en la cual se exponen los trabajos desarrollados a la luz del diálogo con las comunidades locales en Cañasgordas y el cumplimiento de las obligaciones de divulgación y tenencia contempladas por la arqueología pública.

- De carácter culturalista y enfático en la noción de lo arqueológico como bien público, las disposiciones de la Constitución, permiten comprender que el objeto de estudio de los arqueólogos, es más que cultura material precolombina, y al referirse a la diversidad cultural tiende puentes hacia la sociedad colombiana en general.

Tabla 34

Normatividad constitucional

Artículo	Declaración/Comentario
Artículo 7	El Estado reconoce y protege la diversidad étnica y cultural de la Nación colombiana.
Artículo 8	Es obligación del Estado y de las personas proteger las riquezas culturales y naturales de la Nación.
Artículo 63	Los bienes de uso público, los parques naturales, las tierras comunales de grupos étnicos, las tierras de resguardo, el patrimonio arqueológico de la Nación y los demás bienes que determine la ley, son inalienables, imprescriptibles e inembargables.
Articulo 72	El patrimonio cultural de la Nación está bajo la protección del Estado. El patrimonio arqueológico y otros bienes culturales que conforman la identidad nacional, pertenecen a la Nación y son inalienables, inembargables e imprescriptibles. La ley establecerá los mecanismos para readquirirlos cuando se encuentren en manos de particulares y reglamentará los derechos especiales que pudieran tener los grupos étnicos asentados en territorios de riqueza arqueológica.

- Las leyes aplicables permiten dar cuenta de la evolución jurídica del ámbito patrimonial, que de ente material signo del pasado y representación de la cultura de los colombianos en la constitución del 91, hoy dia, no solo es testimonio del pasado, sino un testimonio que se puede construir "mediante los métodos y técnicas propios de la arqueología y otras ciencias afines, permiten reconstruir y dar a conocer los orígenes y las trayectorias socioculturales pasadas y garantizan su conservación". Ley 1185 de 2008.

Digitalización, Biblioteca Especializada Alicia Dussán de Reichel. ICANH

Tabla 35

Normatividad legal aplicable a la arqueología pública

Ley	Declaración
Ley 163-Art 12 de 1959	En toda clase de exploraciones mineras, de movimiento de tierras para edificaciones o para construcciones viales o de otra naturaleza semejante, lo mismo que en demoliciones de edificios, quedan a salvo los derechos de la Nación sobre los monumentos históricos, objetos y cosas de interés arqueológico y paleontológico que puedan hallarse en la superficie o debajo del suelo al verificarse los trabajos. Para estos casos, el director, administrador o inmediato responsable de los trabajos dará cuenta al alcalde o Corregidor del respectivo Municipio o fracción, y suspenderá las labores en el sitio donde se haya verificado el hallazgo.
Ley 99 de 1993	Por la cual se crea el Ministerio del Medio Ambiente, se reordena el Sector Público encargado de la gestión y conservación del medio ambiente y los recursos naturales renovables, se organiza el Sistema Nacional Ambiental, SINA, y se dictan otras disposiciones.

Ley	Declaración
Ley 397-Art 4 de 1997	Definición de patrimonio cultural de la Nación. El patrimonio cultural de la Nación está constituido por todos los bienes y valores culturales que son expresión de la nacionalidad colombiana, tales como la tradición, las costumbres y los hábitos, así como el conjunto de bienes inmateriales y materiales, muebles e inmuebles, que poseen un especial interés histórico, artístico, estético, plástico, arquitectónico, urbano, arqueológico, ambiental, ecológico, lingüístico, sonoro, musical, audiovisual, fílmico, científico, testimonial, documental, literario, bibliográfico museológico, antropológico y las manifestaciones, los productos y las representaciones de la cultura popular. Las disposiciones de la presente ley y de su futura reglamentación serán aplicadas a los bienes y categorías de bienes que siendo parte del Patrimonio Cultural de la Nación pertenecientes a las épocas prehispánicas, de la Colonia, la Independencia, la República la Contemporánea, sean declarados como bienes de interés cultural, conforme a los criterios de valoración que para tal efecto determine el Ministerio de Cultura. Parágrafo 1º.- Los bienes declarados monumentos nacionales con anterioridad a la presente ley, así como 105 bienes integrantes del patrimonio arqueológico, serán considerados como bienes de interés cultural. También podrán ser declarados bienes de interés cultural, previo concepto del Ministerio de Cultura, aquellos bienes que hayan sido objeto de reconocimiento especial expreso por las entidades territoriales.
Ley 397-Art 6 de 1997	Patrimonio arqueológico. Son bienes integrantes del patrimonio arqueológico aquellos muebles o inmuebles que sean originarios de culturas desaparecidas, o que pertenezcan a la época colonial, así como los restos humanos y orgánicos relacionados con esas culturas. Igualmente, forman parte de dicho patrimonio los elementos geológicos y paleontológico relacionados con la historia del hombre y sus orígenes.
Ley 397 - Titulo II de 1997	Patrimonio Cultural; de las faltas punitividad, del patrimonio sumergido, del sentido de la ley de patrimonio: la protección, la conservación, la rehabilitación y la divulgación de dicho patrimonio
Ley 388 de 1997	Ordenamiento territorial. La prevalencia del interés general sobre el particular.
Ley 1185 de 2008	Por la cual se modifica y adiciona la Ley 397 de 1997 – Ley General de Cultura – y se dictan otras disposiciones. El Congreso de Colombia decreta Integración del patrimonio cultural de la Nación. El patrimonio cultural de la Nación está constituido por todos los bienes materiales, las manifestaciones inmateriales, los productos y las representaciones de la cultura que son expresión de la nacionalidad colombiana, tales como la lengua castellana, las lenguas y dialectos de las comunidades indígenas, negras y creoles, la tradición, el conocimiento ancestral, el paisaje cultural, las costumbres y los hábitos, así como los bienes materiales de naturaleza mueble e inmueble a los que se les atribuye, entre otros, especial interés histórico, artístico, científico, estético o simbólico en ámbitos como el plástico, arquitectónico, urbano, arqueológico, lingüístico, sonoro, musical, audiovisual, fílmico, testimonial, documental, literario, bibliográfico, museológico o antropológico. Artículo 6°. Patrimonio Arqueológico. El patrimonio arqueológico comprende aquellos vestigios producto de la actividad humana y aquellos restos orgánicos e inorgánicos que, mediante los métodos y técnicas propios de la arqueología y otras ciencias afines, permiten reconstruir y dar a conocer los orígenes y las trayectorias socioculturales pasadas y garantizan su conservación y restauración

Digitalización, Biblioteca Especializada Alicia Dussán de Reichel. ICANH

- El hecho de nombrar la arqueología, brinda un derecho especial a los profesionales sobre la ciudadanía en general, así como depositar sobre estos una responsabilidad frente al diálogo con la demás ciudadanía. A partir del desarrollo de decretos que adelantan la

normatividad de las leyes y mediante los que se establecen procedimientos, actores y definiciones fundamentales en torno al patrimonio arqueológico; se puede identificar la evolución de la idea de un sujeto idóneo, de un ciudadano (el arqueólogo) científico que inicialmente se esboza desde 1963 ante todo mediante el permiso a la autoridad nacional para exploración, en tal sentido no todo ciudadano podrá excavar, alterar o enfrentarse a yacimientos arqueológicos so pena de entrar en contradicción a la ley; esta noción de experticia e idoneidad se plasma en el decreto 138 de 2019, entendiendo la idea de intervención sobre el patrimonio arqueológico, como "toda acción técnicamente desarrollada por un profesional idóneo que modifica la integridad física de los bienes muebles e inmuebles, los contextos o las áreas arqueológicas protegidas".

Tabla 36

Decretos sobre arqueología pública

Decreto 264-Art 9 de 1963	Toda solicitud de licencia para exploraciones o excavaciones arqueológicas y paleontológicas, así en terrenos públicos como de propiedad privada deber presentarse al Instituto Colombiano de Antropología, entidad esta que atenderá a tales solicitudes previa comprobación del título académico especializado en arqueología de los interesados y de su vinculación directa con entidades científicas o culturales.
Decreto 444-Art 46 de 1967	La exportación de productos nacionales es libre, salvo las limitaciones o prohibiciones establecidas por leyes o convenios internacionales vigentes. Parágrafo. Queda prohibida la exportación de bienes que formen parte del patrimonio artístico, histórico y arqueológico de la nación. La Junta de Comercio Exterior reglamentará la salida temporal de estos objetos con fines de exhibición de acuerdo con las normas legales vigentes.
Decreto 522-Art 50 de 1971	El que, sin permiso de autoridad competente, enajene, adquiera o constituya prenda sobre reliquias, cuadros o esculturas o utensilios históricos o artísticos, que se encuentren en zonas arqueológicas, edificios públicos, museos, monasterios, templos o casas consistoriales, incurrirá en multa de un mil a veinte mil pesos, y en el decomiso de la obra.
Decreto 1397-Art 1 de 1989	Los monumentos muebles a que se refiere la Ley 163 de 1959, no están cobijados por la noción de tesoros prevista en el artículo 700 del Código Civil. En consecuencia, a ellos no se aplican los artículos 701 a 709 y 712 del Código Civil, ni las normas que los subrogan.

Digitalización, Biblioteca Especializada Alicia Dussán de Reichel. ICANH

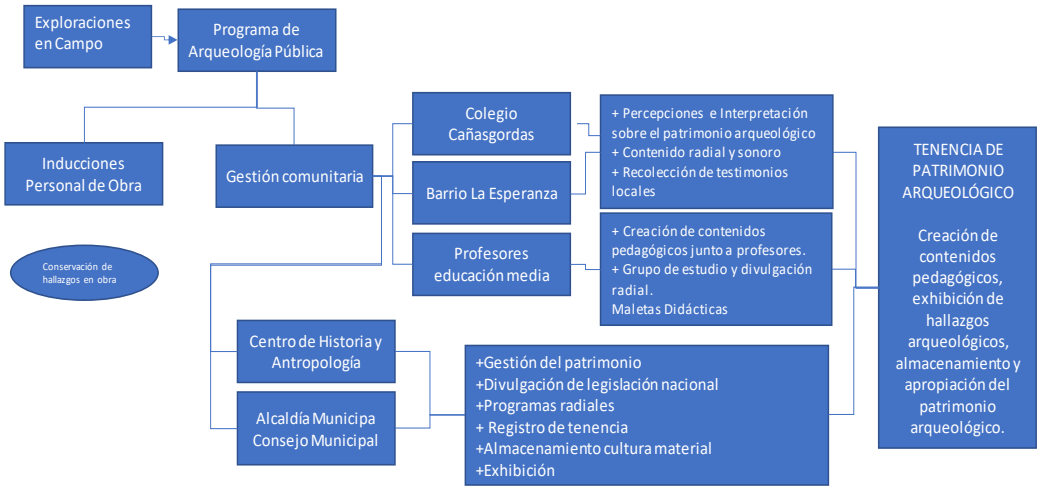
Decreto 833 de 2002	Por el cual se reglamenta parcialmente la Ley 397 de 1997 Información arqueológica. Datos y elementos de carácter inmaterial, científico e histórico sobre el origen, valores, tradiciones, costumbres y hábitos que dan valor no comercial y sentido cultural a los bienes muebles e inmuebles de carácter arqueológico Artículo 3°. Integración del patrimonio arqueológico. Los bienes muebles e inmuebles de carácter arqueológico, la información arqueológica y/o en general el contexto arqueológico integran el patrimonio arqueológico, el cual pertenece a la Nación, es inalienable, imprescriptible e inembargable. Objetivos de la política estatal en relación con el patrimonio arqueológico. La política estatal en lo referente al patrimonio arqueológico tendrá como objetivos principales la protección, la conservación, la rehabilitación, divulgación y recuperación de dicho patrimonio, con el propósito de que éste sirva de testimonio de la identidad cultural nacional tanto en el presente como en el futuro.
Decreto 1080 de 2015	Artículo 2.6.2.7. Fines de la exploración o excavación de carácter arqueológico. La exploración o excavación de carácter arqueológico se autorizará de considerarse pertinente, con fines de investigación cultural y científica, con finalidades de conservación del contexto arqueológico o con los demás previstos en las normas vigentes.
Decreto 138 de 2019	Artículo 2.6.1.3. Objetivos de la política estatal en relación con el patrimonio arqueológico. La política en lo referente al patrimonio arqueológico tendrá como objetivo principal garantizar la identidad cultural y territorial de la nación colombiana tanto en el presente como en el futuro. Con fin se adelantarán procesos de gestión relacionados con la protección, conservación, investigación, divulgación y recuperación de este patrimonio. Artículo 2.6.1.4. Integración del patrimonio arqueológico. Hacen parte del patrimonio arqueológico, todos aquellos bienes muebles e inmuebles de carácter arqueológico y sus contextos arqueológicos. Artículo 2.6.4.1. Intervención sobre el patrimonio arqueológico. Se considera como intervención sobre el patrimonio arqueológico, toda acción técnicamente desarrollada por un profesional idóneo que modifica la integridad física de los bienes muebles, inmuebles, los contextos o las áreas arqueológicas protegidas.

Digitalización, Biblioteca Especializada Alicia Dussán de Reichel. ICANH

6.1 Hacia la Gestión Comunitaria del Patrimonio Arqueológico

Contemplada transversalmente al proceso de exploraciones arqueológicas en campo, la gestión comunitaria del patrimonio arqueológico ha tenido el objetivo de brindar información y permitir la expresión de las percepciones que sobre el pasado, lo patrimonial y lo arqueológico tienen tanto trabajadores del Proyecto Mar2, como la comunidad de Cañasgordas, contemplando entes públicos, privados y comunidades locales, y reconociendo el territorio y sus potencialidades, para crear contenidos que reflejen los intereses y capacidades para la apropiación del patrimonio arqueológico.

Figura 392
Mapa de la gestión comunitaria del patrimonio arqueológico en Cañasgordas.



El proceso de Gestión Comunitaria del patrimonio, contemplo la creación de contenidos radiales para la divulgación de temas de interés en torno a la legislación del patrimonio arqueológico, presentar los hallazgos arqueológicos del proyecto, identificar instituciones susceptibles de fungir como tenedores finales.

Digitalización, Biblioteca Especializada Alicia Dussán de Reichel. ICANH

El énfasis en el barrio la Esperanza es debido a que su fundación y crecimiento, se encuentra ligada a una serie de hallazgos arqueológicos realizados en sus predios, por eso ha sido considerado como una población de interés directo, para la creación de contenidos que permitan identificar las percepciones sobre lo arqueológico de sus vecinos, así como la oportunidad de diálogo frente a la posibilidad de protección, visibilización y apropiación de yacimientos arqueológicos de carácter monumental, como la llamada tumba de casita del barrio la Esperanza, una estructura funeraria tipo hipogeo creada con lajas de piedra de gran tamaño (Botero, 2000).

Con un grupo de estudiantes del barrio la Esperanza se creó el grupo “Unión Fm” con el cual se adelantó un proceso de radio difusión a través de la transmisión de herramientas o transferencia de medios compartiendo herramientas de grabación para entrevistas de vecinos, padres de familia y conocidos adultos en torno a los temas de historia oral, patrimonio, arqueología, territorio y vida cotidiana. A partir de la experiencia de reconocimiento del yacimiento que se encuentra en el barrio se logró una serie de programas radiales, así como la creación de una historia-interpretación en torno a lo arqueológico, usando la imaginación de los participantes, que se llamó “La Casa de los Muertos o el Hipogeo Misterioso” que será consolidado como narración oral en formato radial.

A través de las emisoras La U Estéreo de Uramita, (107.4 fm), Occidente Estéreo, radio comunitaria de Cañasgordas (104.4 fm), Cultural Estéreo de Cañasgordas (97.3 fm) y La Qué Buena (102.5 fm), se ha invitado a las comunidades locales e instituciones gubernamentales a

conocer el patrimonio arqueológico y los trabajos adelantados por el proyecto, se han definido esfuerzos a través de ejercicios de comunicación de impacto directo en el contexto rural

La intervención en los medios de comunicación tradicionales como la radio surten gran efecto al momento de dar a conocer en el mundo rural las actividades, resultados y expectativas en torno al patrimonio arqueológico, además, conjuga saberes locales, tradición oral e iniciativas comunitarias que dan cuenta de intereses culturales y de carácter histórico. Las experiencias radiales con los jóvenes de Cañasgordas, organizados en “Cañas Discover” y “ Unión Radio” y las realizadas con el grupo de arqueología y trabajadores del Proyecto, han sido transmitidas en medios de comunicación locales, tratando los temas de historia oral, defensa del patrimonio, valor del patrimonio, imaginación del pasado, historias del pueblo, así mismo, se han entrevistado a diferentes personajes locales que dan cuenta del devenir histórico de la subregión del occidente antioqueño.

Se grabaron en total 20 episodios radiales que han sido emitidos, en su mayoría, 3 veces en las diferentes emisoras de los municipios de Cañasgordas y Uramita, buscando que las comunidades locales pudieran interactuar con investigadores de la arqueología en el país, se realizaron entrevistas telefónicas a un total de 13 antropólogos, quienes hablaron de temas relacionados con la paleopatología, resguardos indígenas en el siglo XIX, arqueología pública y trabajos comunitarios como ejemplos del uso del patrimonio arqueológico en contextos indígenas y campesinos.

Digitalización, Biblioteca Especializada Alicia Dussán de Reichel. ICANH

Tabla 37

Ficha de registro programa radial

Episodio	001
Titulo	Los lugares y el territorio en Cañasgordas
Tema	Espacio y Territorio
Emisora:	Occidente Estéreo, radio comunitaria de Cañasgordas (104.4 fm)
Duración	14:10min
Fecha Emisión	28 de septiembre 2019
Sinopsis	Inicialmente se realiza el acercamiento a vecinos del municipio a quienes se les pregunta por sus lugares favoritos del municipio, en este apartado se reconoce el interés por espacios naturales como el Alto de Giraldo, Charco de la Honda, Condorito, Jardín de Oro, el Hipogeo de la Esperanza, Charcos del Apucarco, algún vecino menciona la construcción del Túnel del Toyo comprendiendo un paisaje de producción humana. Se menciona el yacimiento arqueológico que se encuentra en el barrio La Esperanza. El ejercicio de observación con el grupo de estudio recorre diferentes lugares en los cuáles se realizan las siguientes preguntas: ¿En qué lugar estamos? ¿Qué se puede ver desde aquí? ¿A qué huele en este lugar? ¿Qué personas frecuentan este lugar?

	Los participantes de Cañas Discover eligen espacios cotidianos asociados a la venta de productos, pero también lugares amplios de visibilidad y de cotidiana presencia.
Participantes	Cañas Discover, Ana Gómez, Aslyn Mira, Isabel Cristina Cifuentes, Lizbeth Cifuentes, Miguel Ángel Peña, Salomé Barrera, Wilber A, Dadiana Berrío y Cristina Andrea Zapata
Palabras Clave	Territorio, parque central Cañasgordas, historia oral, Arqueología Pública.

6.2 Tenencia de Patrimonio Arqueológico

El proceso de tenencia del registro arqueológico y patrimonio arqueológico se ha desarrollado a la par que las actividades de divulgación con el objetivo de tener la oportunidad de identificar los intereses y posibles tenedores frente al volumen del material excavado.

En este sentido en la municipalidad de Cañasgordas se ha interactuado con diferentes entes, como el Concejo Municipal, La Casa de la Cultura, Secretaría de Educación, Deporte y Cultura, el Centro de Historia y Antropología y finalmente a través del alcalde (se anexa carta) quien ha encabezado el interés del municipio en ser tenedor de los materiales arqueológicos recuperados, con miras a su exhibición y divulgación en la casa de la cultura.

El valor de acercarse a estas instancias administrativas brinda las posibilidades de tener Acuerdos Municipales que se traducen en herramientas legislativas y presupuestales dirigidas a garantizar el cuidado y protección del patrimonio arqueológico del municipio.

Digitalización, Biblioteca Especializada Alicia Dussán de Reichel. ICANH

Figura 393
Encuentro con alcalde de Cañasgordas, Centro de Historia y Antropología de Cañasgordas y directivas del proyecto empresa UNICA



En la municipalidad de Cañasgordas ha creado un nuevo edificio que se reconoce como Palacio de la Cultura IMUANTAYÓ, donde se ha asignado recientemente un espacio para la exposición de objetos de la cultura material cotidiana de la comunidad y materiales arqueológicos. Esta nueva estructura municipal que cuenta con las áreas de música, teatro, la biblioteca municipal y auditorio.

Figura 394
Palacio de la Cultura IMUANTAYÓ municipio de Cañasgordas



Para la museografía de los materiales arqueológicos recuperaos por el programa de arqueología preventiva se acuerda con la municipalidad, la adecuación de un lugar para bodega de los materiales arqueológicos y la instalación de tres paneles de 1,20m de ancho, por 1,80m de alto y una vitrina central en vidrio de seguridad que albergue el ajuar de la tumba excavada en Dabeiba en el yacimiento arqueológico A618, elementos que se complementarán con un mural sobre los patrones de enterramiento prehispánico en el occidente de Antioquia. Los 20 capítulos sonoros realizados por los jóvenes de Cañasgordas, están colgados en la web, y podrán ser escuchados, leyendo los códigos QR impresos y pegados en la pared al lado del panel.

Digitalización, Biblioteca Especializada Alicia Duzán de Reichel ICANH

Figura 395
Área de exposición, 3 paneles, vitrina central, en el muro de la derecha el mural.



Se logra identificar un área propicia para albergar la totalidad del material arqueológico en una zona segura, libre de posibles inundaciones, de condiciones estables en términos de temperatura, no hace parte de las áreas de tránsito y por el contrario podrían resguardar de forma segura los elementos arqueológicos, a la vez que se encontrarían disponibles para futuras visitas de investigadores interesados en reconocer la cultura material asociada al proyecto

Figura 396
Bodega adecuada en Palacio de la Cultura Cañasgordas



Los colores a utilizar en muros y la vitrina central son, azul mineral y verde pino para los muros y zapote/arupo para la vitrina central y el canto de los paneles de exposición.

Figura 397
Colores a utilizar en muros y la vitrina central

Digitalización, Biblioteca Especializada Alicia Dussán de Reichel. ICANH



A continuación, se presenta la idea general para cada uno de los tres murales, esta información es la base sobre la cual el montajista y la diseñadora gráfica del museo trabajan para determinar las ubicaciones de información, y las combinaciones de colores y objetos dentro del espacio museográfico. Los 3 paneles miden cada uno, 1.80cm X 1.20 cm, están fabricados en Pelikan RH blanco de 19 mm, con tapa canto color arupo, se sujetarán de la pared con pines de acero inoxidable, el pedestal de la vitrina se elaboró en Pelikan RH arupo de 19 mm, con vidrios templados y los herrajes en acero, todo diseñado a la medida por un montajista.

Mural 1

El panel 1 presentará los resultados del programa de arqueología preventiva de MAR2. Valiéndose de la representación de una estratigrafía arqueológica se organizarán (verticalmente) cronológicamente los tipos cerámicos, sus decoraciones y formas de vasijas, con el fin de dar a conocer los materiales arqueológicos recuperados.

Mural 2

El panel 2 dará cuenta del trabajo de divulgación del programa de arqueología de MAR 2, mostrando los rostros de la diversidad juvenil del municipio de Cañasgordas, representada en unión Radio y Cañas Discover, dos grupos de jóvenes que interactuaron con el mundo de la arqueología, la etnografía, la historia y la radio, en camino de conocer su historia y territorio. Será un collage de rostros con elementos gráficos refrescantes como la libreta, la cámara, el micrófono que usaron mientras recorrían su pueblo para recoger historias. Los 20 capítulos sonoros realizados por los jóvenes, podrán ser escuchados, leyendo los códigos QR impresos y pegados en la pared al lado del panel.

Mural 3

El panel 3 divulgara los resultados obtenidos por la excavación y posterior estudio de la tumba denominada A 618, el mural se dividirá en tres, un espacio superior que llega hasta la mitad del panel, donde se graficara la planta de la tumba, mostrando la posición de los individuos y el ajuar(dibujo), la parte inferior se dividirá en dos espacios, uno para el dibujo de la planta perfil de la tumba de poso con cámara y el otro para fotos más detalladas del ajuar (11 vasijas, hachas, metates). Las actividades de diseño de los paneles he instalación de la museografía están realizando.

Finalmente decir que la bodega y el área museográfica en la casa de la cultura IMUANTAYÖ, adecuadas por el proyecto de construcción vial MAR 2, serán utilizadas para exponer y guardar los materiales recuperados en ejecución de las AIA 7231 y 8320.

Digitalización, Biblioteca Especializada Alicia Dussán de Reichel. ICANH

7. CONCLUSIONES

A partir de investigaciones en el occidente Antioqueño, el Instituto de Estudios Regionales (INER) de la Universidad de Antioquia, han develado procesos geohistóricos con aproximadamente 9 mil años de antigüedad. Este conocimiento de carácter histórico, arqueológico y geográfico construido en décadas de investigación, nos permite contrastar nuestros datos con hipótesis de trabajo sólidas, y al tiempo evidenciar el vacío investigativo en los municipios de Cañasgordas, Uramita y Dabeiba, en la cuenca alta del río Sucio (ver mapa del ICANH). Haciendo un balance de la arqueología del occidente Antioqueño, incluyendo el Urabá-Darién y la cuenca del río Sucio en general, Cañasgordas ofrece la posibilidad de responder muchas preguntas, que sólo podrían abordarse apropiadamente, haciendo proyectos de arqueología básica, como los ejecutados por el INER en Frontino, Abriaquí y Urrao.

El territorio de Cañasgordas es una vía natural de comunicación entre regiones como la cuenca del rio Cauca y Urabá-Darién. La cuenca del río Sucio, no solamente fue un corredor de poblamiento desde el área del Darién, sino que a lo largo del tiempo ha sido ocupada por sociedades complejas, también cabe la pregunta por el papel que jugó el área de Cañasgordas en los procesos sociales de interacción de las sociedades prehispánicas asentadas en el norte de la cordillera occidental antioqueña, municipios de Ituango y Peque y otras documentadas en los municipios de Abriaquí y Frontino. Otro aspecto relevante en esta área es la convergencia de patrones funerarios diversos, como los túmulos de Frontino, presentes también en Cañasgordas y Dabeiba, y el hipogeo en forma de “casita” de Cañasgordas, reportados también en Dabeiba y Mutatá. El rio sucio superior conecta el occidente de Antioquia con el Nudo del Paramillo, que a su vez lo separa de la cuenca del río Sinú, donde está el otro gran complejo de túmulos funerarios del occidente y noroccidente de Colombia. En Cañasgordas convergen estas prácticas funerarias, que podrían deberse una misma sociedad con tratamientos diferenciales de la muerte, lo que indicaría diferenciación social, tal vez política o identitaria; o formas de enterramiento efectuadas por sociedades diferentes en distintos tiempos.

Digitalización: Biblioteca Especializada Alicia Dussán de Reichel ICANH

En la prospección de las ZODMES de la UF 1(Orozco, 2019), se planteó la posibilidad de que los diversos procesos de cambio e interacción social a nivel regional, tienen un correlato local, específicamente en los resultados de esta prospección se observa el aumento de intensidad de la ocupación humana en las laderas bajas contiguas al Río Sucio entre los siglos VIII y XVI, en claro contraste, con las bajas densidades de materiales arqueológicos asociados a los periodos tempranos recuperados en este estudio para las mismas áreas.” (Orozco, 2019). Así, los hallazgos en Cañasgordas y Uramita sugieren una dinámica similar a la planteada por Piazzini para Frontino y Urrao. En particular, para el período 4 (ca. 800-1550 d.C.), se identificaron diversas pautas de transformación social, evidenciadas en cambios en la producción alfarera dentro de la secuencia cronológica regional y en un aumento en la intensidad de la ocupación (Piazzini et al., 2009).

Distintamente para este estudio, el periodo tres presenta un auge alfarero en comparación con los otros periodos, asociados al periodo tres se identifican en total 8 tipos cerámicos, que representan el 50% del total de la muestra cerámica recuperada; es posible identificar bases planas, vasijas subglobulares, globulares cántaros, cuencos, platos y pintaderas o rodillos; igualmente se logran identificar asas, lo que da una silueta compuesta a diversas vasijas de mediano tamaño que requirieron de estos elementos para su transporte o fácil manipulación.

En este punto hay que decir que las preguntas planteadas por el arqueólogo Emilio Piazzini que orientaron esta investigación arqueológica desde un principio fueron:

¿A qué pueden remitir las diferencias evidentes entre los patrones de enterramiento en túmulos y aquellos en hipogeos?

¿La discontinuidad entre estos dos patrones de enterramiento es concomitante con fronteras territoriales entre grupos con diferentes posiciones políticas frente en redes de intercambio e interacción regional? O, por el contrario, ¿la tumba de La Esperanza hace parte de una diversificación de prácticas funerarias que se produjo al interior de sistemas jerarquizados de poder? (Piazzini, 2001)

Con respecto a estas preguntas, lo primero que habría que decir es que, a la arqueología en obras de infraestructura, le exigen, como es lógico, preguntas de investigación con criterios arqueológicos, pero estos criterios y las líneas de investigación resultantes, en realidad nada tienen que ver con la escogencia de las áreas de muestreo, que están determinadas, por el diseño de las obras, esta incongruencia tiene consecuencias directas en los resultados.

Digitalización, Biblioteca Especializada Alicia Dussán de Reichel. ICANH

En la ladera baja del Rio sucio, por donde discurre la vía al Mar, muy cerca al rio Sucio, encontramos infinidad de sitios arqueológicos que parecen haber sido utilizados como vivienda, y uno de ellos reutilizado en una época posterior como sitio de enterramiento; no se encontraron hipogeos de “casita” o túmulos funerarios, corroborando que estos últimos podrían haberse ubicado en cuchillas y sitios altos de gran visibilidad. En su mayoría estos yacimientos arqueológicos, son fragmentos sepultados de cerámica y líticos prehispánicos.

Esta investigación aporta en la dirección de comprender mejor los patrones de enterramiento y ocupación de los grupos humanos de la zona, el hallazgo de un enterramiento primario en nicho directo y secundario múltiple en una tumba de pozo con cámara lateral; en el sitio arqueológico A618 en Dabeiba, Antioquia, fechada entre 1.400 y 1.500 d.C. (Beta 528425 y 528426), este tipo de enterramiento se suma a las tumbas de cancel con forma de casita y el cancel rectangular al interior de un túmulo, en el complejo funerario Palmira, y a los túmulos funerarios dispersos en 2.000 km cuadrados, dándonos una idea más amplia de la diversificación de prácticas funerarias que produjeron los sistemas jerarquizados de poder en épocas tardías, La convivencia de estos patrones de enterramiento parecen evidenciar hacia el interior de las comunidades, las diferentes posiciones políticas de los individuos frente a redes de intercambio local o de interacción regional, además de representar muy posiblemente fronteras territoriales entre grupos étnicos o culturales distintos.

Estas tres formas de enterramiento tardías muy seguramente son evidencia de procesos sociales de carácter regional sucedidos en el noroccidente de Antioquia y Urabá, que para nada debieron

estar aislados de lo sucedido en la denominada área chocó Norte (Piazzini, 2020). Para esta área denominada Choco norte se han reportado estructuras hidráulicas como las de la Depresión Momposina, en Chigorodó, Antioquia, río León (Posada, 2022) y en el rio Bayano, corregimiento de Santa Cruz de Chinina, distrito de Chepo en Panamá (Martin, 2007), evidencias como esta nos invitan a mirar la macro región del Darién por fuera de las fronteras nacionales.

Otro resultado de esta investigación es el análisis petrográfico de 15 secciones delgadas realizadas a diversos tipos cerámicos recuperados en los municipios de Cañasgordas, Uramita y Dabeiba; los resultados de estos análisis de composición mineral de las pastas evidencian que las arcillas y las adiciones empleadas para la fabricación de la cerámica, son de origen local, empleadas en los periodos 2, 3, 4 y 5 entre 800 a.C. y el 1.900 d.C., como ya dijimos, el análisis permite entender la poca variabilidad en la composición de las pastas, esto debido a su proveniencia local, con la particularidad del Tiesto Molido en algunos fragmentos clasificados diagnósticos para los tipos cerámicos de los periodos 2,3,4 y 5 entre los años 800 a.C. y el 1.900 d.C, que también ha sido reportado en cerámica hallada en los camellones de cultivo estudiados recientemente en el rio León, Mutatá, Antioquia (Posada, 2022), también se reportó tiesto molido en Urabá sitio el Estorbo (Gustavo Santos) y en el rio San Jorge (Restrepo, 2015), esto demuestra el carácter regional de algunas líneas de evidencia que apenas empiezan a consolidarse.

Estos posibles indicadores locales con dispersión regional , permiten pensar en la posibilidad de que los asentamientos de las sociedades prehispánicas que ocuparon las laderas bajas en la cuenca alta del rio del rio Sucio, sostuvieron una interacción con otras comunidades a nivel regional, y muy seguramente su ubicación en el paisaje, tiene que ver a nivel local con la explotación de recursos y el uso del rio Sucio, y a nivel regional con posibles circuitos de comercio que permitieran a sus habitantes explotar su localización cerca de ecosistemas estratégicos, que les permitían el desarrollo de sus actividades económicas y culturales, logrando especializarse en el manejo y explotación de recursos de interés local como la pesca y la extracción de oro y a nivel regional el comercio de estos, por otros productos que muy seguramente circulaban por los caminos. El uso cotidiano de los recursos les permite a los individuos conocer sus entornos y vincularse a rutas de aprovisionamiento e intercambio a escala regional, construyendo un espacio-tiempo social que comienza a hacer emerger un territorio socialmente construido, que se configura a través del manejo rutinario de relaciones de poder, económicas, políticas y rituales.

Digitalización: Biblioteca Especializada Alicia Dussán de Reichel. ICANH

Así mismo, “la estructuración espacio- temporal de la vida social define cómo las acciones y relaciones sociales son materialmente constituidas, concretadas (Soja 1989: 129). Esta dialéctica implica que las experiencias y conceptualizaciones del espacio y el tiempo están estrechamente ligadas a los procesos de cambio e interacción social[2] (Harvey 1998: 243) y no son sólo una expresión de los mismos.” (Piazzini, 2001).

[2] El concepto de interacción social que Piazzini (2001) define de manera amplia como “el intercambio, de materiales, ideas, creencias e información entre miembros de diferentes grupos sociales (Oddes 1998:417)” (Piazzini, 2001).

7.1 Patrón de asentamiento

La ocupación humana de la ladera baja de la cuenca alta del rio Sucio en los municipios de Cañasgordas, Uramita y Dabeiba, se presenta (el trazado de la carretera va cerca al rio, lo que determinó el área de muestreo) principalmente en pequeños descansos de ladera, o asientos, que son áreas planas que podrían ser adecuaciones o desprendimientos de suelo de la misma ladera, y terrazas de origen coluvial o aluvial cercanas al cauce del rio Sucio, en promedio la distancia de estos asentamientos al eje del río es de 112m, oscilando entre 13m el más cercano a la ribera y 178 metros el asentamiento más alejado, con respecto a los tamaños de los sitios arqueológicos, la mitad son más grandes de 1.395 m^2 y los otros 14 sitios son más pequeños, el tamaño promedio de un sitio arqueológico seria 3.900 m^2, el más grande mide 12.520 m^2 y el más pequeño 572 m^2. En general, los pequeños en general están sobre la ladera baja, en pequeños descansos o posibles adecuaciones, más alejados del rio Sucio y los sitios grandes están más cerca.

Tabla 38
Tamaño, ubicación y periodo de los sitios arqueológicos

Sitio Arqueológico	Tamaño de Corte estratigráfico (metros cuadrados)	Tamaño de yacimiento (metros cuadrados)	Distancia al Riosucio (metros lineales)	Periodos identificados
Zap1-UF1	4	1395	80	P2, P3, P4
Zap2-UF1	4	886	39	P4
Zap3-UF1	4	1245	82,5	P2, P3, P4
Zap5 corte 1 UF1	9	12520	54,4	P2, P3, P4
Zap 5 corte 2 UF1	8	12520	69,1	P2, P3, P4
Zap 5 corte 3 UF1	8	12520	84,1	P2, P3, P4
Sondeo Positivo 830 UF1	4	620	138,2	P3, P4
Zap6 UF1	4	1492	116	P2, P3, P4, P5
Sondeo positivo 847 UF1	4	8632	13,6	P2, P3, P4, P5
Zap7 UF1 corte 1	2	10.840	89,2	P3, P4
Zap7 UF1 corte 2	2	10.840	89,2	P3, P4
Sondeo positivo 882 UF1	4	9.532	61,9	
Zap1 N523 UF2-3	4	1785	91,8	P2
Zap1 A409 UF2-3	4	1599	135,5	P2, P3
Zap2 N562 UF2-3	4	2350	152,8	P2, P3
Zap2 N571 UF2-3	4	1967	145,2	P2
Sondeo positivo A618 UF2-3	8	1135	170,8	P2 P5
Sondeo positivo A622 UF2-3	4	735	155,5	P2, P3, P4
Zap3 UF2-3	4	670	62,3	P2, P3, P4
Sondeo positivo N1074 UF2-3	3	625	98,8	P2, P3, P4
Sondeo positivo RS1NC UF2-3	4	572	119	P2

Digitalización, Biblioteca Especializada Alicia Dussán de Reichel. ICANH

Sitio Arqueológico	Tamaño de Corte estratigráfico (metros cuadrados)	Tamaño de yacimiento (metros cuadrados)	Distancia al Riosucio (metros lineales)	Periodos identificados
Zap4 A715 RS1NR UF2-3	6	967	121,7	P2, P3, P4, P5
Zap4 N1188 UF2-3	4	2345	178,9	P2, P3, P4, P5
Zap4 A717 UF2-3	4	1125	140,5	P2, P3, P4
Zap4 A718 UF2-3	4	1053	157,4	P2, P3, P4
Zap4 N1198 UF2-3	4	986	158,6	P2, P3
Zap1 UF4	4	2450	126,6	P2
Zap2 UF4	4	5898	143,1	P2, P3, P4

Siguiendo a Piazzini (2004), en torno al poblamiento y uso del espacio en el Noroccidente antioqueño, este observa tres tendencias de uso del espacio en épocas precolombinas, menciona Primero, *los sitios funerarios se ubican en las cimas de las cuchillas y con menor frecuencia en planos sobre ladera y planos coluviales*, esta aseveración se cumple en esta investigación a partir del hallazgo del contexto funerario A618 en un plano aluvial cerca de la ribera del Rio Sucio, este yacimiento arqueológico es un contexto domestico que luego paso a ser funerario, la cerámica asociada a los estratos arqueológicos tiene una tipología del periodo 2, mientas el ajuar de la tumba es de un tipo Crema Fino del periodo 5 que va del 1.550 al 1.900 d.C. (Piazzini, 2018), los patrones de enterramiento que se encontraron son primarios y secundarios, primario en nicho directo y secundario en una tumba de poso con cámara lateral, que no han sido reseñados para el área del proyecto y que no tienen antecedentes similares localmente (Botero, Muñoz, & Ortiz, 2011; Castillo, 1988; Piazzini, Posada, Arango, & Escobar, 2009), el ajuar de la tumba presenta pequeñas vasijas, cinceles, hachas, metates y restos de fauna con huellas de faenado, la cerámica de este contexto funerario también es asociada con la cronología propuesta para el tipo cerámico inciso con borde doblado (Castillo,1988), también identificado en otros contextos arqueológicos funerarios de la región del noroccidente de Antioquia, las cronologías de ambas tipologías concuerdan con la datación radiocarbónica realizada en este yacimiento A 618.

Digitalización, Biblioteca Especializada Alicia Dussán de Reichel, ICANH

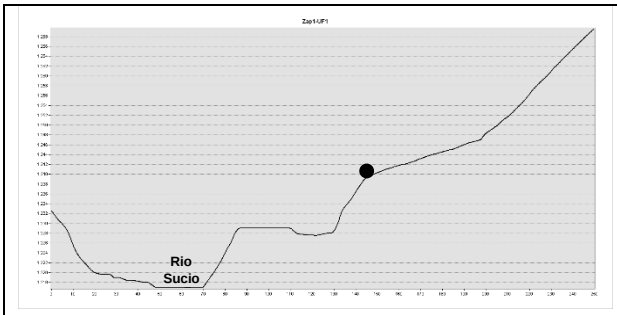
En segundo lugar, plantea que los sitios con contextos domésticos se encuentran mayormente en planos sobre ladera, poco extensos, en cercanías a pequeñas fuentes de agua o sobre terrazas coluvioaluviales poco extensas. en la presente investigación, la mayoría de los yacimientos presentan tamaños reducidos y se encuentran en aterrazamientos de la ladera baja de la cuenca alta del Rio Sucio y con promedios de cercanía a este río que no superan los 120m de distancia.

En tercer lugar, Piazzini observa una tendencia de los sitios que combinan contextos domésticos y funerarios a situarse en terrazas coluvioaluviales, En este caso, como ya se ha anotado, en la ocupación del yacimiento arqueológico A 618, se identificaron dos momentos, en el periodo 2 fue utilizado como espacio doméstico y en el periodo 5 como espacio funerario.

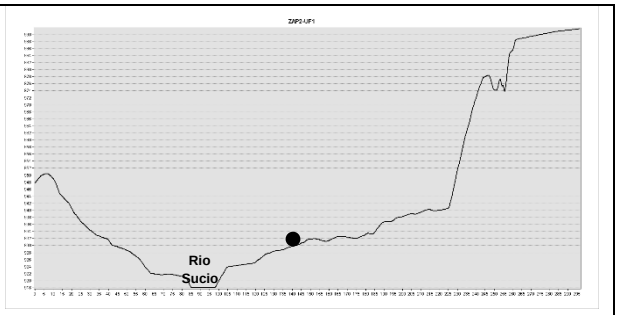
Teniendo presente que arbitrariamente el área de muestreo la determina el trazado de la vía, y que esta va contigua al rio Sucio, nuestros resultados aunque se remiten a esta área, que hemos denominado ladera baja de la cuenca alta del rio Sucio, se pueden leer en clave regional, como lo hemos intentado en este acápite; en la siguiente tabla se presentan los gráficos del corte transversal de la cuenca del Rio Sucio, en cada sitio arqueológico identificando. En general en la UF 1, pendientes fuertes, mientras que el paisaje de laderas con pendientes suaves se extiende a partir de las UF 2 - 3.

Figura 398

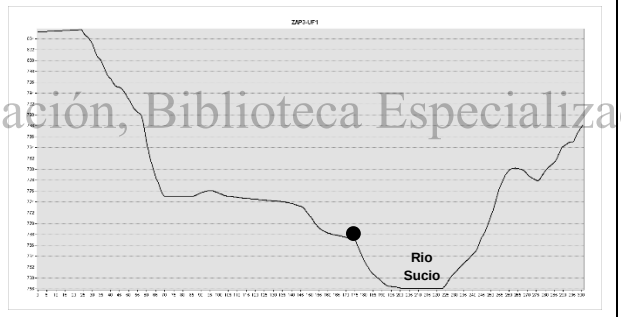
Ubicación de los cortes estratigráficos respecto al río Sucio



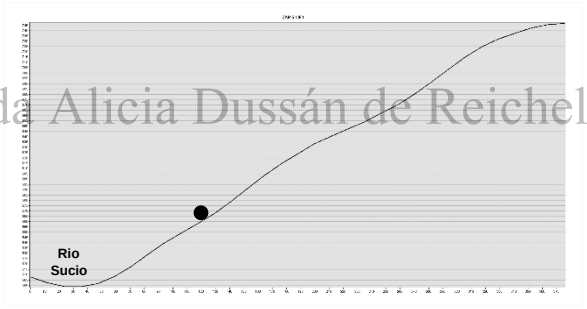
ZAP1 - UF1



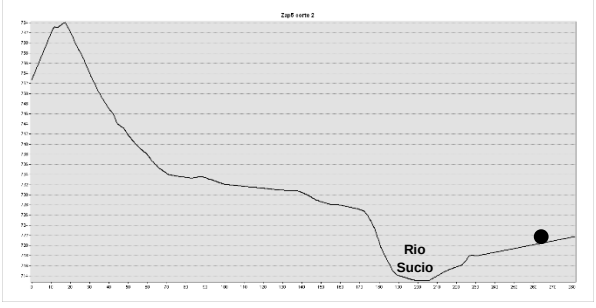
ZAP2 – UF1



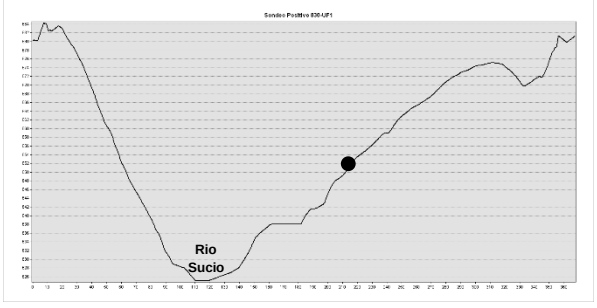
ZAP 3 – UF1



ZAP5 – UF1

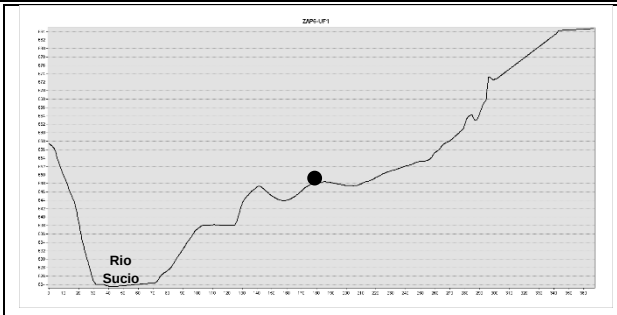


ZAP 5 – UF 1 Corte 1 y 2

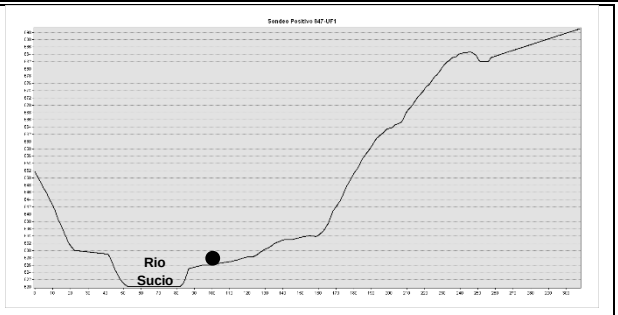


Pozo de sondeo positivo 830 UF1

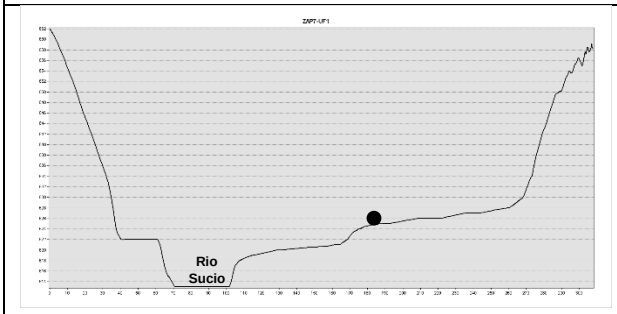
Digitalización, Biblioteca Especializada Alicia Dussán de Reichel. ICANH



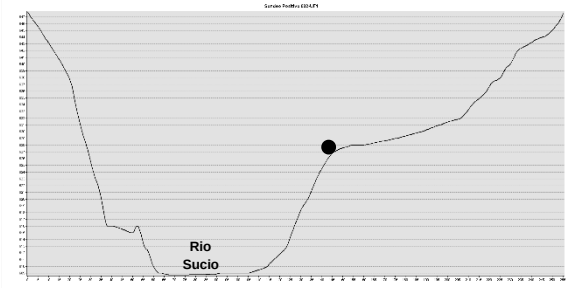
ZAP6 UF1



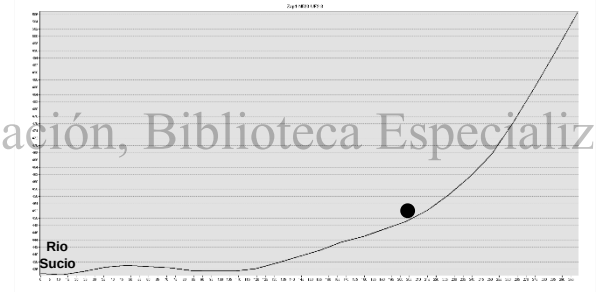
Pozo de sondeo positivo 847 UF1



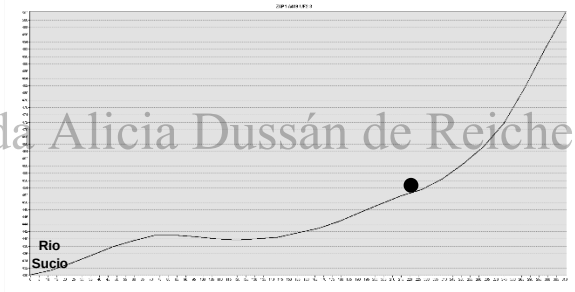
ZAP7 UF1



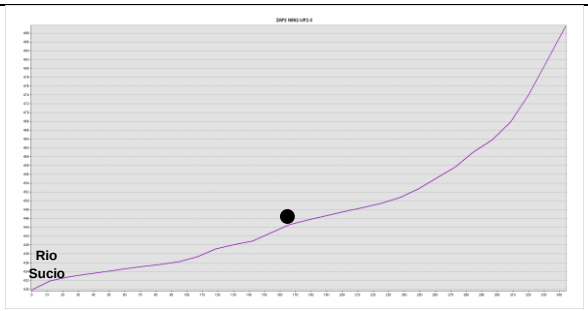
Pozo de sondeo positivo 882 UF1



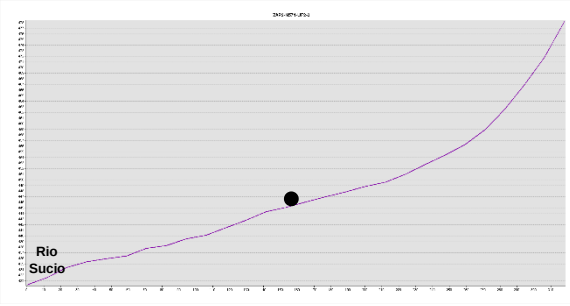
ZAP1 N523 UF2-3



ZAP1 A409 UF2-3

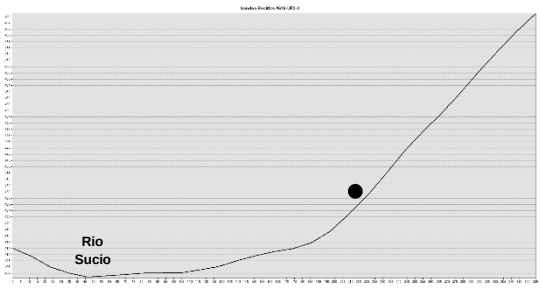


ZAP2 N562 UF2-3

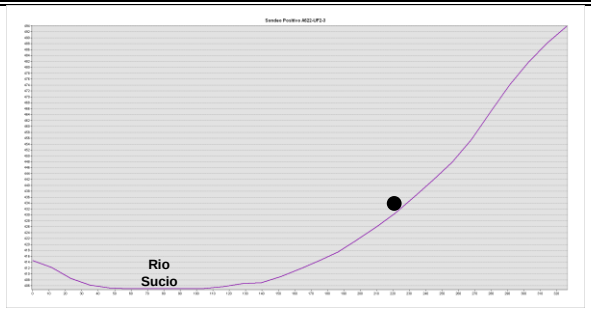


ZAP2 N571 UF2-3

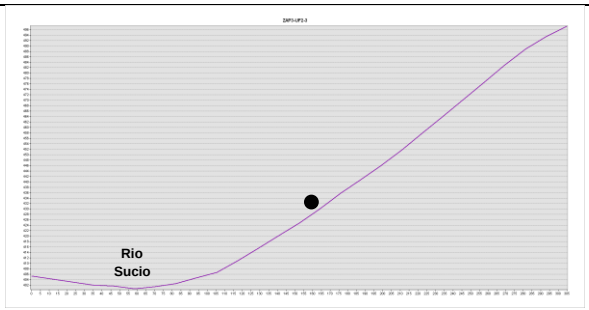
Digitalización, Biblioteca Especializada Alicia Dussán de Reichel. ICANH



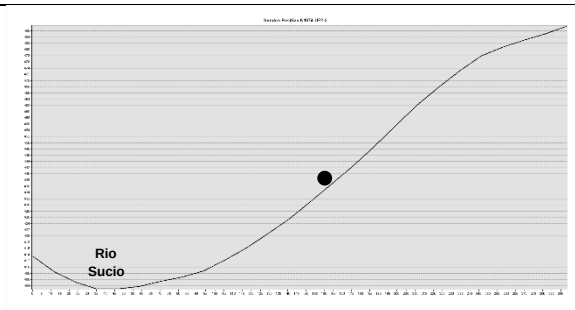
Pozo de sondeo positivo A618 UF2-3



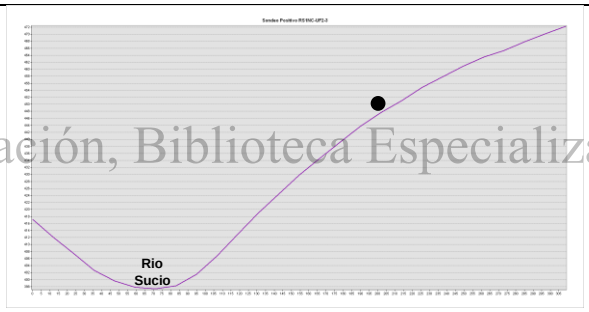
Pozo de sondeo positivo A622 UF2-3



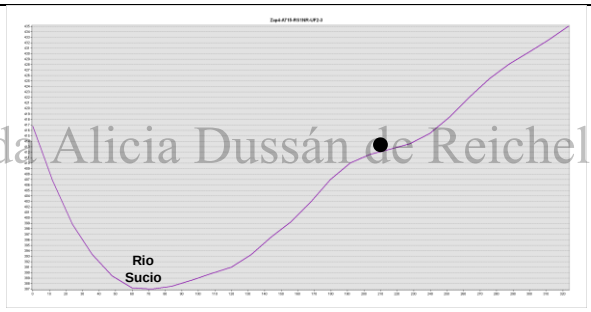
ZAP3 UF2-3



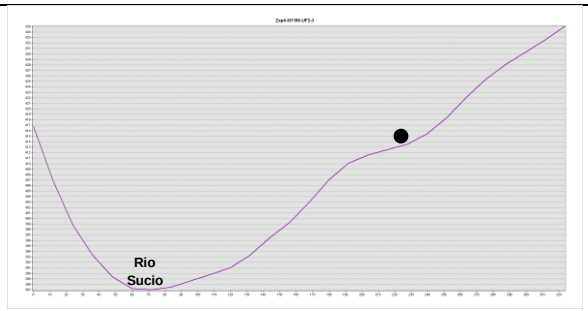
Pozo de sondeo positivo N1074 UF2-3



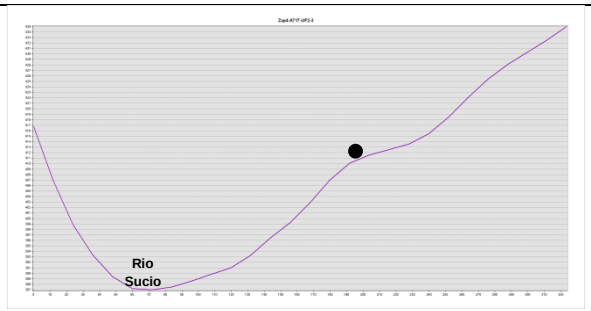
Pozo de sondeo positivo RS1NC UF2-3



ZAP4 A715 UF2-3



ZAP4 N1188 UF2-3



ZAP4 A717 UF2-3

Digitalización, Biblioteca Especializada Alicia Dussán de Reichel. ICANH

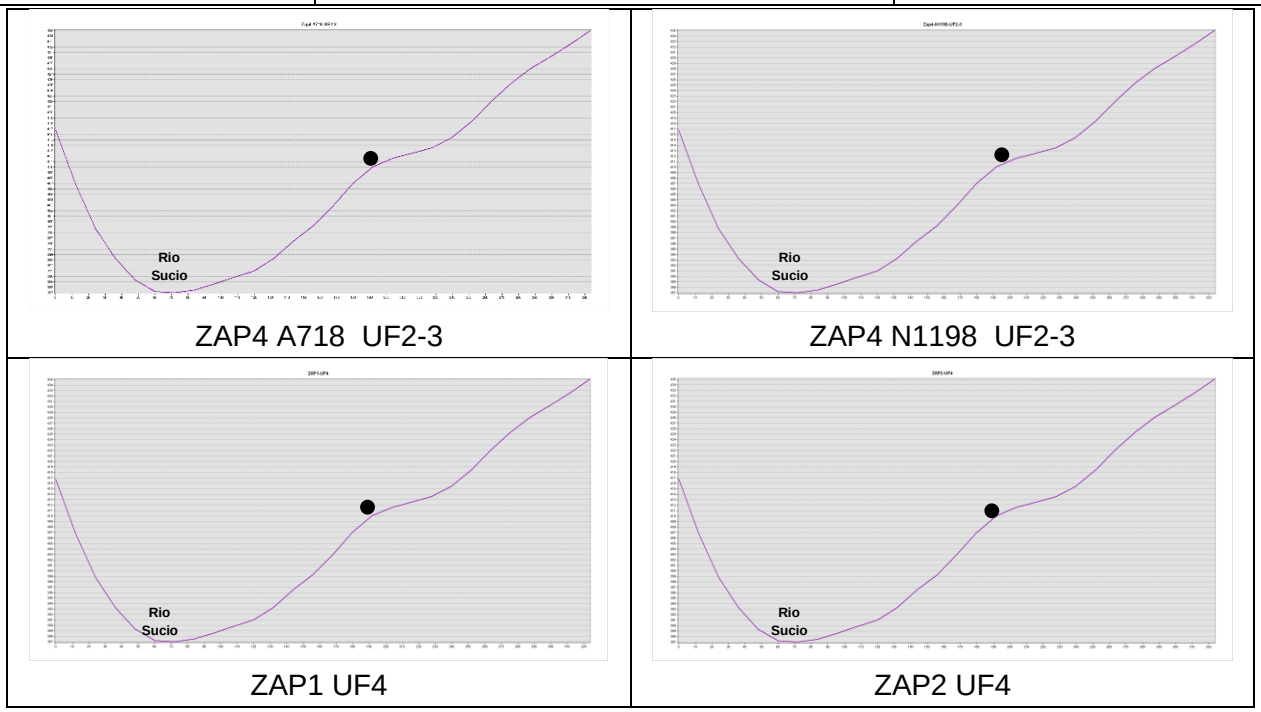
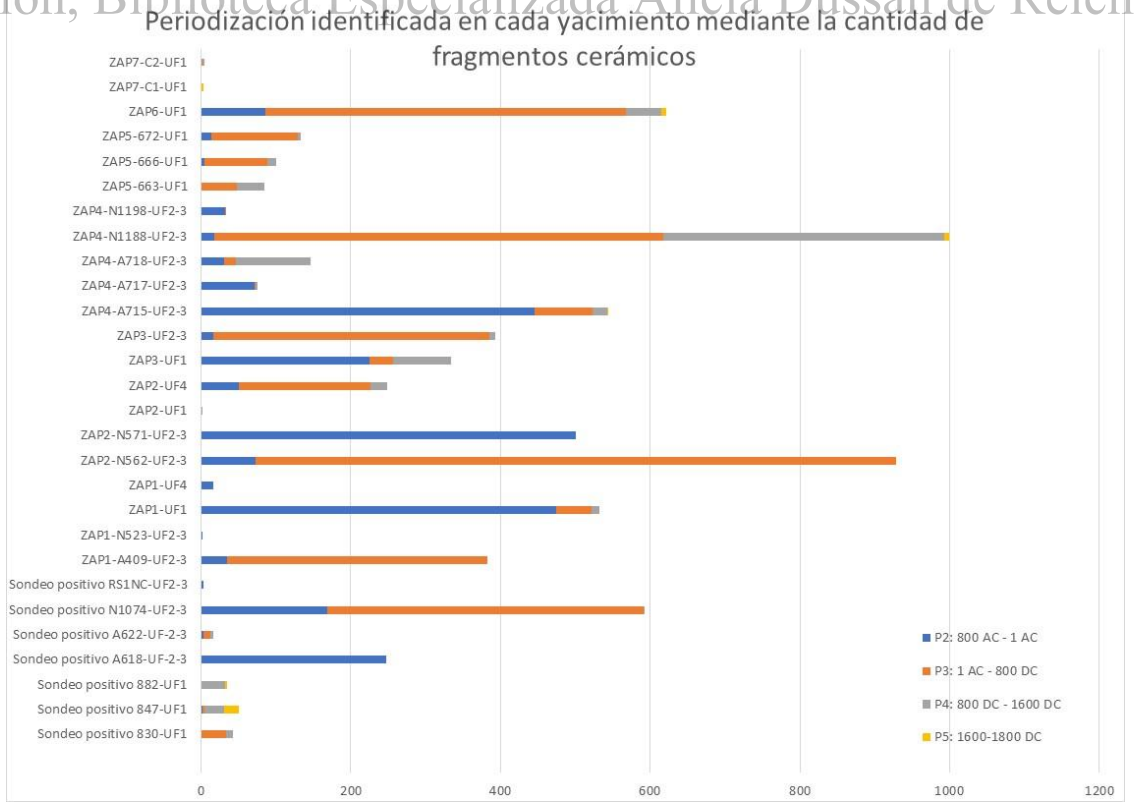


Figura 399
Periodización de los cortes estratigráficos

Digitalización, Biblioteca Especializada Alicia Dussán de Reichel. ICANH



A partir de la clasificación cerámica mediante la propuesta de periodización en la presente investigación se reconocieron procesos de reasentamiento, reutilización y abandono de asentamientos, en la Figura 399 se indica la distribución de la cerámica de cada uno de los cortes estratigráficos respecto a los periodos.

Si bien se encuentran yacimientos que fueron ocupados o presentan los tipos cerámicos de los 4 periodos cronológicos identificados en la presente exploración, la tendencia que evidencian los tipos cerámicos identificados es un posible auge de la ocupación de la ladera baja de la cuenca alta del rio Sucio hacia el periodos 3, con la salvedad de hallar mayor cantidad de yacimientos asociados a los tipos cerámicos del periodo 2, lo que podría estar indicando una ocupación más amplia del territorio, y una mayor frecuencia de fragmentos cerámicos en el periodo 3, que podrían estar revelando una ocupación más intensa, con mayor actividad comercial e interacción social.

Tabla 39

Periodización de los cortes estratigráficos y cantidades de fragmentos cerámicos

Sitio arqueológico	P2: 800 AC - 1 AC	P3: 1 AC - 800 DC	P4: 800 DC - 1600 DC	P5: 1600-1800 DC	Total general
Sondeo positivo 830-UF1		33	9		42
Sondeo positivo 847-UF1	2	2	27	20	51
Sondeo positivo 882-UF1	1		31	3	35
Sondeo positivo A618-UF-2-3	247				247
Sondeo positivo A622-UF-2-3	3	9	4		16
Sondeo positivo N1074-UF2-3	168	423	1		592
Sondeo positivo RS1NC-UF2-3	3				3
ZAP1-A409-UF2-3	35	348			383
ZAP1-N523-UF2-3	2				2
ZAP1-UF1	475	46	11		532
ZAP1-UF4	16				16
ZAP2-N562-UF2-3	73	855			928
ZAP2-N571-UF2-3	500				500
ZAP2-UF1			1		1
ZAP2-UF4	50	176	22		248
ZAP3-UF1	225	32	77		334
ZAP3-UF2-3	16	369	8		393

Digitalización, Biblioteca Especializada Alicia Dussán de Reichel. ICANH

Sitio arqueológico	P2: 800 AC - 1 AC	P3: 1 AC - 800 DC	P4: 800 DC - 1600 DC	P5: 1600-1800 DC	Total general
ZAP4-A715-UF2-3	446	77	19	1	543
ZAP4-A717-UF2-3	72	1	2		75
ZAP4-A718-UF2-3	31	15	100		146
ZAP4-N1188-UF2-3	18	599	376	7	1000
ZAP4-N1198-UF2-3	32	1			33
ZAP5-663-UF1	1	47	37		85
ZAP5-666-UF1	4	85	11		100
ZAP5-672-UF1	13	116	4		133
ZAP6-UF1	86	481	48	7	622
ZAP7-C1-UF1			1	2	3
ZAP7-C2-UF1		2	3		5
Total, general	**2519**	**3717**	**792**	**40**	**7068**

Digitalización, Biblioteca Especializada Alicia Dussán de Reichel. ICANH

Se identifican pocos yacimientos que presenten exclusivamente solo tipos representativos de un periodo dentro de la cultura material hallada, es el caso de Zap2-UF1 con material del periodo 4 y los yacimientos Zap1 N523 UF2-3, Zap2 N571 UF2-3, Sondeo positivo RS1NC UF2-3 y Zap1 UF4 los cuales presentaron materiales exclusivamente asociados al periodo 2; son estas unidades geomorfológicas identificadas en promedio con tamaños de 1600m2 oscilando entre unidades de 572 m2 a 2450m2. En general se presentó continuamente un reasentamiento en las unidades ocupadas por primera vez en el periodo 2, o la ocupación continua de estas, que fueron usadas para vivienda, o como lugar de vivienda y enterramiento, como en el caso del yacimiento A618 de la UF 2-3, que presenta un hiato estratigráfico. La cerámica asociada a la ocupación del sitio es del periodo 2 y la recuperada en el ajuar de la tumba excavada en este mismo sitio es del periodo 5, evidenciando claramente un cambio en el uso de estos espacios, dedicados en una época temprana a la vivienda y en épocas tardías en uso funerario, o probablemente usado como lugares de enterramiento vivienda.

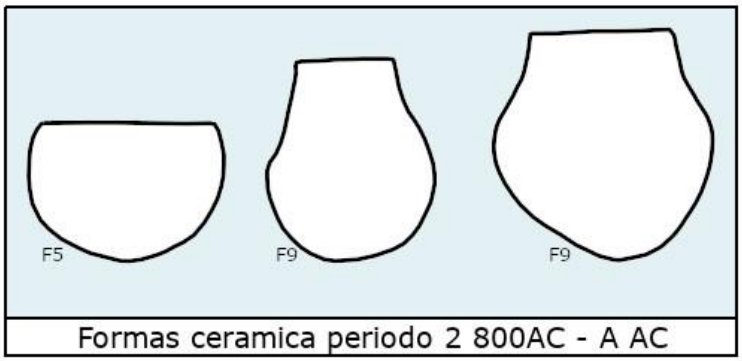
7.2 Conclusiones Análisis Cerámico, Cambios y continuidades en la Producción Alfarera.

A partir de la identificación tipológica de los fragmentos cerámicos con los que cuenta la muestra se ha logrado proyectar un mínimo de formas y vasijas susceptibles de ser reconstruidas teniendo como guía los bordes, quillas, bases, hombros y demás fragmentos que brindaron información morfológica, que ha permitido identificar una tendencia de los utensilios cerámicos a fabricarse de manera simple durante los cuatro periodos de la cronológica adoptada para la

realización de este estudio, estadísticamente se revela una alta frecuencia de fragmentos y producción tipos cerámicos y diversificación morfológica de formas de utensilios para el periodo 3, lo que podría estar indicando crecimiento demográfico y aumento de la interacción social entre los años 1 A.C. a 800 DC.

Figura 400

Formas cerámica Periodo 2 800AC - I AC

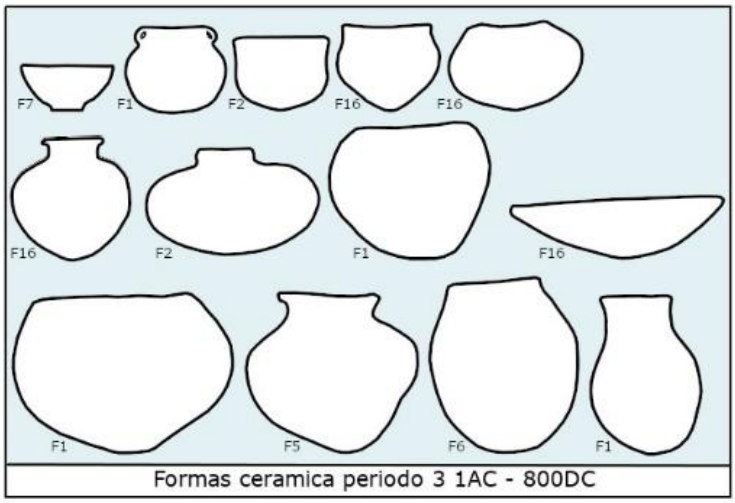


En el periodo 2 se identifican formas de tradición rastreable en diversas investigaciones a nivel regional, especialmente las vasijas alargadas con diseños de incisiones en forma de espina de pescado, las vasijas bajas o de estilo tecomate con bordes levemente invertidos, se identifican siluetas simples sin apliques.

Digitalización, Biblioteca Especializada Alicia Dussán de Reichel. ICANH

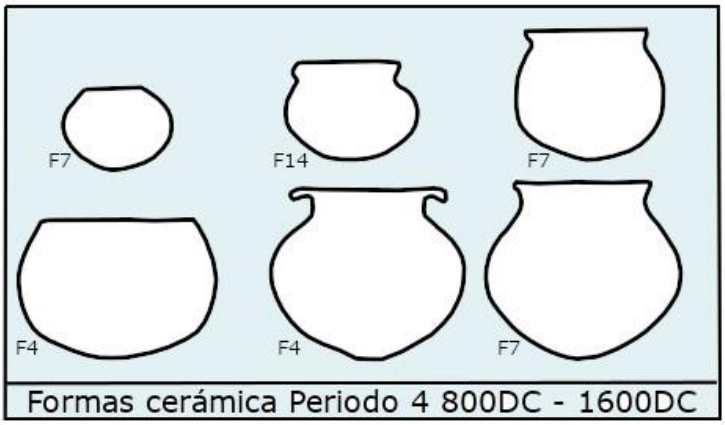
Figura 401

Formas cerámica periodo 3 I A.C. 800DC



El periodo 3 representa el auge alfarero en el área de estudio, se identifican en total 8 tipos cerámicos y el total de fragmentos representa el 50% del total de la muestra; es posible identificar bases planas, vasijas subglobulares, globulares cántaros, cuencos, platos y pintaderas o rodillos; igualmente se logran identificar asas, lo que da una silueta compuesta a diversas vasijas de mediano tamaño que requirieron de estos elementos para su transporte o fácil manipulación.

Figura 402
Formas cerámica Periodo 4 800D.C. 1600DC



El periodo 4 si bien las formas se reducen de nuevo a vasijas de siluetas simples, es claro que la muestra de fragmentos totales para este lapso crono-espacial representa el 15% de la muestra total; las vasijas de boca amplia, con diámetros mayores da cuenta de costumbres propias del almacenaje y mantenimiento doméstico de comunidades asentadas por mediano y largo plazo en un mismo lugar.

Figura 403
Formas cerámicas Periodo 5 1600DC - 1800DC

Digitalización, Biblioteca Especializada Alicia Dussán de Reichel. ICANH

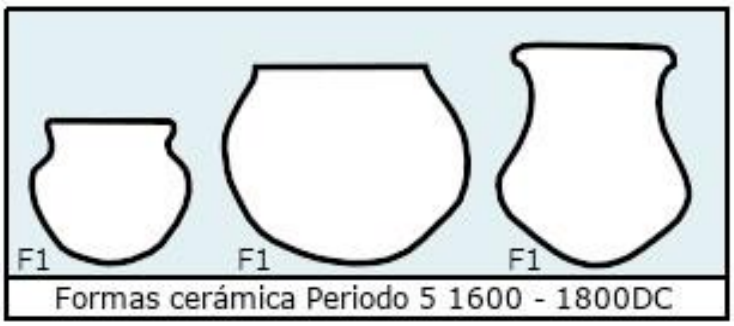
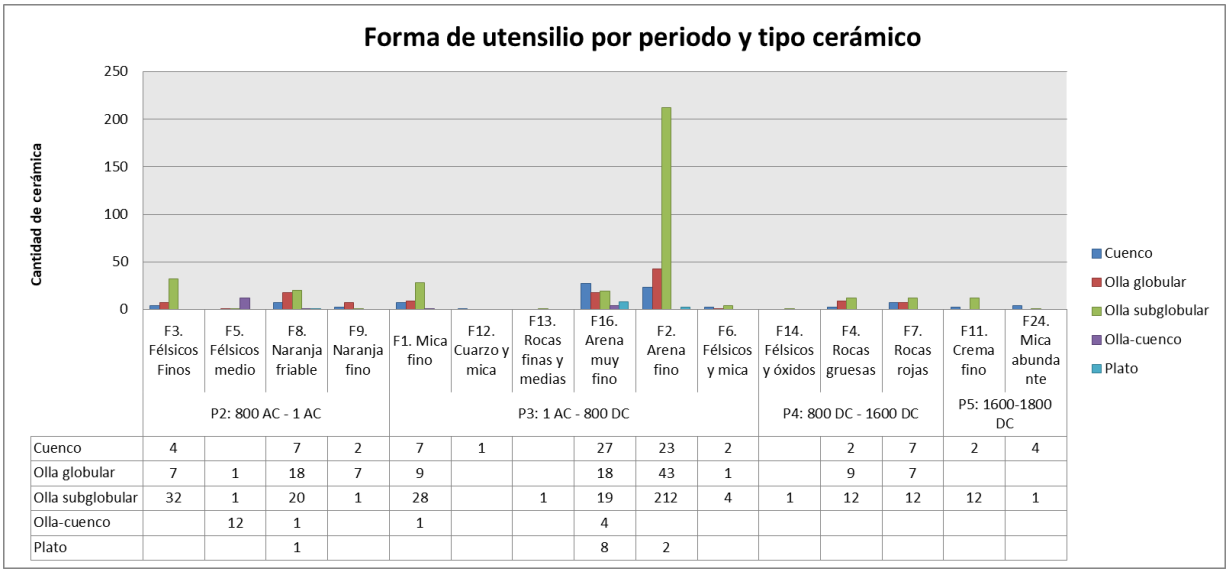


Figura 404

Frecuencia de utensilios en tipos cerámicos



	F3. Félsicos Finos	F5. Félsicos medio	F8. Naranja friable	F9. Naranja fino	F1. Mica fino	F12. Cuarzo y mica	F13. Rocas finas y medias	F16. Arena muy fino	F2. Arena fino	F6. Félsicos y mica	F14. Félsicos y óxidos	F4. Rocas gruesas	F7. Rocas rojas	F11. Crema fino	F24. Mica abundante
	P2: 800 AC - 1 AC				P3: 1 AC - 800 DC						P4: 800 DC - 1600 DC			P5: 1600-1800 DC	
Cuenco	4		7	2	7	1		27	23	2		2	7	2	4
Olla globular	7	1	18	7	9			18	43	1		9	7		
Olla subglobular	32	1	20	1	28		1	19	212	4	1	12	12	12	1
Olla-cuenco		12	1		1			4							
Plato			1					8	2						

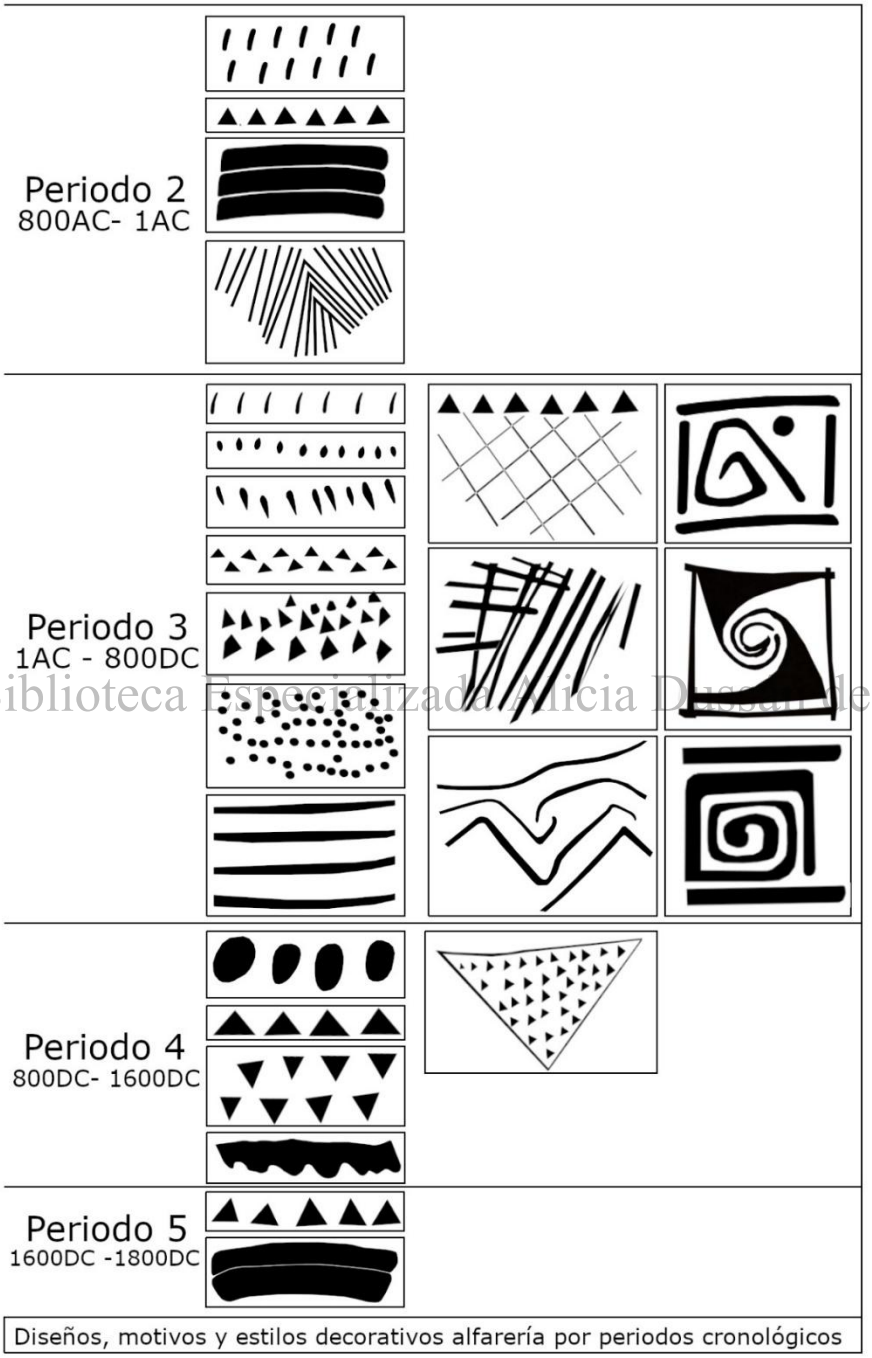
7.2.1 Decoraciones, diseños y estilo alfarero

El desarrollo del registro alfarero ha permitido identificar secuencias de cambio, auge y variabilidad, que a la luz de la periodización propuesta ilustra elementos individuales y conjuntos que forman motivos y elementos iconográficos que emergen, se mezclan y perduran en el estilo alfarero asociado a la región de estudio(Arcila Vélez, 1953; Castillo, 1984; Piazzini, 2004; Piazzini y Posada, 2009; Arias, 2017; Henao, 2017; Vidales, 2019), reconocemos el triángulo, la espiral y los dedos, como los gestos básicos a partir de los cuáles se conjugan las técnicas decorativas de impresión o incisión.

Digitalización Biblioteca Especializada Alicia Dussán de Reichel ICANH

Figura 405

Motivos decorativos identificados a partir de la periodización propuesta para el noroccidente de Antioquia



Digitalización, Biblioteca Especializada Alicia Dussán de Reichel. ICANH

La industria alfarera a partir del registro de técnicas de manufactura y decoración permite inferir que la indumentaria y utillaje para su producción se reduce a elementos probablemente vegetales y guijarros o pequeñas rocas, para alisar y otros para realizar incisiones, punzadas, e

impresiones; en tal sentido la decoración no recurre al aplique o pastillaje o la adición de materia a la superficie de las vasijas, se restringe el alfarero a realizar punzadas o deslizar puntas creando líneas que incitan a volutas, líneas circulares y angulosas que en algunos fragmentos permiten ver claros diseños que se multiplican en pares simétricos, como en rodillos, pintaderas o en platos pintados.

Se reconoce un gesto decorativo, aunque su dispersión y asociación con otros elementos depende del interés del propio creador, se identifica omnipresente en la periodización el motivo del triángulo, que se imprime en la superficie regularmente hacia la parte superior de las vasijas o anexa a la parte exterior de los bordes; si bien se reconocen una hilera de impresiones triangulares que recorren el diámetro de la boca de las vasijas, eventualmente se multiplican llegando a dos hileras paralelas horizontales o incluso una dispersión sin orden aparente en la que se concentran secuencias de impresiones triangulares, probablemente en cuellos de botellones o cuerpos de boca reducida; sumado este gesto de imprimir la punta de un elemento romo y triangular, se identifica la decisión de no alisar rollos en la parte superficial, especialmente los dispuestos en la parte superior de la vasijas, anexa al borde, técnica decorativa que mezclada con la impresión dactilar se ha identificado ampliamente en la alfarería regional, apareciendo en el periodo 2, estando ausente o no reconocible en el 3 y reapareciendo en el periodo 4.

El uso limitado de elementos punzantes de punta afilada y roma, complementa el utillaje decorativo junto a los dedos y manos como herramienta, que mediante el gesto de impresión y arrastre del dedo gordo permite identificar en el tipo Rocas gruesas su único gesto decorativo: digital corrugado o ungulado.

Digitalización, Biblioteca Especializada Alicia Dussán de Reichel. ICANH

Contrasta el cambio del periodo 3 a 4, a partir de la variabilidad expresiva, si bien el gesto se reduce a los movimientos de impresión e incisión, se conjugan líneas con puntos, se realizan decoraciones puntuales a los bordes y labios de las vasijas, así como se crean pintaderas o rodillos de impresión que estilizan el elemento de la espiral, bien mediante una línea que se autocontiene o dos líneas que como hélices que se unen en el centro se dispersan concéntricamente, hallados en pintura blanca sobre roja para el tipo Arena muy fino.

7.3 Conclusiones análisis Petrográfico de 15 secciones delgadas

Para complementar la clasificación, interpretación y análisis de la cerámica recuperada en el proyecto vial MAR 2, se realizaron en 15 muestras de material cerámico, secciones delgadas, a fin de realizar un análisis petrográfico que permitiera conocer más a fondo su composición, y así entender mejor aspectos sobre las fuentes de aprovisionamiento de arcillas, y las adiciones a la pasta, que podrían ser indicadoras de cambios o continuidades en la producción alfarera, estos resultados a groso modo indican que la cerámica fue fabricada con arcillas locales, y que en algunas mezclas para la fabricación de cerámica se hicieron adiciones de tiesto molido, entre el año 800 a.C. y el año 1.550 d.C. aproximadamente.

Tabla 40

Muestras cerámicas para secciones delgadas. Análisis petrográfico

Muestra	# Código Fragmento	Yacimiento	Periodo	Desgrasante	Tipo	Tiesto Molido
1	28+800 monitoreo	28+800 monitoreo	P2: 800 AC - 1 AC	F9. Naranjafino	Tipo 9	X
2	V3-110	V3-110	P3: 1 AC - 800 DC	F10. Rocas finas y cuarzo	Tipo 10	X
3	Línea eléctrica	Línea eléctrica	P4: 800 DC - 1550 DC	F7. Rocas rojas	Tipo 7	X
4	M2-C1-C1-N10-5501	SP-N1074	P3: 1 AC - 800 DC	F2. Arena fina	Tipo 2	X
5	M2- C1-C2-N3-8688	Zap2-UF4	P2: 800 AC - 1 AC	F8. Naranja friable	Tipo 8	X
6	M2-6+000-PS6-N7-07	Z6+000	P2: 800 AC - 1 AC	F3. Félsicos finos	Tipo 3	
7	M2-Z5+300-B1-N7-02	Zvia 5+300	P2: 800 AC - 1 AC	F5. Félsicos medio	F5	
8	M2-Z1-12-D1-N3-62	Z1-12	P4: 800 DC - 1550 DC	F4. Rocas gruesas	Tipo 4	
9	M2- SP26-N2-6176	Zap4 N1188	P3: 1 AC - 800 DC	F1. Mica fina	Tipo 1	
10	M2-C1-C4-N7-2434	Zap6-UF1	P3: 1 AC - 800 DC	F16. Arena muy fino	Tipo 16	
11	M2-C1-C4-N3-2386	Zap6-UF1	P4: 800 DC - 1550 DC	F7. Rocas rojas	Tipo 7	X
12	M2-SP52-N1-1420	SP-576	P5: 1550 DC - 1900 DC	F24. Mica abundante	Tipo 24	X
13	M2-SP62-N1-6316	Zap4 N1188	P3: 1 AC - 800 DC	F22. Cuarzo abundante	Tipo 22	
14	M2-C1-C5,6-R1-5366	SP-A618	P2: 800 AC - 1 AC	F8. Naranja friable	Tipo 8	X
15	M2-C1-C4-N4-704	Zap1-UF1	P2: 800 AC - 1 AC	F9. Naranja fino	Tipo 9	X

Digitalización, Biblioteca Especializada Alicia Dussán de Reichel. ICANH

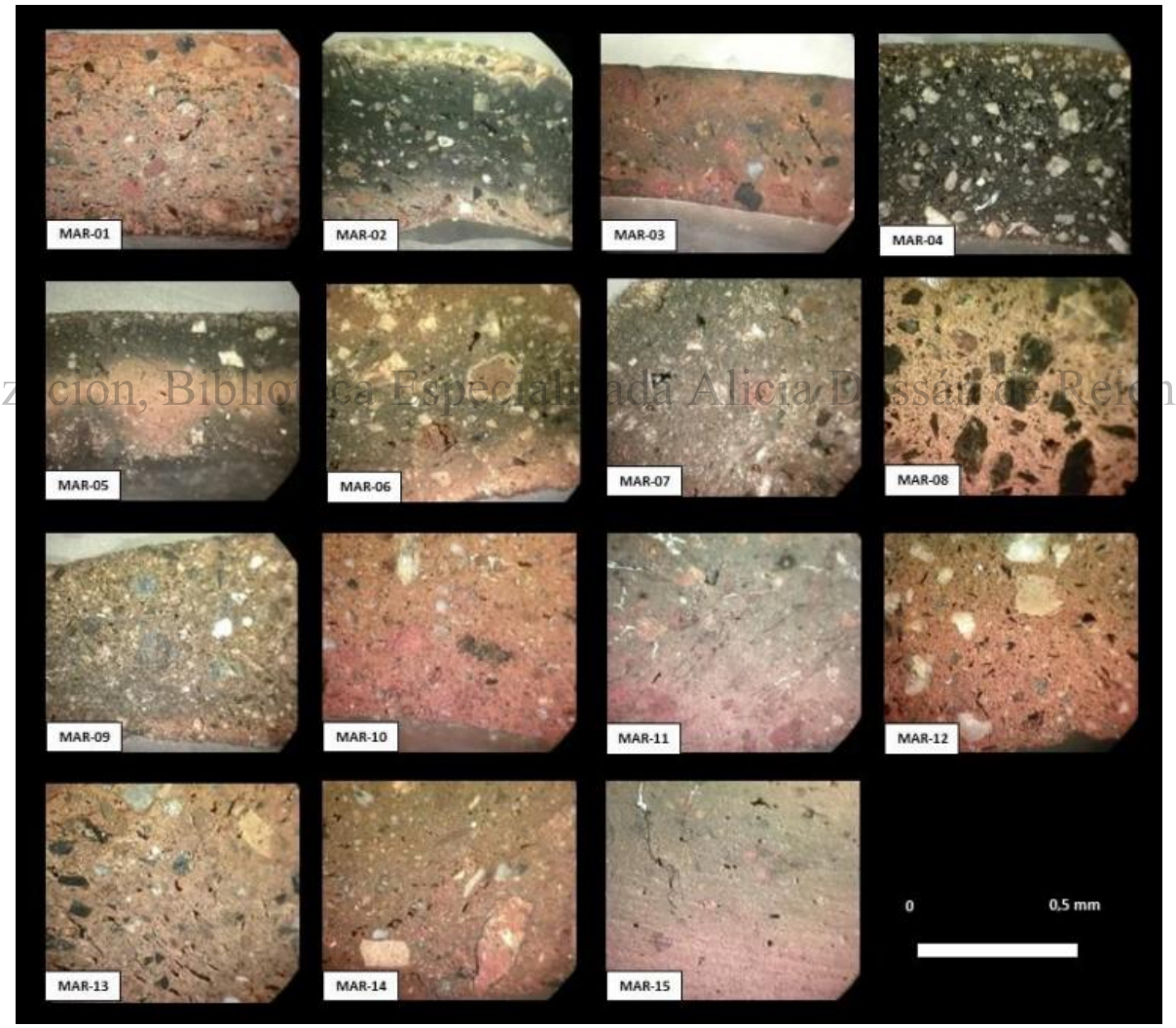
Como aporte adicional a los análisis petrográficos realizados, se hace un ejercicio de agrupamiento desde lo visual y por medio de estadística multivariable a partir de los resultados obtenidos. Luego el análisis de características petrográficas asociadas al proceso productivo cerámico. Se realiza la valoración desde el agrupamiento visual realizado por el petrógrafo y el análisis estadístico multivariable de la información compilada. En cuanto al agrupamiento visual a partir de la observación de las pastas cerámicas en el corte realizado para la elaboración de las secciones delgadas (ver **Figura 406**) y bajo el microscopio petrográfico (ver

Figura 407), se puede establecer que todas las muestras presentan una singularidad ya sea textural o composicional tanto en matriz, como inclusiones, suficiente para considerarlas en principio como pertenecientes a grupos distintos. Sin embargo, un análisis más detallado nos permite encontrar un agrupamiento petrográfico que se podrá asociar a similitudes en la materia prima (proveniencia) o la técnica, por ejemplo.

Visualmente tendríamos una relación textural/composicional entre algunas muestras, formando los siguientes grupos: MAR-01, MAR-03 y MAR-10; MAR-02 y MAR-04; MAR-07 y MAR-09; MAR-11 y MAR-15

Figura 406

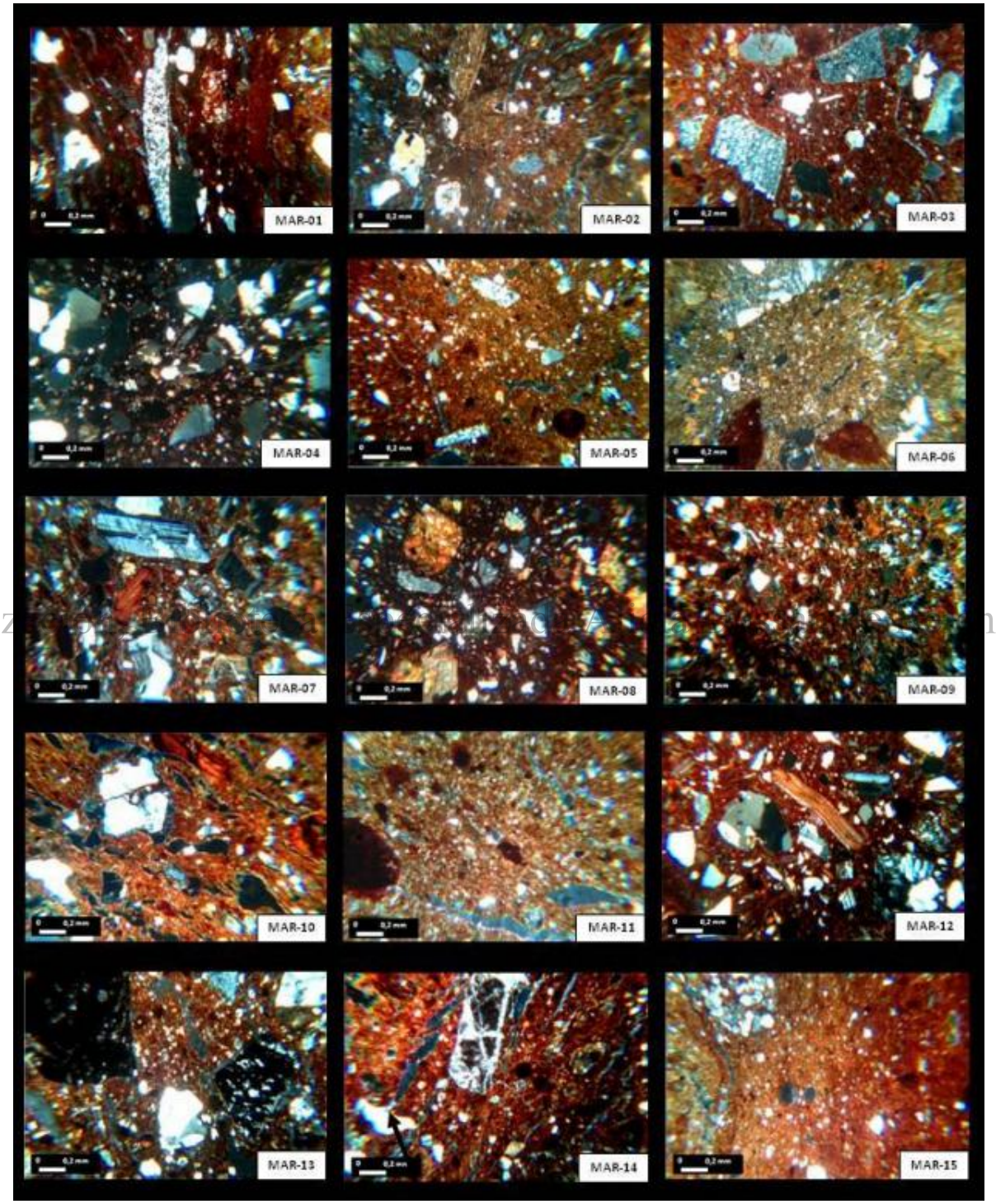
Vista de superficies transversales de las cerámicas estudiadas a 10 aumentos (10X).



Digitalización, Biblioteca Especializada Alicia Dussán de Reichel. ICANH

Figura 407

Vista de pastas bajo el microscopio petrográfico en XPL a 50 aumentos (Objetivo 5X)



Digitaliz nel. ICANH

Para el agrupamiento estadístico por medio de análisis multivariable, se tuvieron en cuenta las relaciones entre constituyentes de la pasta (porcentaje de inclusiones, matriz y vacíos) y la caracterización de inclusiones (tipo, porcentaje total, porcentaje normalizado, esfericidad,

redondez y tamaño), teniendo como resultado 88 variables por cada muestra. Con ellas se analizaron varias poblaciones estadísticas, siendo la más consistente la que involucró todas las variables. El resultado de la matriz de correlación, se presenta en la **Figura 408**.

Como se puede observar no se presentan coeficientes de correlación negativos, con lo cual podemos establecer que todas las muestras tienen algún tipo de relación ya sea positiva débil, moderada o fuerte. Dentro del conjunto de variables, tiene gran peso la presencia de inclusiones (en su mayoría desgrasantes), de la misma composición entre algunas muestras: vidrio volcánico, cuarzo monocristalino, feldespato potásico, nódulos de óxidos de hierro, tiesto molido, líticos ígneos plutónicos y otros componentes menores (Cuarzo policristalino, plagioclasas, biotita, hornblenda, etc).

Partiendo de las relaciones más fuertes y consistentes entre variables, se pueden establecer dos subgrupos y 3 muestras aisladas (ver Figura 55). El subgrupo 1, está compuesto por las muestras MAR-01, MAR-02, MAR-03, MAR-11, MAR-10, MAR-05, MAR-13 y MAR-14, teniendo las últimas tres una relación más fuerte entre ellas. El subgrupo 2, lo constituyen las muestras MAR-04, MAR10, MAR-07, MAR-08 y MAR-12, teniendo las últimas tres una relación más fuerte entre ellas. La muestra MAR-10 está presente en ambos grupos estadísticos, al tener afinidad con elementos de ambos grupos. Las muestras aisladas: MAR-06, MAR-09 y MAR-15, presentan una correlación débil con el resto de la población.

En el caso de la relación estadística entre la muestra MAR-07 y MAR-08, se debe advertir que esta relación está asociada al alto porcentaje de líticos plutónicos (21 y 27% respectivamente) y el mismo tipo de las demás inclusiones: Cuarzo monocristalino, feldespato potásico, plagioclasa, biotita y hornblenda. Su diferencia visual está asociada al grado de oxidación y tamaño de partículas.

Digitalización Biblioteca Especializada Alicia Dussán de Reichel ICANH

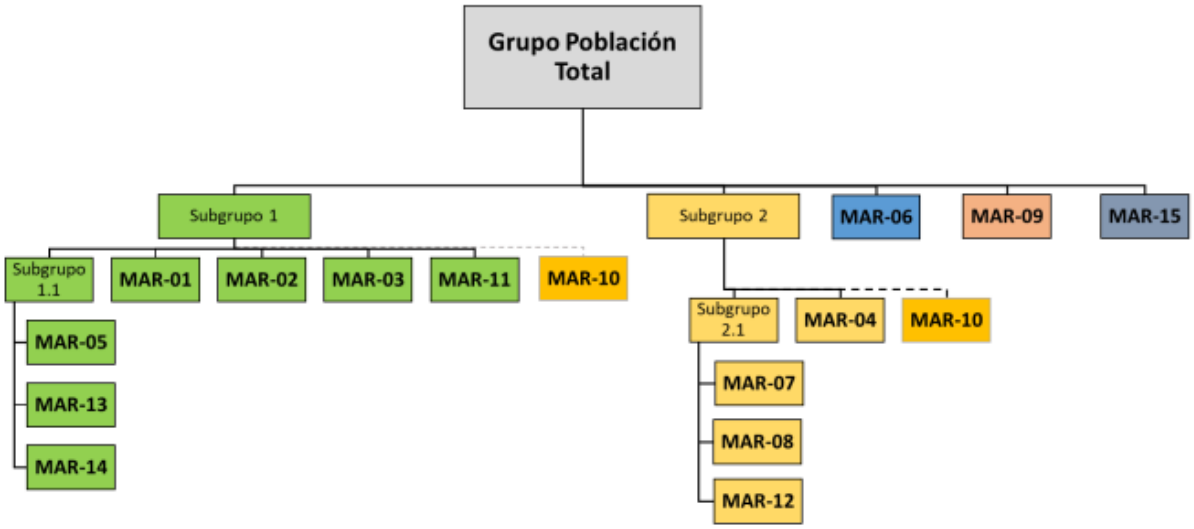
Figura 408

Matriz de coeficientes de correlación estadística a partir de los resultados petrográficos. 88 variables que involucranconstituyentes de la pasta (porcentaje de inclusiones, matriz y vacíos) y la caracterización de cada una de las inclusiones (tipo, porcentaje total, normalizado, esfericidad, redondez y tamaño).

	MAR-01	MAR-02	MAR-03	MAR-04	MAR-05	MAR-06	MAR-07	MAR-08	MAR-09	MAR-10	MAR-11	MAR-12	MAR-13	MAR-14	MAR-15
MAR-01	1.00														
MAR-02	0.89	1.00													
MAR-03	0.92	0.76	1.00												
MAR-04	0.70	0.64	0.66	1.00											
MAR-05	0.89	0.91	0.85	0.71	1.00										
MAR-06	0.60	0.74	0.56	0.45	0.59	1.00									
MAR-07	0.72	0.60	0.62	0.83	0.58	0.42	1.00								
MAR-08	0.63	0.54	0.49	0.73	0.49	0.38	0.96	1.00							
MAR-09	0.66	0.63	0.59	0.65	0.61	0.53	0.63	0.53	1.00						
MAR-10	0.81	0.75	0.83	0.86	0.85	0.54	0.61	0.47	0.61	1.00					
MAR-11	0.87	0.72	0.91	0.60	0.75	0.54	0.57	0.44	0.61	0.81	1.00				
MAR-12	0.78	0.73	0.67	0.93	0.73	0.52	0.90	0.83	0.75	0.80	0.66	1.00			
MAR-13	0.83	0.83	0.80	0.45	0.90	0.49	0.45	0.39	0.48	0.61	0.62	0.52	1.00		
MAR-14	0.85	0.83	0.82	0.77	0.93	0.54	0.61	0.52	0.56	0.84	0.74	0.75	0.82	1.00	
MAR-15	0.71	0.74	0.60	0.65	0.70	0.55	0.50	0.41	0.59	0.76	0.78	0.69	0.45	0.77	1.00

Figura 409

Diagrama de flujo de los subgrupos interpretados a partir del análisis estadístico multivariable de la información obtenida en los análisis petrográficos



En cuanto a las características asociadas al proceso productivo, se obtienen resultados principalmente en aspectos relacionados a la selección y preparación de materias primas, elaboración y cocción.

Digitalización, Biblioteca Especializada Alicia Dussán de Reichel. ICANH

La adición intencional de inclusiones (desgrasantes) se evidencia en el porcentaje, forma, tamaño y composición de ellas. Adicional a las muestras con tiesto molido (MAR-01, MAR-02, MAR-05, MAR-11, MAR-12, MAR-14 y MAR-15) se presentan como fragmentos grandes de roca ígnea plutónica junto con fragmentos pequeños mono minerales de sus constituyentes (Cuarzo monocristalino, feldespato potásico, plagioclasa, biotita y hornblenda) adoptando una forma controlada por la estructura cristalina de cada componente, como resultado del fracturamiento mecánico en la preparación de este desgrasante en las muestras MAR-01, MAR-02, MAR-04, y con mayor presencia en las muestras MAR-07, MAR-08 y MAR-12. En el caso del vidrio volcánico, este se presenta predominantemente anguloso, lo cual es normal en el proceso de molienda de los desgrasantes de grano fino o amorfos (cristalográficamente hablando). Se encontraron restos de materia orgánica en la muestra MAR-11, pero al no ser porcentualmente significativo, no permite concluir su presencia intencional por parte del alfarero.

La composición de las inclusiones (desgrasantes) tiene una clara afinidad con rocas ígneas. En este sentido y con el ánimo de orientar futuros estudios vale la pena poner especial atención en cuerpos ígneos cercanos al área de investigación y de composiciones afines a los líticos y minerales identificados, tales como la Diorita de Morrogacho (Monzodioritas 7 Km al sur del casco urbano de Cañasgordas), Monzonita del Cerro Frontino (Sur Oeste del Municipio de Frontino), Basalto de El Botón (Oeste de Uramita y Dabeiba), Monzonita de Nudillales (Noroeste de Dabeiba) y otros cuerpos no cartografiados o reportados en la literatura, que se pueden hallar a modo de diques y/o asociados a yacimientos minerales metálicos que se han explotado en la zona.

En general la granulometría es de tamaño arena, entre arena de grano fino a grueso, excepcionalmente muy fino, predominantemente con formas angulosas y una esfericidad variable. Los vacíos se encuentran en un rango promedio del 8 % (Mínimo 3%, Máximo 13%) con formas planares y en cámaras, siendo característica la compactación media. La orientación tanto de inclusiones como de vacíos, es incipiente, sin embargo en las muestras MAR-01, MAR-02, MAR03, MAR-04, MAR-05, MAR-09, MAR-10, MAR-11, MAR-13 y MAR-14, la orientación oblicua de vacíos es clara y puede indicar un proceso de torneado en la elaboración del producto.

Las muestras MAR-01, MAR-03 y MAR-10 exhiben una capa de engobe (y superficie bruñida), en el resto de las muestras se exhiben alisados (posiblemente espatulados) y superficies groseras o sin tratamiento especial. Incisiones lineales e impresiones triangulares en la muestra MAR-05, e impresiones “irregulares” alineadas en forma oblicua en la muestra MAR-04. El único fragmento con evidencia de pintura corresponde a la muestra MAR-10 (Pintura “Crema” Naranja muy pálido sobre engobe rojizo). La muestra MAR-08 exhibe un decorado en alto relieve.

Algunos fragmentos evidencian exposición a una atmosfera de cocción oxidante en muestras de coloración naranja, amarilla, café y/o rojo: MAR-01, MAR-03, MAR-07, MAR-10, MAR-11, MAR13, MAR-14 y MAR-15. Las muestras MAR-02 y MAR-04 presentan coloraciones grises a negro, siendo estas asociadas a una atmosfera de cocción reductora. Las muestras MAR-06 y MAR-08 exhiben características mixtas que pueden indicar un corto tiempo de cocción que ocasiona insuficiente penetración del oxígeno hacia el núcleo de la cerámica. En el caso de la muestra MAR-05 donde el núcleo se observa de color claro y los bordes oscuros, indica una arcilla pobre en materia orgánica que fue rápidamente cocida bajo condiciones reductoras.

Digitalización, Biblioteca Especializada Alicia Dussán de Reichel. ICANH

En cuanto a los indicios de temperatura de cocción, partimos de las matrices ópticamente activas (análisis de birrefrigencia), estableciendo como activas las correspondientes a las muestras: MAR02, MAR-05, MAR-06, MAR-07, MAR-10 y MAR-11, para las cuales podemos establecer una temperatura de cocción < 800-850°C y > 600°C (temperatura de sinterización). El resto de las matrices (Muestras MAR-01, MAR-03, MAR-04, MAR-08, MAR-09, MAR-12, MAR-13, MAR-14 y MAR-15) son ópticamente inactivas de forma parcial, como una evidencia de inicio o desarrollo de vitrificación, por tanto su temperatura de cocción seria >800-850°C. Consistente con este análisis, se tiene en las muestras MAR-01, MAR-07, MAR-09 y MAR-12, la presencia de biotita con separación por los planos de clivaje, proceso que es asociado a una temperatura de 900-1000°C y en la muestra MAR-08 hornblenda de color café (la cual cambia de color verde a café en una atmósfera oxidante), proceso que se asocia a una temperatura de 750°C. Las relaciones de las evidencias petrográficas expuestas con parámetros de temperatura de cocción son tomadas de Quinn, 2013.

7.4 Conclusiones análisis lítico

Este análisis tecnológico y morfo-funcional, se hizo teniendo en cuenta la totalidad de 239 elementos líticos, en su mayoría tallados; sin embargo, se tienen también artefactos en las categorías de pulidos y modificados por uso. Este proyecto identifica 24 sitios arqueológicos con artefactos líticos en sus materialidades; en este sentido, se destacan por densidad de elementos culturales el SPA618 con un total de 54 unidades. Posteriormente el sitio SPN1074 reporta una

cantidad de 34 elementos líticos. De la misma manera, el sitio K22+500 presenta una frecuencia de 24 artefactos. Posteriormente, el sitio ZAP3-UF2-3, con un total de 23 líticos. Teniendo en cuenta que estos son los sitios de mayor densidad de materiales líticos, se realizó estadística a estos últimos y los restantes sitios arqueológicos referenciados en este texto se tuvieron en cuenta en la descripción general estadísticamente. Las unidades de recuperación de procedencia de los elementos líticos aquí abordados, provienen de cortes de excavación, monitoreos permanentes, realización de pozos de sondeo y excavación de rasgos.

El aprovechamiento de los recurso abióticos o materias primas en términos generales para los sitios reportados en todo el proyecto, sugiere que, la disponibilidad de recursos geológicos de carácter regional, proporcionando a nivel local los recursos bióticos y abióticos necesarios para la interacción con el medio ambiente, sin necesidad de realizar grandes desplazamientos para el aprovisionamiento de materias primas idóneas por calidad y características mecánicas en la producción de artefactos para la talla y uso de instrumentos.

Los materiales observados en estas áreas durante las diversas fases de campo, indican que, el abastecimiento local corresponde a la explotación de depósitos compuestos por gravas, cantos rodados, bloques, guijarros, arenas, limos y arcillas, originados por corrientes superficiales de agua desde las zonas montañosas hacia los terrenos bajos de topografía suave, donde se deposita la carga de sedimentos y escombros de rocas locales como andesitas, dioritas, anfibolitas, cuarcitas, diabasas esquistos, entre otros. De la misma manera, se identificaron otras materias primas que indudablemente dan cuenta de la diversidad de recursos disponibles en la zona y las elecciones de los grupos humanos para implementar aspectos tecnológicos en la zona. De manera que, se hallaron artefactos líticos en otras materias primas, -también locales-, como anfibolita, arenisca, chert gris, diabasa, diorita, granodiorita, lidita, lodolita neis y riolita; lo anterior sugiere que, evidentemente la oferta abiótica es generosa en la zona, constituyéndose en los recursos pétreos ideales, cuyo empleo favoreció la elaboración y uso de artefactos tallados, pulidos y modificados por uso.

Digitalización, Biblioteca Especializada Alicia Dussán de Reichel. ICANH

Se cuenta con una diversidad de utensilios en sus tres categorías, por un lado, raspadores, cuchillos, raederas, por otro lado, manos de molienda, metates y placas y finalmente artefactos pulimentados como hachas y cinceles, algunos de estos elementos en contextos funerarios. Tecnológicamente las actividades de talla se enfocaron en producción de instrumentos de corte a partir de lascas, lo que evidentemente es favorecido por la calidad de las materias primas utilizadas en su confección, en este sentido, la mayor frecuencia en lascas secundarias seguido de las terciarias, sugiere también un aprovechamiento de los núcleos en la generación de filos cortantes y confirma su presencia en muchos de los sitios arqueológicos registrados, que evidentemente se está tallando en los sitios, por lo tanto, los artefactos no fueron elaborados y usados en otro lugar para luego ser llevados; esto sustentado además por la disponibilidad de los recursos en la zona.

7.5 Conclusiones Análisis Bioarqueológico Contexto Funerario A618

El análisis del contexto funerario presente en el sitio arqueológico A618, da cuenta de al menos de la ocurrencia de dos tratamientos funerarios distintos en un mismo periodo, pese a la

complejidad del contexto generada por la perturbación ocasionada por fenómenos geofísicos del terreno. En relación a los patrones funerarios reconocidos para el noroccidente antioqueño, llama la atención que la estructura no puede relacionarse arquitectónicamente con los montículos descritos para la cuenca del río Sucio, en parte porque la tumba estaba colapsada. Sin embargo, la presencia de alfarería del horizonte tardío y de artefactos líticos, es similar a lo que se ha descrito en tumbas halladas en el margen occidental del Cauca medio (Castillo, 1988). Así mismo, es notable la consistencia en la disposición de los cuerpos por la orientación de los mismos y las evidencias que indican la probable posición en la que fueron inhumados tanto los cuerpos más superficiales, como los encontrados dentro del nicho de pozo con cámara. Esta diferenciación en la ubicación de los cuerpos, puede ser una expresión de sincretismo cultural propio del periodo de contacto, en el cual, la ubicación fuera de la cámara puede representar la incorporación de prácticas funerarias europeas, mientras que la consistencia en la disposición de los cuerpos puede representar la vigencia de prácticas funerarias prehispánicas de tradiciones culturales similares y la adopción de un mismo sistema de creencias, ya que los ritos funerarios dan cuenta de cómo las sociedades se relacionan con sus ancestros e interpretan su cosmogonía (Binford, 1968; Hodder, 1992).

Las vasijas corresponden al tipo Crema Fino-F11- del periodo 5 que va del 1.550 al 1.900 d.C. (Piazzini, 2018), también identificado desde antes en otros contextos funerarios como inciso con borde doblado (Castillo,1988), característico del complejo cultural del noroccidente antioqueño, cuyo horizonte temporal se encuentra entre los siglos X a XVI d.C, y que geográficamente abarca desde la ciénaga de Tumarandó en el bajo Atrato, la cuenca del río Sucio y el margen occidental de la cuenca del río Cauca. Acorde con esto, las muestras usadas para la datación radiocarbónica del contexto funerario del sitio arqueológico A618, sitúan el nicho funerario en el siglo XVI, reportándose una antigüedad de 400 ± 30 años BP (Beta - 528426) y 390 ± 30 años BP (Beta- 528425).

Digitalización Biblioteca Especializada Alicia Dussán de Reichel ICANH

El ajuar asociado a los 11 individuos tiene una correspondencia entre el número de vasijas y el MNI, también llama la atención que los individuos probablemente masculinos están más representados que los femeninos y esto puede tener alguna relación con la presencia de artefactos líticos como hachas y cinceles, los cuales, podrían estar relacionados con las actividades desempeñadas por ellos (Fibiger, Ahlström, Bennike, & Schulting, 2013).

Así mismo, es llamativo que los individuos más representados sean los que se encuentran en el rango de edad de adulto joven, que es un rango de edad del que normalmente se espera menor representatividad en la curva de mortalidad (Bullock, 2010). Ante la ausencia de huellas osteológicas de violencia en los segmentos óseos recuperados y el grado de deterioro del tejido óseo evidenciado, no es posible ratificar el conflicto como factor que haya influenciado la selectividad en la mortalidad de los individuos hallados en el nicho. No obstante, puede proponerse que tanto la estructura demográfica de la población inhumada, como la evidencia del padecimiento de una condición infecciosa y/o metabólica que afectó el cráneo y los huesos largos de los individuos del plano superficial, son parte de los hallazgos que suelen documentarse en cementerios del periodo de contacto en el continente americano (Cadena, 2016; Klaus, 2014; Walker & Johnson, 1994) y hacen parte de la evidencia que respalda el declive de la población nativa documentado para entonces en fuentes etnohistóricas (Cook, 1989; McCaa, 1999). Sin

embargo, la condición de salud evidenciada en los individuos más superficiales también puede estar evidenciando factores que repercutieron en la fragilidad individual de los mismos (Vaupel, Kenneth, & Stallard, 1979), e incluso podría explicar que la patología encontrada pudo interferir en su ubicación final, mostrando un tratamiento funerario diferencial relacionado con el padecimiento de dicha dolencia.

Los marcadores de estrés fisiológico evidenciados, dan indicios del padecimiento de éste durante la infancia de los individuos, dada la presencia de hipoplasias de esmalte en caninos y las lesiones poróticas del cráneo con expansión medular en estado inactivo. Lo relevante de estos hallazgos es que dichos eventos fueron superados y esto refleja las prácticas de crianza que permitieron su sobrevivencia ante eventos de estrés fisiológico (Storey, 2009; Wood, Milner, Harpending, & Weiss, 1992; Wright & Yoder, 2003). No obstante, no es posible establecer la influencia de estas condiciones en la fragilidad individual, debido al tamaño muestral. Solo el hallazgo de más enterramientos en esta región geográfica podrá contribuir a ponderar adecuadamente el impacto de los marcadores de estrés en la sobrevivencia de los individuos y en su estructura demográfica.

Es importante mantener los restos óseos en condiciones de almacenamiento adecuadas que ayuden a su conservación. Para el caso de los restos recuperados en el sitio arqueológico A618, se tomaron las medidas necesarias para el almacenamiento de los restos óseos y se espera que estos materiales puedan estar a disposición de investigadores interesados en estudiar a las poblaciones prehispánicas de esta región, pues los elementos recuperados tienen potencial para análisis isotópicos, genéticos y odontomorfométricos.

Digitalización, Biblioteca Especializada Alicia Dussán de Reichel. ICANH

Bibliografía

Aceituno Francisco Javier, Piazzini Carlo Emilio y Posada William Andrés. (2021). Tabladito: Evidencias de un asentamiento del Holoceno temprano en el noroccidente de Colombia. Latin American Antiquity, pp. 1–21

Arcila Vélez Graciliano (1953). Arqueología de Mutatá. Boletín Antropología Universidad de Antioquia. 1 (1).

Arias Felipe Andres (2017. Rastreando evidencias de cambio social en el registro arqueológico. Una mirada al Noroccidente de Antioquia, Urabá y el sur de Córdoba durante los últimos 1500 años (100 AP a 1500 AP de historia precolombina. Trabajo de grado para optar el título de antropólogo. Universidad de Antioquia.

Angulo Valdés Carlos (1995). Modos de vida en la prehistoria de la llanura atlántica de Colombia. Universidad del Norte. Barranquilla, 36p.

Álvarez, E., & González, H. (1978). *Geología y geoquímica del Cuadrángulo I-7 (Urrao). .* Medellín: Ingeominas.

Arango y Escobar, C. y. (2010). Cronología cerámica de Nore y El Cerro en Frontino. Tesis de Antropología. Departamento de Antropología.

Arcila, G. (1953). Arqueología de Mutatá. *Boletín del Instituto de Antropología, 1*(1), 7-64.

Digitalización, Biblioteca Especializada Alicia Dussán de Reichel. ICANH

Aufderheide, A., Rodríguez, C., & Langsjoen, O. (1998). *The Cambridge encyclopedia of human paleopathology*. New York: Cambridge University Press.

BABAO. (2008). *British Association of Biological Anthropology and CODE OF* (p. 22; BABAO, Ed.). p.

22. https://doi.org/10.1210/jcem.2015.100.issue-12.toc

Bass, W. (1971). *Human Osteology* (Second). Missouri: Missouri Archaeological Society.

Baustian, K., Osterholtz, A., & Collins, D. (2014). Taking Analyses of Commingled Remains in to the Future: Challenges and Prospects. Workind and Toward Improved Theory, Method and Data. In A. Osterholtz, K. Baustian, & D. Martin (Eds.), *Commingled and Disarticulated Human Remains* (First, pp. 265–274). New York: Springer Science + Business Media.

Binford, L. (1968). *Postpleistocene adaptations" New perspectives in archaeology* (L. Binford & S. Binford, Eds.). Chicago: Aldine.

Botero, Sofía (2000). Hallazgo de una estructura lítica en el municipio de Cañasgordas, Antioquia. Medellín: Departamento de Antropología, Universidad de Antioquia. s.p.

Botero, S., Muñoz, P., & Ortiz, A. (2011). Nuevos datos sobre patrones funerarios en el cañón del río Cauca al noroccidente de Colombia. *Boletín de Antropología*, *25*(42), 203–230.

Brew, R. (2000). El desarrollo económico de Antioquia desde la independencia hasta 1920. Bogotá: Publicaciones del Banco de la República, Archivo de la Economía Nacional

Brickley, M., & Ives, R. (2008). *The Bioarchaeology of Metabolic Diseases*. Oxford: Elsevier. Buikstra, J., & Ubelaker, D. (1994). *Standards for Data Collection from Human Skeletal Remains* (A.A. S. research series 44, Ed.). Fayetteville: Arkansas Archaeology Survey.

Bullock, M. (2010). *Urban Population Dynamis in a Preindustrial New World City: Morbidity, Mortality, and Inmigration in Postcalssic Cholula*. The Pennsylvania State University.

Botero, S. (2000). *Hallazgo de una estructura lítica en el municipio de Cañasgordas*

Antioquia. Medellín.

Buikstra, J. E. y D. H. Ubelaker 1994. Standards for Data Collection from Human Skeletal Remains. Arkansas Archaeological Survey Research Series Nº 44, Arkansas.

Castillo Neyla (1984). Investigaciones de un complejo funerario en el municipio de Sopetrán, departamento de Antioquia. Fundación de investigaciones arqueológicas nacionales. Banco de la república. Medellín.

Cardona V, L. C., & Yépes V, I. (2015). *Ejecución del plan de manejo arqueológico para el proyecto realineación vía Buriticá, del municipio de Buriticá, Antioquia. Adición de un nuevo tramo de 1.7 km., a la vía Buriticá – Higabra, informe final.* Medellín: SAG. Servicios ambientales y geográficos.

Digitalización, Biblioteca Especializada Alicia Dussán de Reichel. ICANH

Castillo E, N. (1988). Complejos arqueológicos y grupos étnicos del siglo XVIen el occidente de Antioquia. *Boletín Museo del Oro N° 20*, 16-34.

Castillo, N. (1984). *Investigaciones de un complejo funerario en el municipio de Sopetrán, departamento de Antioquia.* Medellín.

CONSORCIO AECOM-CONCOL. (2016). *Geología para ingeniería. Volumen III.* Bogotá D.C.

Cadena, B. (2016). *Crisis alimentaria en San Gregorio Atlapulco durante los años posteriores a la Conquista , una secuela de violencia estructural*. Escuela Nacional de Antropología e Historia.

Castillo, N. (1988). Complejos arqueológicos y grupos étnicos del siglo XVI en el Occidente de Antioquia. *Boletín Museo Del Oro*, *20*, 16–34.

Chacón, N. (2005). Prácticas y creencias religiosas en torno a la muerte: Xcaret en los siglos XVI-XII, Quintana Roo, México. *Estudios de Antropología Biológica*, *XII*, 1061–1081.

Chaix, L., Méniel, P., & Mangado, X. (2005). *Manual de Arqueozoología* (Primera Ed; A. Prehistoria, Ed.). Barcelona: Editorial Ariel.

Chamberlain, A. (2006). Demographic concepts, theory and methods. In A. Chamberlain (Ed.),

Demography in Archaeology (pp. 15–44). New York: Cambridge University Press.

Cook, S. (1989). Consecuencias demográficas del contacto de europeos con pueblos primitivos. In

S. Cook & W. Borah (Eds.), *El pasado de México: aspectos sociodemográficos* (pp. 9–16). México: Fondo de Cultura Económica.

Chang, Kwang Chih (1983). Nuevas perspectivas en arqueologia. - 2. ed. Alianza Editorial. 175p.

DANE. (2005). Censo Oficial. Perfiles Departamentos y Municipios.

Duday, H. (1997). Antropología biológica “de campo”, tafonomía y arqueología de la muerte. In E. Malvido, G. Pereira, & V. Tiesler (Eds.), *El cuerpo humano y su tratamiento mortuorio* (pp.

91–126). M?xico: Instituto Nacional de Antropolog?a e Historia - Centro de Estudios Meicanos y Centroamericanos.

Duday, H. (2009). *The Archaeology of the Dead, Lectures in Archeothanatology*. Oxford: Oxbow Books.

Espinal, L. (s.f.). *Geografía ecológica del departamento de Antioquia (zonas de vida (formaciones vegetales) del departamento de Antioquia).* Medellín: Departamento de Ciencias de la Tierra, Universidad Nacional.

Fahlander, F., & Oestigaard, T. (2008). Materiality of Death: Bodies, Burials, Beliefs. In F. Fahlander & T. Oestigaard (Eds.), *Materiality of Death: Bodies, Burials, Beliefs* (pp. 1–16). Oxford: Archaeopress.

Digitalización y Biblioteca Especializada Alicia Dussán de Reichel ICANH

Fernández-Jalvo, Y., & Andrews, P. (2016). *Atlas of Taphonomic Identifications* (First; E. Delson & E. Sargis, Eds.). New York: Springer Science + Business Media.

Fibiger, L., Ahlström, T., Bennike, P., & Schulting, R. J. (2013). Patterns of violence-related skull trauma in Neolithic Southern Scandinavia. *American Journal of Physical Anthropology*, *150*(2), 190–202. https://doi.org/10.1002/ajpa.22192

García Roselló, Jaume & Calvo Trias, Manuel (2006). Análisis de las evidencias macroscópicas de cocción en la cerámica prehistórica: una propuesta para su estudio. En: Mayurqa. pp 31:83-112. España.

Gensa (2019). Pequeña central hidroeléctrica río Hondo Estudio de Impacto Ambiental. https://gensa.com.co/wp-content/uploads/2023/12/CAPITULO-5.3-CARACTERIZACION-A.I.-SOCIOECONOMICA-2-1.pdf

Girón, J. (1985). *Arqueología de Buriticá,.* Medellín: Universidad de Antioquia. Tesis de grado.

Gobernación de Antioquia, Secretaría de Infraestructura Física. (2014). De caminos y autopistas. Historia de la infraestructura vial en Antioquia. Medellín: Universidad Eafit, Gobernación de Antioquia.

Gómez, W. (2018). Los territorios indígenas en Antioquia: Planeación y ordenamiento del territorio en zonas de frontera interna. Medellín: Universidad Nacional de Colombia.

González, E. (1964). Antioquia, Secretaría de Gobierno, informe 1946. Medellín: Imprenta Departamental. En: Ramírez, S. (2014). La integración de la ciudad y la región entre 1930 y 1956. En: Gobernación de Antioquia, Secretaría de Infraestructura Física. (2014). De caminos y autopistas. Historia de la infraestructura vial en Antioquia. Medellín: Universidad Eafit, Gobernación de Antioquia.

Guillén, S., Nicolás, C., & Arroyo, R. (2009). Proyecto Tlatelolco. *Informe Del Archivo Técnico de La Subdirección de Salvamento Arqueológico*. México: Biblioteca Jose Luis Lorenzo Bautista.

Henao Diana Isabel. (2017). Sistematización y caracterización de la tipología cerámica de las investigaciones arqueológicas efectuadas en Frontino y Urrao, Antioquia (2002-2015). Trabajo de grado para optar a titulo de antropóloga. Universidad de Antioquia.

Heras y Martínez, César M. (1992) Glosario terminológico para el estudio de las cerámicas arqueológicas En: Revista española de antropología americana. No. 22 Ed. Compl. Madrid. Pp 10-34

INERCO. (2017). *FORMULACIÓN DEL PLAN DE MANEJO ARQUEOLÓGICO.* Medellín.

Hillson, S. (2002). *Dental Anthropology*. Cambridge: Cambridge University Press.

Digitalización, Biblioteca Especializada Alicia Dussán de Reichel. ICANH

Hillson, S. (2005). *Teeth* (Second; S. Hillson, Ed.). Cambridge: Cambridge University Press.

Hodder, I. (1992). Burials, Houses, Women and Men in The European Neolithic. In I. Hodder (Ed.), Theory and Practice in Archaeology (pp. 42–70). London: Routledge.

Theory and Practice in Archaeology (pp. 42–70). London: Routledge.

Theory and Practice in Archaeology (pp. 42–70). London: Routledge.

Klaus, H. (2014). A history of violence in the Lambayeque valley: conflict and death from the late pre-Hispanic apogee to European colonization of Peru (AD 900–1750). In C. Knüsel & M. Smith (Eds.), *The Routledge Handbook of The Bioarchaeology of Human Conflict* (pp. 389– 414). New York: Routledge.

Lovejoy, C. O. (1985). Dental wear in the Libben population: Its functional pattern and role in the determination of adult skeletal age at death. *American Journal of Physical Anthropology*, *68*(1), 47–56. https://doi.org/10.1002/ajpa.1330680105

Londoño Arango, C. (2001). *CUENCAS HIDROGRÁFICAS: bases conceptuales, caracterización, planificación, administración.* Ibagué: Universidad del Tolima, Facultad de Ingeniería Forestal. Departamento de ingeniería.

López Cardona, M. (2006). *Análisis de deformación tectónica en el piedemonte de las cordilleras central y occidental Valle del Cauca, Colombia. Contribuciones paleosísmicas.* Medellín: Universidad EAFIT.

López-Costas Olalla, Lantes-Suarez Oscar, Martínez Cortizas Antonio (2016). Chemical compositional changes in archaeological human bones due to diagenesis: Type of bone vs soil environment. Journal of archaeological science. Volumen 67. pp 43-51.

Martin, J. G., & Sánchez, L. A. (2007). El istmo mediterráneo: intercambio, simbolismo y filiación social en la bahía de Panamá durante el período 500-1000 D.C. Revista de Arqueología Del Área Intermedia, 7, 113–122.

Martínez, V. (2017). *FORMULACIÓN DEL PLAN DE MANEJO ARQUEOLÓGICO PARA EL PROYECTO AUTOPISTA AL MAR 2, CONTRATO DE CONCESIÓN N.O 018 DE 2015 SUSCRITO ENTRE LA ANI Y LA SOCIEDAD AUTOPISTAS URABÁ S.A.S., UNIDADES FUNCIONALES 2 Y 3, TRAMO URAMITA-DABEIBA.* Bogotá.

Meggers Betty, Evans Clifford (1969). “Cómo interpretar el lenguaje de los tiestos, manual para arqueólogos”. SmithsonianInstitution, Washintong D.C.

Marín-Arroyo, A. B., Madgwick, R., Brugal, J. P., & Moreno-García, M. (2012). New Perspectives on Taphonomy. *International Journal of Osteoarchaeology*, *22*(5), 505–508. https://doi.org/10.1002/oa.1270

Mays, S. (2005). *The Archaeology of Human Bones*. New York: Routeldge.

McCaa, R. (1999). ¿Fue el siglo XVI una catástrofe demográfica para México? Una respuesta basada en la demografía histórica no cuantitativa. *Papeles de Población*, *Julio-Se*(21), 223–239.

Digitalización y Biblioteca Especializada Alicia Dussán de Reichel. ICANH

Milner, G., & Boldsen, J. (2012). Humeral and Femoral Head Diameters in Recent White American Skeletons. *Jounal of Forensic Sciences*, *57*(1), 35–40.

Ministerio de ambiente, vivienda y desarrollo territorial, Corporación para el desarrollo sostenible del Urabá (CORPOURABA). (2007). *Establecimiento de los objetivos de calidad requerimiento de los planes de saneamiento y manejo de vertimientos (psmv) a las entidades prestadoras del servicio de alcantarillado de la jurisidicción de Corpouraba. Cuencas de los ríos Sucio y Mutatá municipios de Cañasgordas, Uramita, Dabeiba y Mutatá.* Unidad de Aguas. Subdirección Gestión y Administración Ambiental.

Múrcia, Ángela. (2023). Proyecto programa de arqueología para el proyecto Implementación fase de laboratorio de las AIA N°8720 y N°8707 Provenientes del plan de manejo arqueológico N°8278. Concesión Autopista al Mar 2 de la unidad funcional 1, 2 y 4. Municipio de Uramita, Dabeiba y Mutatá. Concesión Autopista al Mar 2, del Proyecto “Autopistas para la Prosperidad”

Okumura, M. (2017). Curadoria De Remanescentes Humanos: Práticas E Experiências Na Coleção Duckworth (Universida de De Cambridge, Reino Unido). *Tecnologia e Ambiente*, *21*, 211–222. https://doi.org/10.18616/ta.v21i0.1945

Ortner, D. (2003). *Identification of Pathological Conditions in Human Skeletal Remains* (Second). Second. London: Elsevier Academic Press.

Osborn Ann (1979). La cerámica de los tunebo. Un estudio etnográfico. Fundación de investigaciones Arqueológicas Nacionales. Bogotá.

Ottalagano, Flavia V. (2010). Decoración experimental de cerámica aplicada al estudio de las técnicas incisas del área del Paraná. En: Intersecciones de Antropología No. 11. Buenos Aires pp 237-247.

Parsons, J. (1967). Urabá, salida de Antioquia al mar, geografía e historia de la colonización. Medellín: Banco de la República, Corpourabá.

Pérez, J. (2012). Los indígenas no saben más que tejer canastros. Despojo sobre las tierras del resguardo de Cañasgordas, al noroccidente de Colombia (1886-1920). En: Boletín de Antropología. Universidad de Antioquia, Vol. 26 N.o 43, Medellín, pp. 11-41.

Pérez, R., & Alderte, T. (2000). La formación del cristianismo en los primeros siglos y la evangelización americana como segunda conquista espiritual. *Anales de Antropología*, *34*, 237–260.

Piazzini, E., Posada, W., Arango, C., & Escobar, D. (2009). Arqueología de Frontino: espacio, tiempo y sociedad en el noroccidente de Antioquia durante la época precolombina y colonial.

Gobernación de Antioquia - Universidad de Antioquia - Banco de La República. Medellín: Informes de Arqueología.

Digitalización. Biblioteca Especializada Alicia Dussán de Reichel. ICANH

Piazzini, E. (2001). *Cambio e interacción social durante la época precolombina y colonial temprana en el Magdalena Medio. Arqueología del Área Intermedia.*

Piazzini, C. E. (2004). *Arqueología en la cuenca del rio La Herradura. Municipios de Frontino, Calasgordas y Abriaquí en el noroccidente antioqueño.* Medellín: Empresas Públicas de Medellín E.S.P.

Piazzini Carlo Emilio, Posada William (2009). Arqueología de Frontino: espacio, tiempo y sociedad en el noroccidente de Antioquia durante la época precolombina y colonial. Fundación de Investigaciones Arqueológicas Nacionales. Banco de la república.

Piazzini, C. E. (2009). Planeación y procesos espaciales: configuración territorial del municipio de Frontino en el noroccidente de Antioquia. *Boletín de Antropología, 23*(40), 186-228.

Piazzini, C. E. (2013). *Proyecto Inventario del patrimonio arqueológico inmueble en los municipios de Urrao y Frontino.* Instituto de Cultura y Patrimonio de Antioquia - Universidad de Antioquia-Municipios de Urrao y Frontino.

Piazzini, C. E. (2015). Cambio social en la cuenca media del río Cauca, Colombia (3000-400 a. P.): una aproximación desde las iconografías arqueológicas. *Boletín de Antropología. Universidad de Antioquia, Medellín, vol. 30, No: 5*, 55-93.

Piazzini, Emilio & Escobar, David (2017) Prospección Arqueológica del proyecto hidroelectrico El Sireno en la cuenca media del Río Penderico, Urrao-Antioquia. Empresas Publicas de Medellín -EMP-. Instituto de Estudios Regionales -INER- Universidad de Antioquia.

Piazzini, C. E., & Arango Campuzano, C. E. (2013). *Prospección arqueológica del lote La Esperanza en el municipio de Cañasgordas, Antioquia.* Medellín.

Piazzini, C. E., Arango, C., & Escobar, D. (2009). *Arqueología de Frontino: espacio, tiempo y sociedad en el noroccidente de Antioquia durante la época precolombina y colonial.*

Piazzini, Emilio & Posada, William (2015). Formulación del Plan de Manejo Arqueológico del Municipio de Frontino. Medellín: Instituto de Cultura y Patrimonio de Antioquia, Municipio Frontino, Universidad de Antioquia. Informe final.

Piazzini, Emilio (2018). Plan de manejo arqueológico del municipio de Frontino. Municipio de Frontino. Instituto de Estudios Regionales -INER- Universidad de Antioquia. Instituto de Cultura y Patrimonio de Antioquia. Gobernación de Antioquia.

Piazzini, Carlo Emilio. 2020. Entre Colombia y Panamá: arqueologías del chocó norte. Editorial Universidad de Antioquia. Medellín.

Posada Restrepo, W., Parra, L. N., & Jaramillo, D. F. (2010). Procesos antrópicos y procesos naturales a escala de sitio. un caso de geoarqueología en el municipio de Frontino, noroccidente colombiano. *Revista de arqqueología del área intermedia N° 8*, 121-158.

Digitalización. Biblioteca Especializada Alicia Dussán de Reichel. ICANH

Posada Restrepo, W. (2022). Paleoambientes y estructuras hidráulicas en la cuenca del río León: un estudio sobre estrategias adaptativas y desarrollos territoriales en el Urabá prehispánico. Universidad de Antioquia.

Quinn, P.S. 2013.CeramicPetrography: The Interpretation of Archeological Pottery & Related Artefacts in Thin Section. Archaeopress,Oxford, England

Rodríguez, G., & Zapata, G. (2012). CARACTERISTICAS DEL PLUTONISMO MIOCENO SUPERIOR EN EL SEGMENTO NORTE DE LA CORDILLERA OCCIDENTAL E IMPLICACIONES TECTONICAS EN EL MODELO GEOLÓGICO DEL NOROCCIDENTE COLOMBIANO. *Bol. Ciencias Tierra, Número 31*, p. 5-22, 2012.

Ramírez, S. (2014). La integración de la ciudad y la región entre 1930 y 1956. En: Gobernación de Antioquia, Secretaría de Infraestructura Física. (2014). De caminos y autopistas. Historia de la infraestructura vial en Antioquia. Medellín: Universidad Eafit, Gobernación de Antioquia.

Restrepo, A. (1978). Evocación histórica de Cañasgordas. Medellín: Secretaría de Educación y Cultura.

Restrepo, C. (1930). “Carretera al Mar”. En: Máximo de San José Fray (1930) Álbum de la Carretera al Mar. Medellín. En: Gobernación de Antioquia, Secretaría de Infraestructura Física. (2014). De caminos y autopistas. Historia de la infraestructura vial en Antioquia. Medellín: Universidad Eafit, Gobernación de Antioquia.

Restrepo, J.F. 2015. Prospección y reconocimiento arqueológico para el mejoramiento vial Caucheras-Belén de Bajirá (pr 0+000; pr 15+600 al pr 26+600) Belén de Bajirá- Riosucio (pr 28+300 al pr 53+000). Municipios de Mutatá y Riosucio, departamentos de Antioquia y Choco. Informe de Arqueología - Arqueonorte Servicios de Arqueología. Medellín.

Roksandic, M. (2002). Position of Skeletal Remains as a Key to Understanding Mortuary Behavior. In W. Haglund & M. Sorg (Eds.), *Advances in Forensic Taphonomy. Method, Theory, and Archaeological Perspectives* (pp. 99–117). London: CRC Press.

Salazar, W. (1994). Resguardos en Antioquia, crisis y desintegración 1750-1850. Tesis de maestría. Medellín: Departamento de Historia, Universidad de Antioquia.

Schultz, M. (2001). Paleohistopathology of bone: A new approach to the study of ancient diseases. *American Journal of Physical Anthropology*, *116*(S33), 106–147. https://doi.org/10.1002/ajpa.10024

Scott, R. (2008). Dental Morphology. In A. Katzenberg & S. Saunders (Eds.), *Biological Anthropology of the Human Skeleton* (Second, pp. 265–298). New Jersey: John Wiley & Sons, Inc.

Stodder, A. (2018). Taphonomy and the Nature of Archaeological Assemblages. In A. Katzenberg &

A. Grauer (Eds.), *Biological Anthropology of the Human Skeleton* (Tird, pp. 73–115). New York, NY: John Wiley & Sons, Inc.

Digitalización y Biblioteca Especializada Alicia Dussán de Reichel. ICANH

Storey, R. (2009). Hetrogenidad individual, fragilidad y la paradoja osteológica. In E. Gonzáles & L. Márquez (Eds.), *Paradigmas y retos de la bioarqueología mexicana* (pp. 191–216). México: Promep - ENAH/INAH - Conaculta.

Santos, G. (1987). *Asentamientos prehispánicos en la región del golfo de Urabá y su desarrollo hasta la época de la conquista. .* Medellín: Colciencias, Universidad de Antioquia.

Shepard, Anna. (1964) Ceramics for the Archeaologis. Carnegie Institution of Washington. Washington D.C.

Thompson, T. J. U. (2004). Recent advances in the study of burned bone and their implications for forensic anthropology. *Forensic Science International*, *146*(SUPPL.), 203–205. https://doi.org/10.1016/j.forsciint.2004.09.063

Ubelaker, D. (1987). Human Skeletal Remains. Excavation, analysis, interpretation. In M. on Archaeology (Ed.), *Smithsonian Institut* (Vol. 2). Washingtong: Taraxacum.

Ubelaker, D. H. (2009). The forensic evaluation of burned skeletal remains: A synthesis. *Forensic Science International*, *183*(1–3), 1–5. https://doi.org/10.1016/j.forsciint.2008.09.019

Universidad de Antioquia, Gobernación de Antioquia (2012). Diagnóstico técnico- Municipio de Cañasgordas (Antioquia). Programa Agua para la prosperidad. Gerencia Asesora.

Uribe de Hincapé, M. (1990). La territorialidad de los conflictos y de la violencia en Antioquia. Realidad Social, Vol. 1. Medellín: Gobernación de Antioquia, Departamento Administrativo de Planeación.

Vaupel, J., Kenneth, M., & Stallard, E. (1979). The impact of Heterogeneity in Individual Frailty on the Dynamics of Mortality. *Demography*, *16*, 439–454.

Vasco, L. G. (1987). Semejantes a los dioses. Cerámica Embera-Chamí, Universidad Nacional de Colombia. Santafé Bogotá.

Vidales Monsalve, Ingrid Yamile. (2019). Clasificación y cronología de la cerámica arqueológica del municipio de Peque y su relación con otras alfarerías del occidente de Antioquia, Colombia. Trabajo de grado para optar a título de antropóloga. Universidad de Antioquia.

Waldron, T. (2009). Paleopathology. In *Cambridge Manuals in Archaeology*. London: Cabridge Academic Press.

Walker, P., Bathurst, R., Richman, R., Gjerdrum, T., & Andrushko, V. (2009). The causes of porotic hyperostosis and cribra orbitalia: A reappraisal of the iron-deficiency-anemia hypothesis.

American Journal of Physical Anthropology, *139*(2), 109–125. https://doi.org/10.1002/ajpa.21031

Walker, P., & Johnson, J. (1994). The decline of the Chumash Indian Population. In C. Larsen & G. Milner (Eds.), *In The Wake of Contact, Biological Responses to Conquest* (pp. 109–120). New York: Wiley-Liss.

Digitalización: Biblioteca Especializada Alicia Dussán de Reichel. ICANH

White, J. (1892). Compilación de leyes, decretos, resoluciones y demás documentos importantes, relacionados con las 100.000 hectáreas que el departamento tiene en la región de Urabá, publicados por orden de la gobernación. Medellín: Imprenta Departamental.

White, T. (2000). *Human Osteology*. San Diego: Academic Press.

White, T. (2005). *The Human Bone Manual*. San Diego: Elseiver Academic Press.

Wood, J. W., Milner, G. R., Harpending, H. C., & Weiss, K. M. K. (1992). The Osteological Paradox: Problems of Inferring Prehistoric Health from Skeletal Samples. *Current Anthropology*, *33*(4), 343. https://doi.org/10.1086/204084

Wright, L. E., & Yoder, C. J. (2003). Recent Progress in Bioarchaeology : Approaches to the Osteological Paradox. *Journal of Archaeological Research*, *11*(1), 43–70.

Zambrano, F. y Bernard, O. (1993). Ciudad y territorio. El proceso de poblamiento en Colombia. Bogotá: Tercer Mundo Editores.

Zerda, L. (1883). *El dorado. Estudio histórico, etnográfico y arqueológico de los Chibchas, habitantes de la antigua Cundinamarca y de algunas otras tribus.* Bogotá.

ANEXOS

Anexos 1, 2 y 3. Análisis Bioarqueológico

https://drive.google.com/file/d/1h-IcLfGqpoV4Pr2n8_cL8zoQhQCnoEDN/view?usp=sharing

Anexo 4. Listado de coordenas sondeos Lic_7231

https://docs.google.com/spreadsheets/d/1lyPj8GMC4AH3cI7FtSfCASEbJmWaJd1m/edit?usp=drive_link&ouid=118336831972994832295&rtpof=true&sd=true

Anexo 5. Clasificación Cerámica General Mar2_16_03_23_V2_F2

https://docs.google.com/spreadsheets/d/1DMNd2qmxMkCT90ynBzGTzTVsTRNLV-n_/edit?usp=drive_link&ouid=118336831972994832295&rtpof=true&sd=true

Anexo 6. Clasificacion_7231litica

https://docs.google.com/spreadsheets/d/1uDWTviYRc9knb6Gwtx8LKs4BZxvebu9V/edit?usp=sharing&ouid=118336831972994832295&rtpof=true&sd=true

Digitalización, Biblioteca Especializada Alicia Dussán de Reichel. ICANH

Anexo 7. Fotografías y fichas cortes

https://drive.google.com/drive/folders/1IPT02vdvJZp6iNL80BzlSe-KD-Ih3T1u?usp=drive_link

Anexo 8. Fotografías y fichas monitoreo

https://drive.google.com/drive/folders/1aAZtEhLSYwM0wve808GabIpd3-lmfVI1?usp=drive_link

Anexo 9. Emisiones radiales Cañasgordas

https://drive.google.com/drive/folders/1MJ_RvGZ09IQ2LCeXle0MGV3R08y_clek?usp=drive_link

Anexo 10. Tenencia

https://drive.google.com/drive/folders/1CJDybZpyjB7IJSYpl5Z0aujXCE4on9G7?usp=drive_link

Anexo 11. Componente_Cartografico_Lic_7231_Arqueologia

https://drive.google.com/drive/folders/1hEHsQHULtPt_FpzKIhGoVF1pASxmc7Fb?usp=drive_link